



**TOMO III**  
PESIN 2020 - 2034

# **ANEXO 5**

REPORTES DE  
ESTABILIDAD DINÁMICA

(Escenario de Referencia)

Gráfico 1. Evento 5A_3FS, caso 19-2035-Max-Sec. Tensiones en la zona de influencia 115 kV.....	23
Gráfico 2. Evento 5A_3FS, caso 19-2035-Max-Sec. Tensiones en la zona de influencia 230 kV.....	23
Gráfico 3. Evento 5A_3FS, caso 19-2035-Max-Sec. Ángulo de Generadores Hidroeléctricos. ....	24
Gráfico 4. Evento 5A_3FS, caso 19-2035-Max-Sec. Ángulo de generadores Térmicos.....	24
Gráfico 5. Evento 5A_3FS, caso 19-2035-Max-Sec. Frecuencia. ....	25
Gráfico 6. Evento 5A_3FS, caso 19-2035-Max-Sec. Flujo postfalla .....	26
Gráfico 7. Evento 5A_3FS, caso 19-2035-MaxSol-Sec. Tensiones en la zona de influencia 115 kV. ....	27
Gráfico 8. Evento 5A_3FS, caso 19-2035-MaxSol-Sec. Tensiones en la zona de influencia 230 kV. ....	27
Gráfico 9. Evento 5A_3FS, caso 19-2035-MaxSol-Sec. Ángulo de Generadores Hidroeléctricos. ....	28
Gráfico 10. Evento 5A_3FS, caso 19-2035-MaxSol-Sec. Ángulo de generadores Térmicos. ....	28
Gráfico 11. Evento 5A_3FS, caso 19-2035-MaxSol-Sec. Frecuencia.....	29
Gráfico 12. Evento 5A_3FS, caso 19-2035-MaxSol-Sec. Flujo postfalla.....	30
Gráfico 13. Evento 5A_3FS, caso 20-2035-Max-Lluv. Tensiones en la zona de influencia 115 kV.....	31
Gráfico 14. Evento 5A_3FS, caso 20-2035-Max-Lluv. Tensiones en la zona de influencia 230 kV.....	31
Gráfico 15. Evento 5A_3FS, caso 20-2035-Max-Lluv. Ángulo de Generadores Hidroeléctricos. ....	32
Gráfico 16. Evento 5A_3FS, caso 20-2035-Max-Lluv. Ángulo de generadores Térmicos.....	32
Gráfico 17. Evento 5A_3FS, caso 20-2035-Max-Lluv. Frecuencia. ....	33
Gráfico 18. Evento 5A_3FS, caso 20-2035-Max-Lluv. Flujo postfalla .....	34
Gráfico 19. Evento 5A_3FS, caso 20-2035-MaxSol-Lluv. Tensiones en la zona de influencia 115 kV.....	35
Gráfico 20. Evento 5A_3FS, caso 20-2035-MaxSol-Lluv. Tensiones en la zona de influencia 230 kV.....	35
Gráfico 21. Evento 5A_3FS, caso 20-2035-MaxSol-Lluv. Ángulo de Generadores Hidroeléctricos. ....	36
Gráfico 22. Evento 5A_3FS, caso 20-2035-MaxSol-Lluv. Ángulo de generadores Térmicos.....	36
Gráfico 23. Evento 5A_3FS, caso 20-2035-MaxSol-Lluv. Frecuencia. ....	37
Gráfico 24. Evento 5A_3FS, caso 20-2035-MaxSol-Lluv. Flujo postfalla .....	38
Gráfico 25. Evento 5A_3FS, caso 2. Tensiones en la zona de influencia 115 kV. ....	39
Gráfico 26. Evento 5A_3FS, caso 2. Tensiones en la zona de influencia 230 kV. ....	39
Gráfico 27. Evento 5A_3FS, caso 2. Ángulo de Generadores Hidroeléctricos.....	40
Gráfico 28. Evento 5A_3FS, caso 2. Ángulo de generadores Térmicos. ....	40
Gráfico 29. Evento 5A_3FS, caso 2. Frecuencia.....	41
Gráfico 30. Evento 5A_3FS, caso 2. Flujo postfalla.....	42
Gráfico 31. Evento 5A_3FS, caso 2. Tensiones en la zona de influencia 115 kV. ....	43
Gráfico 32. Evento 5A_3FS, caso 2. Tensiones en la zona de influencia 230 kV. ....	43
Gráfico 33. Evento 5A_3FS, caso 2. Ángulo de Generadores Hidroeléctricos.....	44
Gráfico 34. Evento 5A_3FS, caso 2. Ángulo de generadores Térmicos. ....	44
Gráfico 35. Evento 5A_3FS, caso 2. Frecuencia.....	45
Gráfico 36. Evento 5A_3FS, caso 2. Flujo postfalla.....	46
Gráfico 37. Evento 5A_3FS, caso 2. Tensiones en la zona de influencia 115 kV. ....	47

Gráfico 38. Evento 5A_3FS, caso 2. Tensiones en la zona de influencia 230 kV. ....	47
Gráfico 39. Evento 5A_3FS, caso 2. Ángulo de Generadores Hidroeléctricos.....	48
Gráfico 40. Evento 5A_3FS, caso 2. Ángulo de generadores Térmicos. ....	48
Gráfico 41. Evento 5A_3FS, caso 2. Frecuencia.....	49
Gráfico 42. Evento 5A_3FS, caso 2. Flujo postfalla.....	50
Gráfico 43. Evento 5A_3FS, caso 2. Tensiones en la zona de influencia 115 kV. ....	51
Gráfico 44. Evento 5A_3FS, caso 2. Tensiones en la zona de influencia 230 kV. ....	51
Gráfico 45. Evento 5A_3FS, caso 2. Ángulo de Generadores Hidroeléctricos.....	52
Gráfico 46. Evento 5A_3FS, caso 2. Ángulo de generadores Térmicos. ....	52
Gráfico 47. Evento 5A_3FS, caso 2. Frecuencia.....	53
Gráfico 48. Evento 5A_3FS, caso 2. Flujo postfalla.....	54
Gráfico 49. Evento 5B_3FS, caso 19-2035-Max-Sec. Tensiones en la zona de influencia 115 kV. ....	55
Gráfico 50. Evento 5B_3FS, caso 19-2035-Max-Sec. Tensiones en la zona de influencia 230 kV. ....	55
Gráfico 51. Evento 5B_3FS, caso 19-2035-Max-Sec. Ángulo de Generadores Hidroeléctricos.....	56
Gráfico 52. Evento 5B_3FS, caso 19-2035-Max-Sec. Ángulo de generadores Térmicos. ....	56
Gráfico 53. Evento 5B_3FS, caso 19-2035-Max-Sec. Frecuencia. ....	57
Gráfico 54. Evento 5B_3FS, caso 19-2035-Max-Sec. Flujo postfalla .....	58
Gráfico 55. Evento 5B_3FS, caso 19-2035-MaxSol-Sec. Tensiones en la zona de influencia 115 kV.....	59
Gráfico 56. Evento 5B_3FS, caso 19-2035-MaxSol-Sec. Tensiones en la zona de influencia 230 kV.....	59
Gráfico 57. Evento 5B_3FS, caso 19-2035-MaxSol-Sec. Ángulo de Generadores Hidroeléctricos. ....	60
Gráfico 58. Evento 5B_3FS, caso 19-2035-MaxSol-Sec. Ángulo de generadores Térmicos.....	60
Gráfico 59. Evento 5B_3FS, caso 19-2035-MaxSol-Sec. Frecuencia. ....	61
Gráfico 60. Evento 5B_3FS, caso 19-2035-MaxSol-Sec. Flujo postfalla .....	62
Gráfico 61. Evento 5B_3FS, caso 20-2035-Max-Lluv. Tensiones en la zona de influencia 115 kV. ....	63
Gráfico 62. Evento 5B_3FS, caso 20-2035-Max-Lluv. Tensiones en la zona de influencia 230 kV. ....	63
Gráfico 63. Evento 5B_3FS, caso 20-2035-Max-Lluv. Ángulo de Generadores Hidroeléctricos. ....	64
Gráfico 64. Evento 5B_3FS, caso 20-2035-Max-Lluv. Ángulo de generadores Térmicos.....	64
Gráfico 65. Evento 5B_3FS, caso 20-2035-Max-Lluv. Frecuencia.....	65
Gráfico 66. Evento 5B_3FS, caso 20-2035-Max-Lluv. Flujo postfalla.....	66
Gráfico 67. Evento 5B_3FS, caso 20-2035-MaxSol-Lluv. Tensiones en la zona de influencia 115 kV. ....	67
Gráfico 68. Evento 5B_3FS, caso 20-2035-MaxSol-Lluv. Tensiones en la zona de influencia 230 kV. ....	67
Gráfico 69. Evento 5B_3FS, caso 20-2035-MaxSol-Lluv. Ángulo de Generadores Hidroeléctricos.....	68
Gráfico 70. Evento 5B_3FS, caso 20-2035-MaxSol-Lluv. Ángulo de generadores Térmicos. ....	68
Gráfico 71. Evento 5B_3FS, caso 20-2035-MaxSol-Lluv. Frecuencia.....	69
Gráfico 72. Evento 5B_3FS, caso 20-2035-MaxSol-Lluv. Flujo postfalla.....	70
Gráfico 73. Evento 5B_3FS, caso 2. Tensiones en la zona de influencia 115 kV.....	71
Gráfico 74. Evento 5B_3FS, caso 2. Tensiones en la zona de influencia 230 kV.....	71

Gráfico 75. Evento 5B_3FS, caso 2. Ángulo de Generadores Hidroeléctricos. ....	72
Gráfico 76. Evento 5B_3FS, caso 2. Ángulo de generadores Térmicos. ....	72
Gráfico 77. Evento 5B_3FS, caso 2. Frecuencia. ....	73
Gráfico 78. Evento 5B_3FS, caso 2. Flujo postfalla ....	74
Gráfico 79. Evento 5B_3FS, caso 2. Tensiones en la zona de influencia 115 kV. ....	75
Gráfico 80. Evento 5B_3FS, caso 2. Tensiones en la zona de influencia 230 kV. ....	75
Gráfico 81. Evento 5B_3FS, caso 2. Ángulo de Generadores Hidroeléctricos. ....	76
Gráfico 82. Evento 5B_3FS, caso 2. Ángulo de generadores Térmicos. ....	76
Gráfico 83. Evento 5B_3FS, caso 2. Frecuencia. ....	77
Gráfico 84. Evento 5B_3FS, caso 2. Flujo postfalla ....	78
Gráfico 85. Evento 5B_3FS, caso 2. Tensiones en la zona de influencia 115 kV. ....	79
Gráfico 86. Evento 5B_3FS, caso 2. Tensiones en la zona de influencia 230 kV. ....	79
Gráfico 87. Evento 5B_3FS, caso 2. Ángulo de Generadores Hidroeléctricos. ....	80
Gráfico 88. Evento 5B_3FS, caso 2. Ángulo de generadores Térmicos. ....	80
Gráfico 89. Evento 5B_3FS, caso 2. Frecuencia. ....	81
Gráfico 90. Evento 5B_3FS, caso 2. Flujo postfalla ....	82
Gráfico 91. Evento 5B_3FS, caso 2. Tensiones en la zona de influencia 115 kV. ....	83
Gráfico 92. Evento 5B_3FS, caso 2. Tensiones en la zona de influencia 230 kV. ....	83
Gráfico 93. Evento 5B_3FS, caso 2. Ángulo de Generadores Hidroeléctricos. ....	84
Gráfico 94. Evento 5B_3FS, caso 2. Ángulo de generadores Térmicos. ....	84
Gráfico 95. Evento 5B_3FS, caso 2. Frecuencia. ....	85
Gráfico 96. Evento 5B_3FS, caso 2. Flujo postfalla ....	86
Gráfico 97. Evento L0_3FS, caso 11-2026-Max-Sec. Tensiones en la zona de influencia 115 kV. ....	87
Gráfico 98. Evento L0_3FS, caso 11-2026-Max-Sec. Tensiones en la zona de influencia 230 kV. ....	87
Gráfico 99. Evento L0_3FS, caso 11-2026-Max-Sec. Ángulo de Generadores Hidroeléctricos. ....	88
Gráfico 100. Evento L0_3FS, caso 11-2026-Max-Sec. Ángulo de generadores Térmicos. ....	88
Gráfico 101. Evento L0_3FS, caso 11-2026-Max-Sec. Frecuencia. ....	89
Gráfico 102. Evento L0_3FS, caso 11-2026-Max-Sec. Flujo postfalla. ....	90
Gráfico 103. Evento L0_3FS, caso 11-2026-MaxSol-Sec. Tensiones en la zona de influencia 115 kV. ....	91
Gráfico 104. Evento L0_3FS, caso 11-2026-MaxSol-Sec. Tensiones en la zona de influencia 230 kV. ....	91
Gráfico 105. Evento L0_3FS, caso 11-2026-MaxSol-Sec. Ángulo de Generadores Hidroeléctricos. ....	92
Gráfico 106. Evento L0_3FS, caso 11-2026-MaxSol-Sec. Ángulo de generadores Térmicos. ....	92
Gráfico 107. Evento L0_3FS, caso 11-2026-MaxSol-Sec. Frecuencia. ....	93
Gráfico 108. Evento L0_3FS, caso 11-2026-MaxSol-Sec. Flujo postfalla ....	94
Gráfico 109. Evento L0_3FS, caso 12-2026-Max-Lluv. Tensiones en la zona de influencia 115 kV. ....	95
Gráfico 110. Evento L0_3FS, caso 12-2026-Max-Lluv. Tensiones en la zona de influencia 230 kV. ....	95
Gráfico 111. Evento L0_3FS, caso 12-2026-Max-Lluv. Ángulo de Generadores Hidroeléctricos. ....	96

Gráfico 112. Evento L0_3FS, caso 12-2026-Max-Lluv. Ángulo de generadores Térmicos.....	96
Gráfico 113. Evento L0_3FS, caso 12-2026-Max-Lluv. Frecuencia.....	97
Gráfico 114. Evento L0_3FS, caso 12-2026-Max-Lluv. Flujo postfalla .....	98
Gráfico 115. Evento L0_3FS, caso 12-2026-MaxSol-Lluv. Tensiones en la zona de influencia 115 kV. ....	99
Gráfico 116. Evento L0_3FS, caso 12-2026-MaxSol-Lluv. Tensiones en la zona de influencia 230 kV. ....	99
Gráfico 117. Evento L0_3FS, caso 12-2026-MaxSol-Lluv. Ángulo de Generadores Hidroeléctricos. ....	100
Gráfico 118. Evento L0_3FS, caso 12-2026-MaxSol-Lluv. Ángulo de generadores Térmicos.....	100
Gráfico 119. Evento L0_3FS, caso 12-2026-MaxSol-Lluv. Frecuencia.....	101
Gráfico 120. Evento L0_3FS, caso 12-2026-MaxSol-Lluv. Flujo postfalla.....	102
Gráfico 121. Evento L0_3FS, caso 19-2035-Max-Sec. Tensiones en la zona de influencia 115 kV. ....	103
Gráfico 122. Evento L0_3FS, caso 19-2035-Max-Sec. Tensiones en la zona de influencia 230 kV. ....	103
Gráfico 123. Evento L0_3FS, caso 19-2035-Max-Sec. Ángulo de Generadores Hidroeléctricos.....	104
Gráfico 124. Evento L0_3FS, caso 19-2035-Max-Sec. Ángulo de generadores Térmicos. ....	104
Gráfico 125. Evento L0_3FS, caso 19-2035-Max-Sec. Frecuencia.....	105
Gráfico 126. Evento L0_3FS, caso 19-2035-Max-Sec. Flujo postfalla.....	106
Gráfico 127. Evento L0_3FS, caso 19-2035-MaxSol-Sec. Tensiones en la zona de influencia 115 kV. ....	107
Gráfico 128. Evento L0_3FS, caso 19-2035-MaxSol-Sec. Tensiones en la zona de influencia 230 kV. ....	107
Gráfico 129. Evento L0_3FS, caso 19-2035-MaxSol-Sec. Ángulo de Generadores Hidroeléctricos.....	108
Gráfico 130. Evento L0_3FS, caso 19-2035-MaxSol-Sec. Ángulo de generadores Térmicos. ....	108
Gráfico 131. Evento L0_3FS, caso 19-2035-MaxSol-Sec. Frecuencia. ....	109
Gráfico 132. Evento L0_3FS, caso 19-2035-MaxSol-Sec. Flujo postfalla .....	110
Gráfico 133. Evento L0_3FS, caso 20-2035-Max-Lluv. Tensiones en la zona de influencia 115 kV.....	111
Gráfico 134. Evento L0_3FS, caso 20-2035-Max-Lluv. Tensiones en la zona de influencia 230 kV.....	111
Gráfico 135. Evento L0_3FS, caso 20-2035-Max-Lluv. Ángulo de Generadores Hidroeléctricos. ....	112
Gráfico 136. Evento L0_3FS, caso 20-2035-Max-Lluv. Ángulo de generadores Térmicos.....	112
Gráfico 137. Evento L0_3FS, caso 20-2035-Max-Lluv. Frecuencia.....	113
Gráfico 138. Evento L0_3FS, caso 20-2035-Max-Lluv. Flujo postfalla .....	114
Gráfico 139. Evento L0_3FS, caso 20-2035-MaxSol-Lluv. Tensiones en la zona de influencia 115 kV. ....	115
Gráfico 140. Evento L0_3FS, caso 20-2035-MaxSol-Lluv. Tensiones en la zona de influencia 230 kV. ....	115
Gráfico 141. Evento L0_3FS, caso 20-2035-MaxSol-Lluv. Ángulo de Generadores Hidroeléctricos. ....	116
Gráfico 142. Evento L0_3FS, caso 20-2035-MaxSol-Lluv. Ángulo de generadores Térmicos.....	116
Gráfico 143. Evento L0_3FS, caso 20-2035-MaxSol-Lluv. Frecuencia.....	117
Gráfico 144. Evento L0_3FS, caso 20-2035-MaxSol-Lluv. Flujo postfalla.....	118
Gráfico 145. Evento L1_3FS, caso 11-2026-Max-Sec. Tensiones en la zona de influencia 115 kV. ....	119
Gráfico 146. Evento L1_3FS, caso 11-2026-Max-Sec. Tensiones en la zona de influencia 230 kV. ....	119
Gráfico 147. Evento L1_3FS, caso 11-2026-Max-Sec. Ángulo de Generadores Hidroeléctricos.....	120
Gráfico 148. Evento L1_3FS, caso 11-2026-Max-Sec. Ángulo de generadores Térmicos. ....	120

Gráfico 149. Evento L1_3FS, caso 11-2026-Max-Sec. Frecuencia.....	121
Gráfico 150. Evento L1_3FS, caso 11-2026-Max-Sec. Flujo postfalla.....	122
Gráfico 151. Evento L1_3FS, caso 11-2026-MaxSol-Sec. Tensiones en la zona de influencia 115 kV. ....	123
Gráfico 152. Evento L1_3FS, caso 11-2026-MaxSol-Sec. Tensiones en la zona de influencia 230 kV. ....	123
Gráfico 153. Evento L1_3FS, caso 11-2026-MaxSol-Sec. Ángulo de Generadores Hidroeléctricos.....	124
Gráfico 154. Evento L1_3FS, caso 11-2026-MaxSol-Sec. Ángulo de generadores Térmicos. ....	124
Gráfico 155. Evento L1_3FS, caso 11-2026-MaxSol-Sec. Frecuencia. ....	125
Gráfico 156. Evento L1_3FS, caso 11-2026-MaxSol-Sec. Flujo postfalla .....	126
Gráfico 157. Evento L1_3FS, caso 12-2026-Max-Lluv. Tensiones en la zona de influencia 115 kV.....	127
Gráfico 158. Evento L1_3FS, caso 12-2026-Max-Lluv. Tensiones en la zona de influencia 230 kV.....	127
Gráfico 159. Evento L1_3FS, caso 12-2026-Max-Lluv. Ángulo de Generadores Hidroeléctricos. ....	128
Gráfico 160. Evento L1_3FS, caso 12-2026-Max-Lluv. Ángulo de generadores Térmicos.....	128
Gráfico 161. Evento L1_3FS, caso 12-2026-Max-Lluv. Frecuencia. ....	129
Gráfico 162. Evento L1_3FS, caso 12-2026-Max-Lluv. Flujo postfalla .....	130
Gráfico 163. Evento L1_3FS, caso 12-2026-MaxSol-Lluv. Tensiones en la zona de influencia 115 kV. ....	131
Gráfico 164. Evento L1_3FS, caso 12-2026-MaxSol-Lluv. Tensiones en la zona de influencia 230 kV. ....	131
Gráfico 165. Evento L1_3FS, caso 12-2026-MaxSol-Lluv. Ángulo de Generadores Hidroeléctricos. ....	132
Gráfico 166. Evento L1_3FS, caso 12-2026-MaxSol-Lluv. Ángulo de generadores Térmicos.....	132
Gráfico 167. Evento L1_3FS, caso 12-2026-MaxSol-Lluv. Frecuencia.....	133
Gráfico 168. Evento L1_3FS, caso 12-2026-MaxSol-Lluv. Flujo postfalla.....	134
Gráfico 169. Evento L1_3FS, caso 19-2035-Max-Sec. Tensiones en la zona de influencia 115 kV. ....	135
Gráfico 170. Evento L1_3FS, caso 19-2035-Max-Sec. Tensiones en la zona de influencia 230 kV. ....	135
Gráfico 171. Evento L1_3FS, caso 19-2035-Max-Sec. Ángulo de Generadores Hidroeléctricos.....	136
Gráfico 172. Evento L1_3FS, caso 19-2035-Max-Sec. Ángulo de generadores Térmicos. ....	136
Gráfico 173. Evento L1_3FS, caso 19-2035-Max-Sec. Frecuencia.....	137
Gráfico 174. Evento L1_3FS, caso 19-2035-Max-Sec. Flujo postfalla.....	138
Gráfico 175. Evento L1_3FS, caso 19-2035-MaxSol-Sec. Tensiones en la zona de influencia 115 kV. ....	139
Gráfico 176. Evento L1_3FS, caso 19-2035-MaxSol-Sec. Tensiones en la zona de influencia 230 kV. ....	139
Gráfico 177. Evento L1_3FS, caso 19-2035-MaxSol-Sec. Ángulo de Generadores Hidroeléctricos.....	140
Gráfico 178. Evento L1_3FS, caso 19-2035-MaxSol-Sec. Ángulo de generadores Térmicos. ....	140
Gráfico 179. Evento L1_3FS, caso 19-2035-MaxSol-Sec. Frecuencia. ....	141
Gráfico 180. Evento L1_3FS, caso 19-2035-MaxSol-Sec. Flujo postfalla .....	142
Gráfico 181. Evento L1_3FS, caso 20-2035-Max-Lluv. Tensiones en la zona de influencia 115 kV.....	143
Gráfico 182. Evento L1_3FS, caso 20-2035-Max-Lluv. Tensiones en la zona de influencia 230 kV.....	143
Gráfico 183. Evento L1_3FS, caso 20-2035-Max-Lluv. Ángulo de Generadores Hidroeléctricos. ....	144
Gráfico 184. Evento L1_3FS, caso 20-2035-Max-Lluv. Ángulo de generadores Térmicos.....	144
Gráfico 185. Evento L1_3FS, caso 20-2035-Max-Lluv. Frecuencia. ....	145

Gráfico 186. Evento L1_3FS, caso 20-2035-Max-Lluv. Flujo postfalla .....	146
Gráfico 187. Evento L1_3FS, caso 20-2035-MaxSol-Lluv. Tensiones en la zona de influencia 115 kV. ....	147
Gráfico 188. Evento L1_3FS, caso 20-2035-MaxSol-Lluv. Tensiones en la zona de influencia 230 kV. ....	147
Gráfico 189. Evento L1_3FS, caso 20-2035-MaxSol-Lluv. Ángulo de Generadores Hidroeléctricos. ....	148
Gráfico 190. Evento L1_3FS, caso 20-2035-MaxSol-Lluv. Ángulo de generadores Térmicos.....	148
Gráfico 191. Evento L1_3FS, caso 20-2035-MaxSol-Lluv. Frecuencia.....	149
Gráfico 192. Evento L1_3FS, caso 20-2035-MaxSol-Lluv. Flujo postfalla.....	150
Gráfico 193. Evento L2_3FS, caso 11-2026-Max-Sec. Tensiones en la zona de influencia 115 kV. ....	151
Gráfico 194. Evento L2_3FS, caso 11-2026-Max-Sec. Tensiones en la zona de influencia 230 kV. ....	151
Gráfico 195. Evento L2_3FS, caso 11-2026-Max-Sec. Ángulo de Generadores Hidroeléctricos.....	152
Gráfico 196. Evento L2_3FS, caso 11-2026-Max-Sec. Ángulo de generadores Térmicos. ....	152
Gráfico 197. Evento L2_3FS, caso 11-2026-Max-Sec. Frecuencia.....	153
Gráfico 198. Evento L2_3FS, caso 11-2026-Max-Sec. Flujo postfalla.....	154
Gráfico 199. Evento L2_3FS, caso 11-2026-MaxSol-Sec. Tensiones en la zona de influencia 115 kV. ....	155
Gráfico 200. Evento L2_3FS, caso 11-2026-MaxSol-Sec. Tensiones en la zona de influencia 230 kV. ....	155
Gráfico 201. Evento L2_3FS, caso 11-2026-MaxSol-Sec. Ángulo de Generadores Hidroeléctricos.....	156
Gráfico 202. Evento L2_3FS, caso 11-2026-MaxSol-Sec. Ángulo de generadores Térmicos. ....	156
Gráfico 203. Evento L2_3FS, caso 11-2026-MaxSol-Sec. Frecuencia. ....	157
Gráfico 204. Evento L2_3FS, caso 11-2026-MaxSol-Sec. Flujo postfalla .....	158
Gráfico 205. Evento L2_3FS, caso 12-2026-Max-Lluv. Tensiones en la zona de influencia 115 kV.....	159
Gráfico 206. Evento L2_3FS, caso 12-2026-Max-Lluv. Tensiones en la zona de influencia 230 kV.....	159
Gráfico 207. Evento L2_3FS, caso 12-2026-Max-Lluv. Ángulo de Generadores Hidroeléctricos. ....	160
Gráfico 208. Evento L2_3FS, caso 12-2026-Max-Lluv. Ángulo de generadores Térmicos.....	160
Gráfico 209. Evento L2_3FS, caso 12-2026-Max-Lluv. Frecuencia. ....	161
Gráfico 210. Evento L2_3FS, caso 12-2026-Max-Lluv. Flujo postfalla .....	162
Gráfico 211. Evento L2_3FS, caso 12-2026-MaxSol-Lluv. Tensiones en la zona de influencia 115 kV. ....	163
Gráfico 212. Evento L2_3FS, caso 12-2026-MaxSol-Lluv. Tensiones en la zona de influencia 230 kV. ....	163
Gráfico 213. Evento L2_3FS, caso 12-2026-MaxSol-Lluv. Ángulo de Generadores Hidroeléctricos. ....	164
Gráfico 214. Evento L2_3FS, caso 12-2026-MaxSol-Lluv. Ángulo de generadores Térmicos.....	164
Gráfico 215. Evento L2_3FS, caso 12-2026-MaxSol-Lluv. Frecuencia.....	165
Gráfico 216. Evento L2_3FS, caso 12-2026-MaxSol-Lluv. Flujo postfalla.....	166
Gráfico 217. Evento L2_3FS, caso 19-2035-Max-Sec. Tensiones en la zona de influencia 115 kV. ....	167
Gráfico 218. Evento L2_3FS, caso 19-2035-Max-Sec. Tensiones en la zona de influencia 230 kV. ....	167
Gráfico 219. Evento L2_3FS, caso 19-2035-Max-Sec. Ángulo de Generadores Hidroeléctricos.....	168
Gráfico 220. Evento L2_3FS, caso 19-2035-Max-Sec. Ángulo de generadores Térmicos. ....	168
Gráfico 221. Evento L2_3FS, caso 19-2035-Max-Sec. Frecuencia.....	169
Gráfico 222. Evento L2_3FS, caso 19-2035-Max-Sec. Flujo postfalla.....	170

Gráfico 223. Evento L2_3FS, caso 19-2035-MaxSol-Sec. Tensiones en la zona de influencia 115 kV. ....	171
Gráfico 224. Evento L2_3FS, caso 19-2035-MaxSol-Sec. Tensiones en la zona de influencia 230 kV. ....	171
Gráfico 225. Evento L2_3FS, caso 19-2035-MaxSol-Sec. Ángulo de Generadores Hidroeléctricos. ....	172
Gráfico 226. Evento L2_3FS, caso 19-2035-MaxSol-Sec. Ángulo de generadores Térmicos. ....	172
Gráfico 227. Evento L2_3FS, caso 19-2035-MaxSol-Sec. Frecuencia. ....	173
Gráfico 228. Evento L2_3FS, caso 19-2035-MaxSol-Sec. Flujo postfalla ....	174
Gráfico 229. Evento L2_3FS, caso 20-2035-Max-Lluv. Tensiones en la zona de influencia 115 kV. ....	175
Gráfico 230. Evento L2_3FS, caso 20-2035-Max-Lluv. Tensiones en la zona de influencia 230 kV. ....	175
Gráfico 231. Evento L2_3FS, caso 20-2035-Max-Lluv. Ángulo de Generadores Hidroeléctricos. ....	176
Gráfico 232. Evento L2_3FS, caso 20-2035-Max-Lluv. Ángulo de generadores Térmicos. ....	176
Gráfico 233. Evento L2_3FS, caso 20-2035-Max-Lluv. Frecuencia. ....	177
Gráfico 234. Evento L2_3FS, caso 20-2035-Max-Lluv. Flujo postfalla ....	178
Gráfico 235. Evento L2_3FS, caso 20-2035-MaxSol-Lluv. Tensiones en la zona de influencia 115 kV. ....	179
Gráfico 236. Evento L2_3FS, caso 20-2035-MaxSol-Lluv. Tensiones en la zona de influencia 230 kV. ....	179
Gráfico 237. Evento L2_3FS, caso 20-2035-MaxSol-Lluv. Ángulo de Generadores Hidroeléctricos. ....	180
Gráfico 238. Evento L2_3FS, caso 20-2035-MaxSol-Lluv. Ángulo de generadores Térmicos. ....	180
Gráfico 239. Evento L2_3FS, caso 20-2035-MaxSol-Lluv. Frecuencia. ....	181
Gráfico 240. Evento L2_3FS, caso 20-2035-MaxSol-Lluv. Flujo postfalla ....	182
Gráfico 241. Evento L3_3FS, caso 11-2026-Max-Sec. Tensiones en la zona de influencia 115 kV. ....	183
Gráfico 242. Evento L3_3FS, caso 11-2026-Max-Sec. Tensiones en la zona de influencia 230 kV. ....	183
Gráfico 243. Evento L3_3FS, caso 11-2026-Max-Sec. Ángulo de Generadores Hidroeléctricos. ....	184
Gráfico 244. Evento L3_3FS, caso 11-2026-Max-Sec. Ángulo de generadores Térmicos. ....	184
Gráfico 245. Evento L3_3FS, caso 11-2026-Max-Sec. Frecuencia. ....	185
Gráfico 246. Evento L3_3FS, caso 11-2026-Max-Sec. Flujo postfalla. ....	186
Gráfico 247. Evento L3_3FS, caso 11-2026-MaxSol-Sec. Tensiones en la zona de influencia 115 kV. ....	187
Gráfico 248. Evento L3_3FS, caso 11-2026-MaxSol-Sec. Tensiones en la zona de influencia 230 kV. ....	187
Gráfico 249. Evento L3_3FS, caso 11-2026-MaxSol-Sec. Ángulo de Generadores Hidroeléctricos. ....	188
Gráfico 250. Evento L3_3FS, caso 11-2026-MaxSol-Sec. Ángulo de generadores Térmicos. ....	188
Gráfico 251. Evento L3_3FS, caso 11-2026-MaxSol-Sec. Frecuencia. ....	189
Gráfico 252. Evento L3_3FS, caso 11-2026-MaxSol-Sec. Flujo postfalla ....	190
Gráfico 253. Evento L3_3FS, caso 12-2026-Max-Lluv. Tensiones en la zona de influencia 115 kV. ....	191
Gráfico 254. Evento L3_3FS, caso 12-2026-Max-Lluv. Tensiones en la zona de influencia 230 kV. ....	191
Gráfico 255. Evento L3_3FS, caso 12-2026-Max-Lluv. Ángulo de Generadores Hidroeléctricos. ....	192
Gráfico 256. Evento L3_3FS, caso 12-2026-Max-Lluv. Ángulo de generadores Térmicos. ....	192
Gráfico 257. Evento L3_3FS, caso 12-2026-Max-Lluv. Frecuencia. ....	193
Gráfico 258. Evento L3_3FS, caso 12-2026-Max-Lluv. Flujo postfalla ....	194
Gráfico 259. Evento L3_3FS, caso 12-2026-MaxSol-Lluv. Tensiones en la zona de influencia 115 kV. ....	195



Gráfico 260. Evento L3_3FS, caso 12-2026-MaxSol-Lluv. Tensiones en la zona de influencia 230 kV. ....	195
Gráfico 261. Evento L3_3FS, caso 12-2026-MaxSol-Lluv. Ángulo de Generadores Hidroeléctricos. ....	196
Gráfico 262. Evento L3_3FS, caso 12-2026-MaxSol-Lluv. Ángulo de generadores Térmicos.....	196
Gráfico 263. Evento L3_3FS, caso 12-2026-MaxSol-Lluv. Frecuencia.....	197
Gráfico 264. Evento L3_3FS, caso 12-2026-MaxSol-Lluv. Flujo postfalla.....	198
Gráfico 265. Evento L3_3FS, caso 19-2035-Max-Sec. Tensiones en la zona de influencia 115 kV. ....	199
Gráfico 266. Evento L3_3FS, caso 19-2035-Max-Sec. Tensiones en la zona de influencia 230 kV. ....	199
Gráfico 267. Evento L3_3FS, caso 19-2035-Max-Sec. Ángulo de Generadores Hidroeléctricos.....	200
Gráfico 268. Evento L3_3FS, caso 19-2035-Max-Sec. Ángulo de generadores Térmicos. ....	200
Gráfico 269. Evento L3_3FS, caso 19-2035-Max-Sec. Frecuencia.....	201
Gráfico 270. Evento L3_3FS, caso 19-2035-Max-Sec. Flujo postfalla.....	202
Gráfico 271. Evento L3_3FS, caso 19-2035-MaxSol-Sec. Tensiones en la zona de influencia 115 kV.....	203
Gráfico 272. Evento L3_3FS, caso 19-2035-MaxSol-Sec. Tensiones en la zona de influencia 230 kV.....	203
Gráfico 273. Evento L3_3FS, caso 19-2035-MaxSol-Sec. Ángulo de Generadores Hidroeléctricos.....	204
Gráfico 274. Evento L3_3FS, caso 19-2035-MaxSol-Sec. Ángulo de generadores Térmicos. ....	204
Gráfico 275. Evento L3_3FS, caso 19-2035-MaxSol-Sec. Frecuencia. ....	205
Gráfico 276. Evento L3_3FS, caso 19-2035-MaxSol-Sec. Flujo postfalla .....	206
Gráfico 277. Evento L3_3FS, caso 20-2035-Max-Lluv. Tensiones en la zona de influencia 115 kV.....	207
Gráfico 278. Evento L3_3FS, caso 20-2035-Max-Lluv. Tensiones en la zona de influencia 230 kV.....	207
Gráfico 279. Evento L3_3FS, caso 20-2035-Max-Lluv. Ángulo de Generadores Hidroeléctricos. ....	208
Gráfico 280. Evento L3_3FS, caso 20-2035-Max-Lluv. Ángulo de generadores Térmicos.....	208
Gráfico 281. Evento L3_3FS, caso 20-2035-Max-Lluv. Frecuencia. ....	209
Gráfico 282. Evento L3_3FS, caso 20-2035-Max-Lluv. Flujo postfalla .....	210
Gráfico 283. Evento L3_3FS, caso 20-2035-MaxSol-Lluv. Tensiones en la zona de influencia 115 kV. ....	211
Gráfico 284. Evento L3_3FS, caso 20-2035-MaxSol-Lluv. Tensiones en la zona de influencia 230 kV. ....	211
Gráfico 285. Evento L3_3FS, caso 20-2035-MaxSol-Lluv. Ángulo de Generadores Hidroeléctricos. ....	212
Gráfico 286. Evento L3_3FS, caso 20-2035-MaxSol-Lluv. Ángulo de generadores Térmicos.....	212
Gráfico 287. Evento L3_3FS, caso 20-2035-MaxSol-Lluv. Frecuencia.....	213
Gráfico 288. Evento L3_3FS, caso 20-2035-MaxSol-Lluv. Flujo postfalla.....	214
Gráfico 289. Evento L4_3FS, caso 11-2026-Max-Sec. Tensiones en la zona de influencia 115 kV. ....	215
Gráfico 290. Evento L4_3FS, caso 11-2026-Max-Sec. Tensiones en la zona de influencia 230 kV. ....	215
Gráfico 291. Evento L4_3FS, caso 11-2026-Max-Sec. Ángulo de Generadores Hidroeléctricos.....	216
Gráfico 292. Evento L4_3FS, caso 11-2026-Max-Sec. Ángulo de generadores Térmicos. ....	216
Gráfico 293. Evento L4_3FS, caso 11-2026-Max-Sec. Frecuencia.....	217
Gráfico 294. Evento L4_3FS, caso 11-2026-Max-Sec. Flujo postfalla.....	218
Gráfico 295. Evento L4_3FS, caso 11-2026-MaxSol-Sec. Tensiones en la zona de influencia 115 kV.....	219
Gráfico 296. Evento L4_3FS, caso 11-2026-MaxSol-Sec. Tensiones en la zona de influencia 230 kV.....	219

Gráfico 297. Evento L4_3FS, caso 11-2026-MaxSol-Sec. Ángulo de Generadores Hidroeléctricos.....	220
Gráfico 298. Evento L4_3FS, caso 11-2026-MaxSol-Sec. Ángulo de generadores Térmicos. ....	220
Gráfico 299. Evento L4_3FS, caso 11-2026-MaxSol-Sec. Frecuencia. ....	221
Gráfico 300. Evento L4_3FS, caso 11-2026-MaxSol-Sec. Flujo postfalla .....	222
Gráfico 301. Evento L4_3FS, caso 12-2026-Max-Lluv. Tensiones en la zona de influencia 115 kV.....	223
Gráfico 302. Evento L4_3FS, caso 12-2026-Max-Lluv. Tensiones en la zona de influencia 230 kV.....	223
Gráfico 303. Evento L4_3FS, caso 12-2026-Max-Lluv. Ángulo de Generadores Hidroeléctricos. ....	224
Gráfico 304. Evento L4_3FS, caso 12-2026-Max-Lluv. Ángulo de generadores Térmicos.....	224
Gráfico 305. Evento L4_3FS, caso 12-2026-Max-Lluv. Frecuencia. ....	225
Gráfico 306. Evento L4_3FS, caso 12-2026-Max-Lluv. Flujo postfalla .....	226
Gráfico 307. Evento L4_3FS, caso 12-2026-MaxSol-Lluv. Tensiones en la zona de influencia 115 kV. ....	227
Gráfico 308. Evento L4_3FS, caso 12-2026-MaxSol-Lluv. Tensiones en la zona de influencia 230 kV. ....	227
Gráfico 309. Evento L4_3FS, caso 12-2026-MaxSol-Lluv. Ángulo de Generadores Hidroeléctricos. ....	228
Gráfico 310. Evento L4_3FS, caso 12-2026-MaxSol-Lluv. Ángulo de generadores Térmicos.....	228
Gráfico 311. Evento L4_3FS, caso 12-2026-MaxSol-Lluv. Frecuencia.....	229
Gráfico 312. Evento L4_3FS, caso 12-2026-MaxSol-Lluv. Flujo postfalla.....	230
Gráfico 313. Evento L4_3FS, caso 19-2035-Max-Sec. Tensiones en la zona de influencia 115 kV. ....	231
Gráfico 314. Evento L4_3FS, caso 19-2035-Max-Sec. Tensiones en la zona de influencia 230 kV. ....	231
Gráfico 315. Evento L4_3FS, caso 19-2035-Max-Sec. Ángulo de Generadores Hidroeléctricos.....	232
Gráfico 316. Evento L4_3FS, caso 19-2035-Max-Sec. Ángulo de generadores Térmicos. ....	232
Gráfico 317. Evento L4_3FS, caso 19-2035-Max-Sec. Frecuencia.....	233
Gráfico 318. Evento L4_3FS, caso 19-2035-Max-Sec. Flujo postfalla.....	234
Gráfico 319. Evento L4_3FS, caso 19-2035-MaxSol-Sec. Tensiones en la zona de influencia 115 kV.....	235
Gráfico 320. Evento L4_3FS, caso 19-2035-MaxSol-Sec. Tensiones en la zona de influencia 230 kV.....	235
Gráfico 321. Evento L4_3FS, caso 19-2035-MaxSol-Sec. Ángulo de Generadores Hidroeléctricos.....	236
Gráfico 322. Evento L4_3FS, caso 19-2035-MaxSol-Sec. Ángulo de generadores Térmicos. ....	236
Gráfico 323. Evento L4_3FS, caso 19-2035-MaxSol-Sec. Frecuencia. ....	237
Gráfico 324. Evento L4_3FS, caso 19-2035-MaxSol-Sec. Flujo postfalla .....	238
Gráfico 325. Evento L4_3FS, caso 20-2035-Max-Lluv. Tensiones en la zona de influencia 115 kV.....	239
Gráfico 326. Evento L4_3FS, caso 20-2035-Max-Lluv. Tensiones en la zona de influencia 230 kV.....	239
Gráfico 327. Evento L4_3FS, caso 20-2035-Max-Lluv. Ángulo de Generadores Hidroeléctricos. ....	240
Gráfico 328. Evento L4_3FS, caso 20-2035-Max-Lluv. Ángulo de generadores Térmicos.....	240
Gráfico 329. Evento L4_3FS, caso 20-2035-Max-Lluv. Frecuencia. ....	241
Gráfico 330. Evento L4_3FS, caso 20-2035-Max-Lluv. Flujo postfalla .....	242
Gráfico 331. Evento L4_3FS, caso 20-2035-MaxSol-Lluv. Tensiones en la zona de influencia 115 kV. ....	243
Gráfico 332. Evento L4_3FS, caso 20-2035-MaxSol-Lluv. Tensiones en la zona de influencia 230 kV. ....	243
Gráfico 333. Evento L4_3FS, caso 20-2035-MaxSol-Lluv. Ángulo de Generadores Hidroeléctricos. ....	244

Gráfico 334. Evento L4_3FS, caso 20-2035-MaxSol-Lluv. Ángulo de generadores Térmicos.....	244
Gráfico 335. Evento L4_3FS, caso 20-2035-MaxSol-Lluv. Frecuencia.....	245
Gráfico 336. Evento L4_3FS, caso 20-2035-MaxSol-Lluv. Flujo postfalla.....	246
Gráfico 337. Evento L5_3FS, caso 11-2026-Max-Sec. Tensiones en la zona de influencia 115 kV. ....	247
Gráfico 338. Evento L5_3FS, caso 11-2026-Max-Sec. Tensiones en la zona de influencia 230 kV. ....	247
Gráfico 339. Evento L5_3FS, caso 11-2026-Max-Sec. Ángulo de Generadores Hidroeléctricos.....	248
Gráfico 340. Evento L5_3FS, caso 11-2026-Max-Sec. Ángulo de generadores Térmicos. ....	248
Gráfico 341. Evento L5_3FS, caso 11-2026-Max-Sec. Frecuencia.....	249
Gráfico 342. Evento L5_3FS, caso 11-2026-Max-Sec. Flujo postfalla.....	250
Gráfico 343. Evento L5_3FS, caso 11-2026-MaxSol-Sec. Tensiones en la zona de influencia 115 kV. ....	251
Gráfico 344. Evento L5_3FS, caso 11-2026-MaxSol-Sec. Tensiones en la zona de influencia 230 kV. ....	251
Gráfico 345. Evento L5_3FS, caso 11-2026-MaxSol-Sec. Ángulo de Generadores Hidroeléctricos.....	252
Gráfico 346. Evento L5_3FS, caso 11-2026-MaxSol-Sec. Ángulo de generadores Térmicos. ....	252
Gráfico 347. Evento L5_3FS, caso 11-2026-MaxSol-Sec. Frecuencia. ....	253
Gráfico 348. Evento L5_3FS, caso 11-2026-MaxSol-Sec. Flujo postfalla .....	254
Gráfico 349. Evento L5_3FS, caso 12-2026-Max-Lluv. Tensiones en la zona de influencia 115 kV.....	255
Gráfico 350. Evento L5_3FS, caso 12-2026-Max-Lluv. Tensiones en la zona de influencia 230 kV.....	255
Gráfico 351. Evento L5_3FS, caso 12-2026-Max-Lluv. Ángulo de Generadores Hidroeléctricos. ....	256
Gráfico 352. Evento L5_3FS, caso 12-2026-Max-Lluv. Ángulo de generadores Térmicos.....	256
Gráfico 353. Evento L5_3FS, caso 12-2026-Max-Lluv. Frecuencia.....	257
Gráfico 354. Evento L5_3FS, caso 12-2026-Max-Lluv. Flujo postfalla .....	258
Gráfico 355. Evento L5_3FS, caso 12-2026-MaxSol-Lluv. Tensiones en la zona de influencia 115 kV. ....	259
Gráfico 356. Evento L5_3FS, caso 12-2026-MaxSol-Lluv. Tensiones en la zona de influencia 230 kV. ....	259
Gráfico 357. Evento L5_3FS, caso 12-2026-MaxSol-Lluv. Ángulo de Generadores Hidroeléctricos. ....	260
Gráfico 358. Evento L5_3FS, caso 12-2026-MaxSol-Lluv. Ángulo de generadores Térmicos.....	260
Gráfico 359. Evento L5_3FS, caso 12-2026-MaxSol-Lluv. Frecuencia.....	261
Gráfico 360. Evento L5_3FS, caso 12-2026-MaxSol-Lluv. Flujo postfalla.....	262
Gráfico 361. Evento L5_3FS, caso 19-2035-Max-Sec. Tensiones en la zona de influencia 115 kV. ....	263
Gráfico 362. Evento L5_3FS, caso 19-2035-Max-Sec. Tensiones en la zona de influencia 230 kV. ....	263
Gráfico 363. Evento L5_3FS, caso 19-2035-Max-Sec. Ángulo de Generadores Hidroeléctricos.....	264
Gráfico 364. Evento L5_3FS, caso 19-2035-Max-Sec. Ángulo de generadores Térmicos. ....	264
Gráfico 365. Evento L5_3FS, caso 19-2035-Max-Sec. Frecuencia.....	265
Gráfico 366. Evento L5_3FS, caso 19-2035-Max-Sec. Flujo postfalla.....	266
Gráfico 367. Evento L5_3FS, caso 19-2035-MaxSol-Sec. Tensiones en la zona de influencia 115 kV. ....	267
Gráfico 368. Evento L5_3FS, caso 19-2035-MaxSol-Sec. Tensiones en la zona de influencia 230 kV. ....	267
Gráfico 369. Evento L5_3FS, caso 19-2035-MaxSol-Sec. Ángulo de Generadores Hidroeléctricos.....	268
Gráfico 370. Evento L5_3FS, caso 19-2035-MaxSol-Sec. Ángulo de generadores Térmicos. ....	268

Gráfico 371. Evento L5_3FS, caso 19-2035-MaxSol-Sec. Frecuencia. ....	269
Gráfico 372. Evento L5_3FS, caso 19-2035-MaxSol-Sec. Flujo postfalla .....	270
Gráfico 373. Evento L5_3FS, caso 20-2035-Max-Lluv. Tensiones en la zona de influencia 115 kV.....	271
Gráfico 374. Evento L5_3FS, caso 20-2035-Max-Lluv. Tensiones en la zona de influencia 230 kV.....	271
Gráfico 375. Evento L5_3FS, caso 20-2035-Max-Lluv. Ángulo de Generadores Hidroeléctricos. ....	272
Gráfico 376. Evento L5_3FS, caso 20-2035-Max-Lluv. Ángulo de generadores Térmicos.....	272
Gráfico 377. Evento L5_3FS, caso 20-2035-Max-Lluv. Frecuencia. ....	273
Gráfico 378. Evento L5_3FS, caso 20-2035-Max-Lluv. Flujo postfalla .....	274
Gráfico 379. Evento L5_3FS, caso 20-2035-MaxSol-Lluv. Tensiones en la zona de influencia 115 kV. ....	275
Gráfico 380. Evento L5_3FS, caso 20-2035-MaxSol-Lluv. Tensiones en la zona de influencia 230 kV. ....	275
Gráfico 381. Evento L5_3FS, caso 20-2035-MaxSol-Lluv. Ángulo de Generadores Hidroeléctricos. ....	276
Gráfico 382. Evento L5_3FS, caso 20-2035-MaxSol-Lluv. Ángulo de generadores Térmicos.....	276
Gráfico 383. Evento L5_3FS, caso 20-2035-MaxSol-Lluv. Frecuencia.....	277
Gráfico 384. Evento L5_3FS, caso 20-2035-MaxSol-Lluv. Flujo postfalla.....	278
Gráfico 385. Evento L8_3FS, caso 11-2026-Max-Sec. Tensiones en la zona de influencia 115 kV. ....	279
Gráfico 386. Evento L8_3FS, caso 11-2026-Max-Sec. Tensiones en la zona de influencia 230 kV. ....	279
Gráfico 387. Evento L8_3FS, caso 11-2026-Max-Sec. Ángulo de Generadores Hidroeléctricos.....	280
Gráfico 388. Evento L8_3FS, caso 11-2026-Max-Sec. Ángulo de generadores Térmicos. ....	280
Gráfico 389. Evento L8_3FS, caso 11-2026-Max-Sec. Frecuencia.....	281
Gráfico 390. Evento L8_3FS, caso 11-2026-Max-Sec. Flujo postfalla.....	282
Gráfico 391. Evento L8_3FS, caso 11-2026-MaxSol-Sec. Tensiones en la zona de influencia 115 kV. ....	283
Gráfico 392. Evento L8_3FS, caso 11-2026-MaxSol-Sec. Tensiones en la zona de influencia 230 kV. ....	283
Gráfico 393. Evento L8_3FS, caso 11-2026-MaxSol-Sec. Ángulo de Generadores Hidroeléctricos.....	284
Gráfico 394. Evento L8_3FS, caso 11-2026-MaxSol-Sec. Ángulo de generadores Térmicos. ....	284
Gráfico 395. Evento L8_3FS, caso 11-2026-MaxSol-Sec. Frecuencia. ....	285
Gráfico 396. Evento L8_3FS, caso 11-2026-MaxSol-Sec. Flujo postfalla .....	286
Gráfico 397. Evento L8_3FS, caso 12-2026-Max-Lluv. Tensiones en la zona de influencia 115 kV.....	287
Gráfico 398. Evento L8_3FS, caso 12-2026-Max-Lluv. Tensiones en la zona de influencia 230 kV.....	287
Gráfico 399. Evento L8_3FS, caso 12-2026-Max-Lluv. Ángulo de Generadores Hidroeléctricos. ....	288
Gráfico 400. Evento L8_3FS, caso 12-2026-Max-Lluv. Ángulo de generadores Térmicos.....	288
Gráfico 401. Evento L8_3FS, caso 12-2026-Max-Lluv. Frecuencia. ....	289
Gráfico 402. Evento L8_3FS, caso 12-2026-Max-Lluv. Flujo postfalla .....	290
Gráfico 403. Evento L8_3FS, caso 12-2026-MaxSol-Lluv. Tensiones en la zona de influencia 115 kV. ....	291
Gráfico 404. Evento L8_3FS, caso 12-2026-MaxSol-Lluv. Tensiones en la zona de influencia 230 kV. ....	291
Gráfico 405. Evento L8_3FS, caso 12-2026-MaxSol-Lluv. Ángulo de Generadores Hidroeléctricos. ....	292
Gráfico 406. Evento L8_3FS, caso 12-2026-MaxSol-Lluv. Ángulo de generadores Térmicos.....	292
Gráfico 407. Evento L8_3FS, caso 12-2026-MaxSol-Lluv. Frecuencia.....	293

Gráfico 408. Evento L8_3FS, caso 12-2026-MaxSol-Lluv. Flujo postfalla.....	294
Gráfico 409. Evento L8_3FS, caso 19-2035-Max-Sec. Tensiones en la zona de influencia 115 kV. ....	295
Gráfico 410. Evento L8_3FS, caso 19-2035-Max-Sec. Tensiones en la zona de influencia 230 kV. ....	295
Gráfico 411. Evento L8_3FS, caso 19-2035-Max-Sec. Ángulo de Generadores Hidroeléctricos.....	296
Gráfico 412. Evento L8_3FS, caso 19-2035-Max-Sec. Ángulo de generadores Térmicos. ....	296
Gráfico 413. Evento L8_3FS, caso 19-2035-Max-Sec. Frecuencia.....	297
Gráfico 414. Evento L8_3FS, caso 19-2035-Max-Sec. Flujo postfalla.....	298
Gráfico 415. Evento L8_3FS, caso 19-2035-MaxSol-Sec. Tensiones en la zona de influencia 115 kV. ....	299
Gráfico 416. Evento L8_3FS, caso 19-2035-MaxSol-Sec. Tensiones en la zona de influencia 230 kV. ....	299
Gráfico 417. Evento L8_3FS, caso 19-2035-MaxSol-Sec. Ángulo de Generadores Hidroeléctricos.....	300
Gráfico 418. Evento L8_3FS, caso 19-2035-MaxSol-Sec. Ángulo de generadores Térmicos. ....	300
Gráfico 419. Evento L8_3FS, caso 19-2035-MaxSol-Sec. Frecuencia. ....	301
Gráfico 420. Evento L8_3FS, caso 19-2035-MaxSol-Sec. Flujo postfalla .....	302
Gráfico 421. Evento L8_3FS, caso 20-2035-Max-Lluv. Tensiones en la zona de influencia 115 kV.....	303
Gráfico 422. Evento L8_3FS, caso 20-2035-Max-Lluv. Tensiones en la zona de influencia 230 kV.....	303
Gráfico 423. Evento L8_3FS, caso 20-2035-Max-Lluv. Ángulo de Generadores Hidroeléctricos. ....	304
Gráfico 424. Evento L8_3FS, caso 20-2035-Max-Lluv. Ángulo de generadores Térmicos.....	304
Gráfico 425. Evento L8_3FS, caso 20-2035-Max-Lluv. Frecuencia. ....	305
Gráfico 426. Evento L8_3FS, caso 20-2035-Max-Lluv. Flujo postfalla .....	306
Gráfico 427. Evento L8_3FS, caso 20-2035-MaxSol-Lluv. Tensiones en la zona de influencia 115 kV. ....	307
Gráfico 428. Evento L8_3FS, caso 20-2035-MaxSol-Lluv. Tensiones en la zona de influencia 230 kV. ....	307
Gráfico 429. Evento L8_3FS, caso 20-2035-MaxSol-Lluv. Ángulo de Generadores Hidroeléctricos. ....	308
Gráfico 430. Evento L8_3FS, caso 20-2035-MaxSol-Lluv. Ángulo de generadores Térmicos.....	308
Gráfico 431. Evento L8_3FS, caso 20-2035-MaxSol-Lluv. Frecuencia.....	309
Gráfico 432. Evento L8_3FS, caso 20-2035-MaxSol-Lluv. Flujo postfalla.....	310
Gráfico 433. Evento P1_3FS, caso 11-2026-Max-Sec. Tensiones en la zona de influencia 115 kV.....	311
Gráfico 434. Evento P1_3FS, caso 11-2026-Max-Sec. Tensiones en la zona de influencia 230 kV.....	311
Gráfico 435. Evento P1_3FS, caso 11-2026-Max-Sec. Ángulo de Generadores Hidroeléctricos.....	312
Gráfico 436. Evento P1_3FS, caso 11-2026-Max-Sec. Ángulo de generadores Térmicos. ....	312
Gráfico 437. Evento P1_3FS, caso 11-2026-Max-Sec. Frecuencia. ....	313
Gráfico 438. Evento P1_3FS, caso 11-2026-Max-Sec. Flujo postfalla .....	314
Gráfico 439. Evento P1_3FS, caso 11-2026-MaxSol-Sec. Tensiones en la zona de influencia 115 kV.....	315
Gráfico 440. Evento P1_3FS, caso 11-2026-MaxSol-Sec. Tensiones en la zona de influencia 230 kV.....	315
Gráfico 441. Evento P1_3FS, caso 11-2026-MaxSol-Sec. Ángulo de Generadores Hidroeléctricos. ....	316
Gráfico 442. Evento P1_3FS, caso 11-2026-MaxSol-Sec. Ángulo de generadores Térmicos.....	316
Gráfico 443. Evento P1_3FS, caso 11-2026-MaxSol-Sec. Frecuencia. ....	317
Gráfico 444. Evento P1_3FS, caso 11-2026-MaxSol-Sec. Flujo postfalla .....	318

Gráfico 445. Evento P1_3FS, caso 12-2026-Max-Lluv. Tensiones en la zona de influencia 115 kV. ....	319
Gráfico 446. Evento P1_3FS, caso 12-2026-Max-Lluv. Tensiones en la zona de influencia 230 kV. ....	319
Gráfico 447. Evento P1_3FS, caso 12-2026-Max-Lluv. Ángulo de Generadores Hidroeléctricos. ....	320
Gráfico 448. Evento P1_3FS, caso 12-2026-Max-Lluv. Ángulo de generadores Térmicos. ....	320
Gráfico 449. Evento P1_3FS, caso 12-2026-Max-Lluv. Frecuencia. ....	321
Gráfico 450. Evento P1_3FS, caso 12-2026-Max-Lluv. Flujo postfalla. ....	322
Gráfico 451. Evento P1_3FS, caso 12-2026-MaxSol-Lluv. Tensiones en la zona de influencia 115 kV. ....	323
Gráfico 452. Evento P1_3FS, caso 12-2026-MaxSol-Lluv. Tensiones en la zona de influencia 230 kV. ....	323
Gráfico 453. Evento P1_3FS, caso 12-2026-MaxSol-Lluv. Ángulo de Generadores Hidroeléctricos. ....	324
Gráfico 454. Evento P1_3FS, caso 12-2026-MaxSol-Lluv. Ángulo de generadores Térmicos. ....	324
Gráfico 455. Evento P1_3FS, caso 12-2026-MaxSol-Lluv. Frecuencia. ....	325
Gráfico 456. Evento P1_3FS, caso 12-2026-MaxSol-Lluv. Flujo postfalla. ....	326
Gráfico 457. Evento P1_3FS, caso 19-2035-Max-Sec. Tensiones en la zona de influencia 115 kV. ....	327
Gráfico 458. Evento P1_3FS, caso 19-2035-Max-Sec. Tensiones en la zona de influencia 230 kV. ....	327
Gráfico 459. Evento P1_3FS, caso 19-2035-Max-Sec. Ángulo de Generadores Hidroeléctricos. ....	328
Gráfico 460. Evento P1_3FS, caso 19-2035-Max-Sec. Ángulo de generadores Térmicos. ....	328
Gráfico 461. Evento P1_3FS, caso 19-2035-Max-Sec. Frecuencia. ....	329
Gráfico 462. Evento P1_3FS, caso 19-2035-Max-Sec. Flujo postfalla. ....	330
Gráfico 463. Evento P1_3FS, caso 19-2035-MaxSol-Sec. Tensiones en la zona de influencia 115 kV. ....	331
Gráfico 464. Evento P1_3FS, caso 19-2035-MaxSol-Sec. Tensiones en la zona de influencia 230 kV. ....	331
Gráfico 465. Evento P1_3FS, caso 19-2035-MaxSol-Sec. Ángulo de Generadores Hidroeléctricos. ....	332
Gráfico 466. Evento P1_3FS, caso 19-2035-MaxSol-Sec. Ángulo de generadores Térmicos. ....	332
Gráfico 467. Evento P1_3FS, caso 19-2035-MaxSol-Sec. Frecuencia. ....	333
Gráfico 468. Evento P1_3FS, caso 19-2035-MaxSol-Sec. Flujo postfalla. ....	334
Gráfico 469. Evento P1_3FS, caso 20-2035-Max-Lluv. Tensiones en la zona de influencia 115 kV. ....	335
Gráfico 470. Evento P1_3FS, caso 20-2035-Max-Lluv. Tensiones en la zona de influencia 230 kV. ....	335
Gráfico 471. Evento P1_3FS, caso 20-2035-Max-Lluv. Ángulo de Generadores Hidroeléctricos. ....	336
Gráfico 472. Evento P1_3FS, caso 20-2035-Max-Lluv. Ángulo de generadores Térmicos. ....	336
Gráfico 473. Evento P1_3FS, caso 20-2035-Max-Lluv. Frecuencia. ....	337
Gráfico 474. Evento P1_3FS, caso 20-2035-Max-Lluv. Flujo postfalla. ....	338
Gráfico 475. Evento P1_3FS, caso 20-2035-MaxSol-Lluv. Tensiones en la zona de influencia 115 kV. ....	339
Gráfico 476. Evento P1_3FS, caso 20-2035-MaxSol-Lluv. Tensiones en la zona de influencia 230 kV. ....	339
Gráfico 477. Evento P1_3FS, caso 20-2035-MaxSol-Lluv. Ángulo de Generadores Hidroeléctricos. ....	340
Gráfico 478. Evento P1_3FS, caso 20-2035-MaxSol-Lluv. Ángulo de generadores Térmicos. ....	340
Gráfico 479. Evento P1_3FS, caso 20-2035-MaxSol-Lluv. Frecuencia. ....	341
Gráfico 480. Evento P1_3FS, caso 20-2035-MaxSol-Lluv. Flujo postfalla. ....	342
Gráfico 481. Evento P3_3FS, caso 11-2026-Max-Sec. Tensiones en la zona de influencia 115 kV. ....	343

Gráfico 482. Evento P3_3FS, caso 11-2026-Max-Sec. Tensiones en la zona de influencia 230 kV.....	343
Gráfico 483. Evento P3_3FS, caso 11-2026-Max-Sec. Ángulo de Generadores Hidroeléctricos.....	344
Gráfico 484. Evento P3_3FS, caso 11-2026-Max-Sec. Ángulo de generadores Térmicos. ....	344
Gráfico 485. Evento P3_3FS, caso 11-2026-Max-Sec. Frecuencia. ....	345
Gráfico 486. Evento P3_3FS, caso 11-2026-Max-Sec. Flujo postfalla .....	346
Gráfico 487. Evento P3_3FS, caso 11-2026-MaxSol-Sec. Tensiones en la zona de influencia 115 kV.....	347
Gráfico 488. Evento P3_3FS, caso 11-2026-MaxSol-Sec. Tensiones en la zona de influencia 230 kV.....	347
Gráfico 489. Evento P3_3FS, caso 11-2026-MaxSol-Sec. Ángulo de Generadores Hidroeléctricos. ....	348
Gráfico 490. Evento P3_3FS, caso 11-2026-MaxSol-Sec. Ángulo de generadores Térmicos.....	348
Gráfico 491. Evento P3_3FS, caso 11-2026-MaxSol-Sec. Frecuencia. ....	349
Gráfico 492. Evento P3_3FS, caso 11-2026-MaxSol-Sec. Flujo postfalla .....	350
Gráfico 493. Evento P3_3FS, caso 12-2026-Max-Lluv. Tensiones en la zona de influencia 115 kV. ....	351
Gráfico 494. Evento P3_3FS, caso 12-2026-Max-Lluv. Tensiones en la zona de influencia 230 kV. ....	351
Gráfico 495. Evento P3_3FS, caso 12-2026-Max-Lluv. Ángulo de Generadores Hidroeléctricos.....	352
Gráfico 496. Evento P3_3FS, caso 12-2026-Max-Lluv. Ángulo de generadores Térmicos. ....	352
Gráfico 497. Evento P3_3FS, caso 12-2026-Max-Lluv. Frecuencia.....	353
Gráfico 498. Evento P3_3FS, caso 12-2026-Max-Lluv. Flujo postfalla.....	354
Gráfico 499. Evento P3_3FS, caso 12-2026-MaxSol-Lluv. Tensiones en la zona de influencia 115 kV. ....	355
Gráfico 500. Evento P3_3FS, caso 12-2026-MaxSol-Lluv. Tensiones en la zona de influencia 230 kV. ....	355
Gráfico 501. Evento P3_3FS, caso 12-2026-MaxSol-Lluv. Ángulo de Generadores Hidroeléctricos.....	356
Gráfico 502. Evento P3_3FS, caso 12-2026-MaxSol-Lluv. Ángulo de generadores Térmicos. ....	356
Gráfico 503. Evento P3_3FS, caso 12-2026-MaxSol-Lluv. Frecuencia.....	357
Gráfico 504. Evento P3_3FS, caso 12-2026-MaxSol-Lluv. Flujo postfalla.....	358
Gráfico 505. Evento P3_3FS, caso 19-2035-Max-Sec. Tensiones en la zona de influencia 115 kV.....	359
Gráfico 506. Evento P3_3FS, caso 19-2035-Max-Sec. Tensiones en la zona de influencia 230 kV.....	359
Gráfico 507. Evento P3_3FS, caso 19-2035-Max-Sec. Ángulo de Generadores Hidroeléctricos.....	360
Gráfico 508. Evento P3_3FS, caso 19-2035-Max-Sec. Ángulo de generadores Térmicos. ....	360
Gráfico 509. Evento P3_3FS, caso 19-2035-Max-Sec. Frecuencia. ....	361
Gráfico 510. Evento P3_3FS, caso 19-2035-Max-Sec. Flujo postfalla .....	362
Gráfico 511. Evento P3_3FS, caso 19-2035-MaxSol-Sec. Tensiones en la zona de influencia 115 kV.....	363
Gráfico 512. Evento P3_3FS, caso 19-2035-MaxSol-Sec. Tensiones en la zona de influencia 230 kV.....	363
Gráfico 513. Evento P3_3FS, caso 19-2035-MaxSol-Sec. Ángulo de Generadores Hidroeléctricos. ....	364
Gráfico 514. Evento P3_3FS, caso 19-2035-MaxSol-Sec. Ángulo de generadores Térmicos.....	364
Gráfico 515. Evento P3_3FS, caso 19-2035-MaxSol-Sec. Frecuencia. ....	365
Gráfico 516. Evento P3_3FS, caso 19-2035-MaxSol-Sec. Flujo postfalla .....	366
Gráfico 517. Evento P3_3FS, caso 20-2035-Max-Lluv. Tensiones en la zona de influencia 115 kV. ....	367
Gráfico 518. Evento P3_3FS, caso 20-2035-Max-Lluv. Tensiones en la zona de influencia 230 kV. ....	367

Gráfico 519. Evento P3_3FS, caso 20-2035-Max-Lluv. Ángulo de Generadores Hidroeléctricos.....	368
Gráfico 520. Evento P3_3FS, caso 20-2035-Max-Lluv. Ángulo de generadores Térmicos. ....	368
Gráfico 521. Evento P3_3FS, caso 20-2035-Max-Lluv. Frecuencia.....	369
Gráfico 522. Evento P3_3FS, caso 20-2035-Max-Lluv. Flujo postfalla.....	370
Gráfico 523. Evento P3_3FS, caso 20-2035-MaxSol-Lluv. Tensiones en la zona de influencia 115 kV. ....	371
Gráfico 524. Evento P3_3FS, caso 20-2035-MaxSol-Lluv. Tensiones en la zona de influencia 230 kV. ....	371
Gráfico 525. Evento P3_3FS, caso 20-2035-MaxSol-Lluv. Ángulo de Generadores Hidroeléctricos.....	372
Gráfico 526. Evento P3_3FS, caso 20-2035-MaxSol-Lluv. Ángulo de generadores Térmicos. ....	372
Gráfico 527. Evento P3_3FS, caso 20-2035-MaxSol-Lluv. Frecuencia.....	373
Gráfico 528. Evento P3_3FS, caso 20-2035-MaxSol-Lluv. Flujo postfalla.....	374
Gráfico 529. Evento P4_3FS, caso 11-2026-Max-Sec. Tensiones en la zona de influencia 115 kV.....	375
Gráfico 530. Evento P4_3FS, caso 11-2026-Max-Sec. Tensiones en la zona de influencia 230 kV.....	375
Gráfico 531. Evento P4_3FS, caso 11-2026-Max-Sec. Ángulo de Generadores Hidroeléctricos.....	376
Gráfico 532. Evento P4_3FS, caso 11-2026-Max-Sec. Ángulo de generadores Térmicos. ....	376
Gráfico 533. Evento P4_3FS, caso 11-2026-Max-Sec. Frecuencia. ....	377
Gráfico 534. Evento P4_3FS, caso 11-2026-Max-Sec. Flujo postfalla .....	378
Gráfico 535. Evento P4_3FS, caso 11-2026-MaxSol-Sec. Tensiones en la zona de influencia 115 kV.....	379
Gráfico 536. Evento P4_3FS, caso 11-2026-MaxSol-Sec. Tensiones en la zona de influencia 230 kV.....	379
Gráfico 537. Evento P4_3FS, caso 11-2026-MaxSol-Sec. Ángulo de Generadores Hidroeléctricos. ....	380
Gráfico 538. Evento P4_3FS, caso 11-2026-MaxSol-Sec. Ángulo de generadores Térmicos.....	380
Gráfico 539. Evento P4_3FS, caso 11-2026-MaxSol-Sec. Frecuencia. ....	381
Gráfico 540. Evento P4_3FS, caso 11-2026-MaxSol-Sec. Flujo postfalla .....	382
Gráfico 541. Evento P4_3FS, caso 12-2026-Max-Lluv. Tensiones en la zona de influencia 115 kV. ....	383
Gráfico 542. Evento P4_3FS, caso 12-2026-Max-Lluv. Tensiones en la zona de influencia 230 kV. ....	383
Gráfico 543. Evento P4_3FS, caso 12-2026-Max-Lluv. Ángulo de Generadores Hidroeléctricos.....	384
Gráfico 544. Evento P4_3FS, caso 12-2026-Max-Lluv. Ángulo de generadores Térmicos. ....	384
Gráfico 545. Evento P4_3FS, caso 12-2026-Max-Lluv. Frecuencia.....	385
Gráfico 546. Evento P4_3FS, caso 12-2026-Max-Lluv. Flujo postfalla.....	386
Gráfico 547. Evento P4_3FS, caso 12-2026-MaxSol-Lluv. Tensiones en la zona de influencia 115 kV. ....	387
Gráfico 548. Evento P4_3FS, caso 12-2026-MaxSol-Lluv. Tensiones en la zona de influencia 230 kV. ....	387
Gráfico 549. Evento P4_3FS, caso 12-2026-MaxSol-Lluv. Ángulo de Generadores Hidroeléctricos.....	388
Gráfico 550. Evento P4_3FS, caso 12-2026-MaxSol-Lluv. Ángulo de generadores Térmicos. ....	388
Gráfico 551. Evento P4_3FS, caso 12-2026-MaxSol-Lluv. Frecuencia.....	389
Gráfico 552. Evento P4_3FS, caso 12-2026-MaxSol-Lluv. Flujo postfalla.....	390
Gráfico 553. Evento P4_3FS, caso 19-2035-Max-Sec. Tensiones en la zona de influencia 115 kV.....	391
Gráfico 554. Evento P4_3FS, caso 19-2035-Max-Sec. Tensiones en la zona de influencia 230 kV.....	391
Gráfico 555. Evento P4_3FS, caso 19-2035-Max-Sec. Ángulo de Generadores Hidroeléctricos.....	392



Gráfico 556. Evento P4_3FS, caso 19-2035-Max-Sec. Ángulo de generadores Térmicos. ....	392
Gráfico 557. Evento P4_3FS, caso 19-2035-Max-Sec. Frecuencia. ....	393
Gráfico 558. Evento P4_3FS, caso 19-2035-Max-Sec. Flujo postfalla .....	394
Gráfico 559. Evento P4_3FS, caso 19-2035-MaxSol-Sec. Tensiones en la zona de influencia 115 kV.....	395
Gráfico 560. Evento P4_3FS, caso 19-2035-MaxSol-Sec. Tensiones en la zona de influencia 230 kV.....	395
Gráfico 561. Evento P4_3FS, caso 19-2035-MaxSol-Sec. Ángulo de Generadores Hidroeléctricos. ....	396
Gráfico 562. Evento P4_3FS, caso 19-2035-MaxSol-Sec. Ángulo de generadores Térmicos.....	396
Gráfico 563. Evento P4_3FS, caso 19-2035-MaxSol-Sec. Frecuencia. ....	397
Gráfico 564. Evento P4_3FS, caso 19-2035-MaxSol-Sec. Flujo postfalla .....	398
Gráfico 565. Evento P4_3FS, caso 20-2035-Max-Lluv. Tensiones en la zona de influencia 115 kV. ....	399
Gráfico 566. Evento P4_3FS, caso 20-2035-Max-Lluv. Tensiones en la zona de influencia 230 kV. ....	399
Gráfico 567. Evento P4_3FS, caso 20-2035-Max-Lluv. Ángulo de Generadores Hidroeléctricos. ....	400
Gráfico 568. Evento P4_3FS, caso 20-2035-Max-Lluv. Ángulo de generadores Térmicos. ....	400
Gráfico 569. Evento P4_3FS, caso 20-2035-Max-Lluv. Frecuencia.....	401
Gráfico 570. Evento P4_3FS, caso 20-2035-Max-Lluv. Flujo postfalla.....	402
Gráfico 571. Evento P4_3FS, caso 20-2035-MaxSol-Lluv. Tensiones en la zona de influencia 115 kV. ....	403
Gráfico 572. Evento P4_3FS, caso 20-2035-MaxSol-Lluv. Tensiones en la zona de influencia 230 kV. ....	403
Gráfico 573. Evento P4_3FS, caso 20-2035-MaxSol-Lluv. Ángulo de Generadores Hidroeléctricos.....	404
Gráfico 574. Evento P4_3FS, caso 20-2035-MaxSol-Lluv. Ángulo de generadores Térmicos. ....	404
Gráfico 575. Evento P4_3FS, caso 20-2035-MaxSol-Lluv. Frecuencia.....	405
Gráfico 576. Evento P4_3FS, caso 20-2035-MaxSol-Lluv. Flujo postfalla.....	406
Gráfico 577. Evento P5_3FS, caso 11-2026-Max-Sec. Tensiones en la zona de influencia 115 kV.....	407
Gráfico 578. Evento P5_3FS, caso 11-2026-Max-Sec. Tensiones en la zona de influencia 230 kV.....	407
Gráfico 579. Evento P5_3FS, caso 11-2026-Max-Sec. Ángulo de Generadores Hidroeléctricos.....	408
Gráfico 580. Evento P5_3FS, caso 11-2026-Max-Sec. Ángulo de generadores Térmicos. ....	408
Gráfico 581. Evento P5_3FS, caso 11-2026-Max-Sec. Frecuencia. ....	409
Gráfico 582. Evento P5_3FS, caso 11-2026-Max-Sec. Flujo postfalla .....	410
Gráfico 583. Evento P5_3FS, caso 11-2026-MaxSol-Sec. Tensiones en la zona de influencia 115 kV.....	411
Gráfico 584. Evento P5_3FS, caso 11-2026-MaxSol-Sec. Tensiones en la zona de influencia 230 kV.....	411
Gráfico 585. Evento P5_3FS, caso 11-2026-MaxSol-Sec. Ángulo de Generadores Hidroeléctricos. ....	412
Gráfico 586. Evento P5_3FS, caso 11-2026-MaxSol-Sec. Ángulo de generadores Térmicos.....	412
Gráfico 587. Evento P5_3FS, caso 11-2026-MaxSol-Sec. Frecuencia. ....	413
Gráfico 588. Evento P5_3FS, caso 11-2026-MaxSol-Sec. Flujo postfalla .....	414
Gráfico 589. Evento P5_3FS, caso 12-2026-Max-Lluv. Tensiones en la zona de influencia 115 kV. ....	415
Gráfico 590. Evento P5_3FS, caso 12-2026-Max-Lluv. Tensiones en la zona de influencia 230 kV. ....	415
Gráfico 591. Evento P5_3FS, caso 12-2026-Max-Lluv. Ángulo de Generadores Hidroeléctricos. ....	416
Gráfico 592. Evento P5_3FS, caso 12-2026-Max-Lluv. Ángulo de generadores Térmicos. ....	416

Gráfico 593. Evento P5_3FS, caso 12-2026-Max-Lluv. Frecuencia.....	417
Gráfico 594. Evento P5_3FS, caso 12-2026-Max-Lluv. Flujo postfalla.....	418
Gráfico 595. Evento P5_3FS, caso 12-2026-MaxSol-Lluv. Tensiones en la zona de influencia 115 kV. ....	419
Gráfico 596. Evento P5_3FS, caso 12-2026-MaxSol-Lluv. Tensiones en la zona de influencia 230 kV. ....	419
Gráfico 597. Evento P5_3FS, caso 12-2026-MaxSol-Lluv. Ángulo de Generadores Hidroeléctricos.....	420
Gráfico 598. Evento P5_3FS, caso 12-2026-MaxSol-Lluv. Ángulo de generadores Térmicos. ....	420
Gráfico 599. Evento P5_3FS, caso 12-2026-MaxSol-Lluv. Frecuencia.....	421
Gráfico 600. Evento P5_3FS, caso 12-2026-MaxSol-Lluv. Flujo postfalla.....	422
Gráfico 601. Evento P5_3FS, caso 19-2035-Max-Sec. Tensiones en la zona de influencia 115 kV. ....	423
Gráfico 602. Evento P5_3FS, caso 19-2035-Max-Sec. Tensiones en la zona de influencia 230 kV. ....	423
Gráfico 603. Evento P5_3FS, caso 19-2035-Max-Sec. Ángulo de Generadores Hidroeléctricos.....	424
Gráfico 604. Evento P5_3FS, caso 19-2035-Max-Sec. Ángulo de generadores Térmicos.....	424
Gráfico 605. Evento P5_3FS, caso 19-2035-Max-Sec. Frecuencia. ....	425
Gráfico 606. Evento P5_3FS, caso 19-2035-Max-Sec. Flujo postfalla .....	426
Gráfico 607. Evento P5_3FS, caso 19-2035-MaxSol-Sec. Tensiones en la zona de influencia 115 kV.....	427
Gráfico 608. Evento P5_3FS, caso 19-2035-MaxSol-Sec. Tensiones en la zona de influencia 230 kV.....	427
Gráfico 609. Evento P5_3FS, caso 19-2035-MaxSol-Sec. Ángulo de Generadores Hidroeléctricos. ....	428
Gráfico 610. Evento P5_3FS, caso 19-2035-MaxSol-Sec. Ángulo de generadores Térmicos.....	428
Gráfico 611. Evento P5_3FS, caso 19-2035-MaxSol-Sec. Frecuencia. ....	429
Gráfico 612. Evento P5_3FS, caso 19-2035-MaxSol-Sec. Flujo postfalla .....	430
Gráfico 613. Evento P5_3FS, caso 20-2035-Max-Lluv. Tensiones en la zona de influencia 115 kV. ....	431
Gráfico 614. Evento P5_3FS, caso 20-2035-Max-Lluv. Tensiones en la zona de influencia 230 kV. ....	431
Gráfico 615. Evento P5_3FS, caso 20-2035-Max-Lluv. Ángulo de Generadores Hidroeléctricos. ....	432
Gráfico 616. Evento P5_3FS, caso 20-2035-Max-Lluv. Ángulo de generadores Térmicos. ....	432
Gráfico 617. Evento P5_3FS, caso 20-2035-Max-Lluv. Frecuencia.....	433
Gráfico 618. Evento P5_3FS, caso 20-2035-Max-Lluv. Flujo postfalla.....	434
Gráfico 619. Evento P5_3FS, caso 20-2035-MaxSol-Lluv. Tensiones en la zona de influencia 115 kV. ....	435
Gráfico 620. Evento P5_3FS, caso 20-2035-MaxSol-Lluv. Tensiones en la zona de influencia 230 kV. ....	435
Gráfico 621. Evento P5_3FS, caso 20-2035-MaxSol-Lluv. Ángulo de Generadores Hidroeléctricos.....	436
Gráfico 622. Evento P5_3FS, caso 20-2035-MaxSol-Lluv. Ángulo de generadores Térmicos. ....	436
Gráfico 623. Evento P5_3FS, caso 20-2035-MaxSol-Lluv. Frecuencia.....	437
Gráfico 624. Evento P5_3FS, caso 20-2035-MaxSol-Lluv. Flujo postfalla.....	438
Gráfico 625. Evento P7_3FS, caso 11-2026-Max-Sec. Tensiones en la zona de influencia 115 kV. ....	439
Gráfico 626. Evento P7_3FS, caso 11-2026-Max-Sec. Tensiones en la zona de influencia 230 kV. ....	439
Gráfico 627. Evento P7_3FS, caso 11-2026-Max-Sec. Ángulo de Generadores Hidroeléctricos.....	440
Gráfico 628. Evento P7_3FS, caso 11-2026-Max-Sec. Ángulo de generadores Térmicos.....	440
Gráfico 629. Evento P7_3FS, caso 11-2026-Max-Sec. Frecuencia. ....	441

Gráfico 630. Evento P7_3FS, caso 11-2026-Max-Sec. Flujo postfalla .....	442
Gráfico 631. Evento P7_3FS, caso 11-2026-MaxSol-Sec. Tensiones en la zona de influencia 115 kV.....	443
Gráfico 632. Evento P7_3FS, caso 11-2026-MaxSol-Sec. Tensiones en la zona de influencia 230 kV.....	443
Gráfico 633. Evento P7_3FS, caso 11-2026-MaxSol-Sec. Ángulo de Generadores Hidroeléctricos. ....	444
Gráfico 634. Evento P7_3FS, caso 11-2026-MaxSol-Sec. Ángulo de generadores Térmicos.....	444
Gráfico 635. Evento P7_3FS, caso 11-2026-MaxSol-Sec. Frecuencia. ....	445
Gráfico 636. Evento P7_3FS, caso 11-2026-MaxSol-Sec. Flujo postfalla .....	446
Gráfico 637. Evento P7_3FS, caso 12-2026-Max-Lluv. Tensiones en la zona de influencia 115 kV. ....	447
Gráfico 638. Evento P7_3FS, caso 12-2026-Max-Lluv. Tensiones en la zona de influencia 230 kV. ....	447
Gráfico 639. Evento P7_3FS, caso 12-2026-Max-Lluv. Ángulo de Generadores Hidroeléctricos.....	448
Gráfico 640. Evento P7_3FS, caso 12-2026-Max-Lluv. Ángulo de generadores Térmicos. ....	448
Gráfico 641. Evento P7_3FS, caso 12-2026-Max-Lluv. Frecuencia.....	449
Gráfico 642. Evento P7_3FS, caso 12-2026-Max-Lluv. Flujo postfalla.....	450
Gráfico 643. Evento P7_3FS, caso 12-2026-MaxSol-Lluv. Tensiones en la zona de influencia 115 kV. ....	451
Gráfico 644. Evento P7_3FS, caso 12-2026-MaxSol-Lluv. Tensiones en la zona de influencia 230 kV. ....	451
Gráfico 645. Evento P7_3FS, caso 12-2026-MaxSol-Lluv. Ángulo de Generadores Hidroeléctricos.....	452
Gráfico 646. Evento P7_3FS, caso 12-2026-MaxSol-Lluv. Ángulo de generadores Térmicos. ....	452
Gráfico 647. Evento P7_3FS, caso 12-2026-MaxSol-Lluv. Frecuencia.....	453
Gráfico 648. Evento P7_3FS, caso 12-2026-MaxSol-Lluv. Flujo postfalla.....	454
Gráfico 649. Evento P7_3FS, caso 19-2035-Max-Sec. Tensiones en la zona de influencia 115 kV.....	455
Gráfico 650. Evento P7_3FS, caso 19-2035-Max-Sec. Tensiones en la zona de influencia 230 kV.....	455
Gráfico 651. Evento P7_3FS, caso 19-2035-Max-Sec. Ángulo de Generadores Hidroeléctricos.....	456
Gráfico 652. Evento P7_3FS, caso 19-2035-Max-Sec. Ángulo de generadores Térmicos. ....	456
Gráfico 653. Evento P7_3FS, caso 19-2035-Max-Sec. Frecuencia. ....	457
Gráfico 654. Evento P7_3FS, caso 19-2035-Max-Sec. Flujo postfalla .....	458
Gráfico 655. Evento P7_3FS, caso 19-2035-MaxSol-Sec. Tensiones en la zona de influencia 115 kV.....	459
Gráfico 656. Evento P7_3FS, caso 19-2035-MaxSol-Sec. Tensiones en la zona de influencia 230 kV.....	459
Gráfico 657. Evento P7_3FS, caso 19-2035-MaxSol-Sec. Ángulo de Generadores Hidroeléctricos. ....	460
Gráfico 658. Evento P7_3FS, caso 19-2035-MaxSol-Sec. Ángulo de generadores Térmicos.....	460
Gráfico 659. Evento P7_3FS, caso 19-2035-MaxSol-Sec. Frecuencia. ....	461
Gráfico 660. Evento P7_3FS, caso 19-2035-MaxSol-Sec. Flujo postfalla .....	462
Gráfico 661. Evento P7_3FS, caso 20-2035-Max-Lluv. Tensiones en la zona de influencia 115 kV. ....	463
Gráfico 662. Evento P7_3FS, caso 20-2035-Max-Lluv. Tensiones en la zona de influencia 230 kV. ....	463
Gráfico 663. Evento P7_3FS, caso 20-2035-Max-Lluv. Ángulo de Generadores Hidroeléctricos.....	464
Gráfico 664. Evento P7_3FS, caso 20-2035-Max-Lluv. Ángulo de generadores Térmicos. ....	464
Gráfico 665. Evento P7_3FS, caso 20-2035-Max-Lluv. Frecuencia.....	465
Gráfico 666. Evento P7_3FS, caso 20-2035-Max-Lluv. Flujo postfalla.....	466

Gráfico 667. Evento P7_3FS, caso 20-2035-MaxSol-Lluv. Tensiones en la zona de influencia 115 kV. ....	467
Gráfico 668. Evento P7_3FS, caso 20-2035-MaxSol-Lluv. Tensiones en la zona de influencia 230 kV. ....	467
Gráfico 669. Evento P7_3FS, caso 20-2035-MaxSol-Lluv. Ángulo de Generadores Hidroeléctricos.....	468
Gráfico 670. Evento P7_3FS, caso 20-2035-MaxSol-Lluv. Ángulo de generadores Térmicos. ....	468
Gráfico 671. Evento P7_3FS, caso 20-2035-MaxSol-Lluv. Frecuencia.....	469
Gráfico 672. Evento P7_3FS, caso 20-2035-MaxSol-Lluv. Flujo postfalla.....	470
Gráfico 673. Evento P9_3FS, caso 11-2026-Max-Sec. Tensiones en la zona de influencia 115 kV.....	471
Gráfico 674. Evento P9_3FS, caso 11-2026-Max-Sec. Tensiones en la zona de influencia 230 kV.....	471
Gráfico 675. Evento P9_3FS, caso 11-2026-Max-Sec. Ángulo de Generadores Hidroeléctricos.....	472
Gráfico 676. Evento P9_3FS, caso 11-2026-Max-Sec. Ángulo de generadores Térmicos.....	472
Gráfico 677. Evento P9_3FS, caso 11-2026-Max-Sec. Frecuencia. ....	473
Gráfico 678. Evento P9_3FS, caso 11-2026-Max-Sec. Flujo postfalla .....	474
Gráfico 679. Evento P9_3FS, caso 11-2026-MaxSol-Sec. Tensiones en la zona de influencia 115 kV.....	475
Gráfico 680. Evento P9_3FS, caso 11-2026-MaxSol-Sec. Tensiones en la zona de influencia 230 kV.....	475
Gráfico 681. Evento P9_3FS, caso 11-2026-MaxSol-Sec. Ángulo de Generadores Hidroeléctricos. ....	476
Gráfico 682. Evento P9_3FS, caso 11-2026-MaxSol-Sec. Ángulo de generadores Térmicos.....	476
Gráfico 683. Evento P9_3FS, caso 11-2026-MaxSol-Sec. Frecuencia. ....	477
Gráfico 684. Evento P9_3FS, caso 11-2026-MaxSol-Sec. Flujo postfalla .....	478
Gráfico 685. Evento P9_3FS, caso 12-2026-Max-Lluv. Tensiones en la zona de influencia 115 kV. ....	479
Gráfico 686. Evento P9_3FS, caso 12-2026-Max-Lluv. Tensiones en la zona de influencia 230 kV. ....	479
Gráfico 687. Evento P9_3FS, caso 12-2026-Max-Lluv. Ángulo de Generadores Hidroeléctricos.....	480
Gráfico 688. Evento P9_3FS, caso 12-2026-Max-Lluv. Ángulo de generadores Térmicos. ....	480
Gráfico 689. Evento P9_3FS, caso 12-2026-Max-Lluv. Frecuencia.....	481
Gráfico 690. Evento P9_3FS, caso 12-2026-Max-Lluv. Flujo postfalla.....	482
Gráfico 691. Evento P9_3FS, caso 12-2026-MaxSol-Lluv. Tensiones en la zona de influencia 115 kV. ....	483
Gráfico 692. Evento P9_3FS, caso 12-2026-MaxSol-Lluv. Tensiones en la zona de influencia 230 kV. ....	483
Gráfico 693. Evento P9_3FS, caso 12-2026-MaxSol-Lluv. Ángulo de Generadores Hidroeléctricos.....	484
Gráfico 694. Evento P9_3FS, caso 12-2026-MaxSol-Lluv. Ángulo de generadores Térmicos. ....	484
Gráfico 695. Evento P9_3FS, caso 12-2026-MaxSol-Lluv. Frecuencia.....	485
Gráfico 696. Evento P9_3FS, caso 12-2026-MaxSol-Lluv. Flujo postfalla.....	486
Gráfico 697. Evento P9_3FS, caso 19-2035-Max-Sec. Tensiones en la zona de influencia 115 kV.....	487
Gráfico 698. Evento P9_3FS, caso 19-2035-Max-Sec. Tensiones en la zona de influencia 230 kV.....	487
Gráfico 699. Evento P9_3FS, caso 19-2035-Max-Sec. Ángulo de Generadores Hidroeléctricos.....	488
Gráfico 700. Evento P9_3FS, caso 19-2035-Max-Sec. Ángulo de generadores Térmicos.....	488
Gráfico 701. Evento P9_3FS, caso 19-2035-Max-Sec. Frecuencia. ....	489
Gráfico 702. Evento P9_3FS, caso 19-2035-Max-Sec. Flujo postfalla .....	490
Gráfico 703. Evento P9_3FS, caso 19-2035-MaxSol-Sec. Tensiones en la zona de influencia 115 kV.....	491

Gráfico 704. Evento P9_3FS, caso 19-2035-MaxSol-Sec. Tensiones en la zona de influencia 230 kV.....	491
Gráfico 705. Evento P9_3FS, caso 19-2035-MaxSol-Sec. Ángulo de Generadores Hidroeléctricos. ....	492
Gráfico 706. Evento P9_3FS, caso 19-2035-MaxSol-Sec. Ángulo de generadores Térmicos.....	492
Gráfico 707. Evento P9_3FS, caso 19-2035-MaxSol-Sec. Frecuencia. ....	493
Gráfico 708. Evento P9_3FS, caso 19-2035-MaxSol-Sec. Flujo postfalla .....	494
Gráfico 709. Evento P9_3FS, caso 20-2035-Max-Lluv. Tensiones en la zona de influencia 115 kV. ....	495
Gráfico 710. Evento P9_3FS, caso 20-2035-Max-Lluv. Tensiones en la zona de influencia 230 kV. ....	495
Gráfico 711. Evento P9_3FS, caso 20-2035-Max-Lluv. Ángulo de Generadores Hidroeléctricos. ....	496
Gráfico 712. Evento P9_3FS, caso 20-2035-Max-Lluv. Ángulo de generadores Térmicos. ....	496
Gráfico 713. Evento P9_3FS, caso 20-2035-Max-Lluv. Frecuencia.....	497
Gráfico 714. Evento P9_3FS, caso 20-2035-Max-Lluv. Flujo postfalla.....	498
Gráfico 715. Evento P9_3FS, caso 20-2035-MaxSol-Lluv. Tensiones en la zona de influencia 115 kV. ....	499
Gráfico 716. Evento P9_3FS, caso 20-2035-MaxSol-Lluv. Tensiones en la zona de influencia 230 kV. ....	499
Gráfico 717. Evento P9_3FS, caso 20-2035-MaxSol-Lluv. Ángulo de Generadores Hidroeléctricos.....	500
Gráfico 718. Evento P9_3FS, caso 20-2035-MaxSol-Lluv. Ángulo de generadores Térmicos. ....	500
Gráfico 719. Evento P9_3FS, caso 20-2035-MaxSol-Lluv. Frecuencia.....	501
Gráfico 720. Evento P9_3FS, caso 20-2035-MaxSol-Lluv. Flujo postfalla.....	502
Gráfico 721. Evento T2_3FS, caso 11-2026-Max-Sec. Tensiones en la zona de influencia 115 kV. ....	503
Gráfico 722. Evento T2_3FS, caso 11-2026-Max-Sec. Tensiones en la zona de influencia 230 kV. ....	503
Gráfico 723. Evento T2_3FS, caso 11-2026-Max-Sec. Ángulo de Generadores Hidroeléctricos.....	504
Gráfico 724. Evento T2_3FS, caso 11-2026-Max-Sec. Ángulo de generadores Térmicos. ....	504
Gráfico 725. Evento T2_3FS, caso 11-2026-Max-Sec. Frecuencia.....	505
Gráfico 726. Evento T2_3FS, caso 11-2026-Max-Sec. Flujo postfalla.....	506
Gráfico 727. Evento T2_3FS, caso 11-2026-MaxSol-Sec. Tensiones en la zona de influencia 115 kV.....	507
Gráfico 728. Evento T2_3FS, caso 11-2026-MaxSol-Sec. Tensiones en la zona de influencia 230 kV.....	507
Gráfico 729. Evento T2_3FS, caso 11-2026-MaxSol-Sec. Ángulo de Generadores Hidroeléctricos.....	508
Gráfico 730. Evento T2_3FS, caso 11-2026-MaxSol-Sec. Ángulo de generadores Térmicos. ....	508
Gráfico 731. Evento T2_3FS, caso 11-2026-MaxSol-Sec. Frecuencia. ....	509
Gráfico 732. Evento T2_3FS, caso 11-2026-MaxSol-Sec. Flujo postfalla .....	510
Gráfico 733. Evento T2_3FS, caso 12-2026-Max-Lluv. Tensiones en la zona de influencia 115 kV.....	511
Gráfico 734. Evento T2_3FS, caso 12-2026-Max-Lluv. Tensiones en la zona de influencia 230 kV.....	511
Gráfico 735. Evento T2_3FS, caso 12-2026-Max-Lluv. Ángulo de Generadores Hidroeléctricos. ....	512
Gráfico 736. Evento T2_3FS, caso 12-2026-Max-Lluv. Ángulo de generadores Térmicos.....	512
Gráfico 737. Evento T2_3FS, caso 12-2026-Max-Lluv. Frecuencia. ....	513
Gráfico 738. Evento T2_3FS, caso 12-2026-Max-Lluv. Flujo postfalla .....	514
Gráfico 739. Evento T2_3FS, caso 12-2026-MaxSol-Lluv. Tensiones en la zona de influencia 115 kV. ....	515
Gráfico 740. Evento T2_3FS, caso 12-2026-MaxSol-Lluv. Tensiones en la zona de influencia 230 kV. ....	515

Gráfico 741. Evento T2_3FS, caso 12-2026-MaxSol-Lluv. Ángulo de Generadores Hidroeléctricos. ....	516
Gráfico 742. Evento T2_3FS, caso 12-2026-MaxSol-Lluv. Ángulo de generadores Térmicos.....	516
Gráfico 743. Evento T2_3FS, caso 12-2026-MaxSol-Lluv. Frecuencia.....	517
Gráfico 744. Evento T2_3FS, caso 12-2026-MaxSol-Lluv. Flujo postfalla.....	518
Gráfico 745. Evento T2_3FS, caso 19-2035-Max-Sec. Tensiones en la zona de influencia 115 kV. ....	519
Gráfico 746. Evento T2_3FS, caso 19-2035-Max-Sec. Tensiones en la zona de influencia 230 kV. ....	519
Gráfico 747. Evento T2_3FS, caso 19-2035-Max-Sec. Ángulo de Generadores Hidroeléctricos.....	520
Gráfico 748. Evento T2_3FS, caso 19-2035-Max-Sec. Ángulo de generadores Térmicos. ....	520
Gráfico 749. Evento T2_3FS, caso 19-2035-Max-Sec. Frecuencia.....	521
Gráfico 750. Evento T2_3FS, caso 19-2035-Max-Sec. Flujo postfalla.....	522
Gráfico 751. Evento T2_3FS, caso 19-2035-MaxSol-Sec. Tensiones en la zona de influencia 115 kV. ....	523
Gráfico 752. Evento T2_3FS, caso 19-2035-MaxSol-Sec. Tensiones en la zona de influencia 230 kV. ....	523
Gráfico 753. Evento T2_3FS, caso 19-2035-MaxSol-Sec. Ángulo de Generadores Hidroeléctricos.....	524
Gráfico 754. Evento T2_3FS, caso 19-2035-MaxSol-Sec. Ángulo de generadores Térmicos. ....	524
Gráfico 755. Evento T2_3FS, caso 19-2035-MaxSol-Sec. Frecuencia. ....	525
Gráfico 756. Evento T2_3FS, caso 19-2035-MaxSol-Sec. Flujo postfalla .....	526
Gráfico 757. Evento T2_3FS, caso 20-2035-Max-Lluv. Tensiones en la zona de influencia 115 kV.....	527
Gráfico 758. Evento T2_3FS, caso 20-2035-Max-Lluv. Tensiones en la zona de influencia 230 kV.....	527
Gráfico 759. Evento T2_3FS, caso 20-2035-Max-Lluv. Ángulo de Generadores Hidroeléctricos. ....	528
Gráfico 760. Evento T2_3FS, caso 20-2035-Max-Lluv. Ángulo de generadores Térmicos.....	528
Gráfico 761. Evento T2_3FS, caso 20-2035-Max-Lluv. Frecuencia. ....	529
Gráfico 762. Evento T2_3FS, caso 20-2035-Max-Lluv. Flujo postfalla .....	530
Gráfico 763. Evento T2_3FS, caso 20-2035-MaxSol-Lluv. Tensiones en la zona de influencia 115 kV. ....	531
Gráfico 764. Evento T2_3FS, caso 20-2035-MaxSol-Lluv. Tensiones en la zona de influencia 230 kV. ....	531
Gráfico 765. Evento T2_3FS, caso 20-2035-MaxSol-Lluv. Ángulo de Generadores Hidroeléctricos. ....	532
Gráfico 766. Evento T2_3FS, caso 20-2035-MaxSol-Lluv. Ángulo de generadores Térmicos.....	532
Gráfico 767. Evento T2_3FS, caso 20-2035-MaxSol-Lluv. Frecuencia.....	533
Gráfico 768. Evento T2_3FS, caso 20-2035-MaxSol-Lluv. Flujo postfalla.....	534

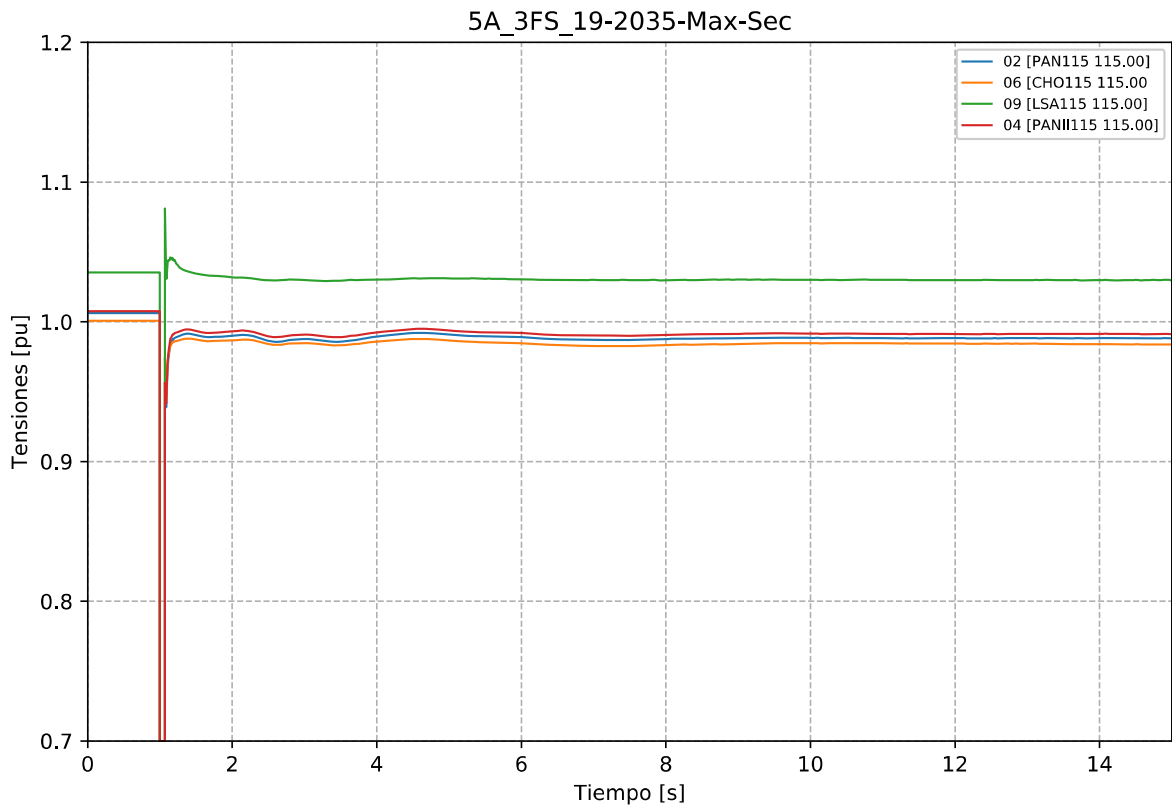


Gráfico 1. Evento 5A\_3FS, caso 19-2035-Max-Sec. Tensiones en la zona de influencia 115 kV.

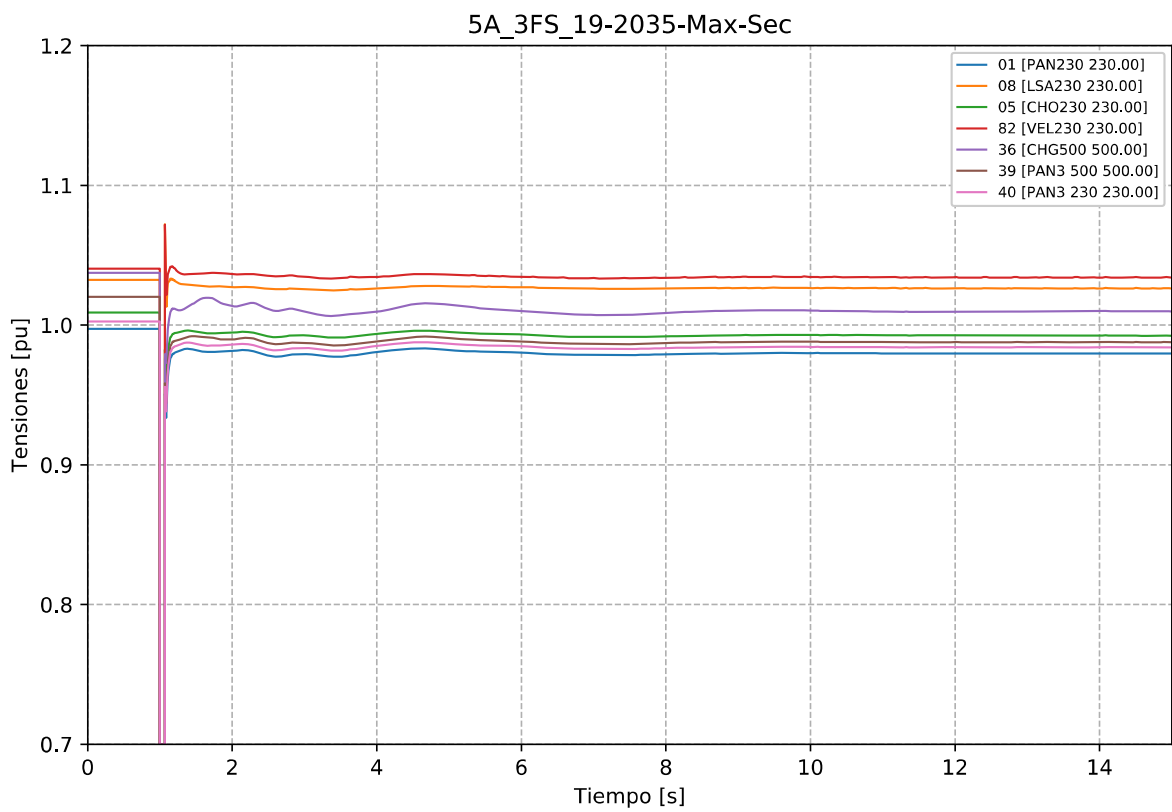


Gráfico 2. Evento 5A\_3FS, caso 19-2035-Max-Sec. Tensiones en la zona de influencia 230 kV.

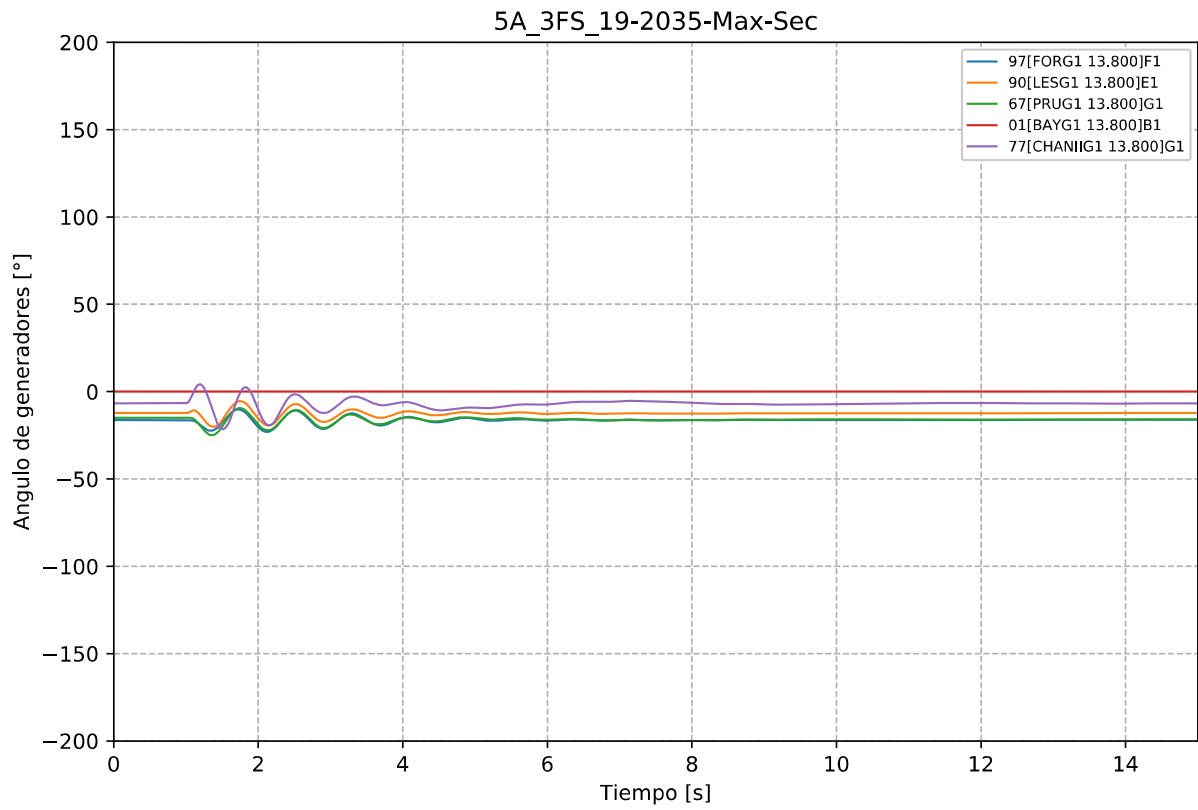


Gráfico 3. Evento 5A\_3FS, caso 19-2035-Max-Sec. Ángulo de Generadores Hidroeléctricos.

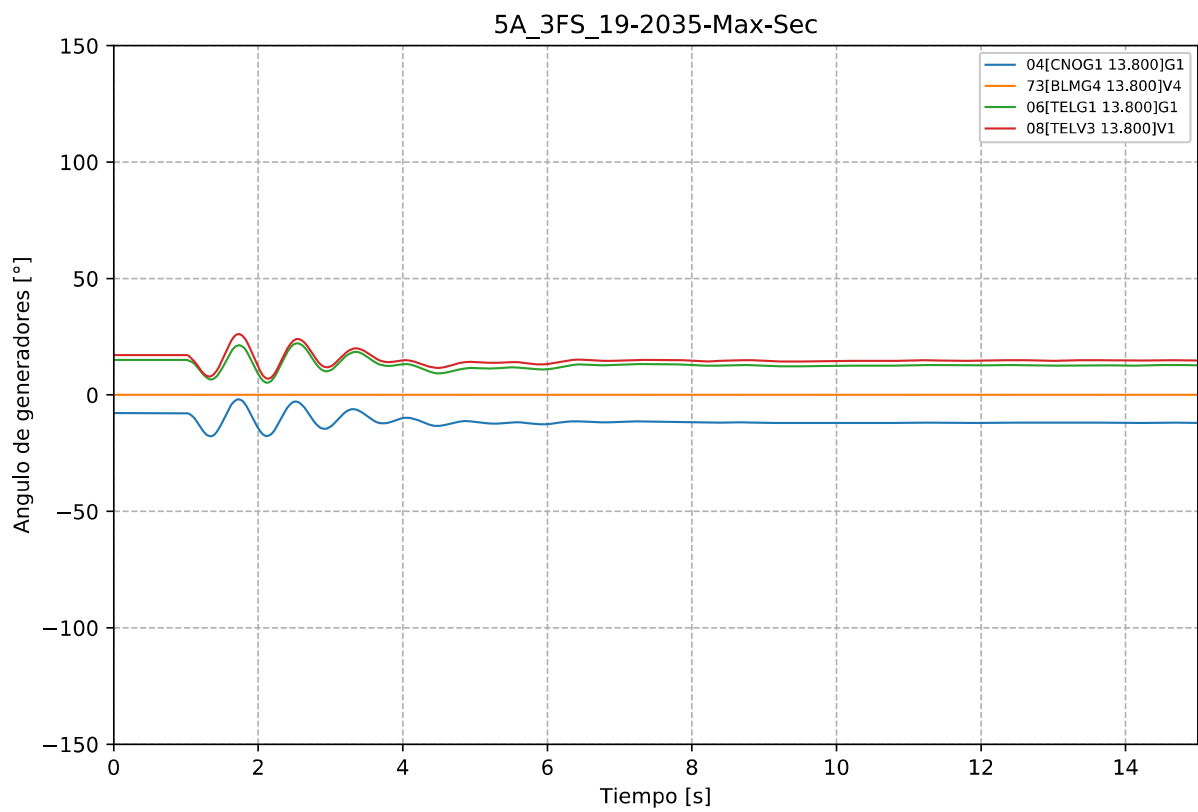


Gráfico 4. Evento 5A\_3FS, caso 19-2035-Max-Sec. Ángulo de generadores Térmicos.



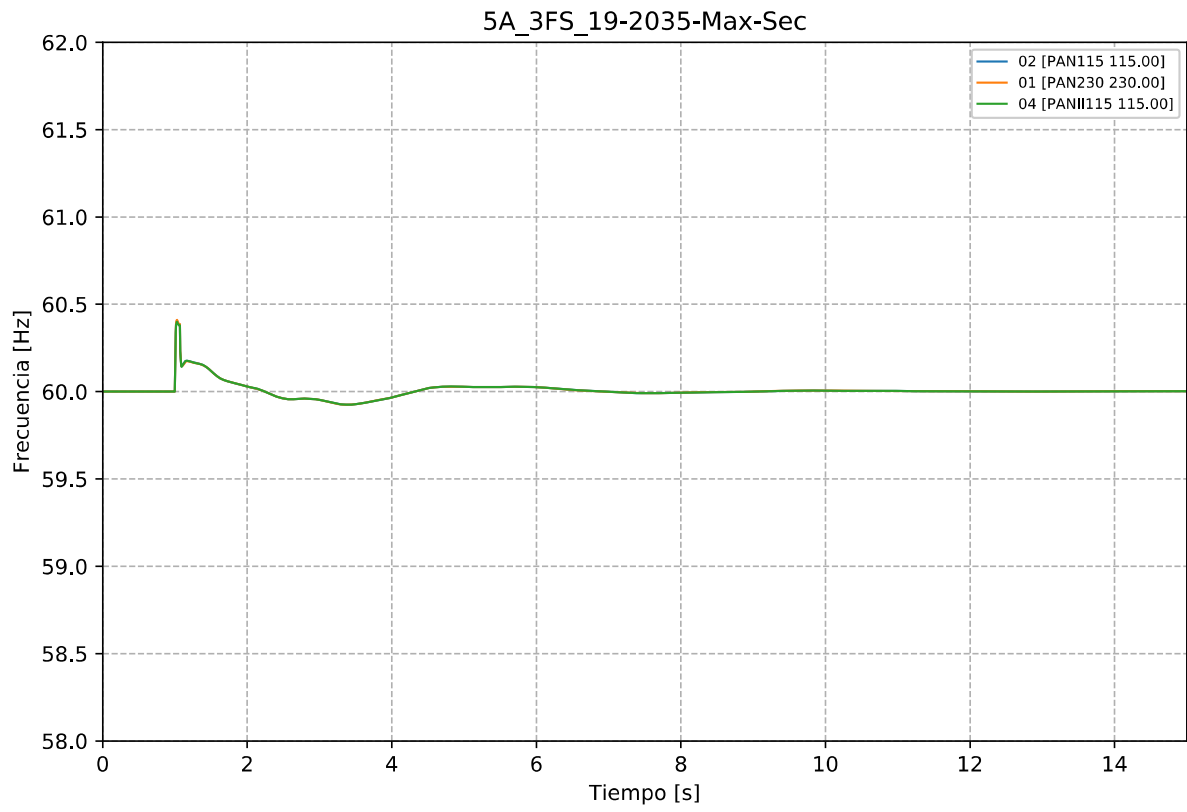


Gráfico 5. Evento 5A\_3FS, caso 19-2035-Max-Sec. Frecuencia.

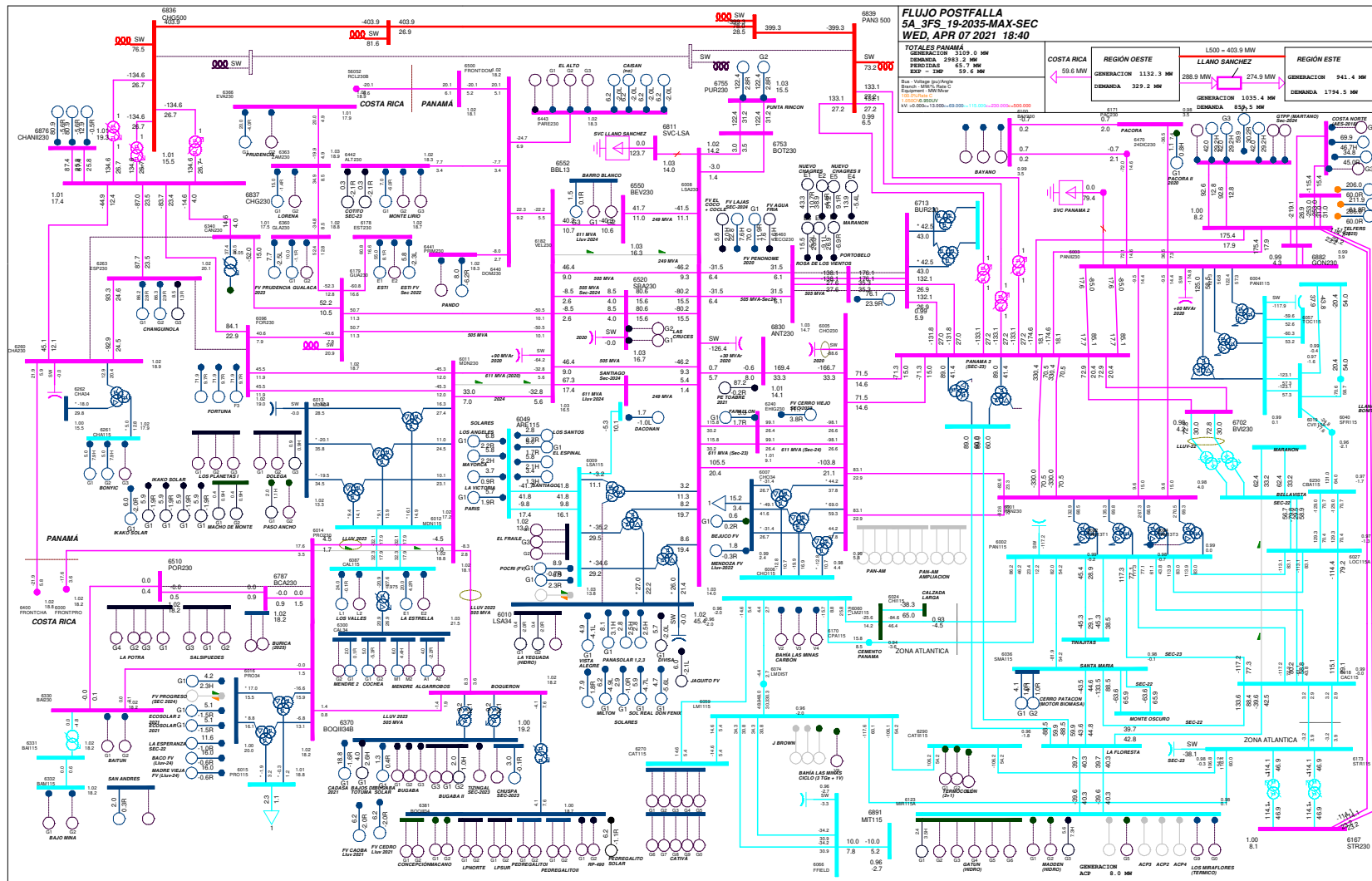


Gráfico 6. Evento 5A\_3FS, caso 19-2035-Max-Sec. Flujo postfalla

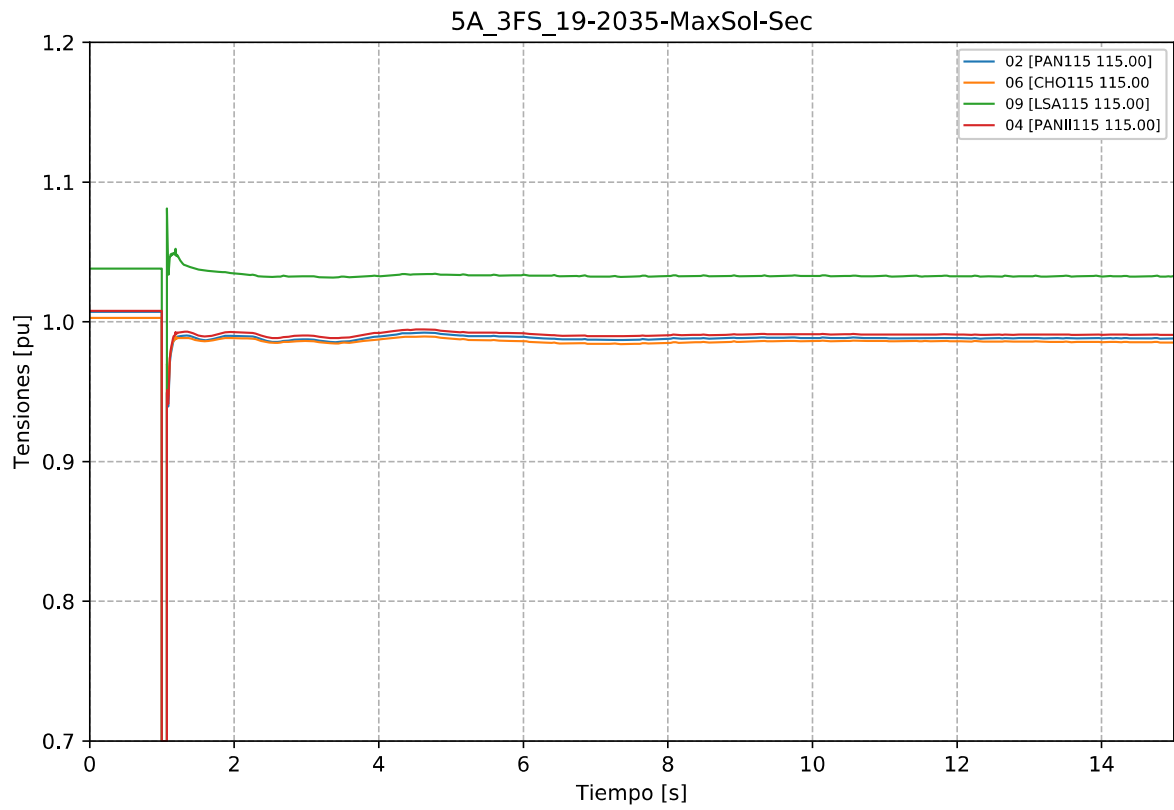


Gráfico 7. Evento 5A\_3FS, caso 19-2035-MaxSol-Sec. Tensiones en la zona de influencia 115 kV.

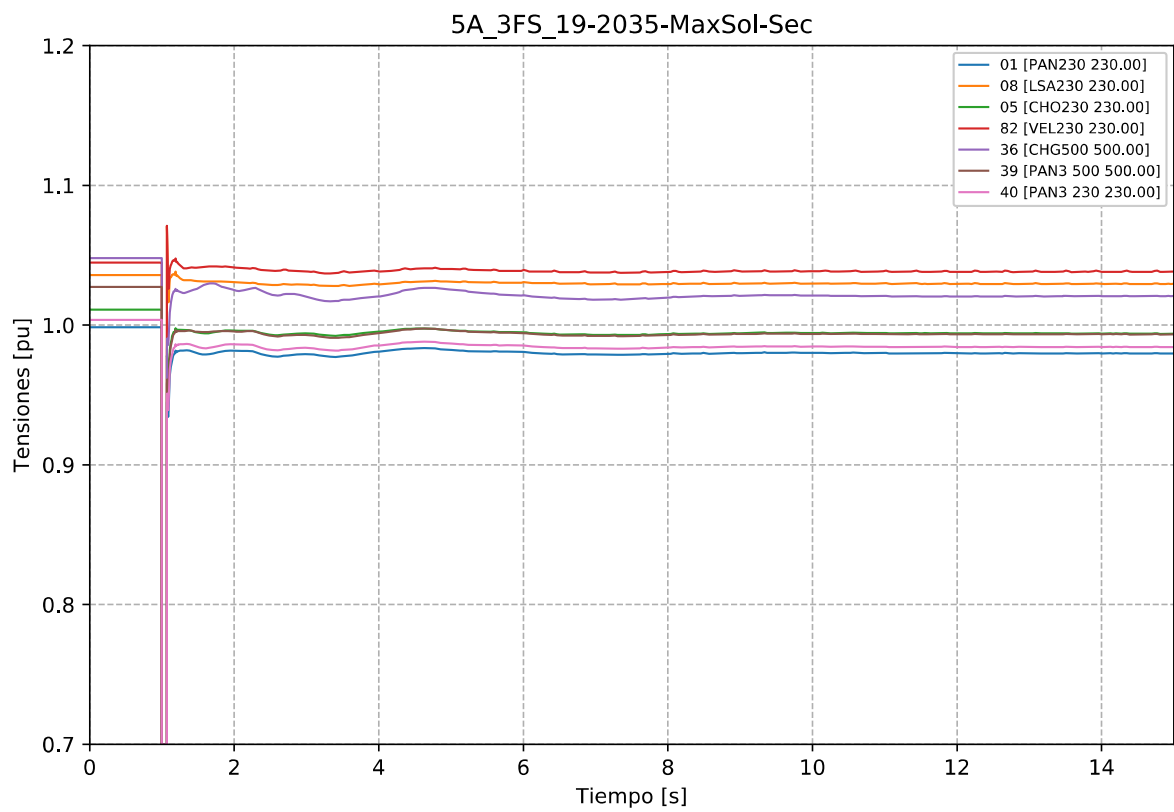


Gráfico 8. Evento 5A\_3FS, caso 19-2035-MaxSol-Sec. Tensiones en la zona de influencia 230 kV.

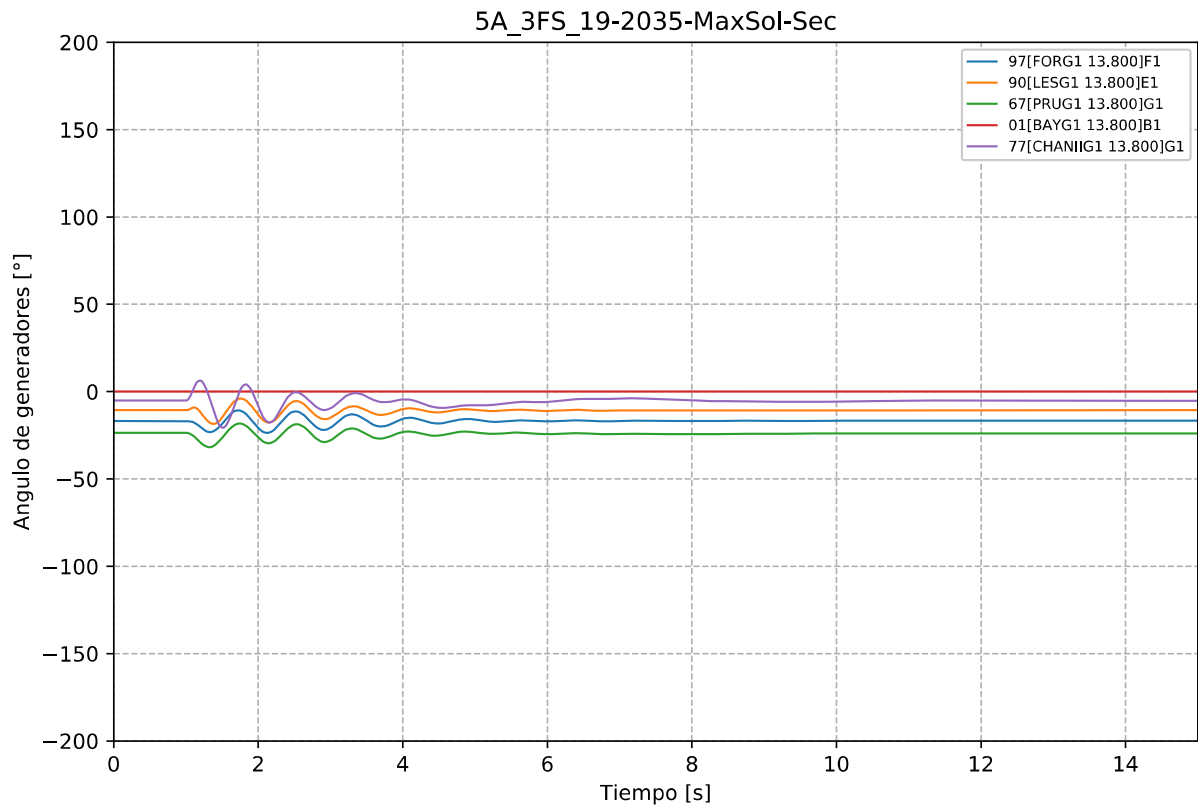


Gráfico 9. Evento 5A\_3FS, caso 19-2035-MaxSol-Sec. Ángulo de Generadores Hidroeléctricos.

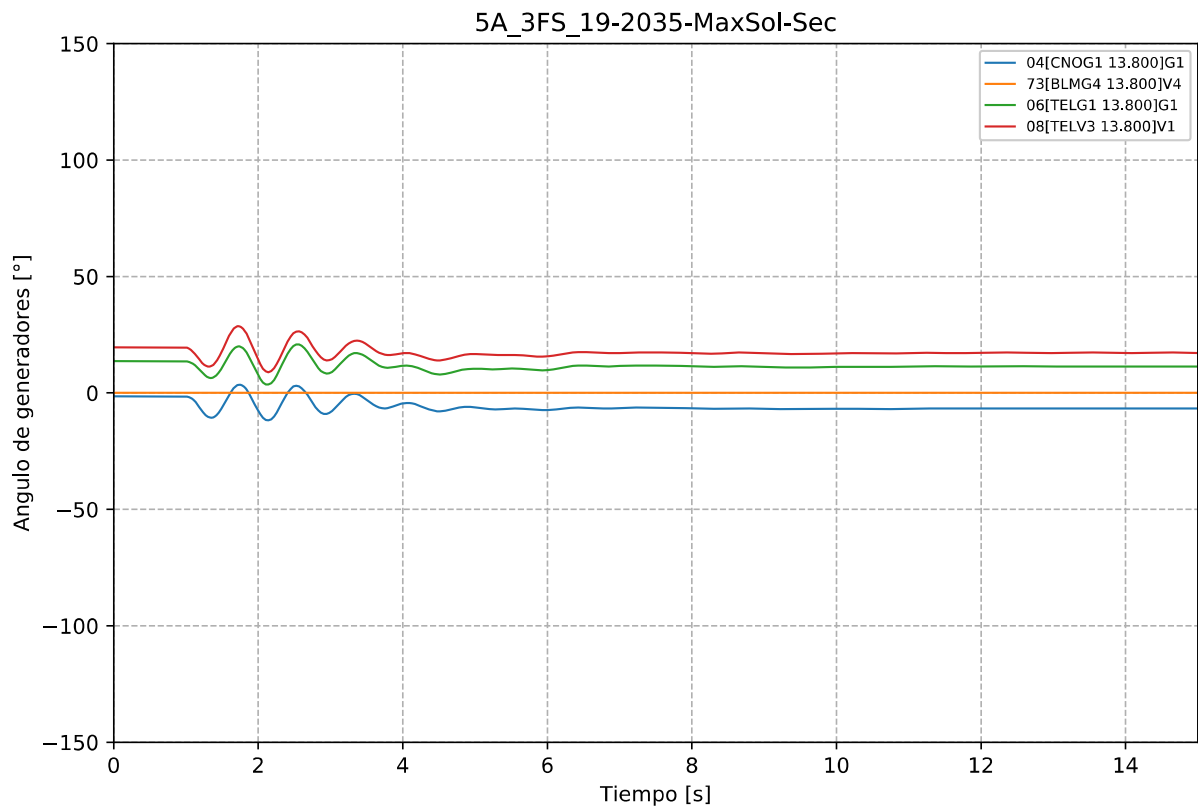


Gráfico 10. Evento 5A\_3FS, caso 19-2035-MaxSol-Sec. Ángulo de generadores Térmicos.

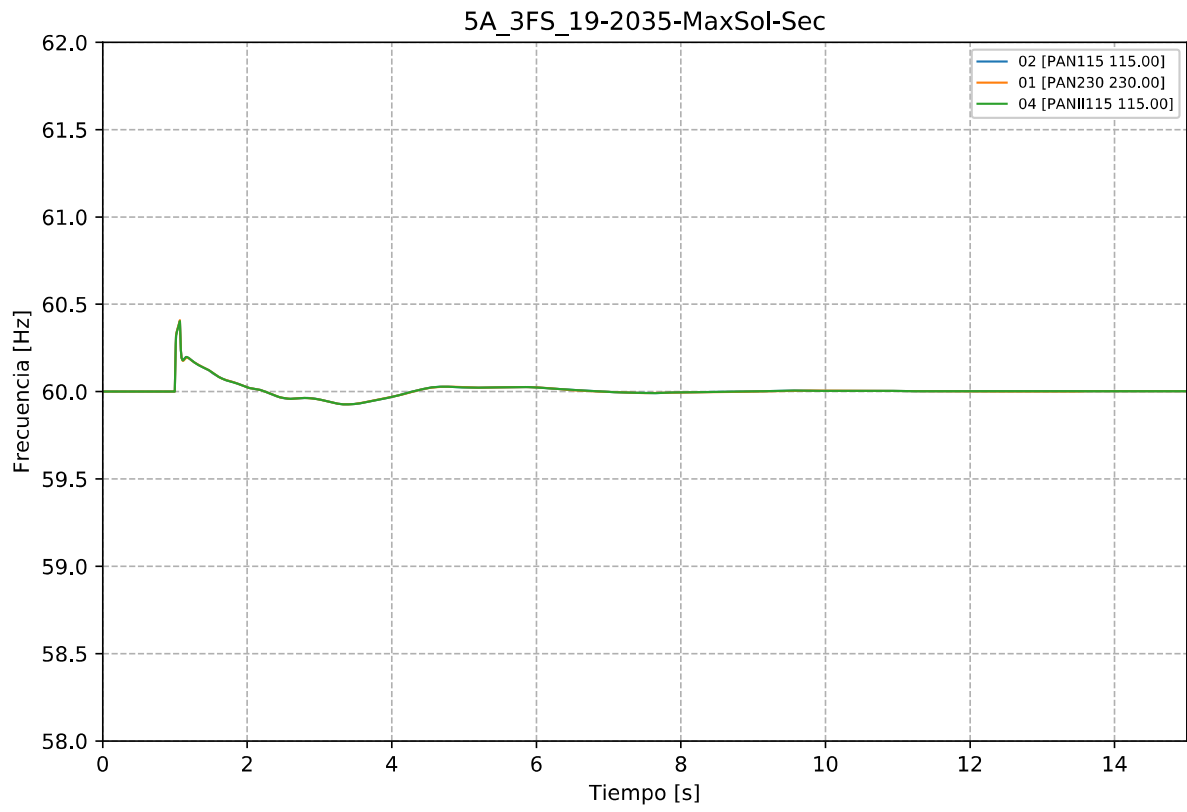


Gráfico 11. Evento 5A\_3FS, caso 19-2035-MaxSol-Sec. Frecuencia.

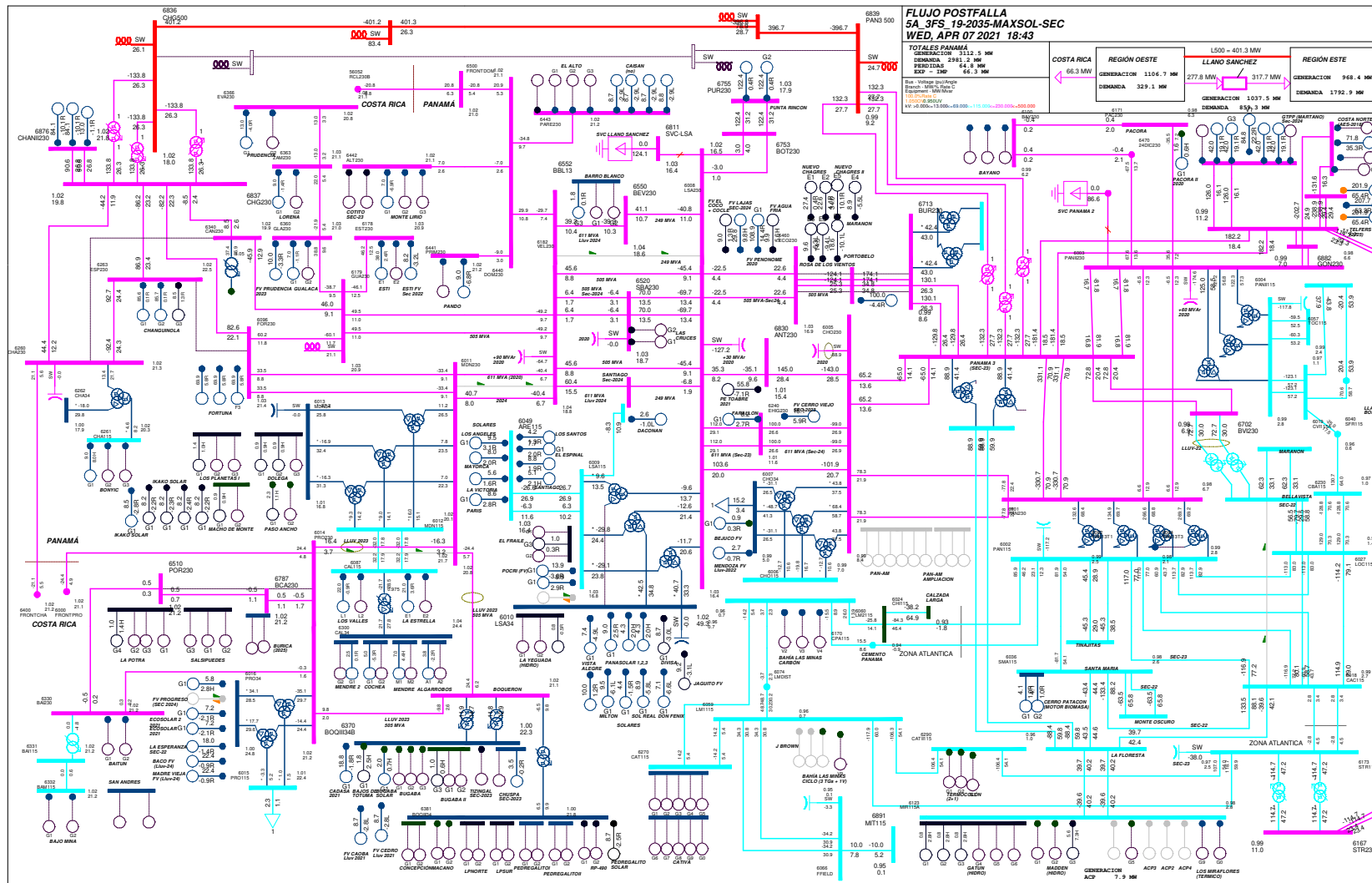


Gráfico 12. Evento 5A\_3FS, caso 19-2035-MaxSol-Sec. Flujo postfalla

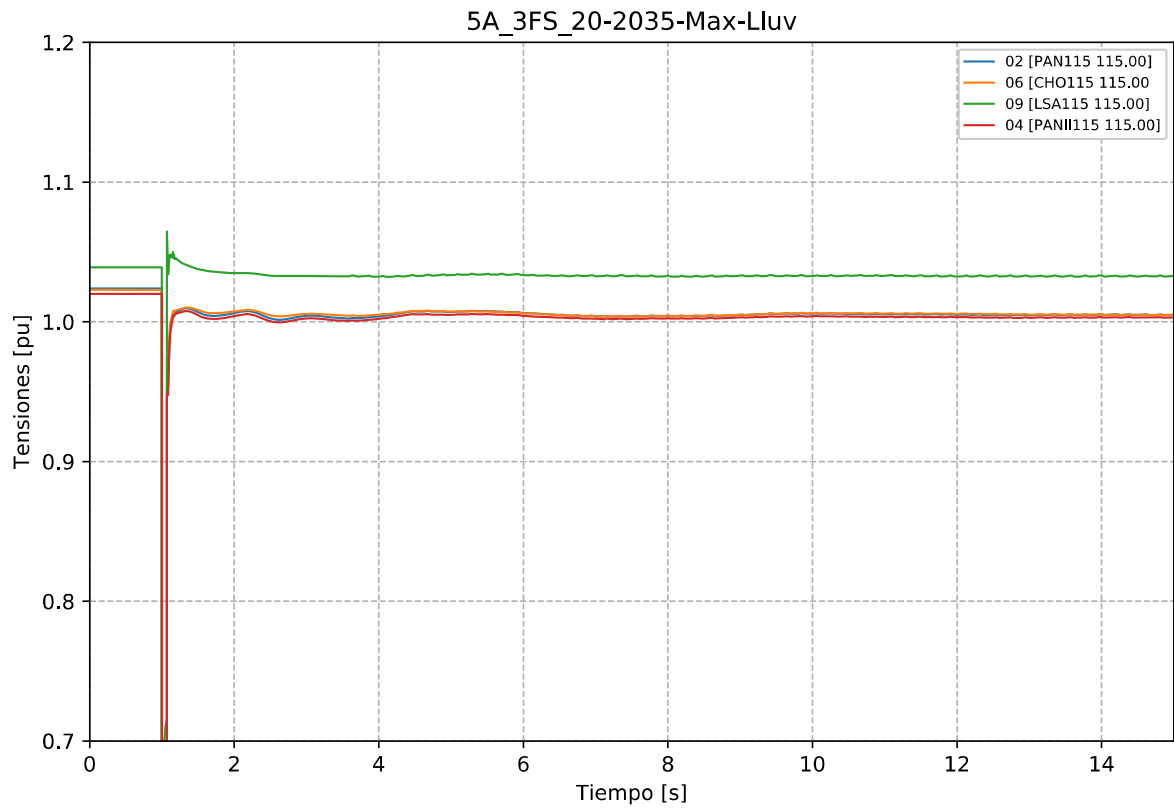


Gráfico 13. Evento 5A\_3FS, caso 20-2035-Max-Lluv. Tensiones en la zona de influencia 115 kV.

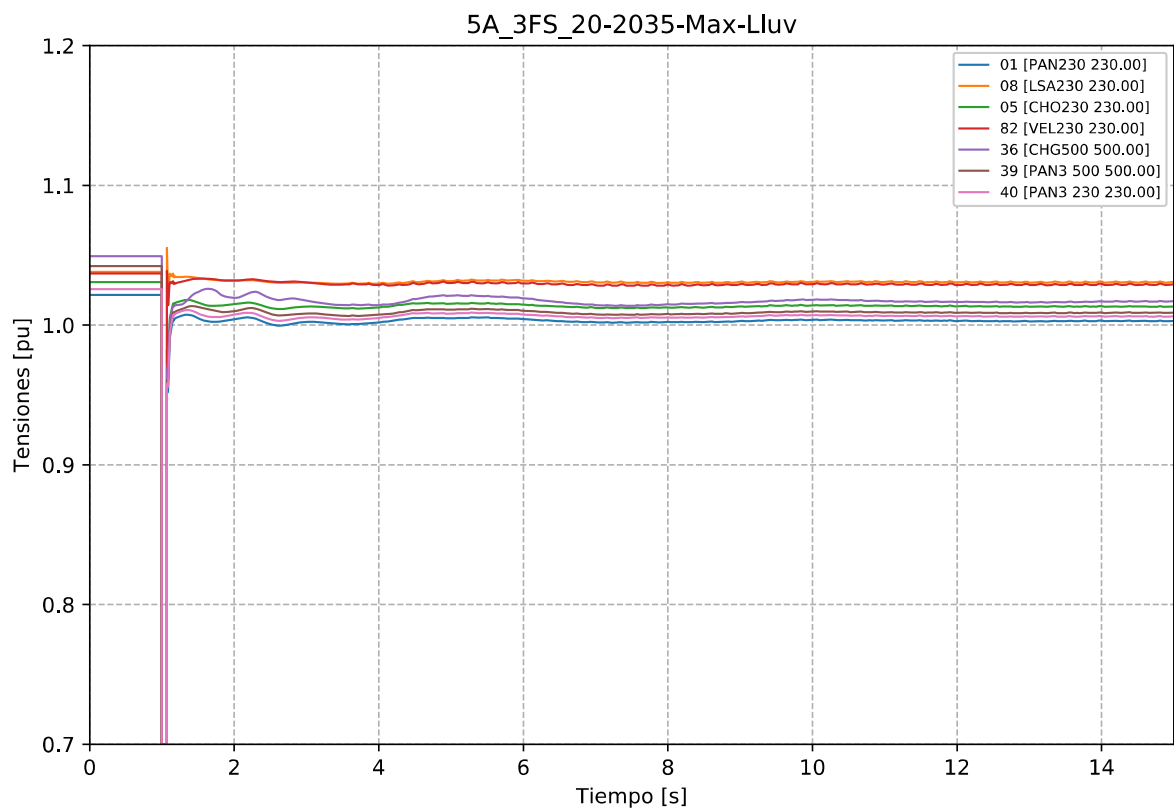


Gráfico 14. Evento 5A\_3FS, caso 20-2035-Max-Lluv. Tensiones en la zona de influencia 230 kV.

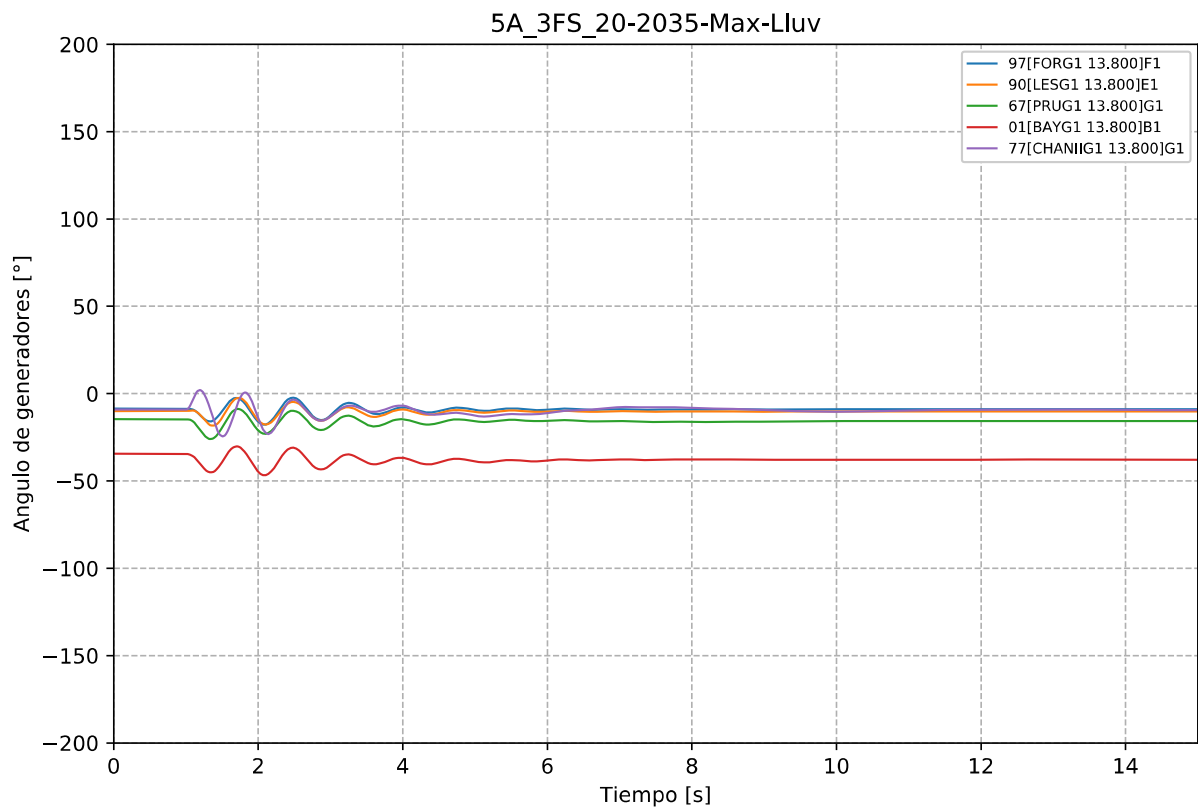


Gráfico 15. Evento 5A\_3FS, caso 20-2035-Max-Lluv. Ángulo de Generadores Hidroeléctricos.

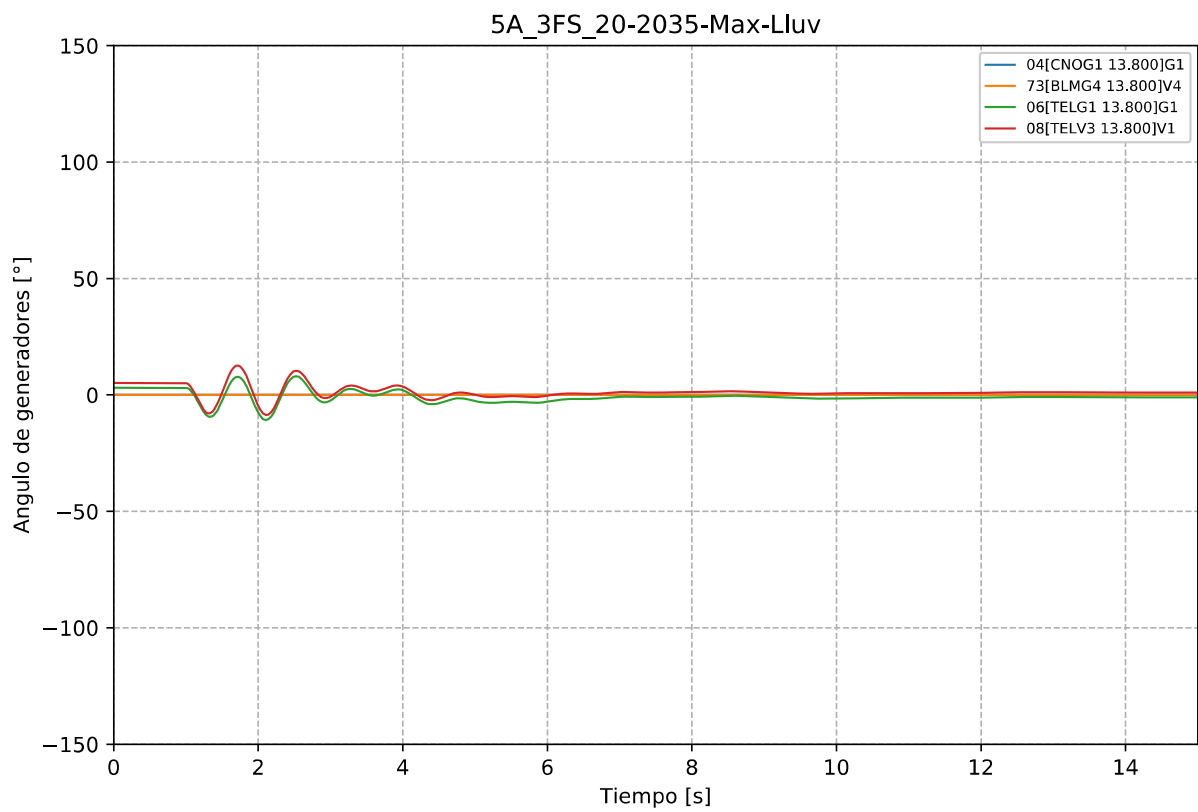


Gráfico 16. Evento 5A\_3FS, caso 20-2035-Max-Lluv. Ángulo de generadores Térmicos.



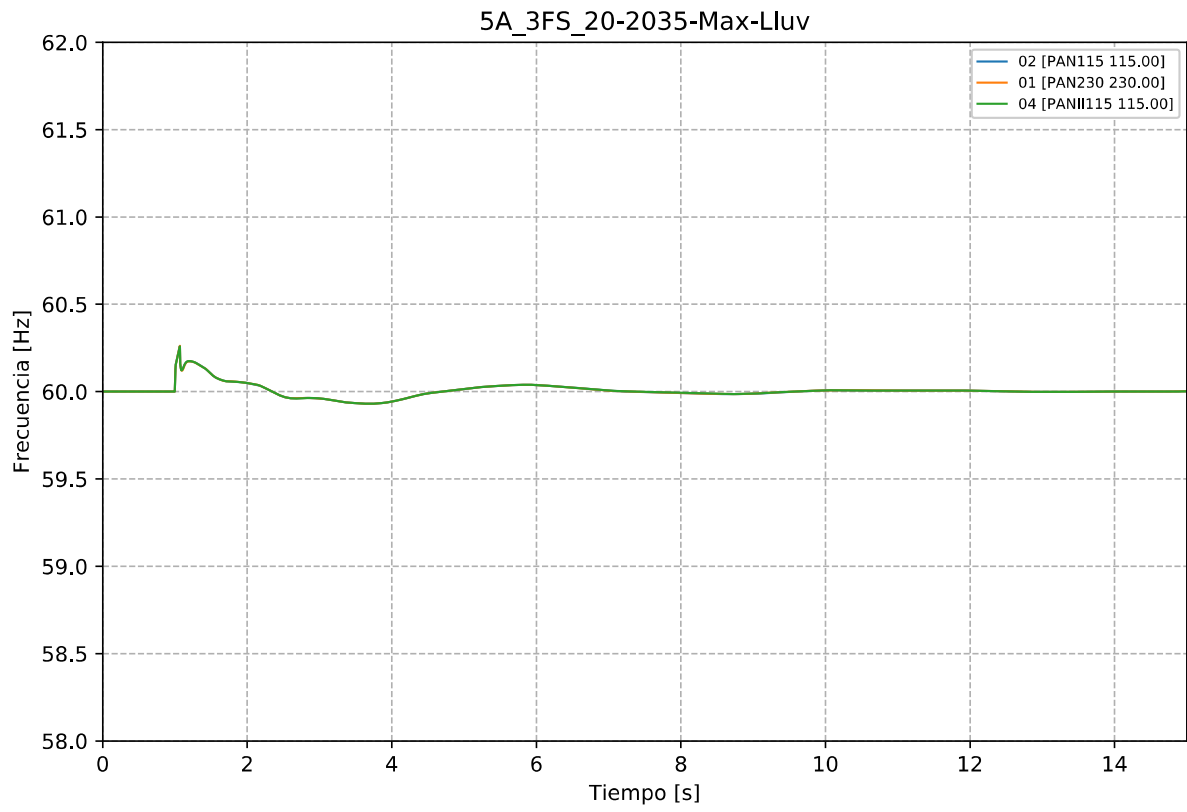


Gráfico 17. Evento 5A\_3FS, caso 20-2035-Max-Lluv. Frecuencia.

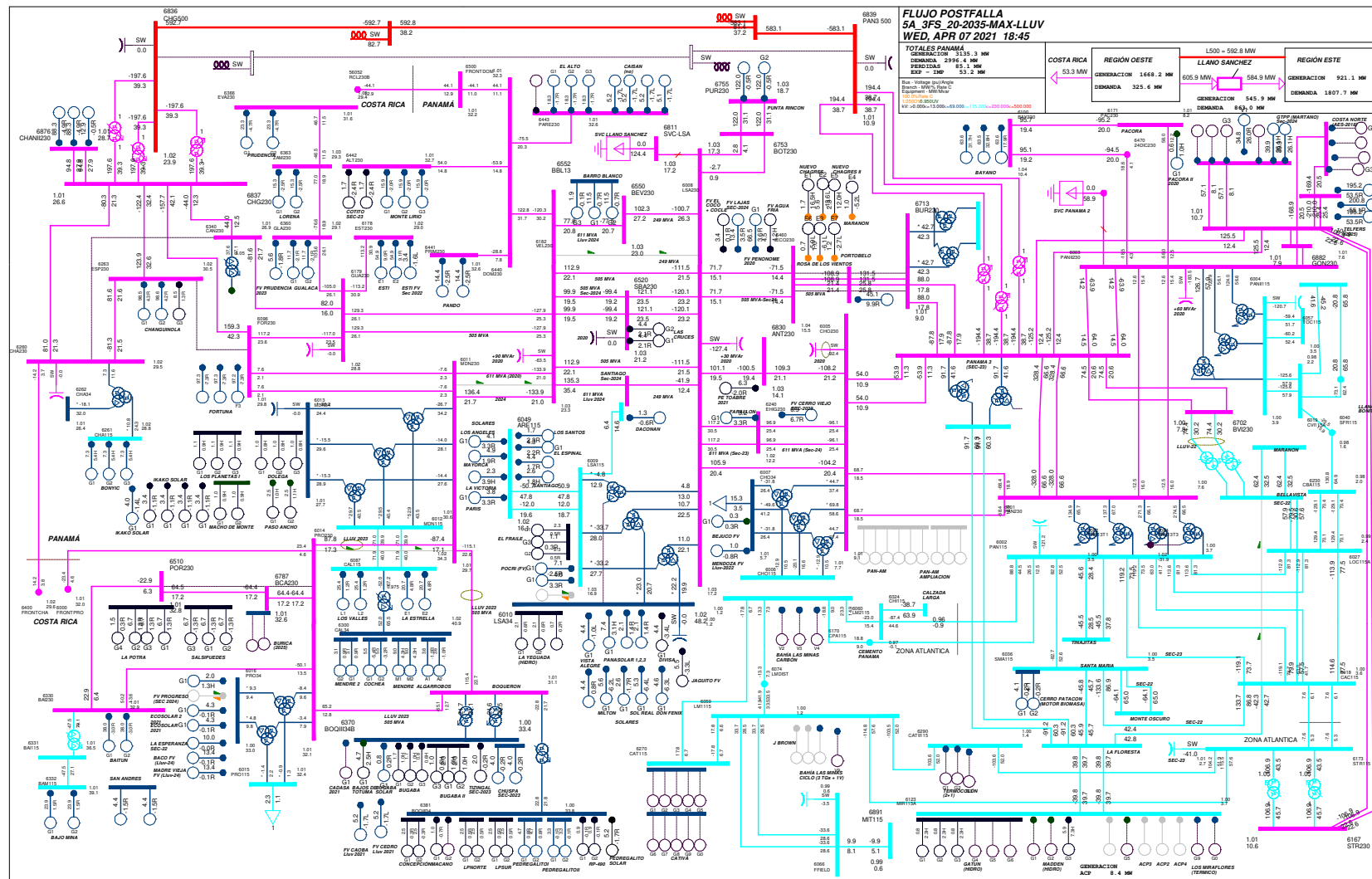


Gráfico 18. Evento 5A\_3FS, caso 20-2035-Max-Lluv. Flujo postfalla

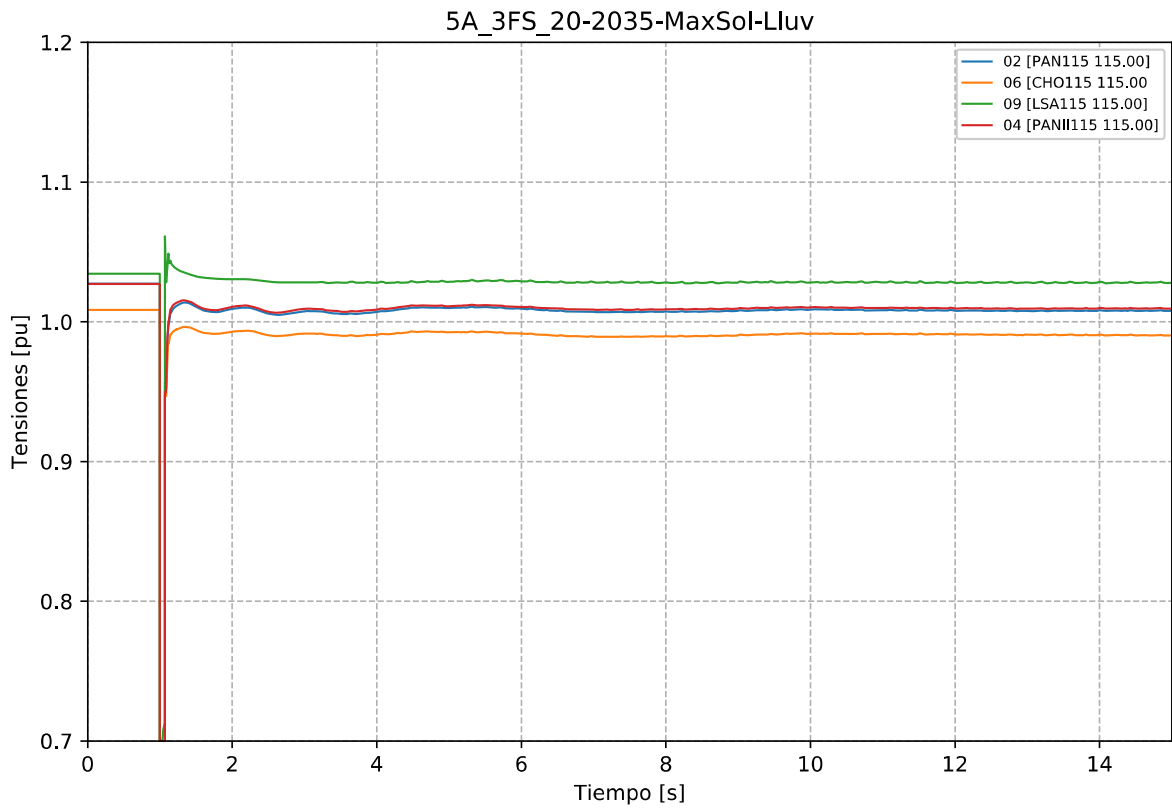


Gráfico 19. Evento 5A\_3FS, caso 20-2035-MaxSol-Lluv. Tensiones en la zona de influencia 115 kV.

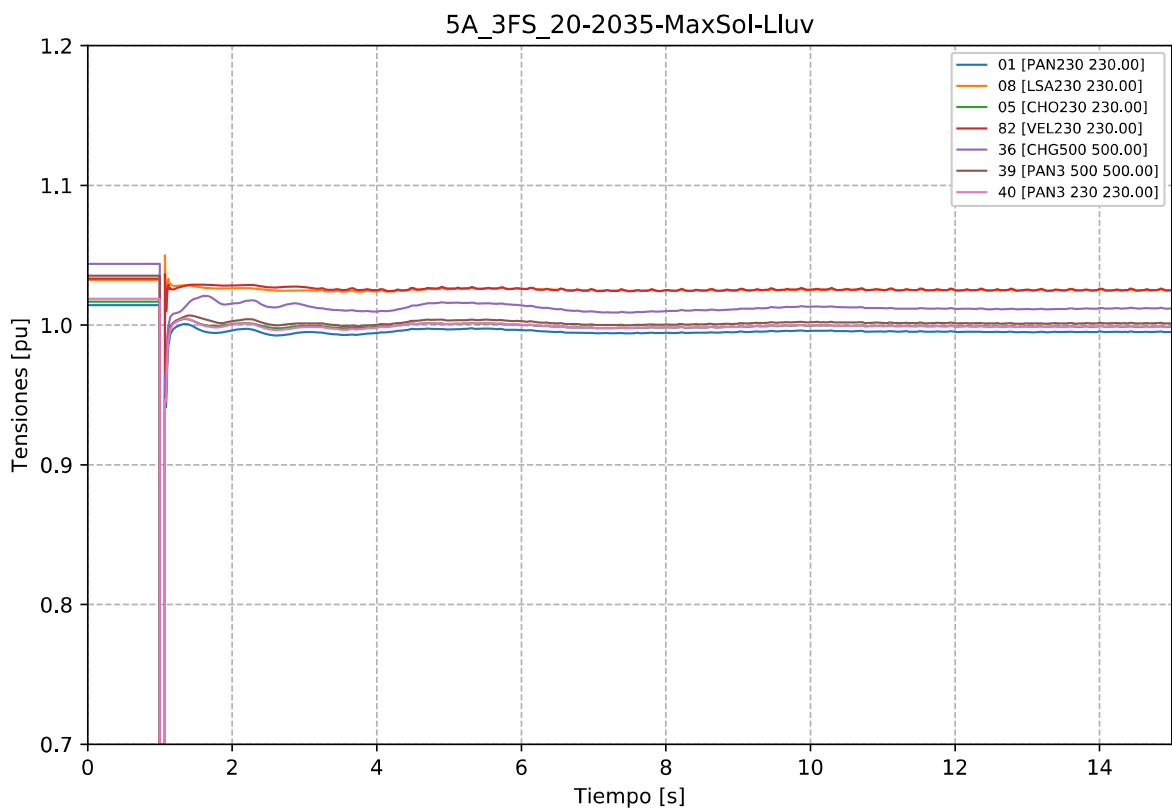


Gráfico 20. Evento 5A\_3FS, caso 20-2035-MaxSol-Lluv. Tensiones en la zona de influencia 230 kV.

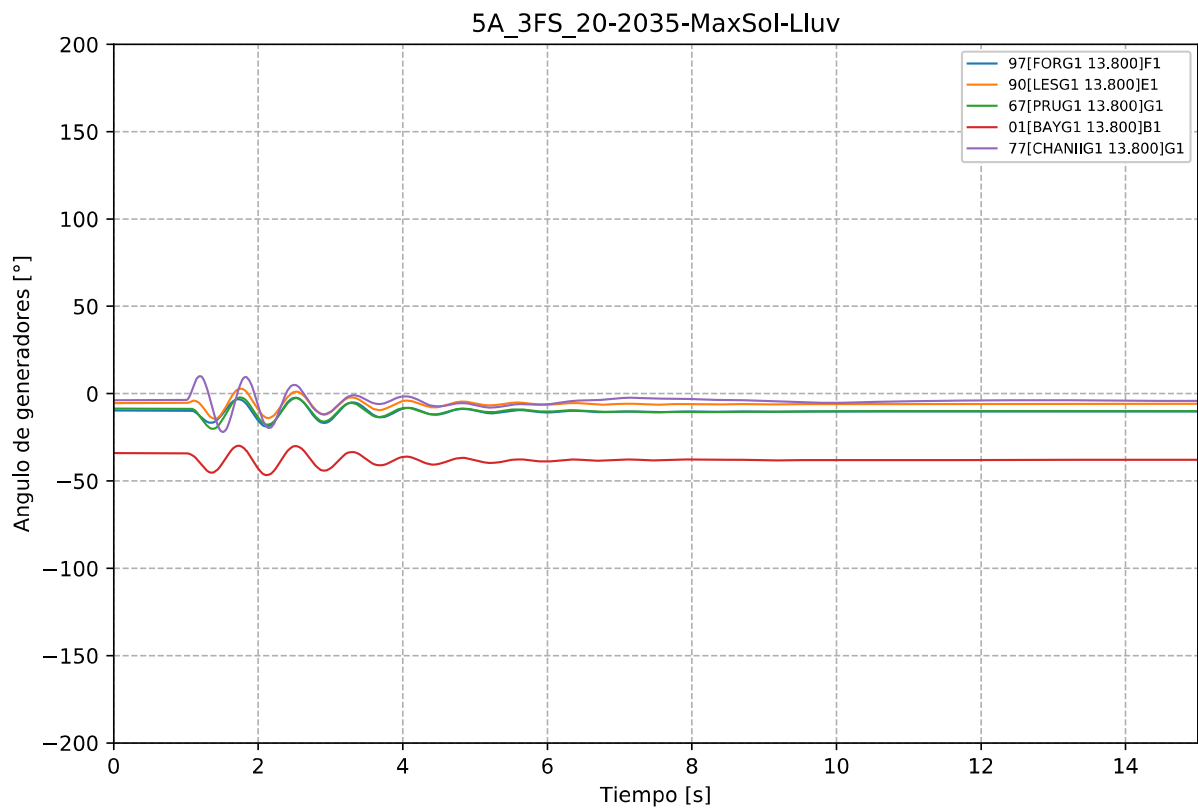


Gráfico 21. Evento 5A\_3FS, caso 20-2035-MaxSol-Lluv. Ángulo de Generadores Hidroeléctricos.

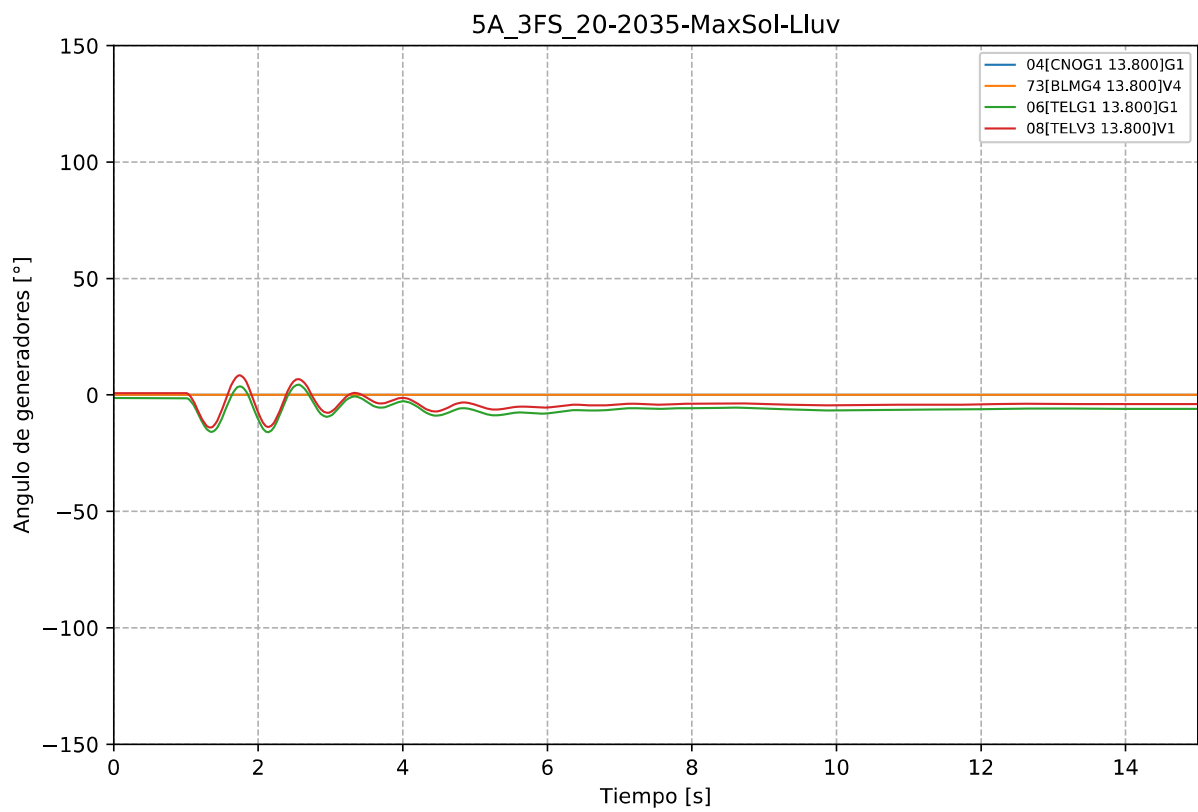


Gráfico 22. Evento 5A\_3FS, caso 20-2035-MaxSol-Lluv. Ángulo de generadores Térmicos.

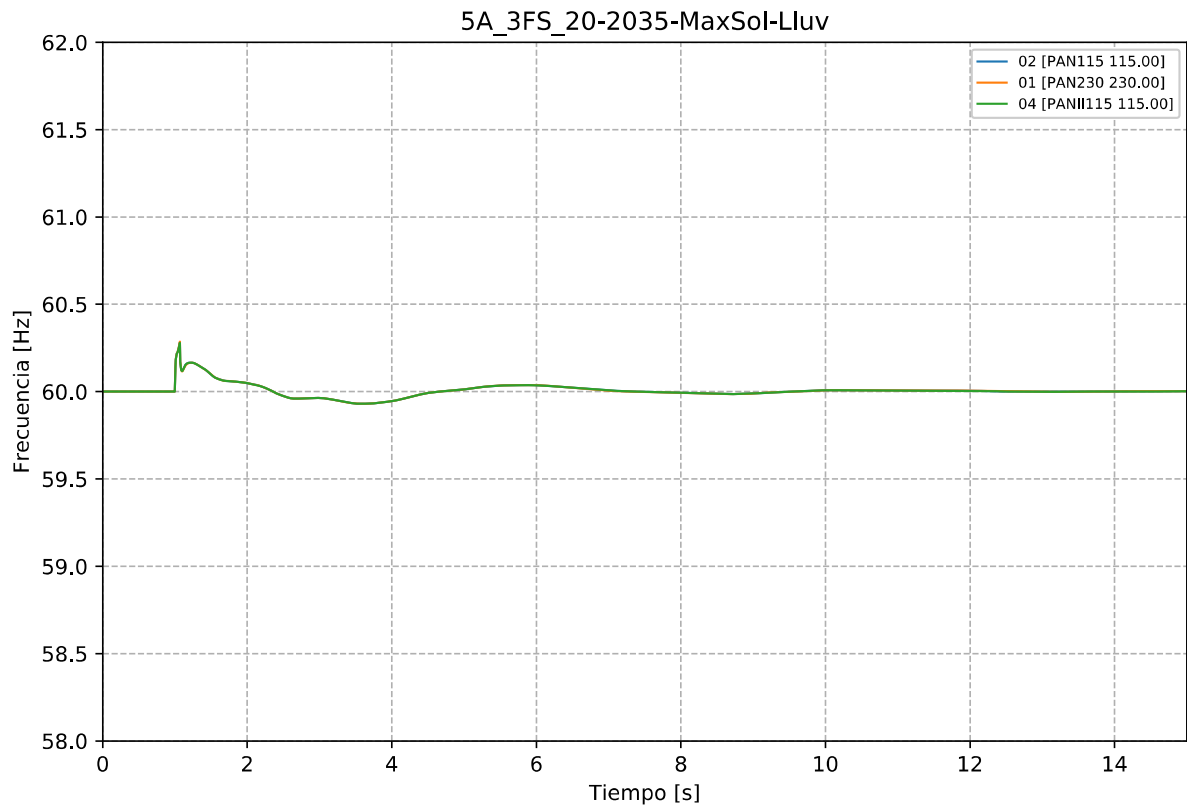


Gráfico 23. Evento 5A\_3FS, caso 20-2035-MaxSol-Lluv. Frecuencia.

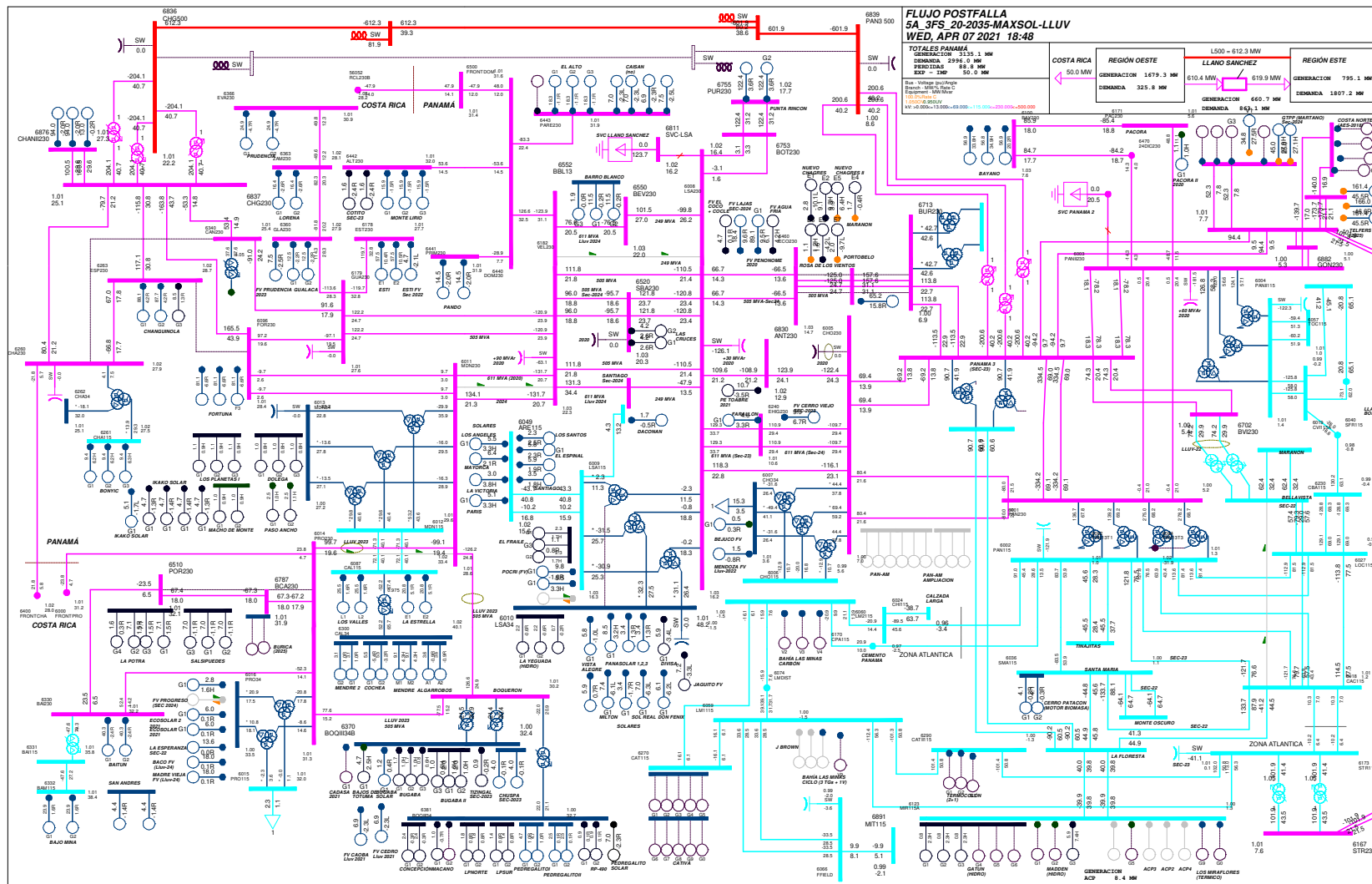


Gráfico 24. Evento 5A\_3FS, caso 20-2035-MaxSol-Lluv. Flujo postfalla

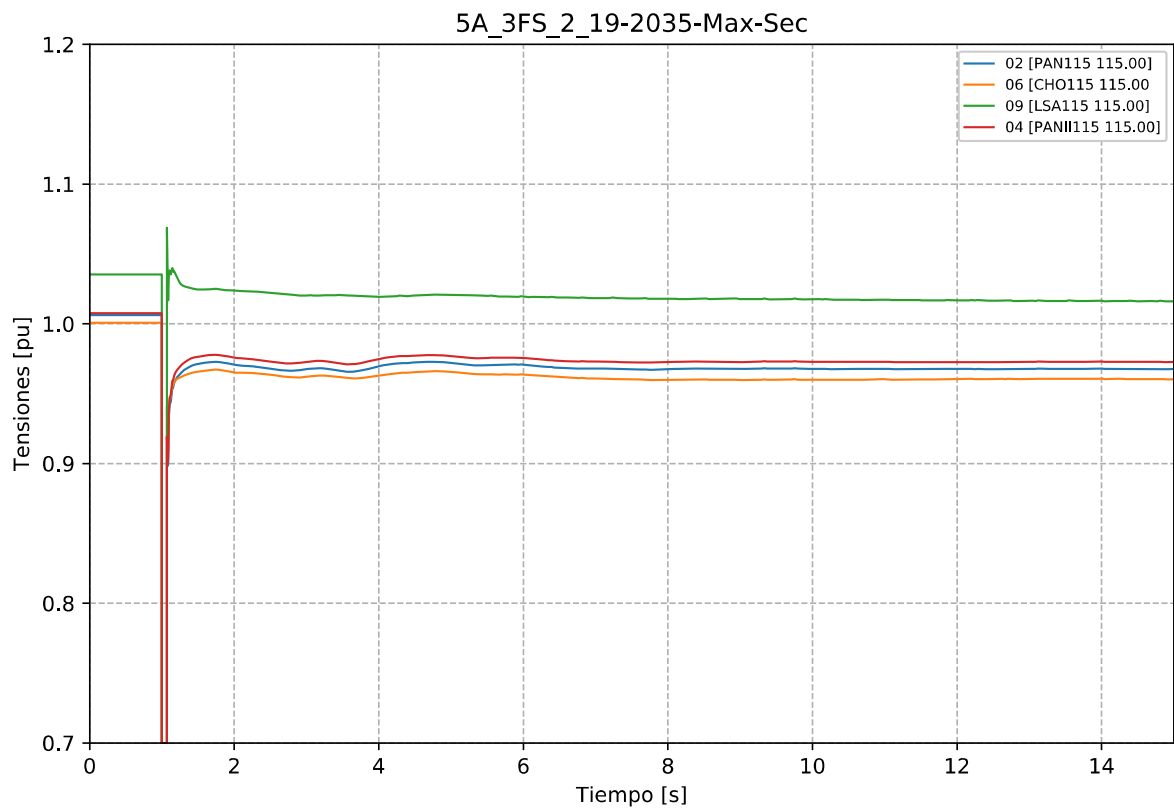


Gráfico 25. Evento 5A\_3FS, caso 2. Tensiones en la zona de influencia 115 kV.

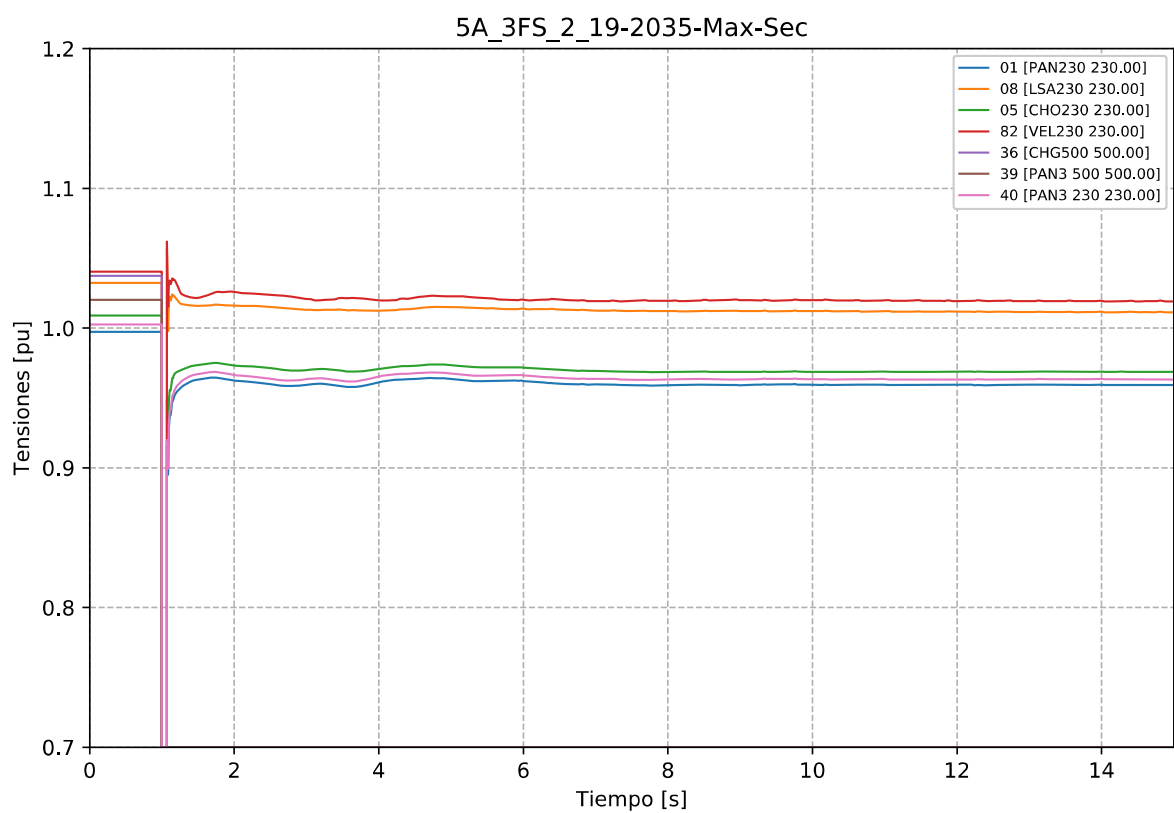


Gráfico 26. Evento 5A\_3FS, caso 2. Tensiones en la zona de influencia 230 kV.

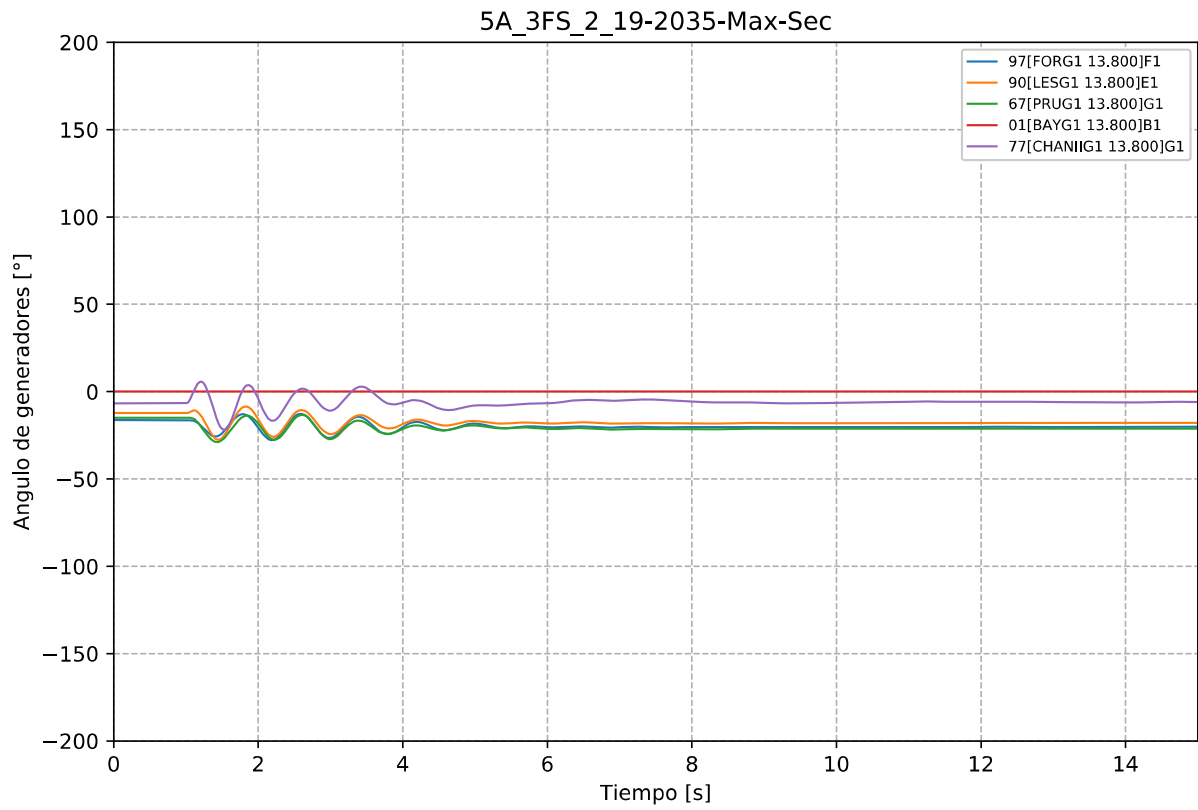


Gráfico 27. Evento 5A\_3FS, caso 2. Ángulo de Generadores Hidroeléctricos.

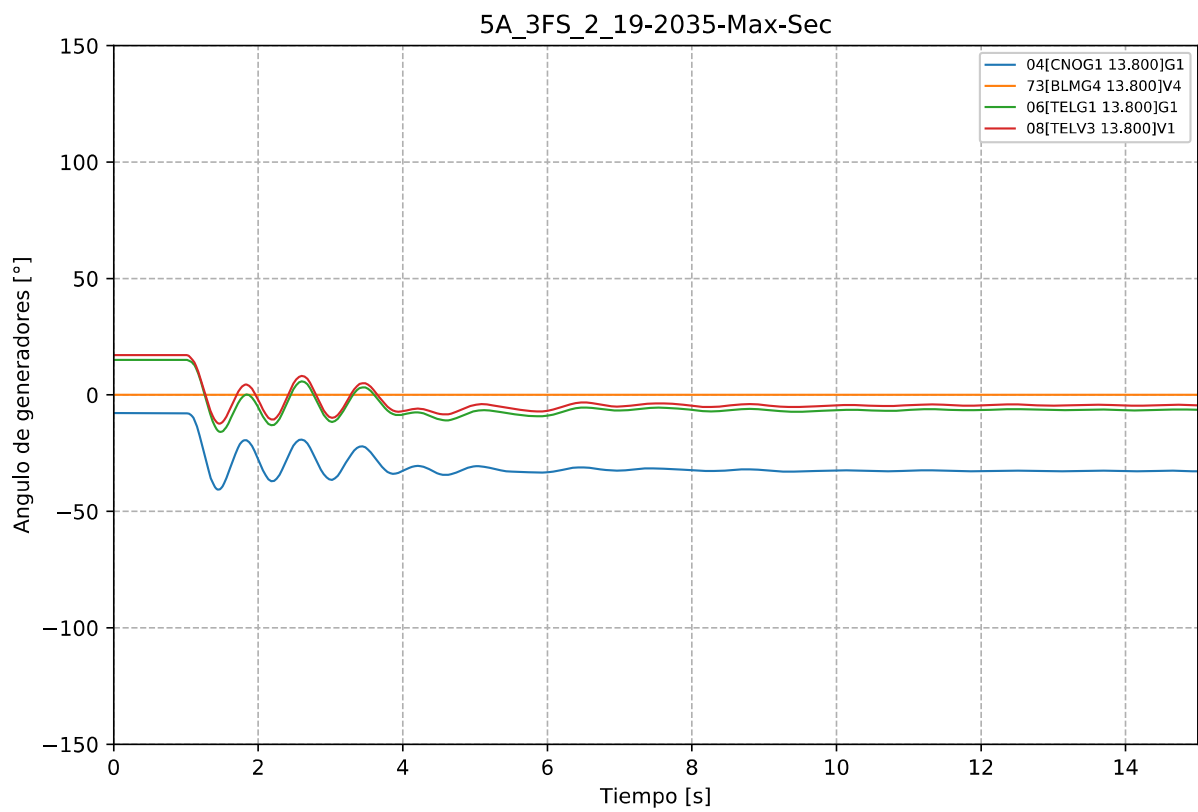


Gráfico 28. Evento 5A\_3FS, caso 2. Ángulo de generadores Térmicos.



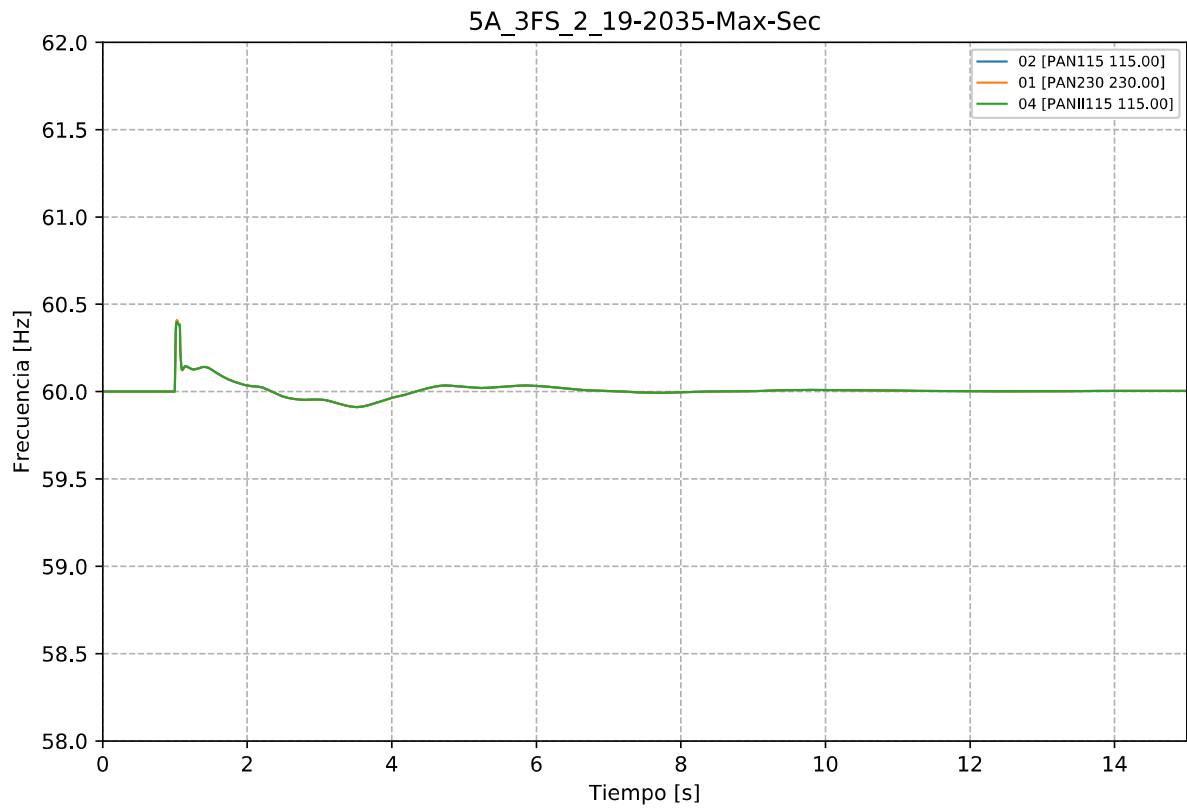


Gráfico 29. Evento 5A\_3FS, caso 2. Frecuencia.

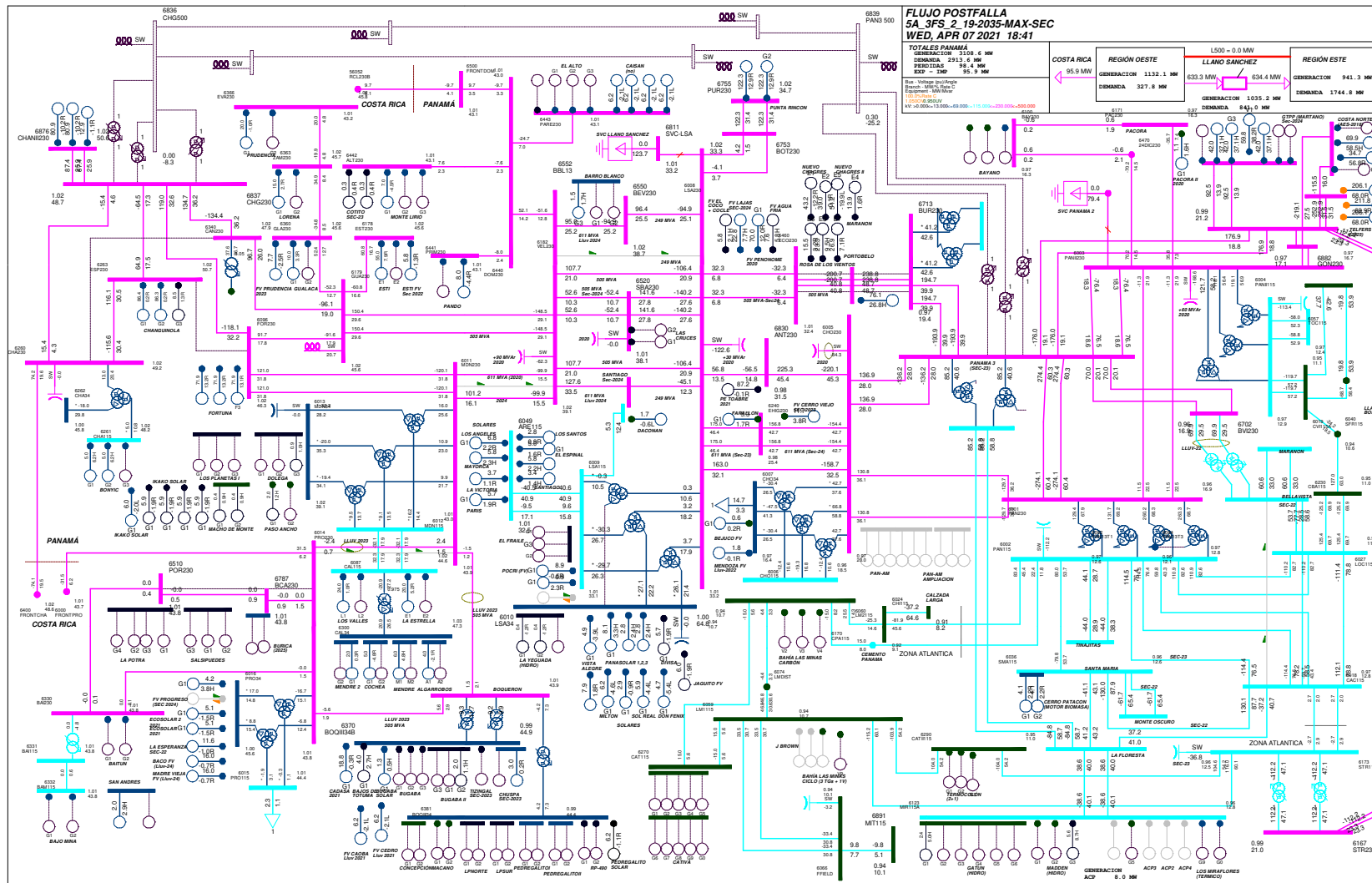


Gráfico 30. Evento 5A\_3FS, caso 2. Flujo postfalla

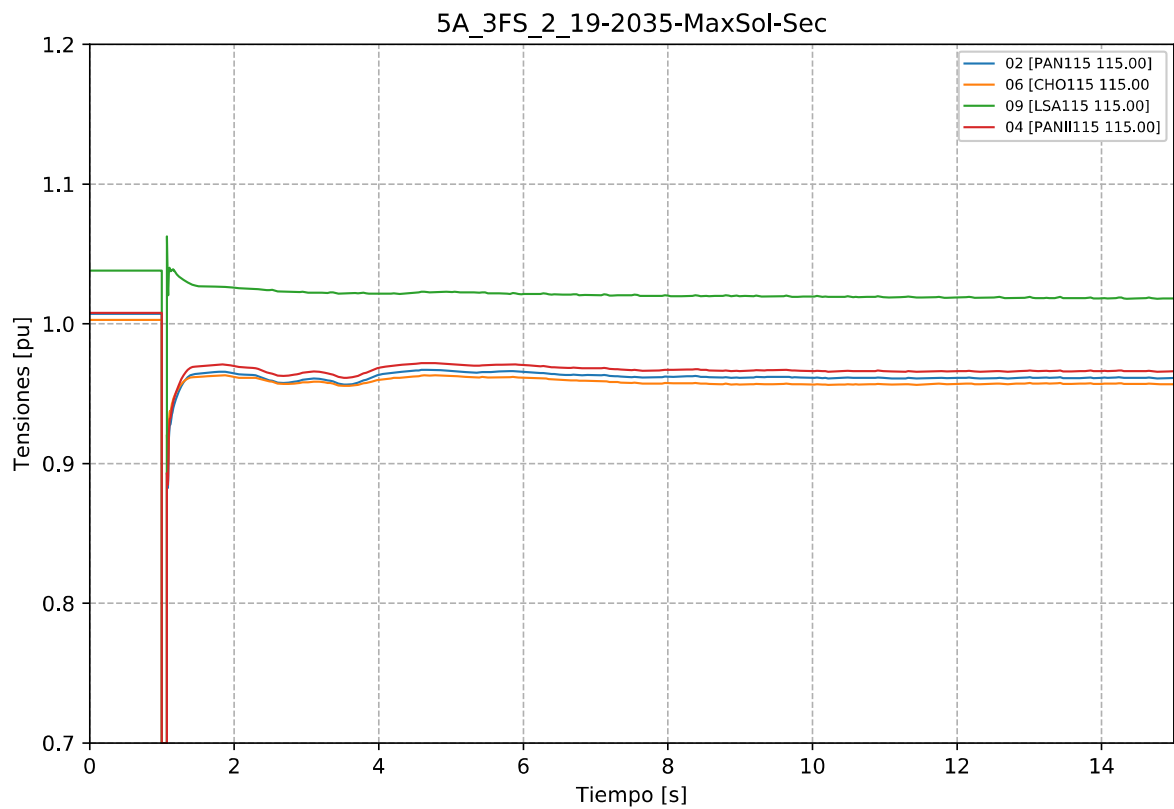


Gráfico 31. Evento 5A\_3FS, caso 2. Tensiones en la zona de influencia 115 kV.

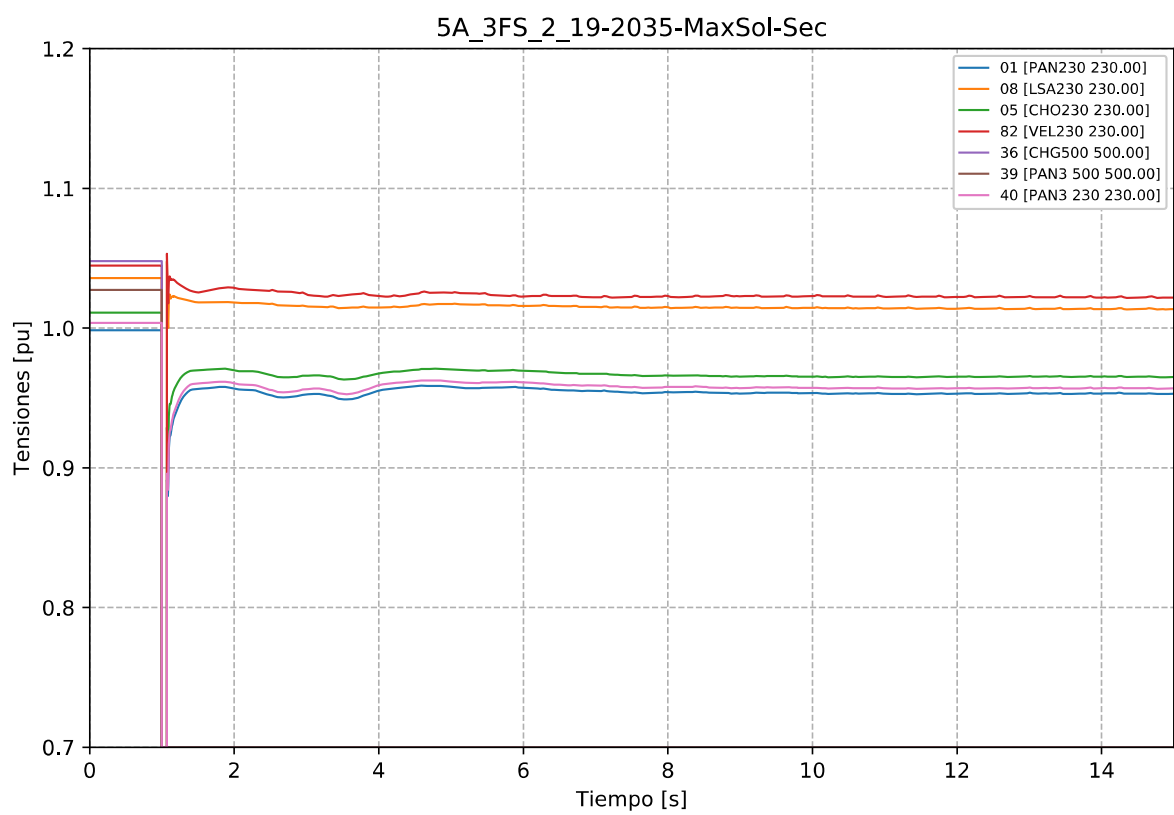


Gráfico 32. Evento 5A\_3FS, caso 2. Tensiones en la zona de influencia 230 kV.

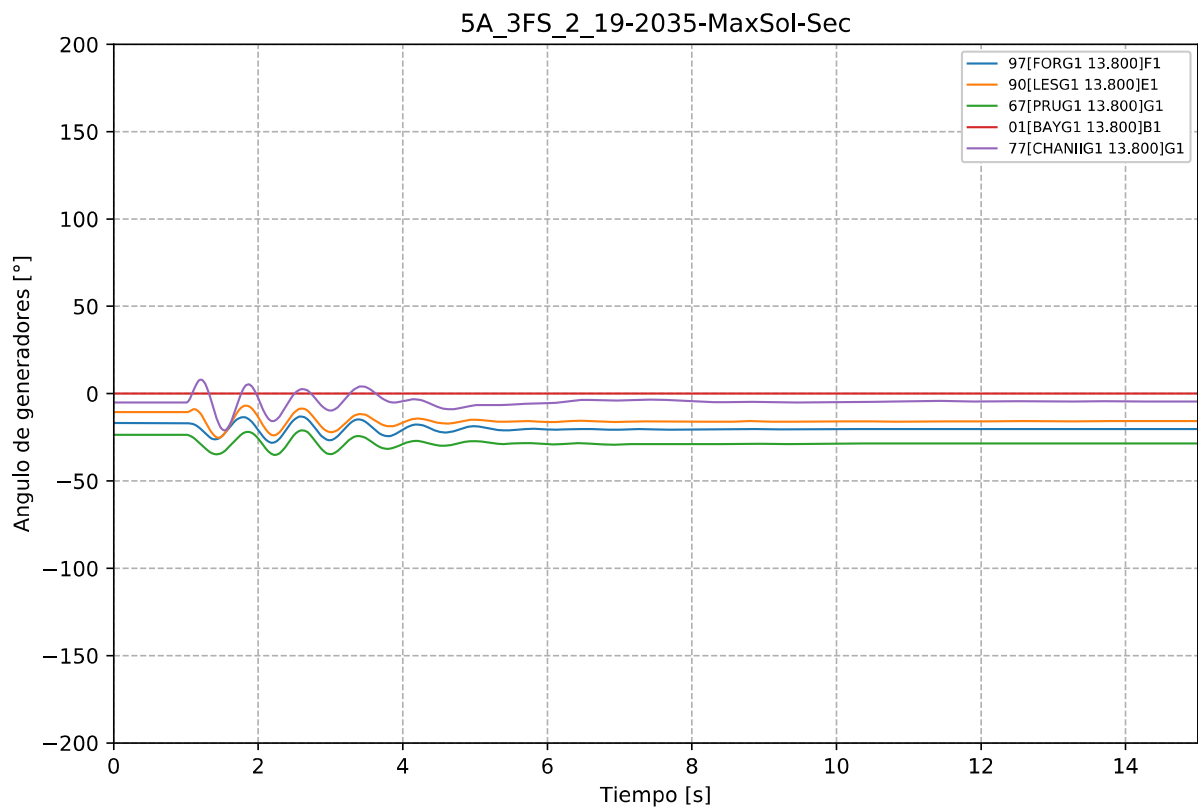


Gráfico 33. Evento 5A\_3FS, caso 2. Ángulo de Generadores Hidroeléctricos.

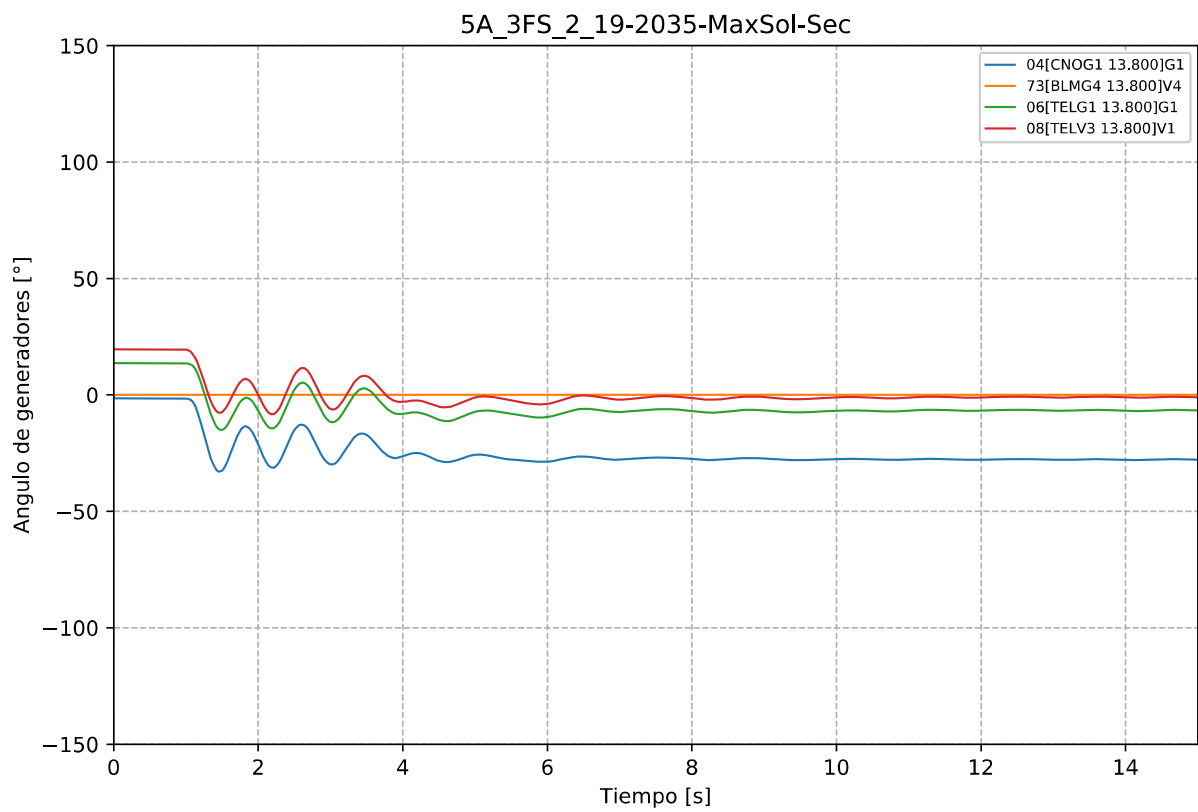


Gráfico 34. Evento 5A\_3FS, caso 2. Ángulo de generadores Térmicos.

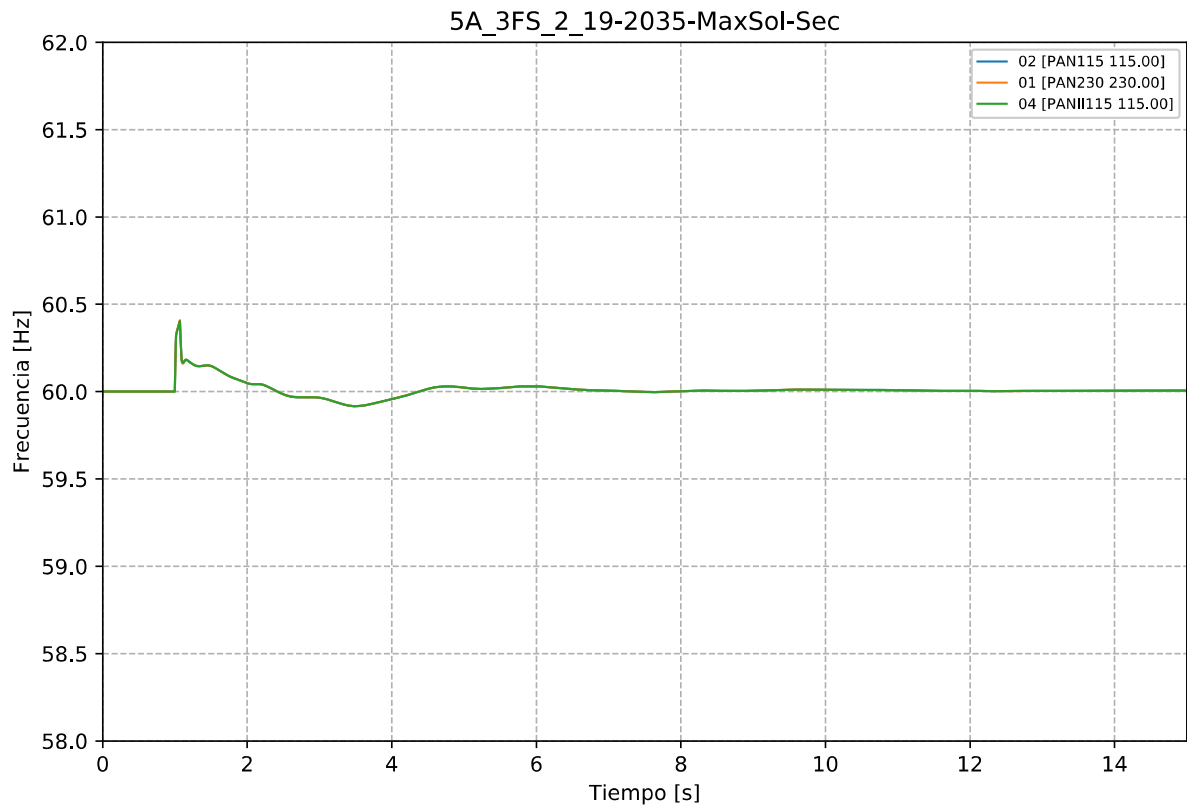


Gráfico 35. Evento 5A\_3FS, caso 2. Frecuencia.

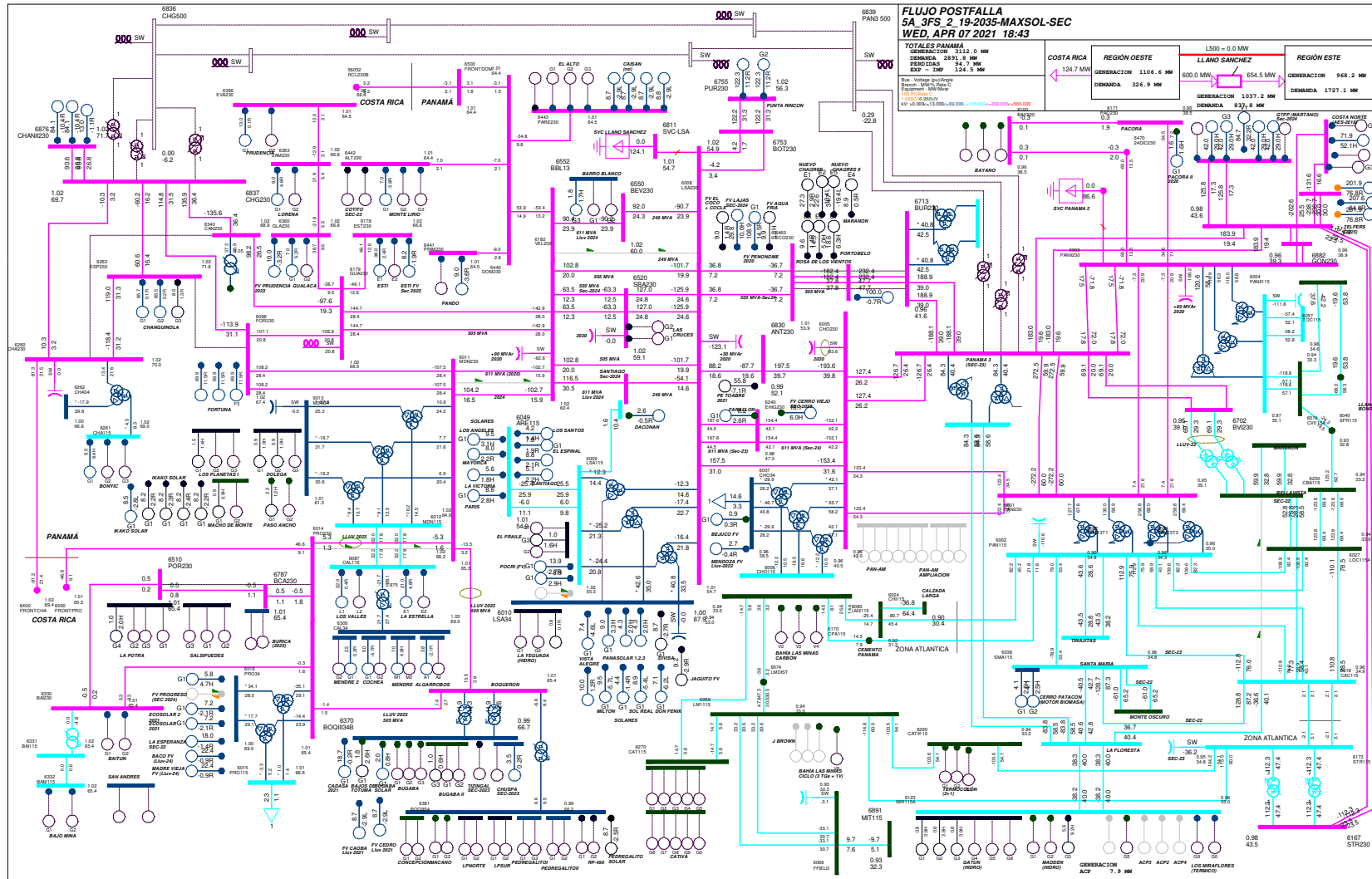


Gráfico 36. Evento 5A\_3FS, caso 2. Flujo postfalla

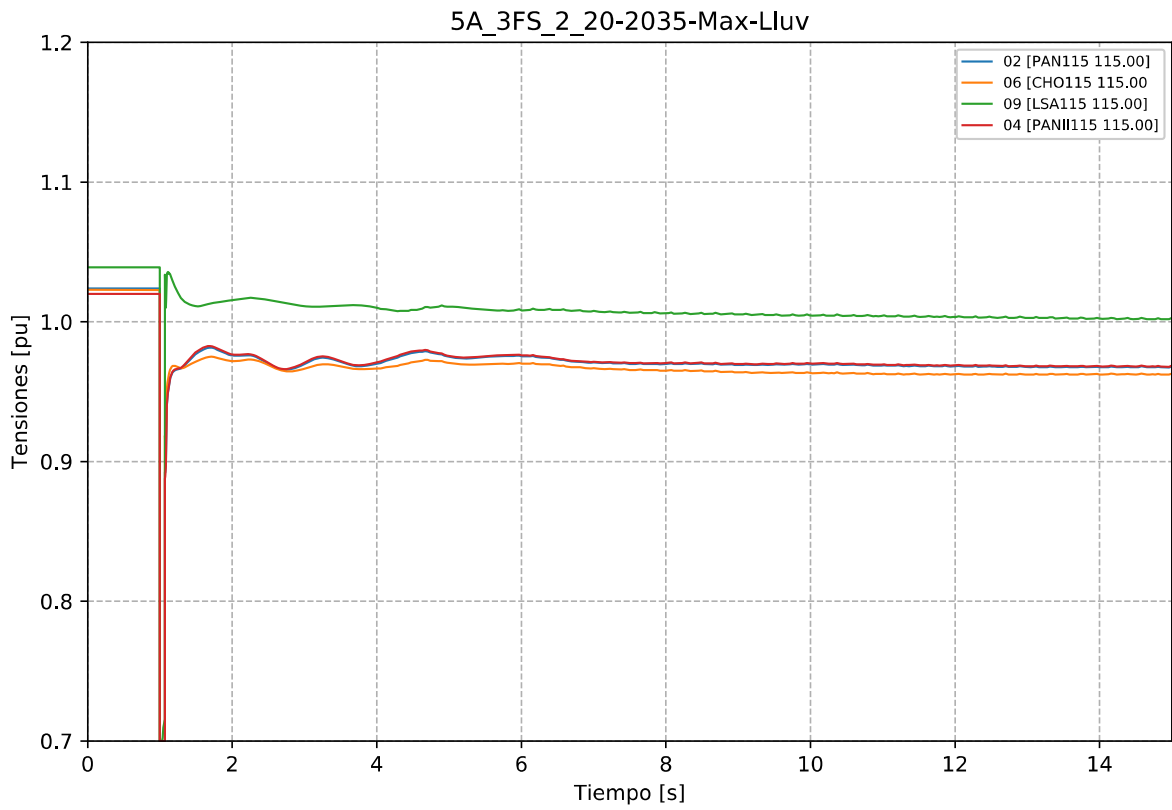


Gráfico 37. Evento 5A\_3FS, caso 2. Tensiones en la zona de influencia 115 kV.

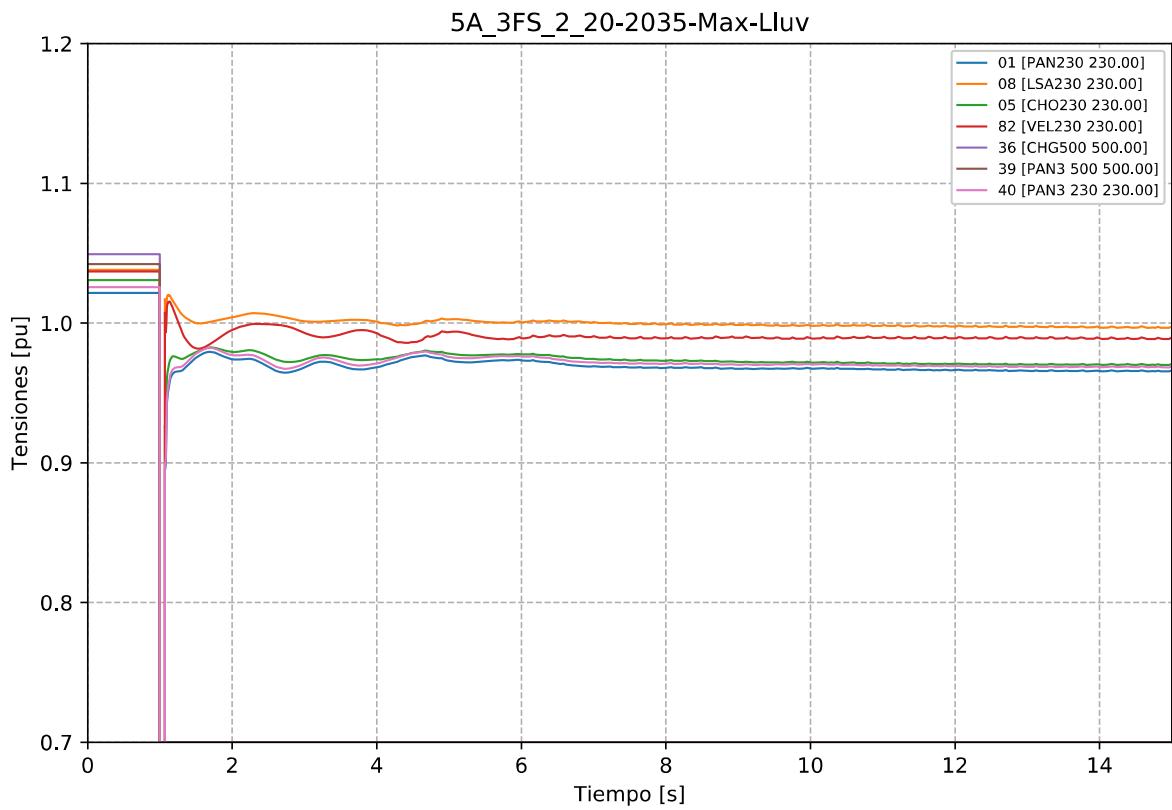


Gráfico 38. Evento 5A\_3FS, caso 2. Tensiones en la zona de influencia 230 kV.

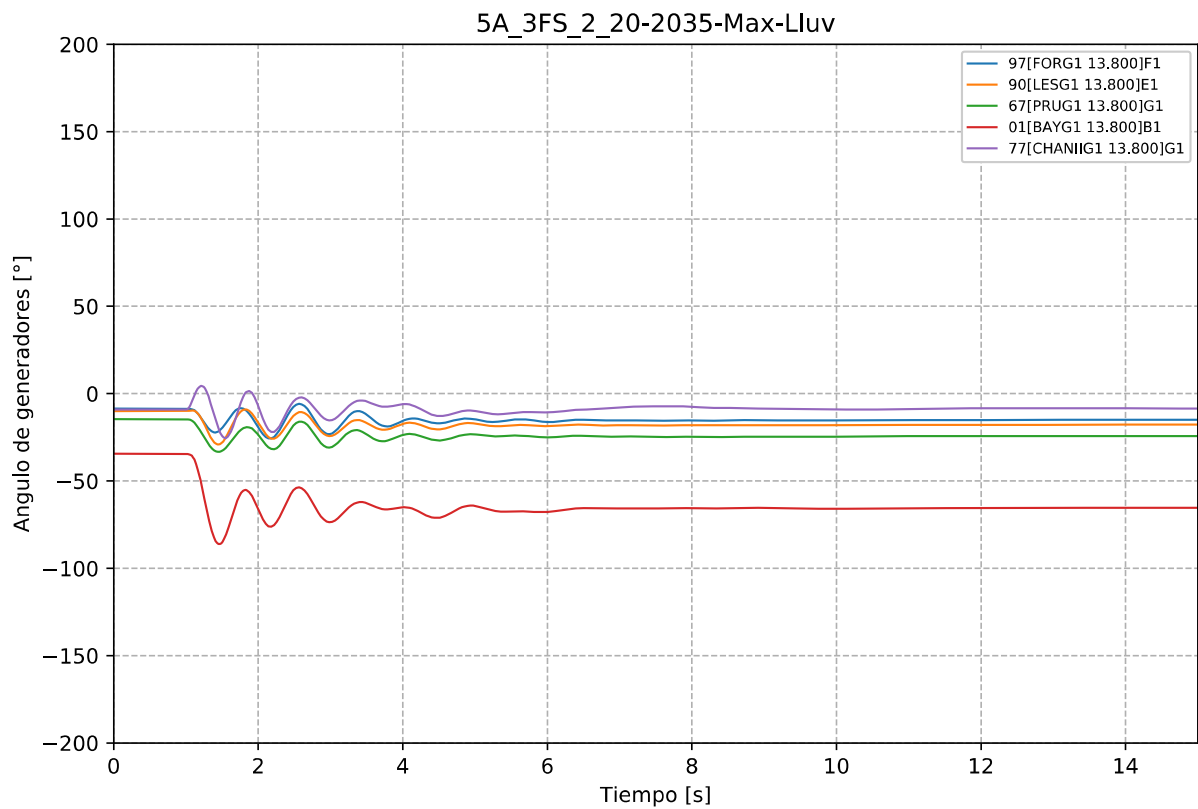


Gráfico 39. Evento 5A\_3FS, caso 2. Ángulo de Generadores Hidroeléctricos.

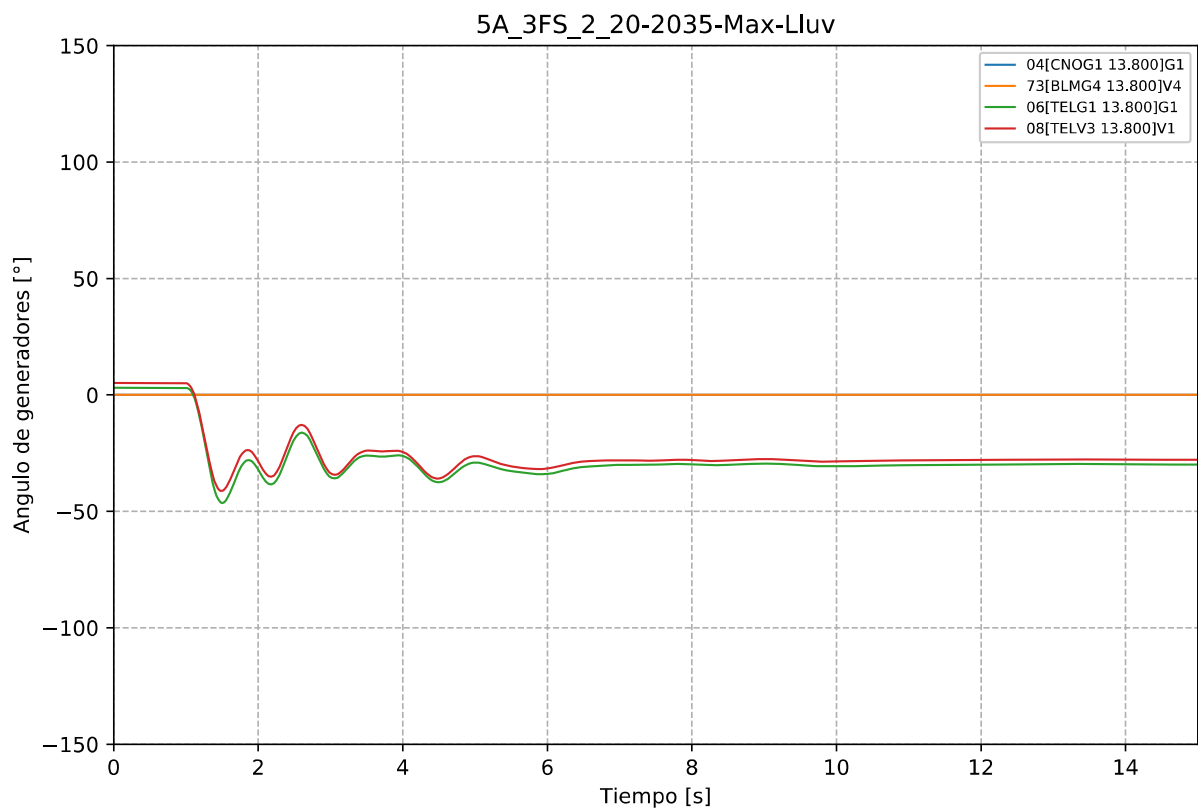


Gráfico 40. Evento 5A\_3FS, caso 2. Ángulo de generadores Térmicos.



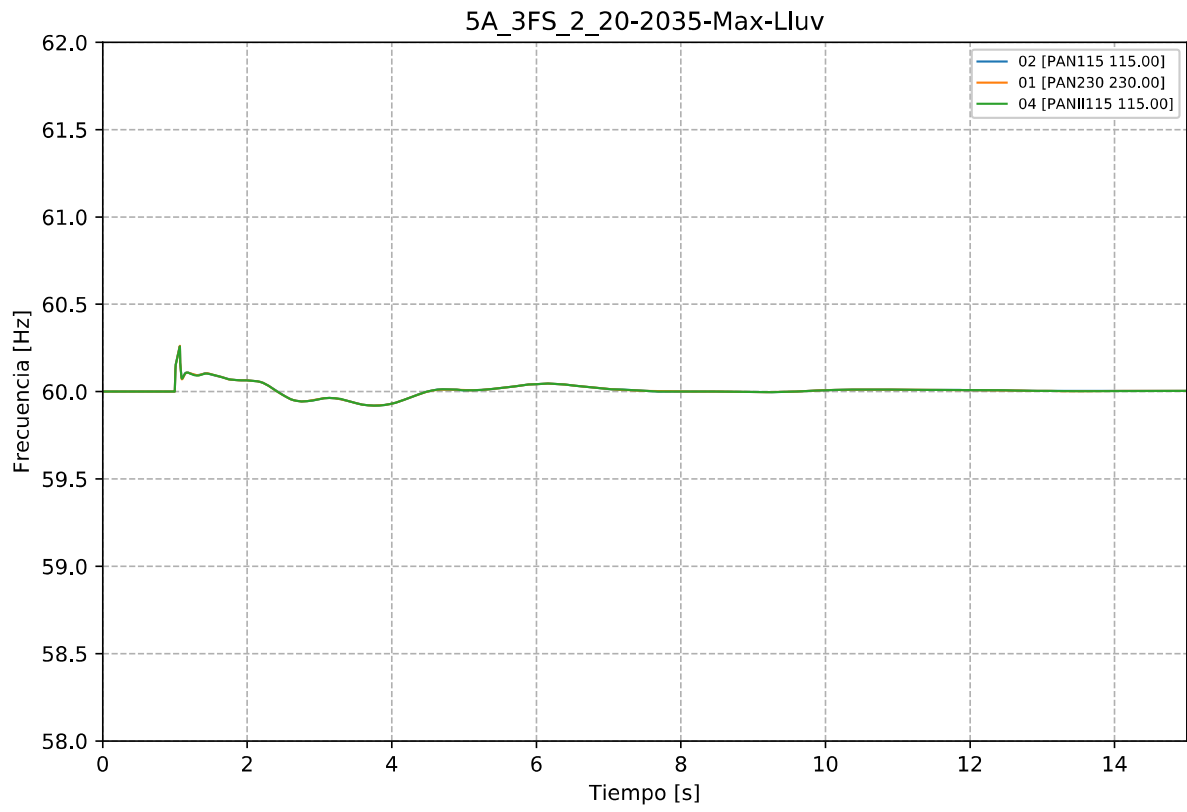


Gráfico 41. Evento 5A\_3FS, caso 2. Frecuencia.

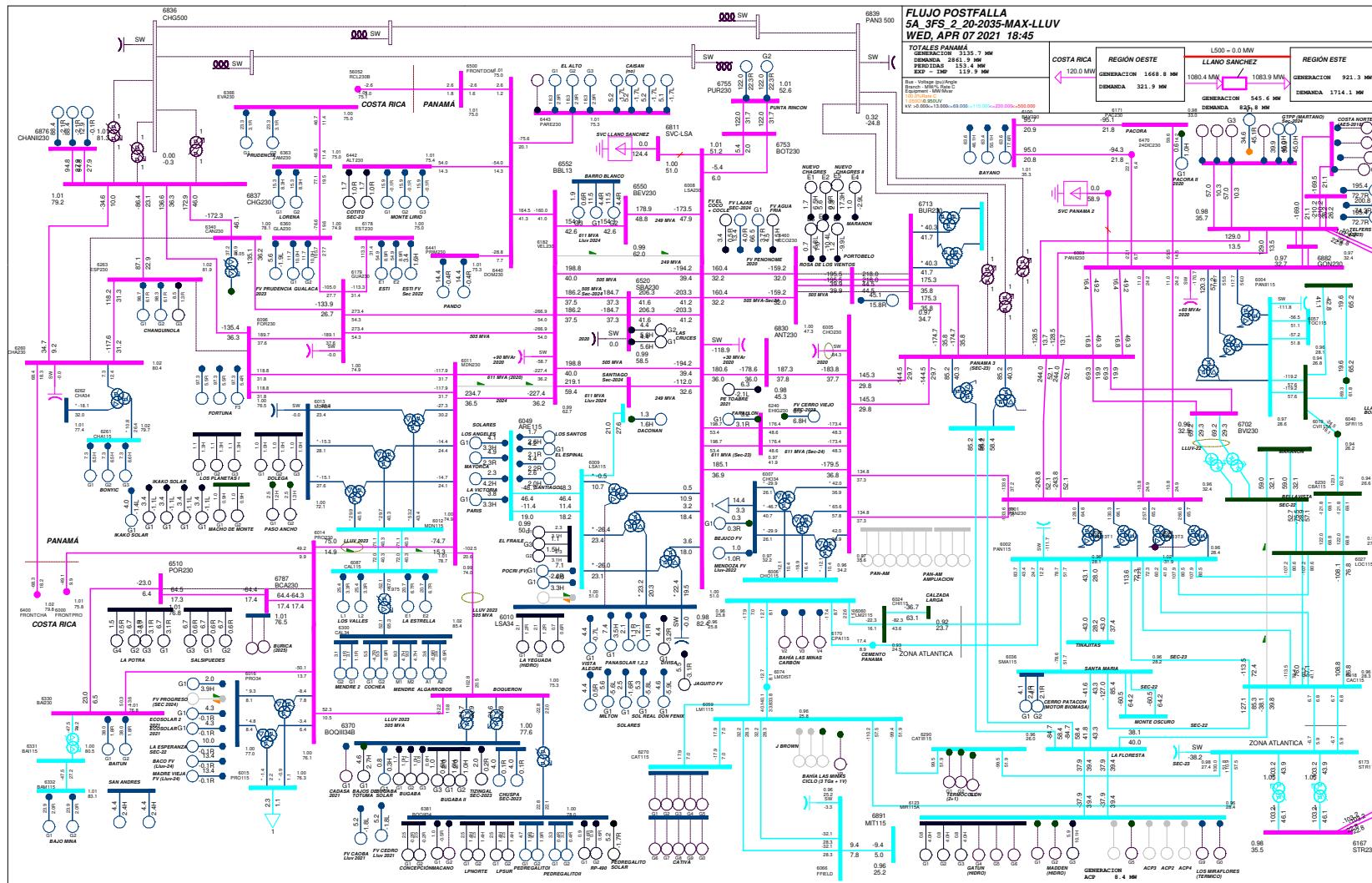


Gráfico 42. Evento 5A\_3FS, caso 2. Flujo postfalla

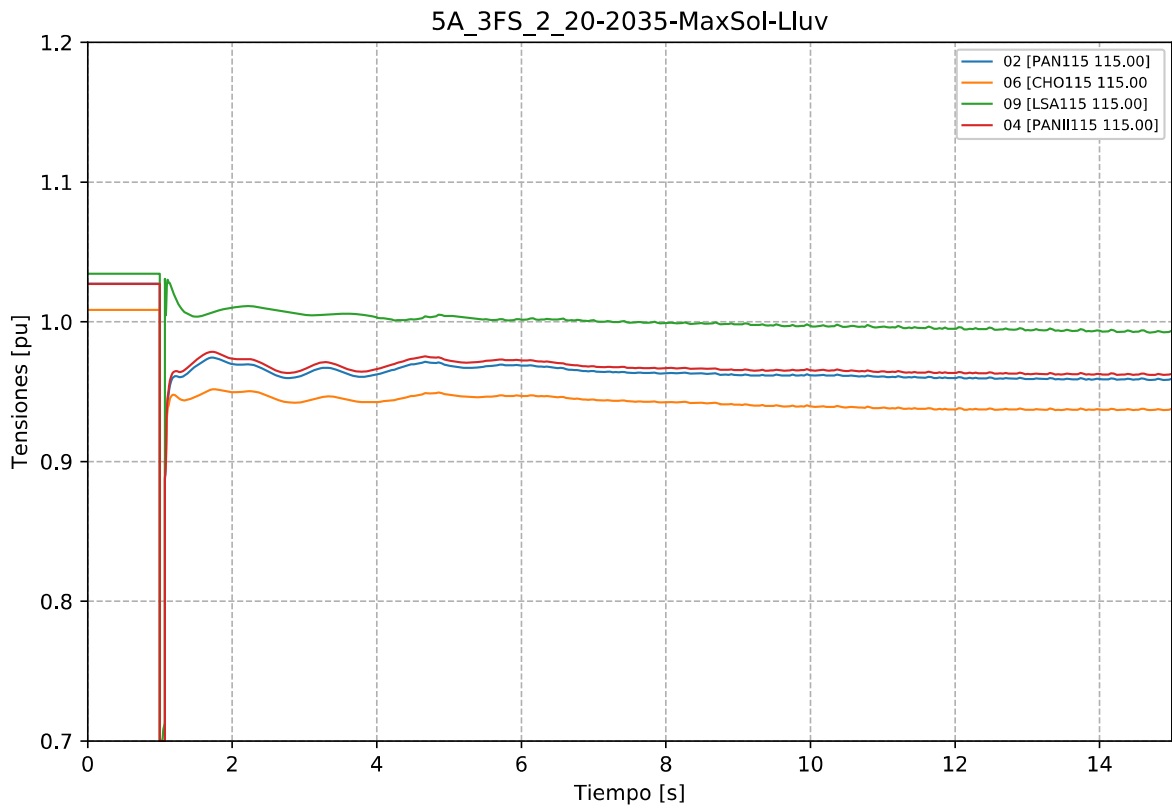


Gráfico 43. Evento 5A\_3FS, caso 2. Tensiones en la zona de influencia 115 kV.

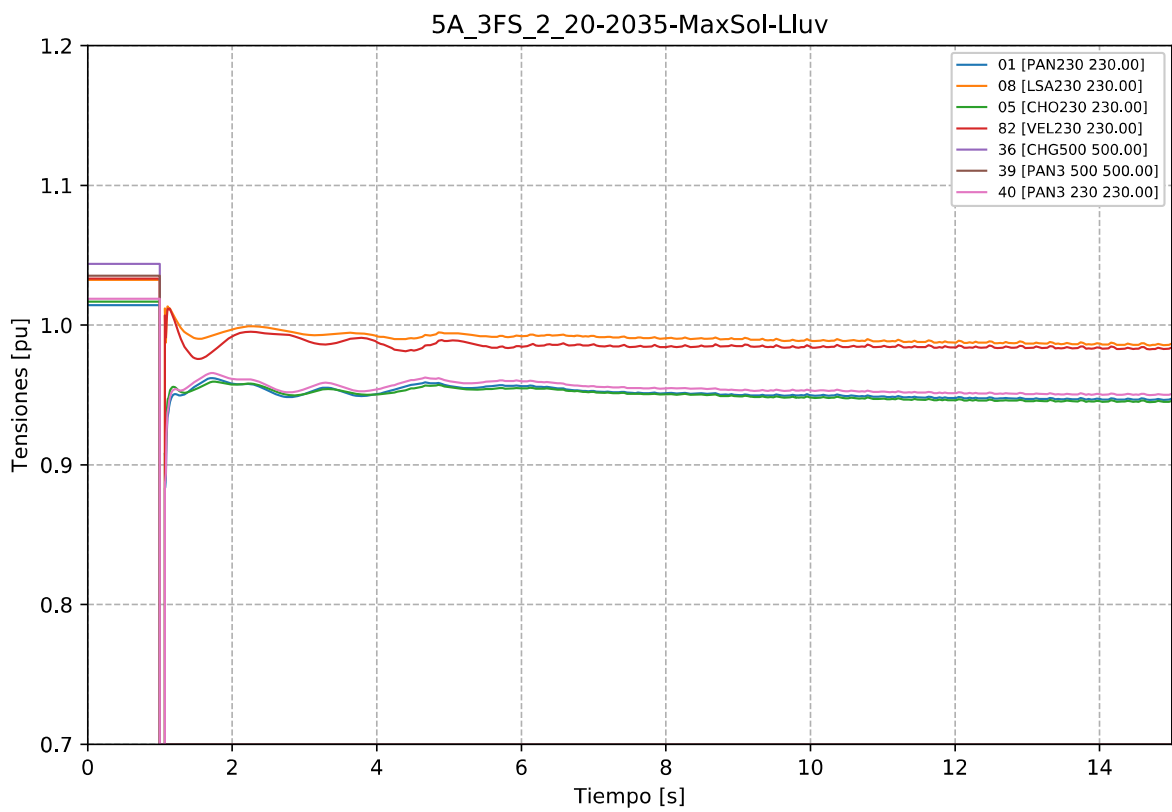


Gráfico 44. Evento 5A\_3FS, caso 2. Tensiones en la zona de influencia 230 kV.

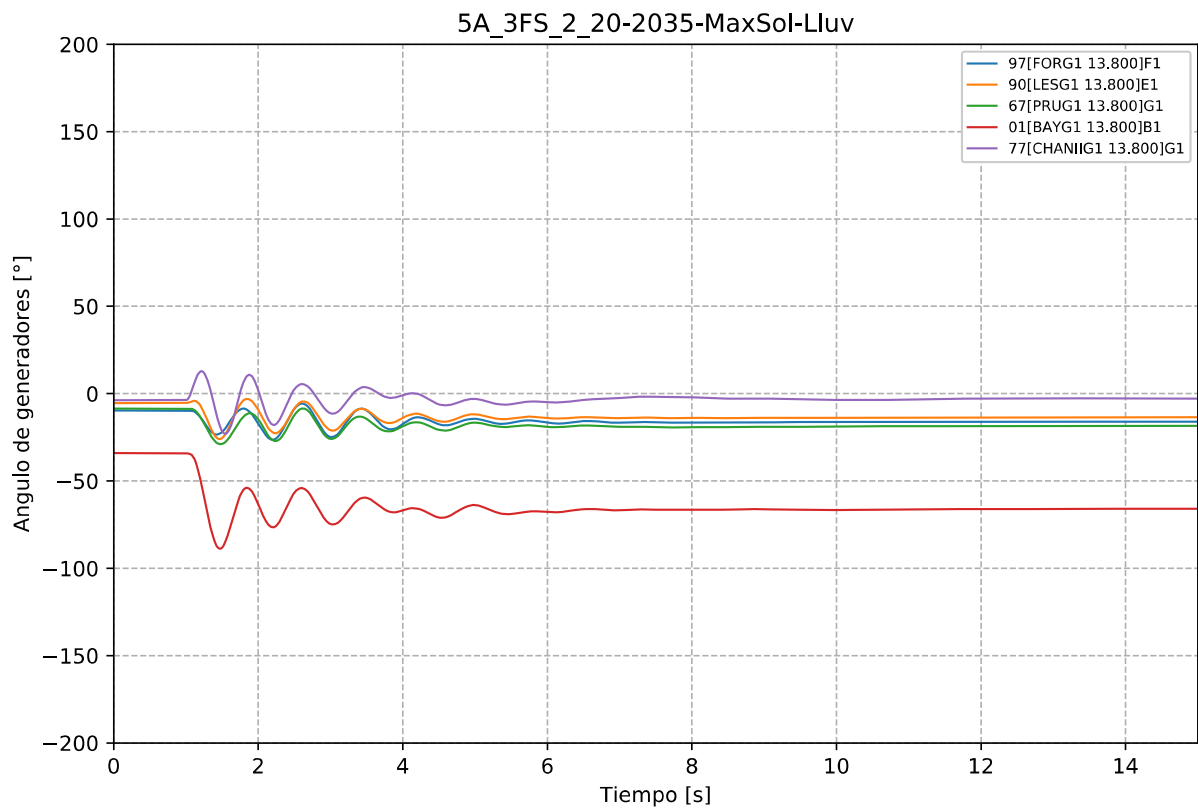


Gráfico 45. Evento 5A\_3FS, caso 2. Ángulo de Generadores Hidroeléctricos.

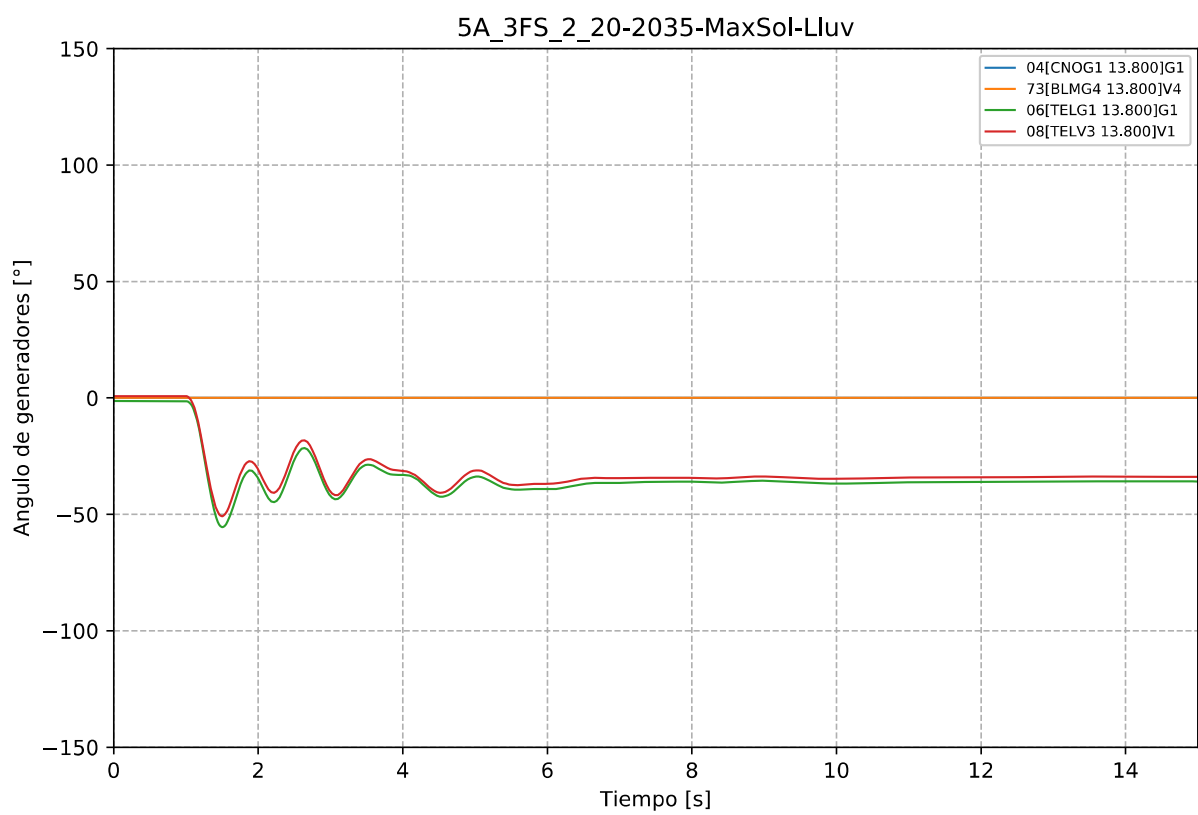


Gráfico 46. Evento 5A\_3FS, caso 2. Ángulo de generadores Térmicos.

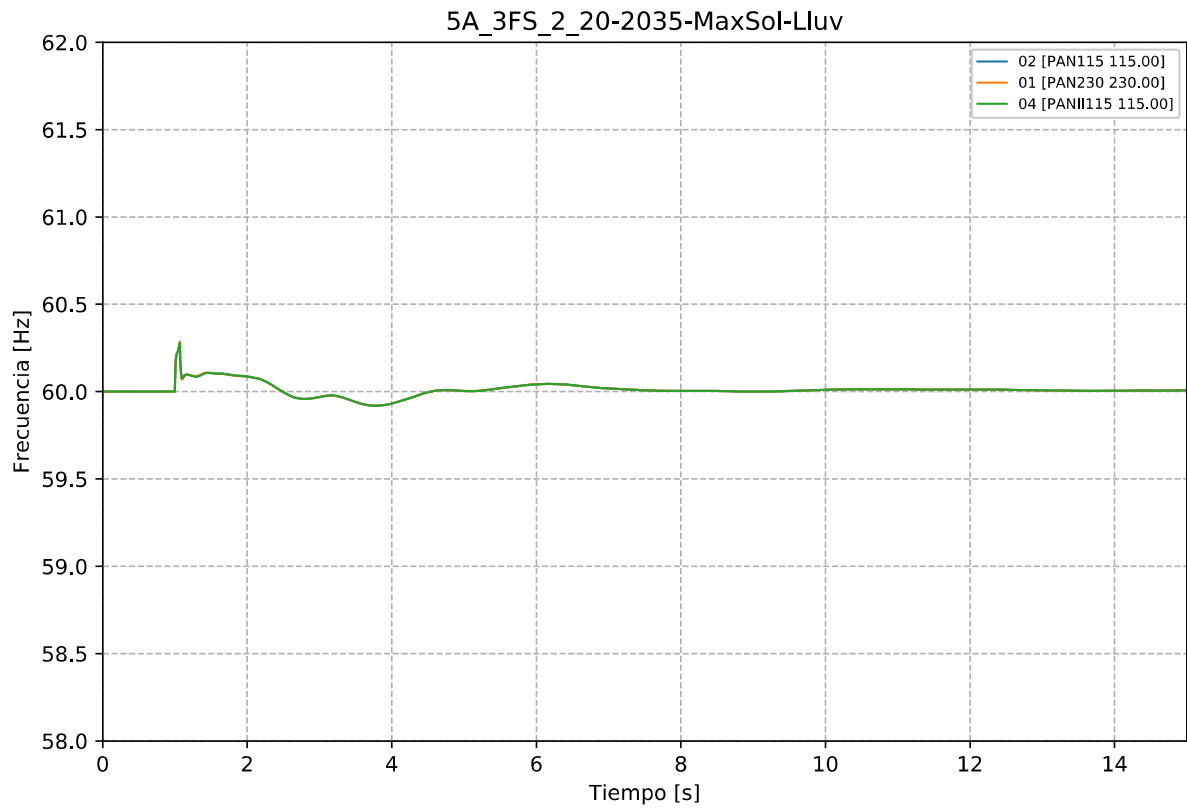


Gráfico 47. Evento 5A\_3FS, caso 2. Frecuencia.

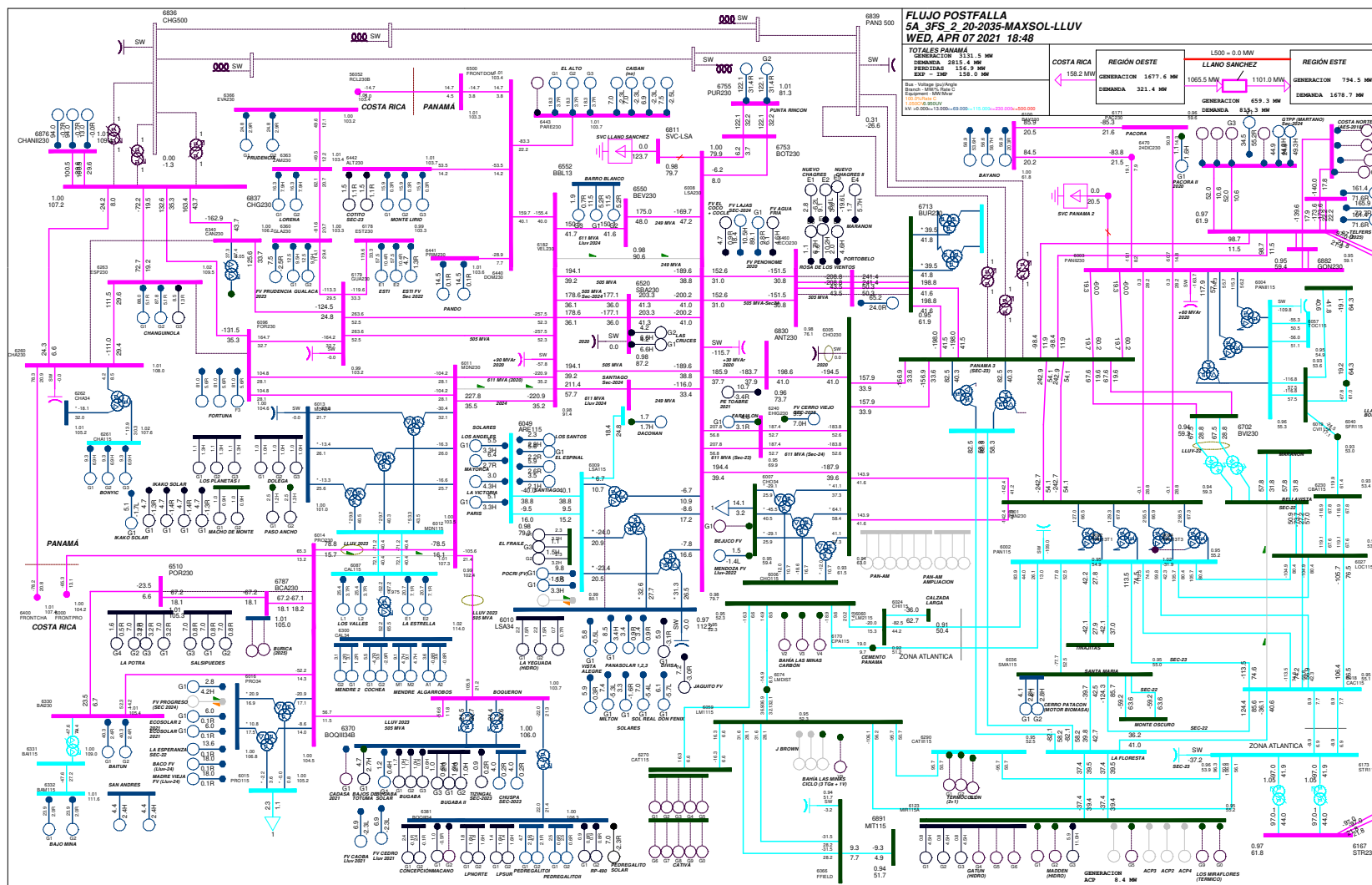


Gráfico 48. Evento 5A\_3FS, caso 2. Flujo postfalla

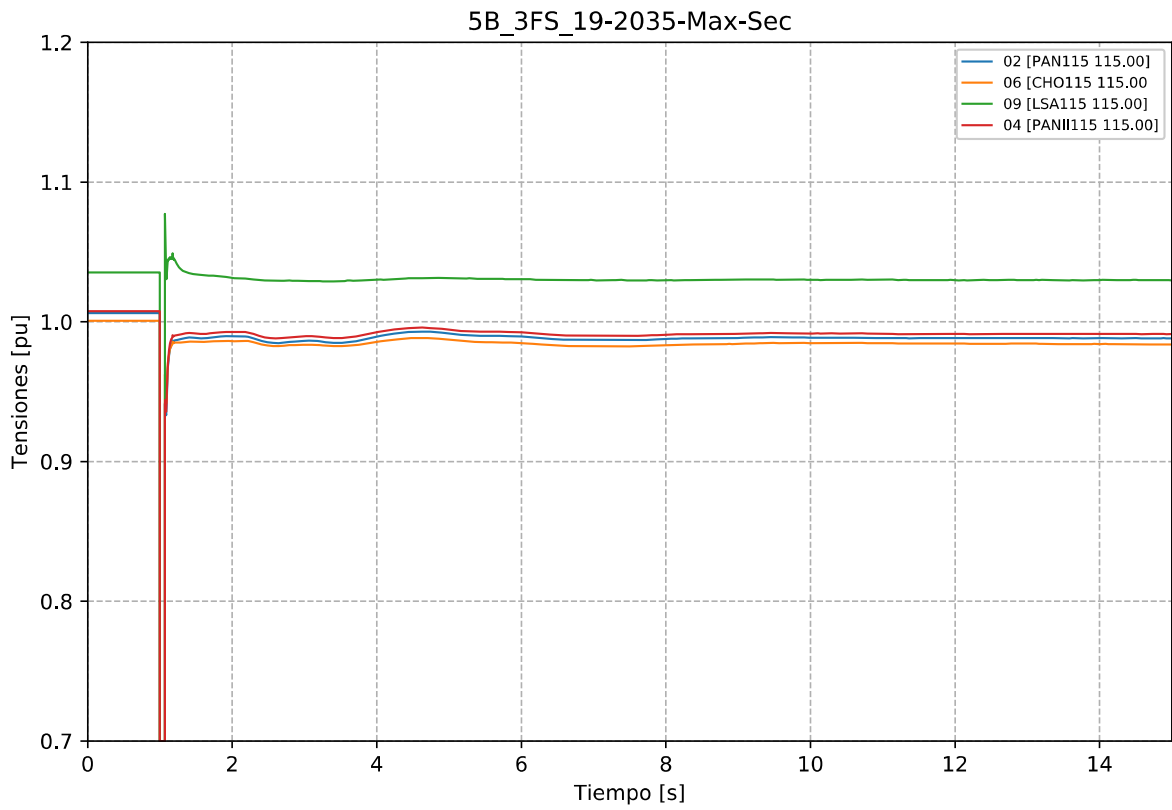


Gráfico 49. Evento 5B\_3FS, caso 19-2035-Max-Sec. Tensiones en la zona de influencia 115 kV.

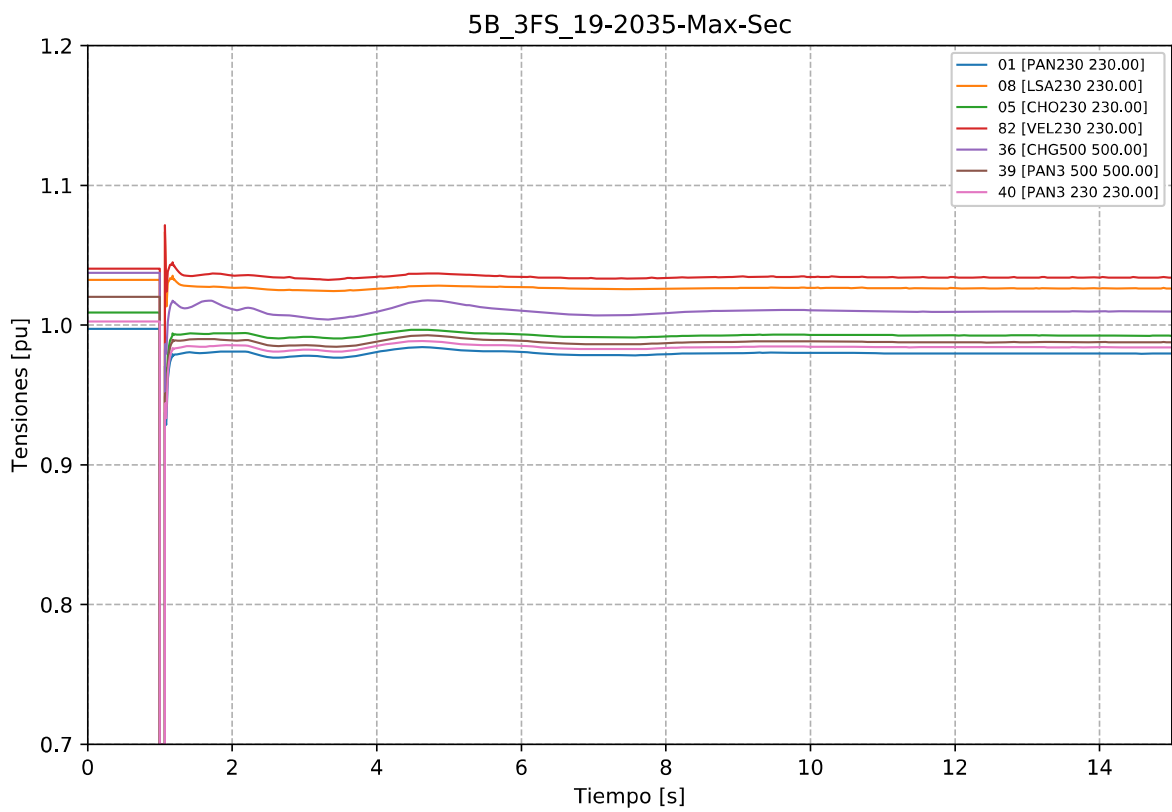


Gráfico 50. Evento 5B\_3FS, caso 19-2035-Max-Sec. Tensiones en la zona de influencia 230 kV.

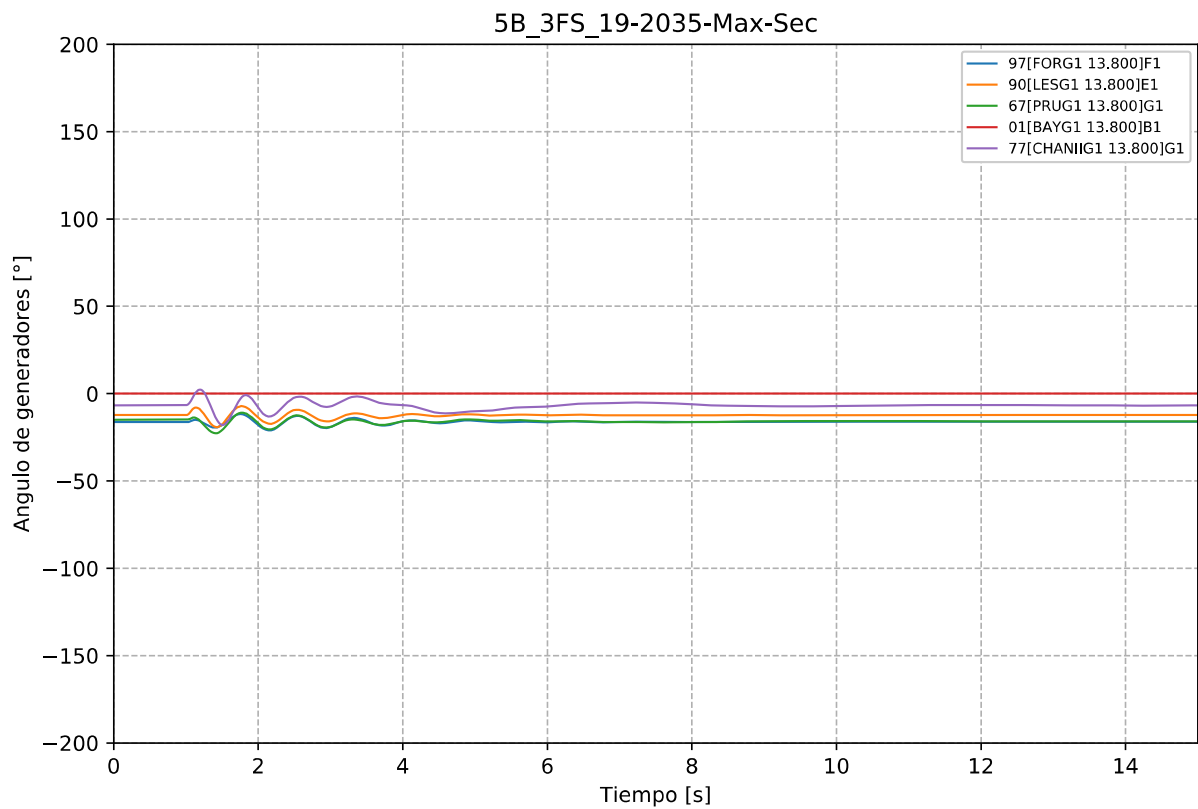


Gráfico 51. Evento 5B\_3FS, caso 19-2035-Max-Sec. Ángulo de Generadores Hidroeléctricos.

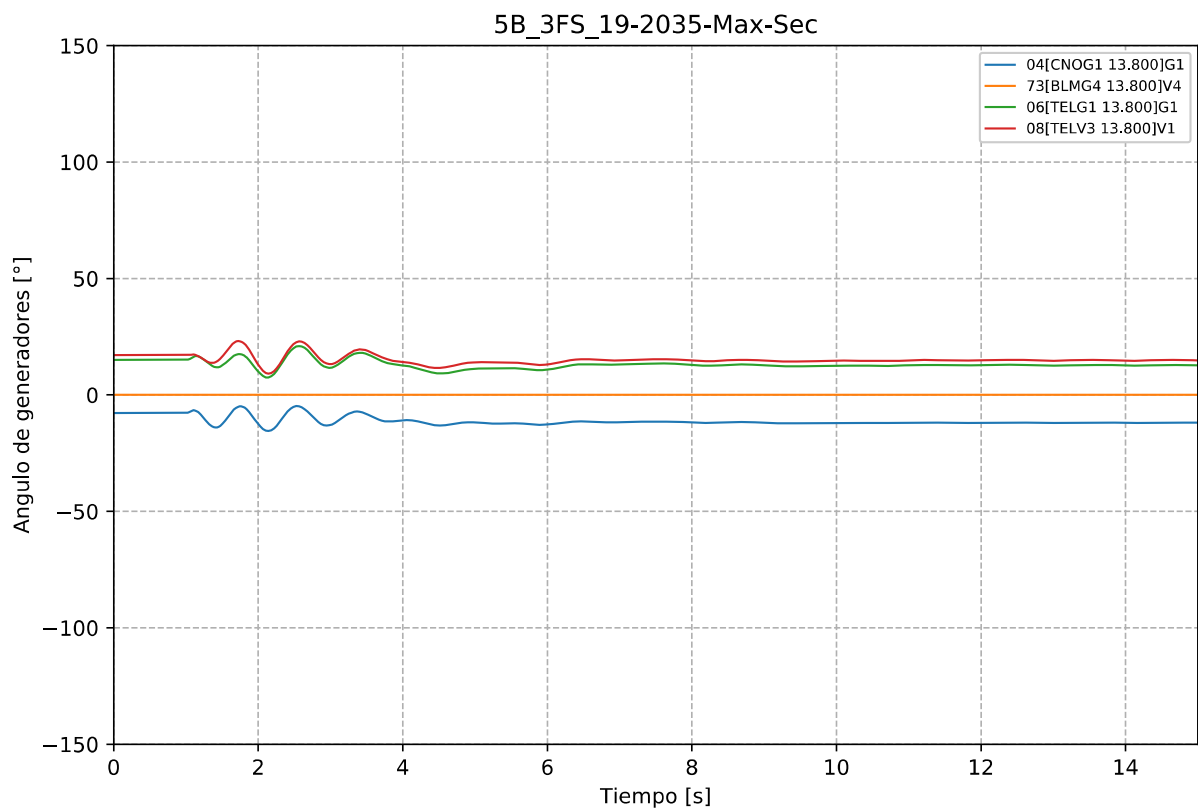


Gráfico 52. Evento 5B\_3FS, caso 19-2035-Max-Sec. Ángulo de generadores Térmicos.



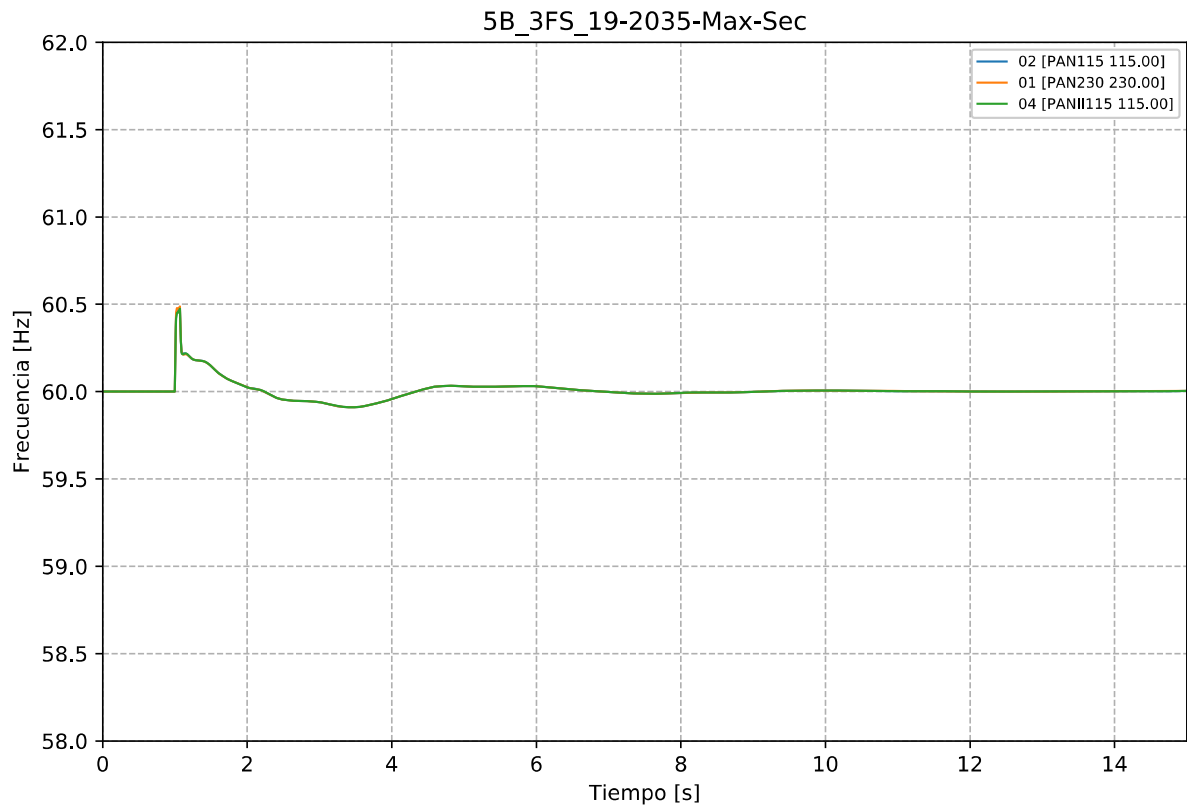


Gráfico 53. Evento 5B\_3FS, caso 19-2035-Max-Sec. Frecuencia.

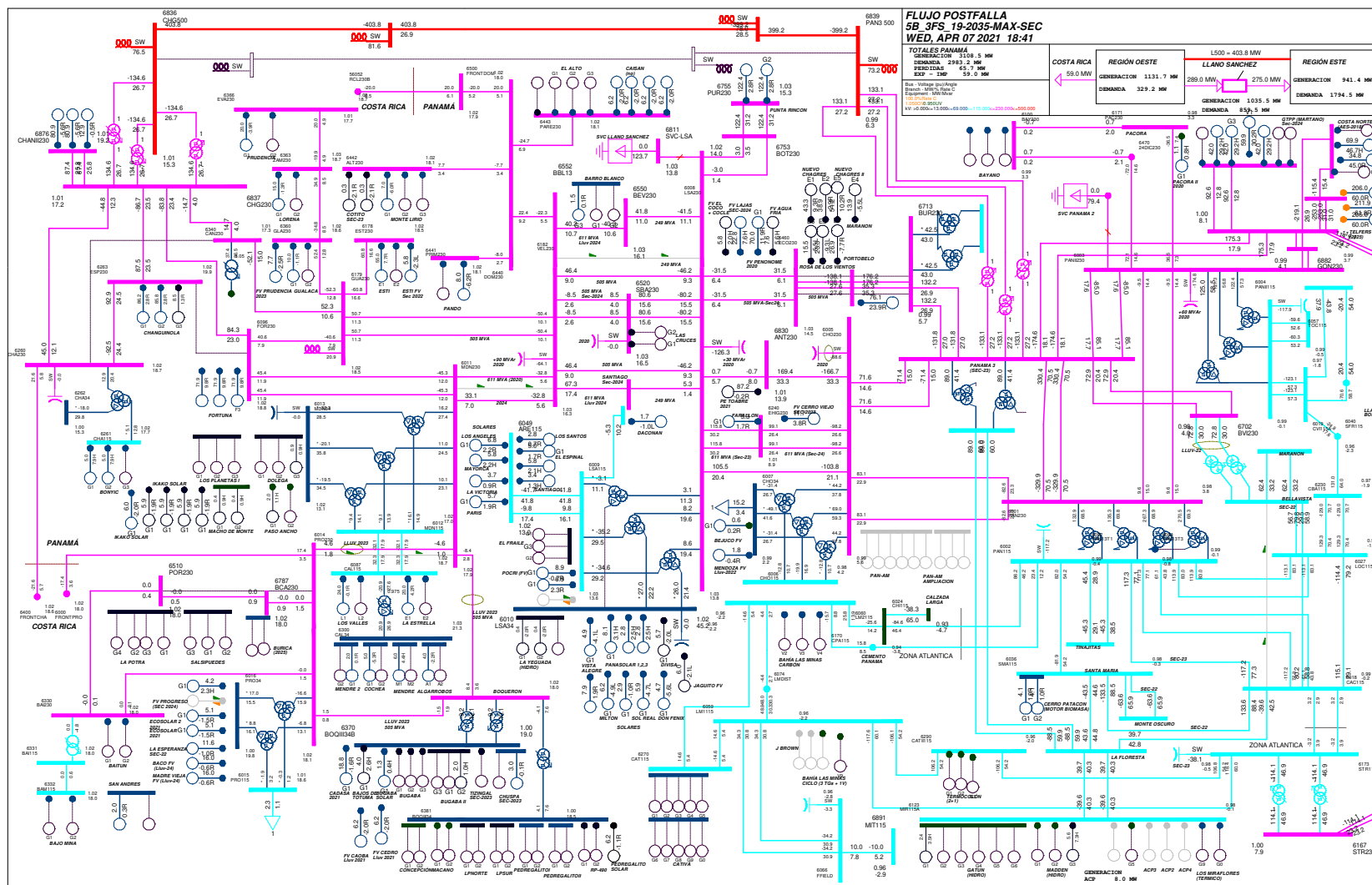


Gráfico 54. Evento 5B\_3FS, caso 19-2035-Max-Sec. Flujo postfalla

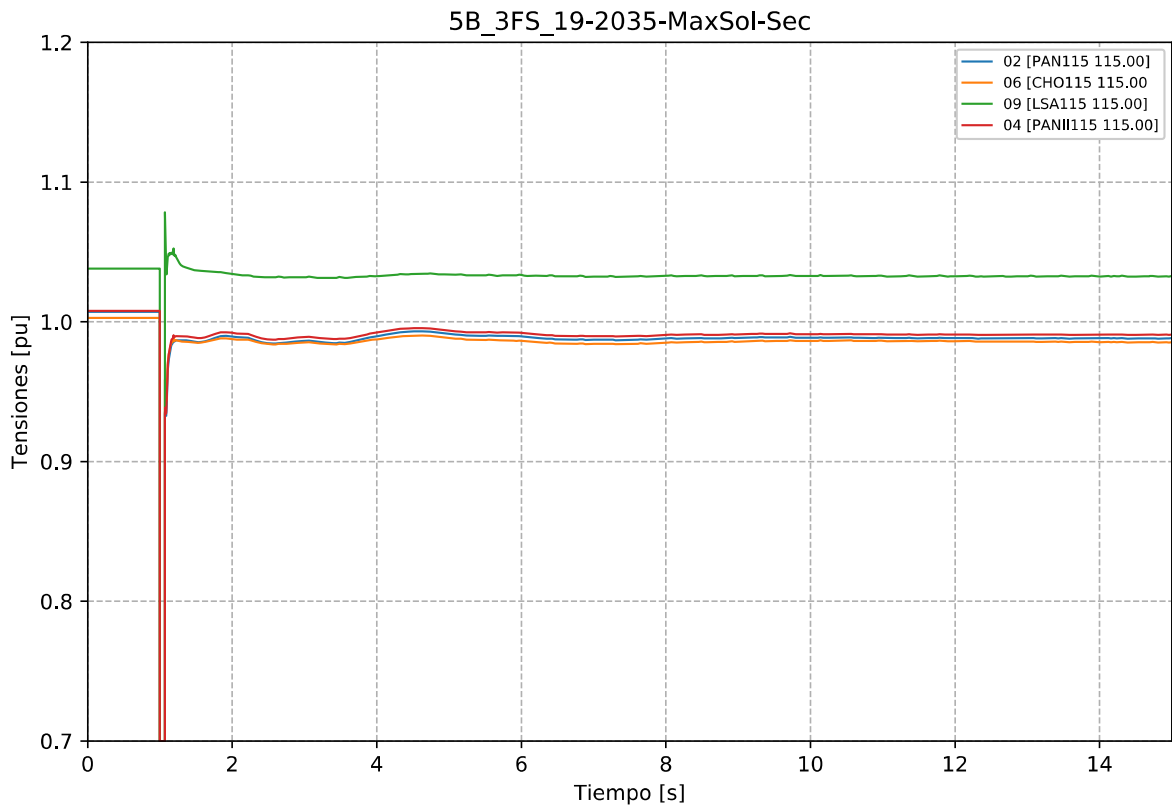


Gráfico 55. Evento 5B\_3FS, caso 19-2035-MaxSol-Sec. Tensiones en la zona de influencia 115 kV.

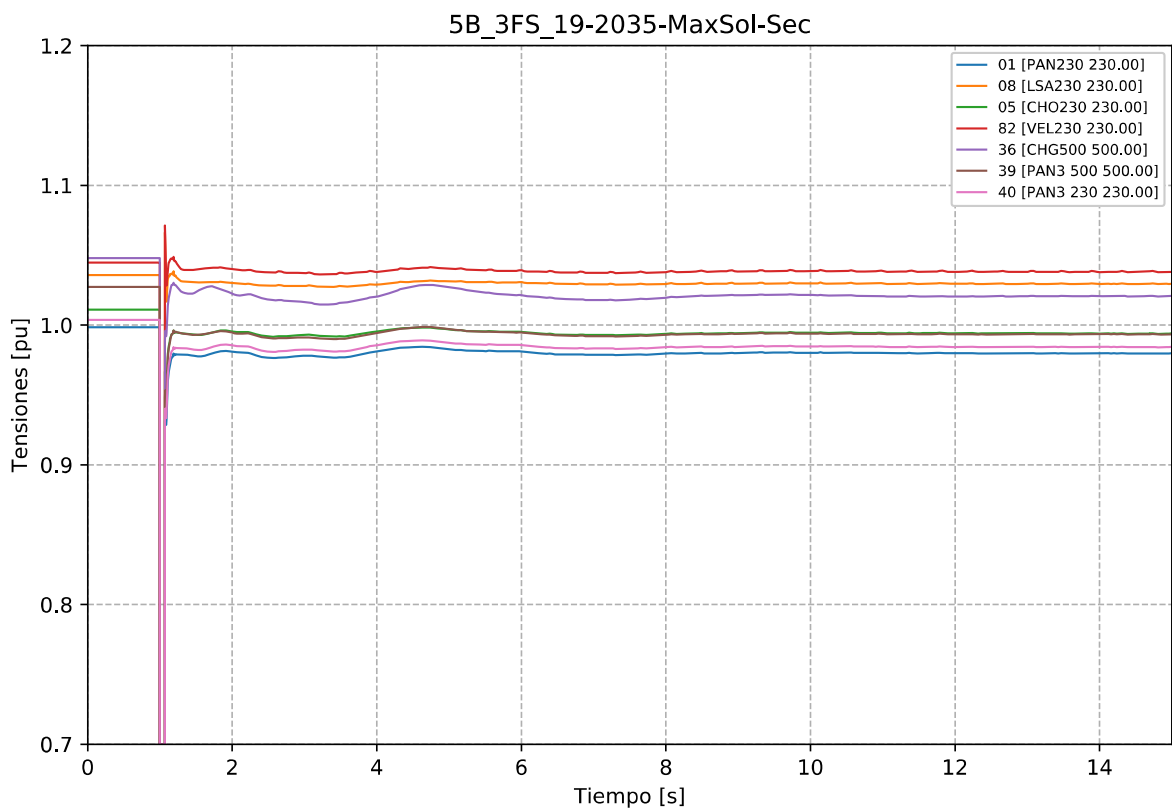


Gráfico 56. Evento 5B\_3FS, caso 19-2035-MaxSol-Sec. Tensiones en la zona de influencia 230 kV.

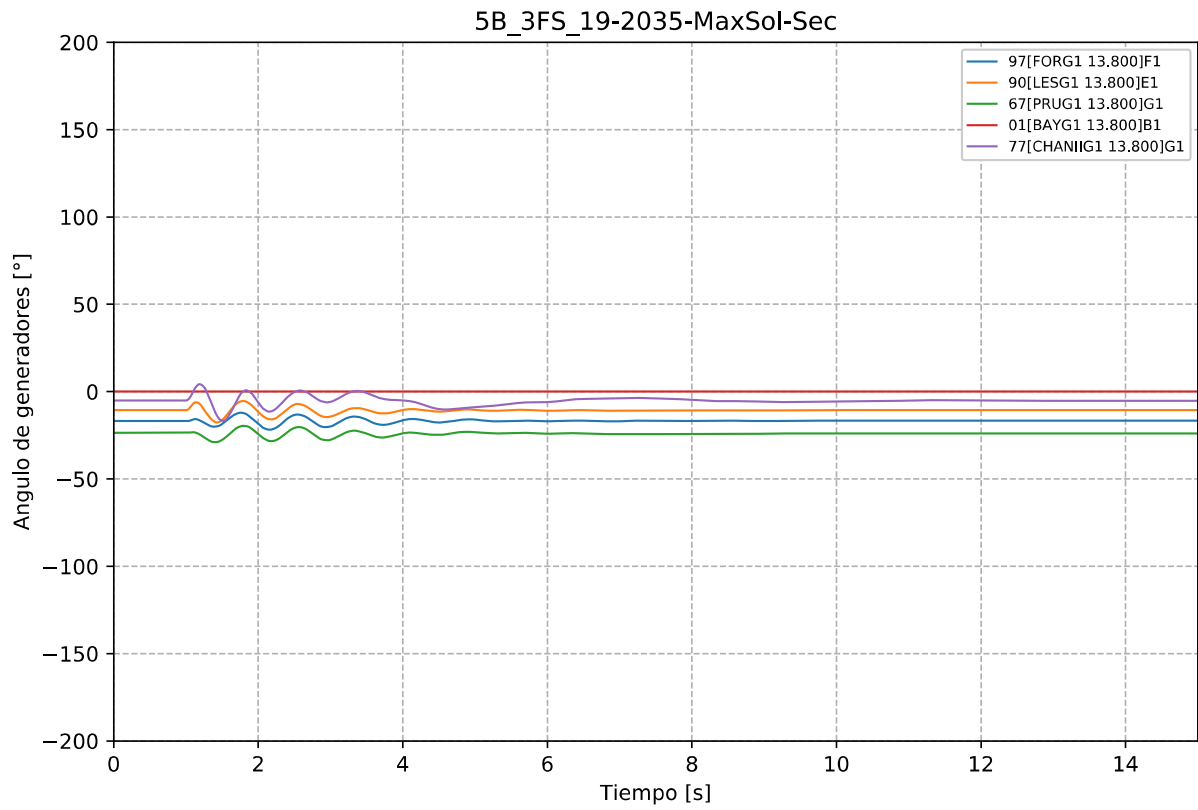


Gráfico 57. Evento 5B\_3FS, caso 19-2035-MaxSol-Sec. Ángulo de Generadores Hidroeléctricos.

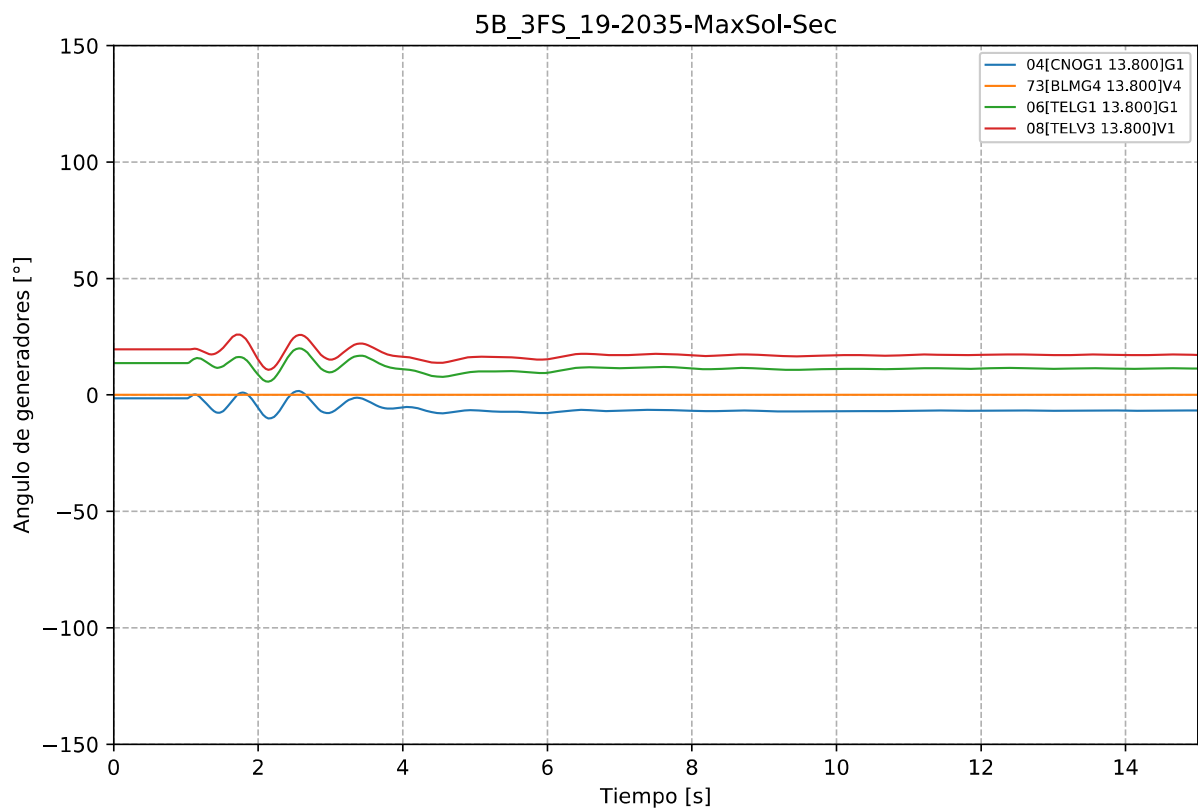


Gráfico 58. Evento 5B\_3FS, caso 19-2035-MaxSol-Sec. Ángulo de generadores Térmicos.

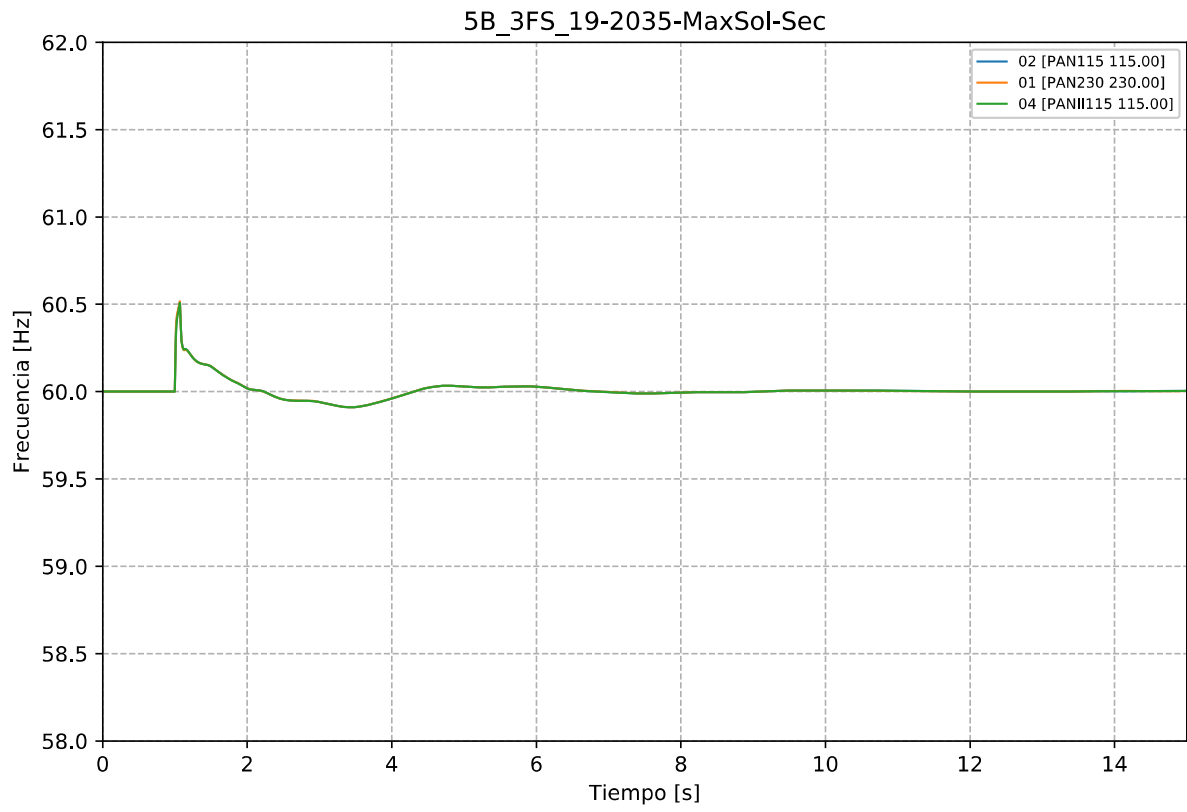


Gráfico 59. Evento 5B\_3FS, caso 19-2035-MaxSol-Sec. Frecuencia.

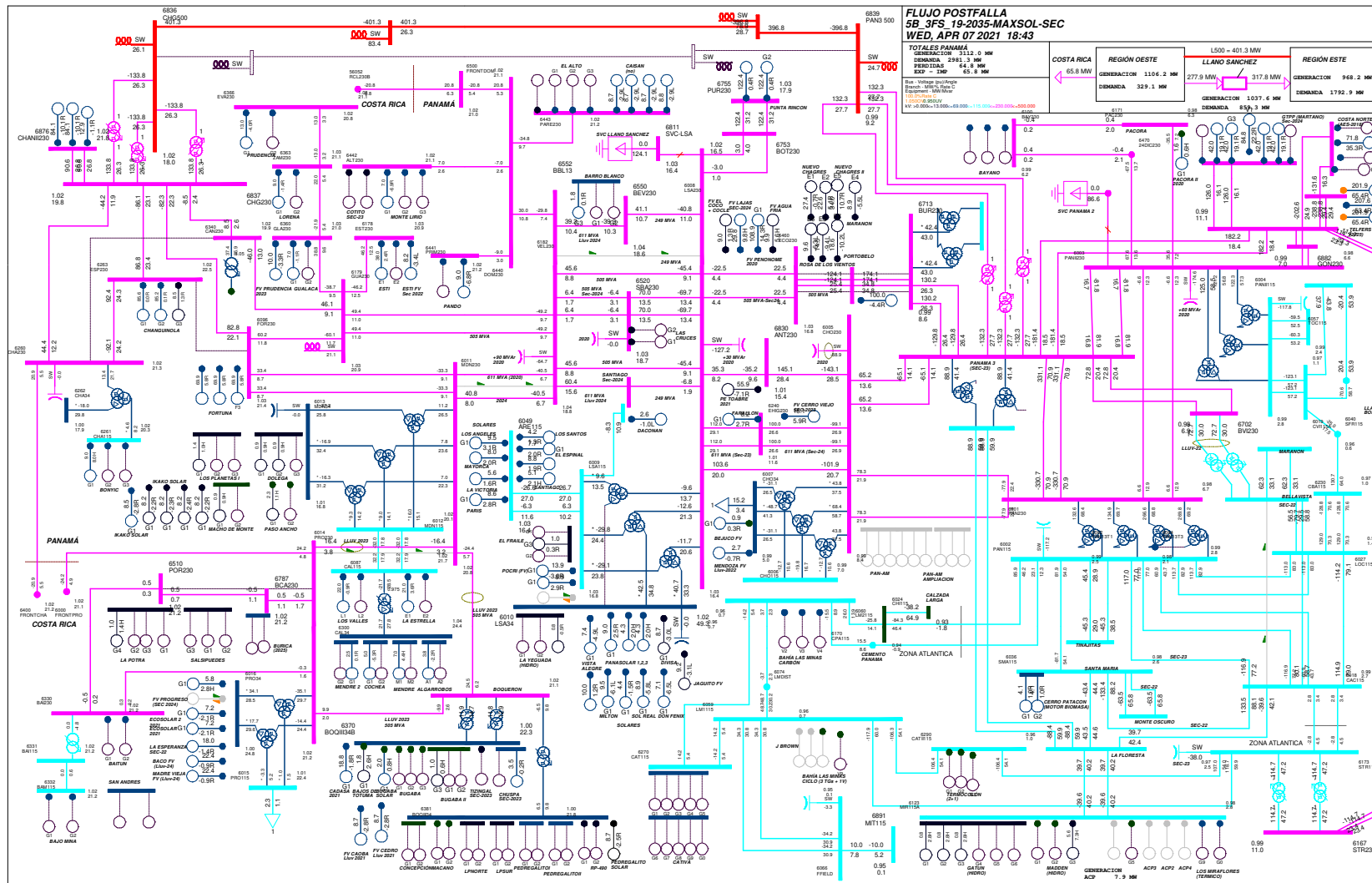


Gráfico 60. Evento 5B\_3FS, caso 19-2035-MaxSol-Sec. Flujo postfalla

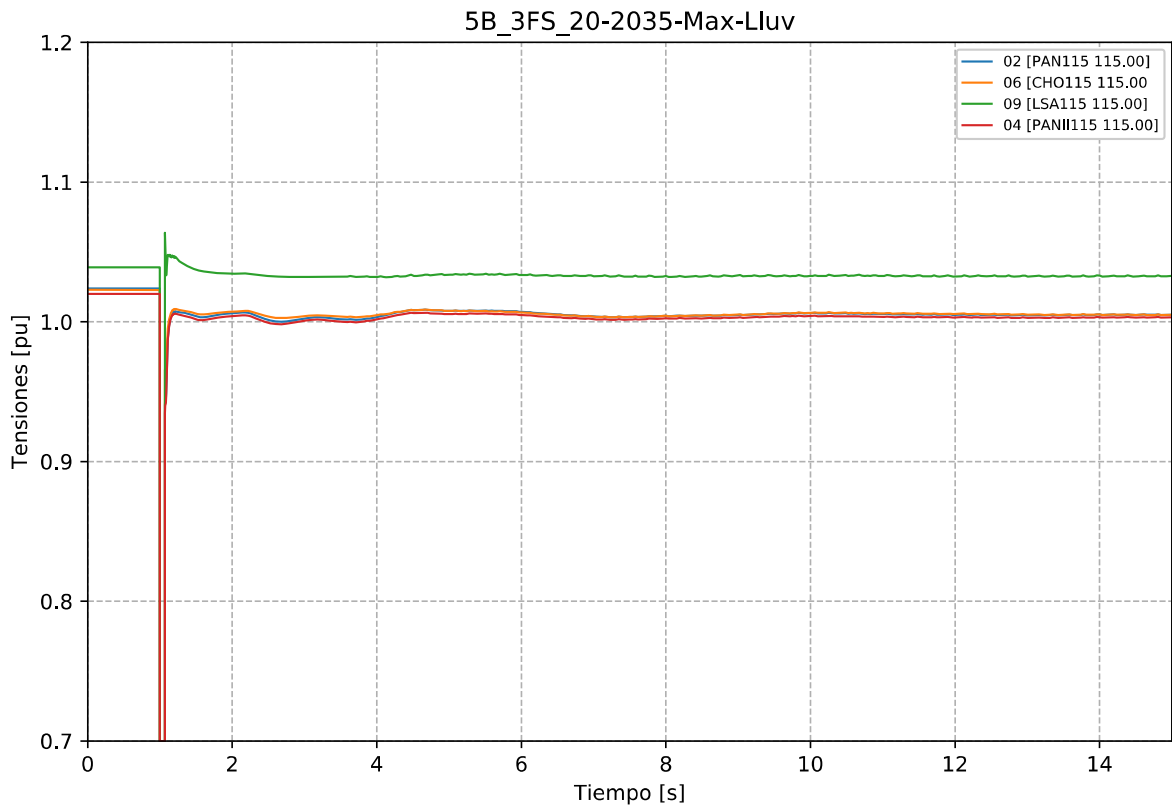


Gráfico 61. Evento 5B\_3FS, caso 20-2035-Max-Lluv. Tensiones en la zona de influencia 115 kV.

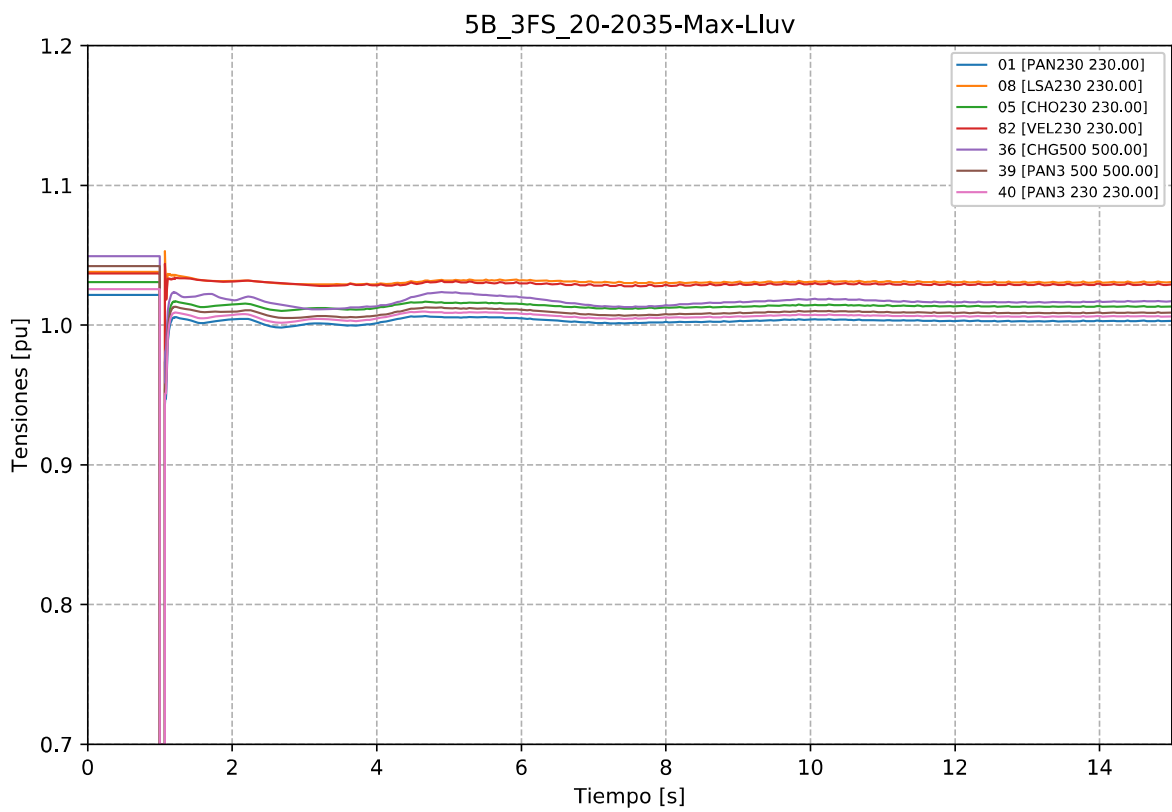


Gráfico 62. Evento 5B\_3FS, caso 20-2035-Max-Lluv. Tensiones en la zona de influencia 230 kV.

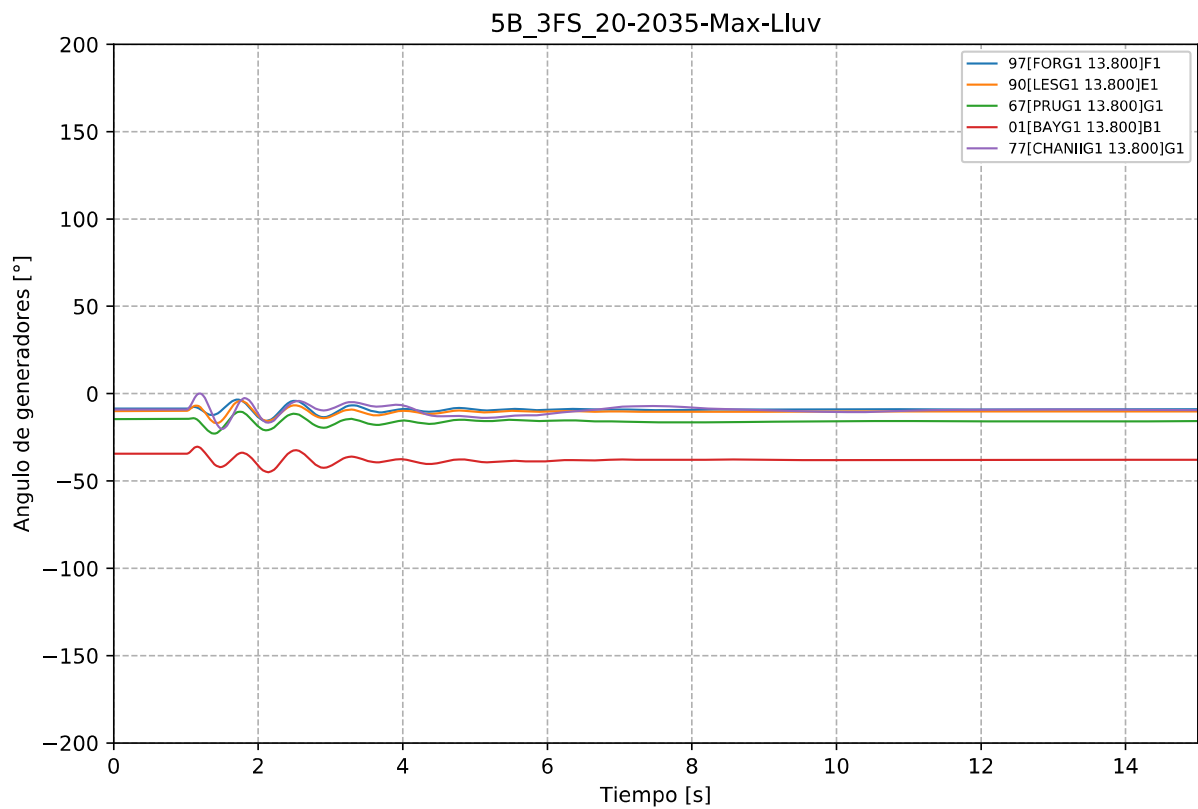


Gráfico 63. Evento 5B\_3FS, caso 20-2035-Max-Lluv. Ángulo de Generadores Hidroeléctricos.

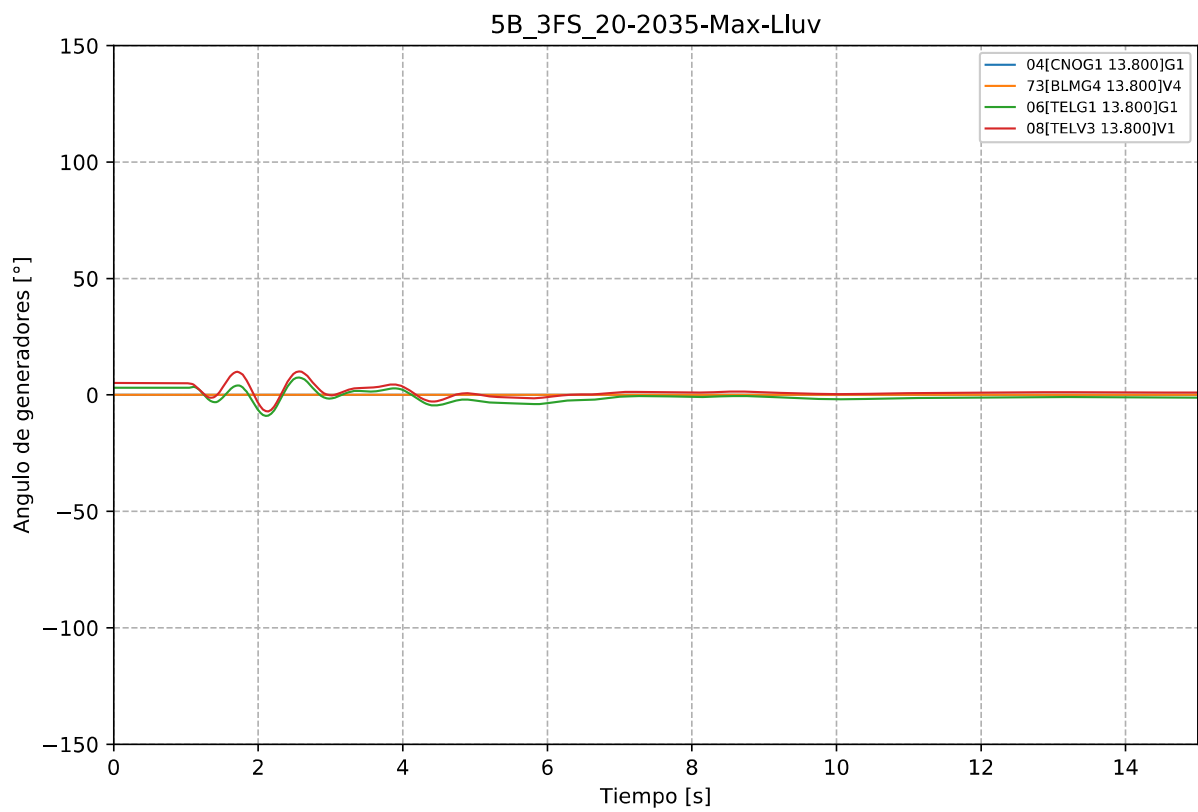


Gráfico 64. Evento 5B\_3FS, caso 20-2035-Max-Lluv. Ángulo de generadores Térmicos.



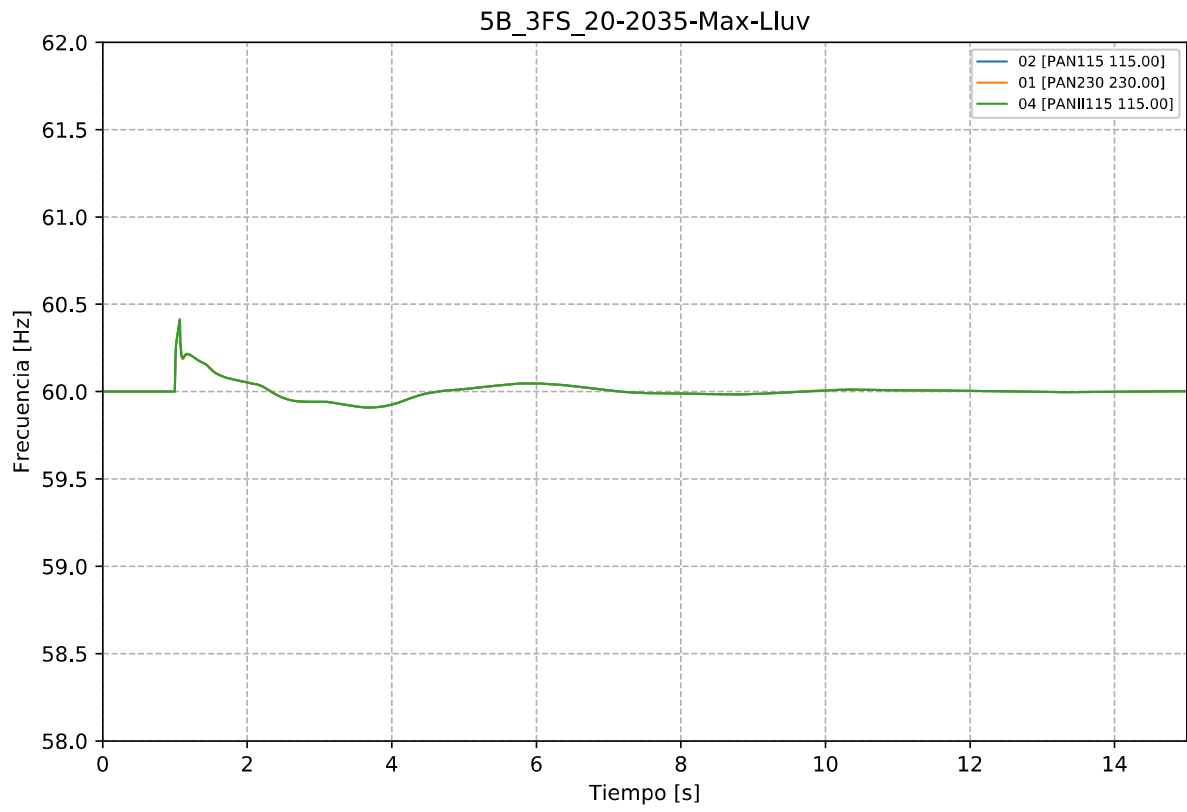


Gráfico 65. Evento 5B\_3FS, caso 20-2035-Max-Lluv. Frecuencia.

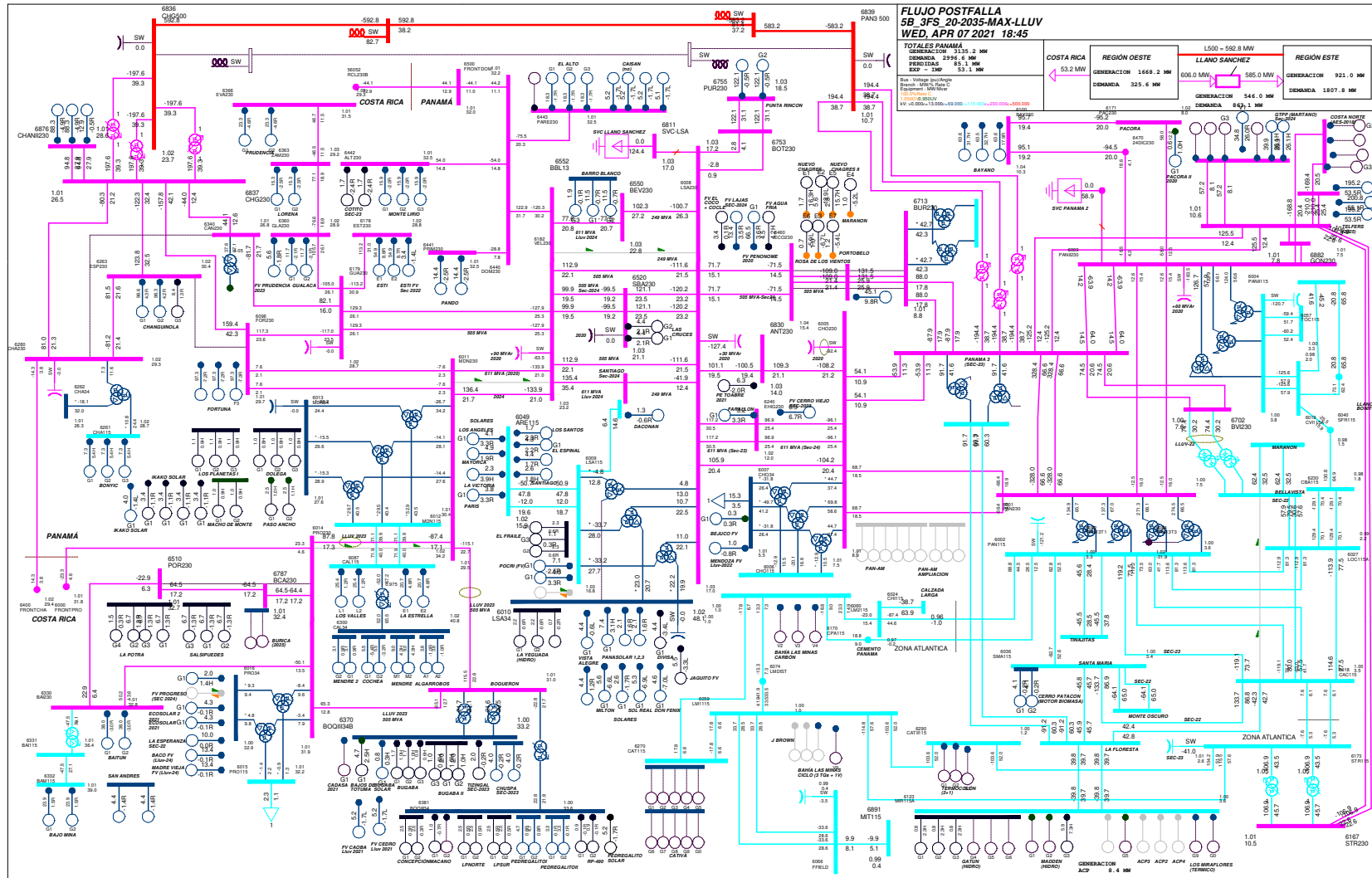


Gráfico 66. Evento 5B\_3FS, caso 20-2035-Max-Lluv. Flujo postfalla

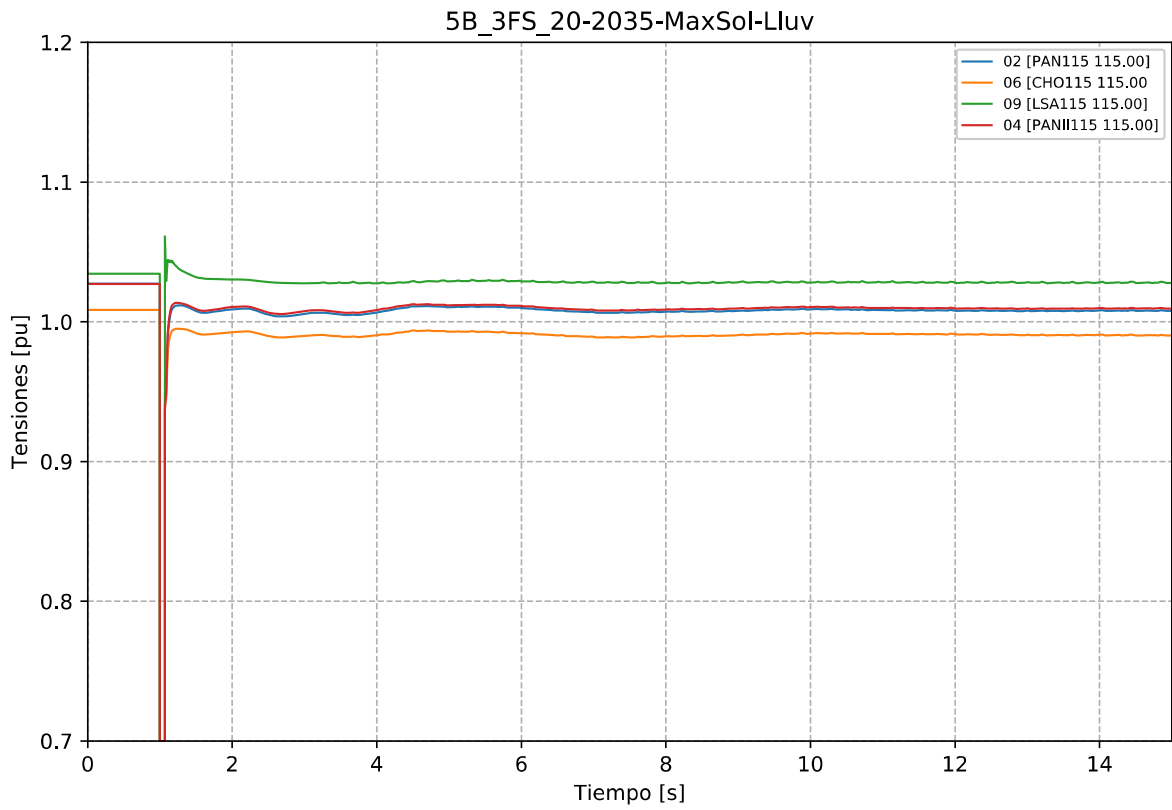


Gráfico 67. Evento 5B\_3FS, caso 20-2035-MaxSol-Lluv. Tensiones en la zona de influencia 115 kV.

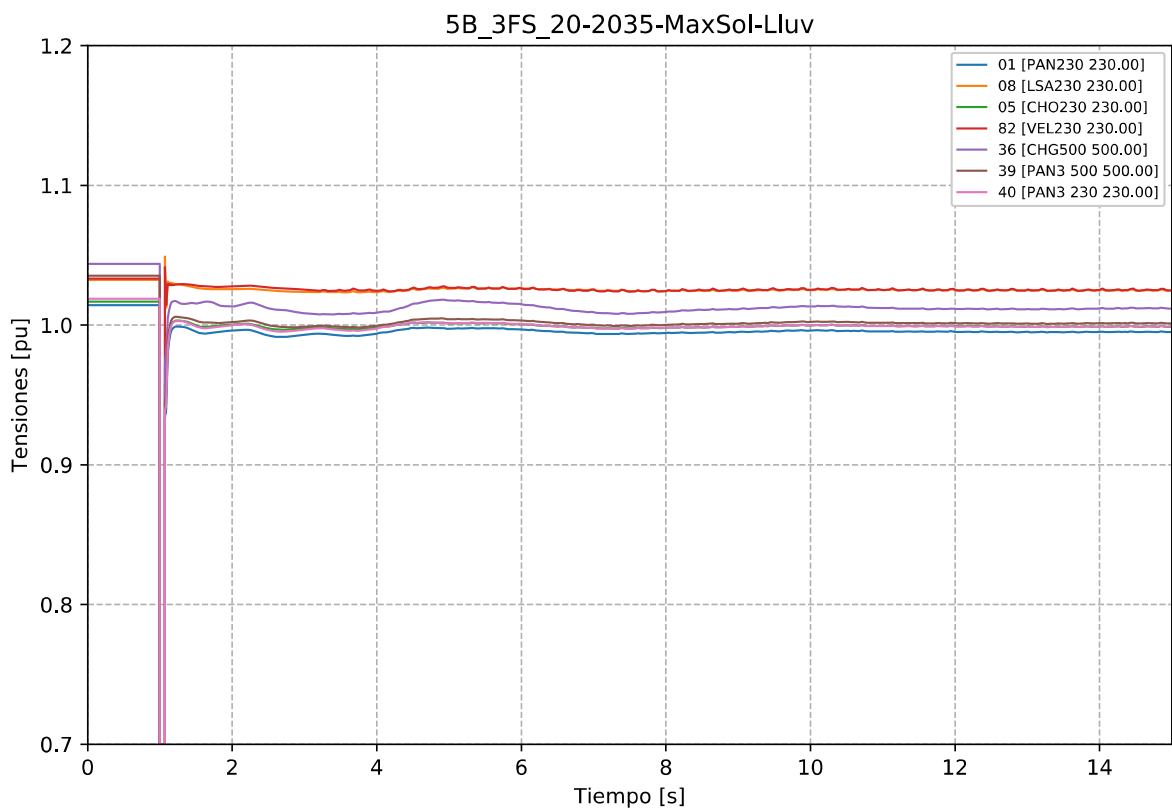


Gráfico 68. Evento 5B\_3FS, caso 20-2035-MaxSol-Lluv. Tensiones en la zona de influencia 230 kV.

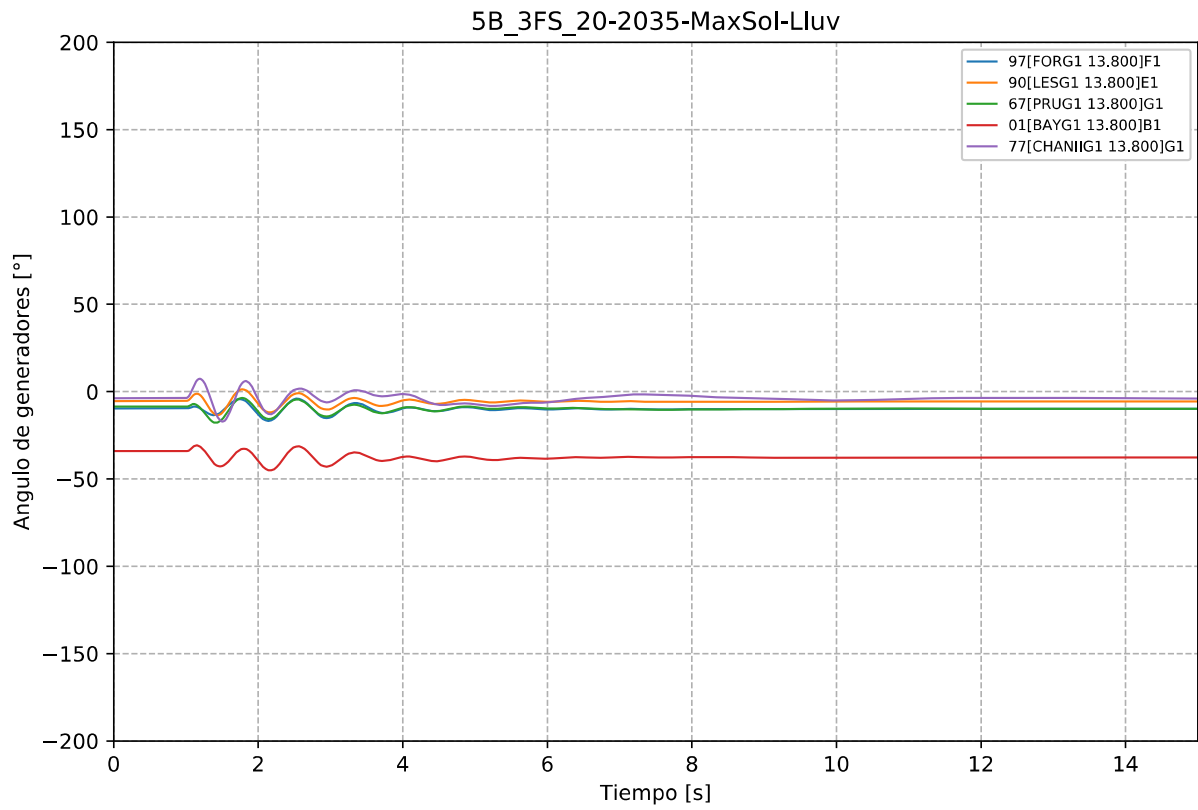


Gráfico 69. Evento 5B\_3FS, caso 20-2035-MaxSol-Lluv. Ángulo de Generadores Hidroeléctricos.

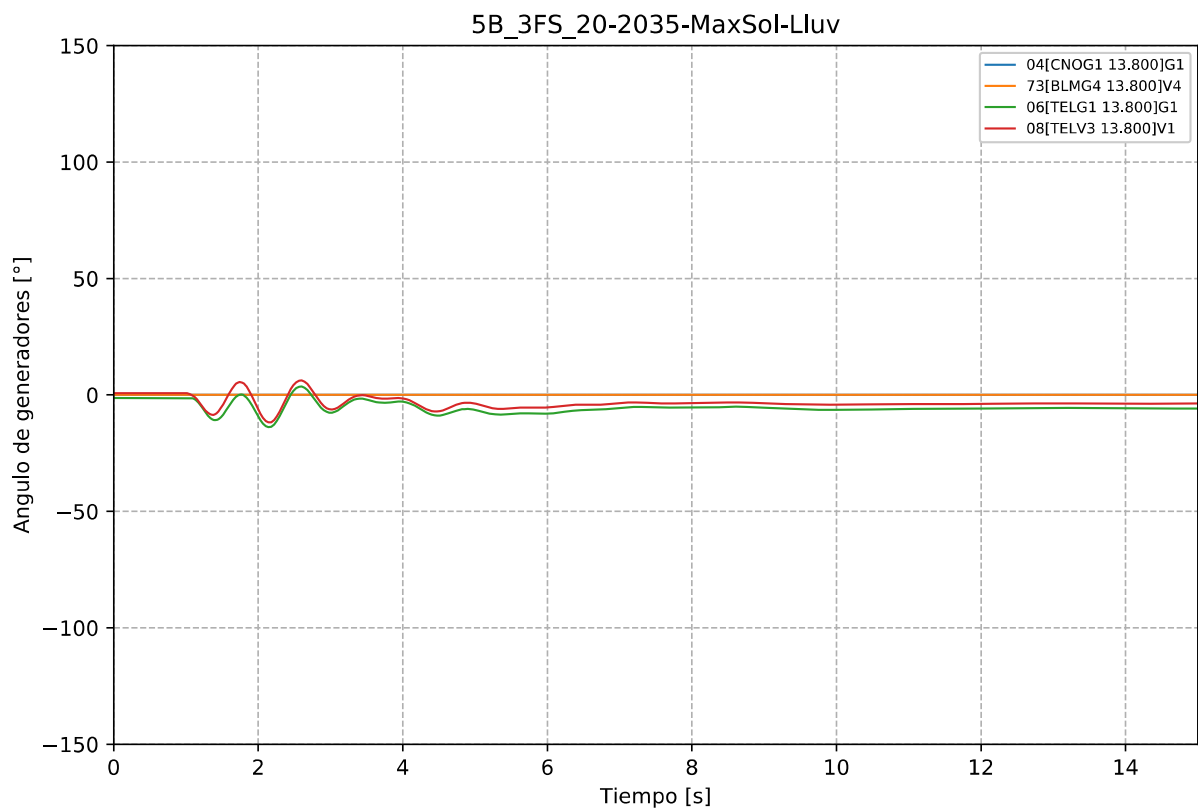


Gráfico 70. Evento 5B\_3FS, caso 20-2035-MaxSol-Lluv. Ángulo de generadores Térmicos.

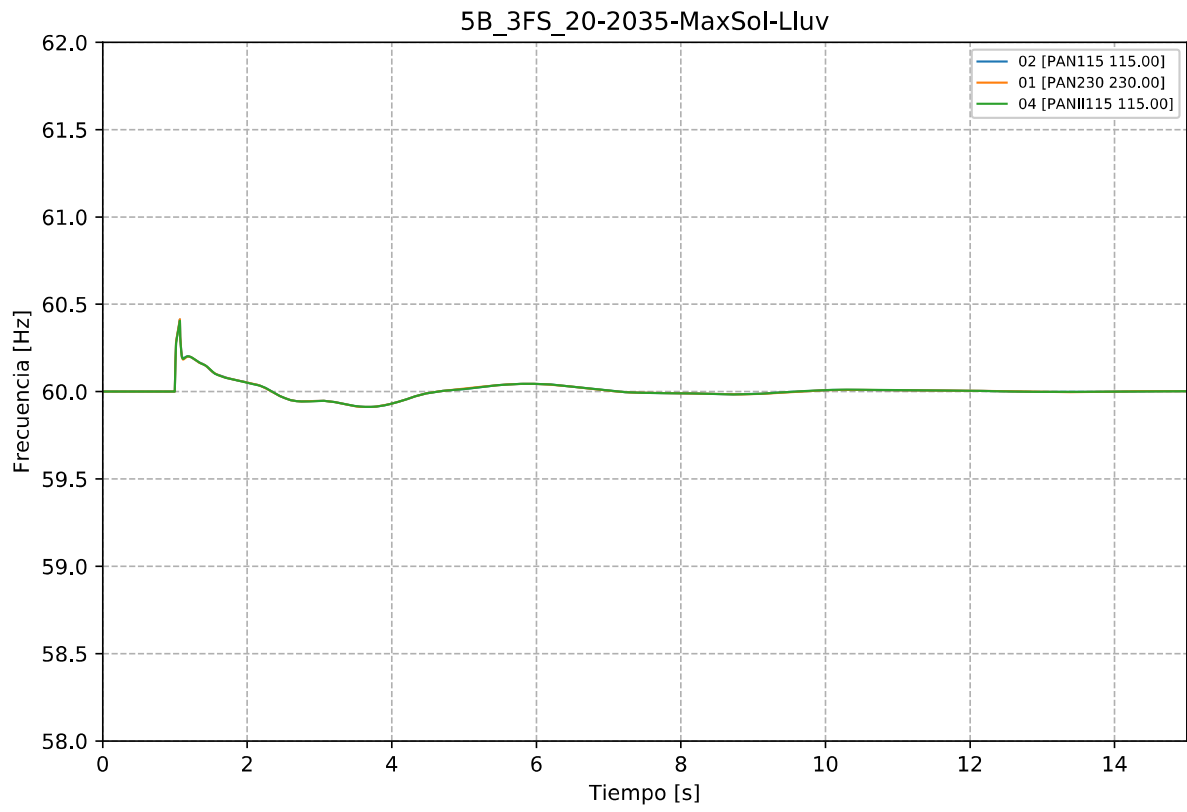


Gráfico 71. Evento 5B\_3FS, caso 20-2035-MaxSol-Lluv. Frecuencia.

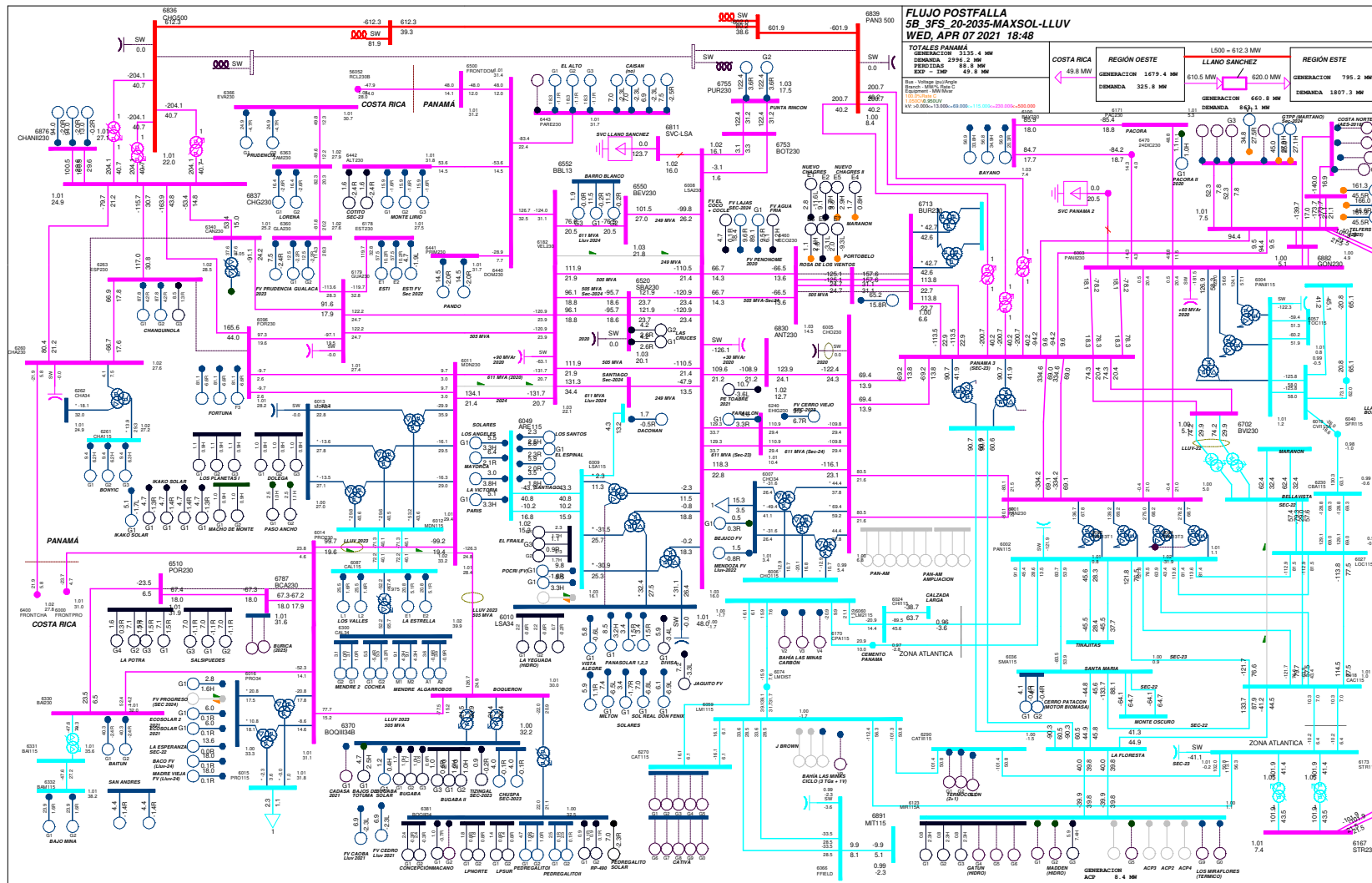


Gráfico 72. Evento 5B\_3FS, caso 20-2035-MaxSol-Lluv. Flujo postfalla

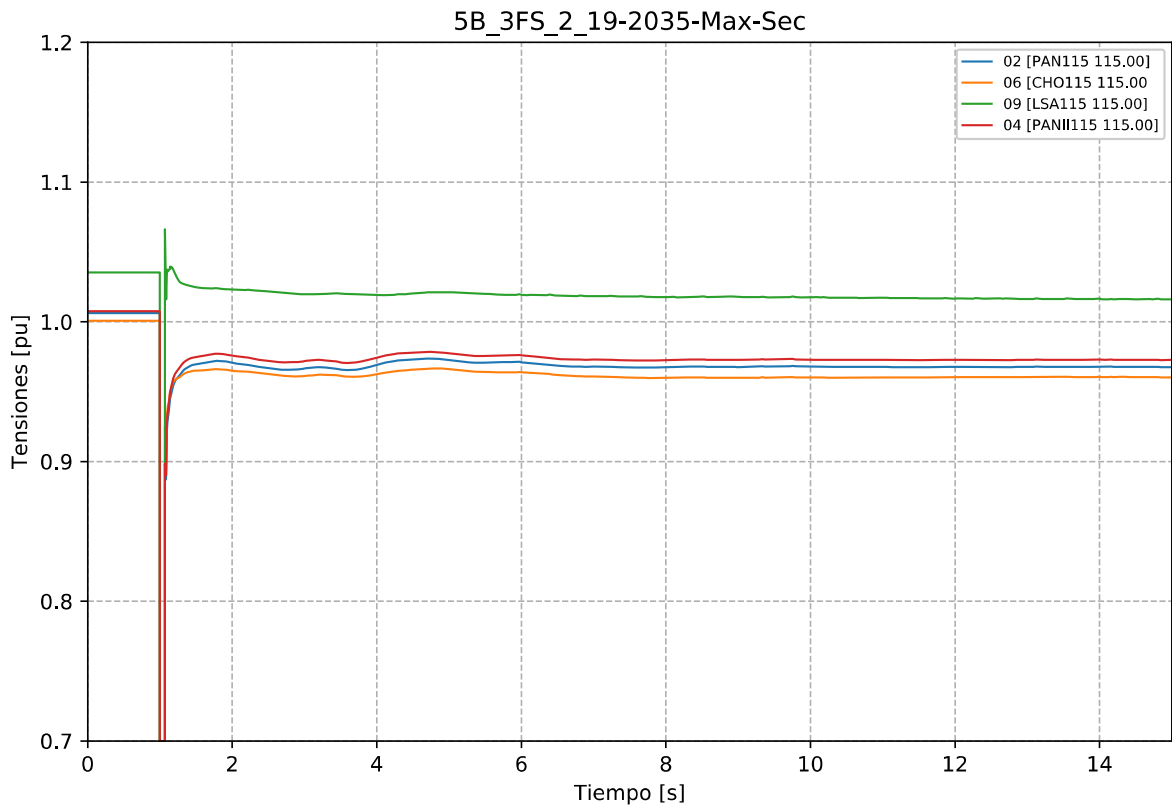


Gráfico 73. Evento 5B\_3FS, caso 2. Tensiones en la zona de influencia 115 kV.

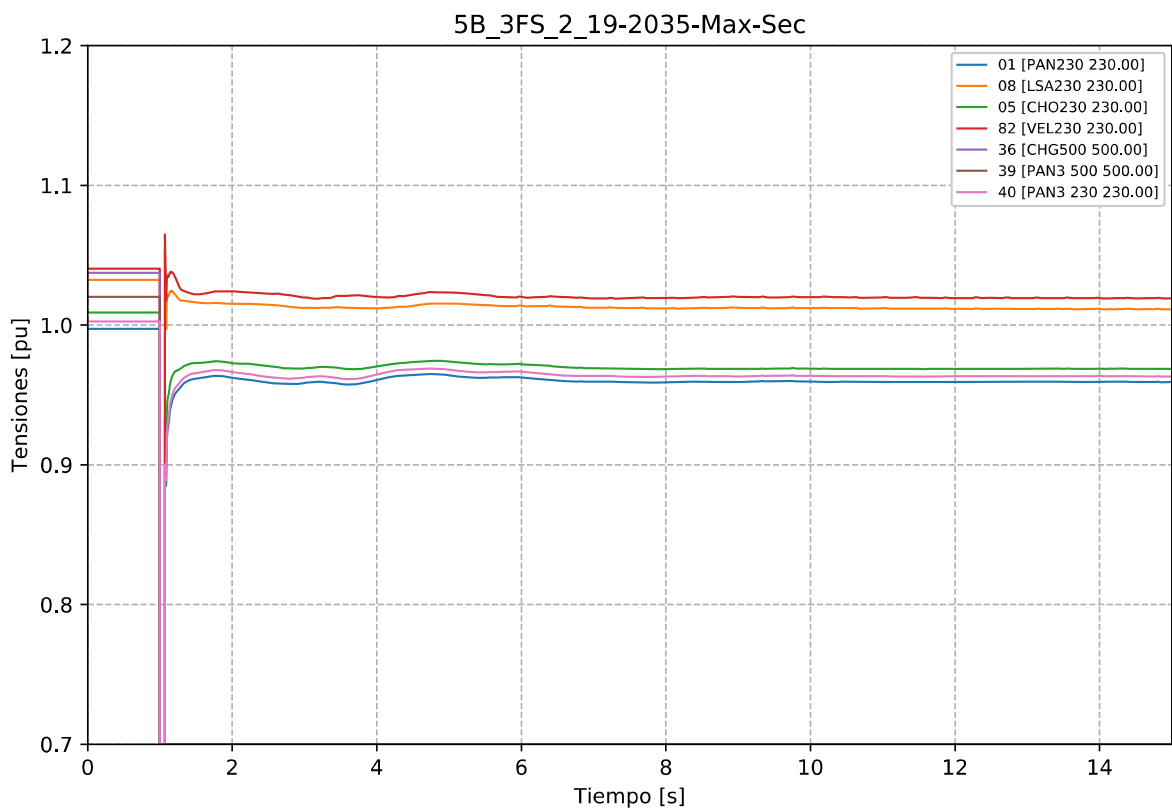


Gráfico 74. Evento 5B\_3FS, caso 2. Tensiones en la zona de influencia 230 kV.

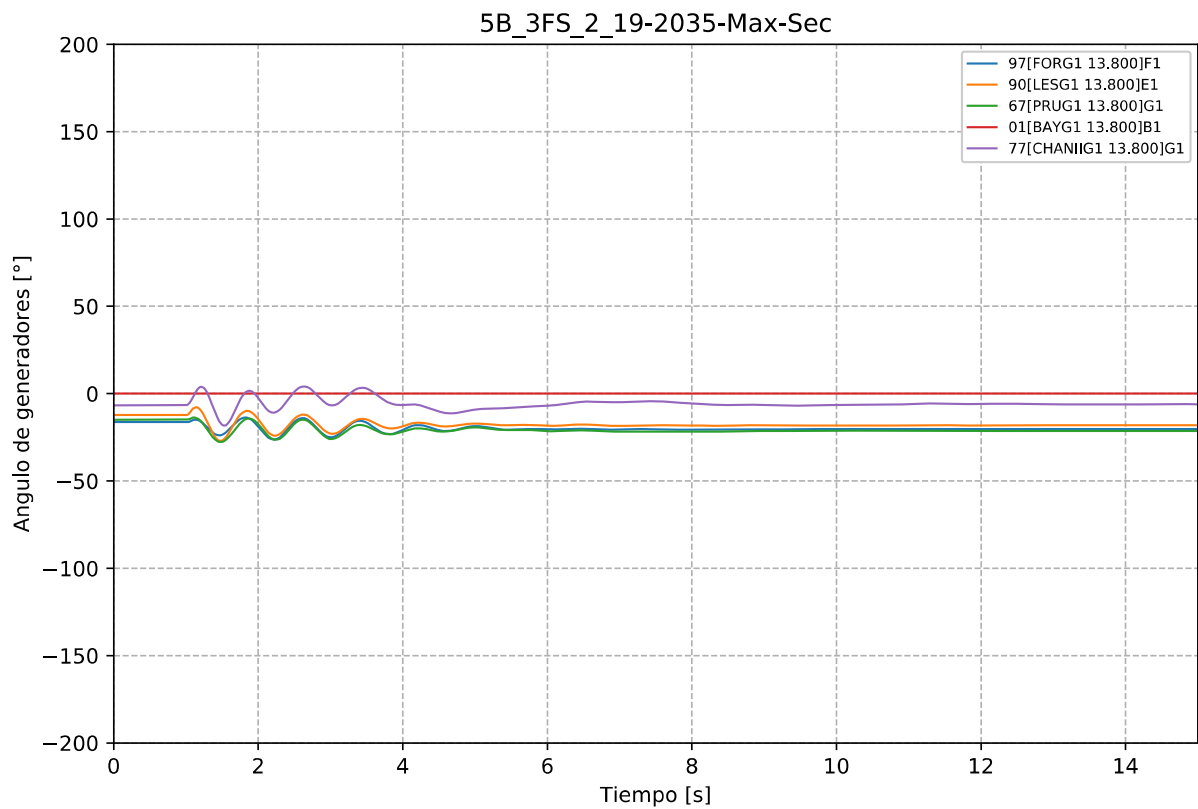


Gráfico 75. Evento 5B\_3FS, caso 2. Ángulo de Generadores Hidroeléctricos.

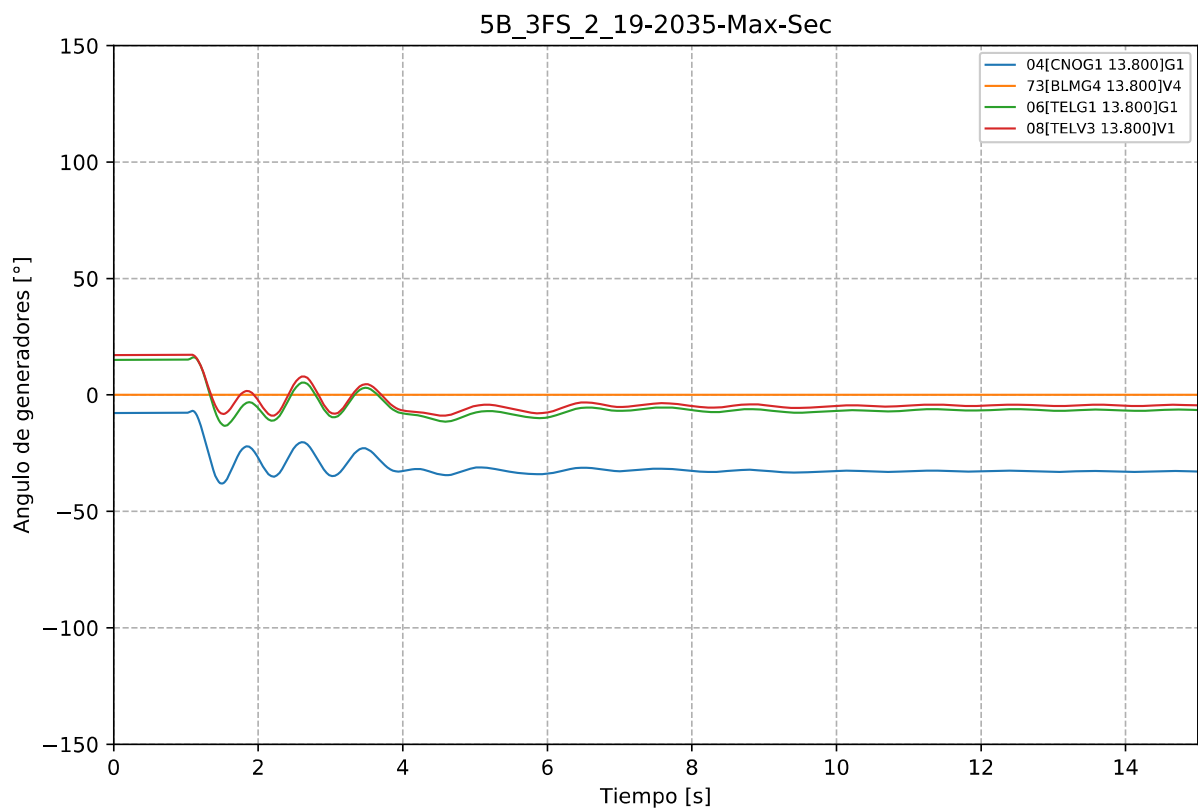


Gráfico 76. Evento 5B\_3FS, caso 2. Ángulo de generadores Térmicos.



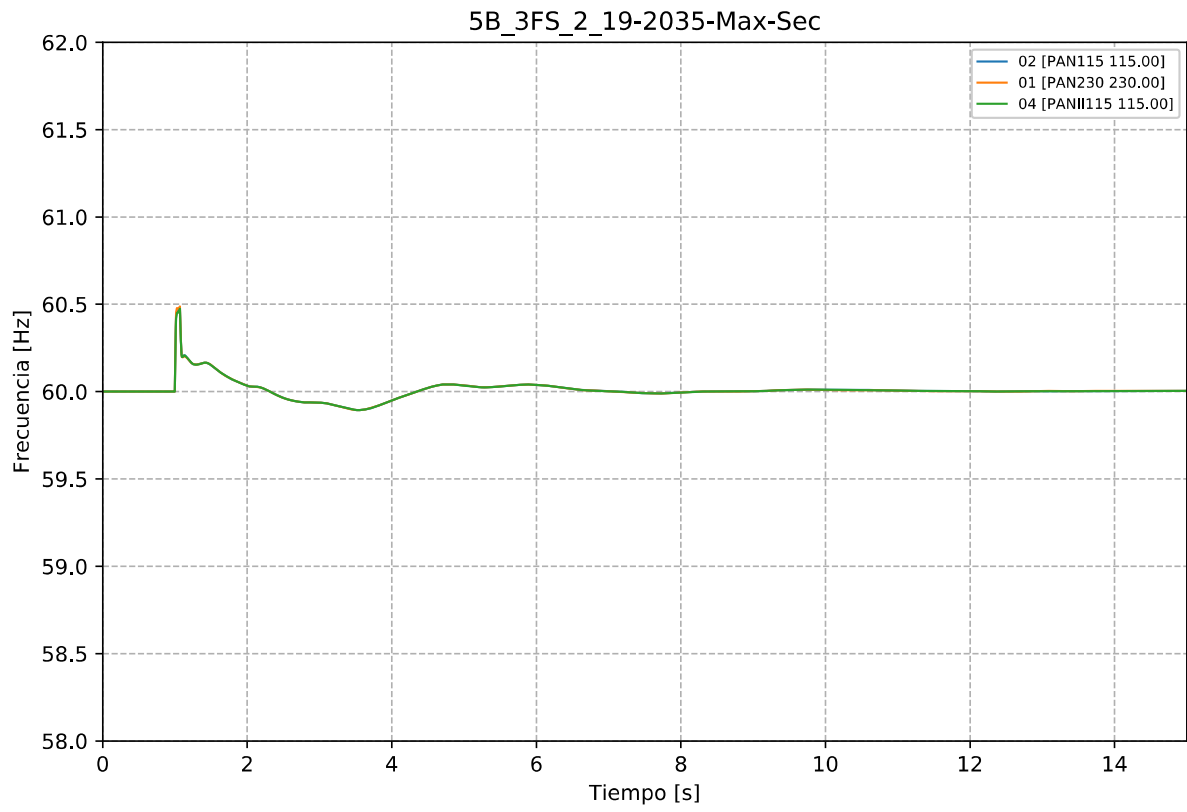


Gráfico 77. Evento 5B\_3FS, caso 2. Frecuencia.

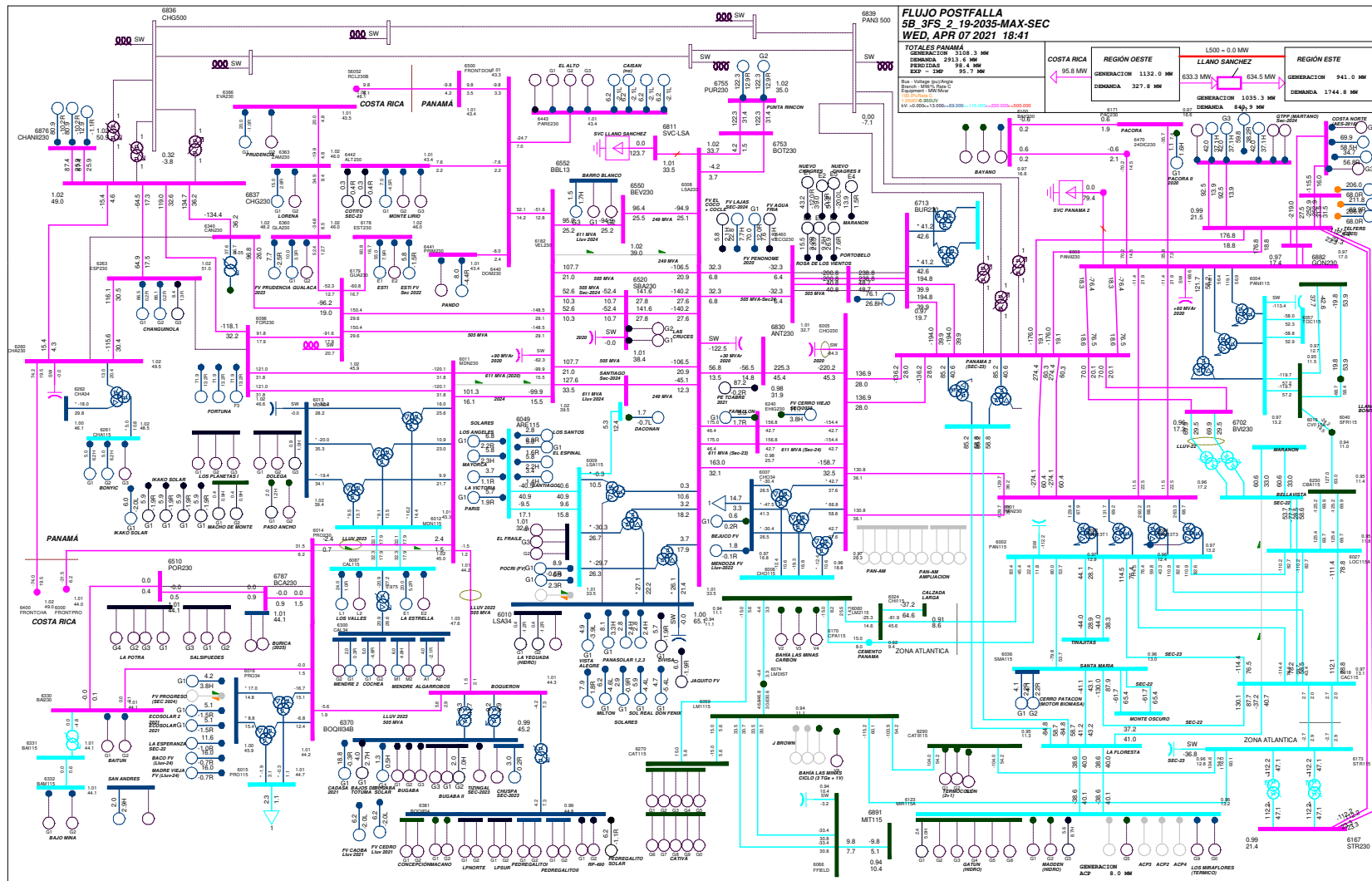


Gráfico 78. Evento 5B\_3FS, caso 2. Flujo postfalla

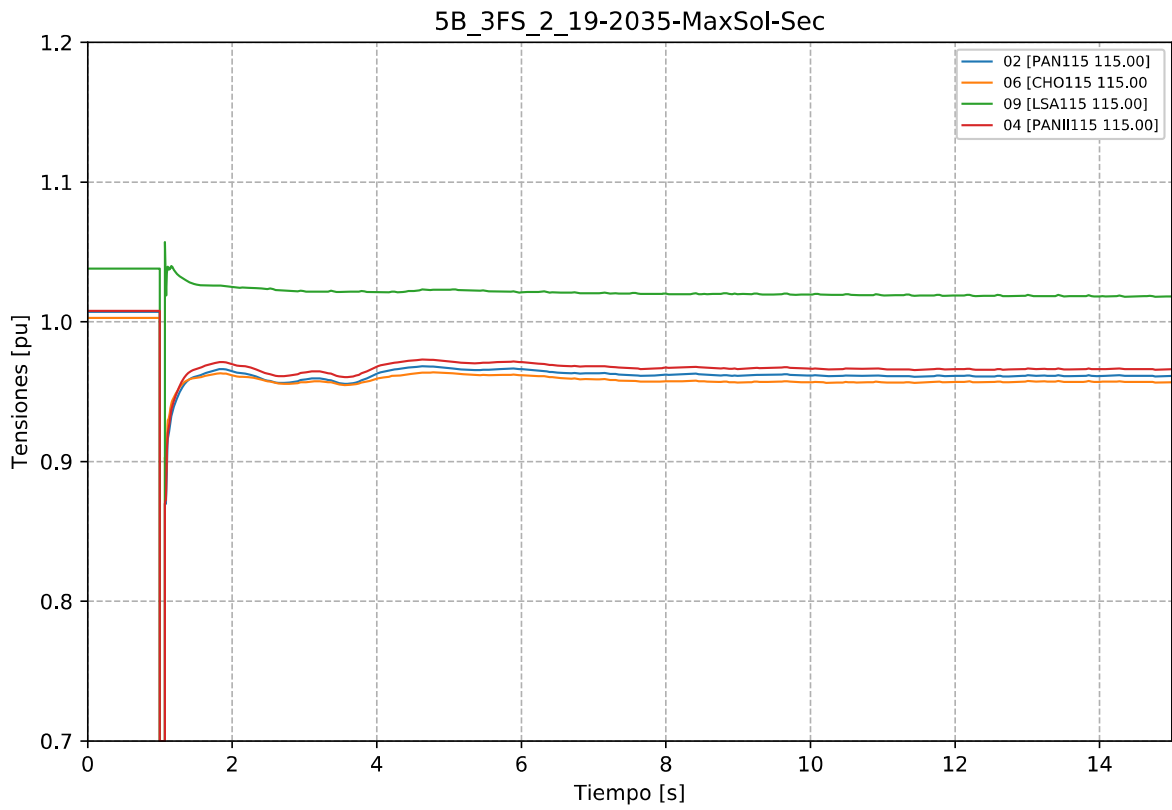


Gráfico 79. Evento 5B\_3FS, caso 2. Tensiones en la zona de influencia 115 kV.

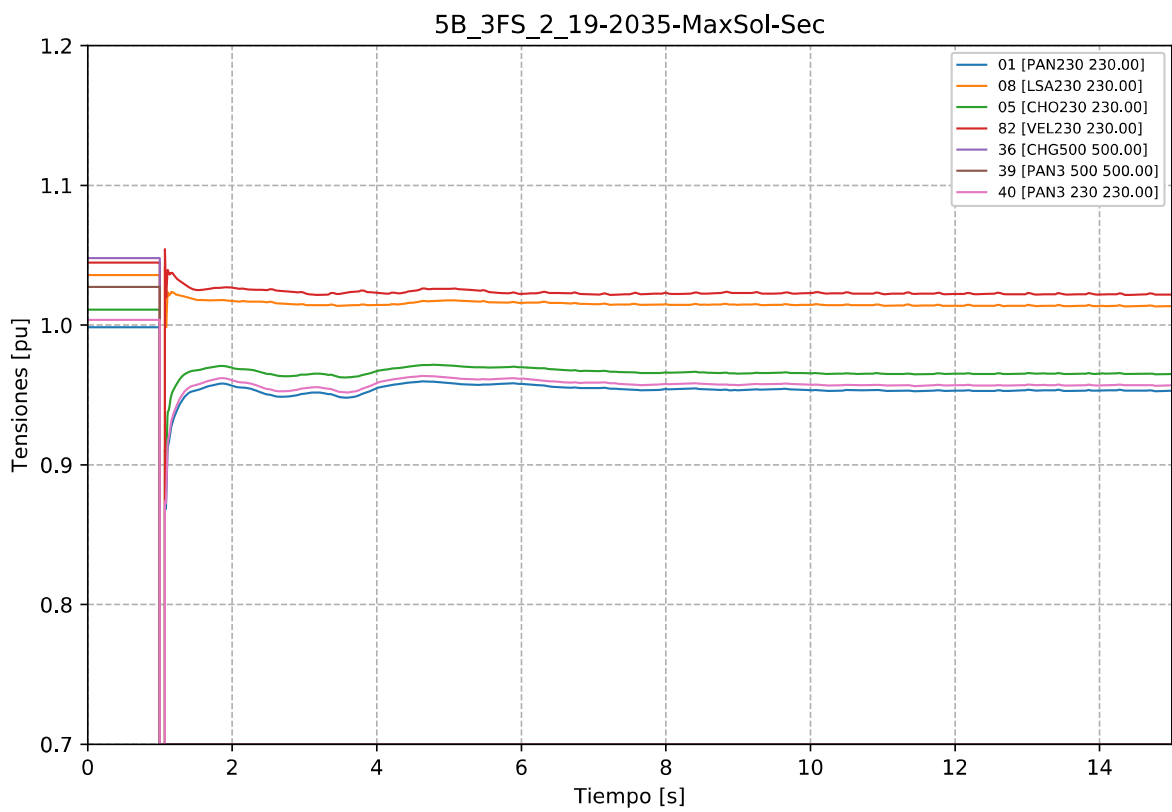


Gráfico 80. Evento 5B\_3FS, caso 2. Tensiones en la zona de influencia 230 kV.

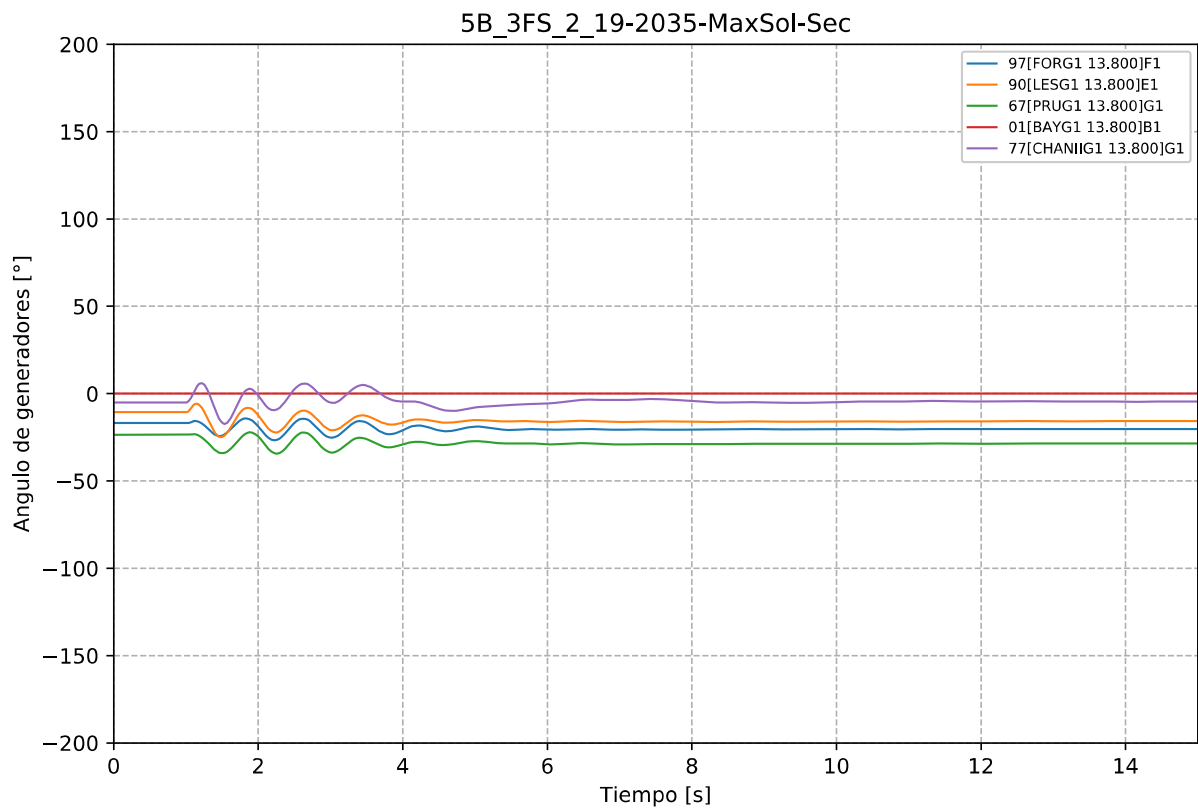


Gráfico 81. Evento 5B\_3FS, caso 2. Ángulo de Generadores Hidroeléctricos.

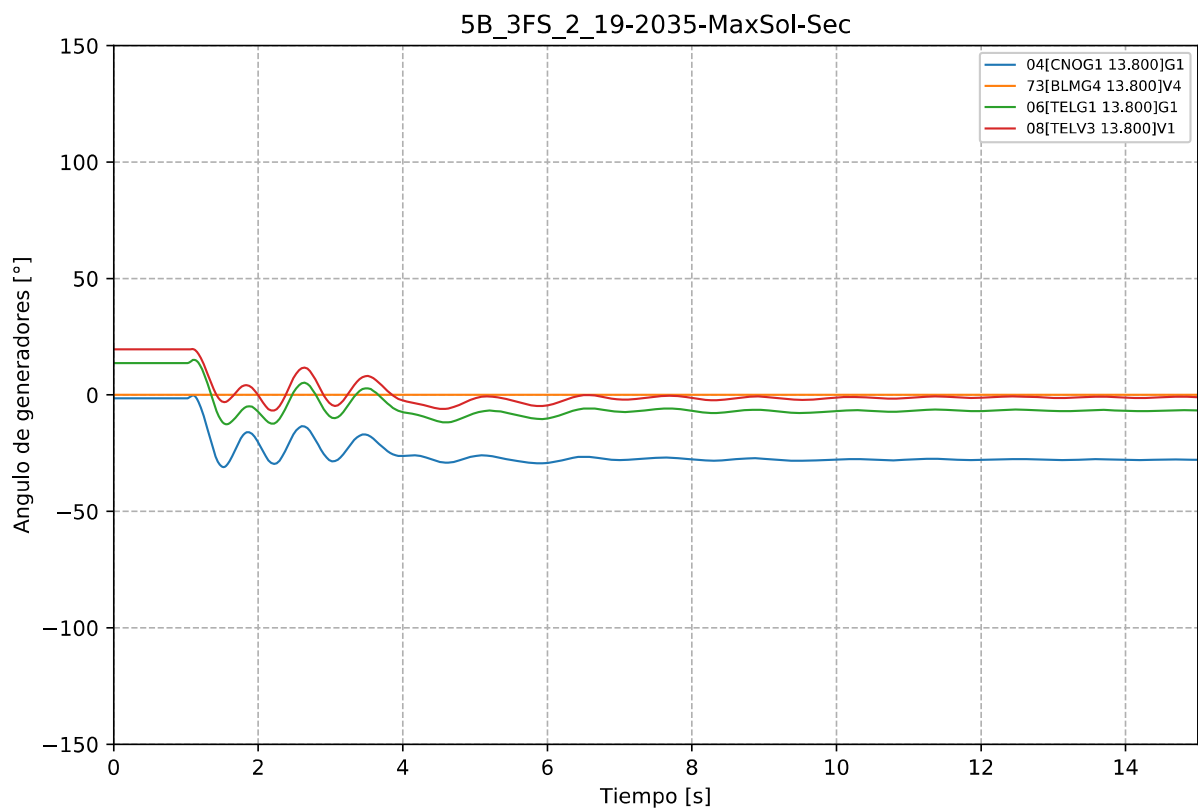


Gráfico 82. Evento 5B\_3FS, caso 2. Ángulo de generadores Térmicos.

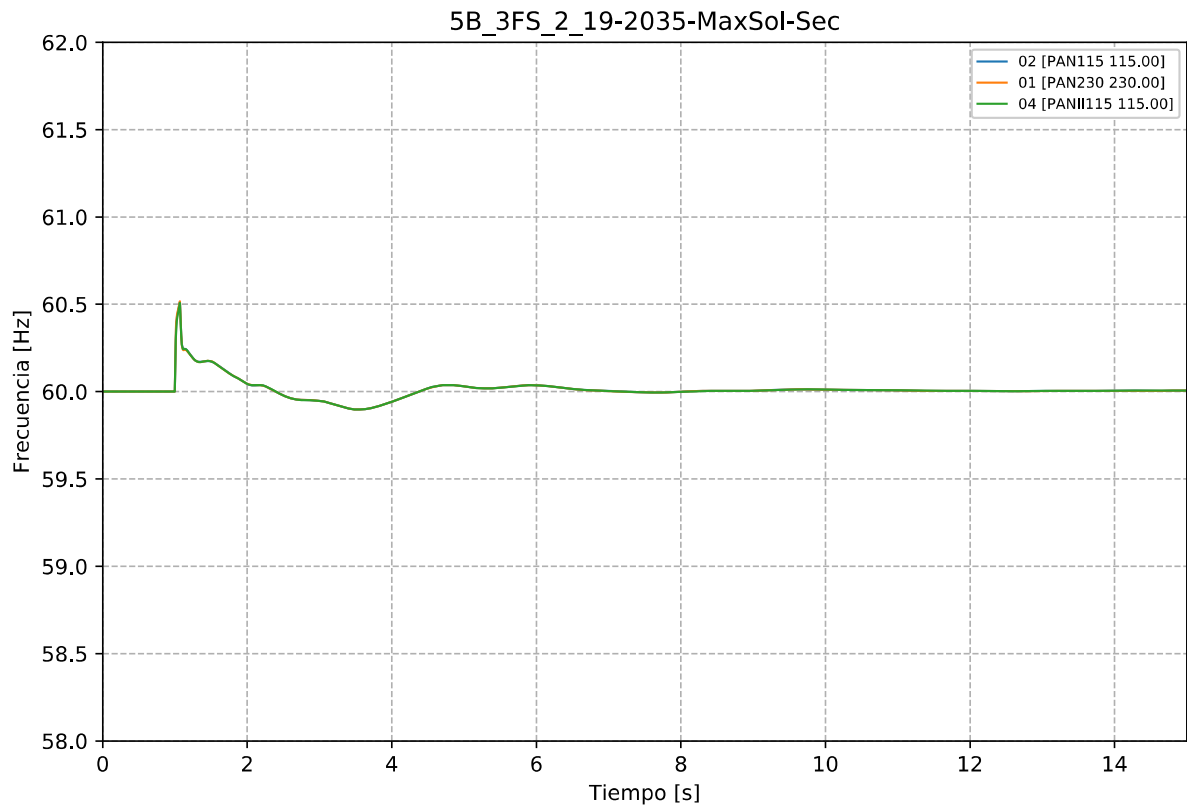


Gráfico 83. Evento 5B\_3FS, caso 2. Frecuencia.

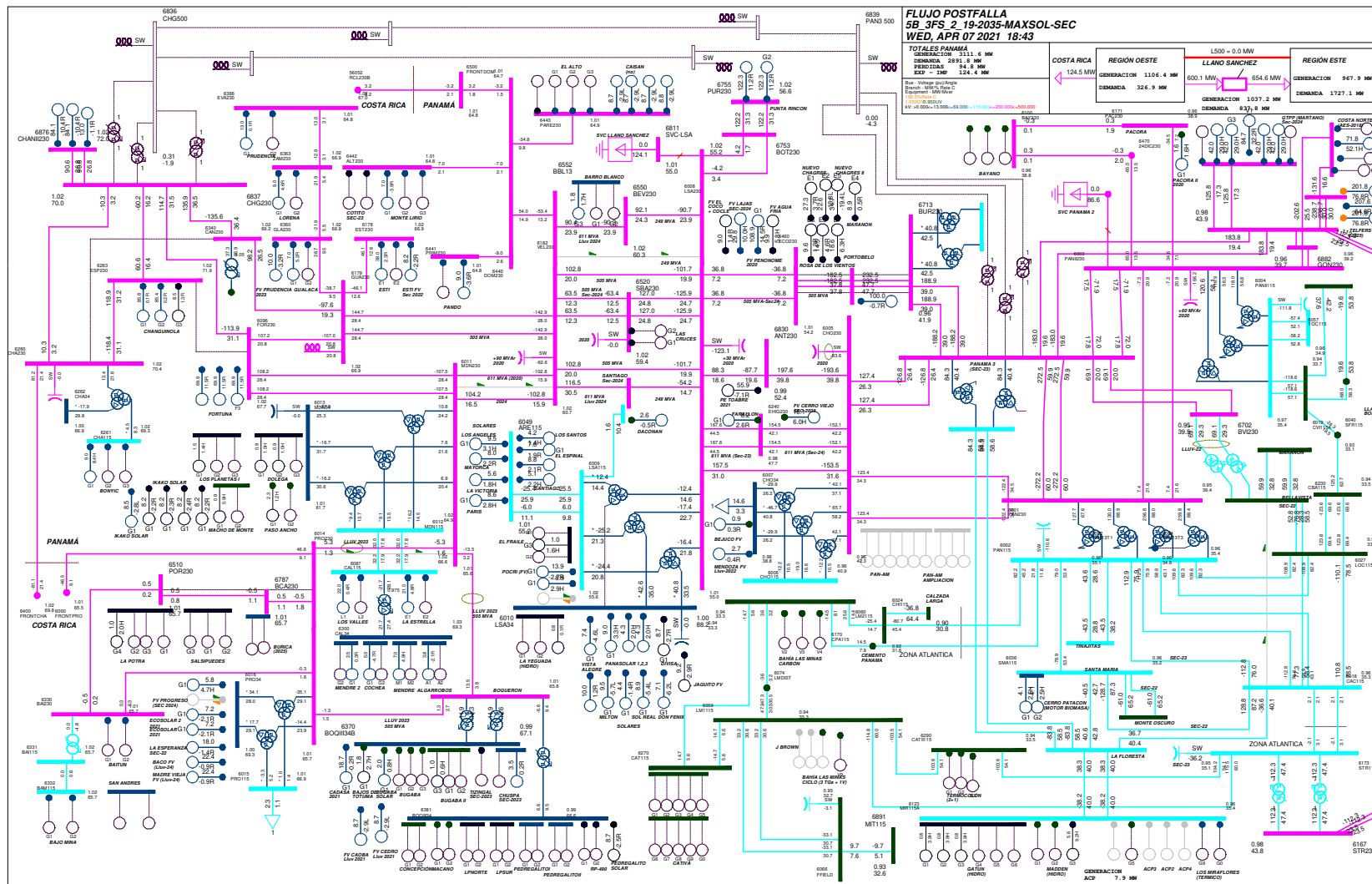


Gráfico 84. Evento 5B\_3FS, caso 2. Flujo postfalla

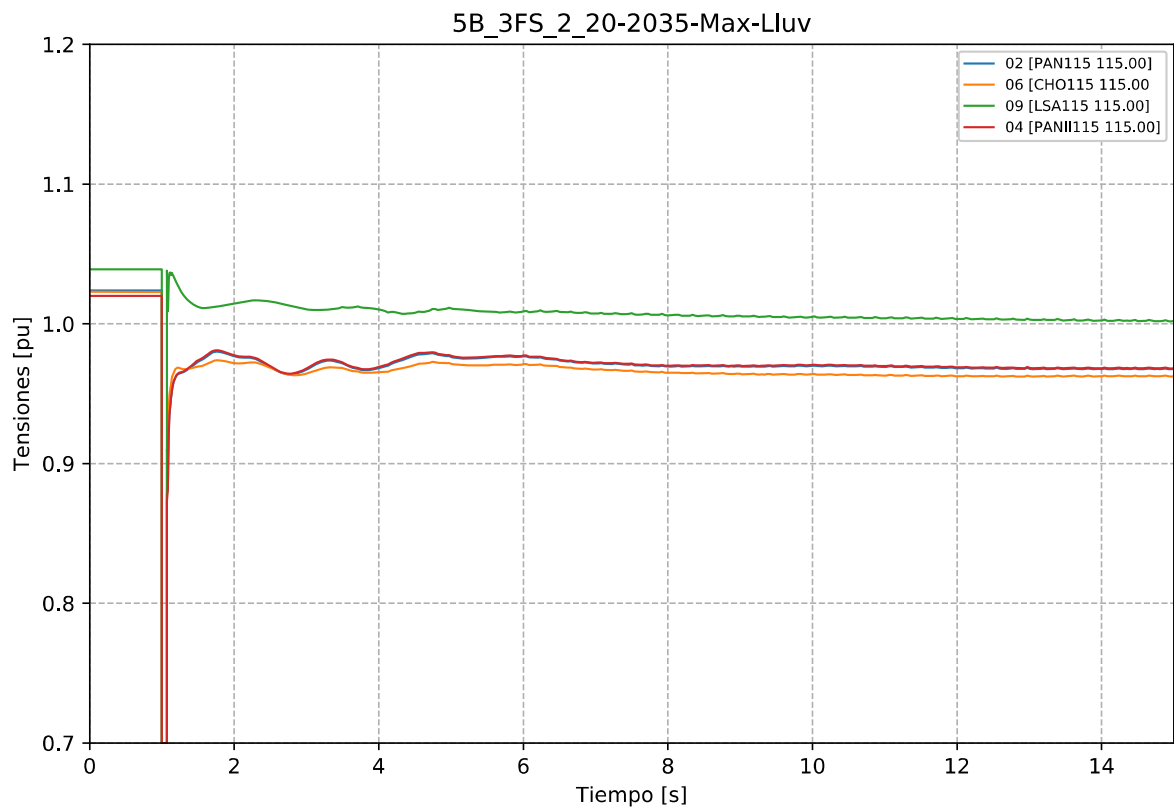


Gráfico 85. Evento 5B\_3FS, caso 2. Tensiones en la zona de influencia 115 kV.

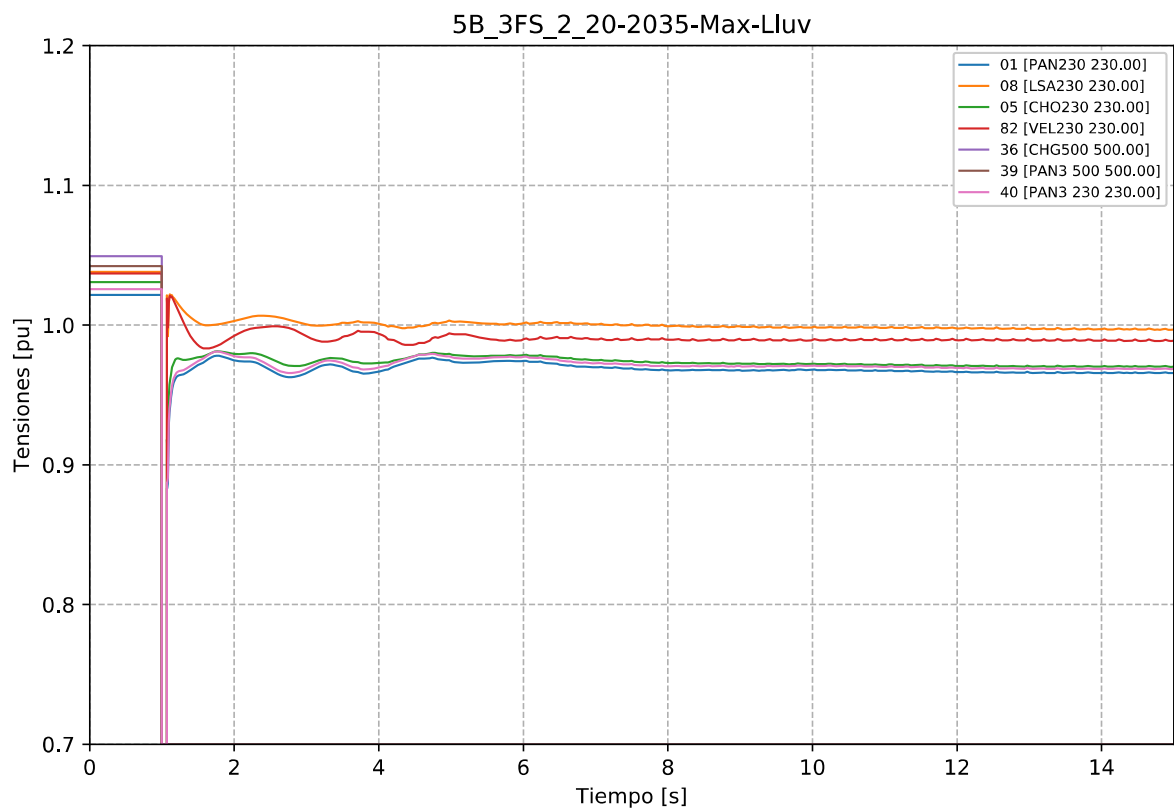


Gráfico 86. Evento 5B\_3FS, caso 2. Tensiones en la zona de influencia 230 kV.

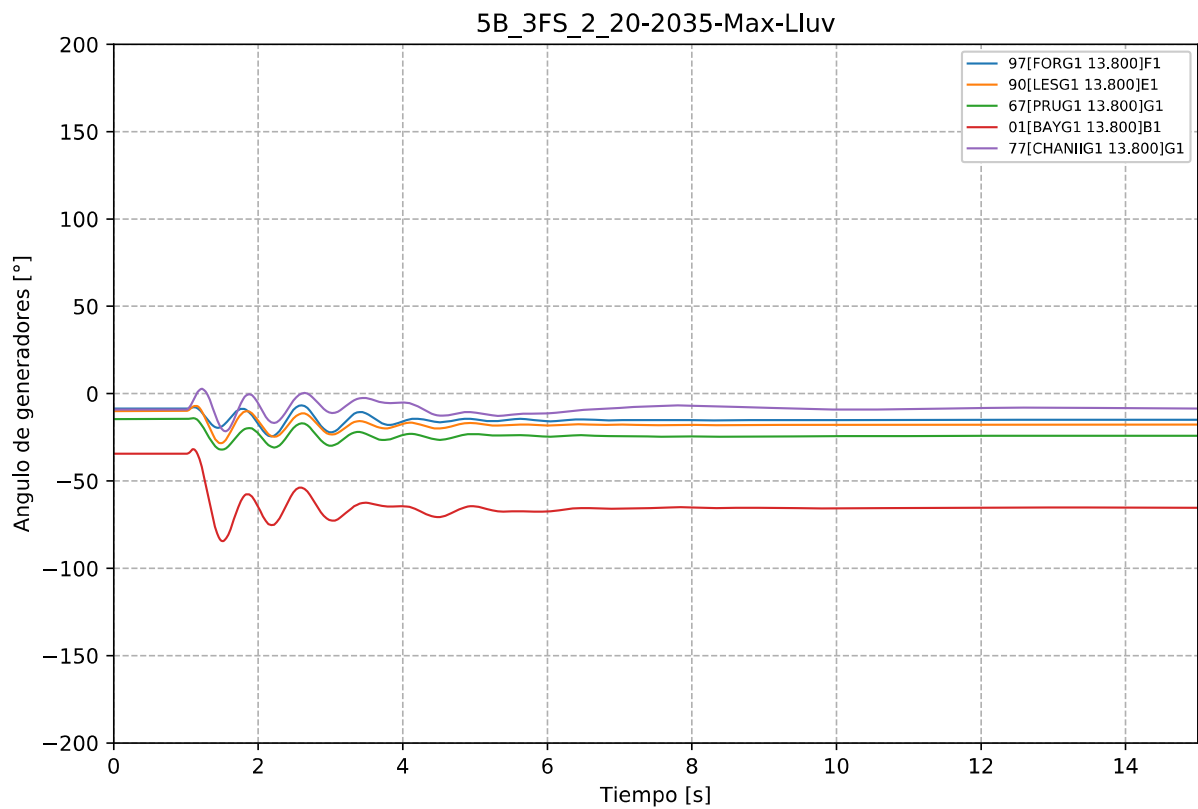


Gráfico 87. Evento 5B\_3FS, caso 2. Ángulo de Generadores Hidroeléctricos.

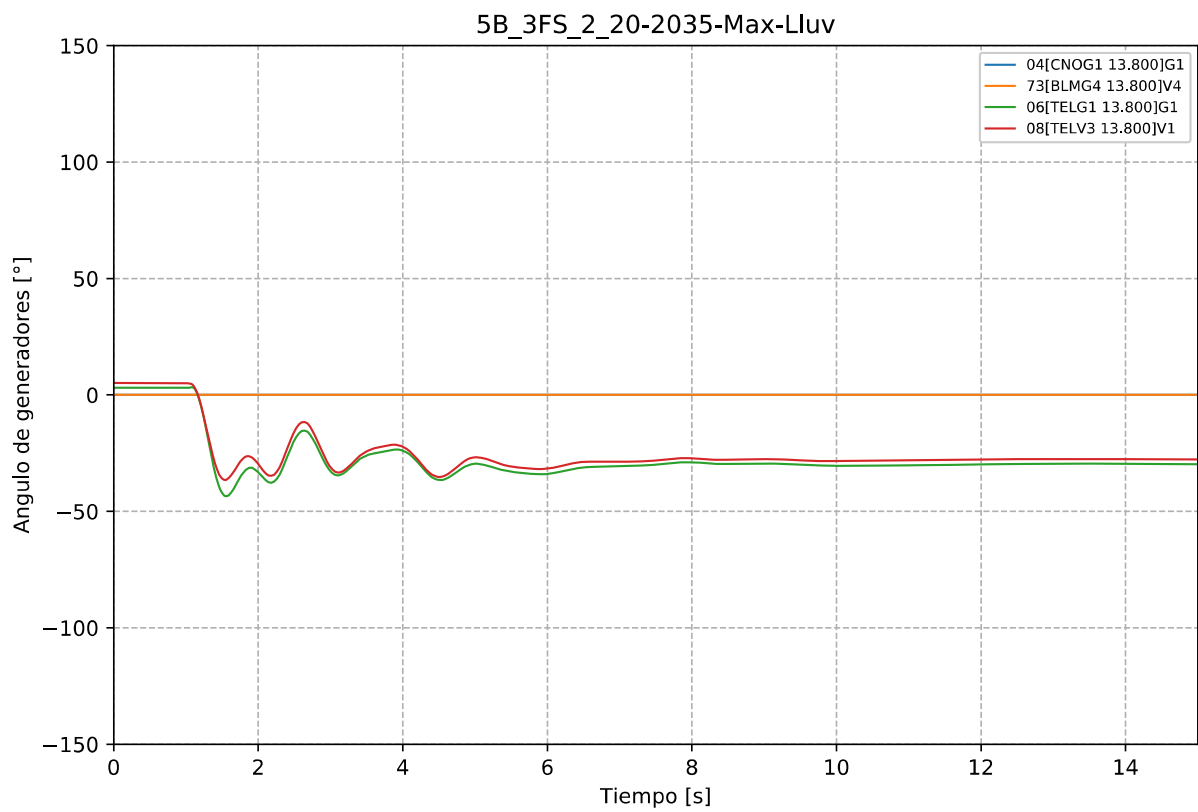


Gráfico 88. Evento 5B\_3FS, caso 2. Ángulo de generadores Térmicos.



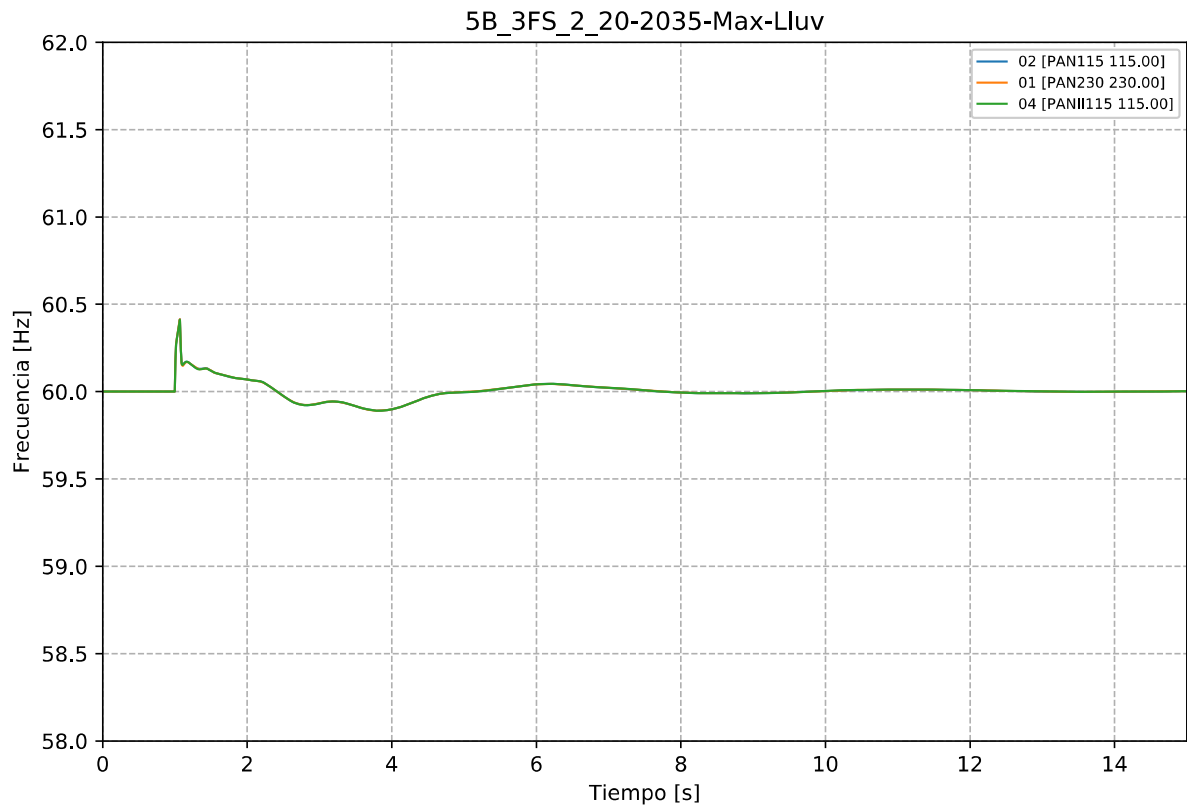


Gráfico 89. Evento 5B\_3FS, caso 2. Frecuencia.

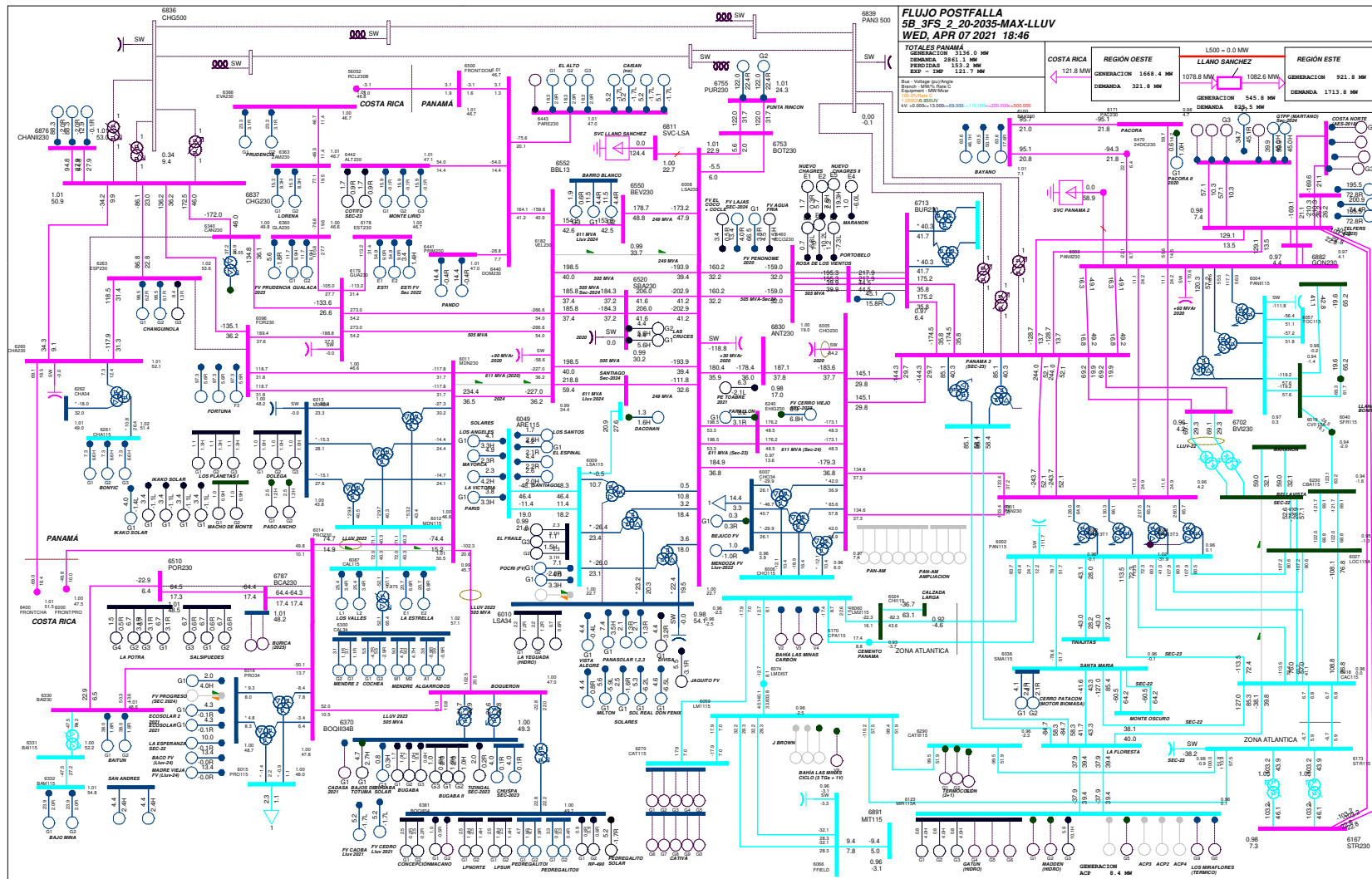


Gráfico 90. Evento 5B\_3FS, caso 2. Flujo postfalla

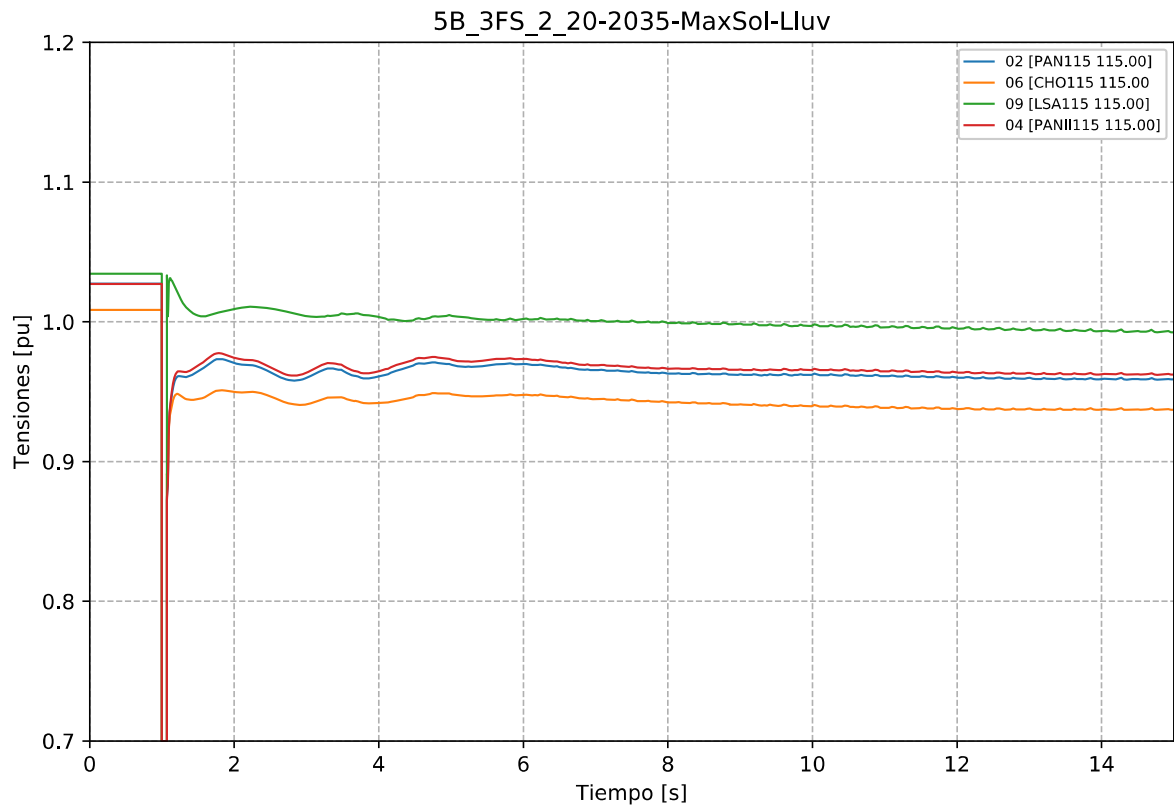


Gráfico 91. Evento 5B\_3FS, caso 2. Tensiones en la zona de influencia 115 kV.

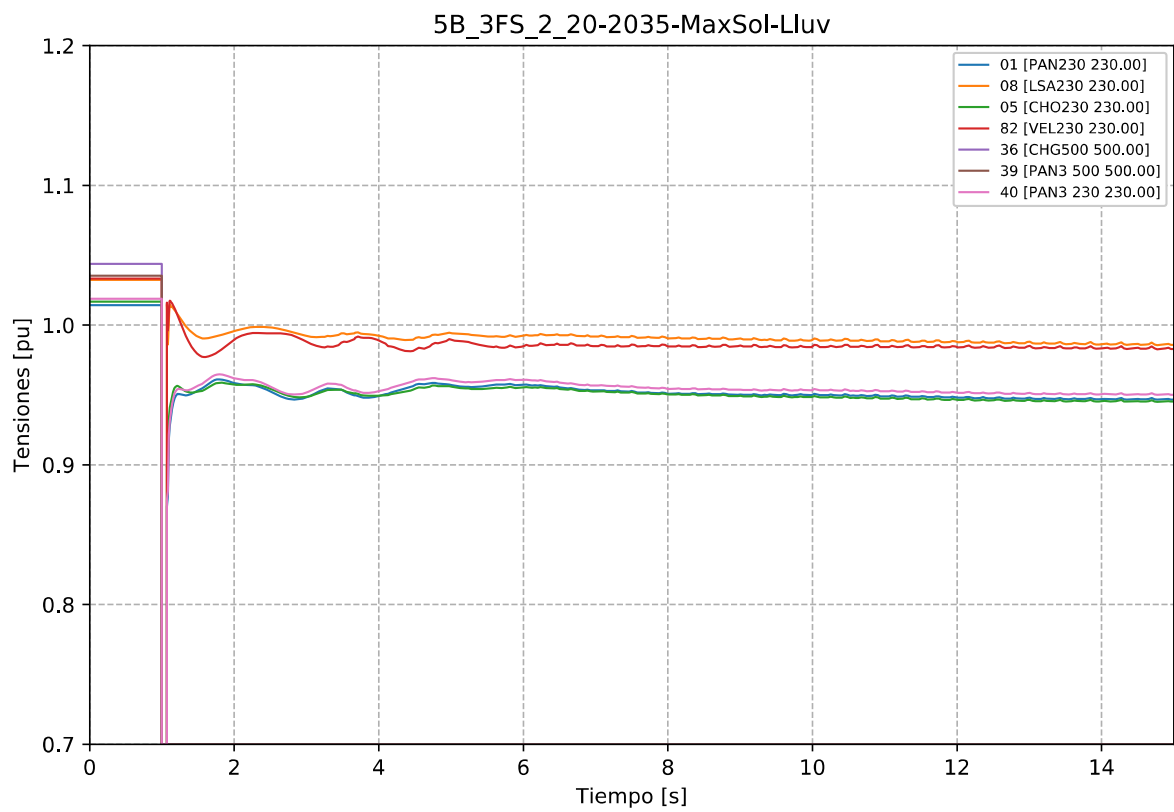


Gráfico 92. Evento 5B\_3FS, caso 2. Tensiones en la zona de influencia 230 kV.

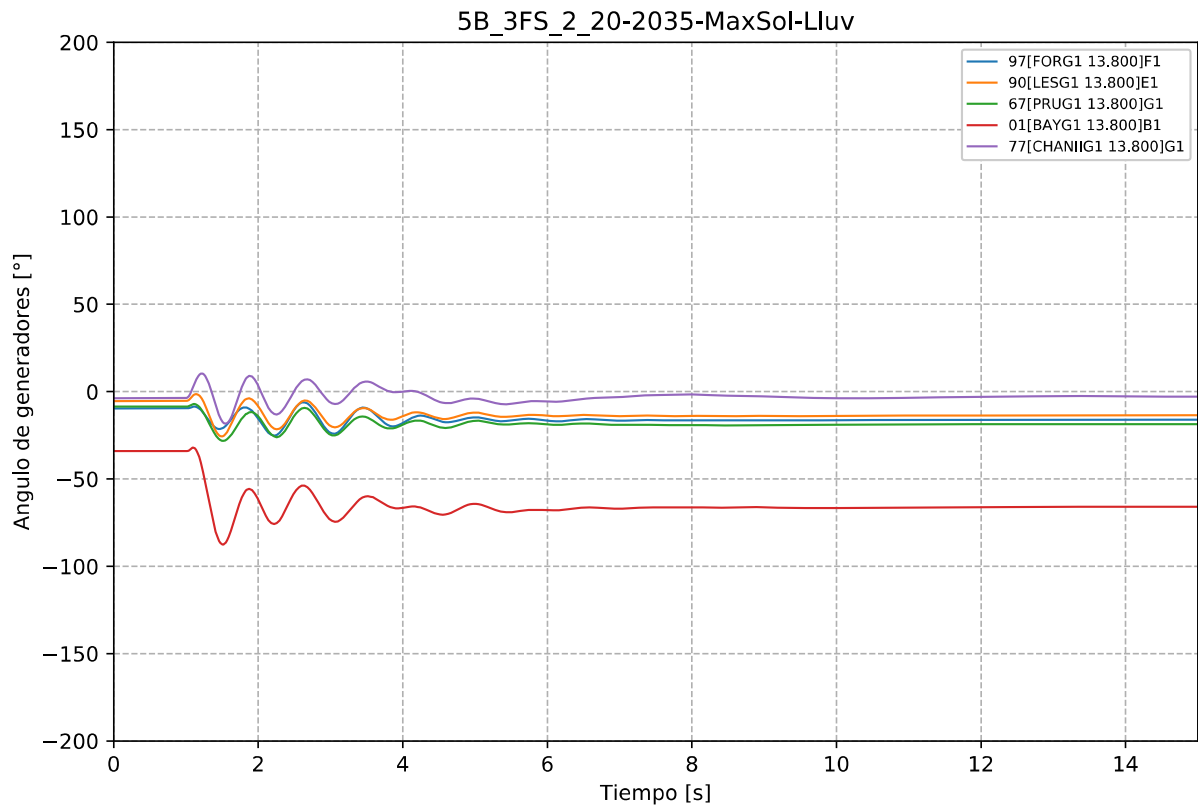


Gráfico 93. Evento 5B\_3FS, caso 2. Ángulo de Generadores Hidroeléctricos.

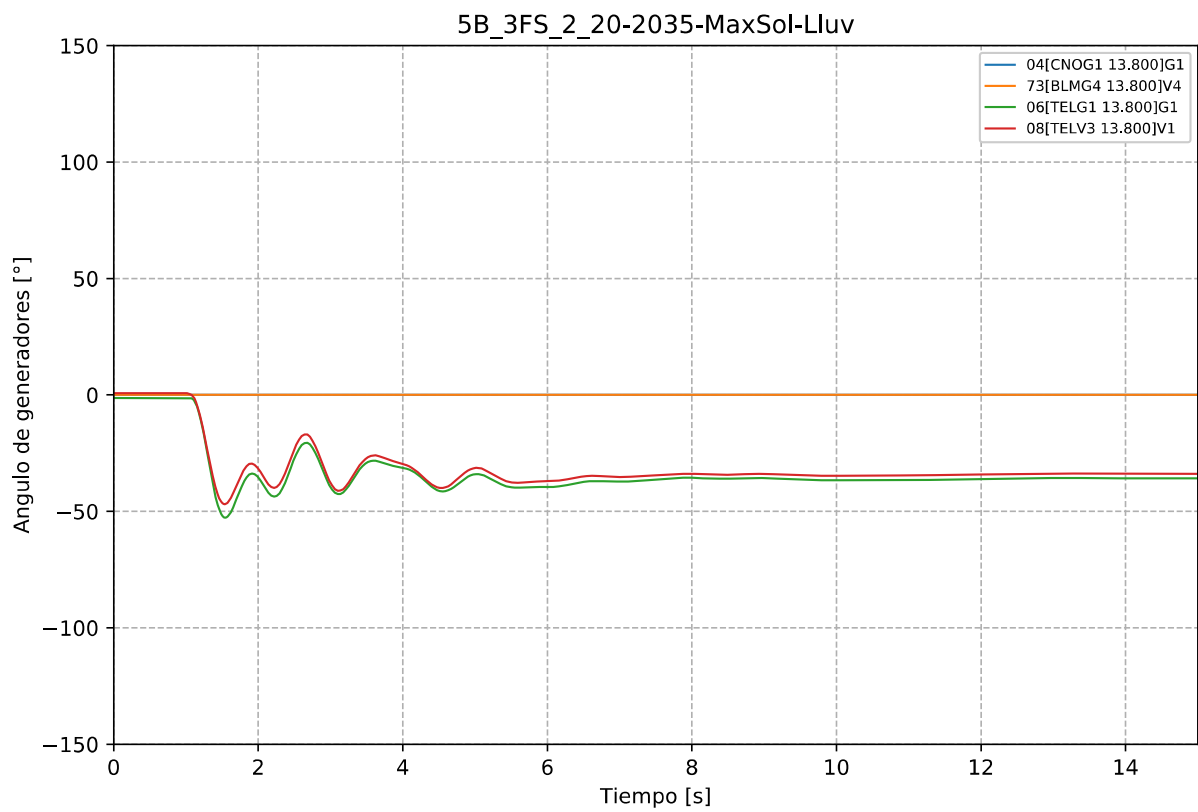


Gráfico 94. Evento 5B\_3FS, caso 2. Ángulo de generadores Térmicos.

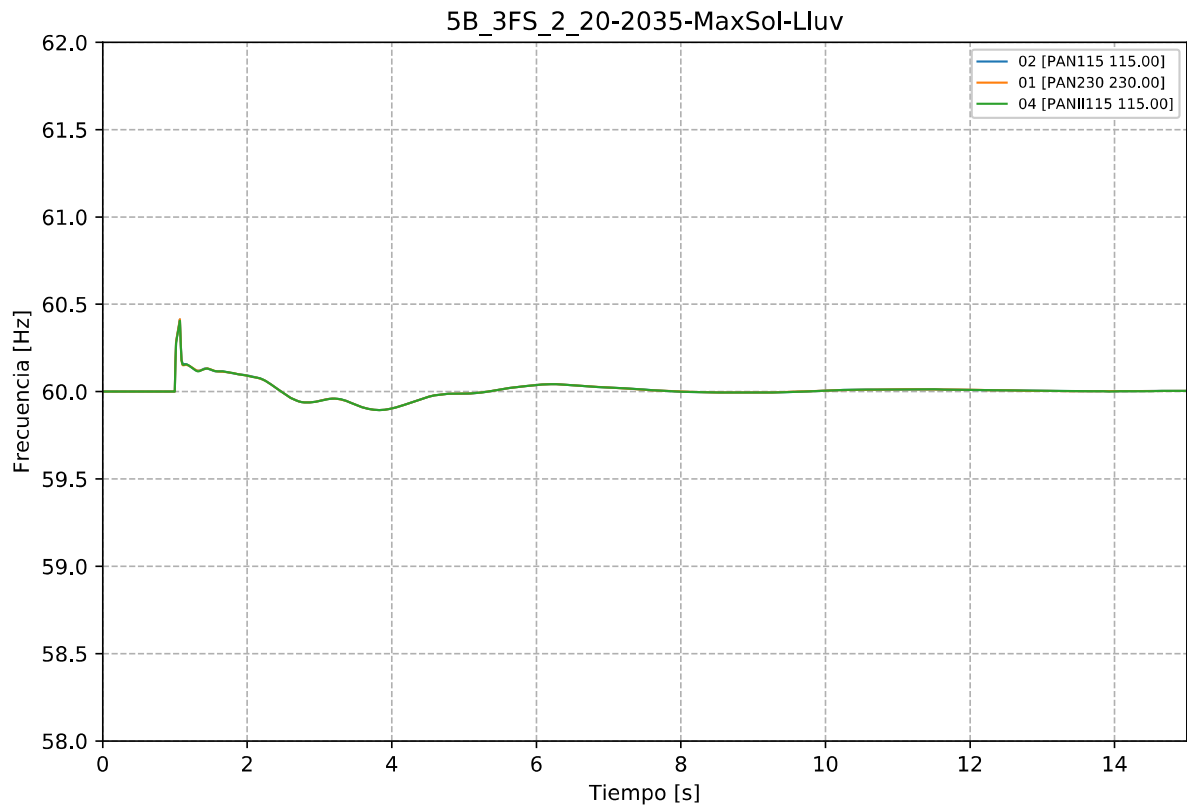


Gráfico 95. Evento 5B\_3FS, caso 2. Frecuencia.

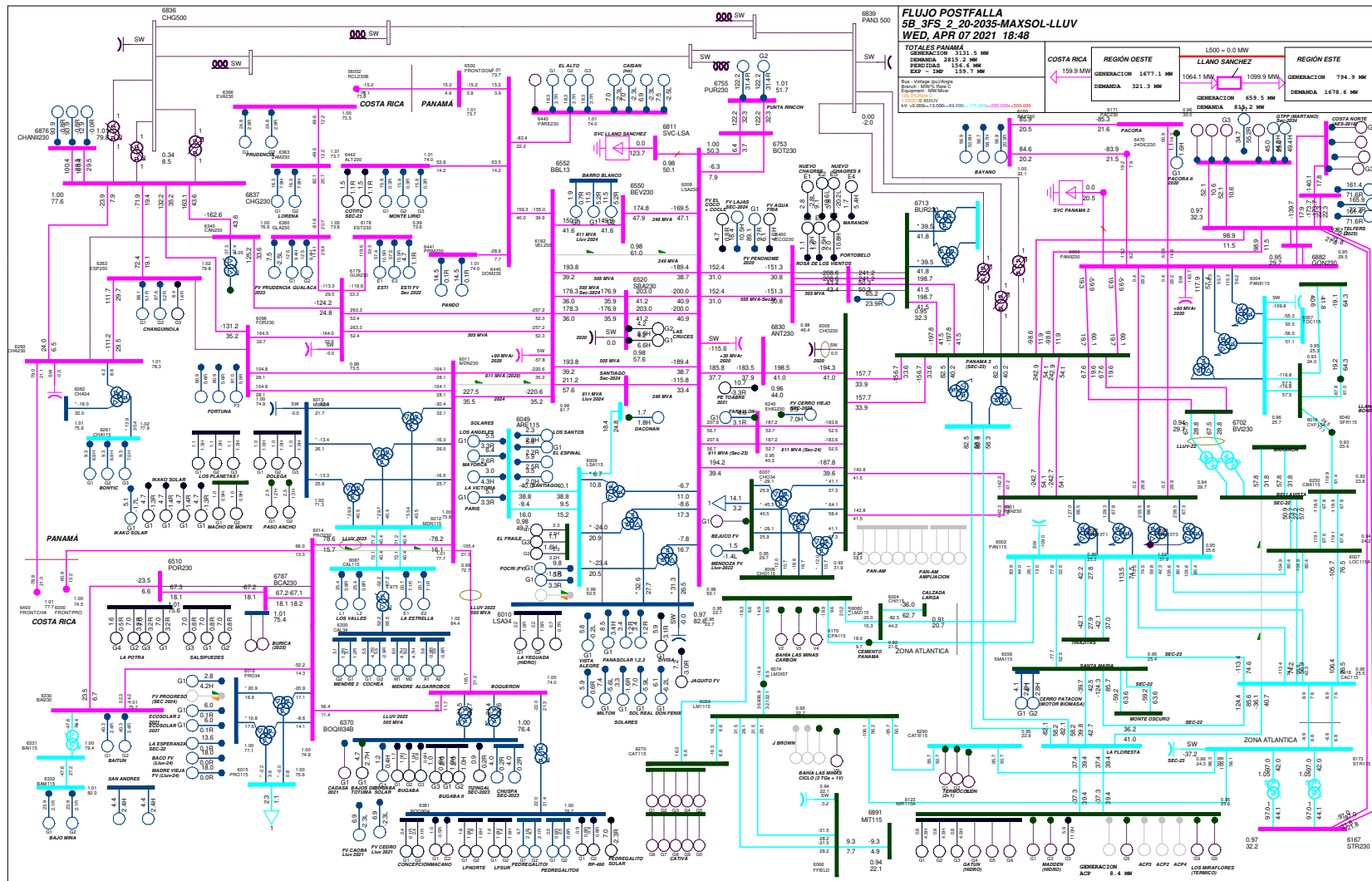


Gráfico 96. Evento 5B\_3FS, caso 2. Flujo postfalla

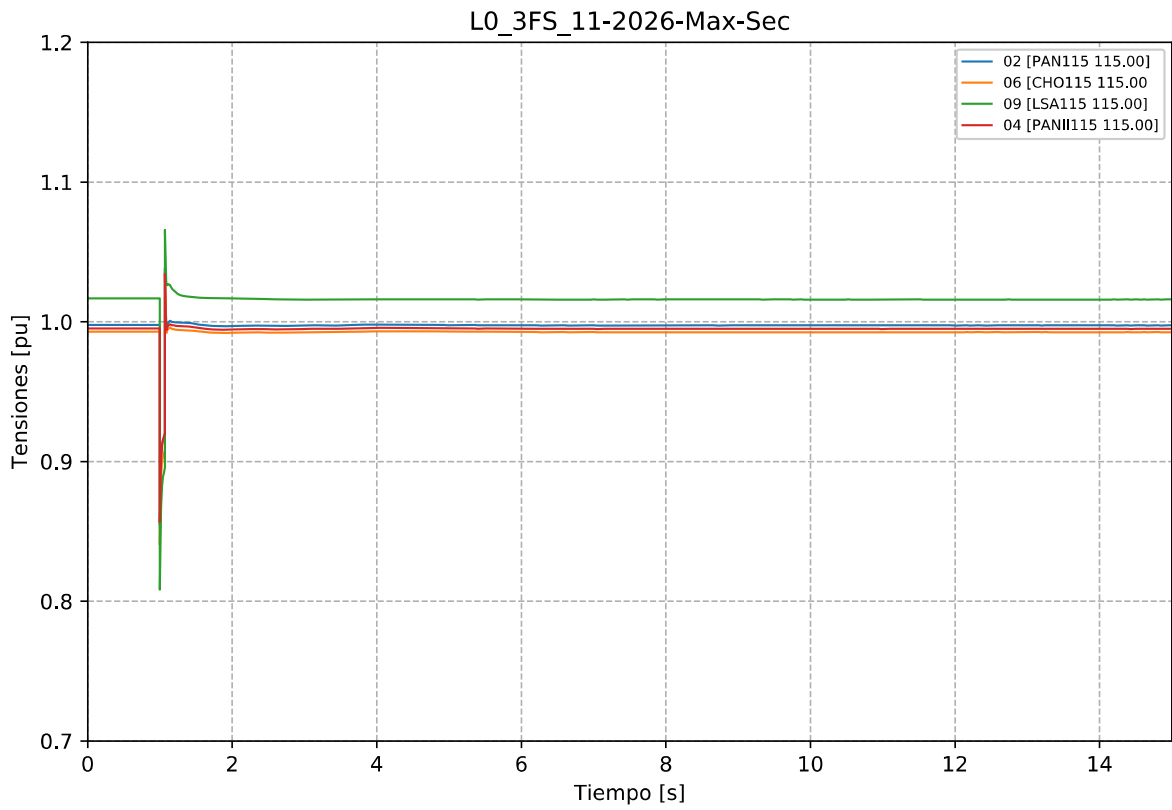


Gráfico 97. Evento LO\_3FS, caso 11-2026-Max-Sec. Tensiones en la zona de influencia 115 kV.

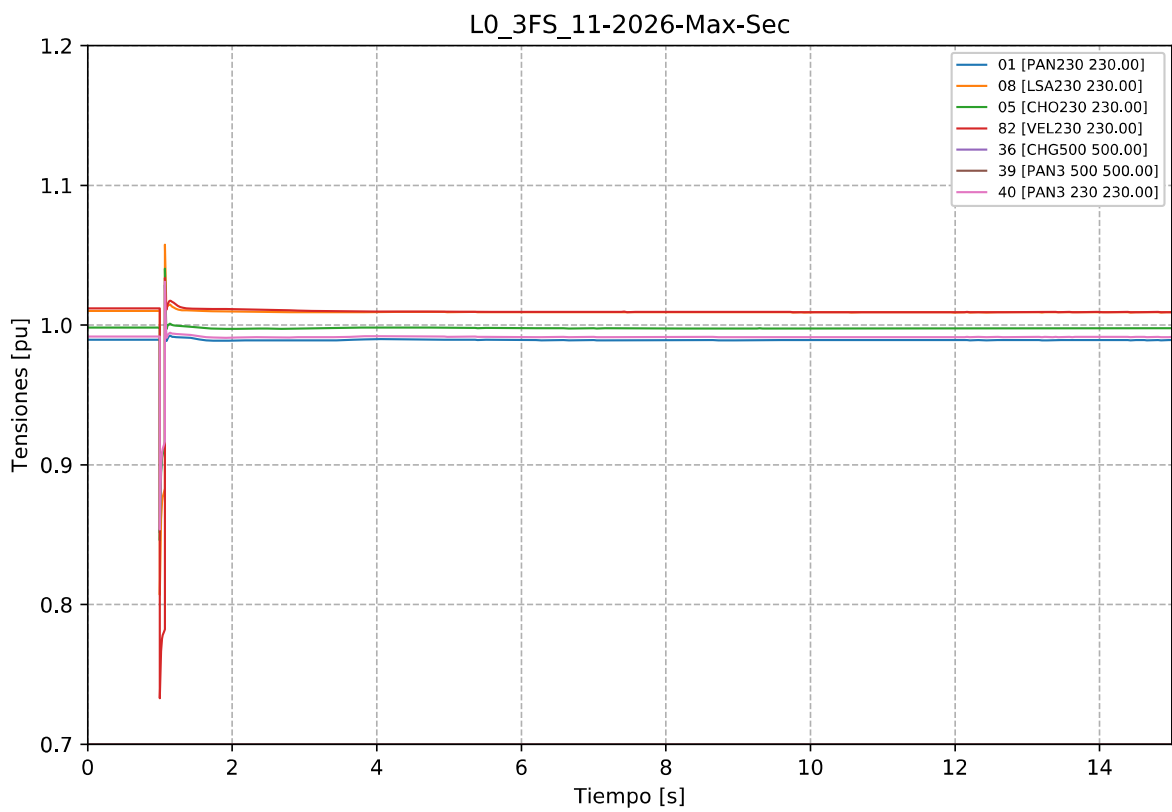


Gráfico 98. Evento LO\_3FS, caso 11-2026-Max-Sec. Tensiones en la zona de influencia 230 kV.

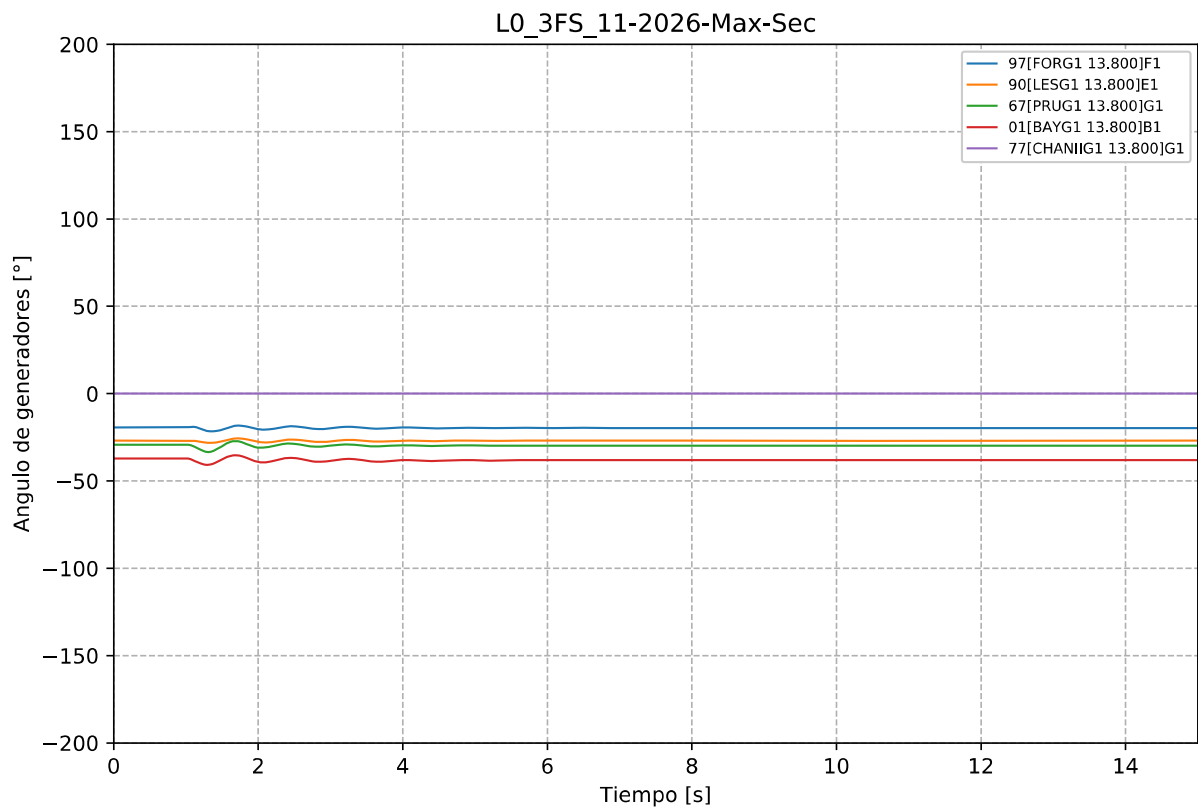


Gráfico 99. Evento L0\_3FS, caso 11-2026-Max-Sec. Ángulo de Generadores Hidroeléctricos.

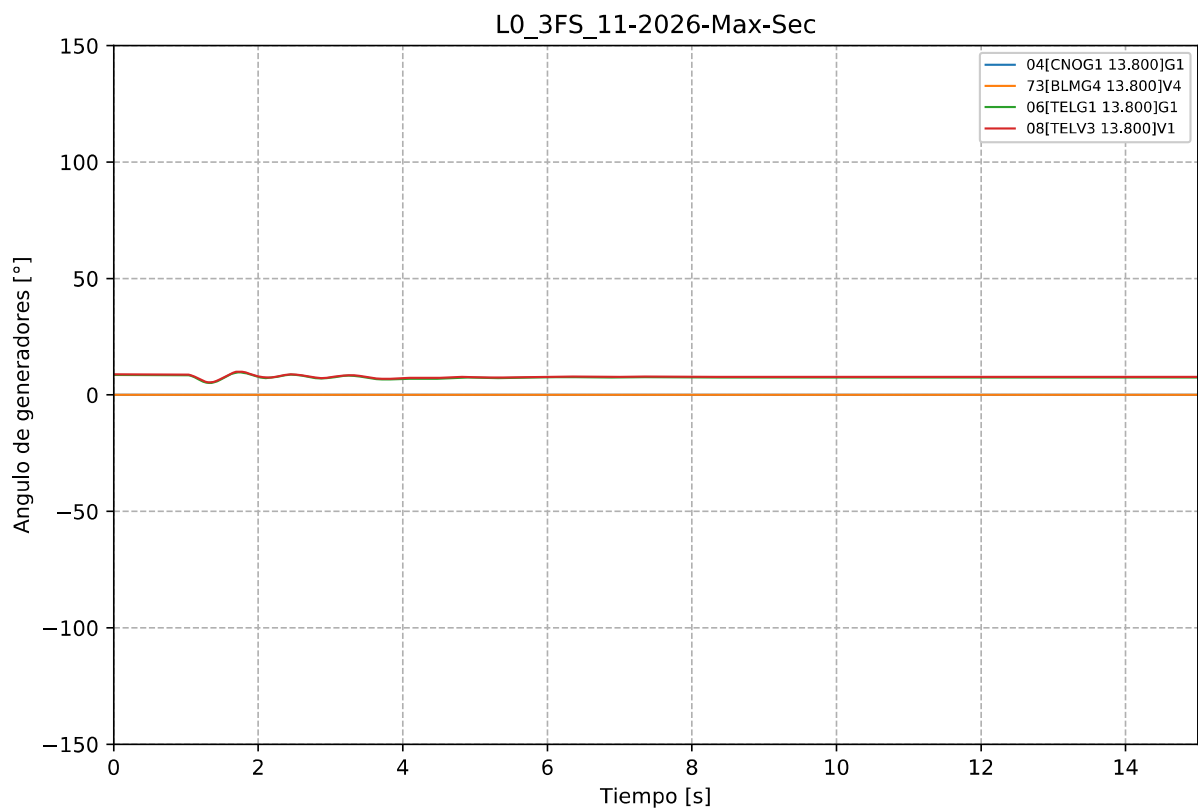


Gráfico 100. Evento L0\_3FS, caso 11-2026-Max-Sec. Ángulo de generadores Térmicos.



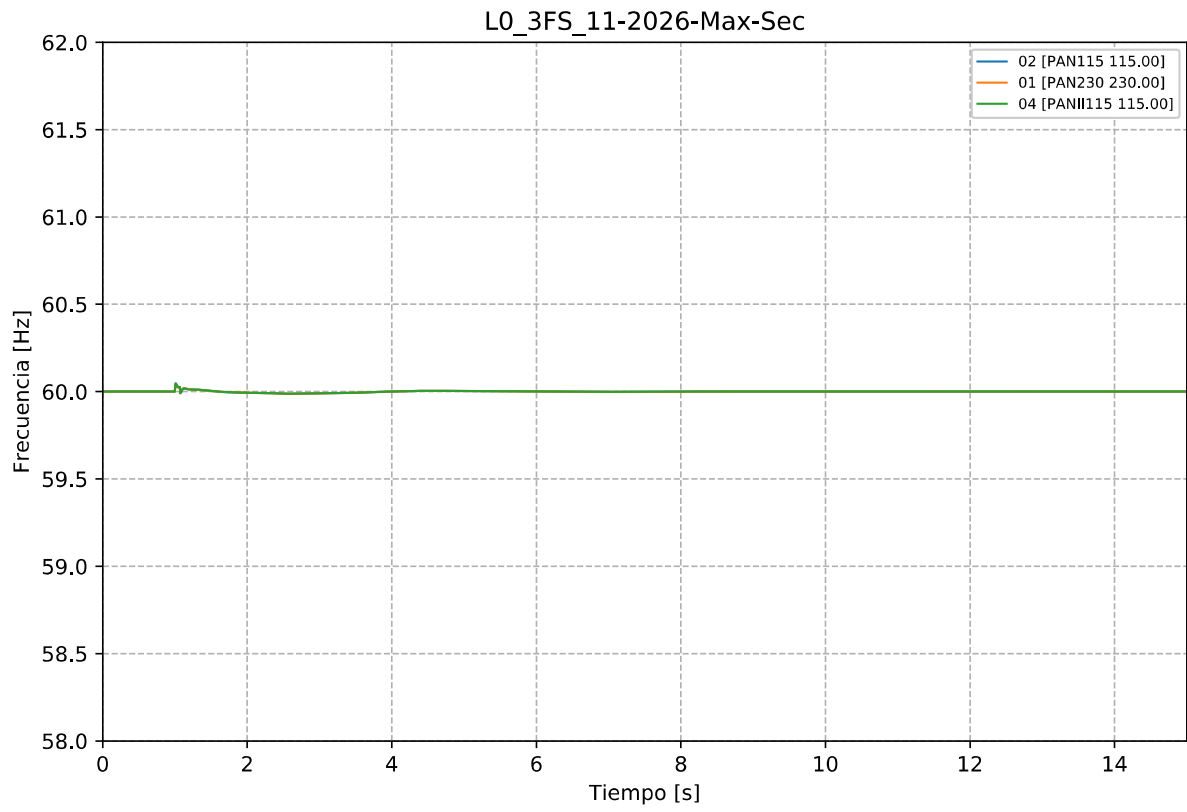


Gráfico 101. Evento L0\_3FS, caso 11-2026-Max-Sec. Frecuencia.

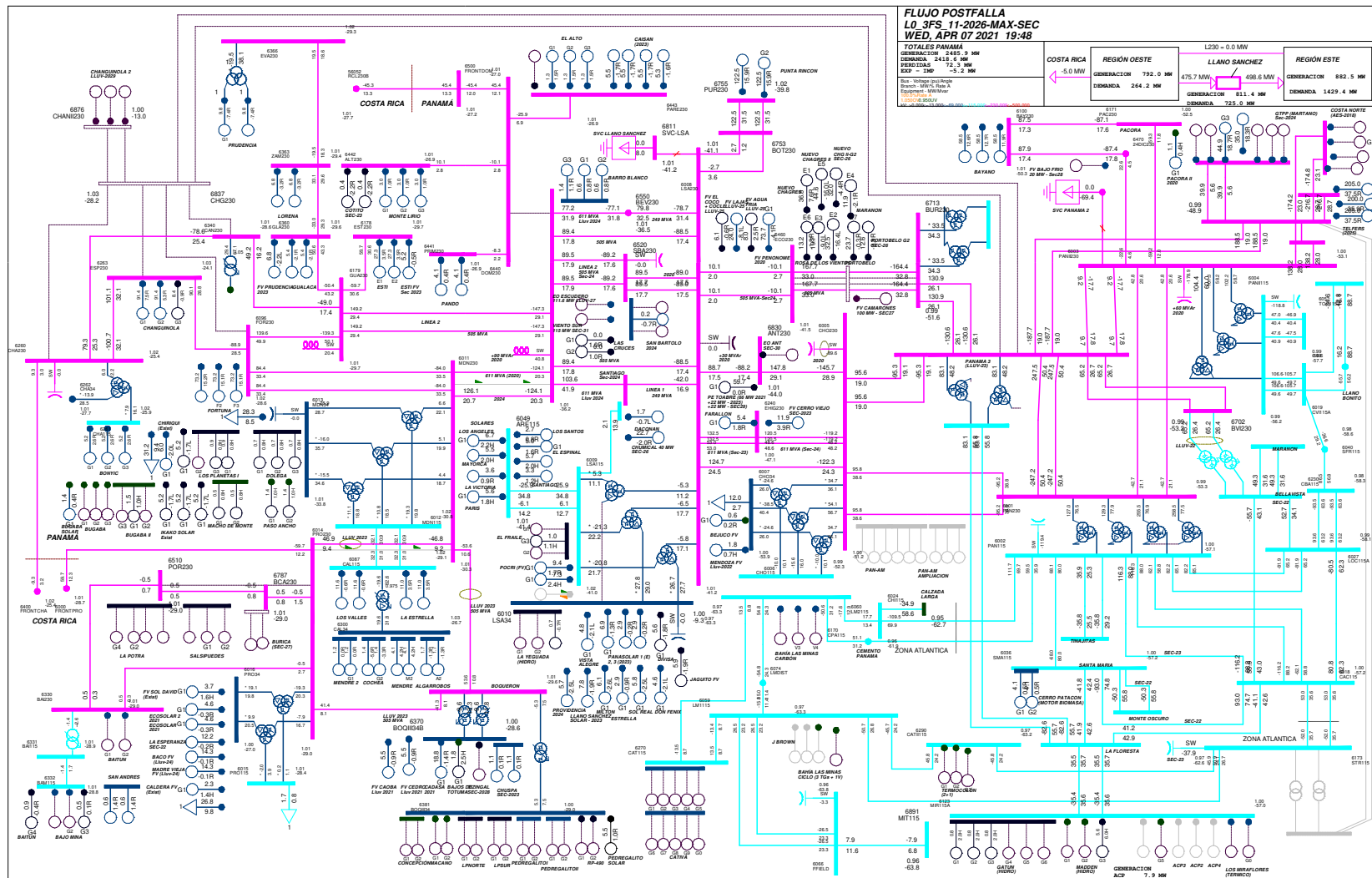


Gráfico 102. Evento L0\_3FS, caso 11-2026-Max-Sec. Flujo postfalla

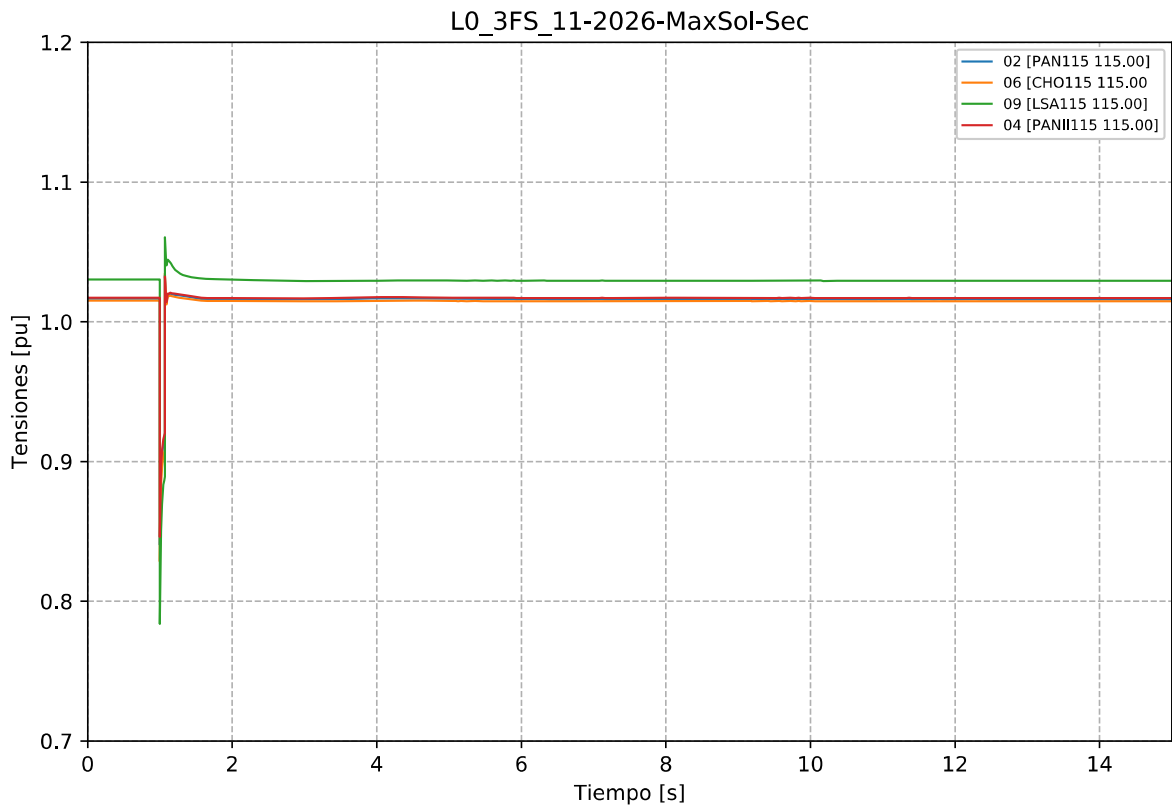


Gráfico 103. Evento L0\_3FS, caso 11-2026-MaxSol-Sec. Tensiones en la zona de influencia 115 kV.

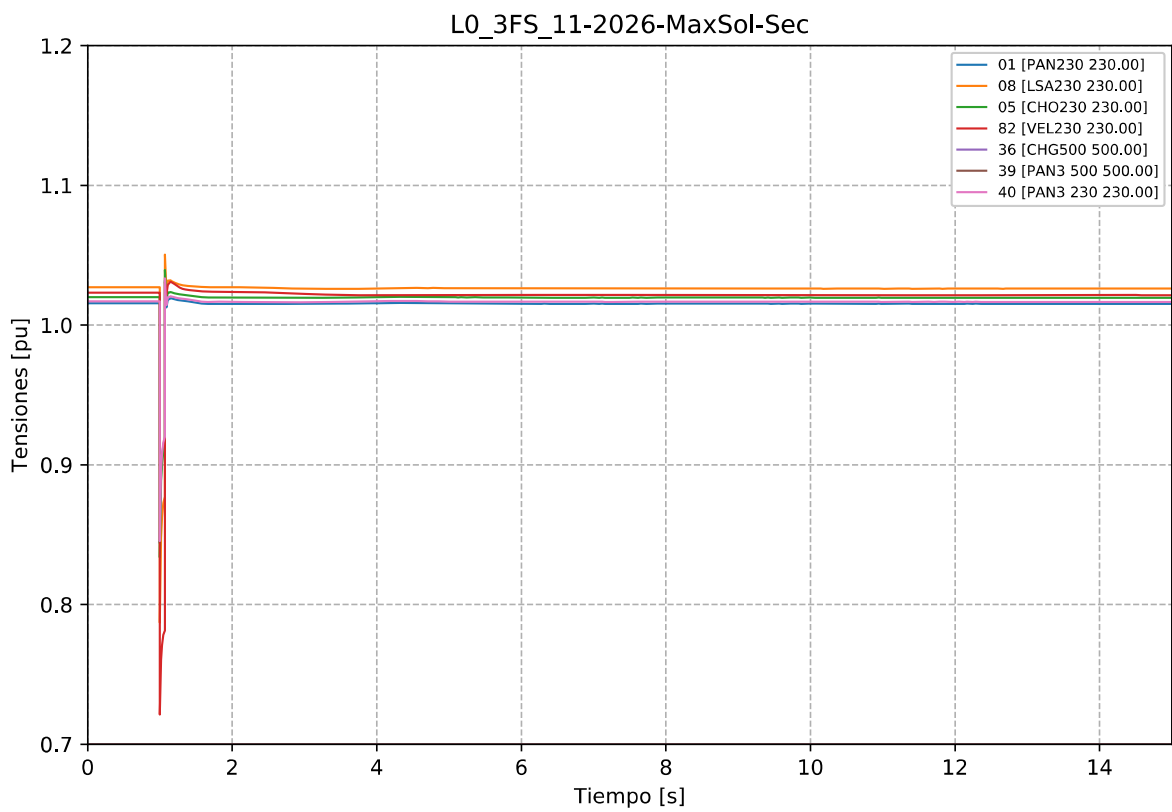


Gráfico 104. Evento L0\_3FS, caso 11-2026-MaxSol-Sec. Tensiones en la zona de influencia 230 kV.

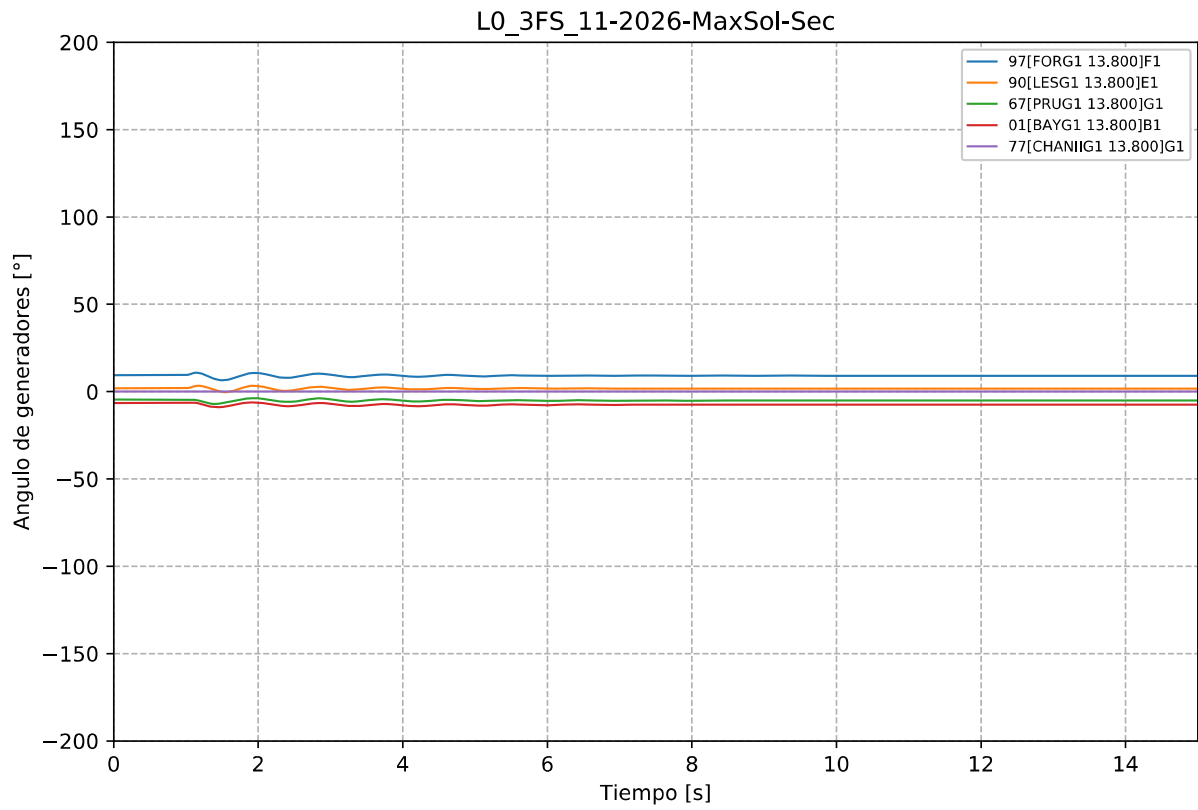


Gráfico 105. Evento L0\_3FS, caso 11-2026-MaxSol-Sec. Ángulo de Generadores Hidroeléctricos.

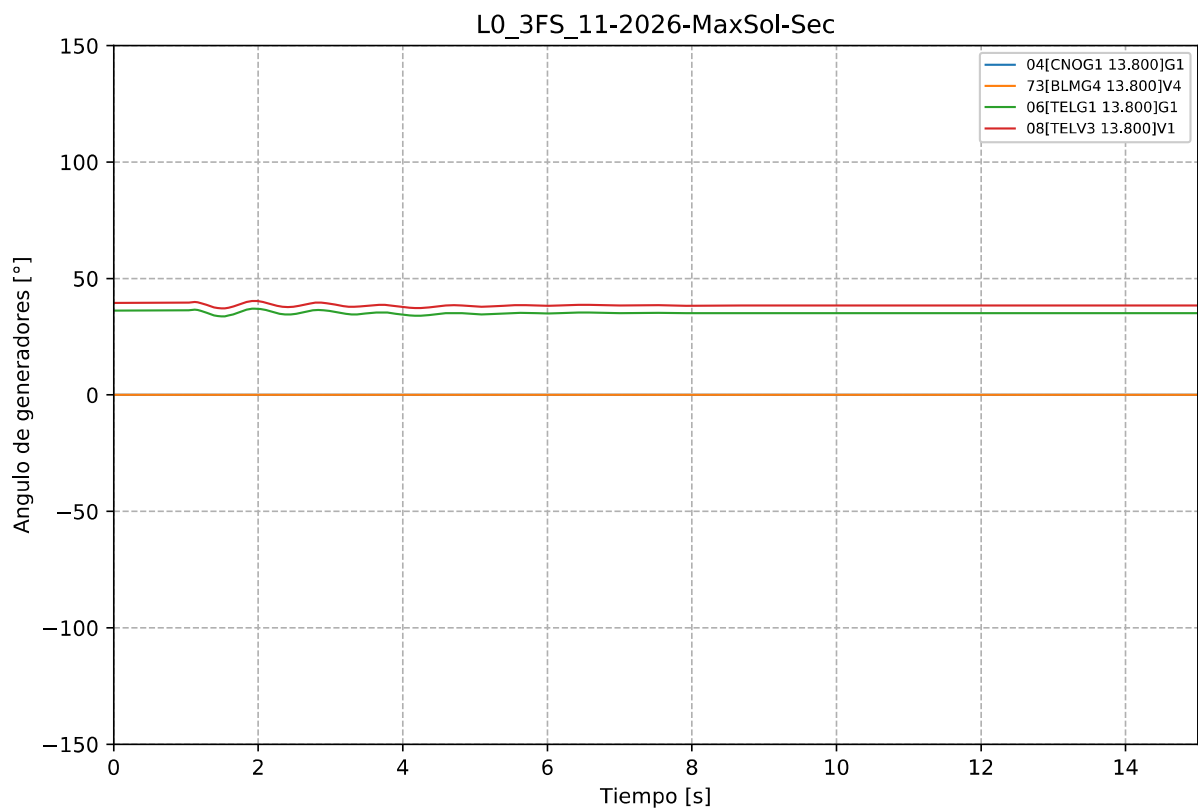


Gráfico 106. Evento L0\_3FS, caso 11-2026-MaxSol-Sec. Ángulo de generadores Térmicos.

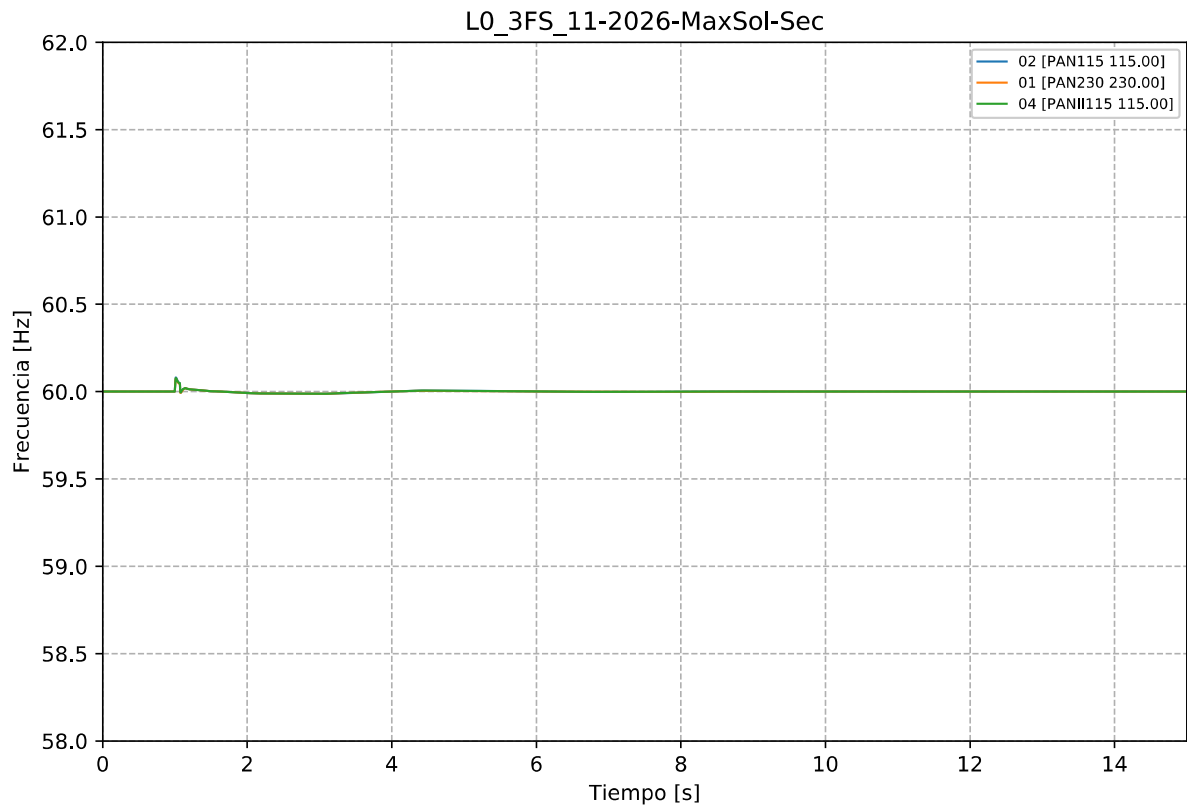


Gráfico 107. Evento L0\_3FS, caso 11-2026-MaxSol-Sec. Frecuencia.

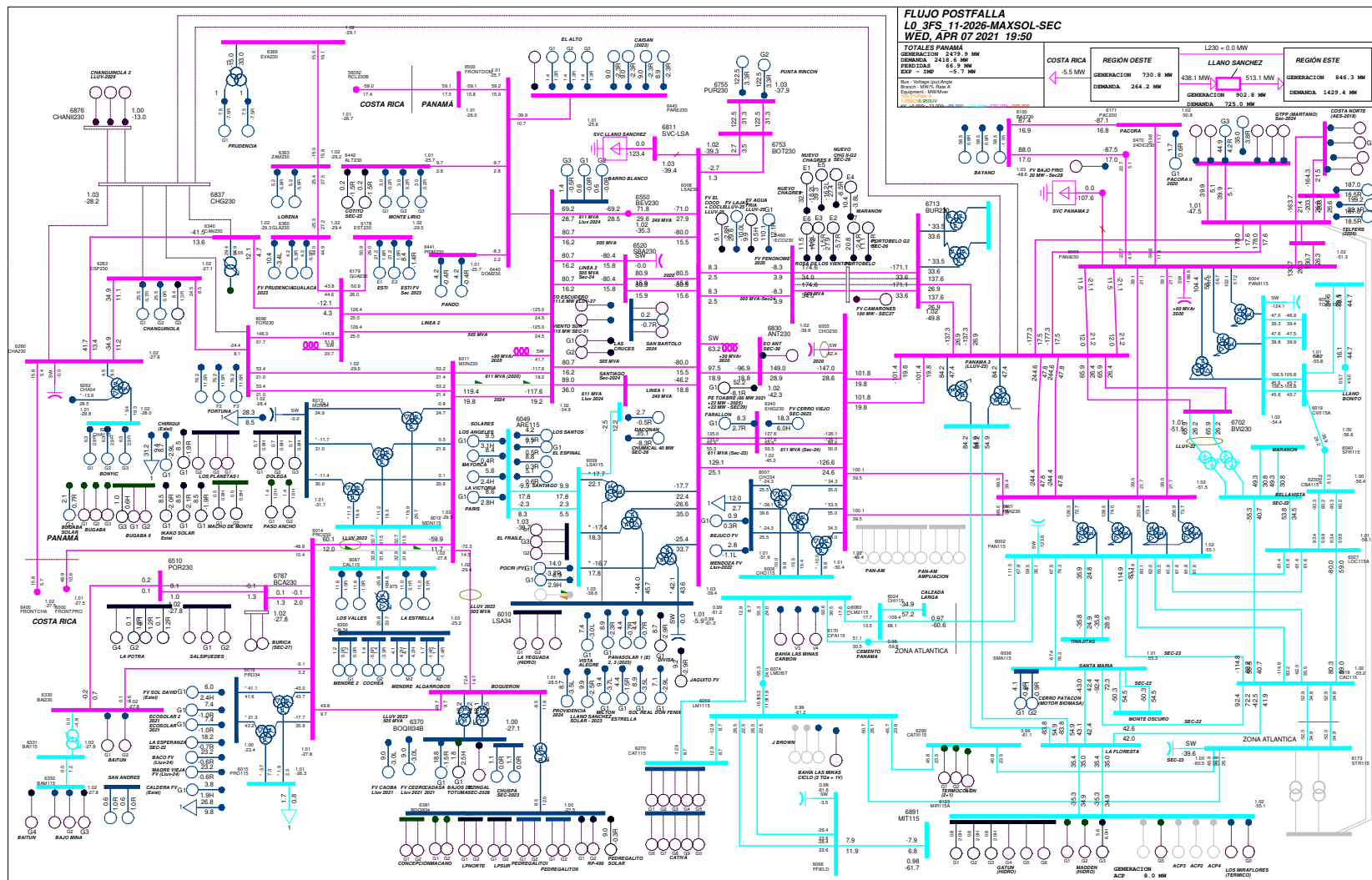


Gráfico 108. Evento L0\_3FS, caso 11-2026-MaxSol-Sec. Flujo postfalla

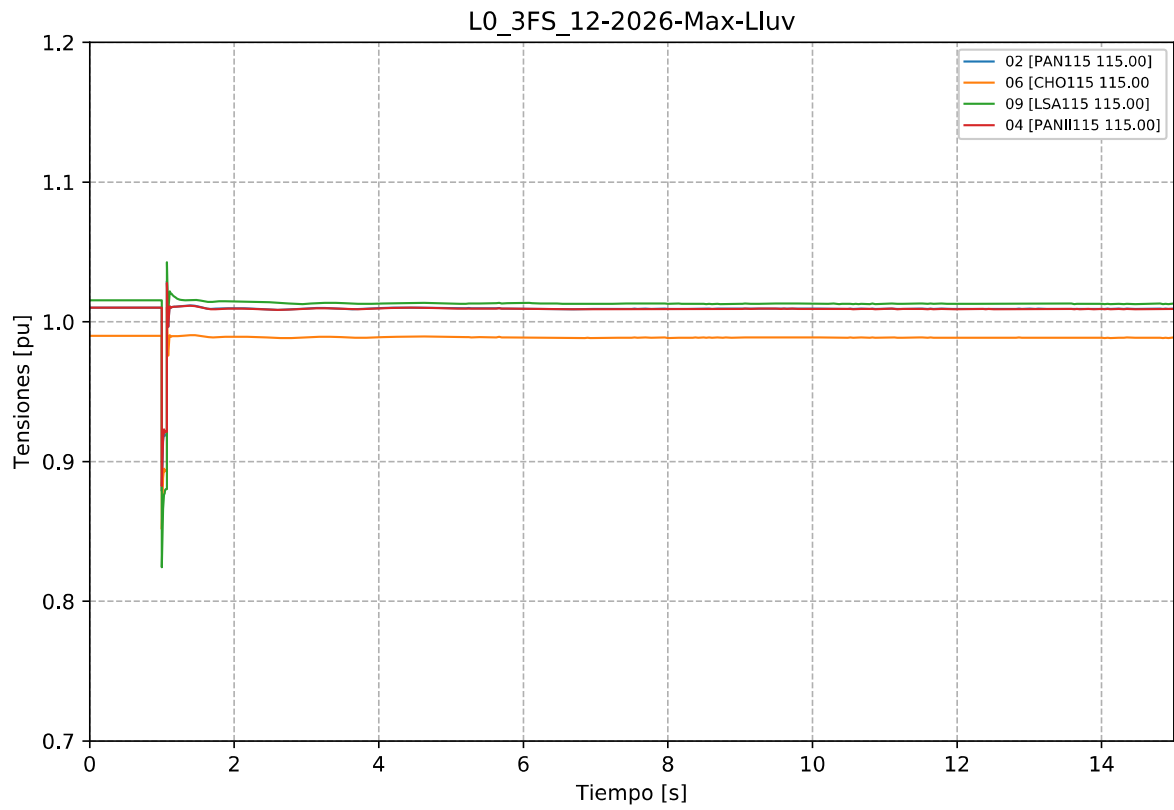


Gráfico 109. Evento L0\_3FS, caso 12-2026-Max-Lluv. Tensiones en la zona de influencia 115 kV.

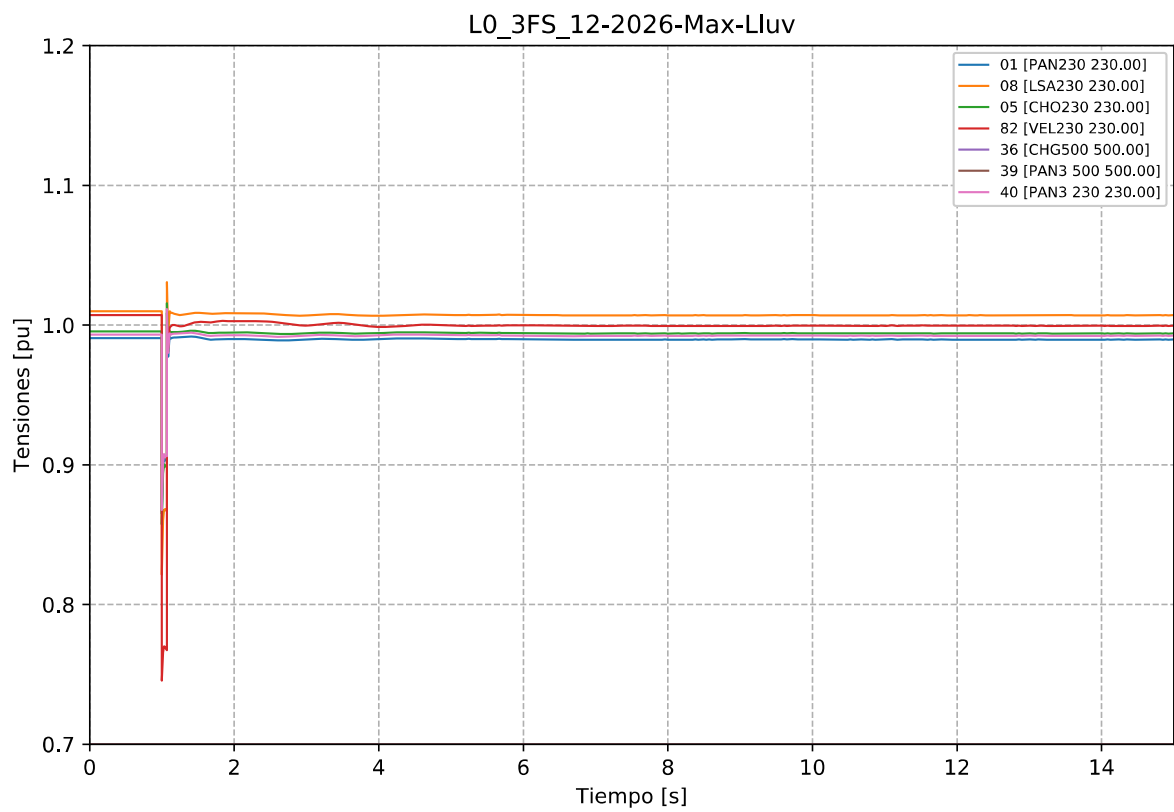


Gráfico 110. Evento L0\_3FS, caso 12-2026-Max-Lluv. Tensiones en la zona de influencia 230 kV.

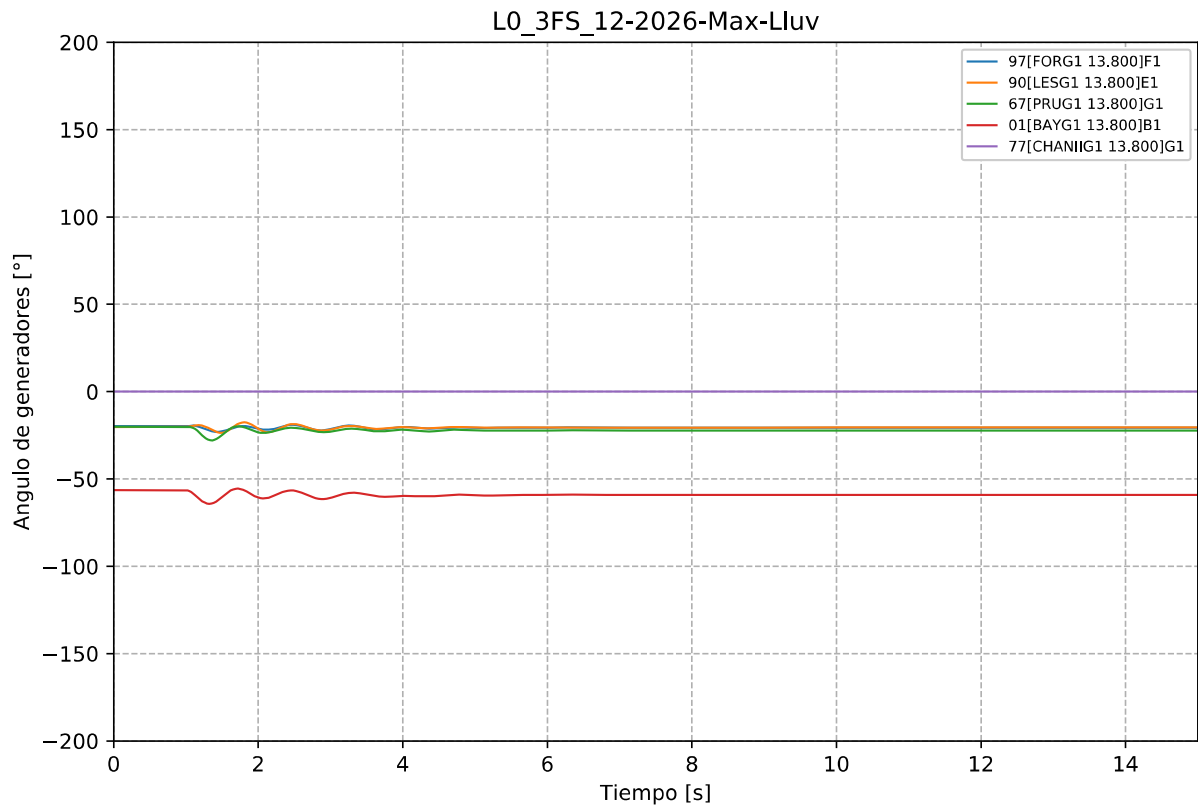


Gráfico 111. Evento L0\_3FS, caso 12-2026-Max-Lluv. Ángulo de Generadores Hidroeléctricos.

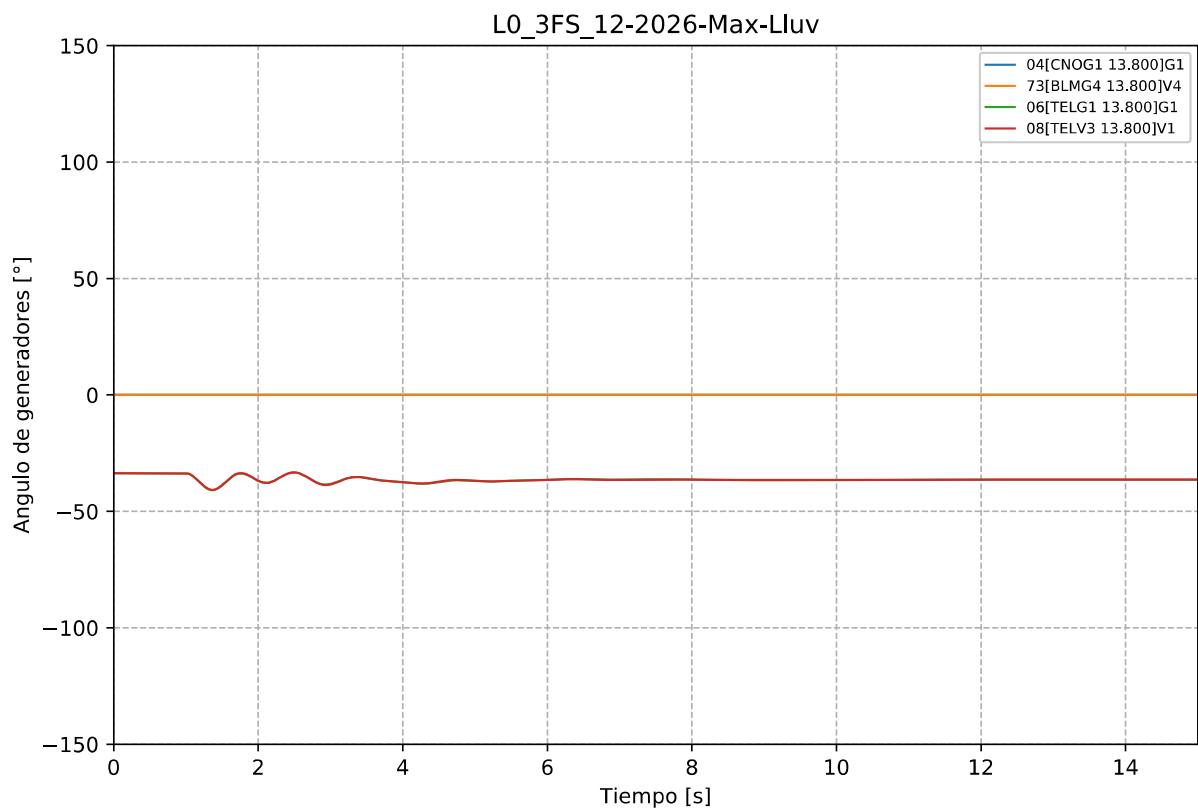


Gráfico 112. Evento L0\_3FS, caso 12-2026-Max-Lluv. Ángulo de generadores Térmicos.



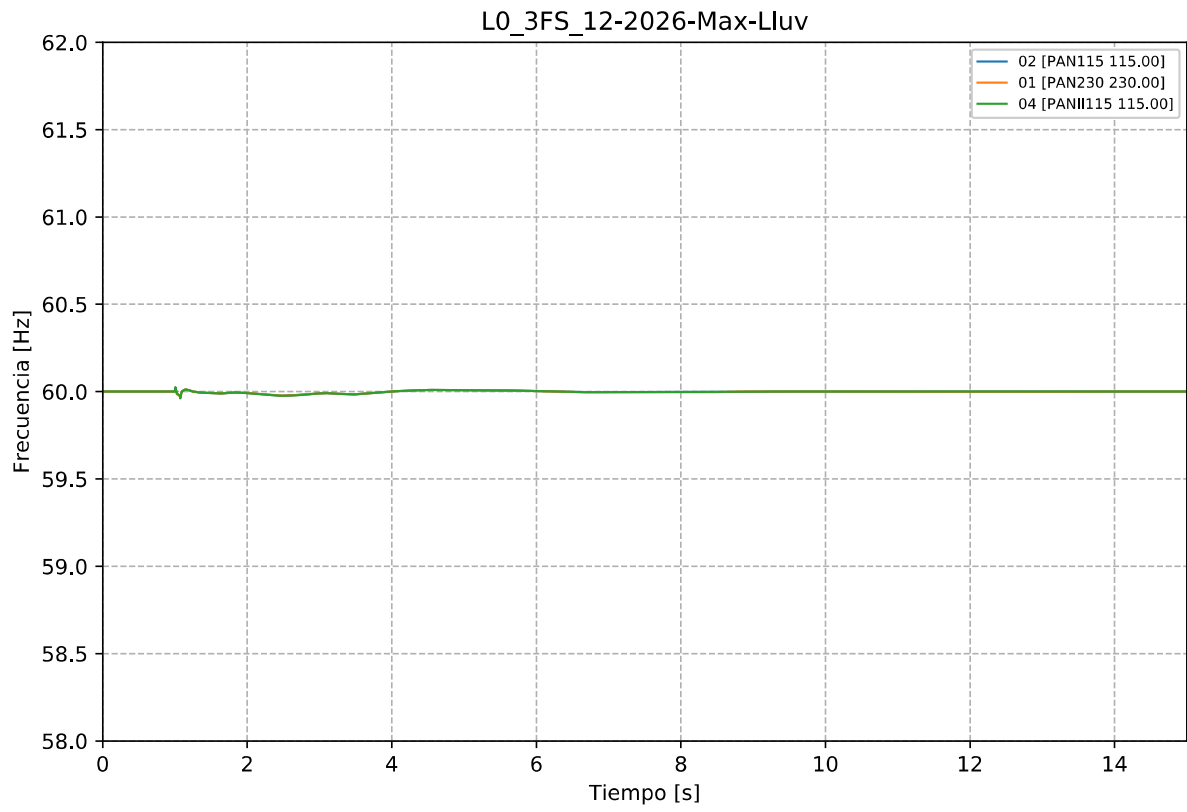


Gráfico 113. Evento L0\_3FS, caso 12-2026-Max-Lluv. Frecuencia.

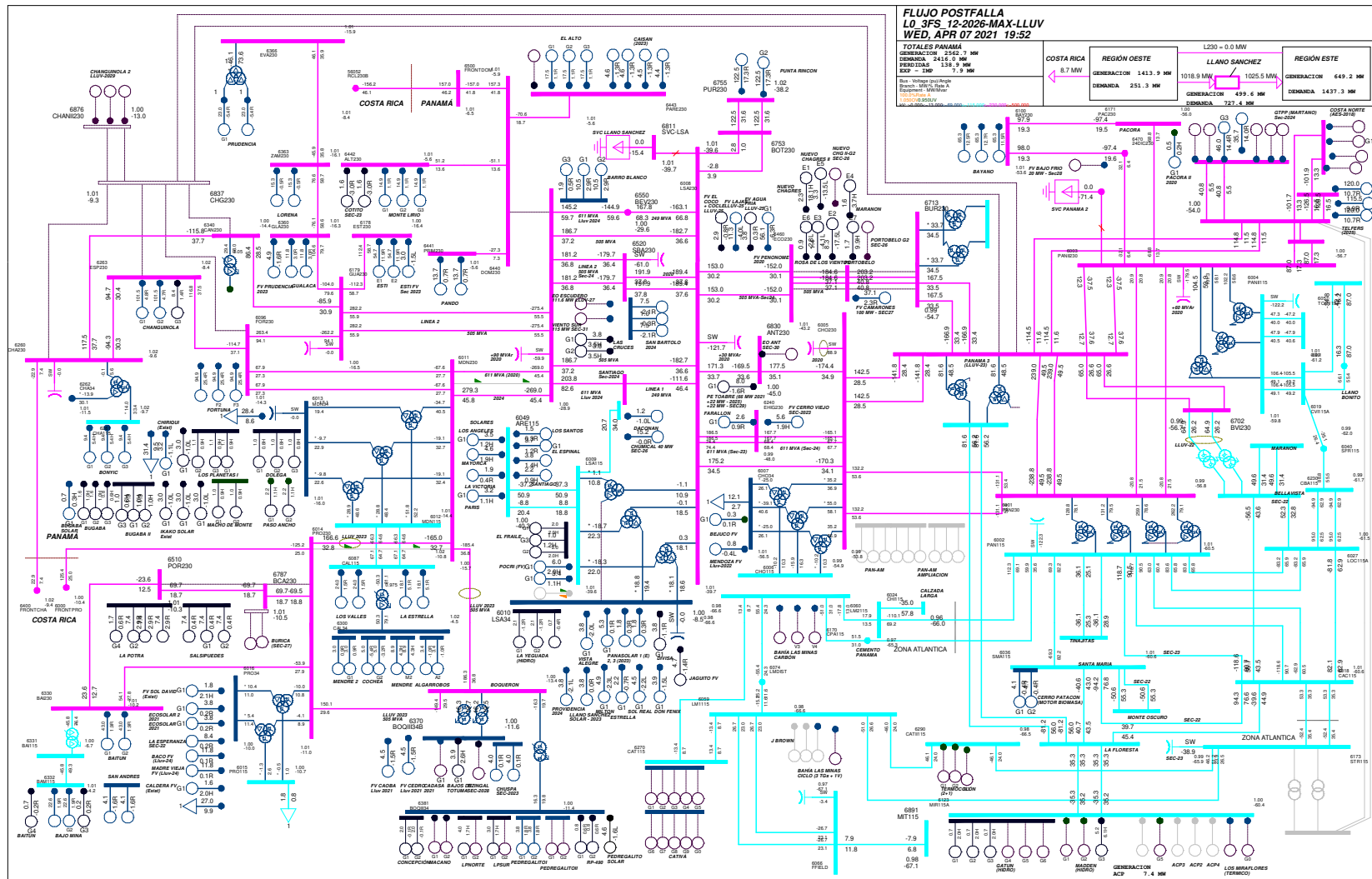


Gráfico 114. Evento L0\_3FS, caso 12-2026-Max-Lluv. Flujo postfalla

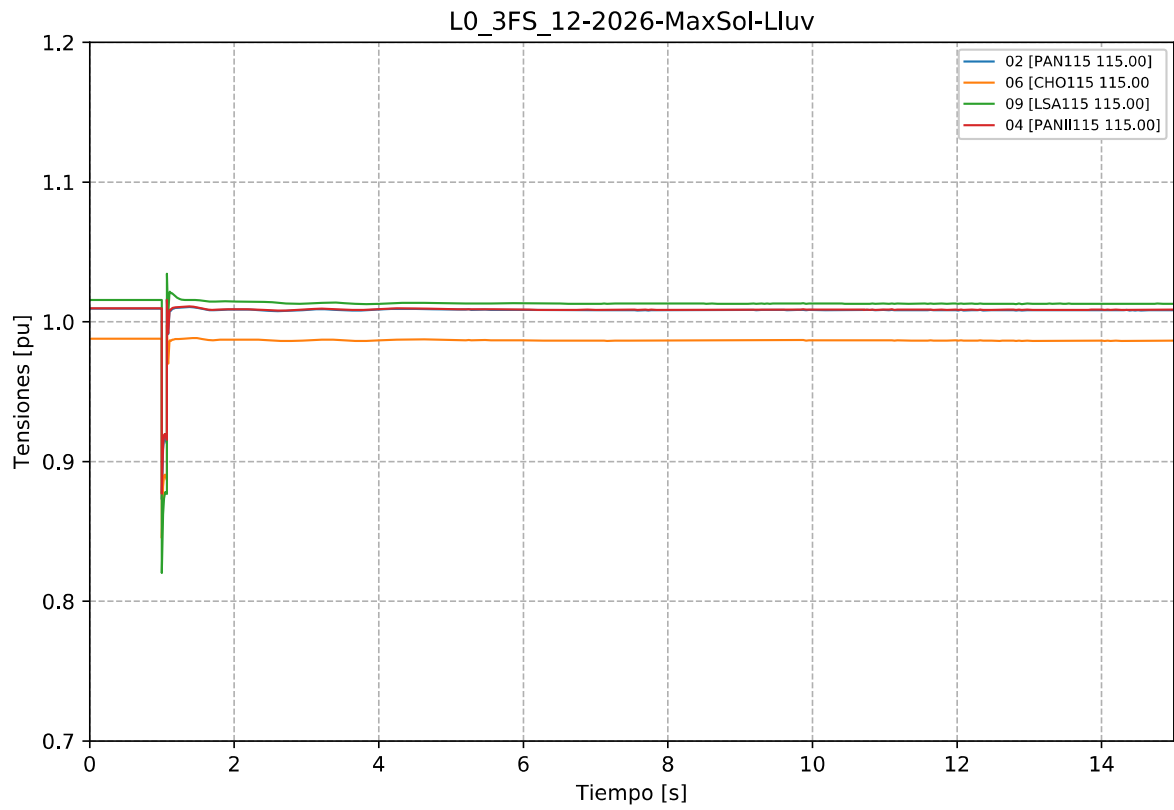


Gráfico 115. Evento L0\_3FS, caso 12-2026-MaxSol-Lluv. Tensiones en la zona de influencia 115 kV.

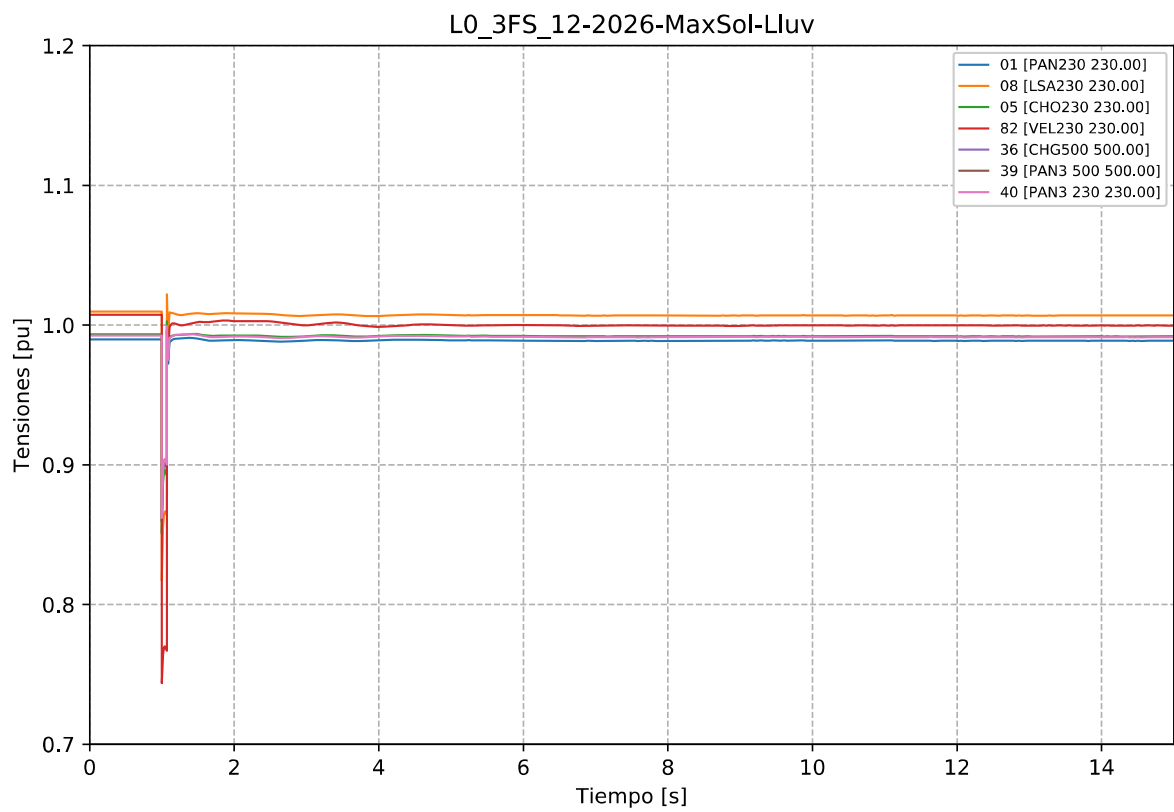


Gráfico 116. Evento L0\_3FS, caso 12-2026-MaxSol-Lluv. Tensiones en la zona de influencia 230 kV.

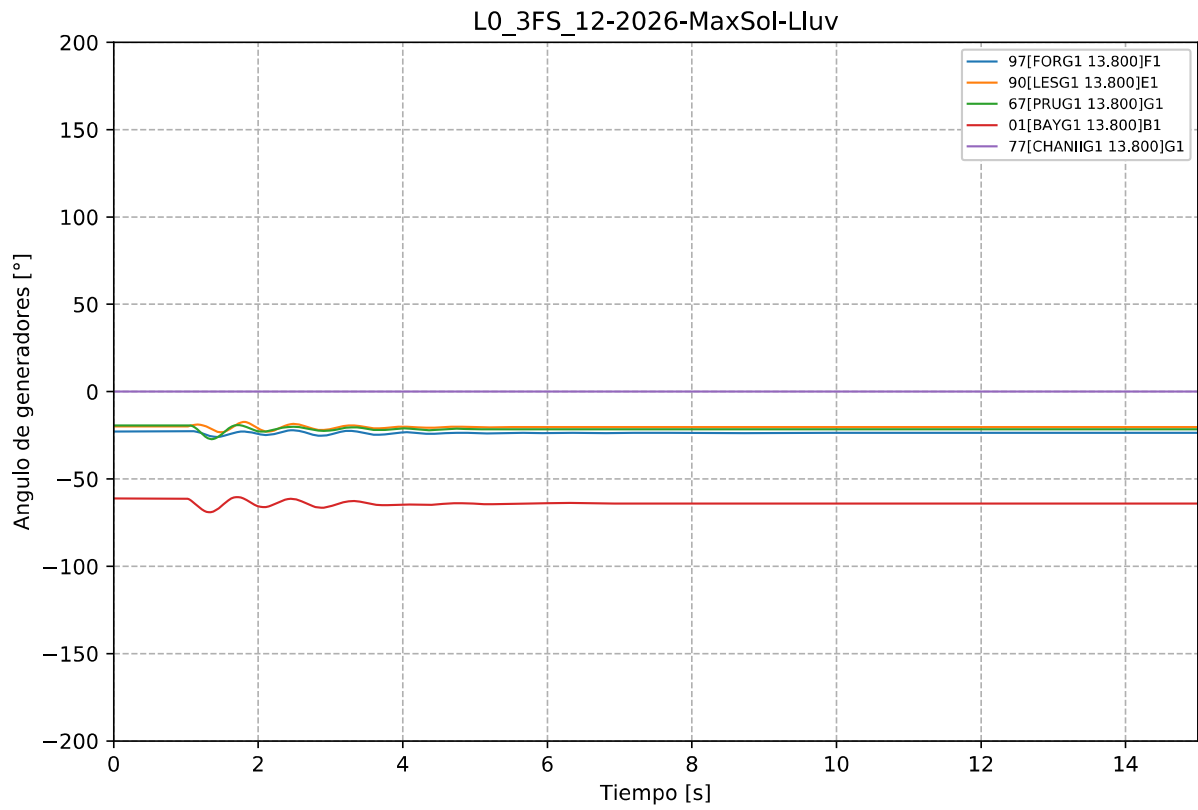


Gráfico 117. Evento L0\_3FS, caso 12-2026-MaxSol-Lluv. Ángulo de Generadores Hidroeléctricos.

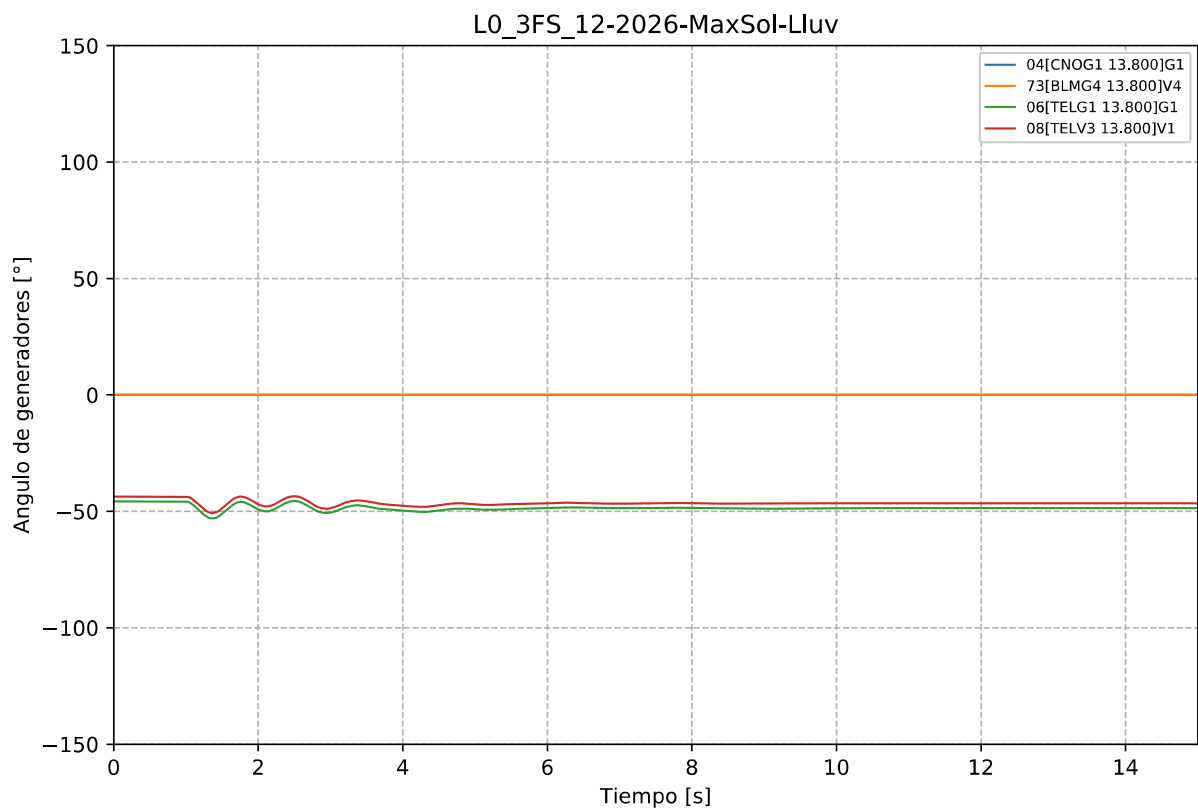


Gráfico 118. Evento L0\_3FS, caso 12-2026-MaxSol-Lluv. Ángulo de generadores Térmicos.

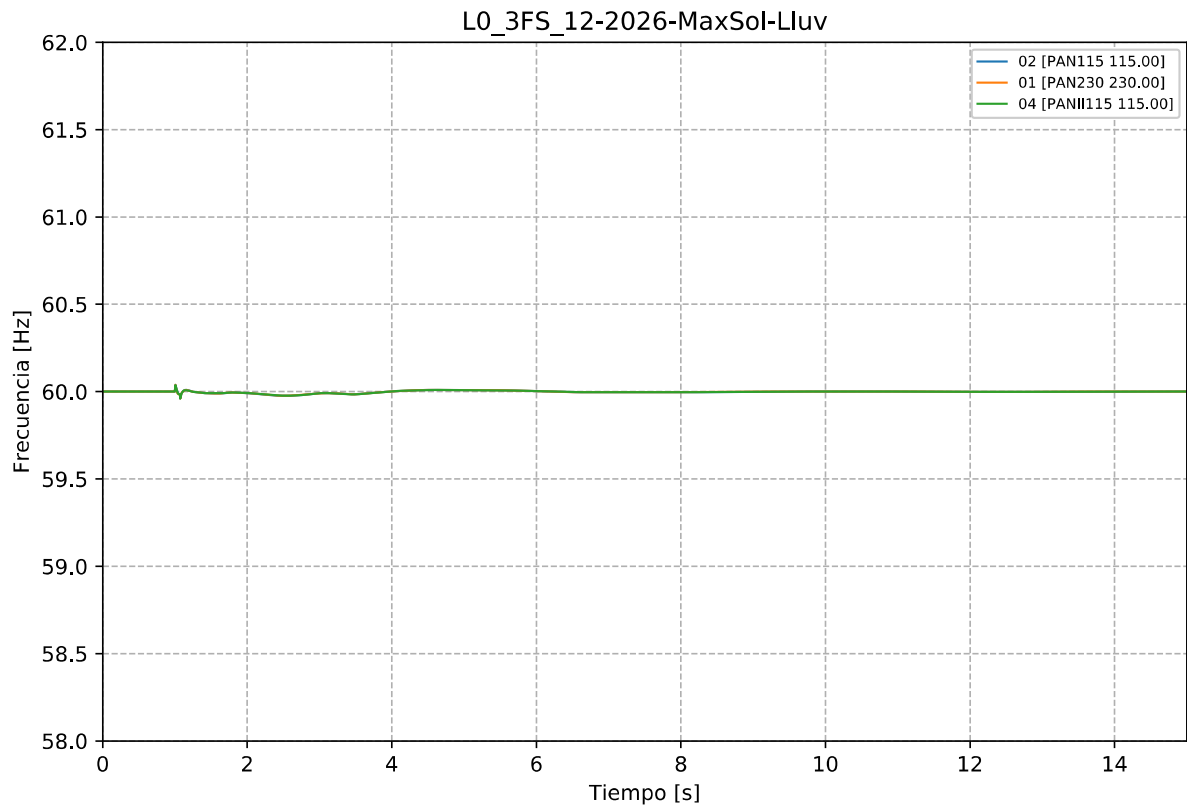


Gráfico 119. Evento L0\_3FS, caso 12-2026-MaxSol-Lluv. Frecuencia.



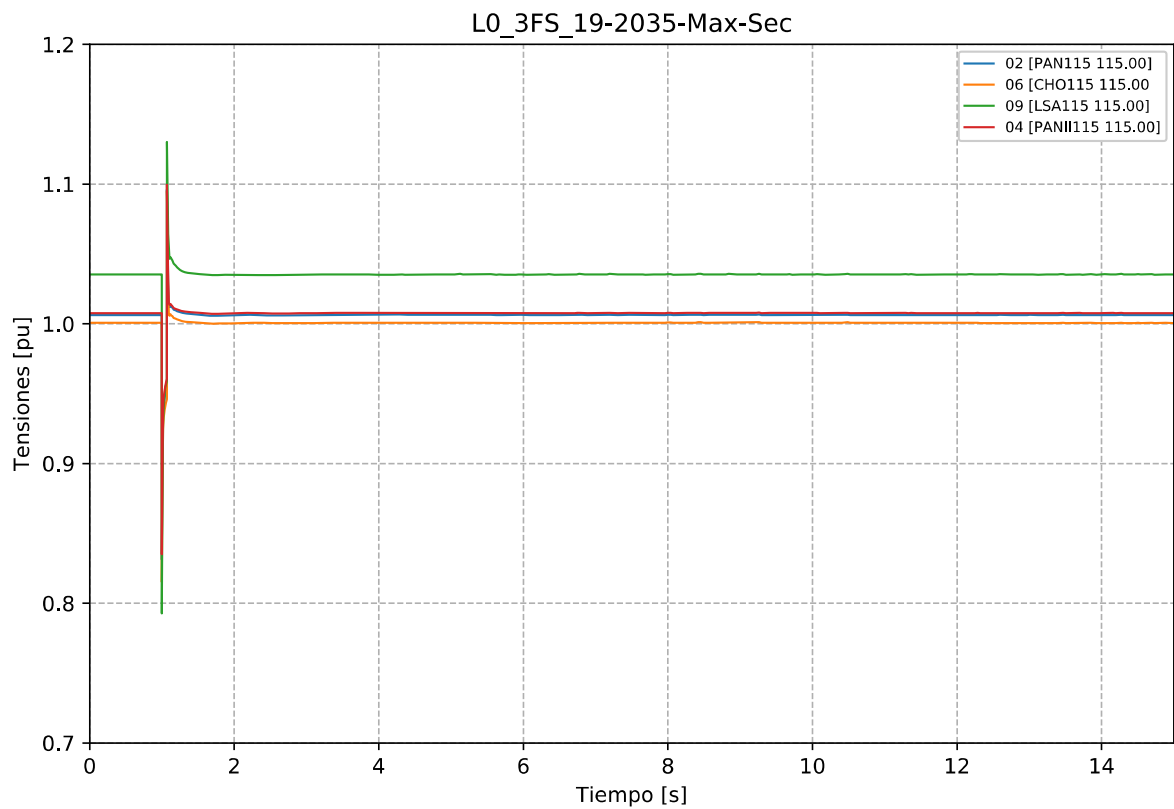


Gráfico 121. Evento L0\_3FS, caso 19-2035-Max-Sec. Tensiones en la zona de influencia 115 kV.

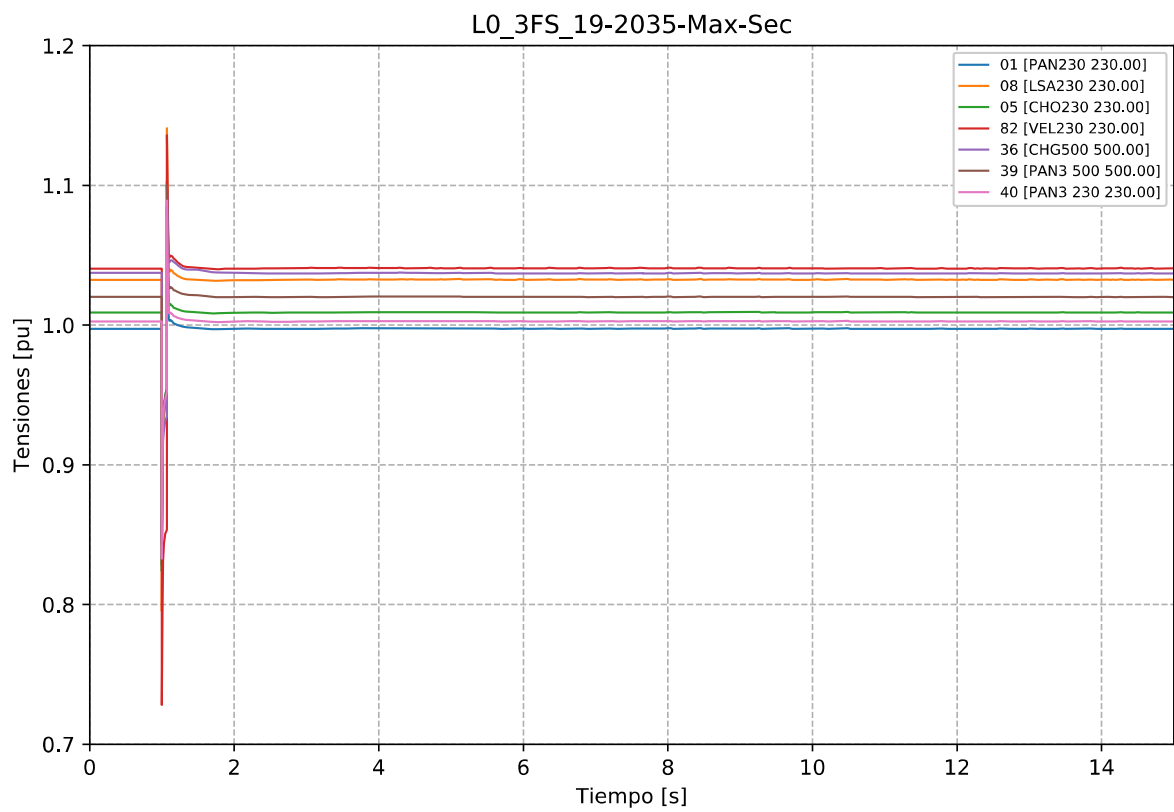


Gráfico 122. Evento L0\_3FS, caso 19-2035-Max-Sec. Tensiones en la zona de influencia 230 kV.

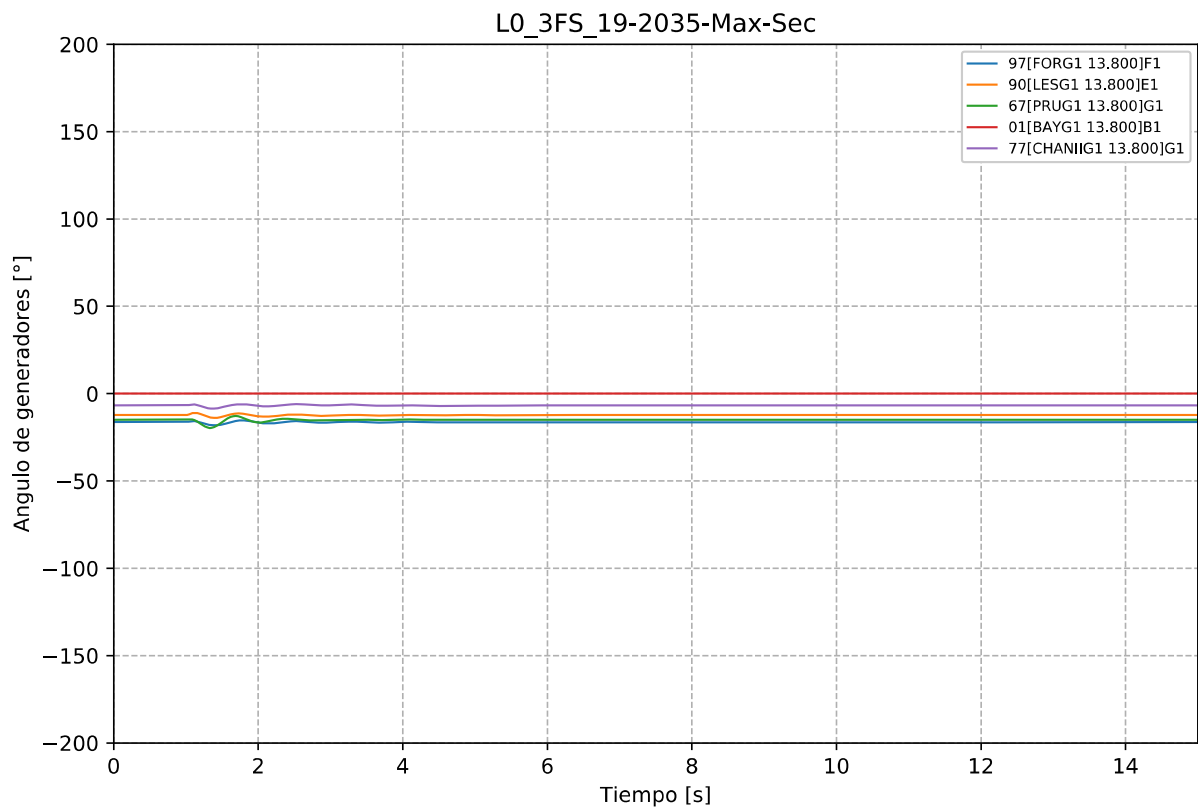


Gráfico 123. Evento LO\_3FS, caso 19-2035-Max-Sec. Ángulo de Generadores Hidroeléctricos.

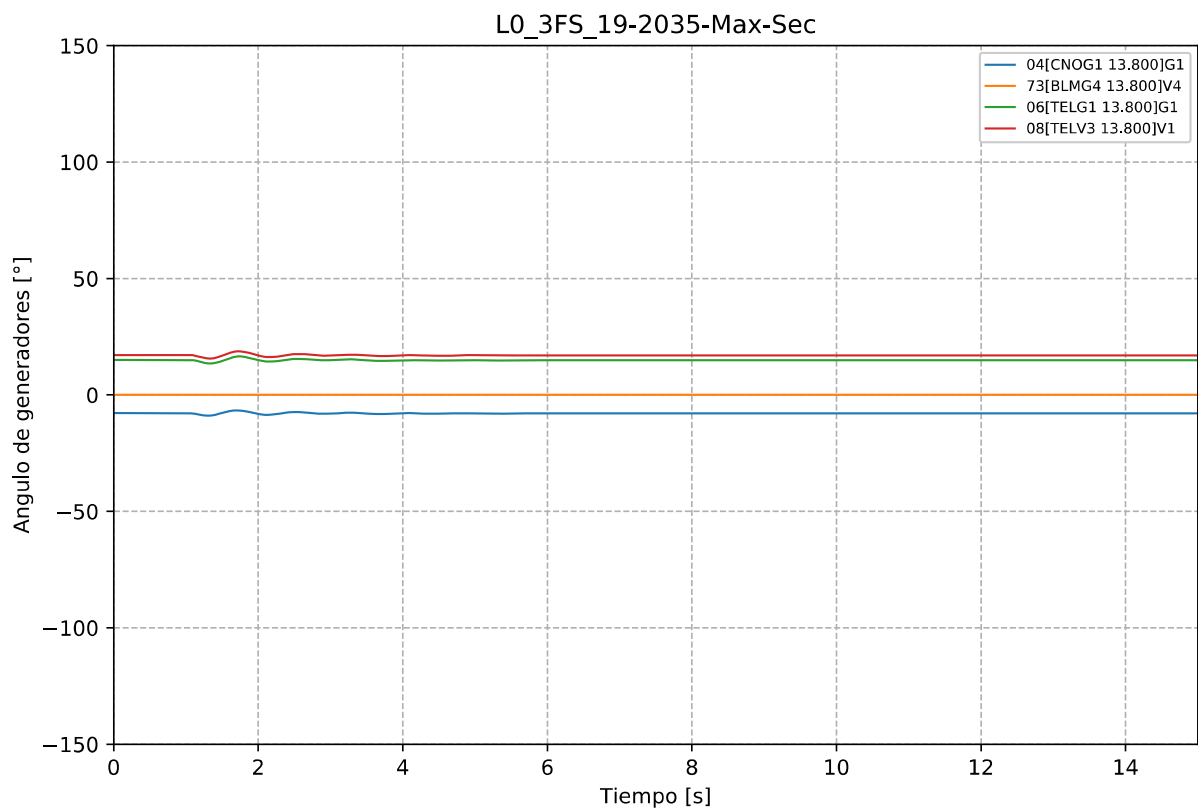


Gráfico 124. Evento LO\_3FS, caso 19-2035-Max-Sec. Ángulo de generadores Térmicos.



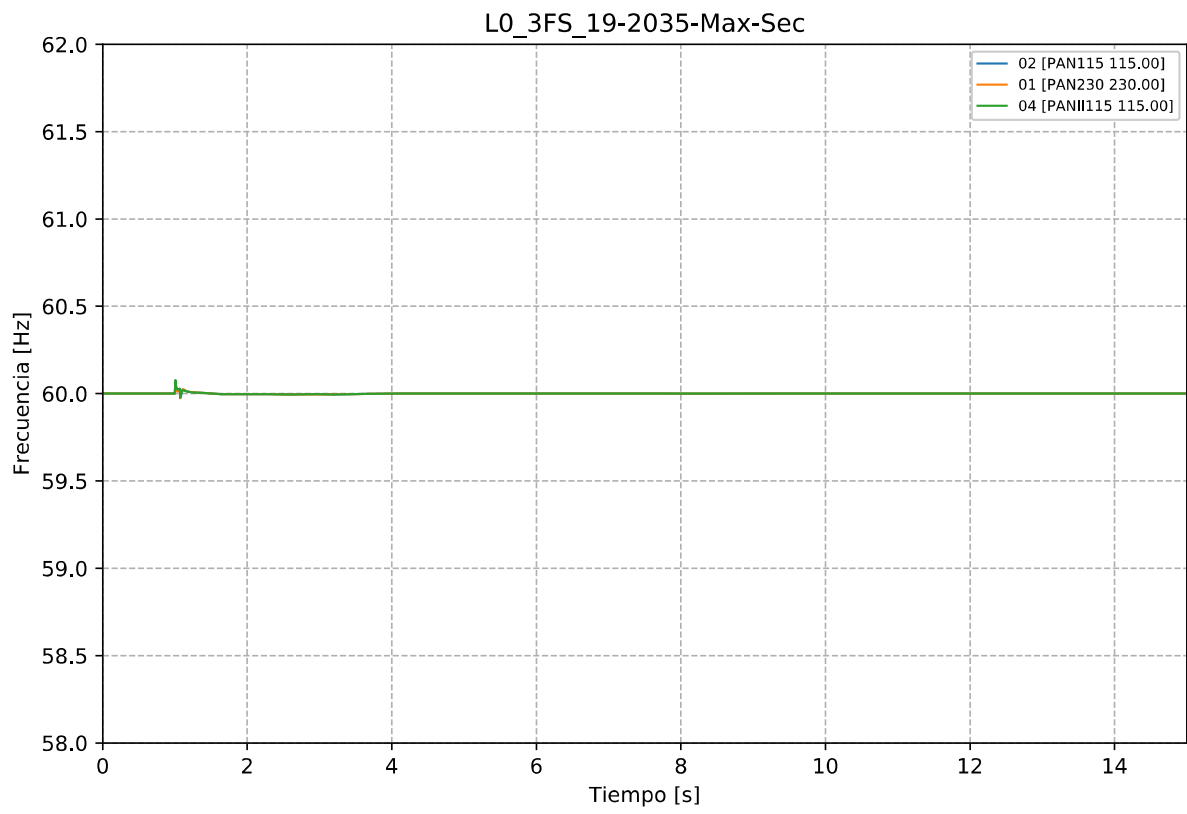


Gráfico 125. Evento L0\_3FS, caso 19-2035-Max-Sec. Frecuencia.

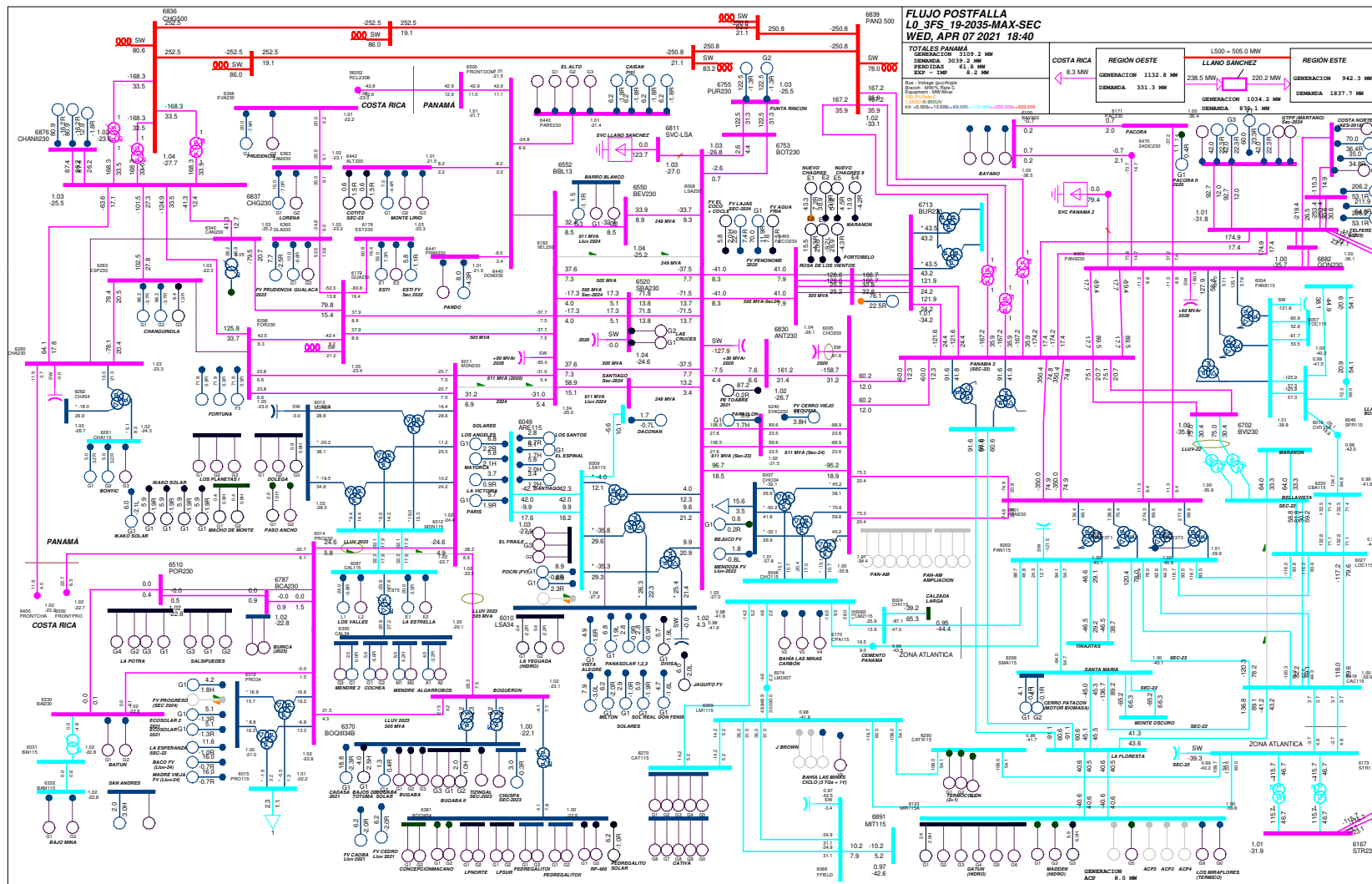


Gráfico 126. Evento L0\_3FS, caso 19-2035-Max-Sec. Flujo postfalla

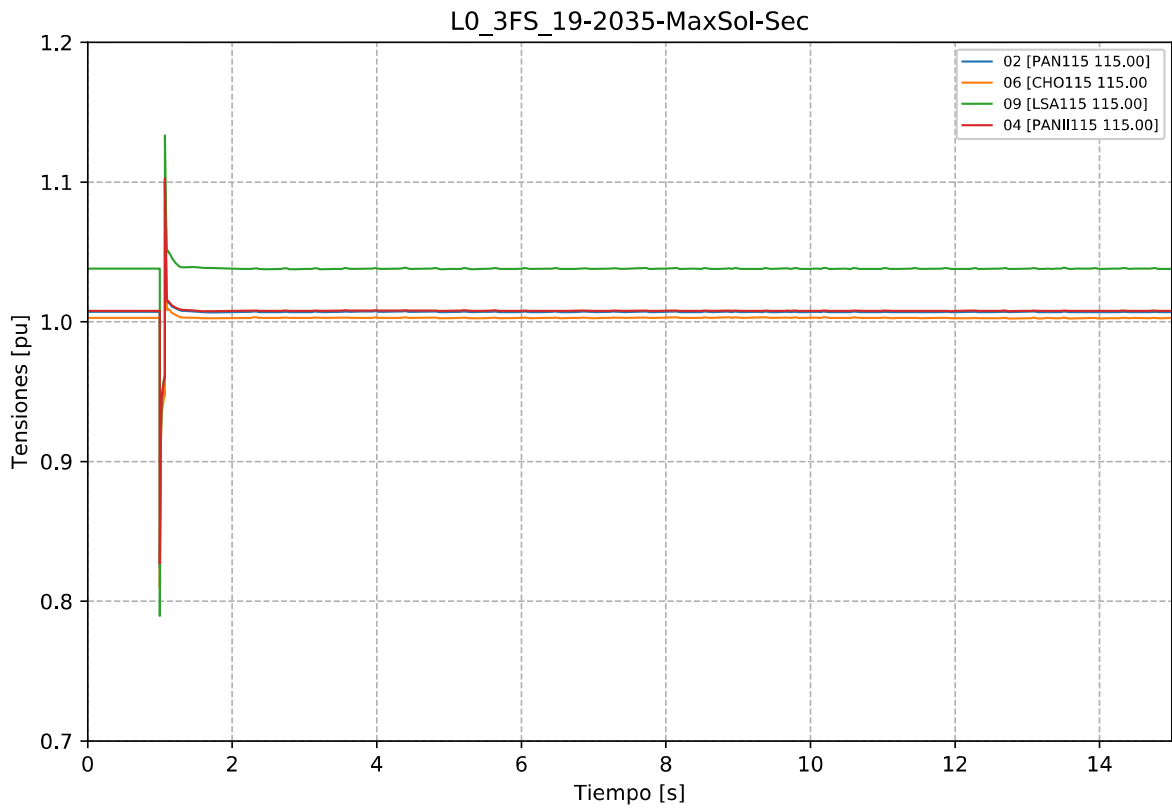


Gráfico 127. Evento L0\_3FS, caso 19-2035-MaxSol-Sec. Tensiones en la zona de influencia 115 kV.

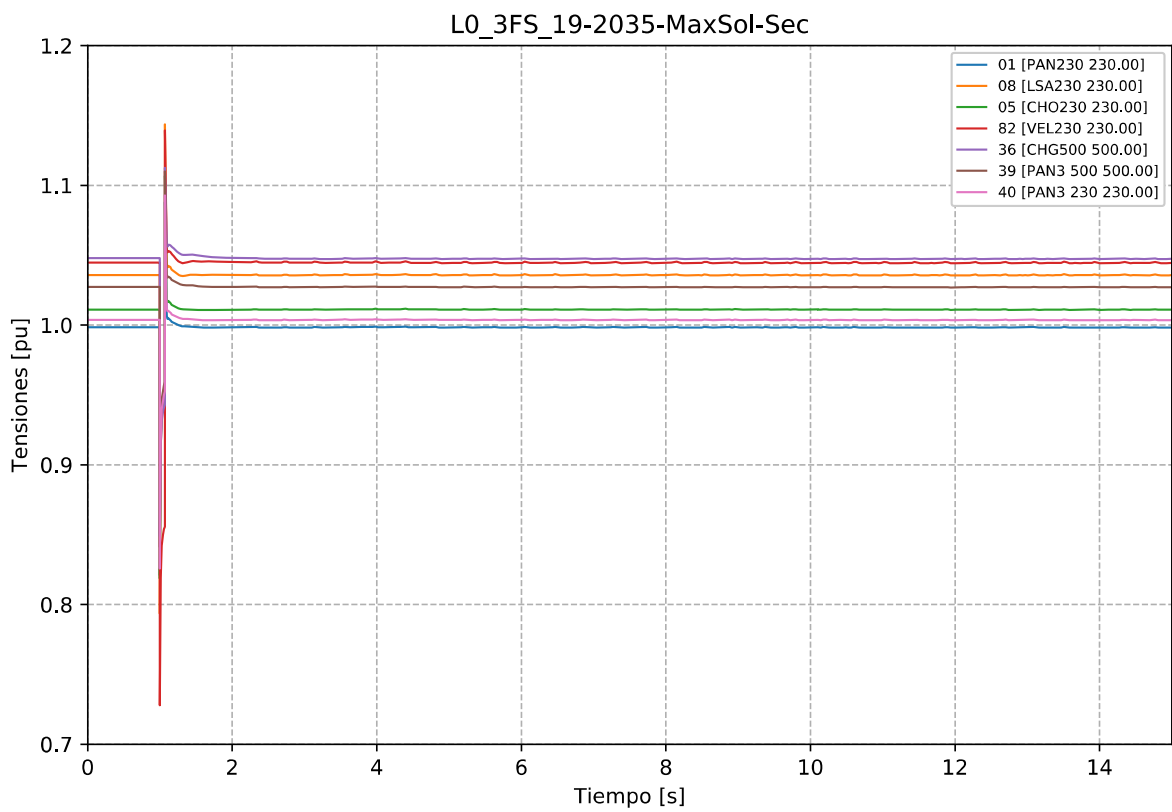


Gráfico 128. Evento L0\_3FS, caso 19-2035-MaxSol-Sec. Tensiones en la zona de influencia 230 kV.

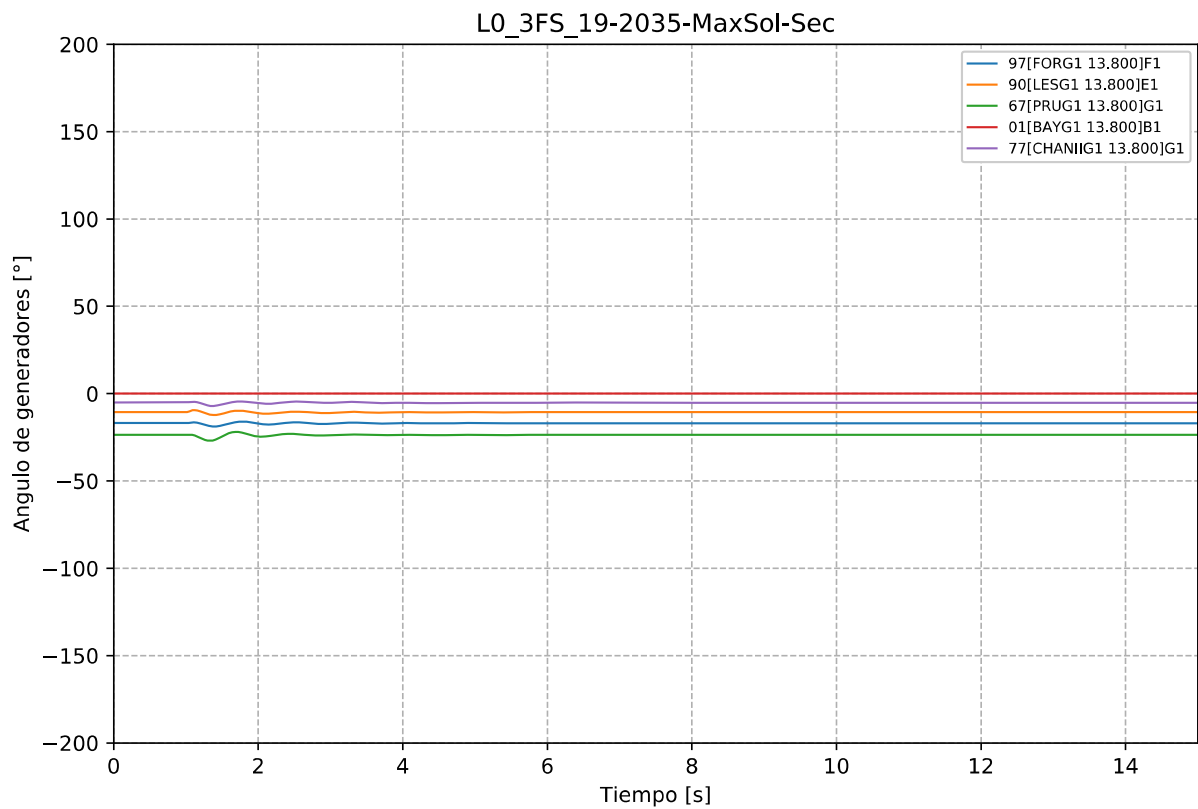


Gráfico 129. Evento L0\_3FS, caso 19-2035-MaxSol-Sec. Ángulo de Generadores Hidroeléctricos.

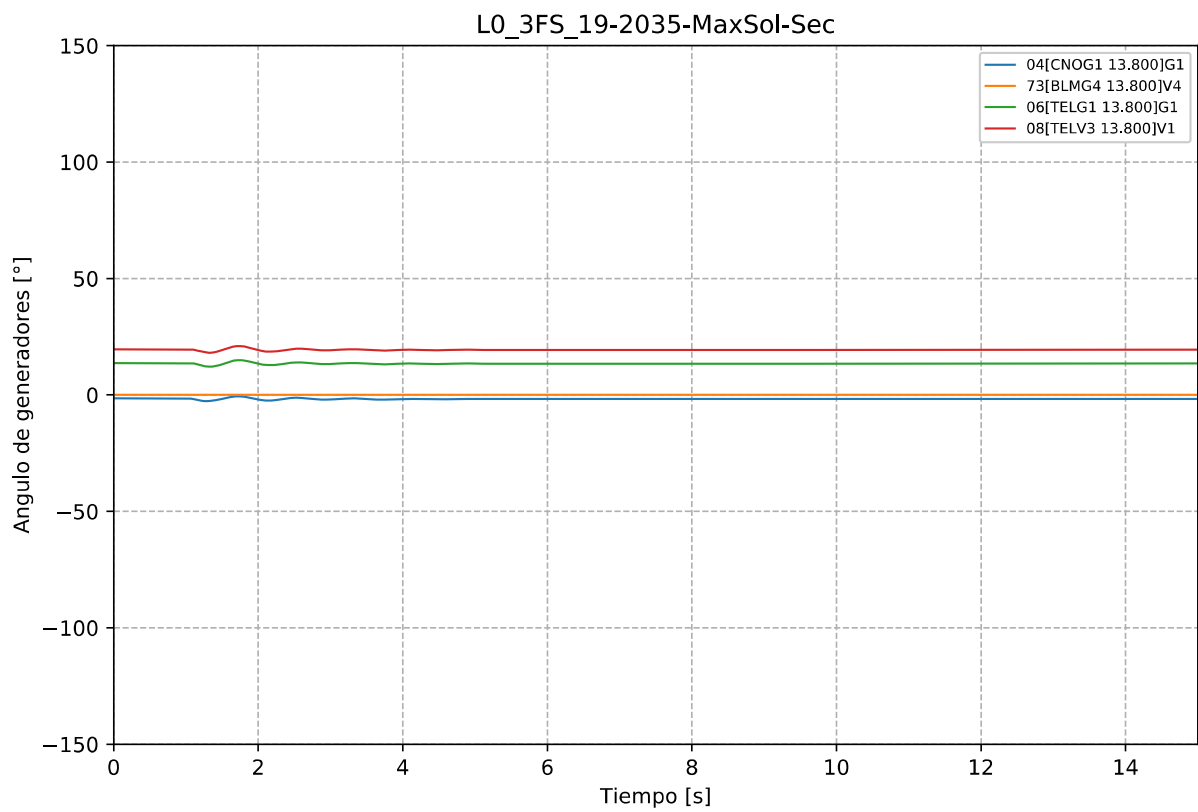


Gráfico 130. Evento L0\_3FS, caso 19-2035-MaxSol-Sec. Ángulo de generadores Térmicos.

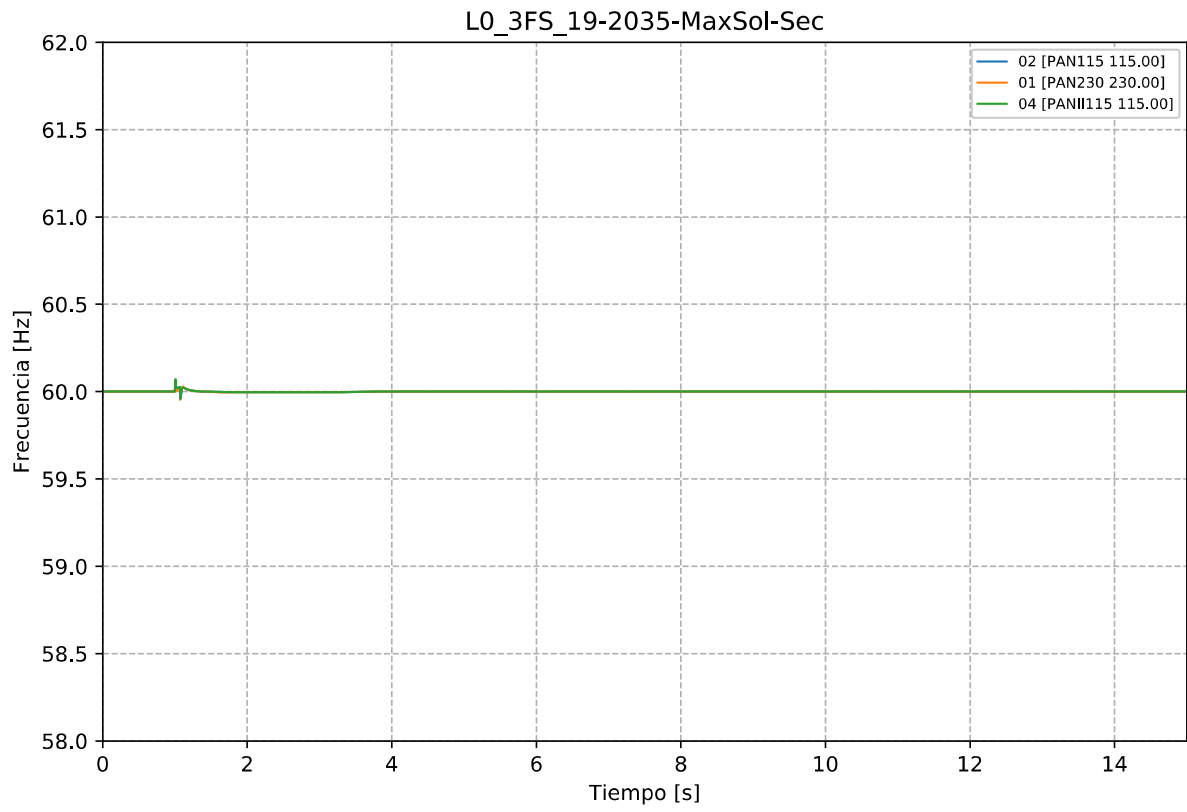


Gráfico 131. Evento L0\_3FS, caso 19-2035-MaxSol-Sec. Frecuencia.

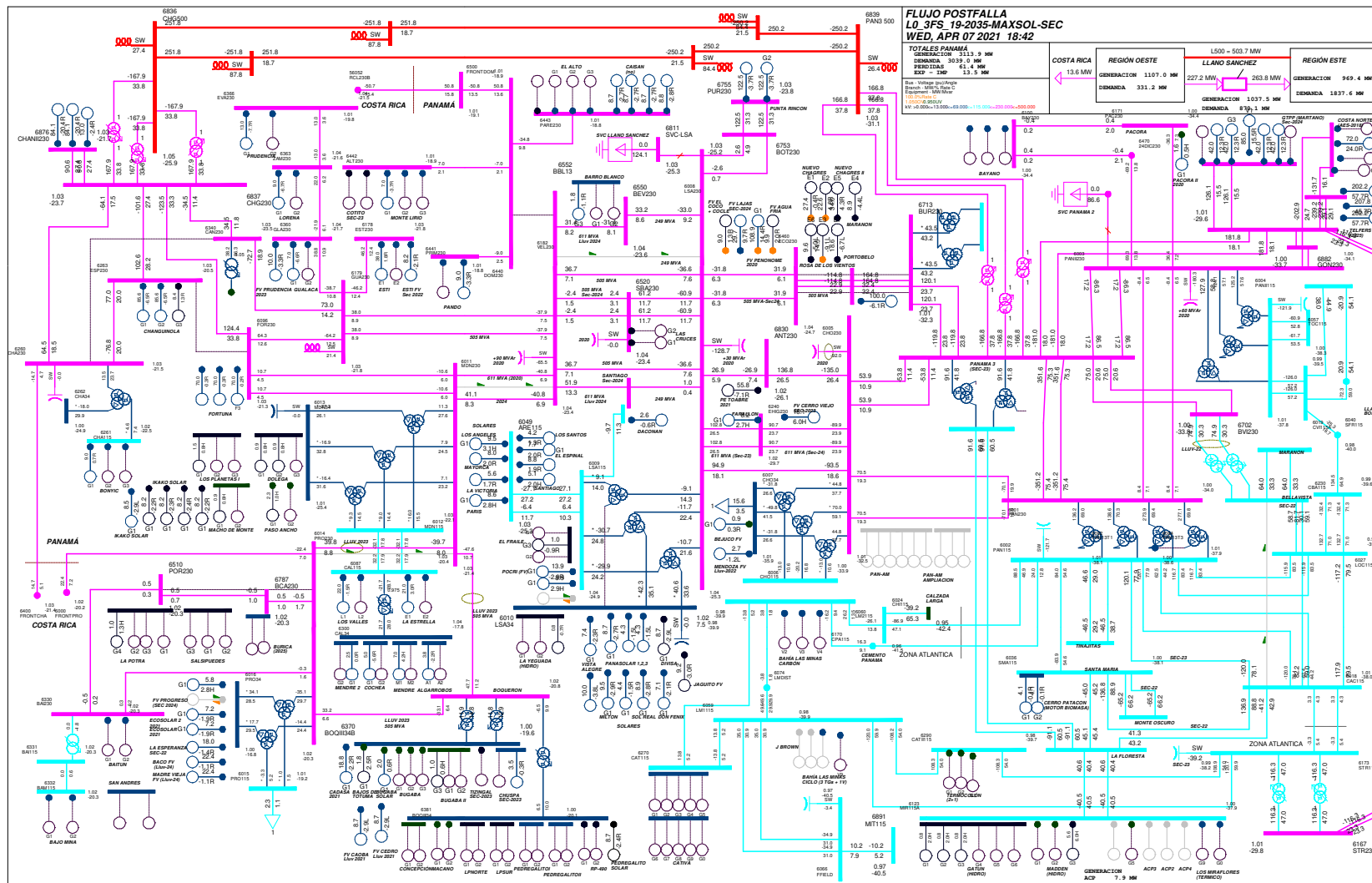


Gráfico 132. Evento L0\_3FS, caso 19-2035-MaxSol-Sec. Flujo postfalla

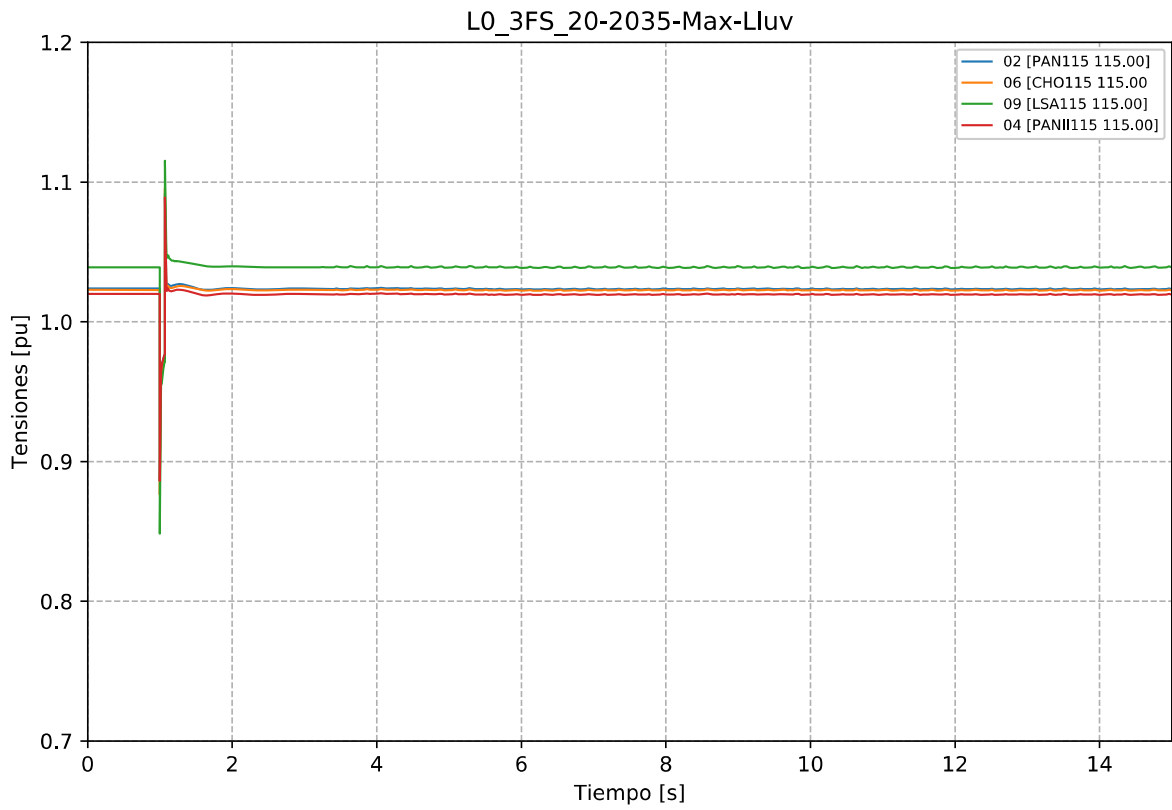


Gráfico 133. Evento L0\_3FS, caso 20-2035-Max-Lluv. Tensiones en la zona de influencia 115 kV.

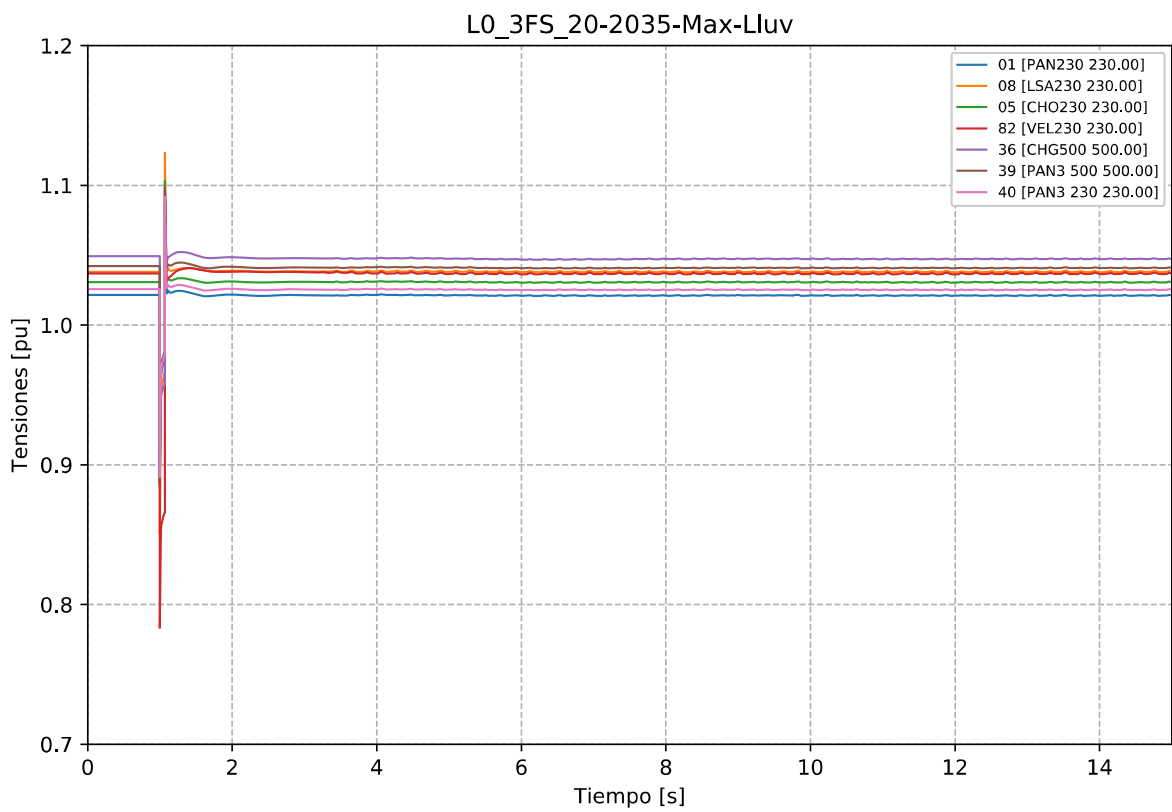


Gráfico 134. Evento L0\_3FS, caso 20-2035-Max-Lluv. Tensiones en la zona de influencia 230 kV.

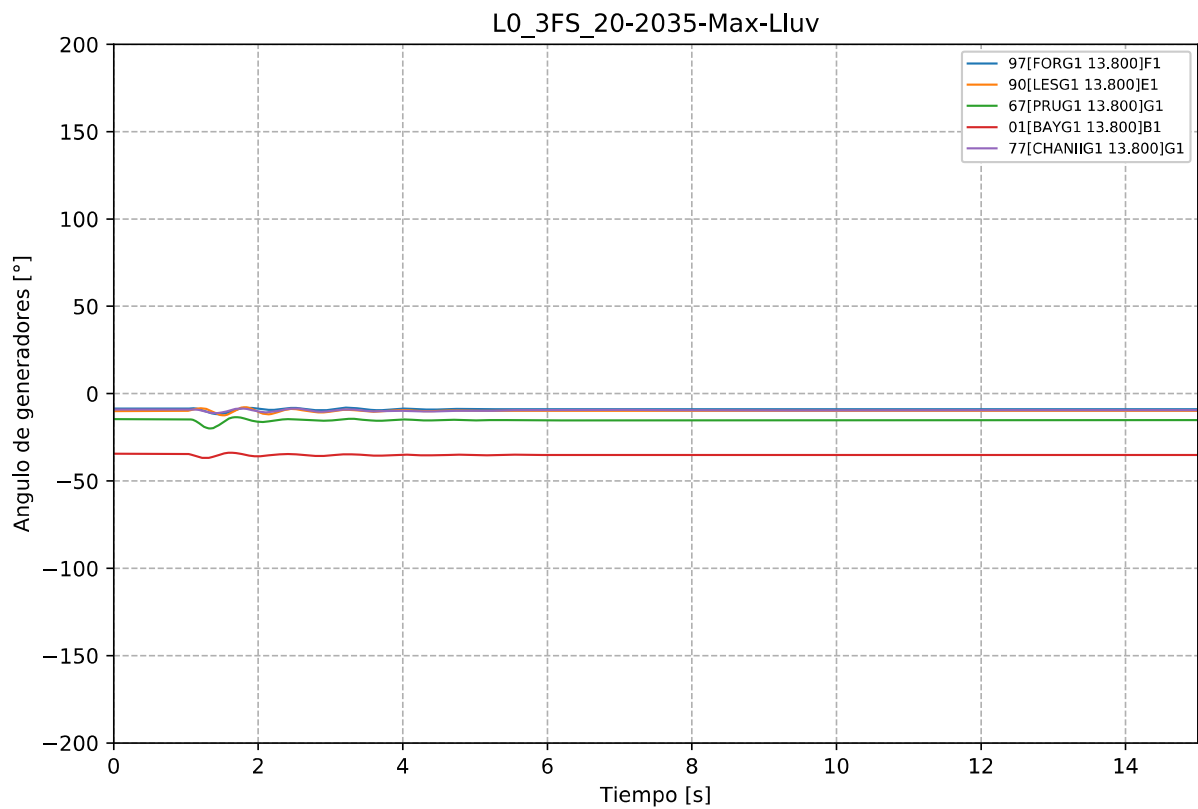


Gráfico 135. Evento L0\_3FS, caso 20-2035-Max-Lluv. Ángulo de Generadores Hidroeléctricos.

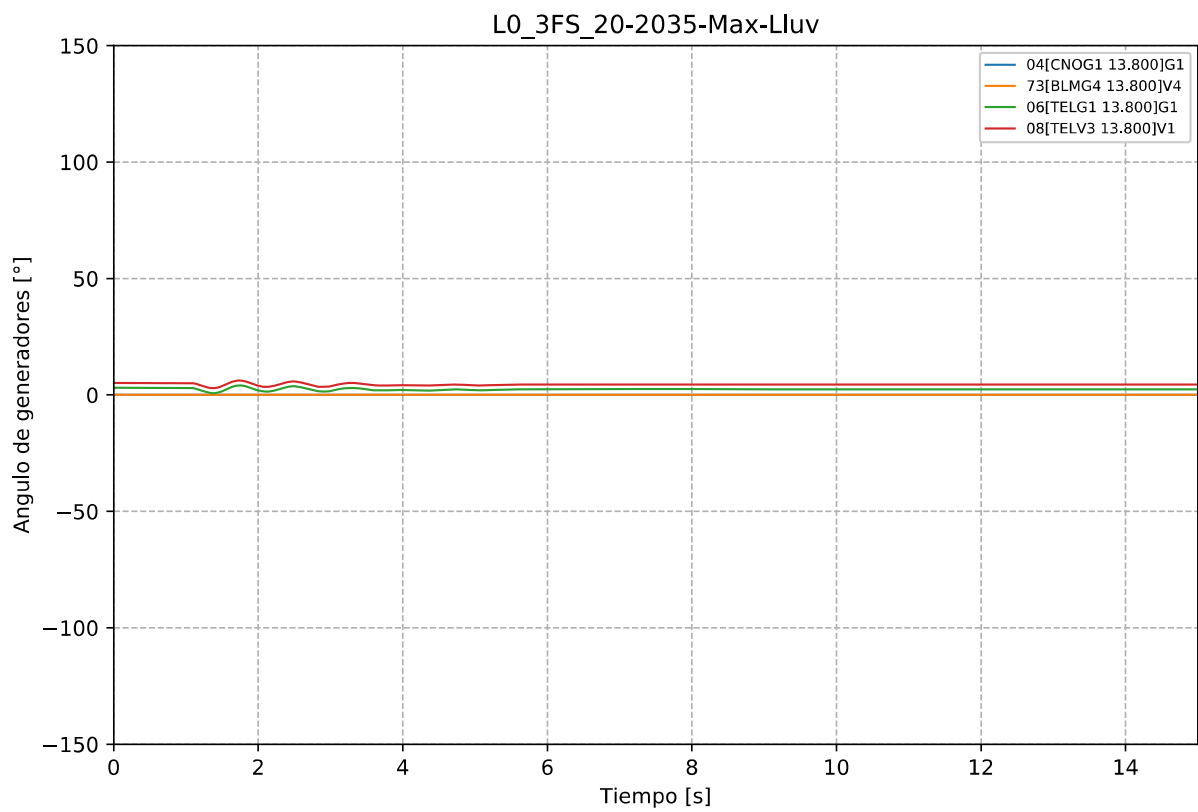


Gráfico 136. Evento L0\_3FS, caso 20-2035-Max-Lluv. Ángulo de generadores Térmicos.



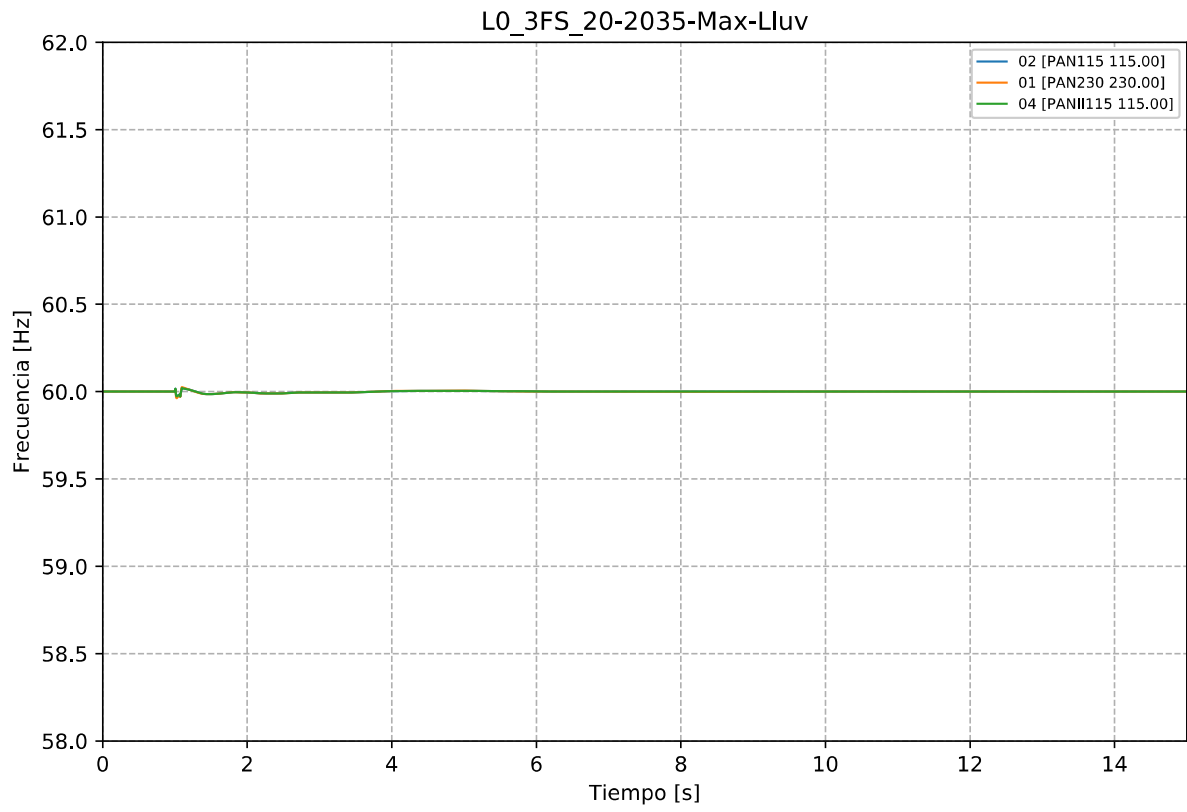


Gráfico 137. Evento L0\_3FS, caso 20-2035-Max-Lluv. Frecuencia.

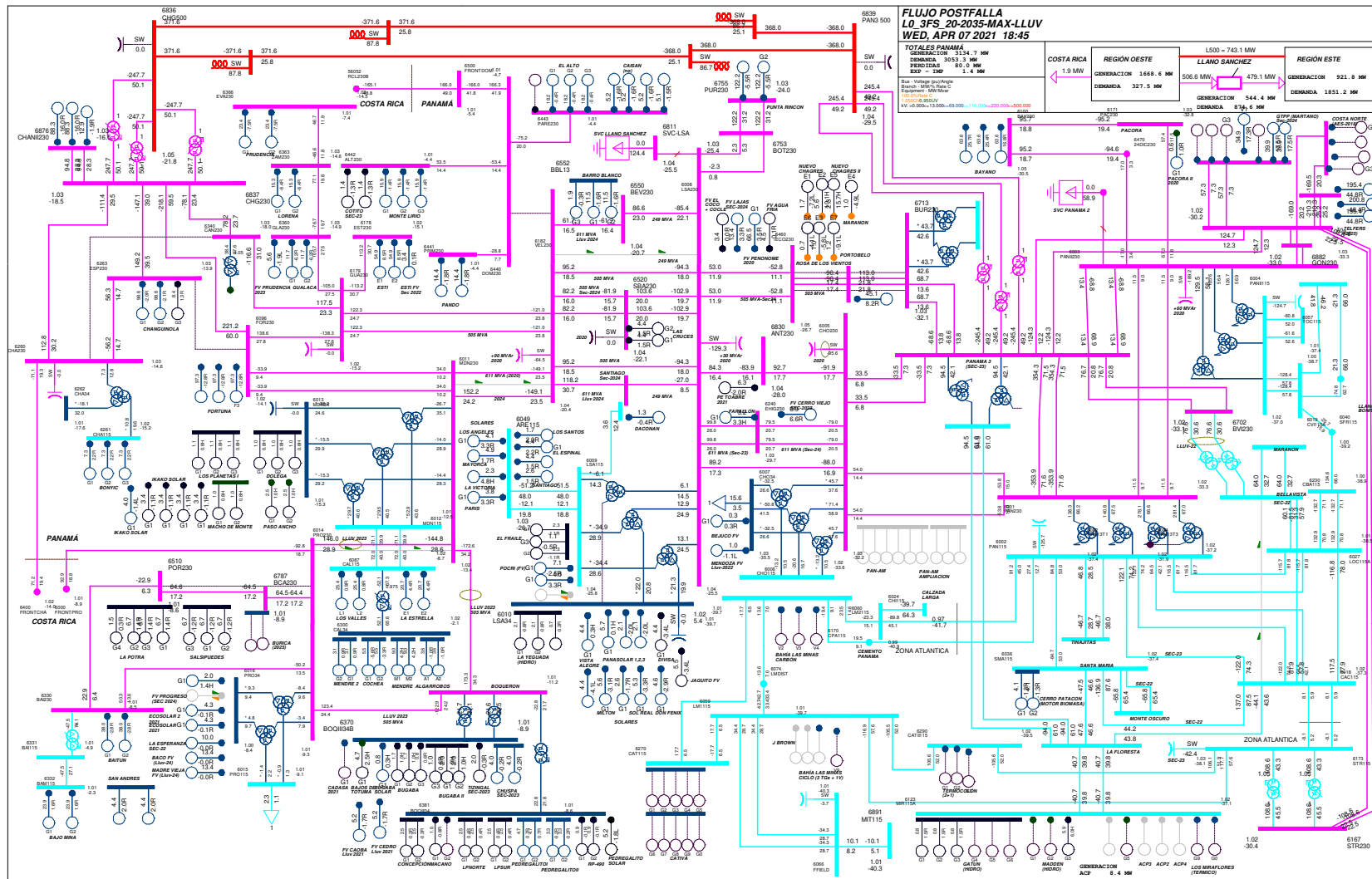


Gráfico 138. Evento L0\_3FS, caso 20-2035-Max-Lluv. Flujo postfalla

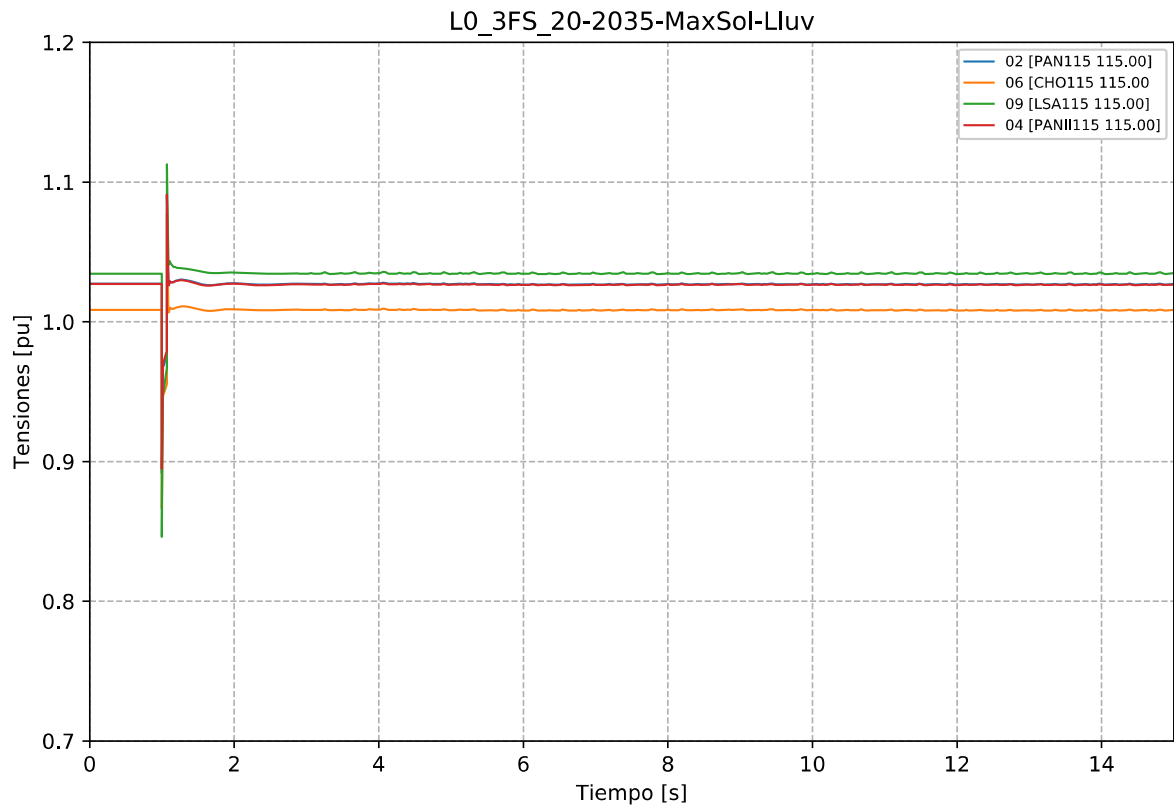


Gráfico 139. Evento L0\_3FS, caso 20-2035-MaxSol-Lluv. Tensiones en la zona de influencia 115 kV.

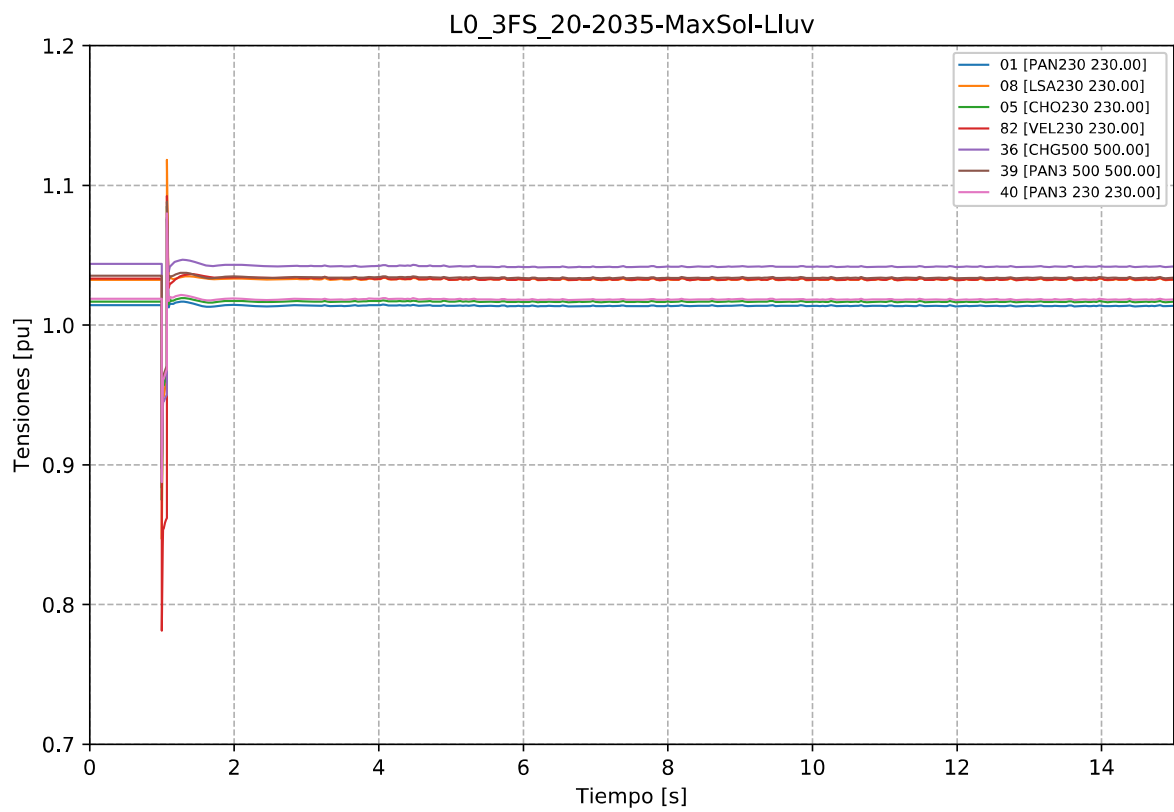


Gráfico 140. Evento L0\_3FS, caso 20-2035-MaxSol-Lluv. Tensiones en la zona de influencia 230 kV.

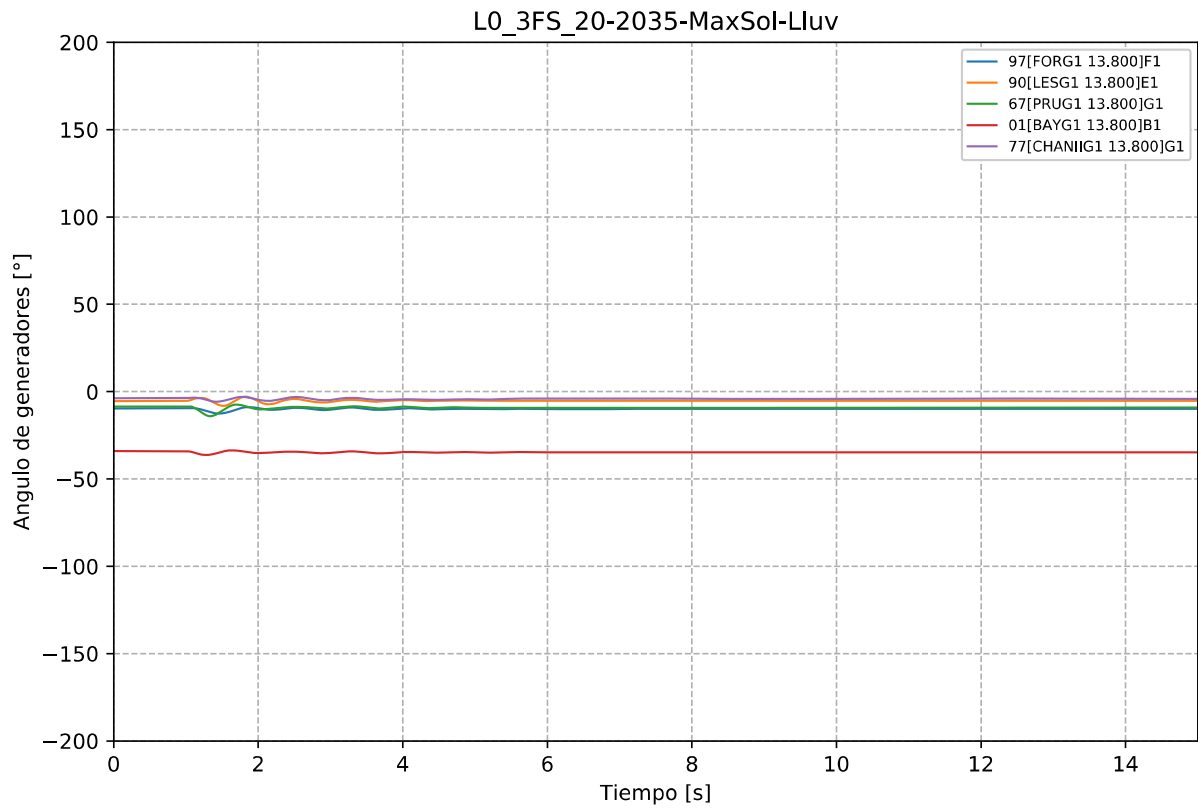


Gráfico 141. Evento L0\_3FS, caso 20-2035-MaxSol-Lluv. Ángulo de Generadores Hidroeléctricos.

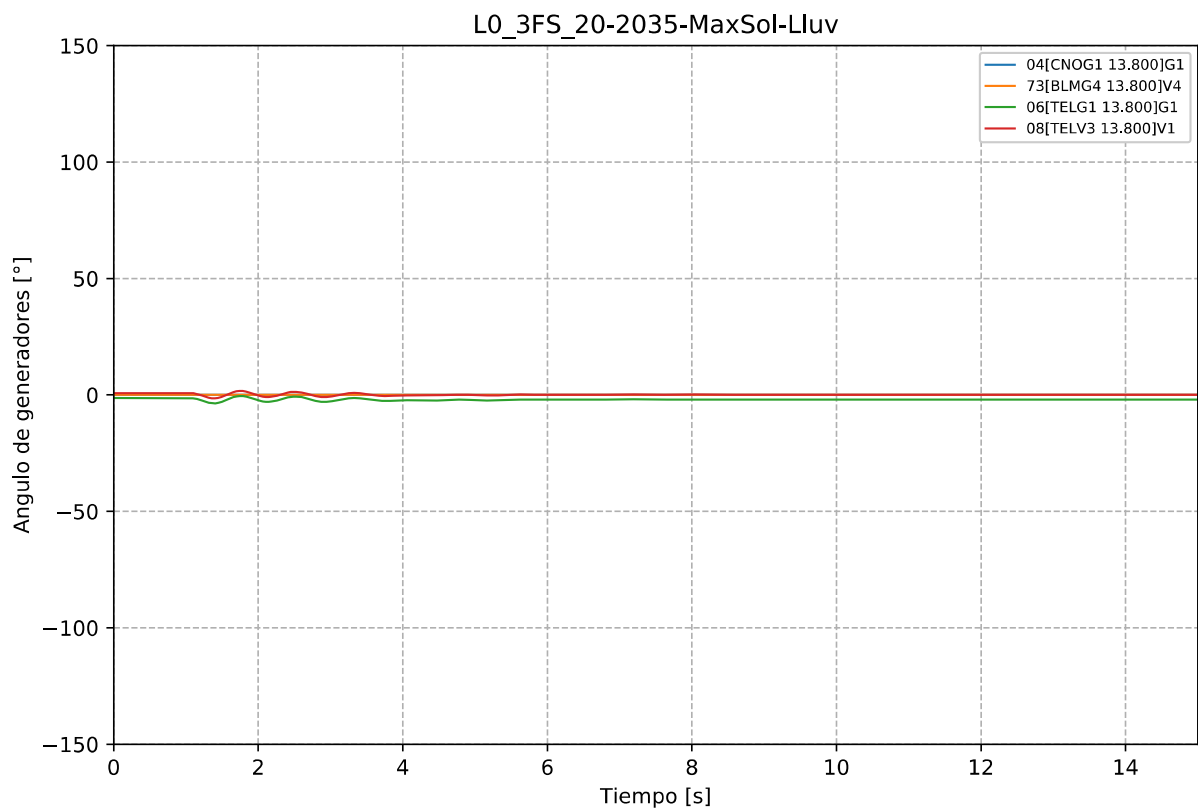


Gráfico 142. Evento L0\_3FS, caso 20-2035-MaxSol-Lluv. Ángulo de generadores Térmicos.

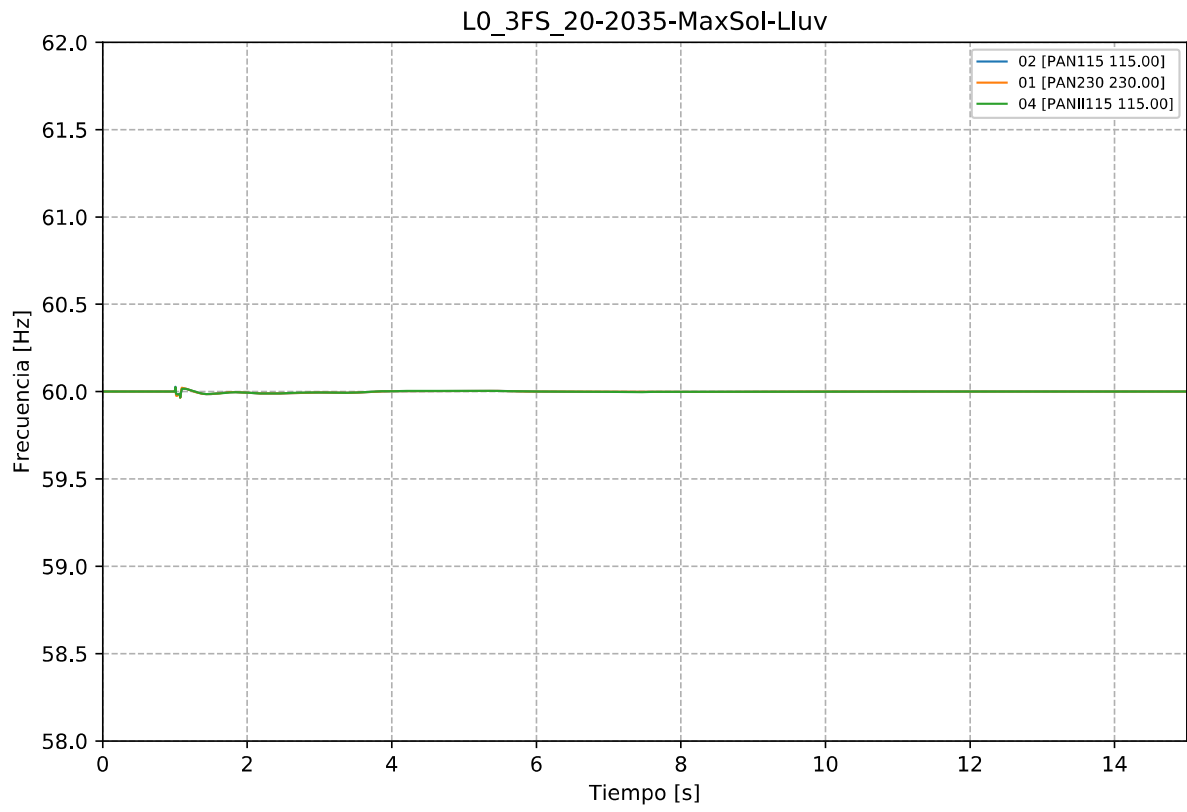


Gráfico 143. Evento L0\_3FS, caso 20-2035-MaxSol-Lluv. Frecuencia.

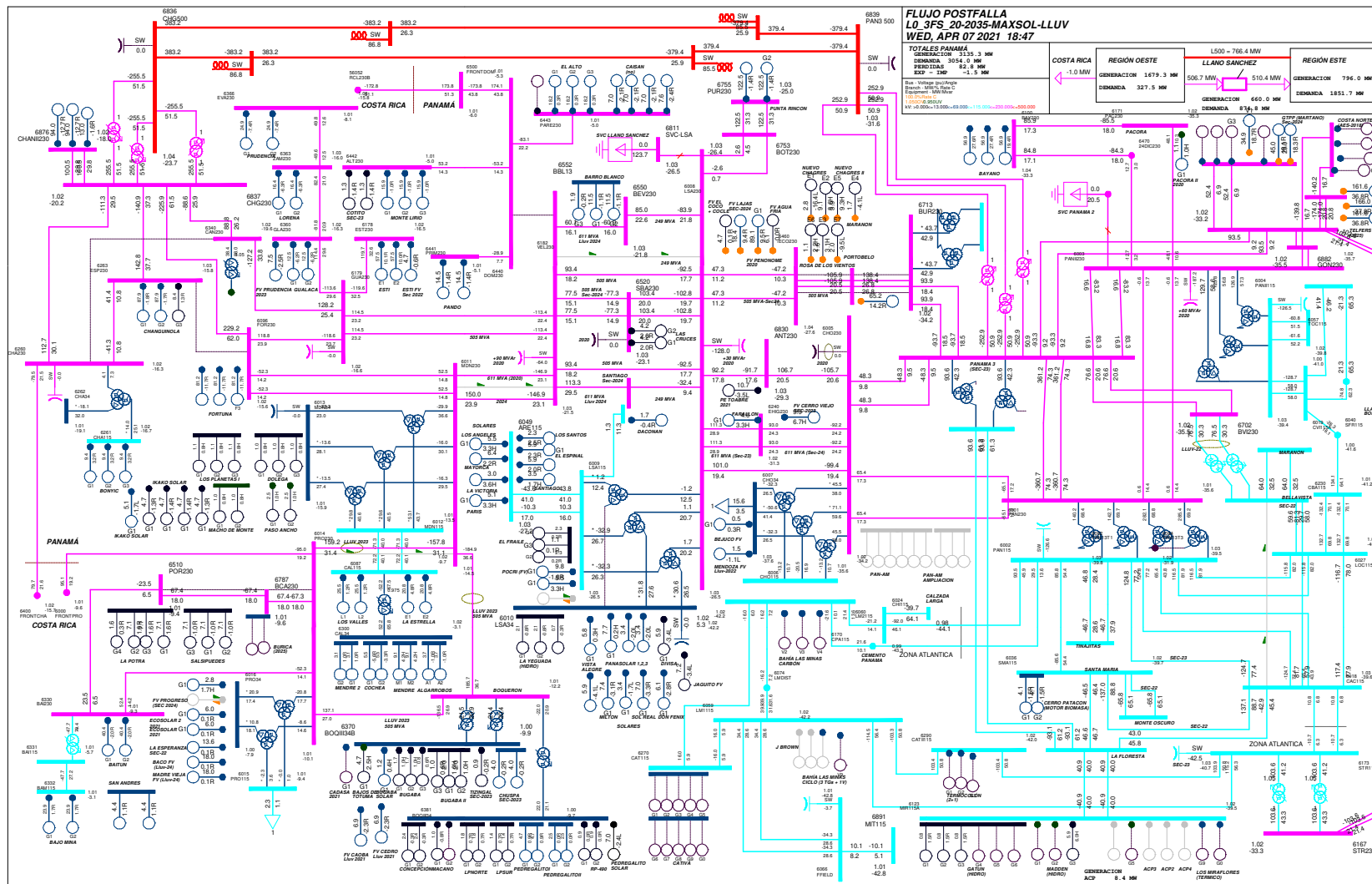


Gráfico 144. Evento L0\_3FS, caso 20-2035-MaxSol-LlUV. Flujo postfalla

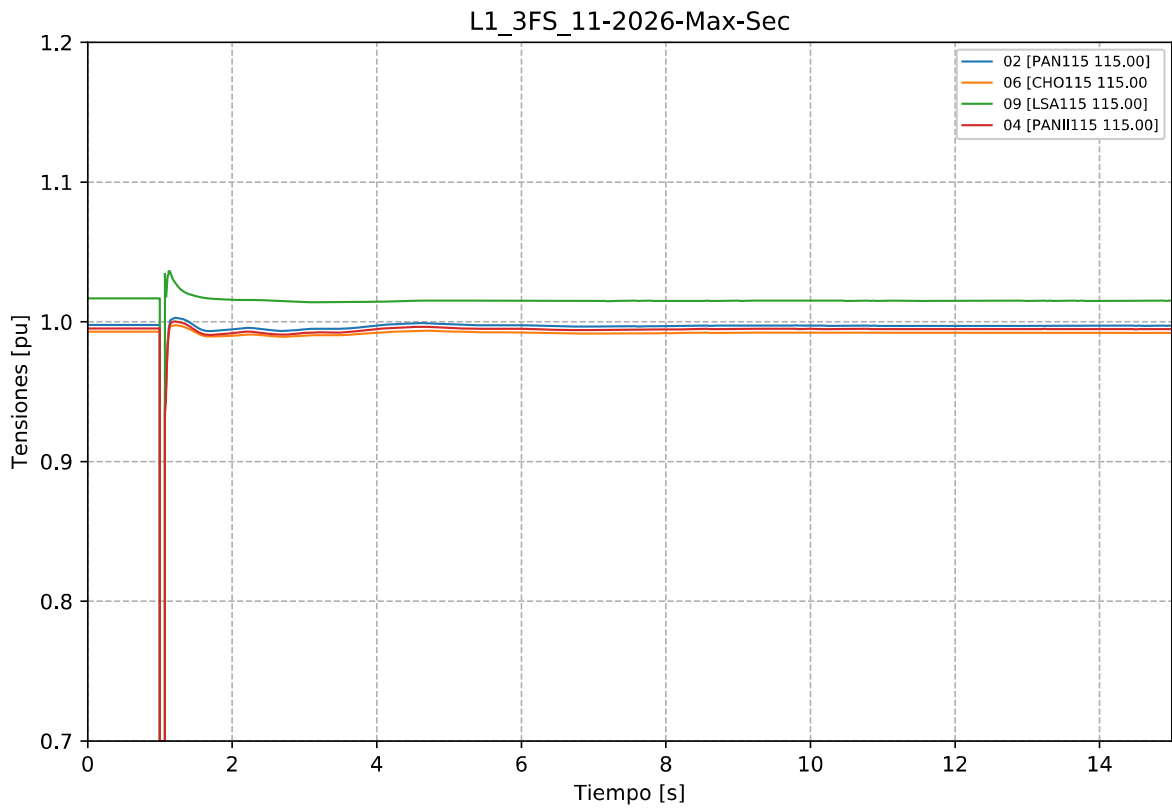


Gráfico 145. Evento L1\_3FS, caso 11-2026-Max-Sec. Tensiones en la zona de influencia 115 kV.

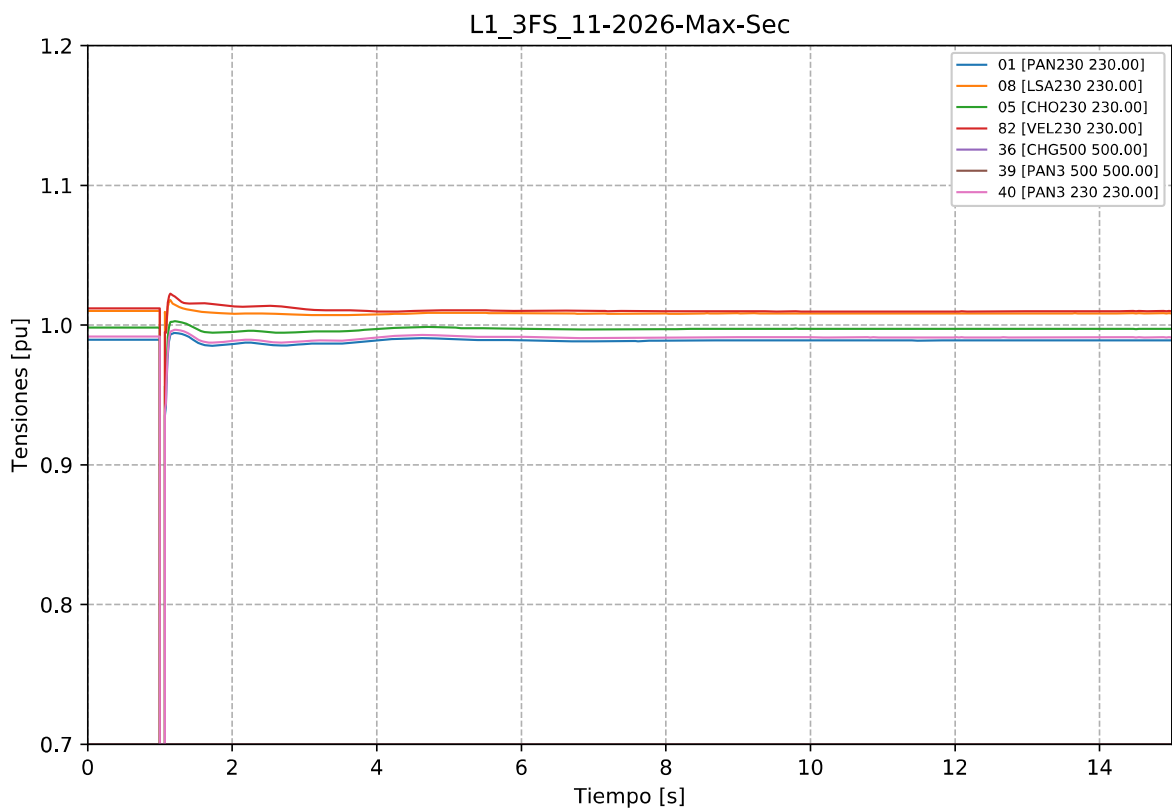


Gráfico 146. Evento L1\_3FS, caso 11-2026-Max-Sec. Tensiones en la zona de influencia 230 kV.

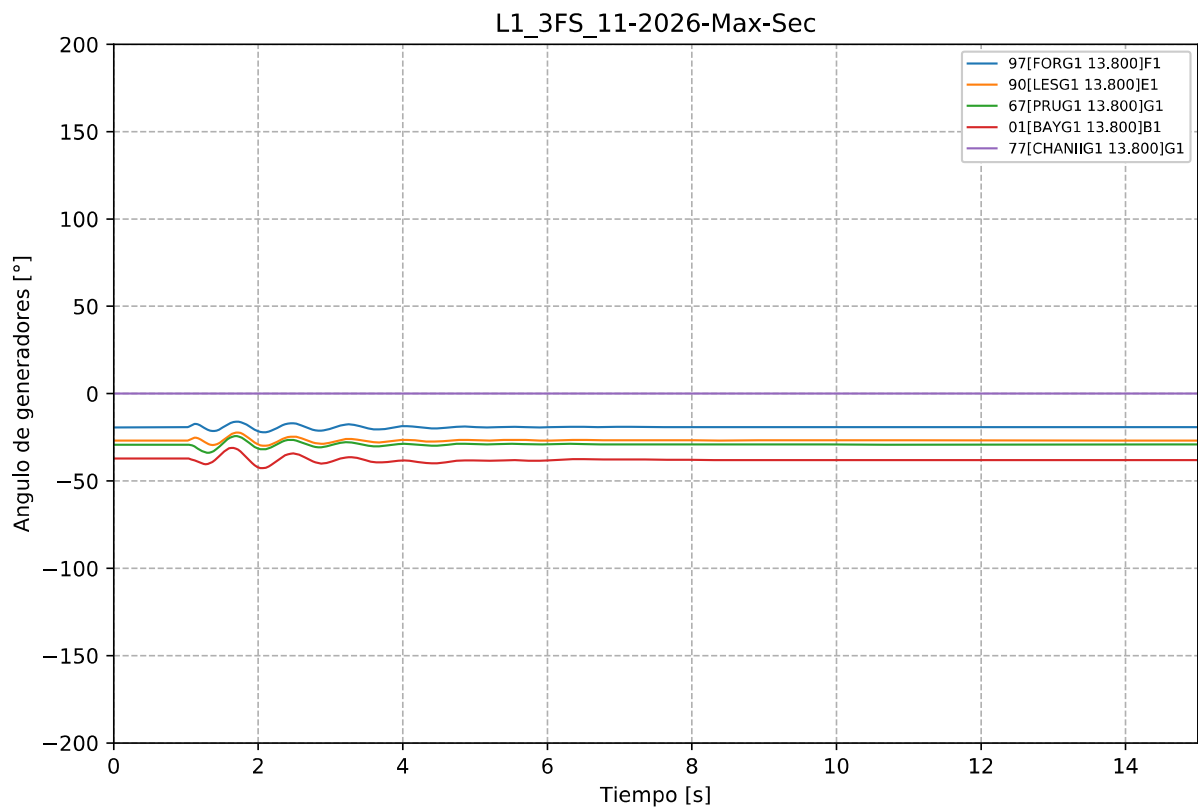


Gráfico 147. Evento L1\_3FS, caso 11-2026-Max-Sec. Ángulo de Generadores Hidroeléctricos.

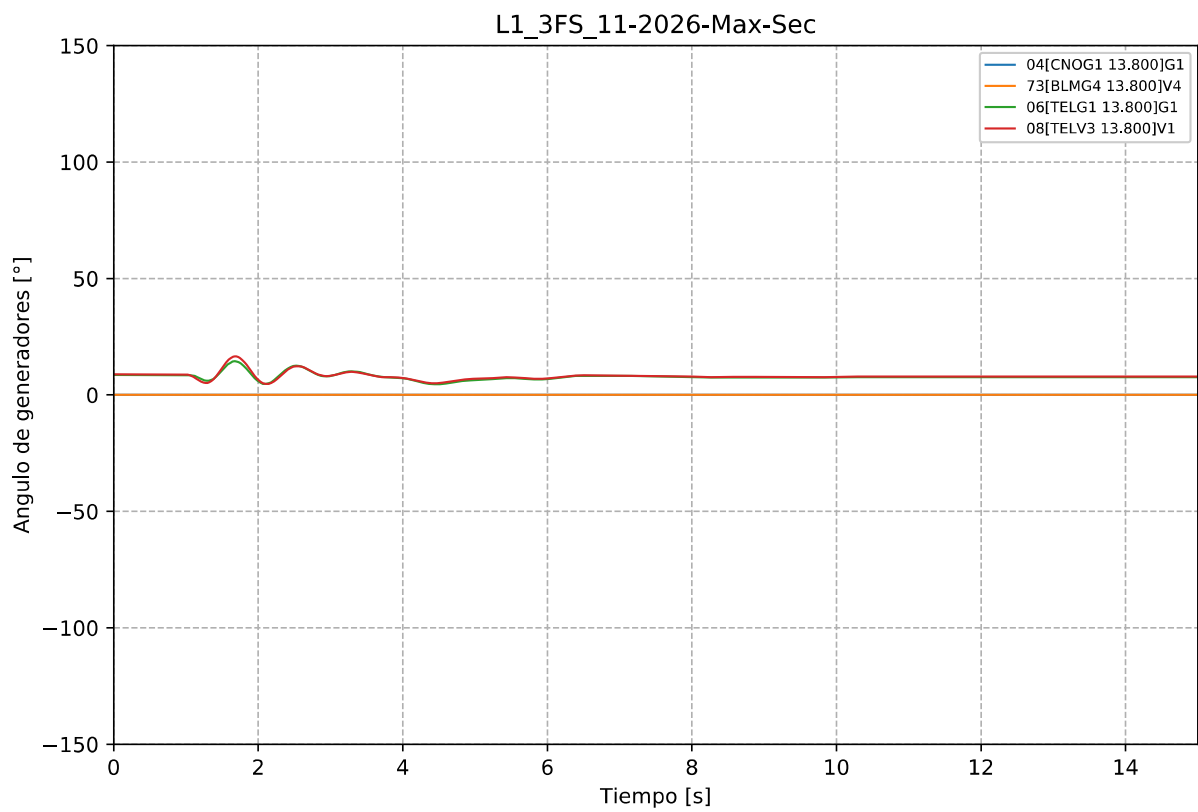


Gráfico 148. Evento L1\_3FS, caso 11-2026-Max-Sec. Ángulo de generadores Térmicos.



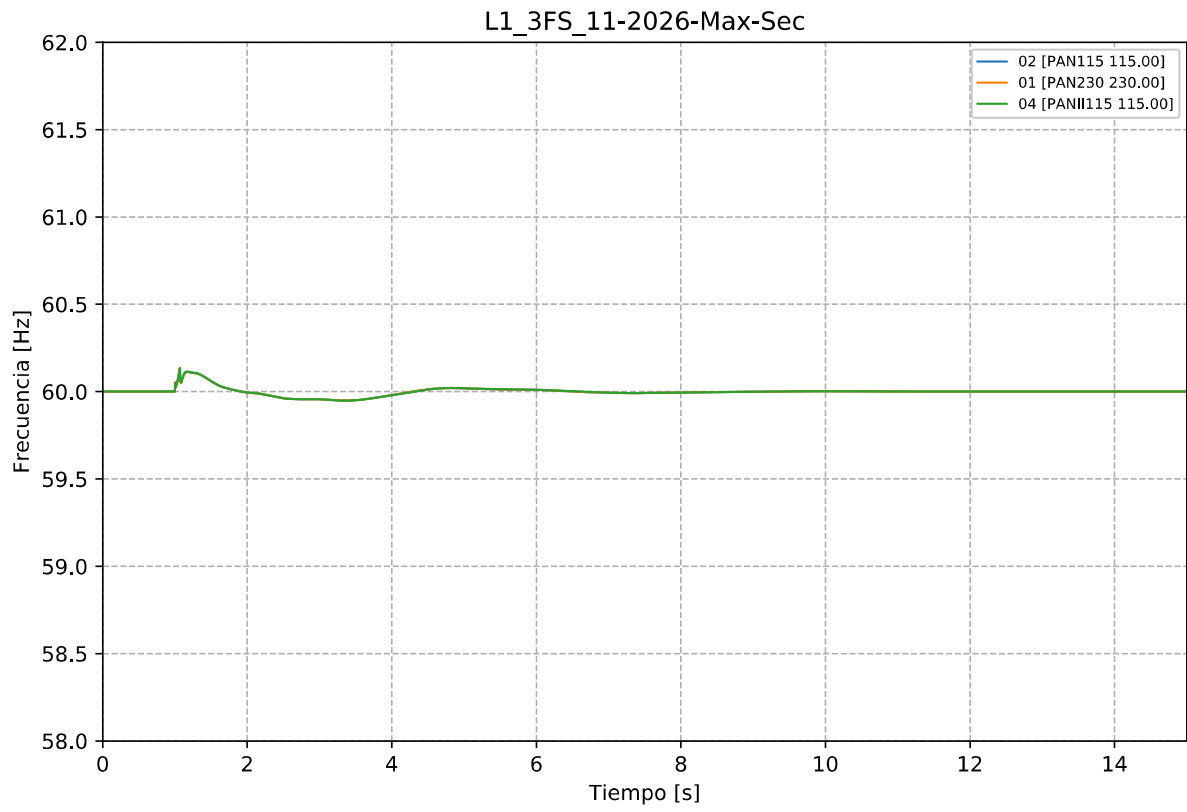


Gráfico 149. Evento L1\_3FS, caso 11-2026-Max-Sec. Frecuencia.

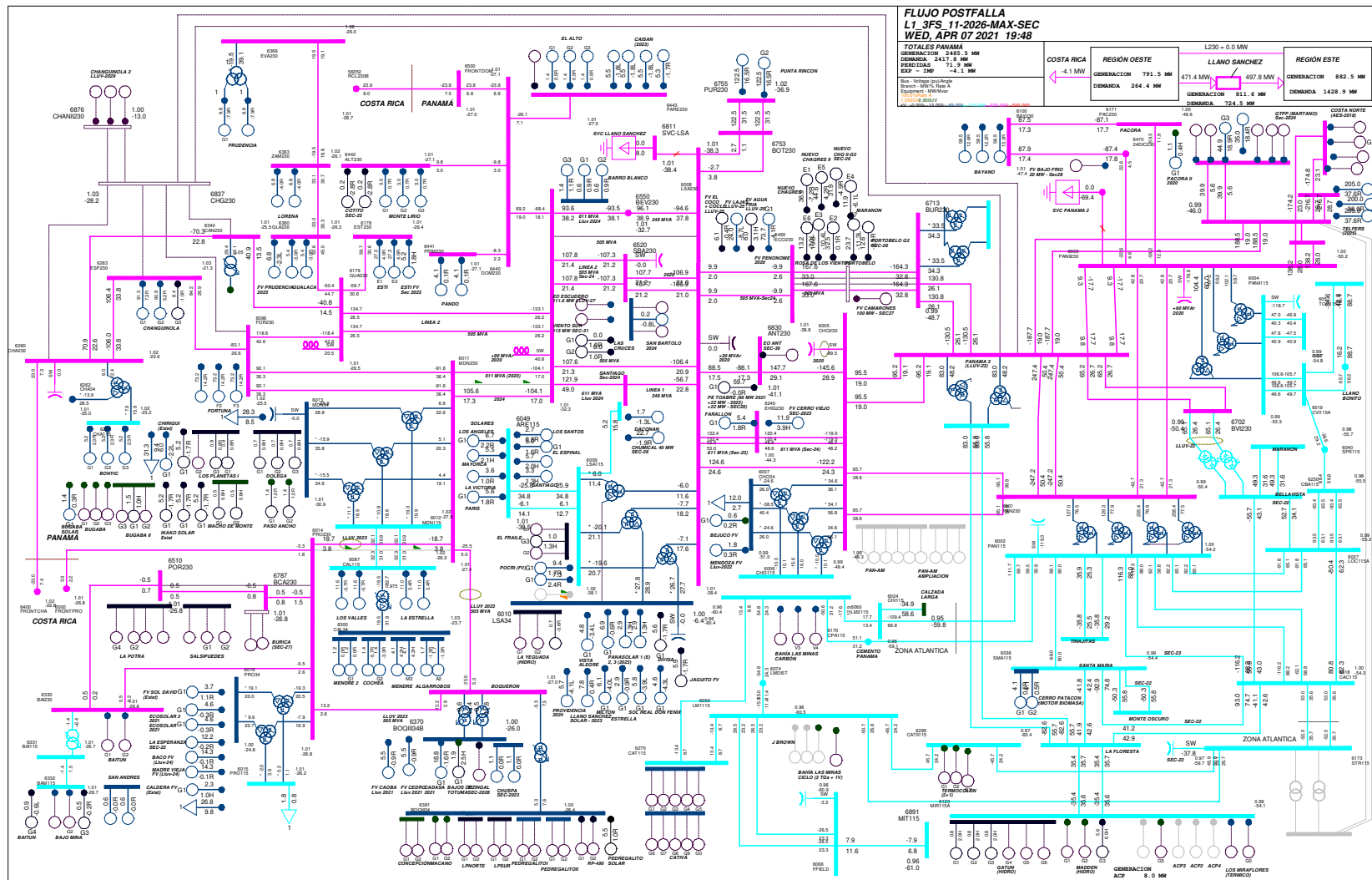


Gráfico 150. Evento L1\_3FS, caso 11-2026-Max-Sec. Flujo postfalla

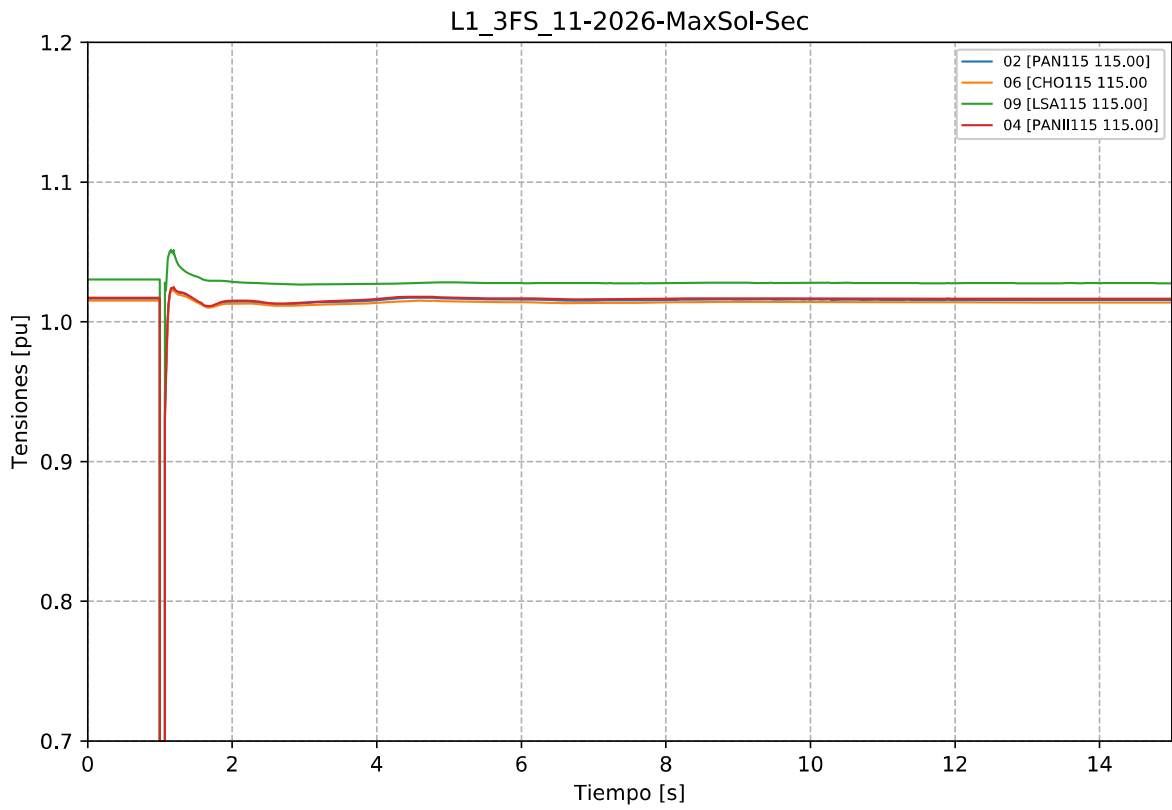


Gráfico 151. Evento L1\_3FS, caso 11-2026-MaxSol-Sec. Tensiones en la zona de influencia 115 kV.

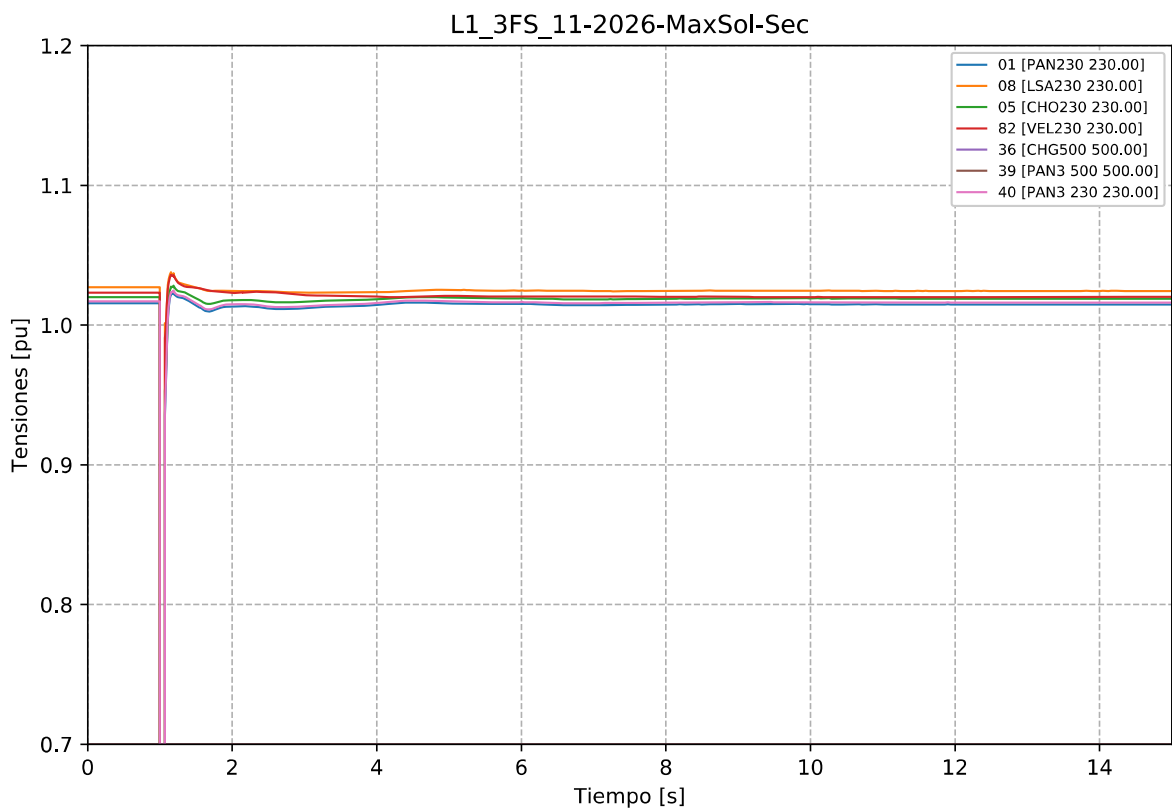


Gráfico 152. Evento L1\_3FS, caso 11-2026-MaxSol-Sec. Tensiones en la zona de influencia 230 kV.

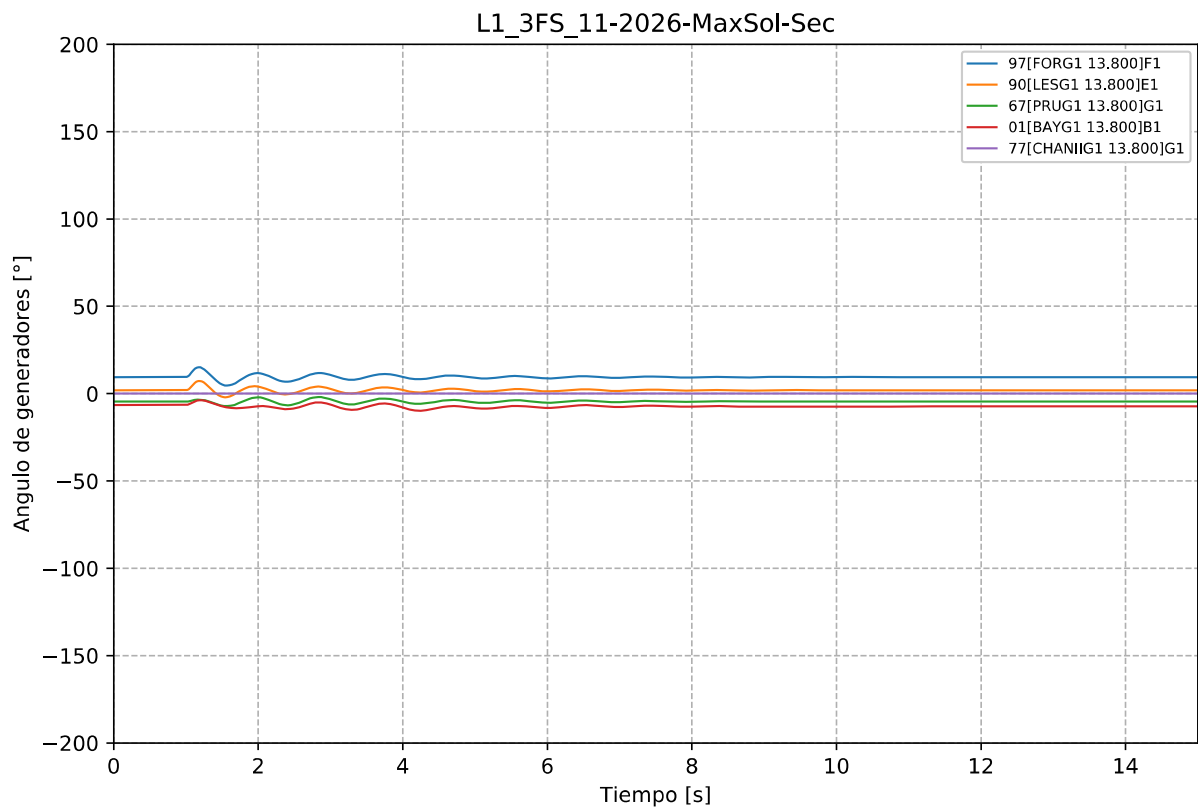


Gráfico 153. Evento L1\_3FS, caso 11-2026-MaxSol-Sec. Ángulo de Generadores Hidroeléctricos.

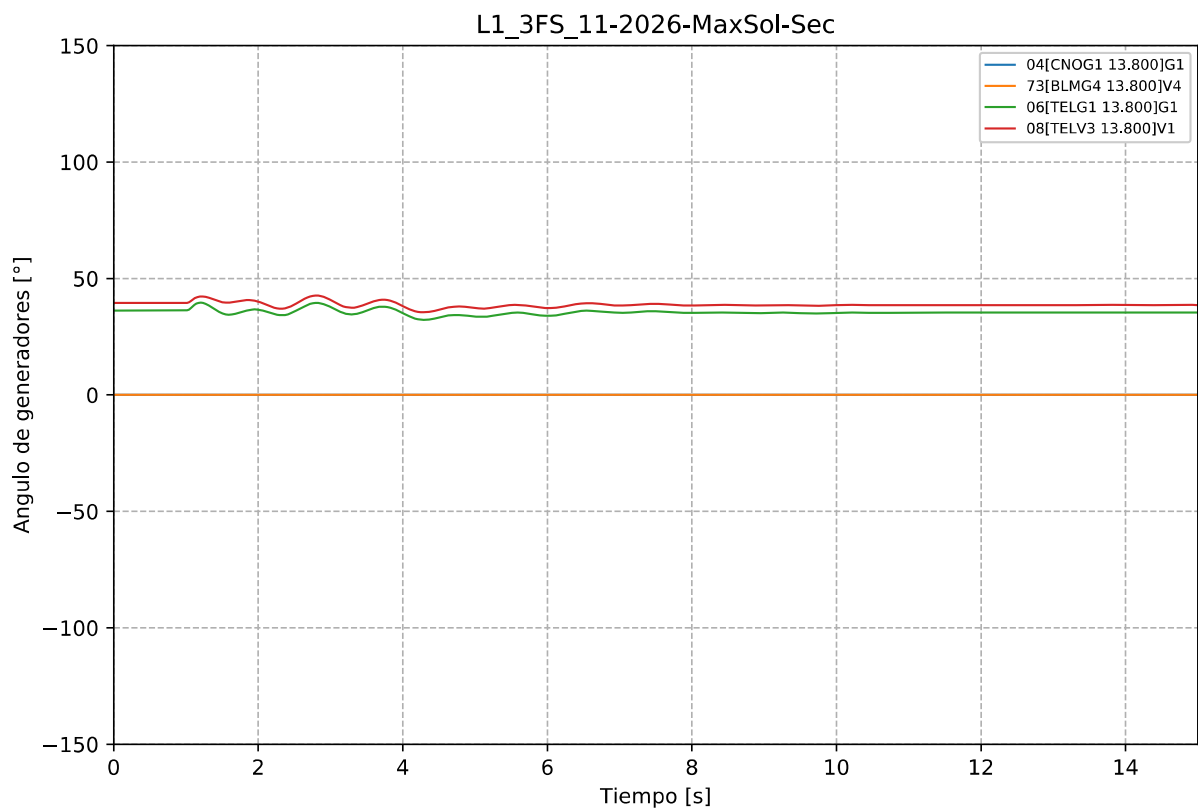


Gráfico 154. Evento L1\_3FS, caso 11-2026-MaxSol-Sec. Ángulo de generadores Térmicos.

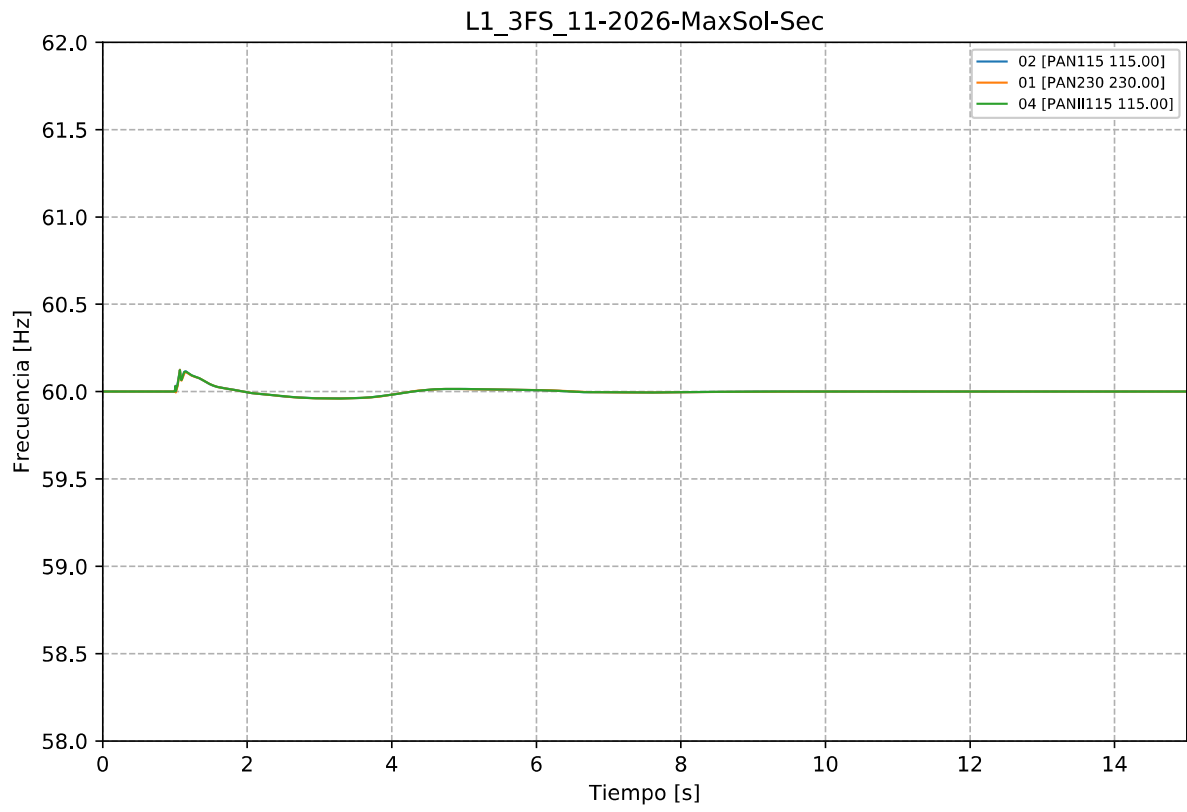


Gráfico 155. Evento L1\_3FS, caso 11-2026-MaxSol-Sec. Frecuencia.

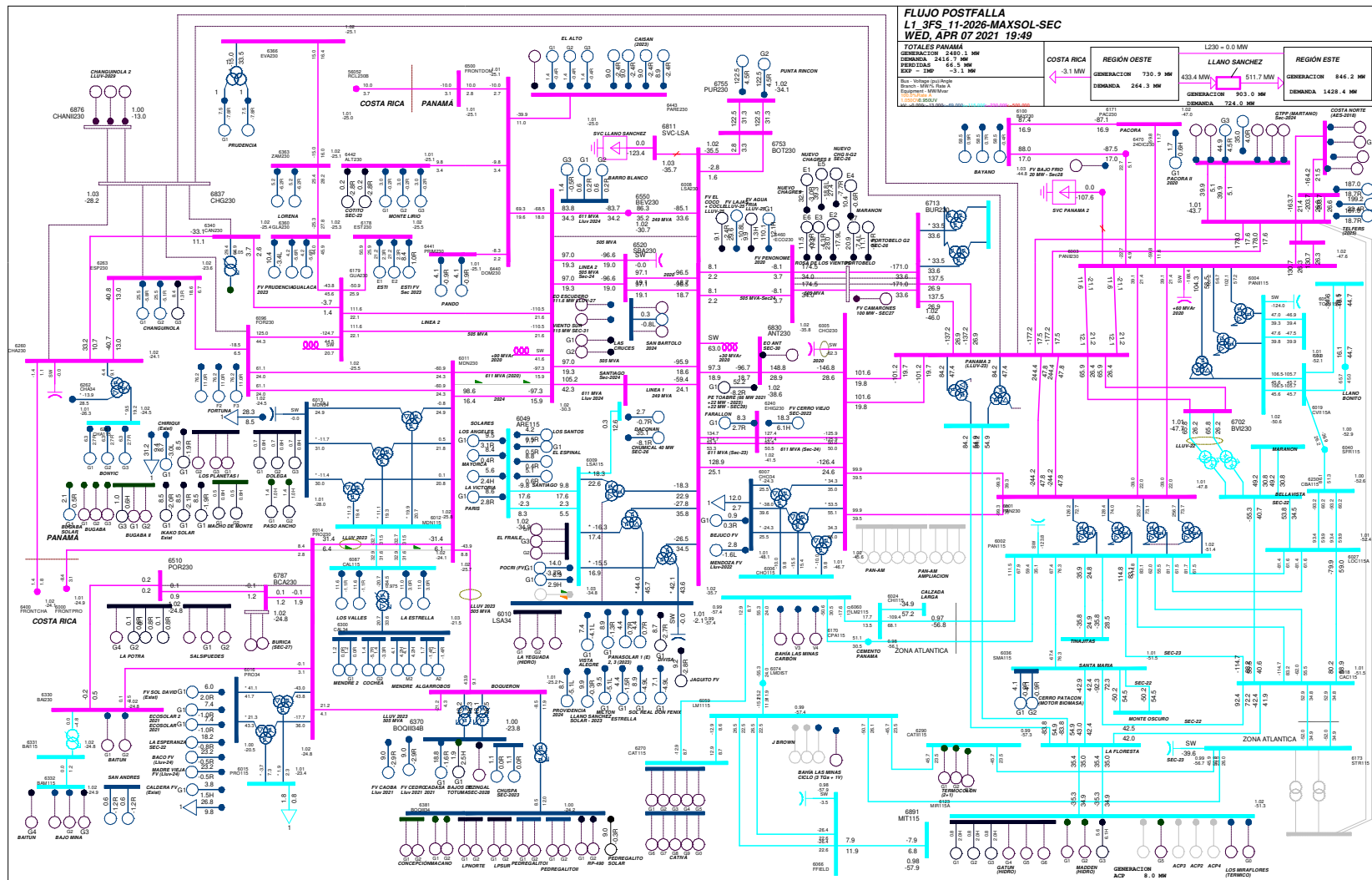


Gráfico 156. Evento L1\_3FS, caso 11-2026-MaxSol-Sec. Flujo postfalla

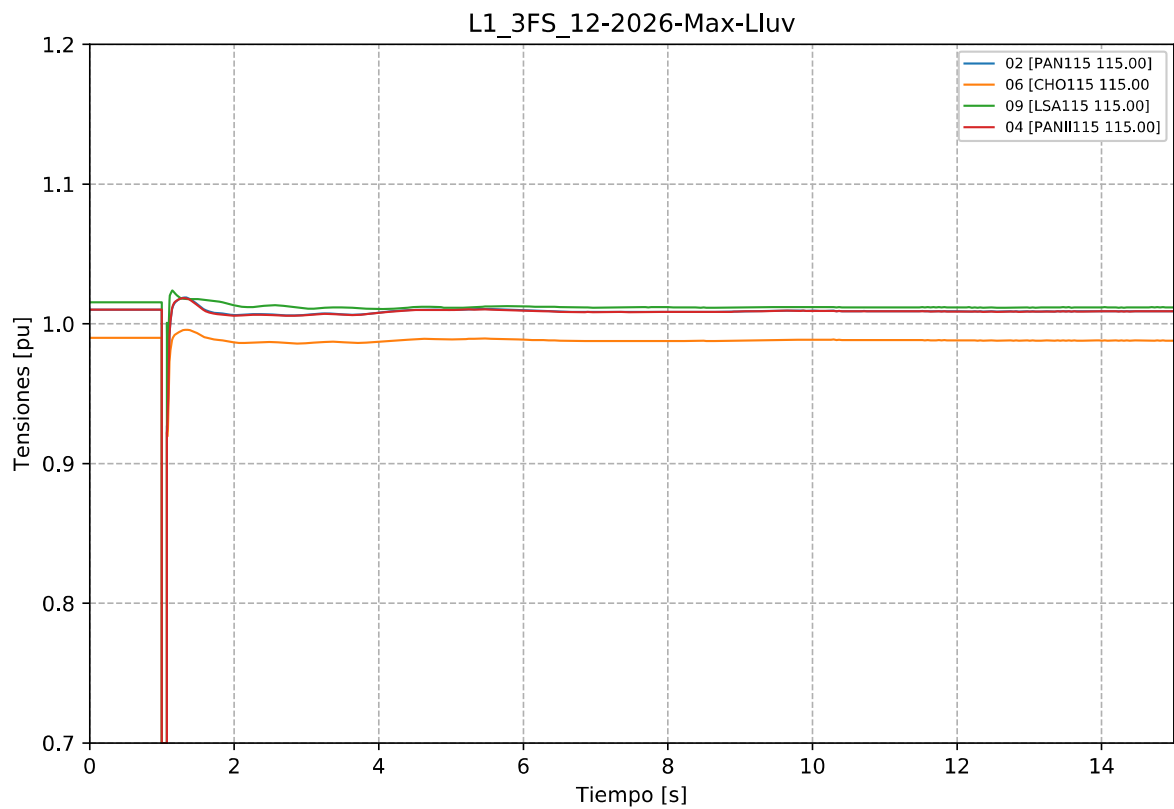


Gráfico 157. Evento L1\_3FS, caso 12-2026-Max-Lluv. Tensiones en la zona de influencia 115 kV.

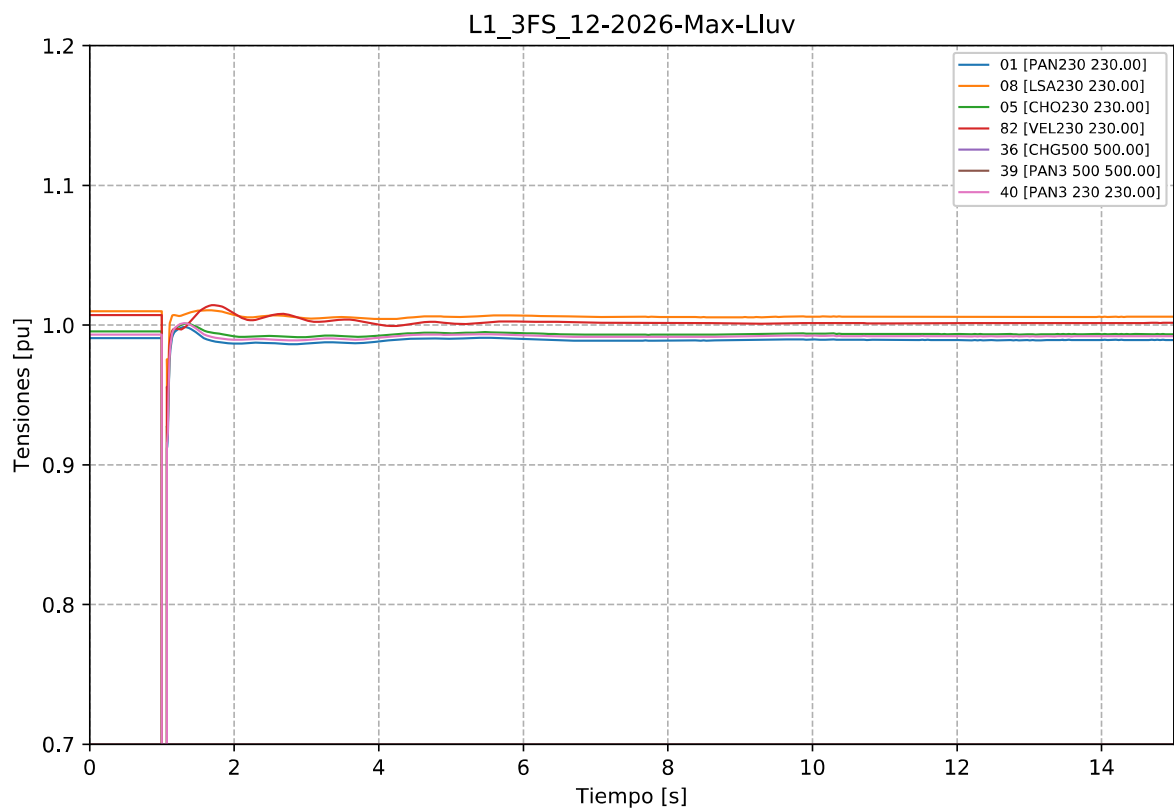


Gráfico 158. Evento L1\_3FS, caso 12-2026-Max-Lluv. Tensiones en la zona de influencia 230 kV.

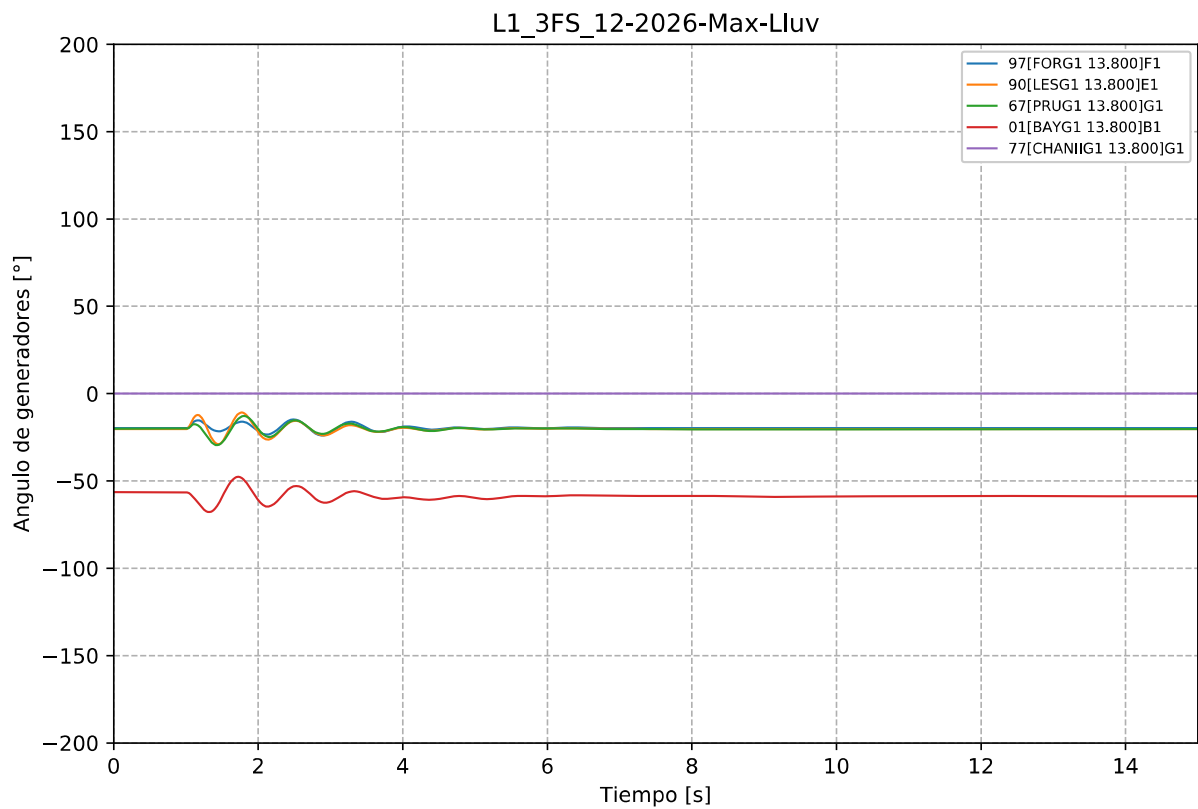


Gráfico 159. Evento L1\_3FS, caso 12-2026-Max-Lluv. Ángulo de Generadores Hidroeléctricos.

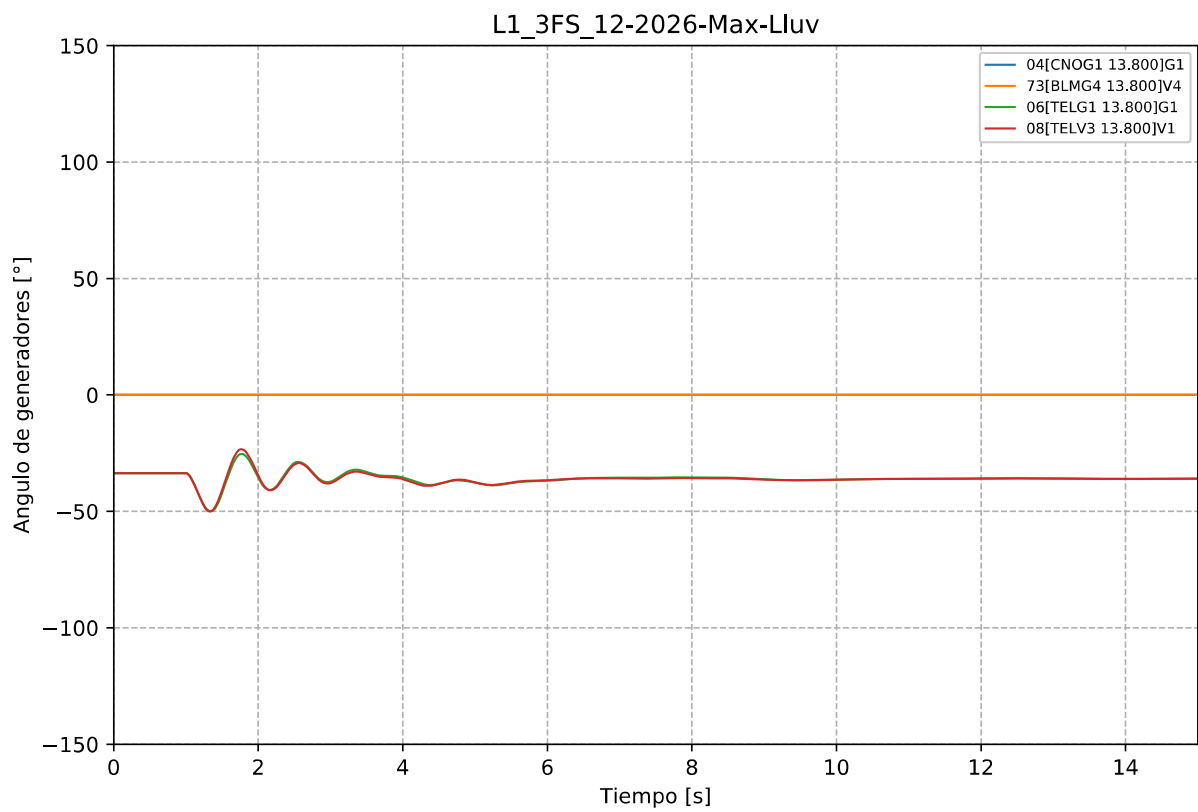


Gráfico 160. Evento L1\_3FS, caso 12-2026-Max-Lluv. Ángulo de generadores Térmicos.



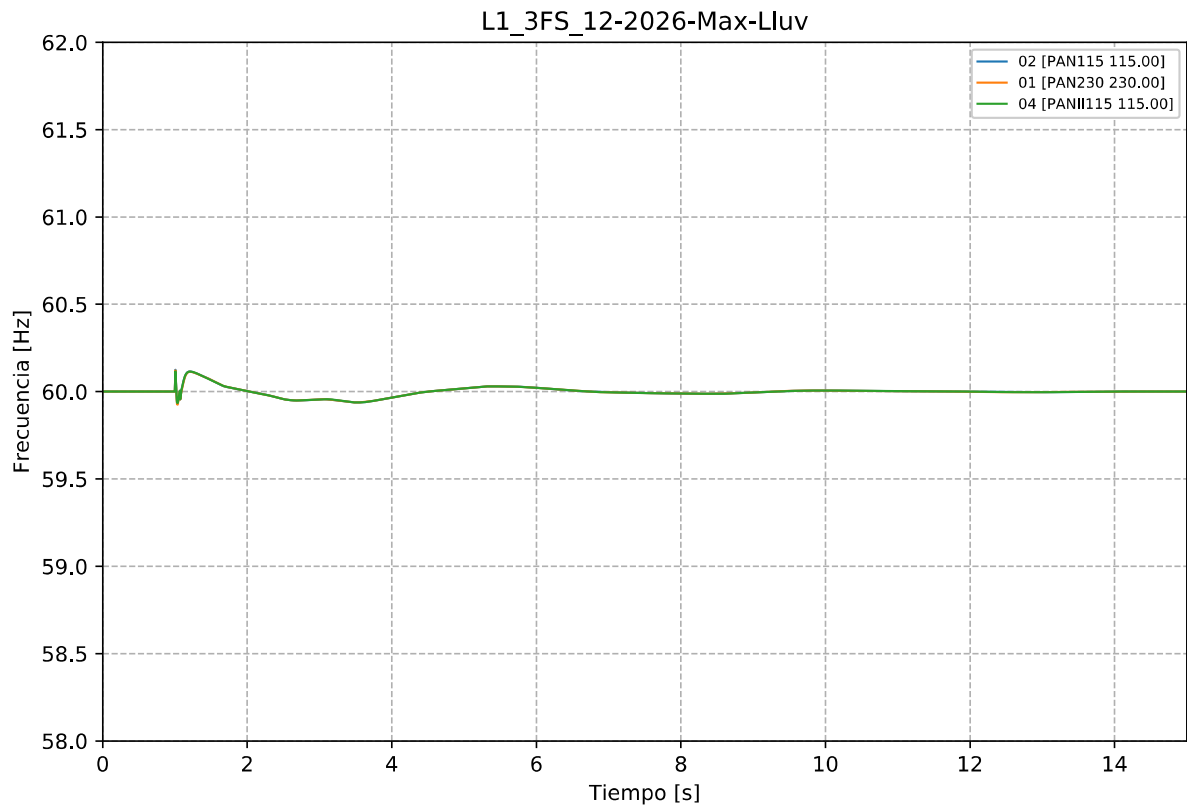


Gráfico 161. Evento L1\_3FS, caso 12-2026-Max-Lluv. Frecuencia.

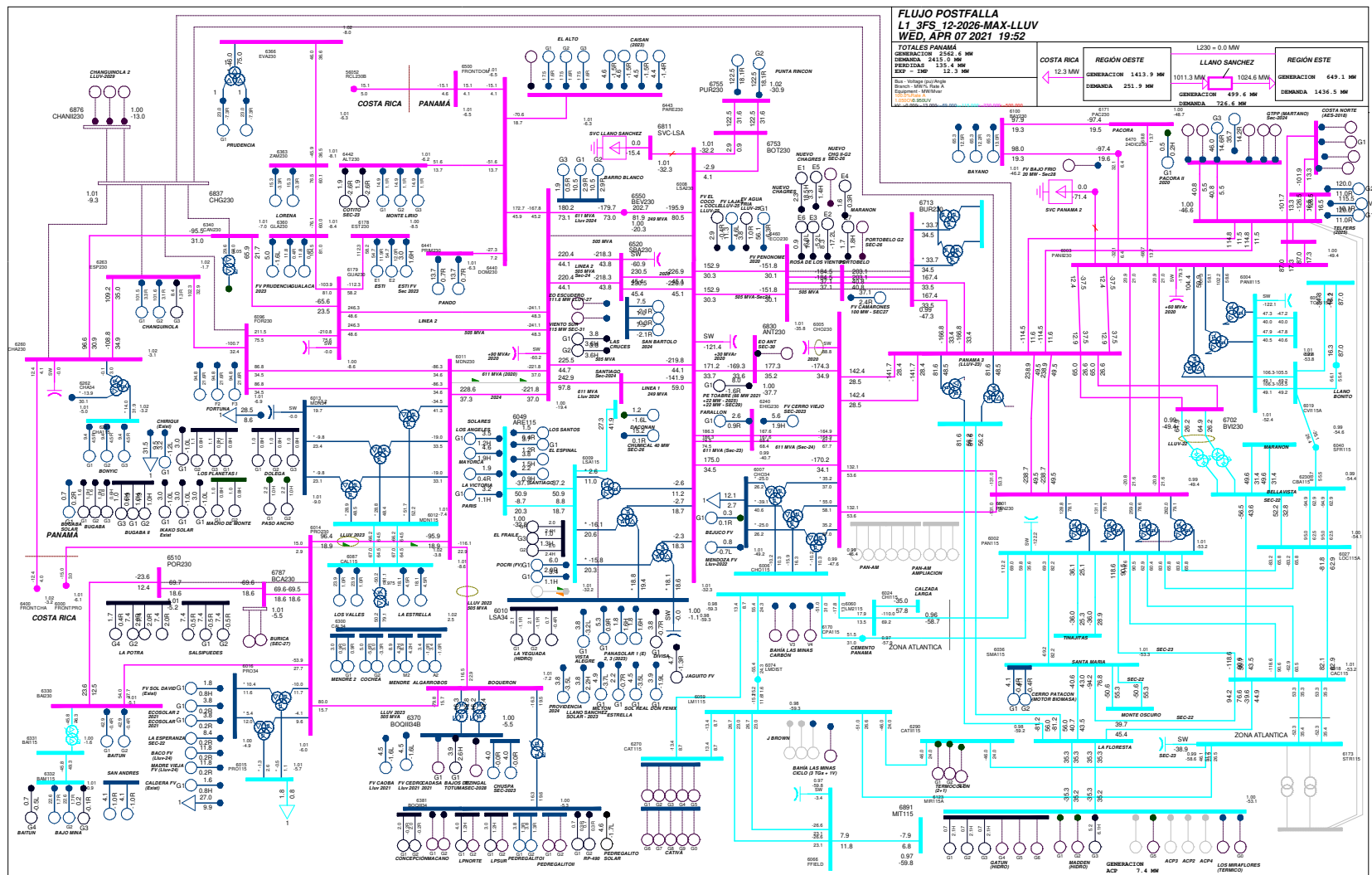


Gráfico 162. Evento L1\_3FS, caso 12-2026-Max-Lluv. Flujo postfalla

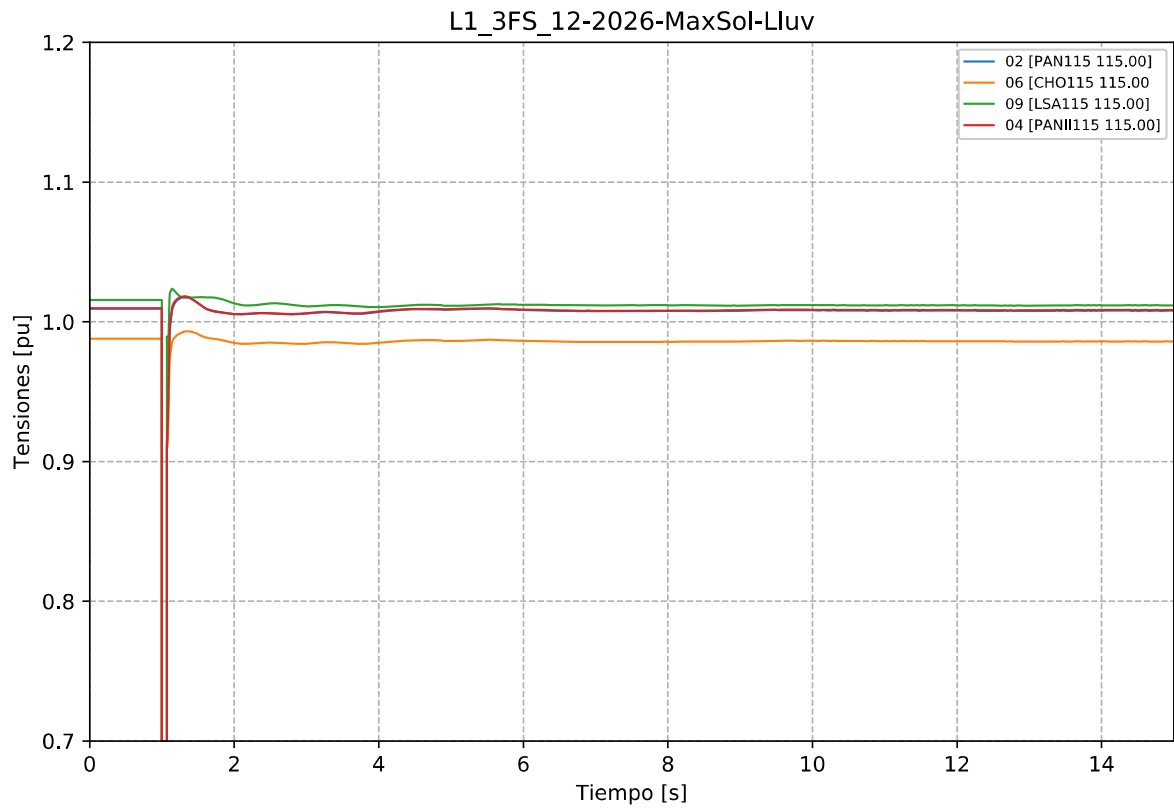


Gráfico 163. Evento L1\_3FS, caso 12-2026-MaxSol-Lluv. Tensiones en la zona de influencia 115 kV.

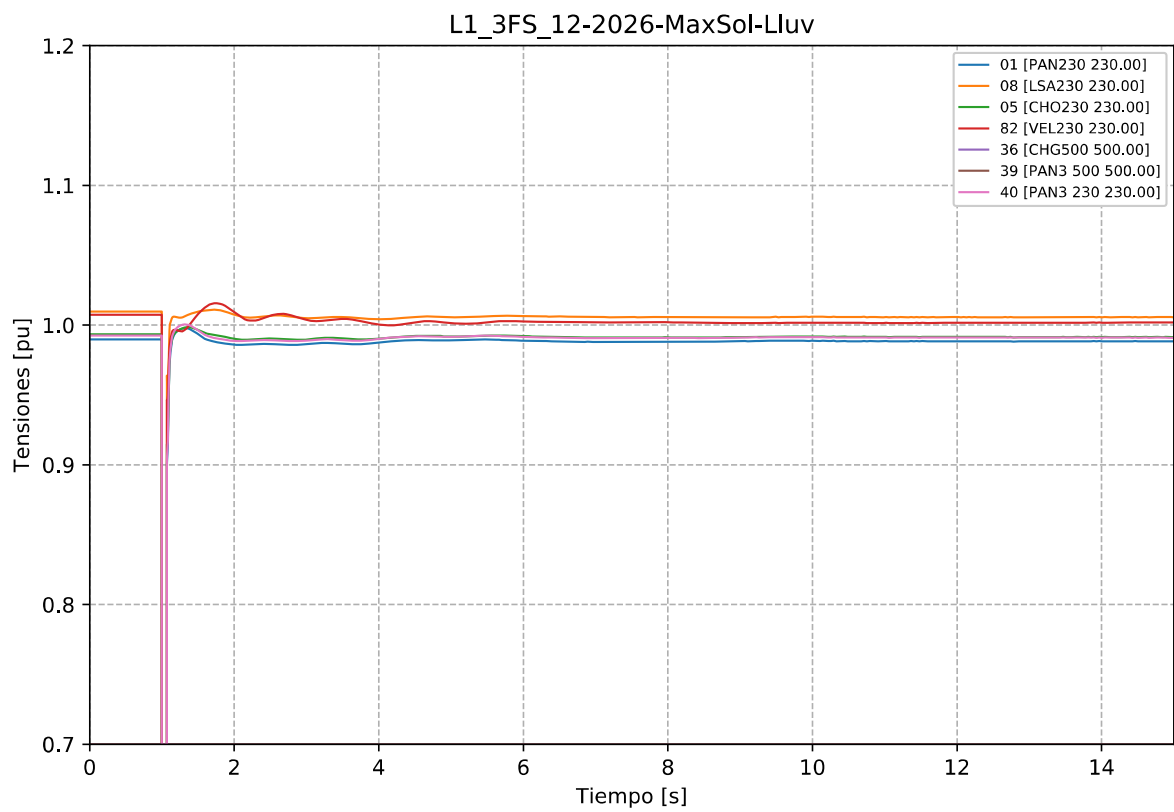


Gráfico 164. Evento L1\_3FS, caso 12-2026-MaxSol-Lluv. Tensiones en la zona de influencia 230 kV.

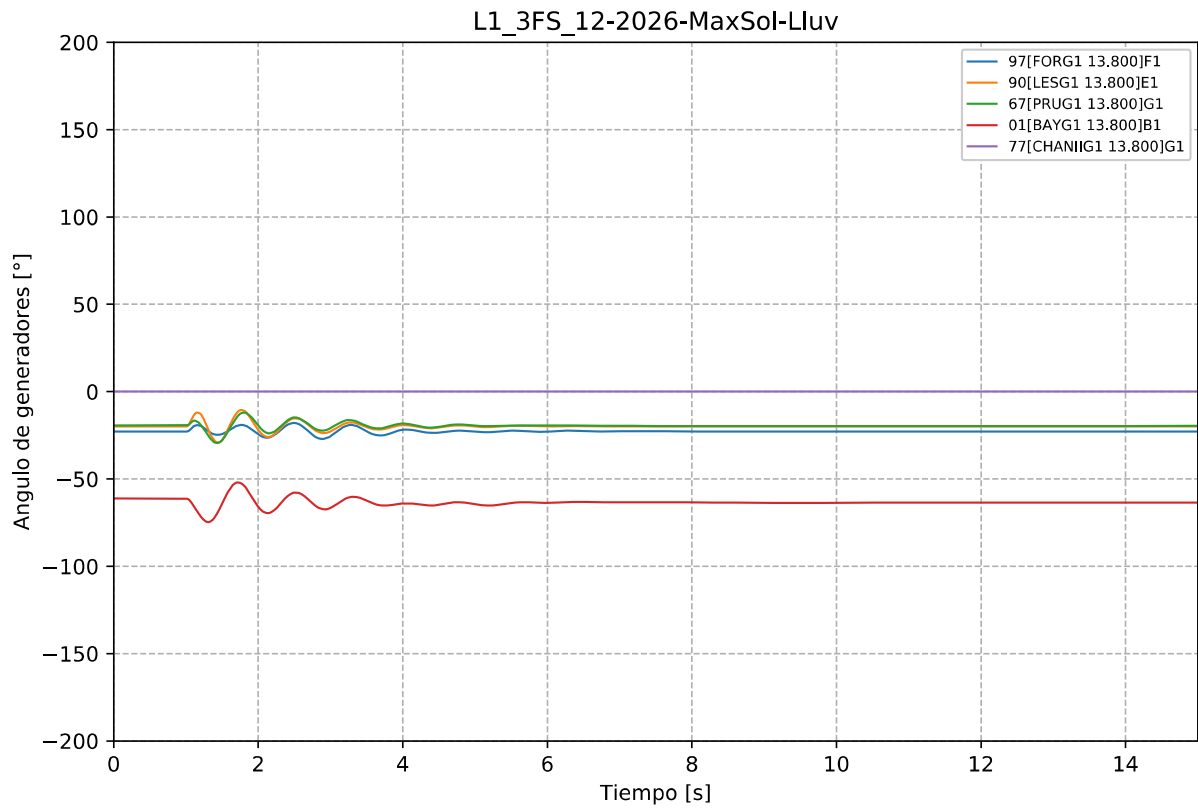


Gráfico 165. Evento L1\_3FS, caso 12-2026-MaxSol-Lluv. Ángulo de Generadores Hidroeléctricos.

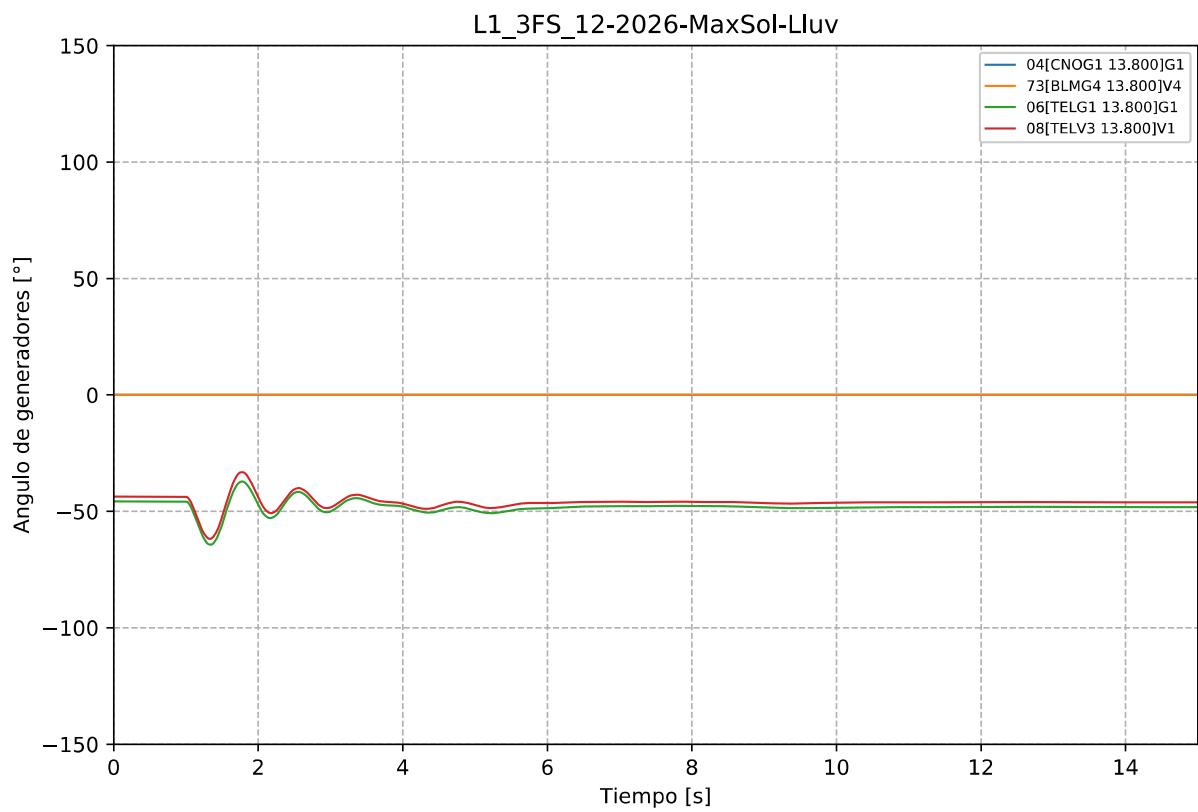


Gráfico 166. Evento L1\_3FS, caso 12-2026-MaxSol-Lluv. Ángulo de generadores Térmicos.

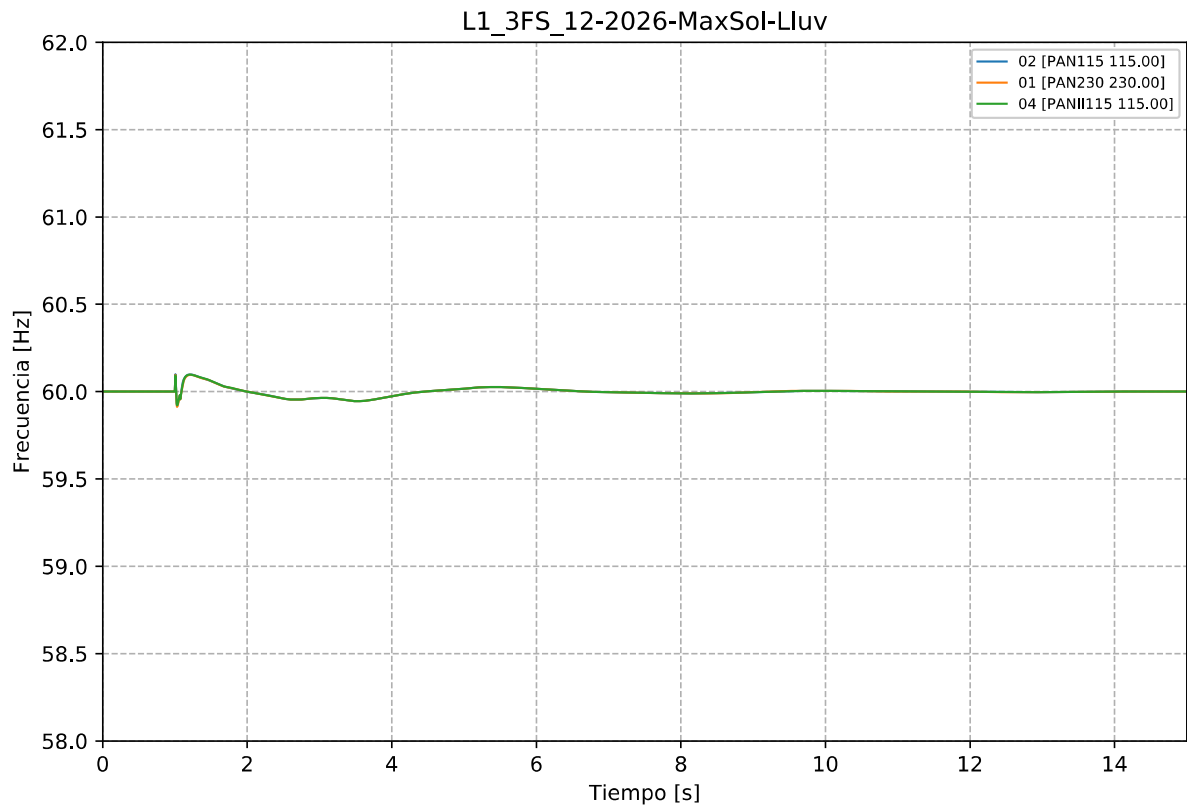


Gráfico 167. Evento L1\_3FS, caso 12-2026-MaxSol-Lluv. Frecuencia.

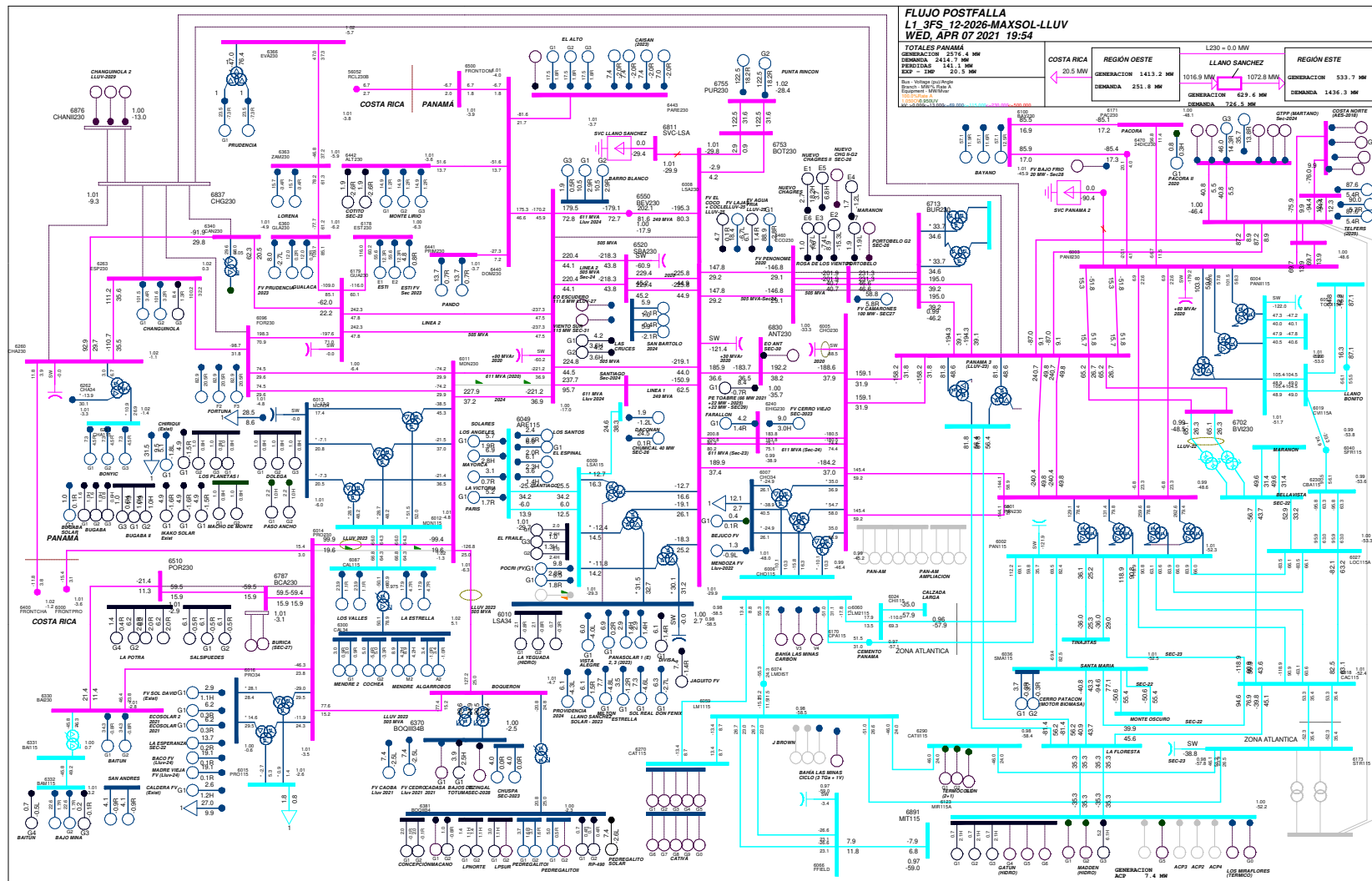
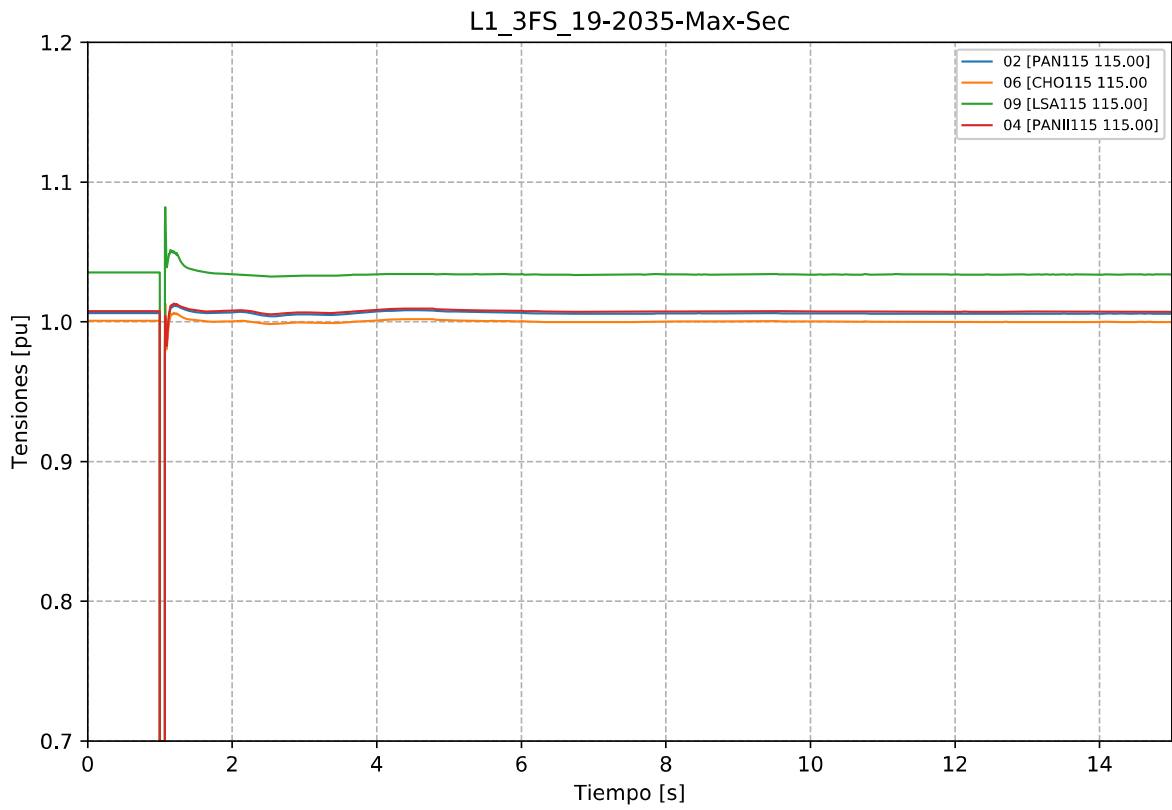
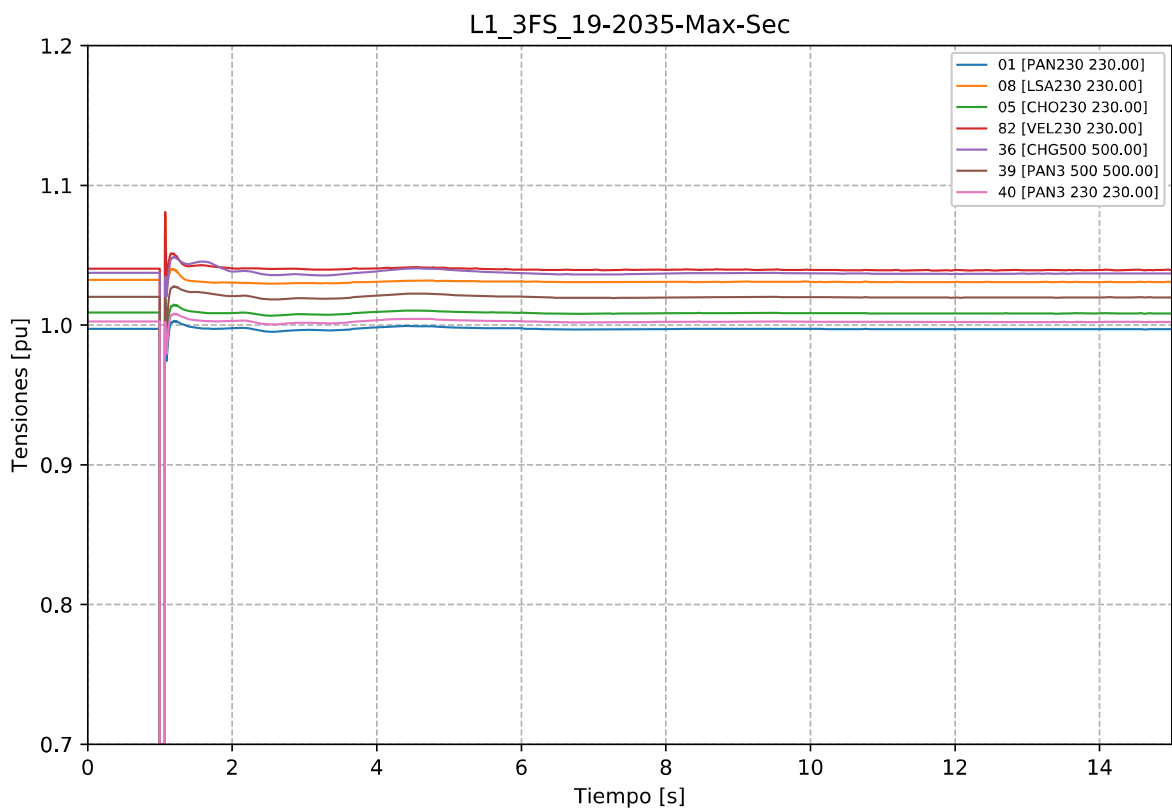


Gráfico 168. Evento L1\_3FS, caso 12-2026-MaxSol-Lluv. Flujo postfalla



**Gráfico 169. Evento L1\_3FS, caso 19-2035-Max-Sec. Tensiones en la zona de influencia 115 kV.**



**Gráfico 170. Evento L1\_3FS, caso 19-2035-Max-Sec. Tensiones en la zona de influencia 230 kV.**

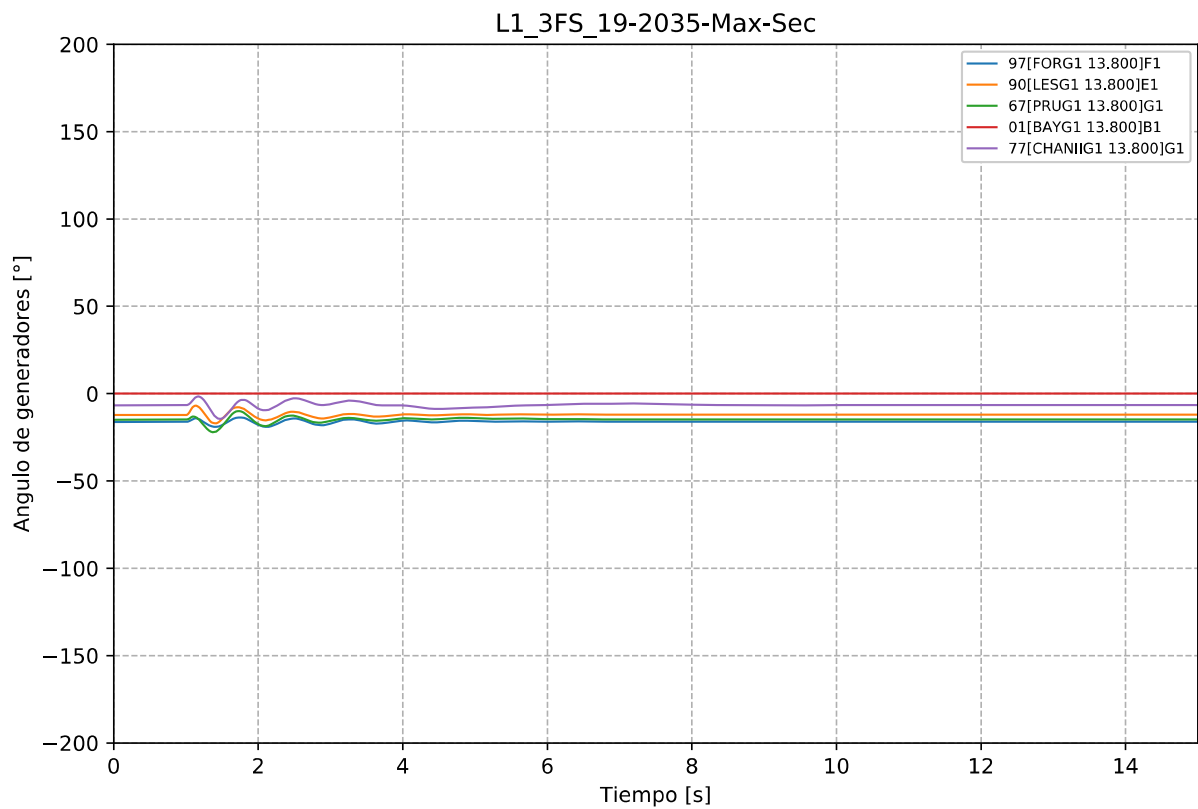


Gráfico 171. Evento L1\_3FS, caso 19-2035-Max-Sec. Ángulo de Generadores Hidroeléctricos.

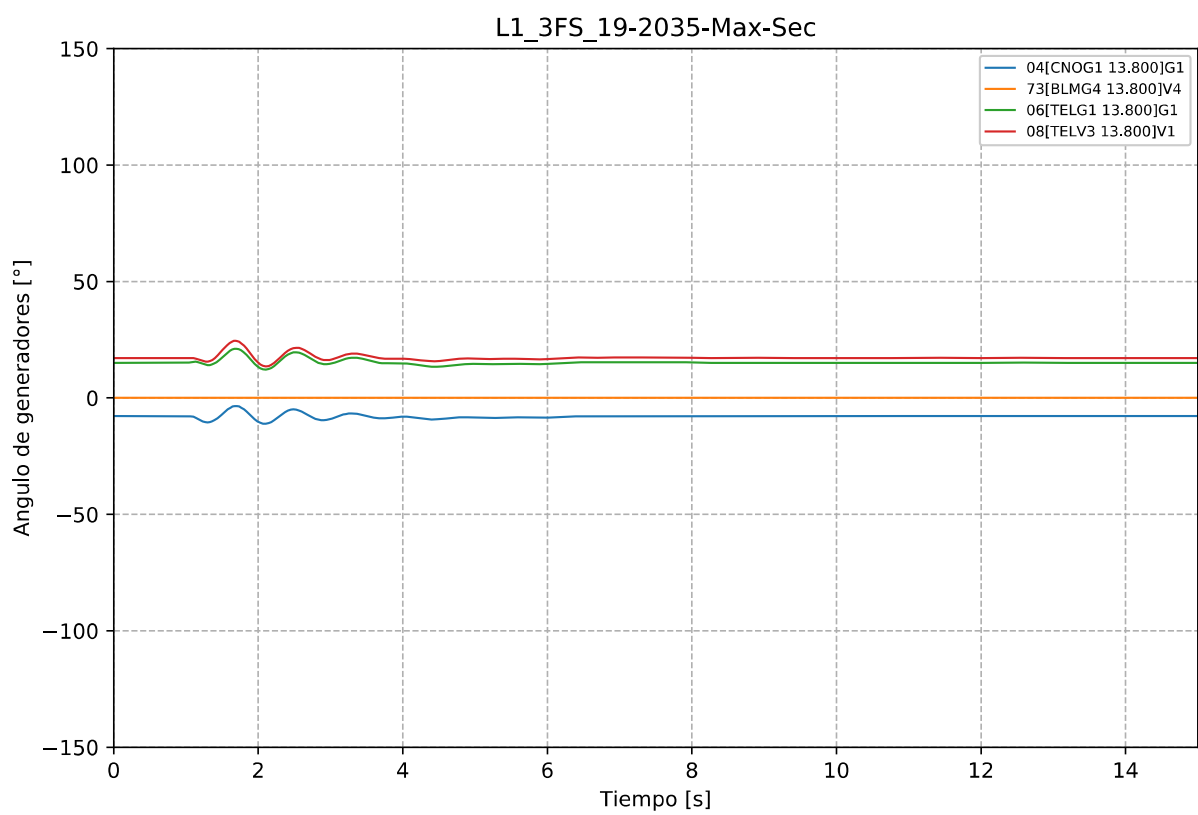


Gráfico 172. Evento L1\_3FS, caso 19-2035-Max-Sec. Ángulo de generadores Térmicos.



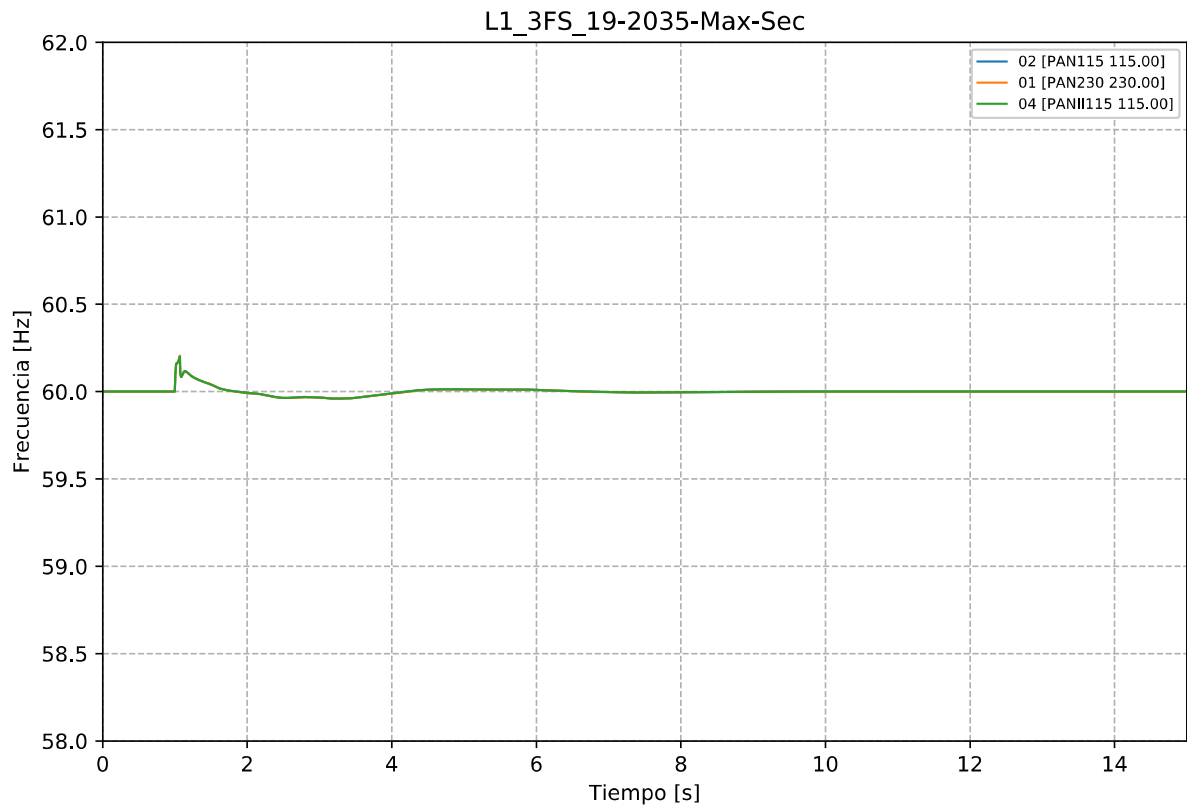


Gráfico 173. Evento L1\_3FS, caso 19-2035-Max-Sec. Frecuencia.

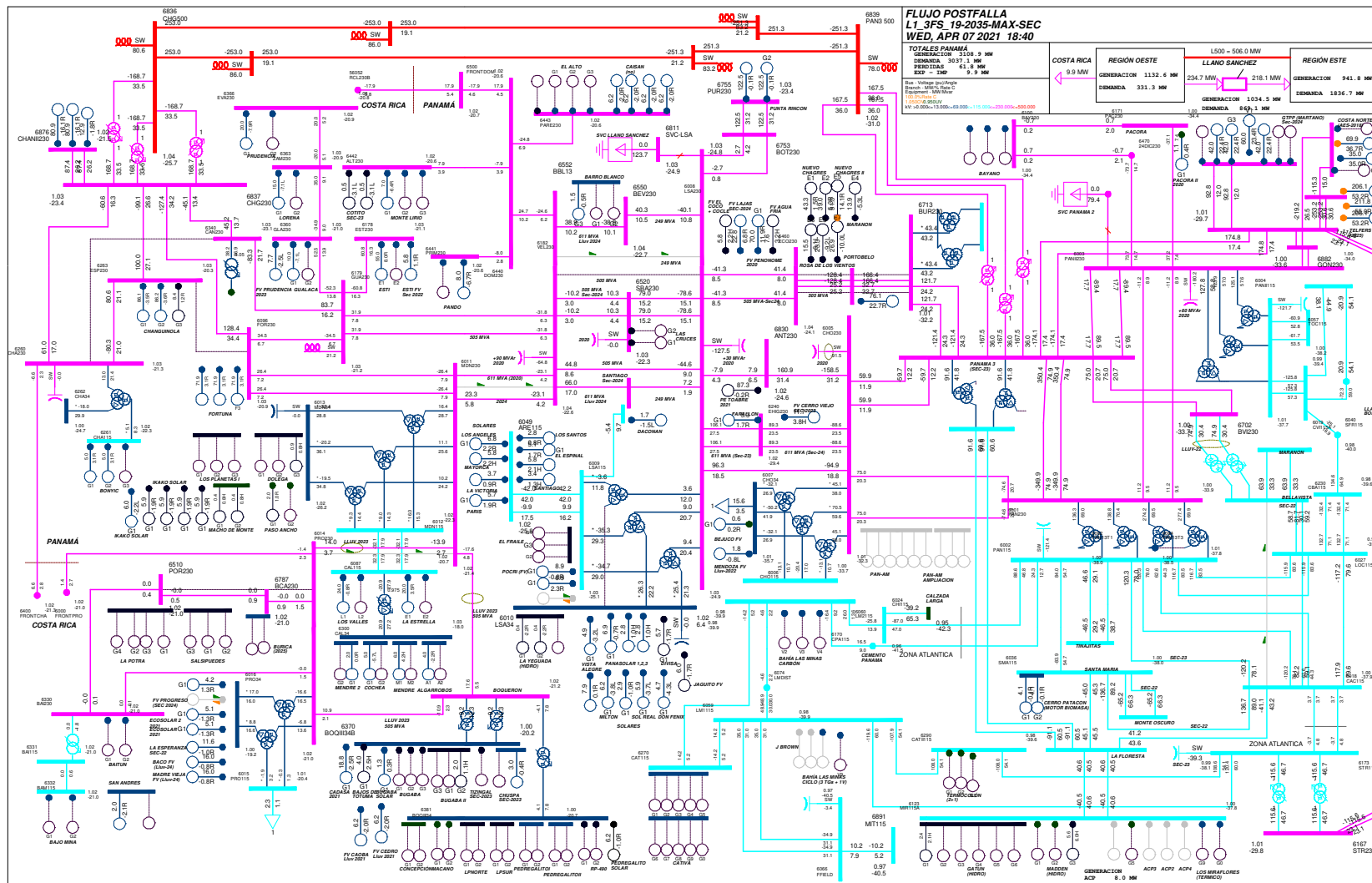


Gráfico 174. Evento L1\_3FS, caso 19-2035-Max-Sec. Flujo postfalla

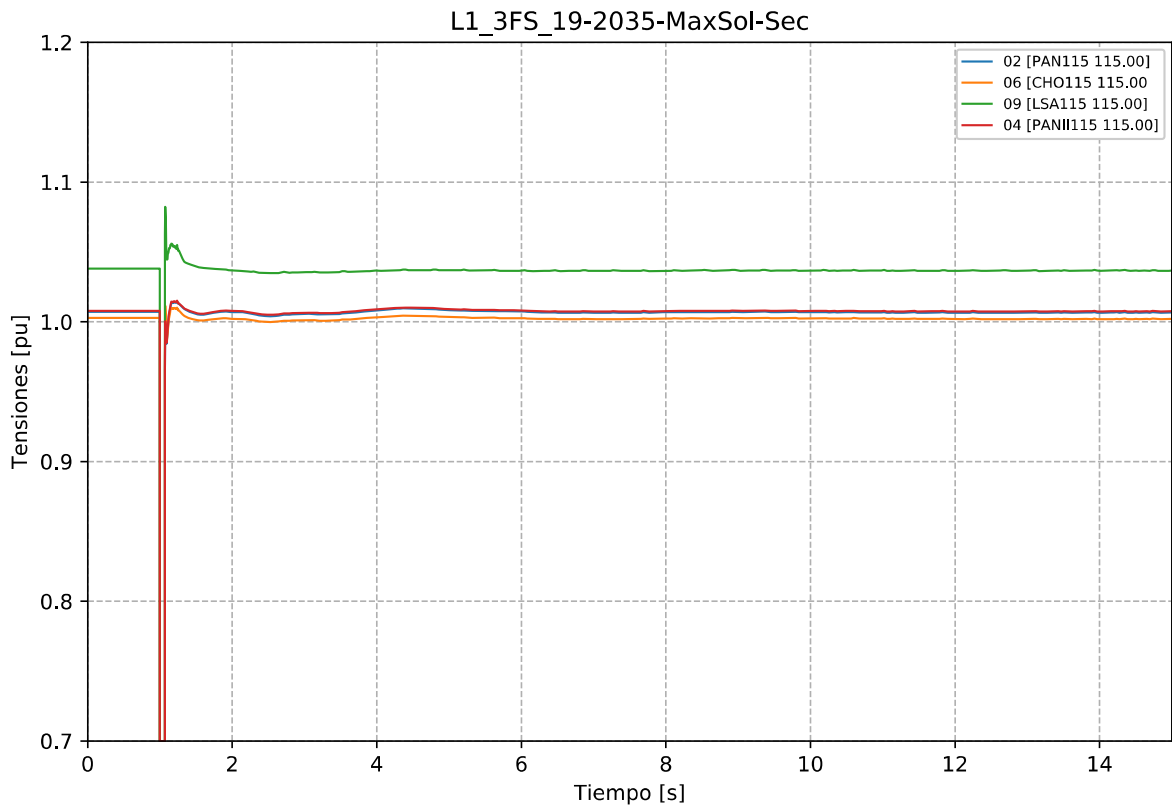


Gráfico 175. Evento L1\_3FS, caso 19-2035-MaxSol-Sec. Tensiones en la zona de influencia 115 kV.

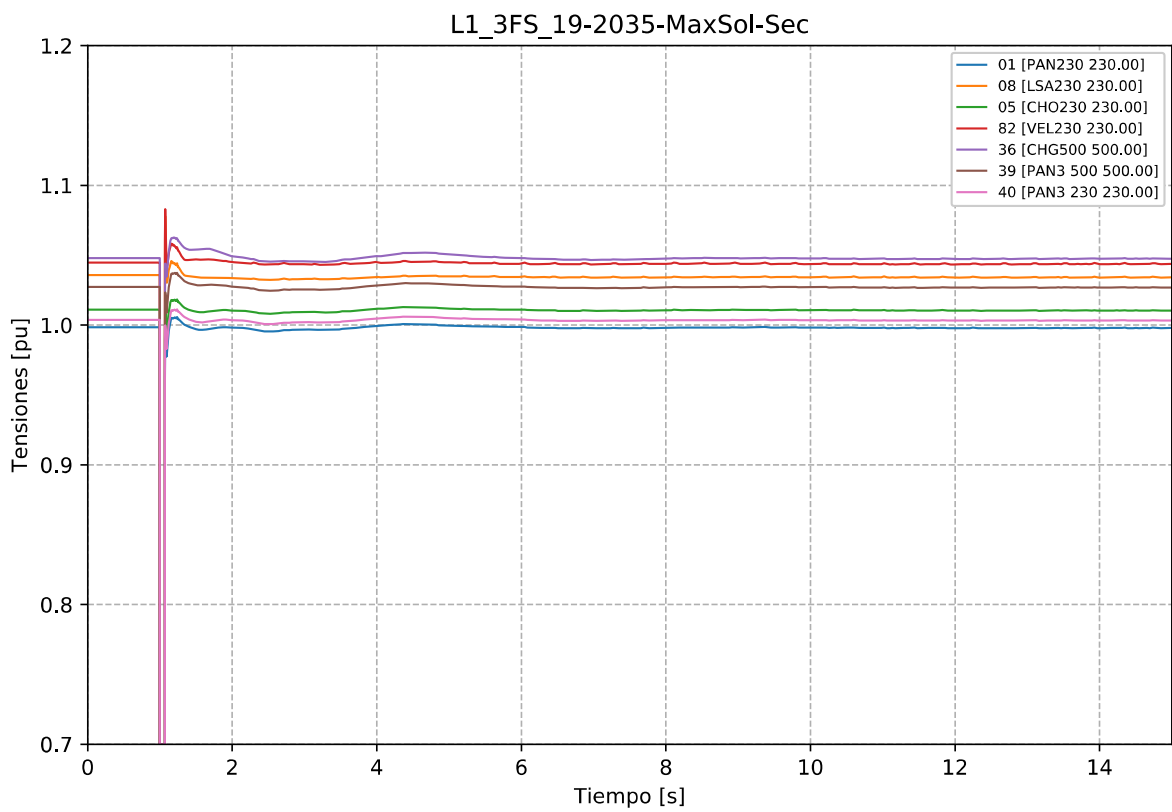


Gráfico 176. Evento L1\_3FS, caso 19-2035-MaxSol-Sec. Tensiones en la zona de influencia 230 kV.

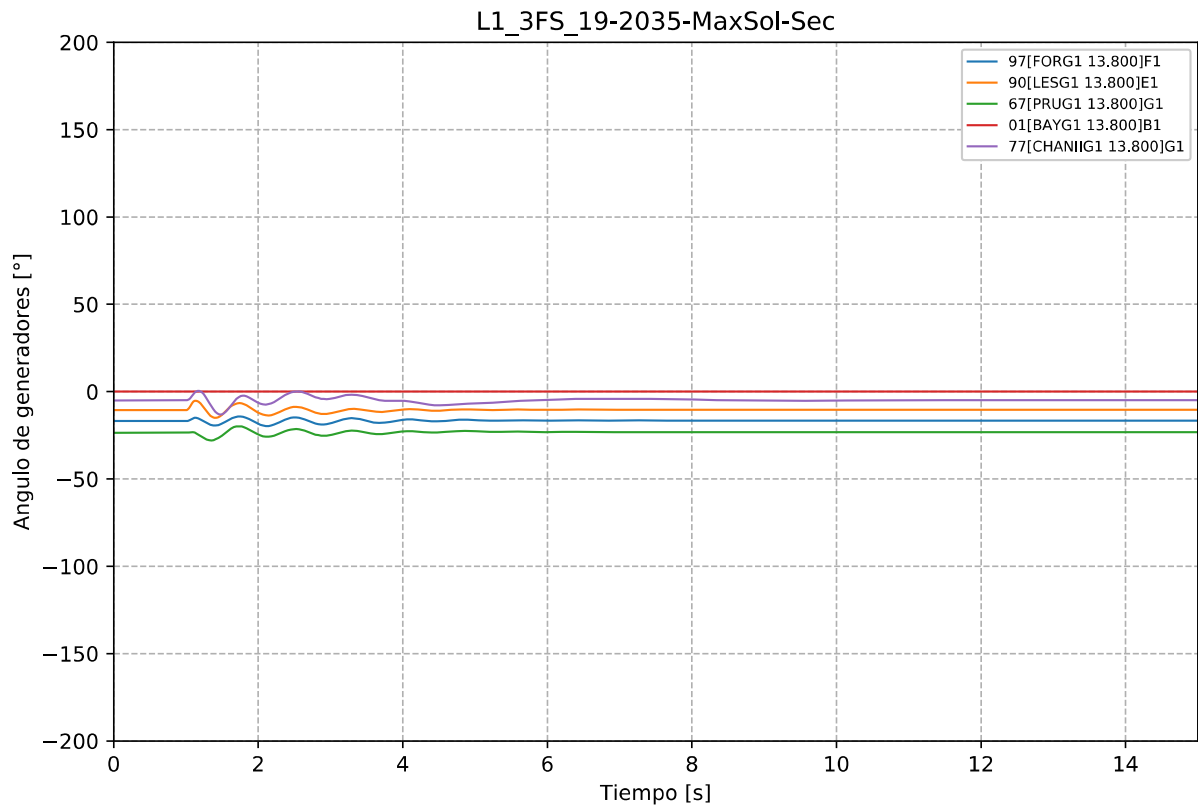


Gráfico 177. Evento L1\_3FS, caso 19-2035-MaxSol-Sec. Ángulo de Generadores Hidroeléctricos.

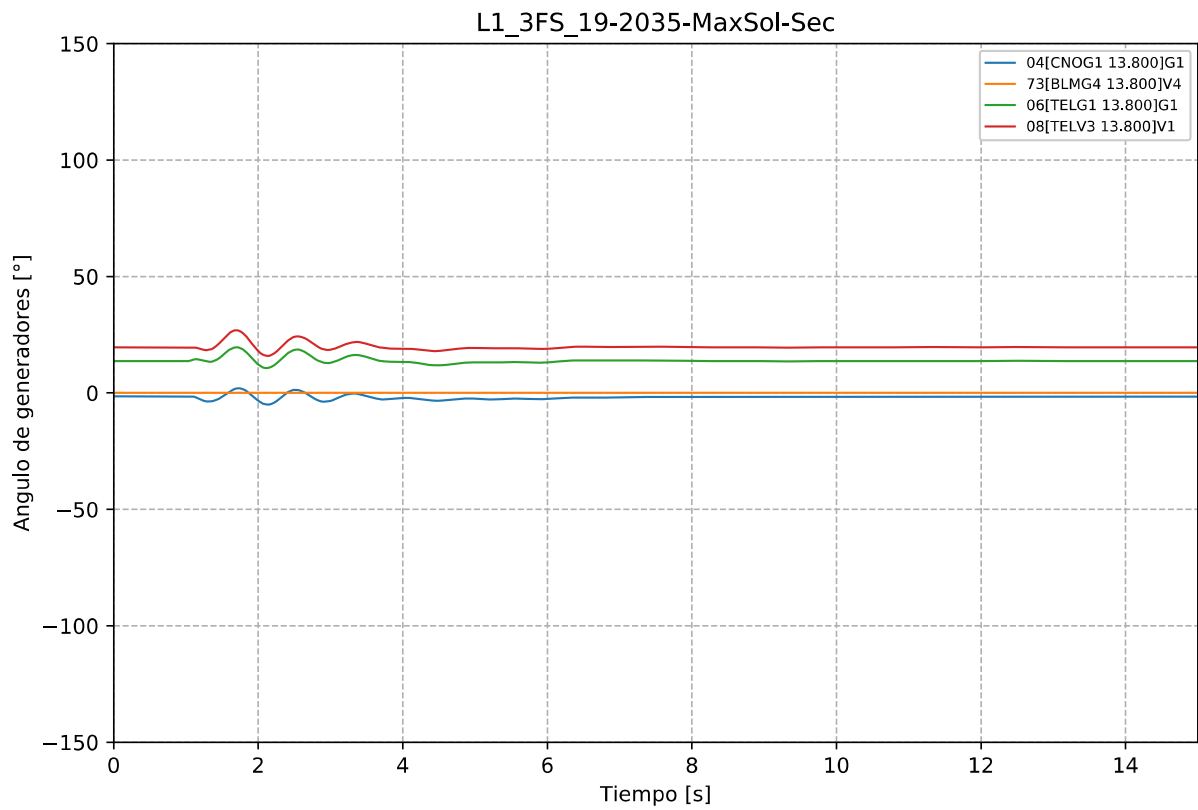


Gráfico 178. Evento L1\_3FS, caso 19-2035-MaxSol-Sec. Ángulo de generadores Térmicos.

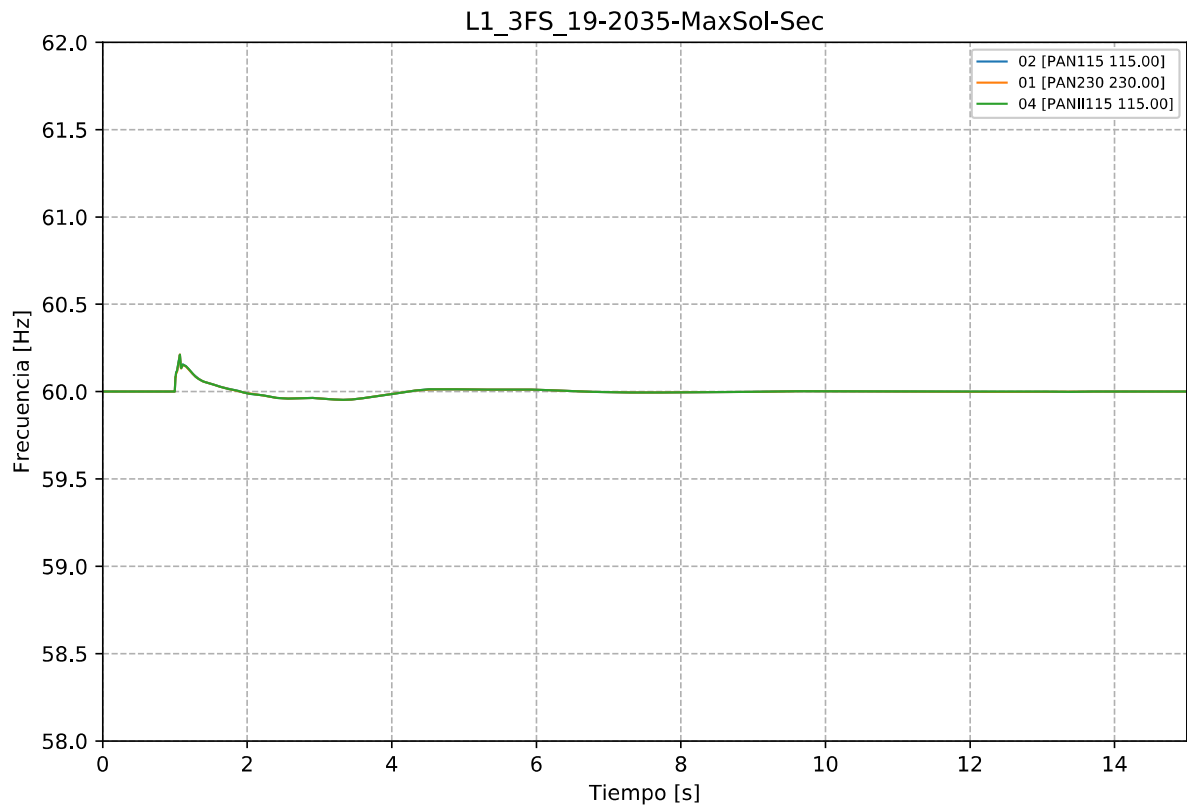


Gráfico 179. Evento L1\_3FS, caso 19-2035-MaxSol-Sec. Frecuencia.

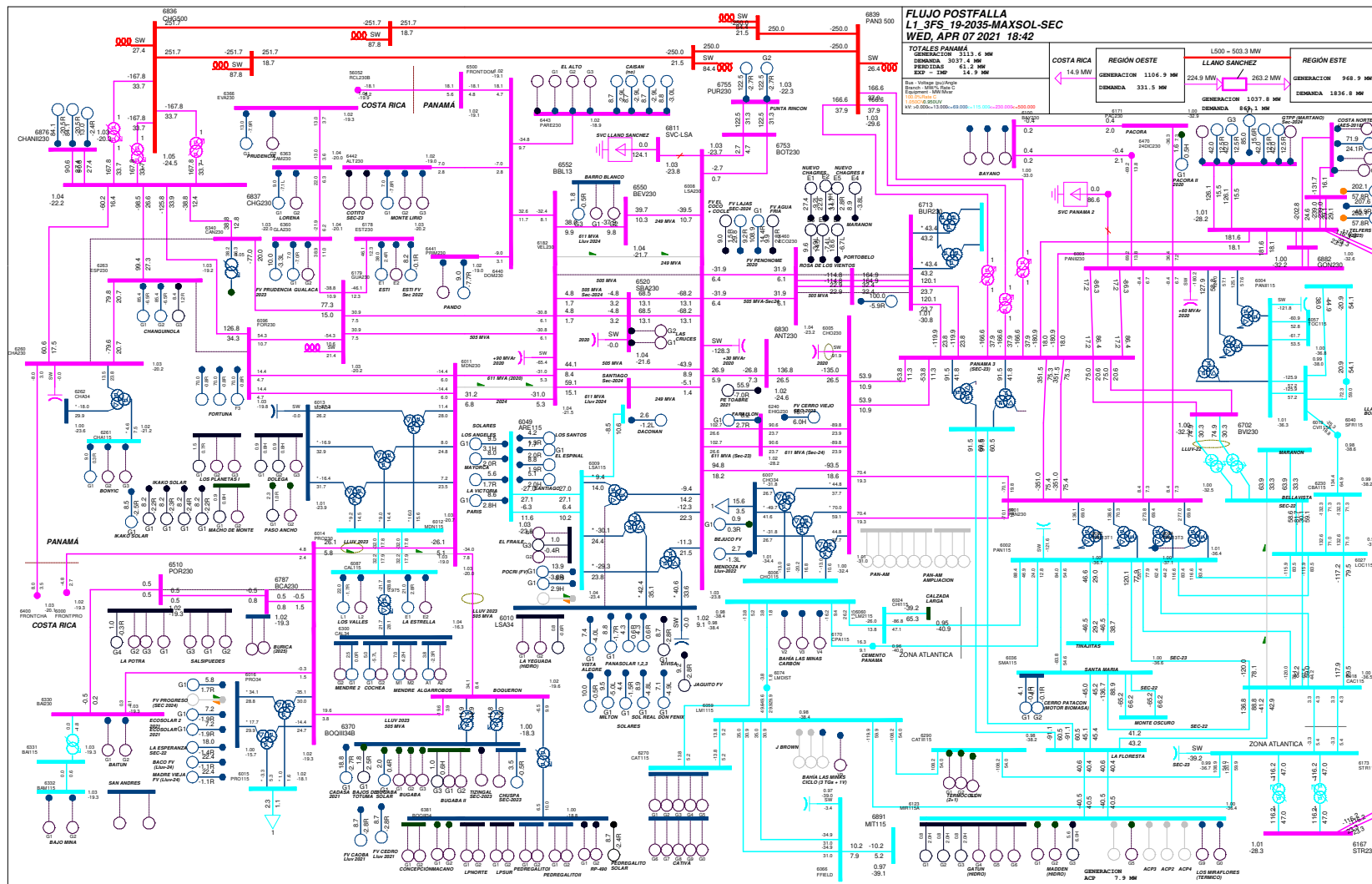


Gráfico 180. Evento L1\_3FS, caso 19-2035-MaxSol-Sec. Flujo postfalla

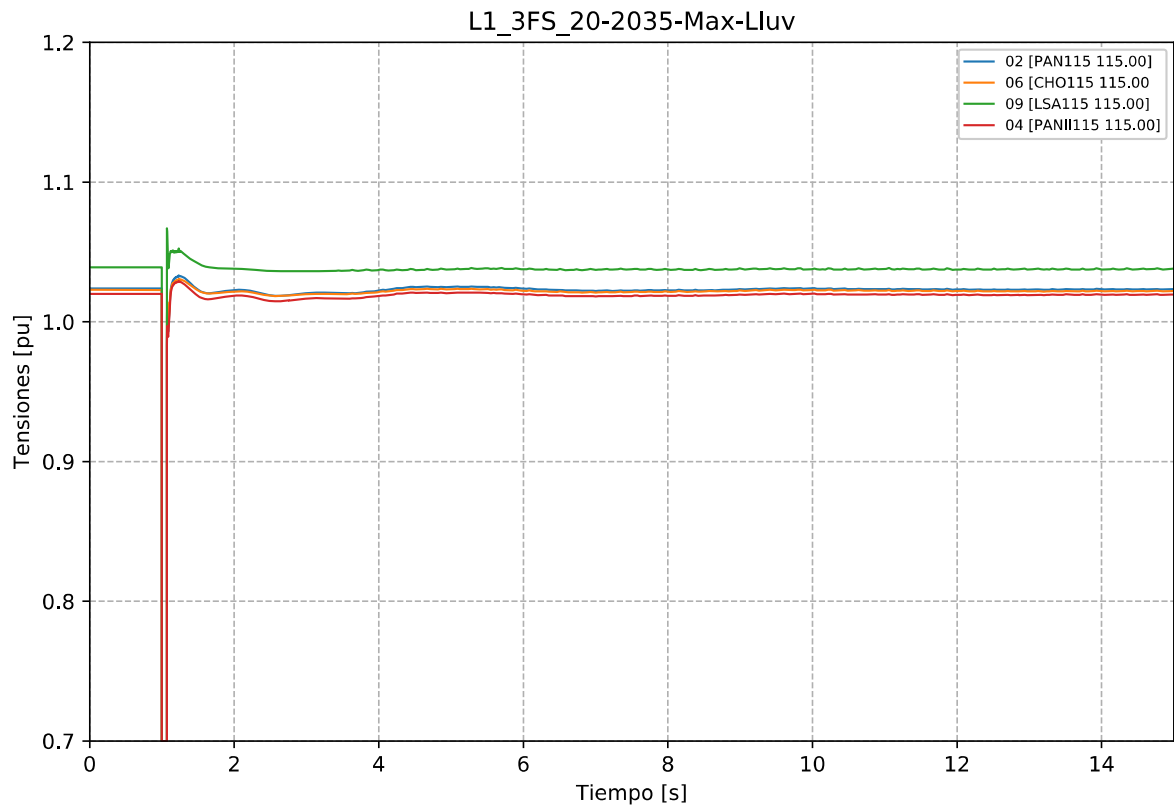


Gráfico 181. Evento L1\_3FS, caso 20-2035-Max-Lluv. Tensiones en la zona de influencia 115 kV.

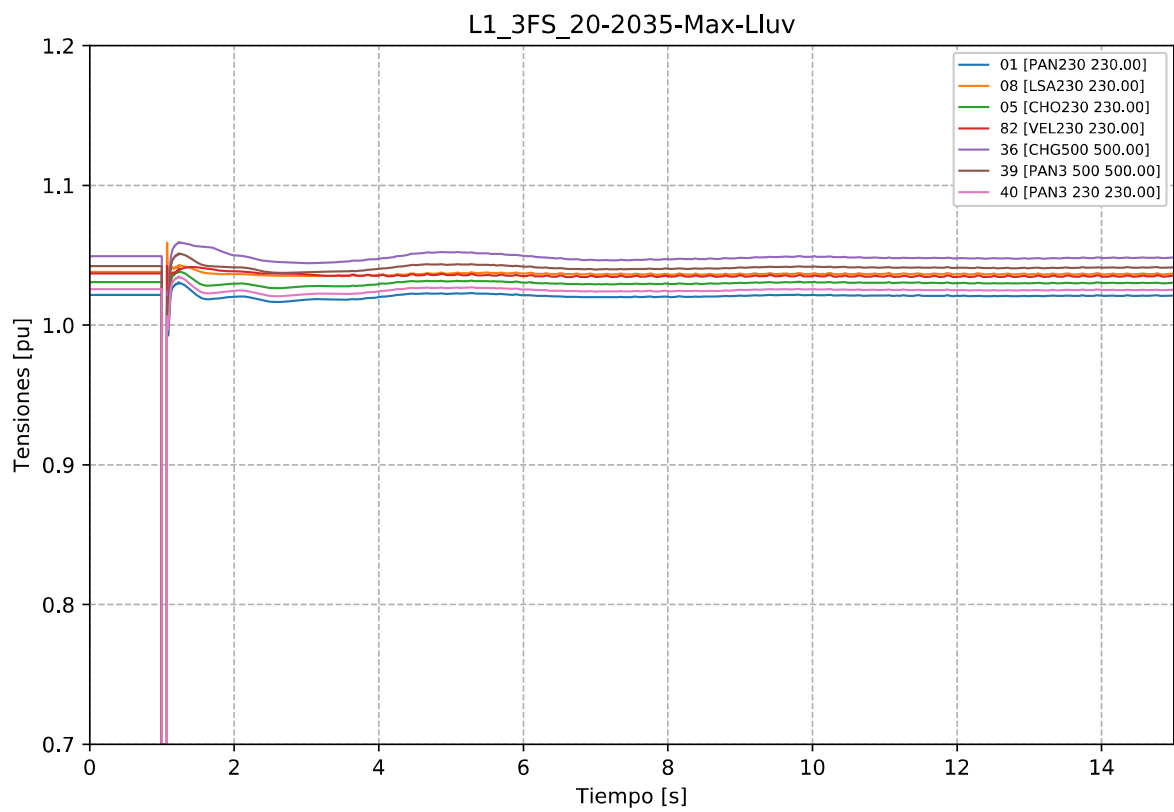


Gráfico 182. Evento L1\_3FS, caso 20-2035-Max-Lluv. Tensiones en la zona de influencia 230 kV.

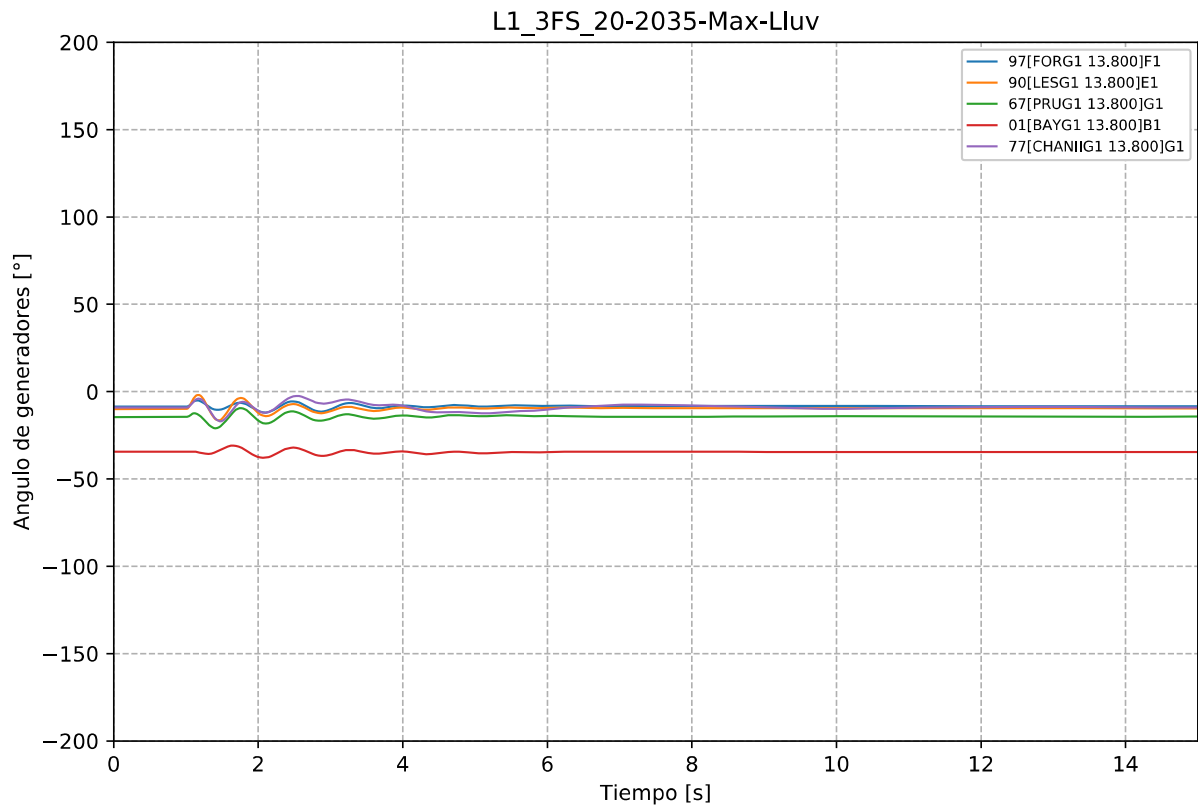


Gráfico 183. Evento L1\_3FS, caso 20-2035-Max-Lluv. Ángulo de Generadores Hidroeléctricos.

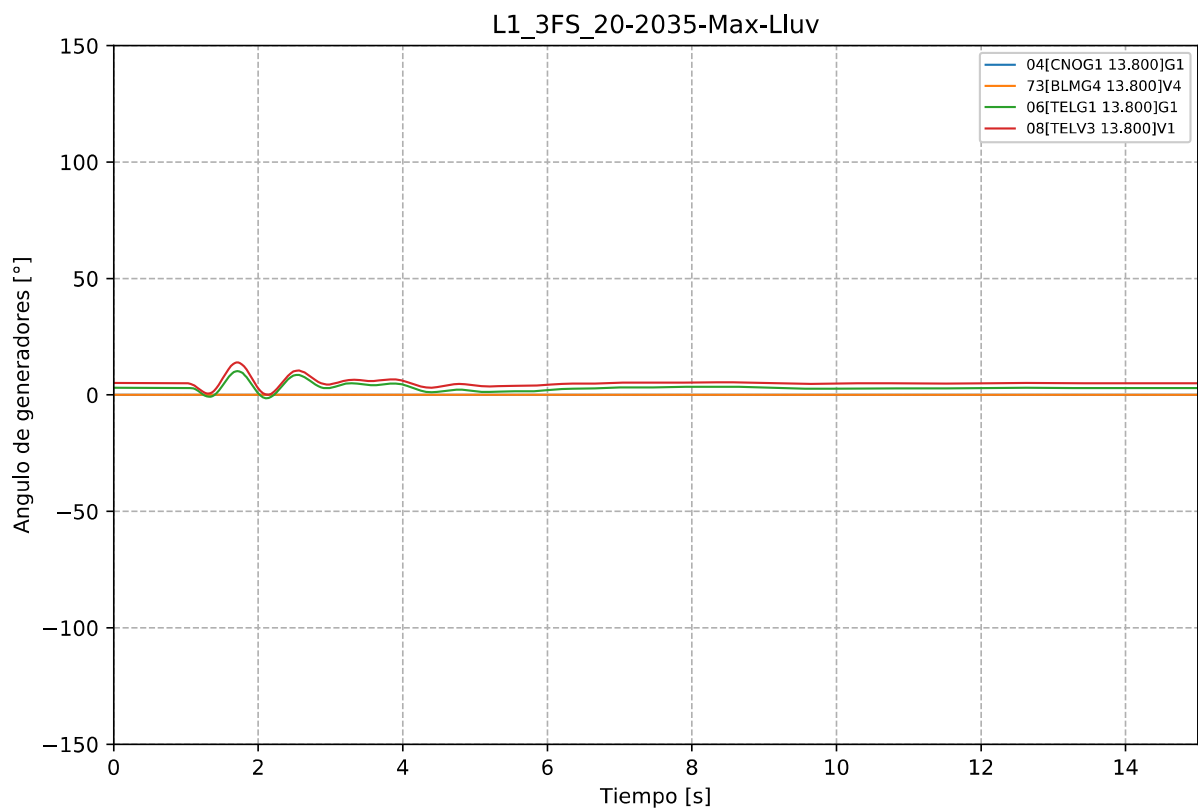


Gráfico 184. Evento L1\_3FS, caso 20-2035-Max-Lluv. Ángulo de generadores Térmicos.



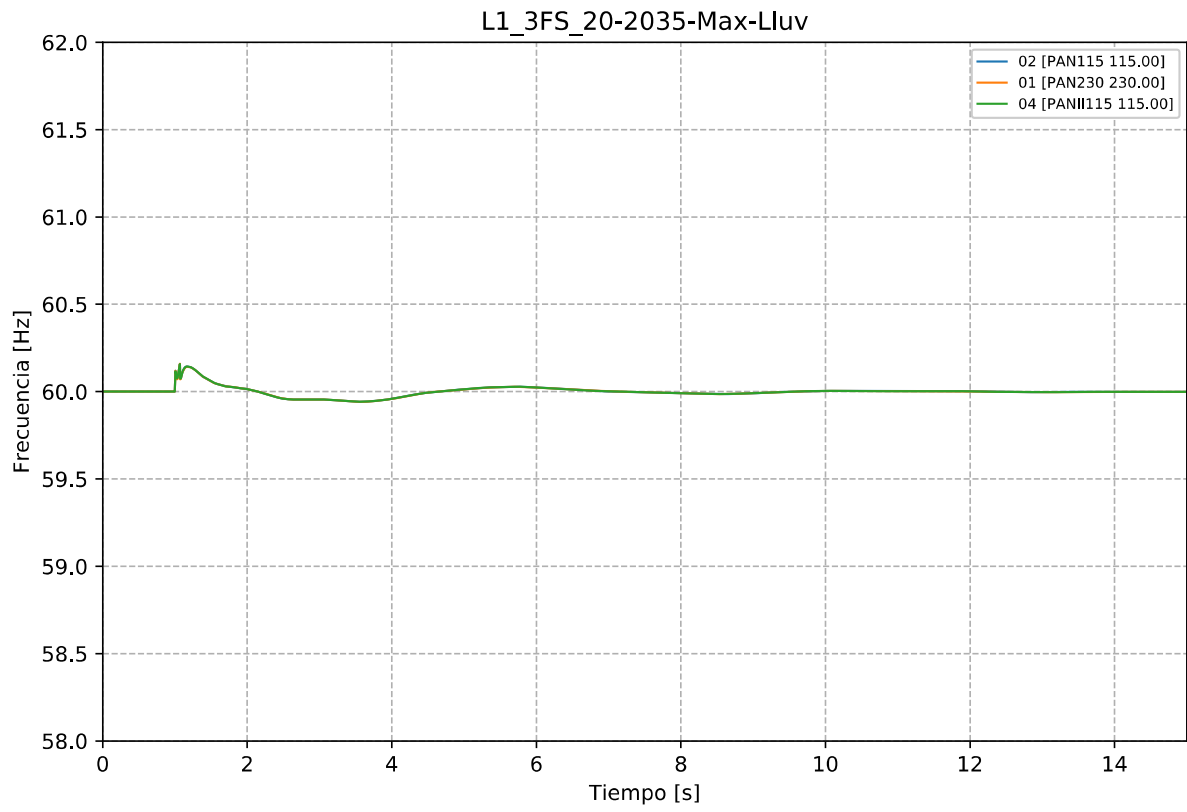


Gráfico 185. Evento L1\_3FS, caso 20-2035-Max-Lluv. Frecuencia.

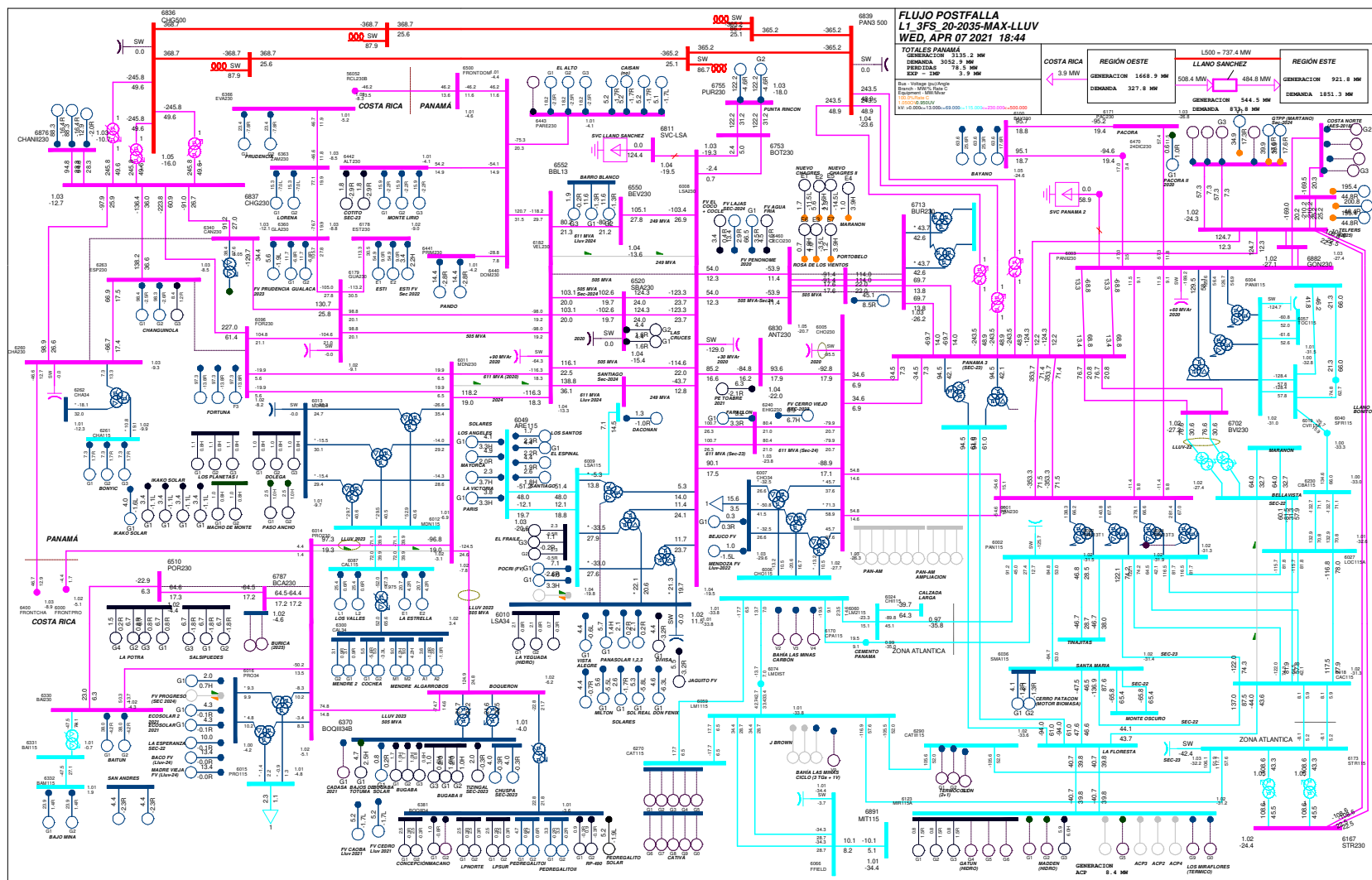


Gráfico 186. Evento L1\_3FS, caso 20-2035-Max-Lluv. Flujo postfalla

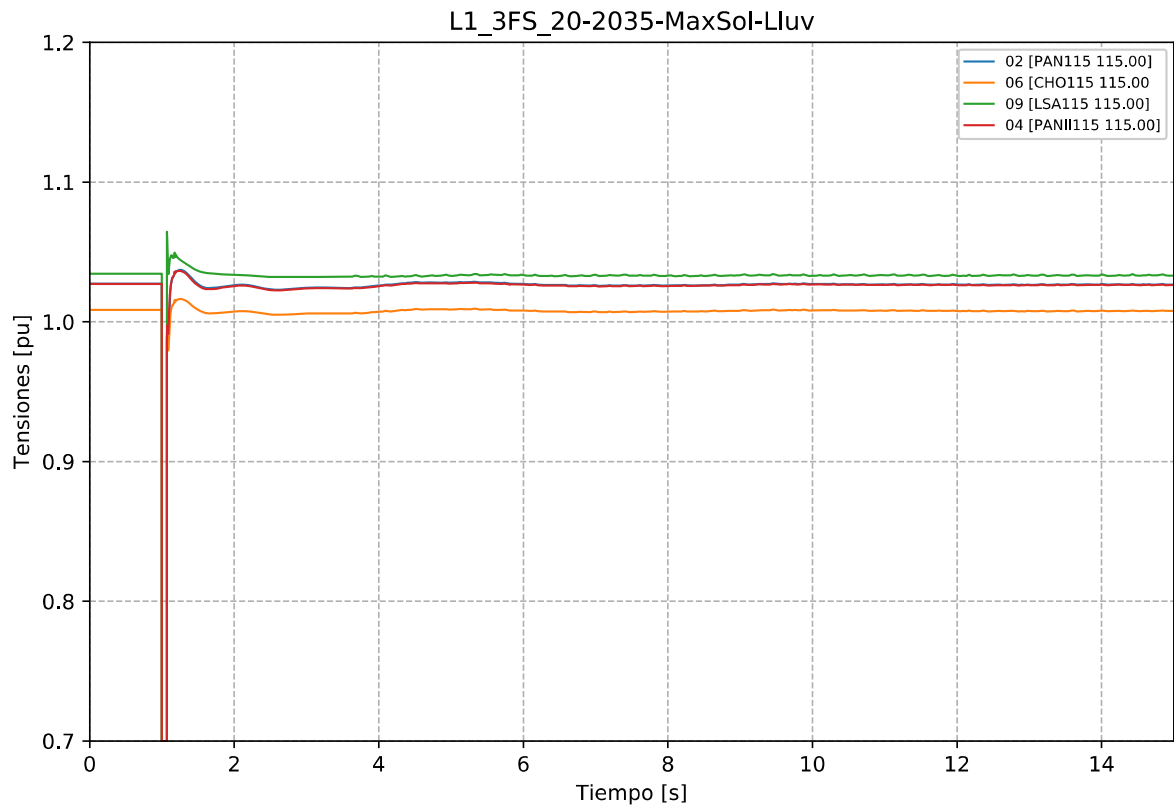


Gráfico 187. Evento L1\_3FS, caso 20-2035-MaxSol-Lluv. Tensiones en la zona de influencia 115 kV.

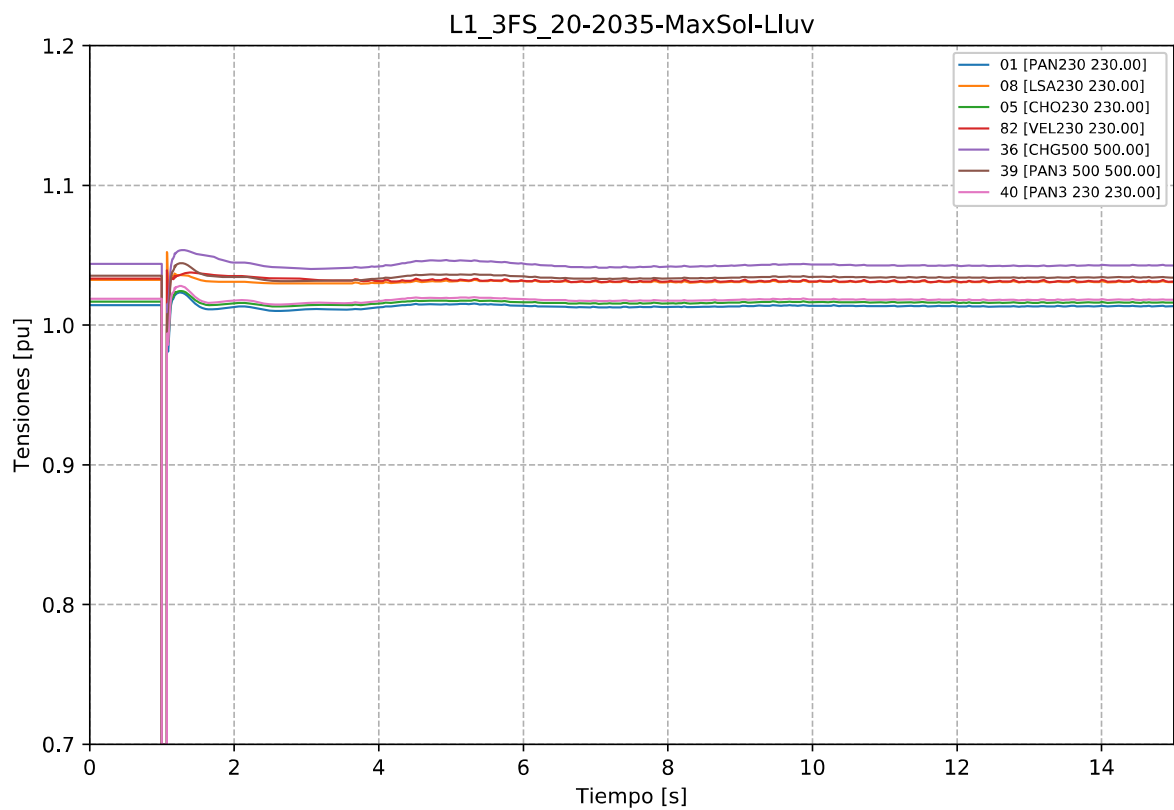


Gráfico 188. Evento L1\_3FS, caso 20-2035-MaxSol-Lluv. Tensiones en la zona de influencia 230 kV.

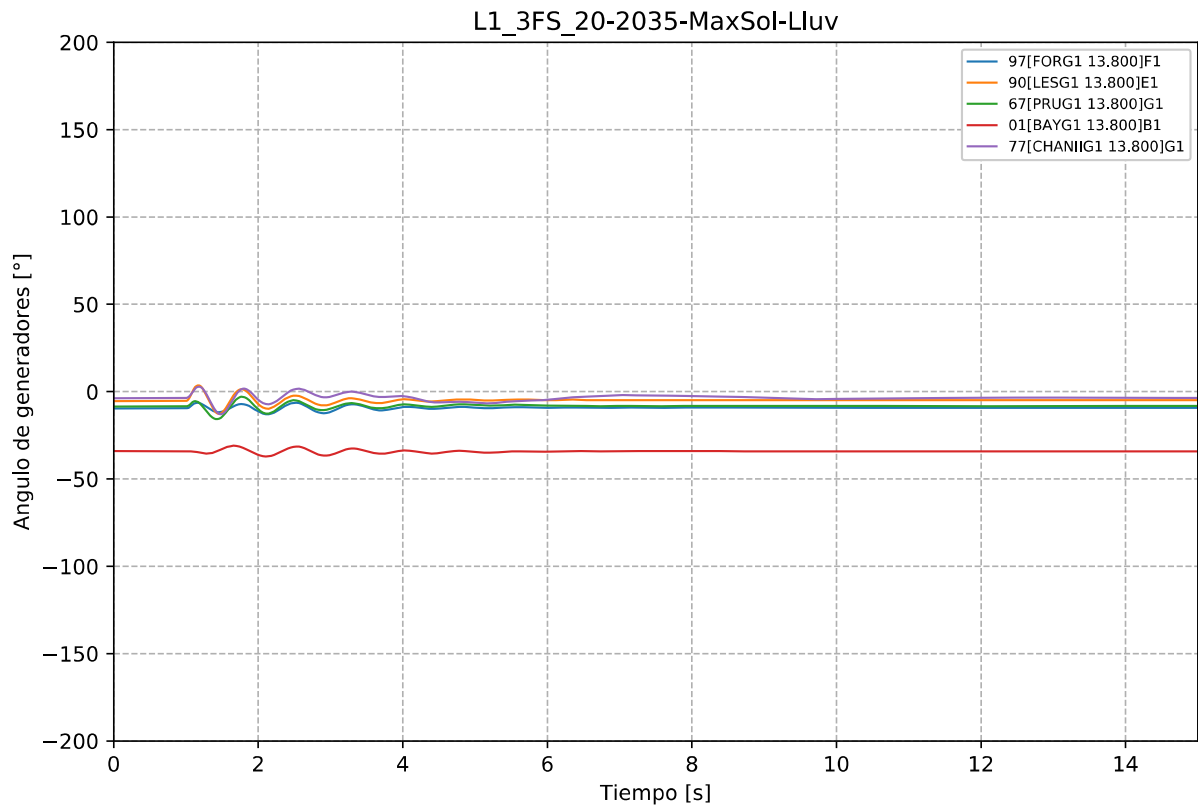


Gráfico 189. Evento L1\_3FS, caso 20-2035-MaxSol-Lluv. Ángulo de Generadores Hidroeléctricos.

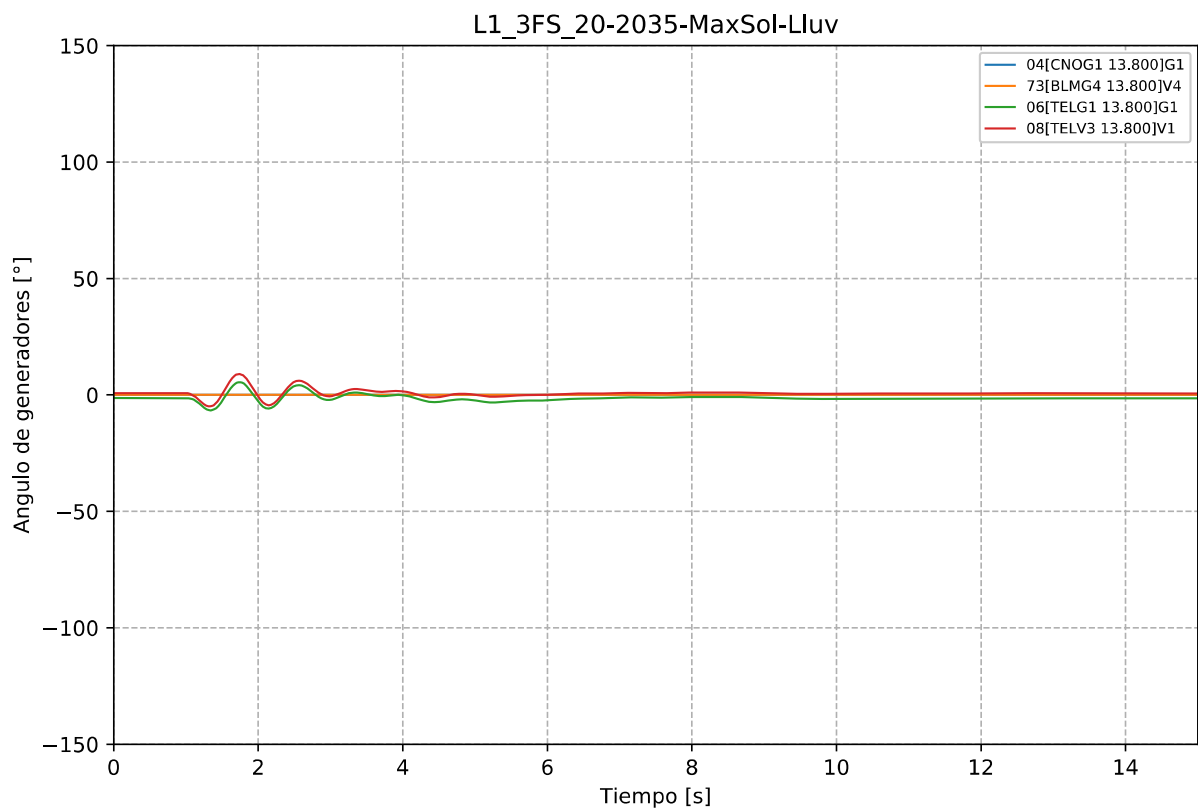


Gráfico 190. Evento L1\_3FS, caso 20-2035-MaxSol-Lluv. Ángulo de generadores Térmicos.

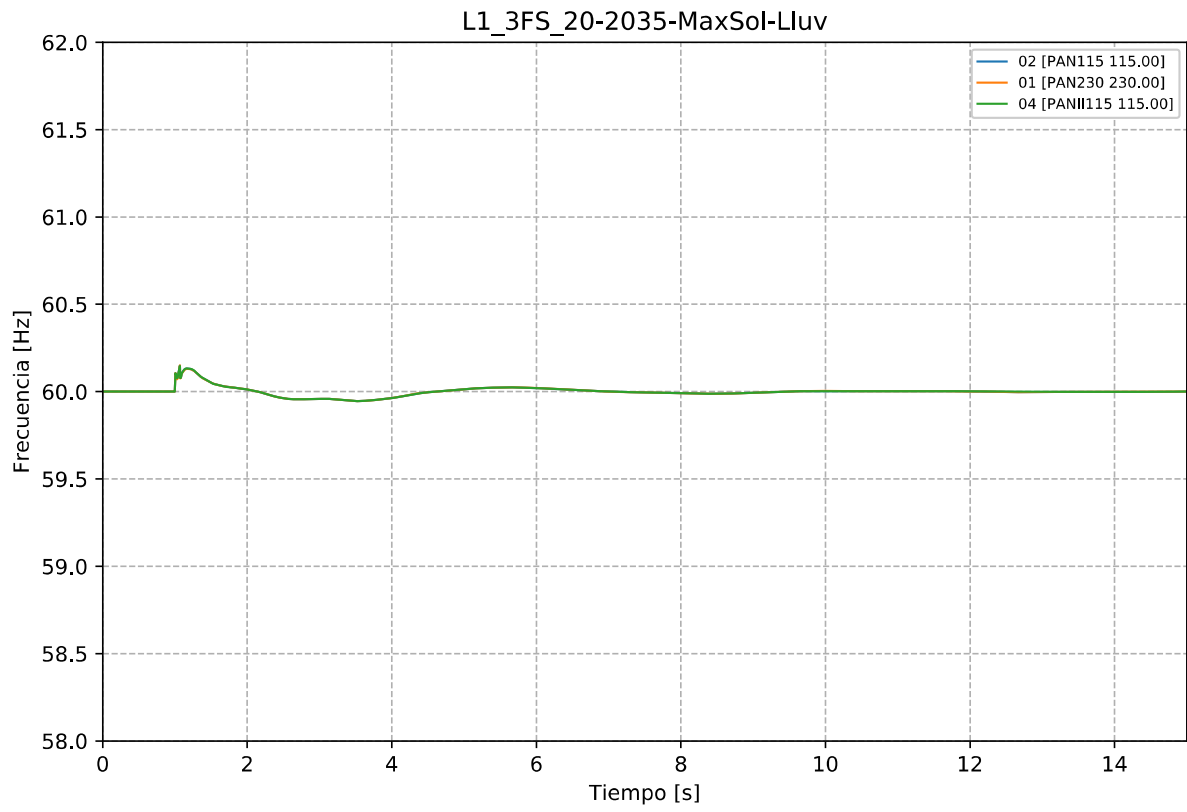


Gráfico 191. Evento L1\_3FS, caso 20-2035-MaxSol-Lluv. Frecuencia.

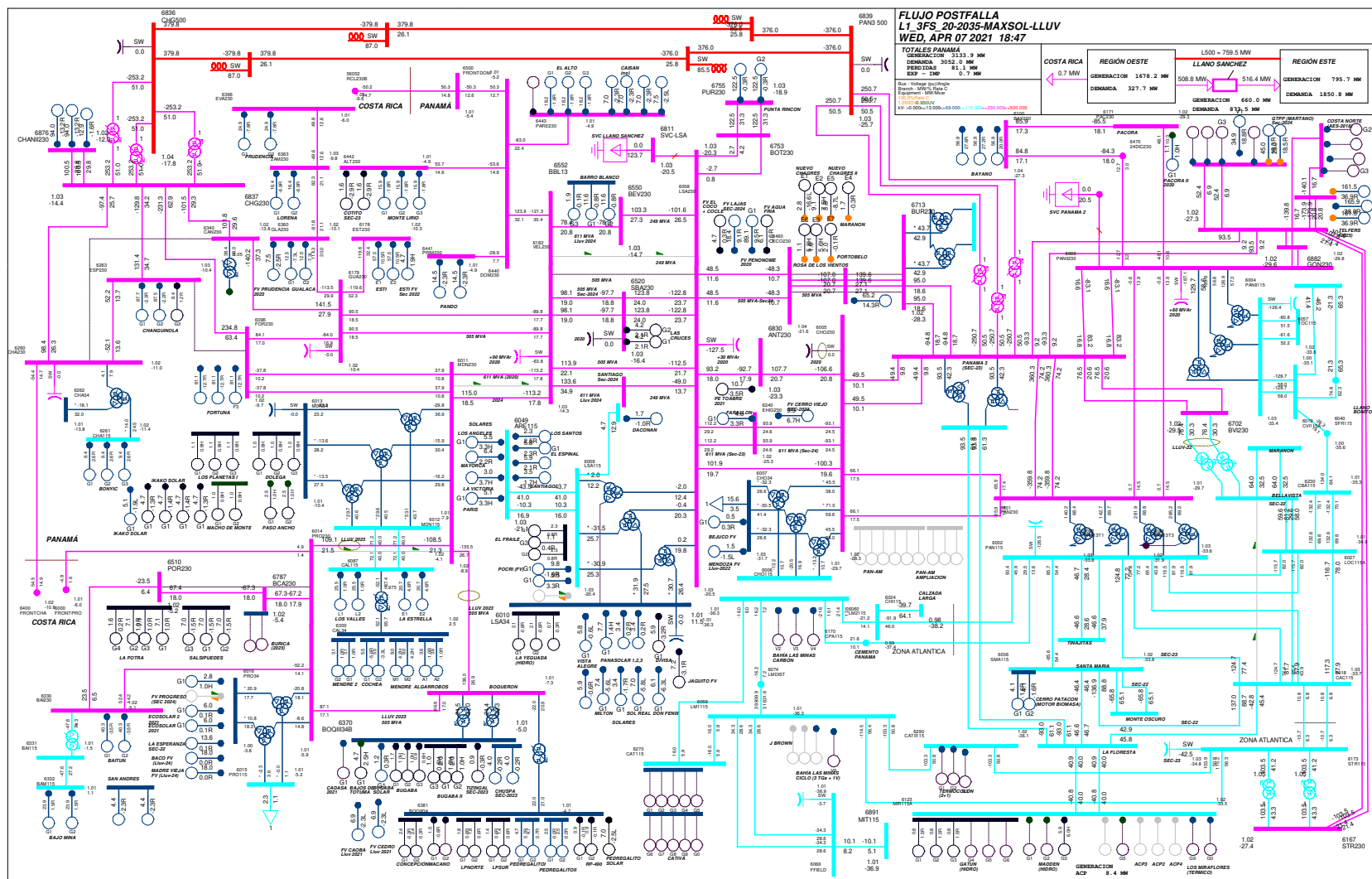


Gráfico 192. Evento L1\_3FS, caso 20-2035-MaxSol-Liuv. Flujo postfalla

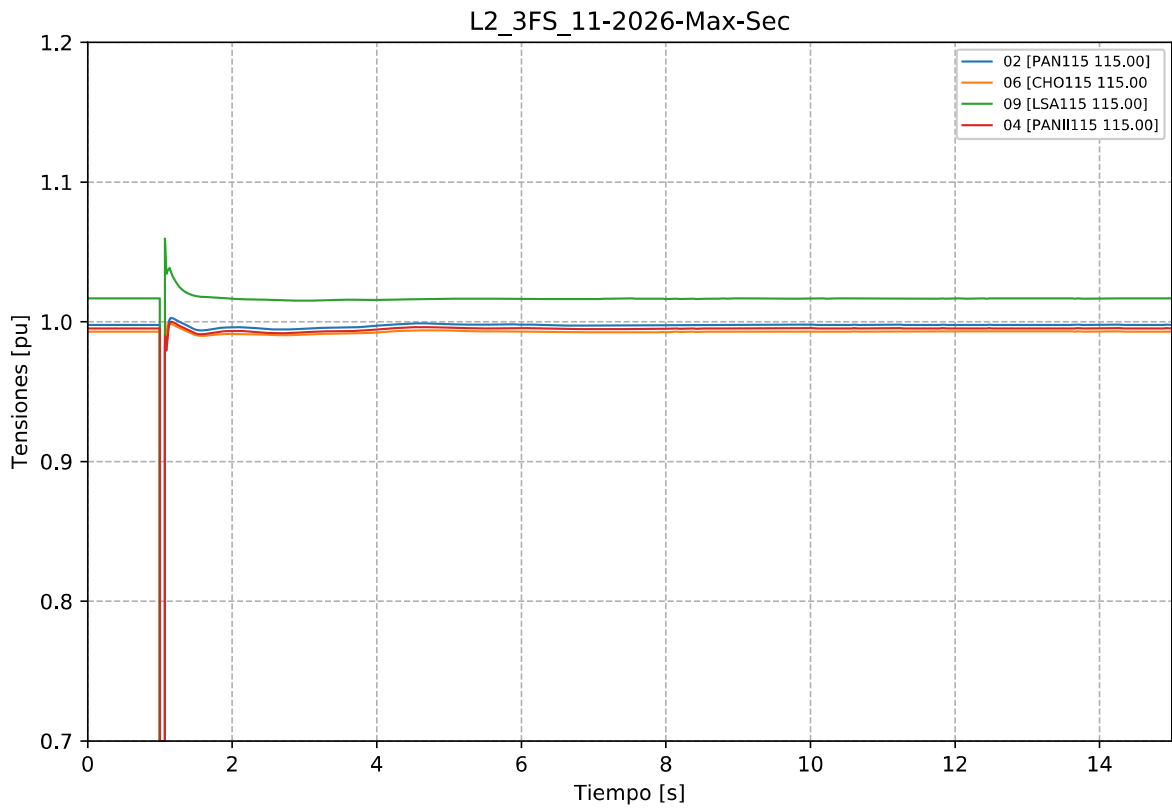


Gráfico 193. Evento L2\_3FS, caso 11-2026-Max-Sec. Tensiones en la zona de influencia 115 kV.

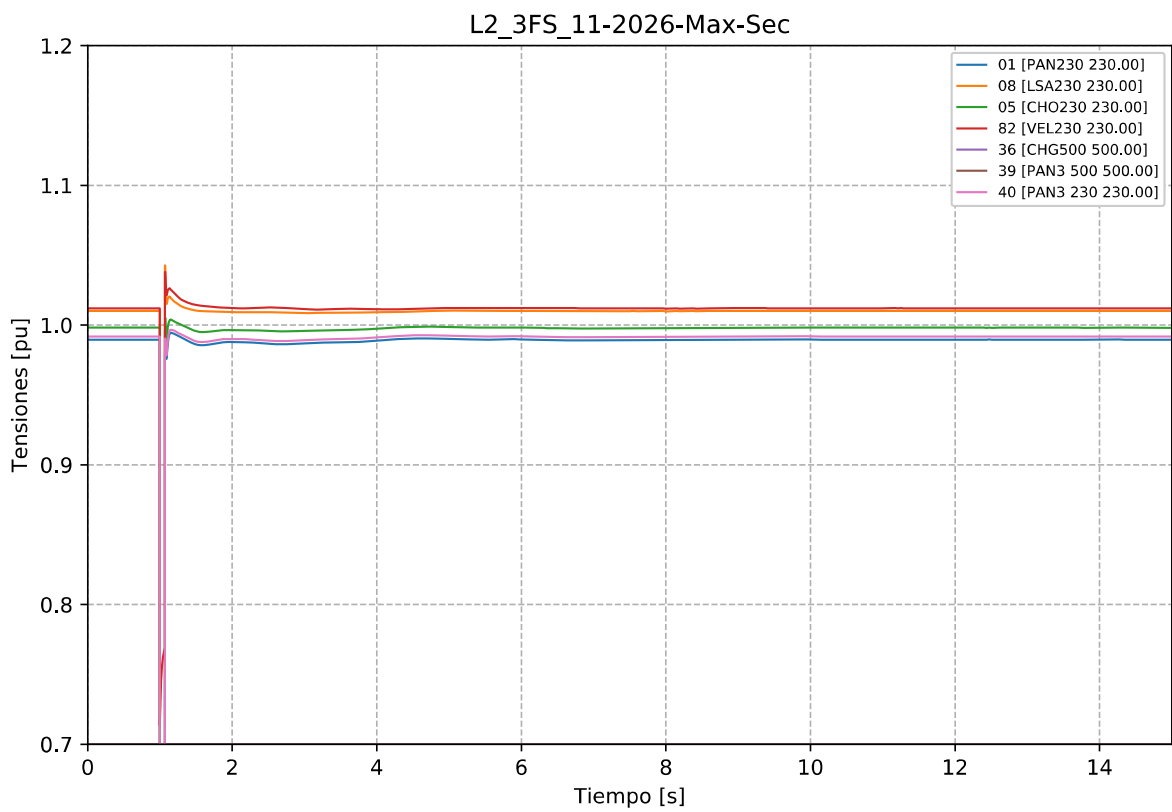


Gráfico 194. Evento L2\_3FS, caso 11-2026-Max-Sec. Tensiones en la zona de influencia 230 kV.

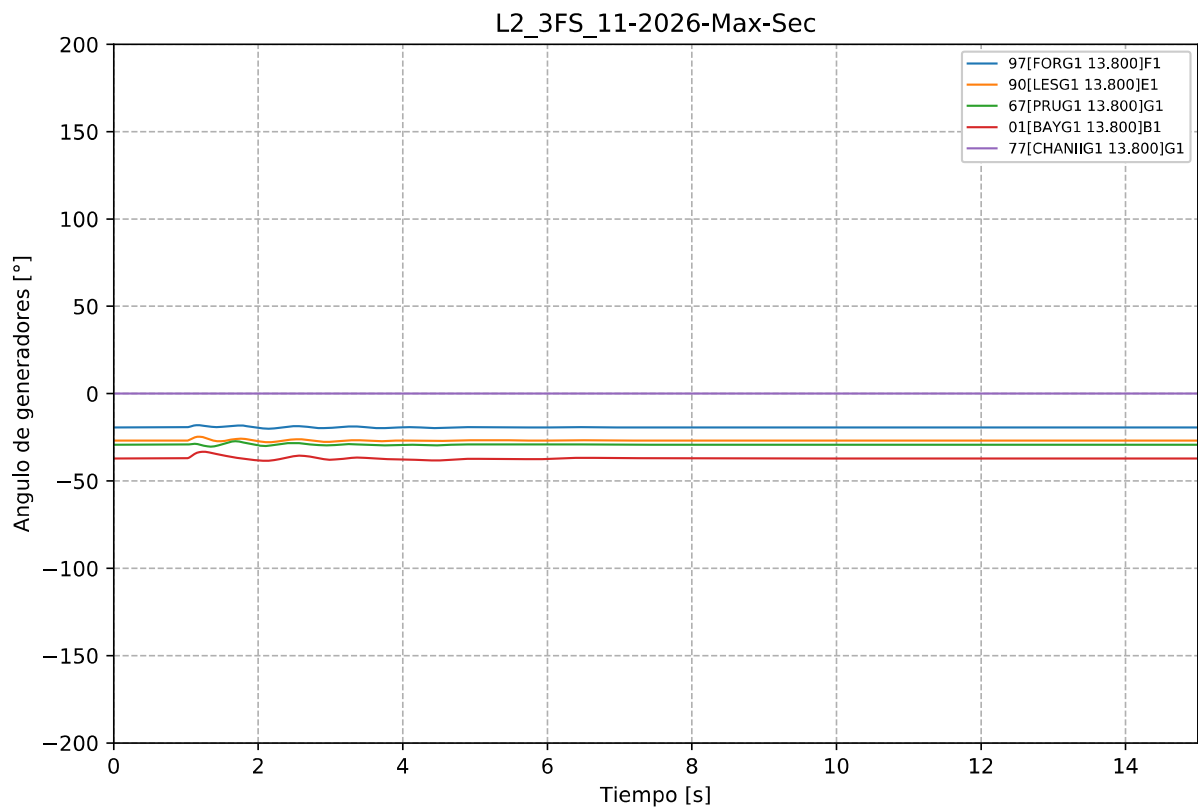


Gráfico 195. Evento L2\_3FS, caso 11-2026-Max-Sec. Ángulo de Generadores Hidroeléctricos.

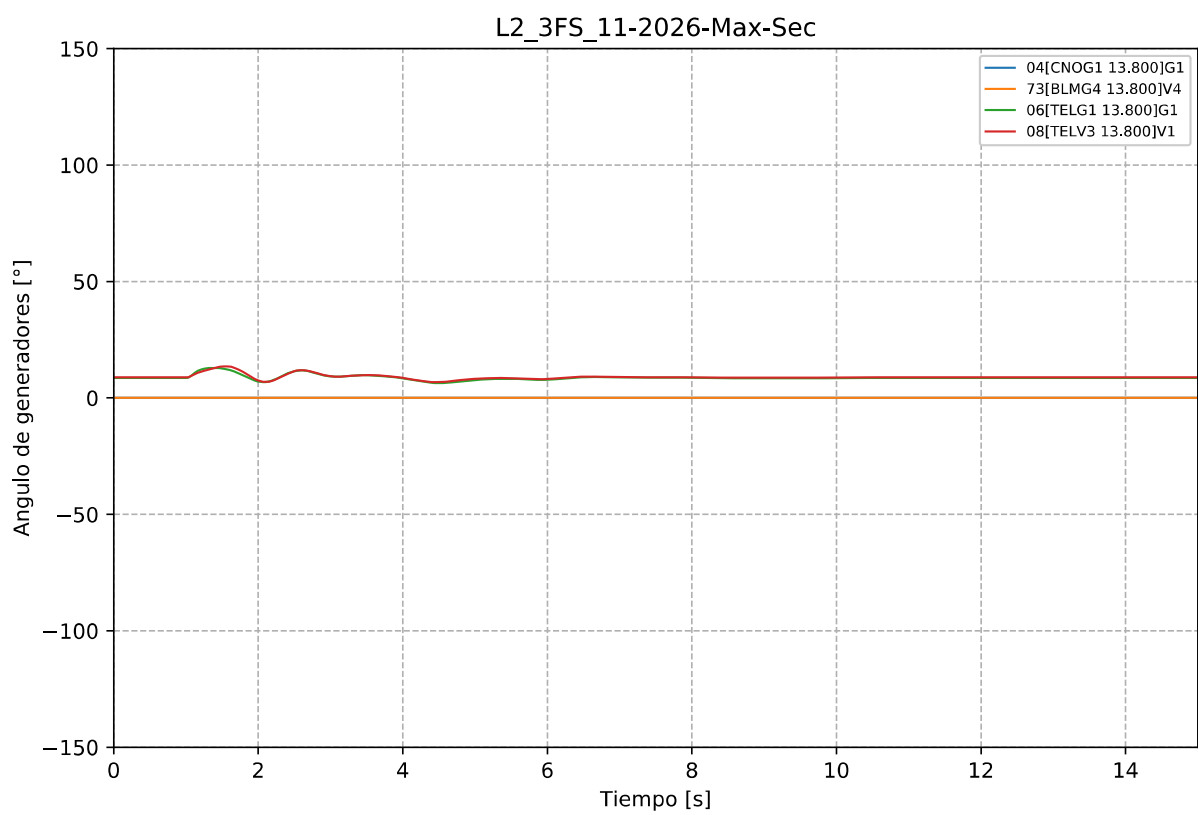


Gráfico 196. Evento L2\_3FS, caso 11-2026-Max-Sec. Ángulo de generadores Térmicos.



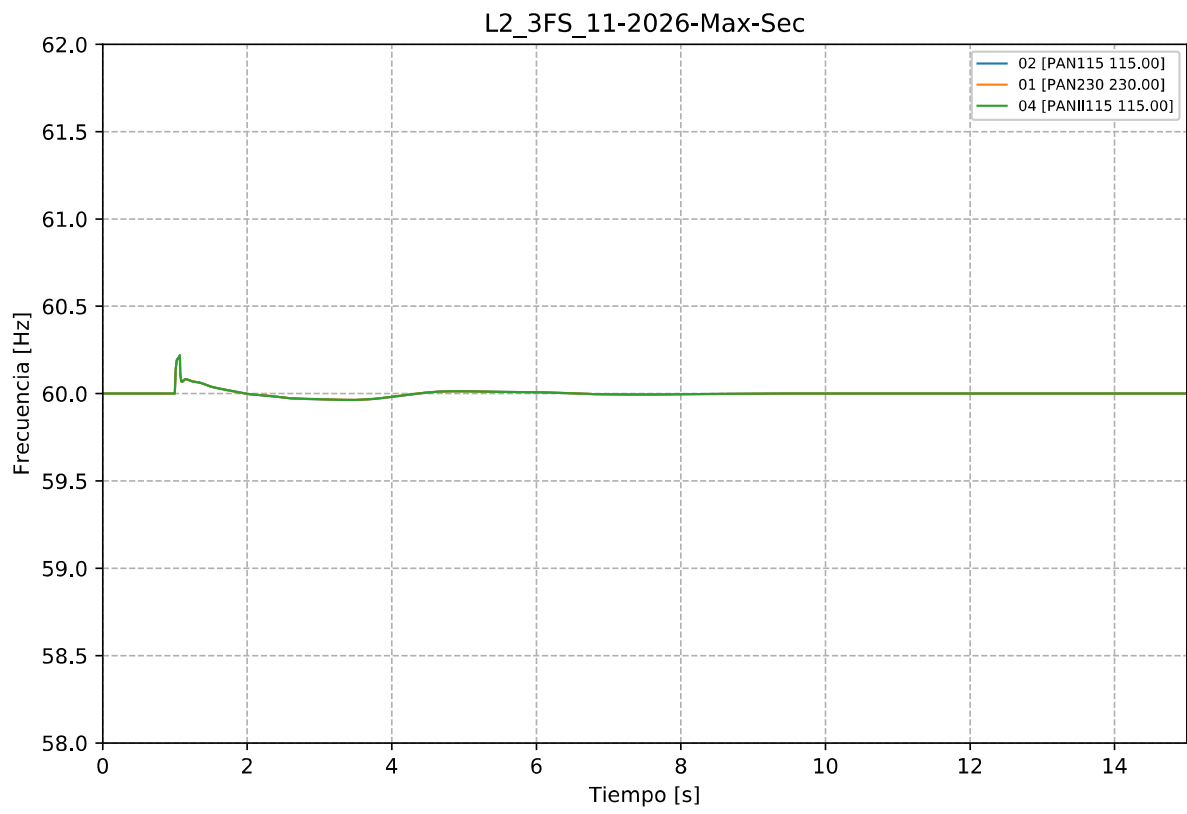


Gráfico 197. Evento L2\_3FS, caso 11-2026-Max-Sec. Frecuencia.

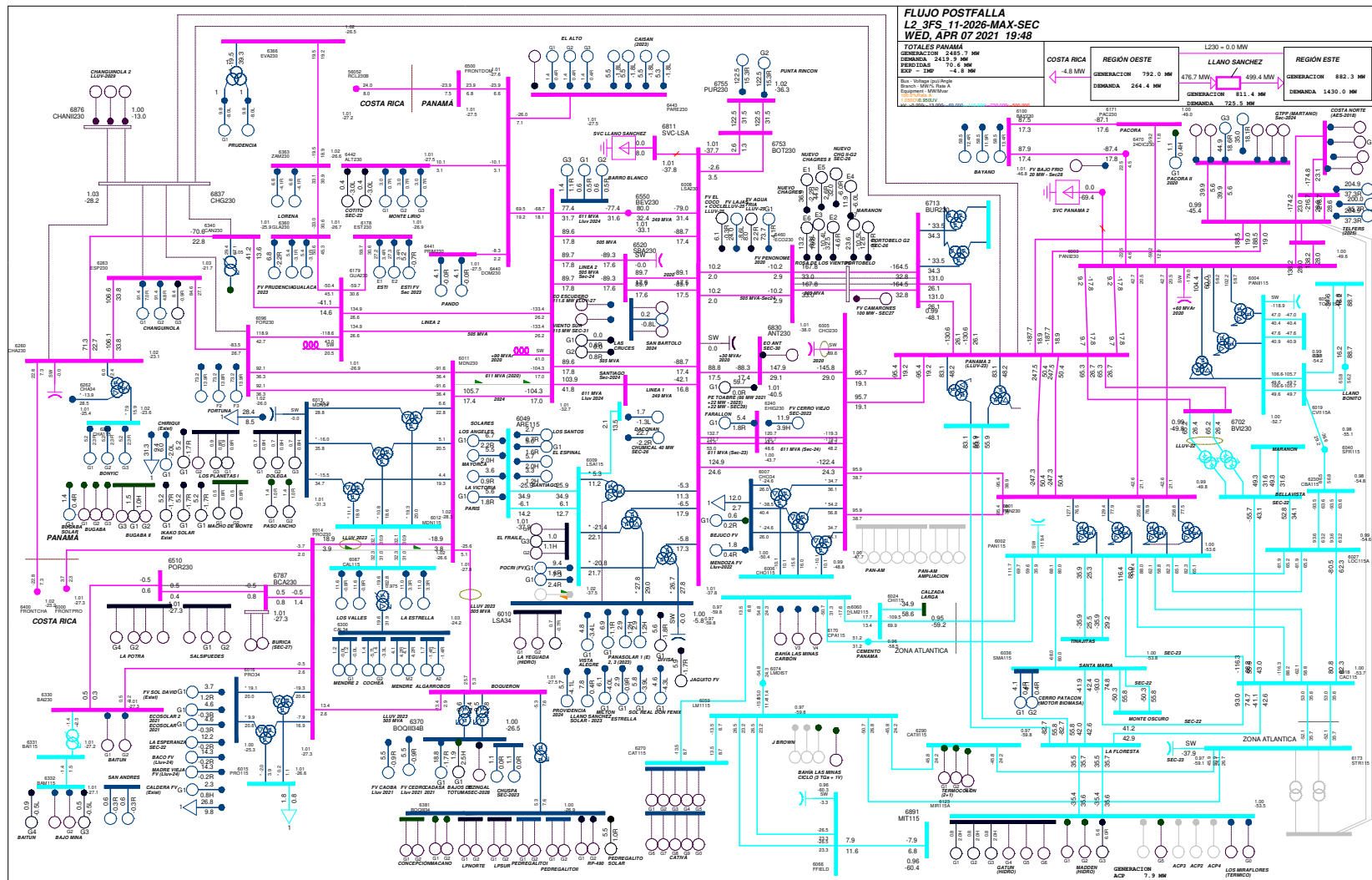


Gráfico 198. Evento L2\_3FS, caso 11-2026-Max-Sec. Flujo postfalla

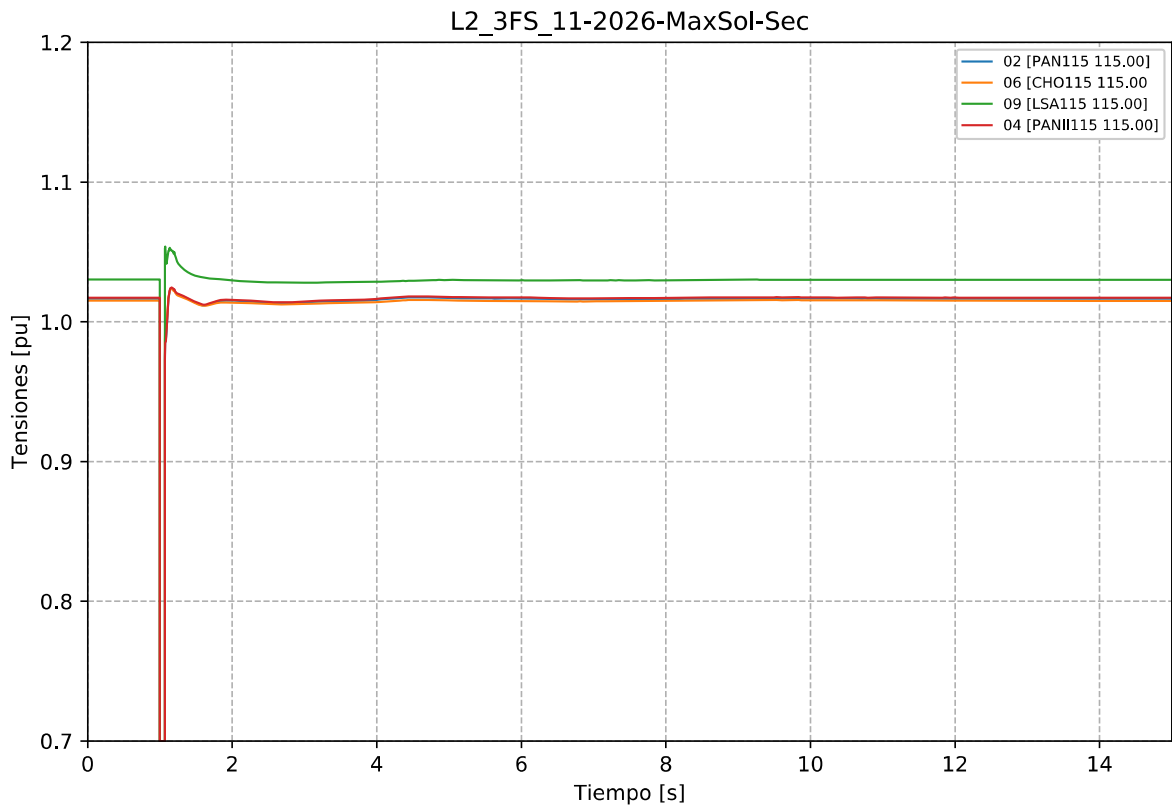


Gráfico 199. Evento L2\_3FS, caso 11-2026-MaxSol-Sec. Tensiones en la zona de influencia 115 kV.

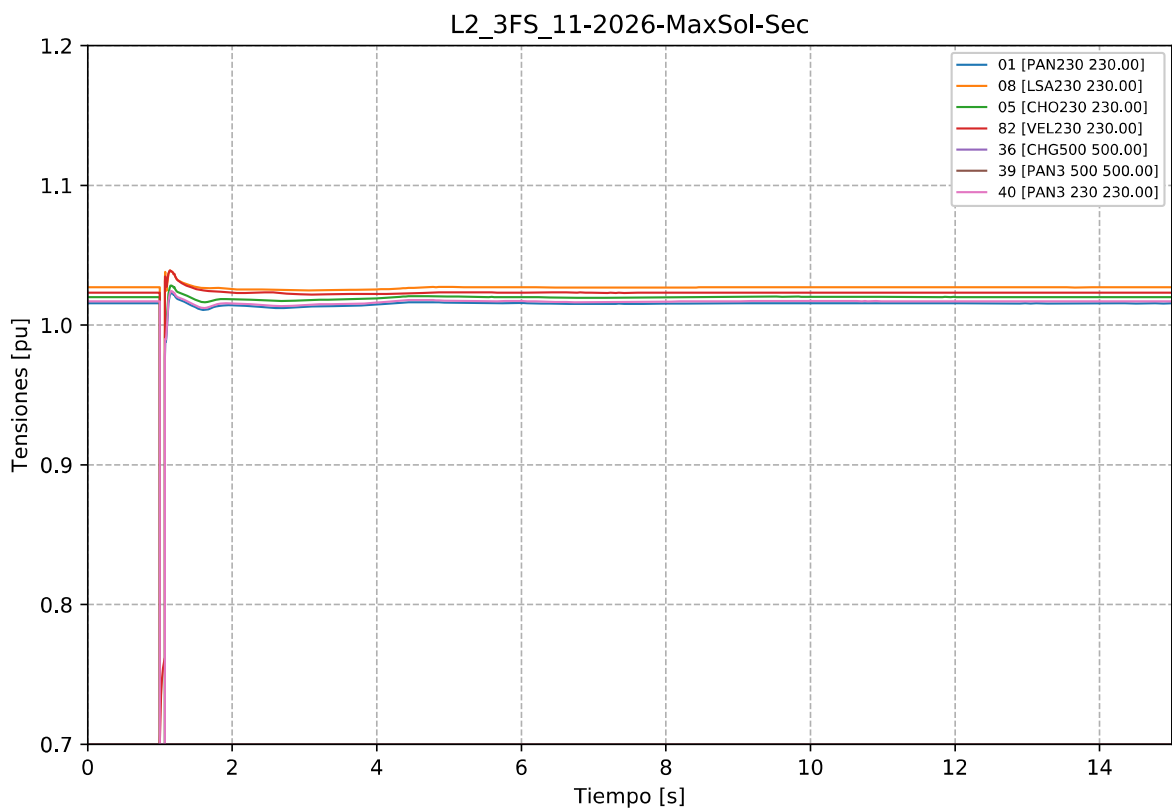


Gráfico 200. Evento L2\_3FS, caso 11-2026-MaxSol-Sec. Tensiones en la zona de influencia 230 kV.

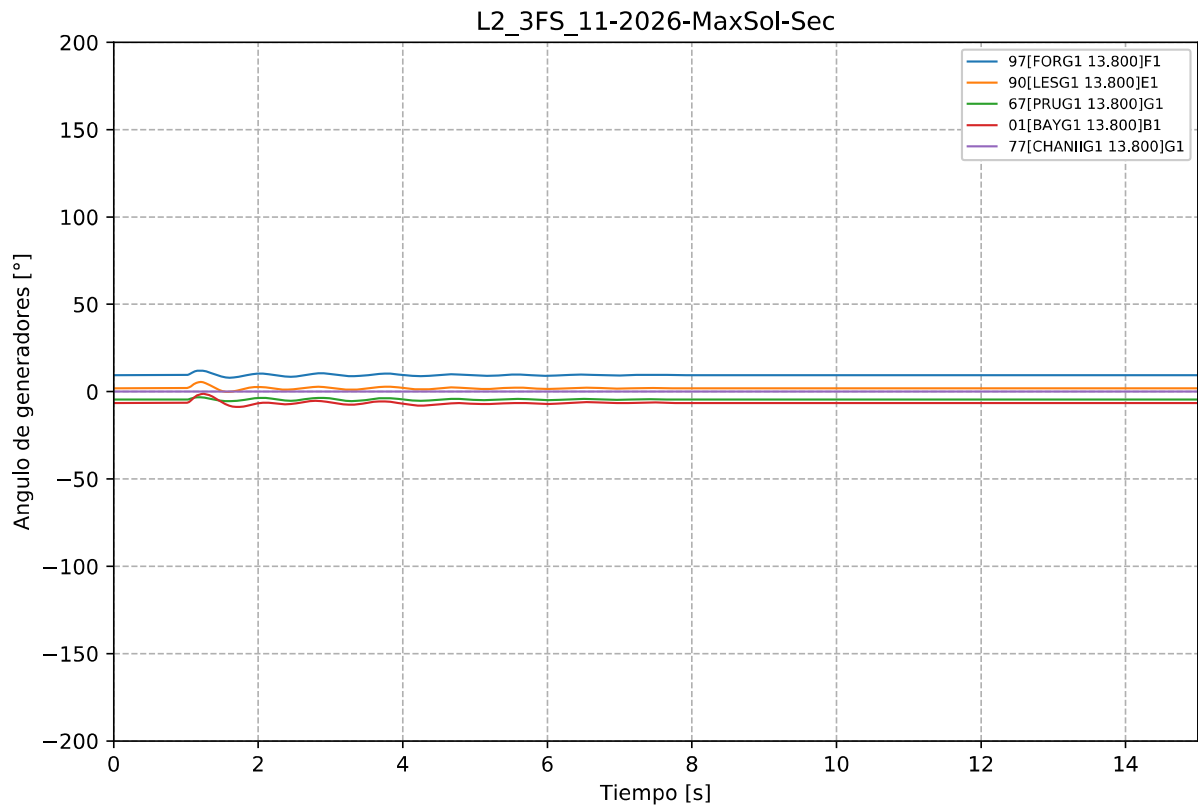


Gráfico 201. Evento L2\_3FS, caso 11-2026-MaxSol-Sec. Ángulo de Generadores Hidroeléctricos.

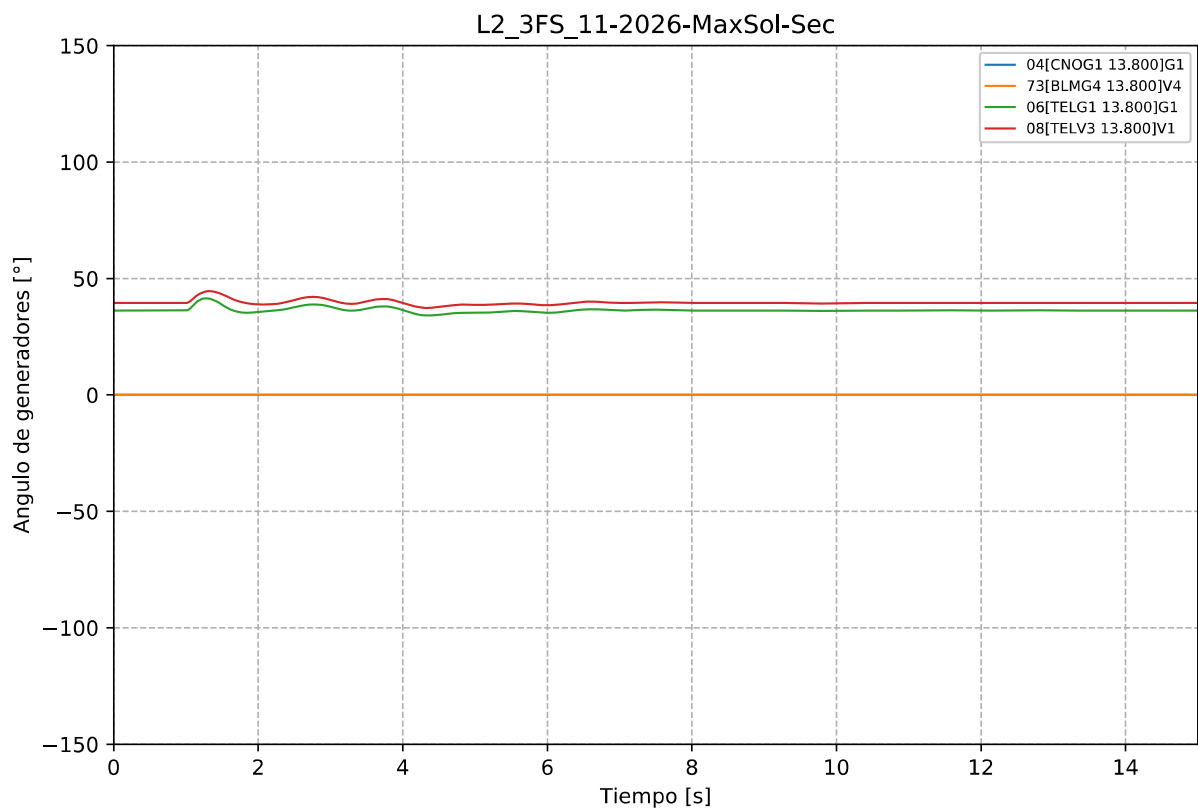


Gráfico 202. Evento L2\_3FS, caso 11-2026-MaxSol-Sec. Ángulo de generadores Térmicos.

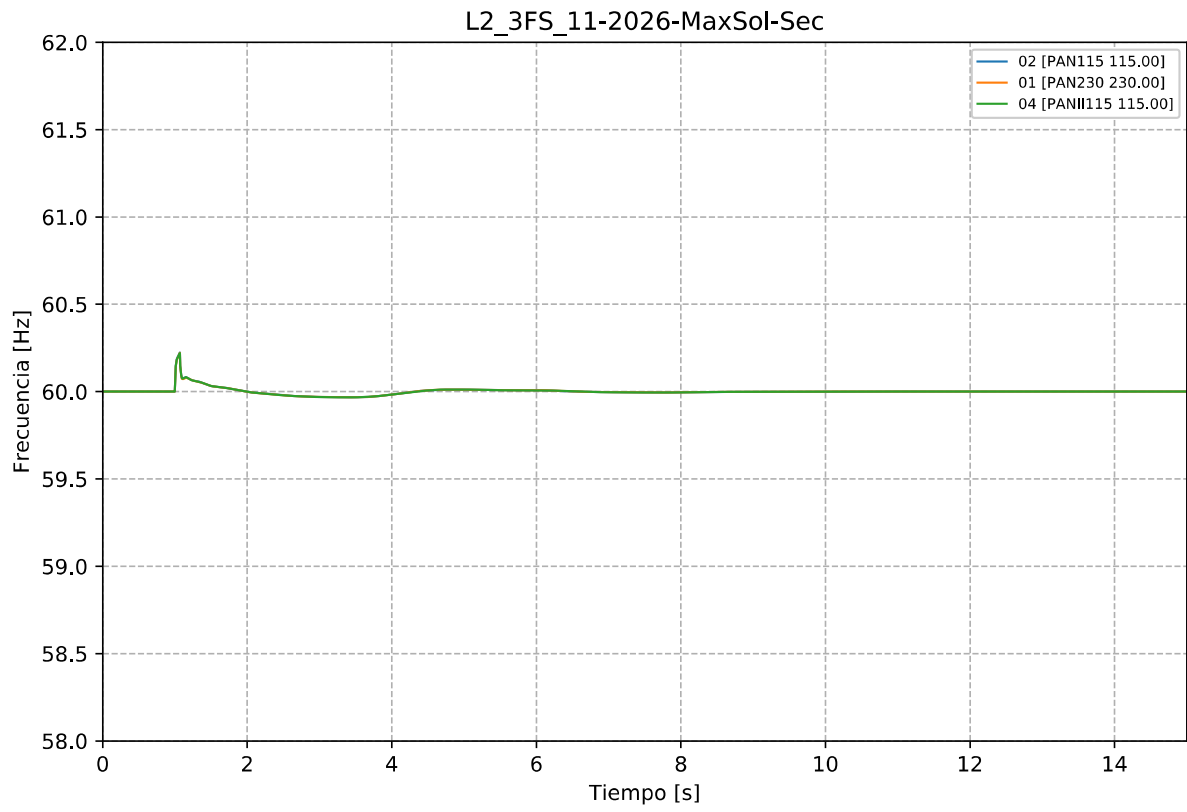


Gráfico 203. Evento L2\_3FS, caso 11-2026-MaxSol-Sec. Frecuencia.



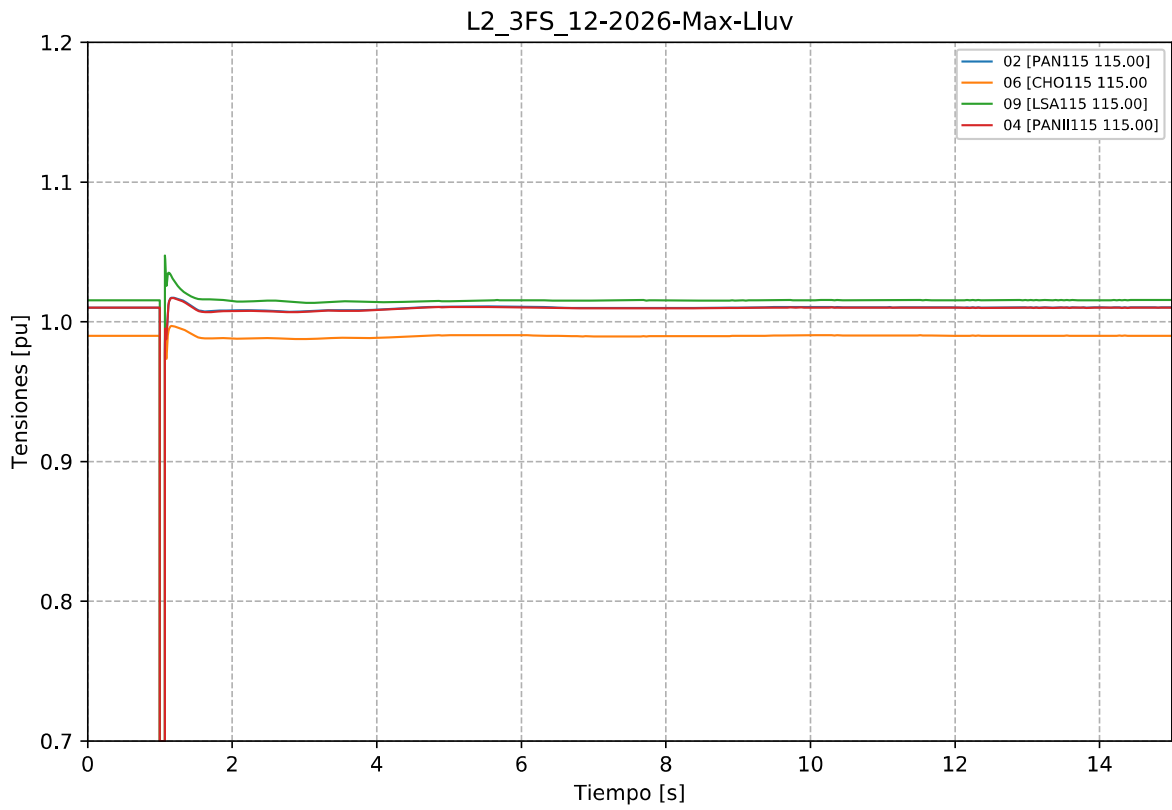


Gráfico 205. Evento L2\_3FS, caso 12-2026-Max-Lluv. Tensiones en la zona de influencia 115 kV.

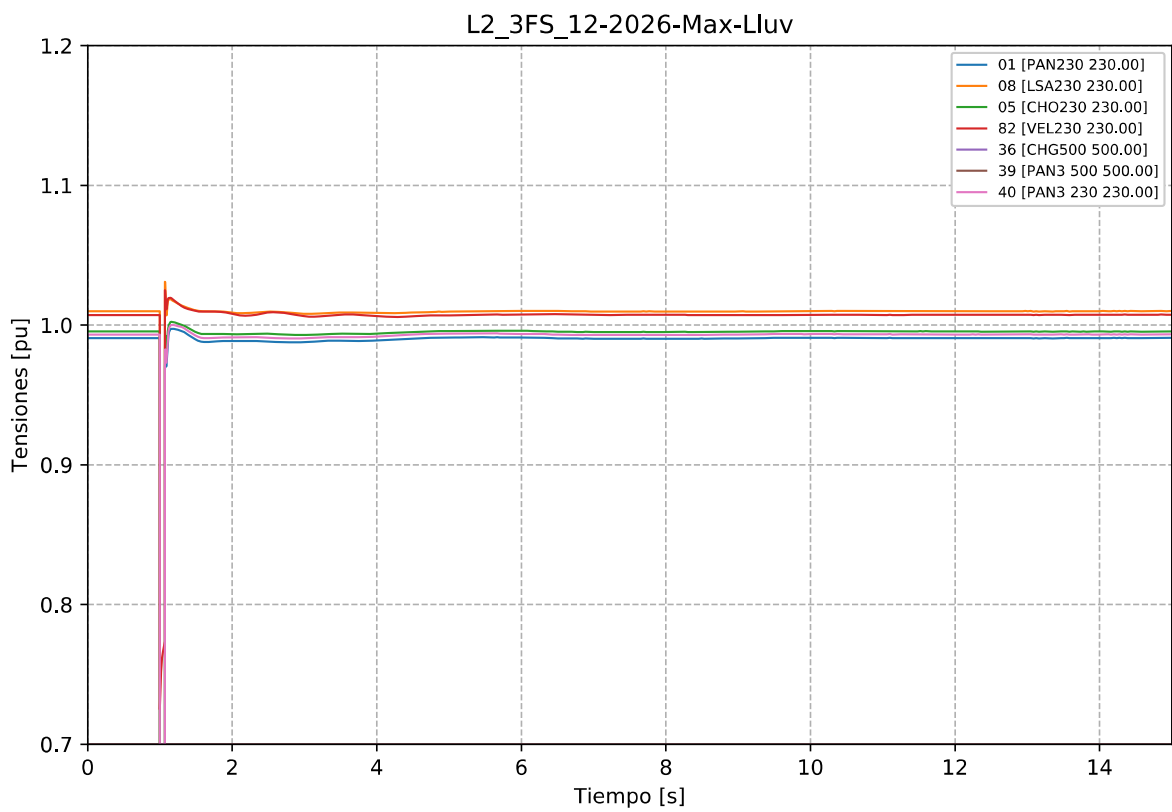


Gráfico 206. Evento L2\_3FS, caso 12-2026-Max-Lluv. Tensiones en la zona de influencia 230 kV.

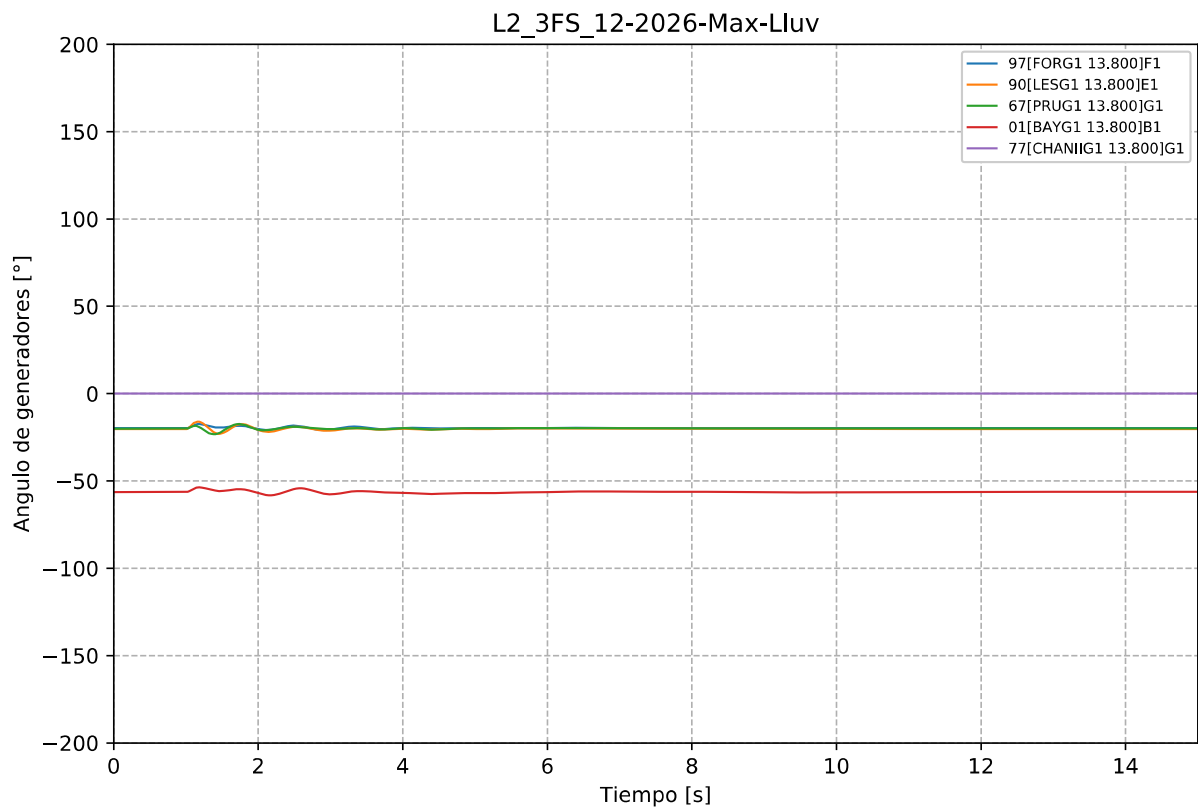


Gráfico 207. Evento L2\_3FS, caso 12-2026-Max-Lluv. Ángulo de Generadores Hidroeléctricos.

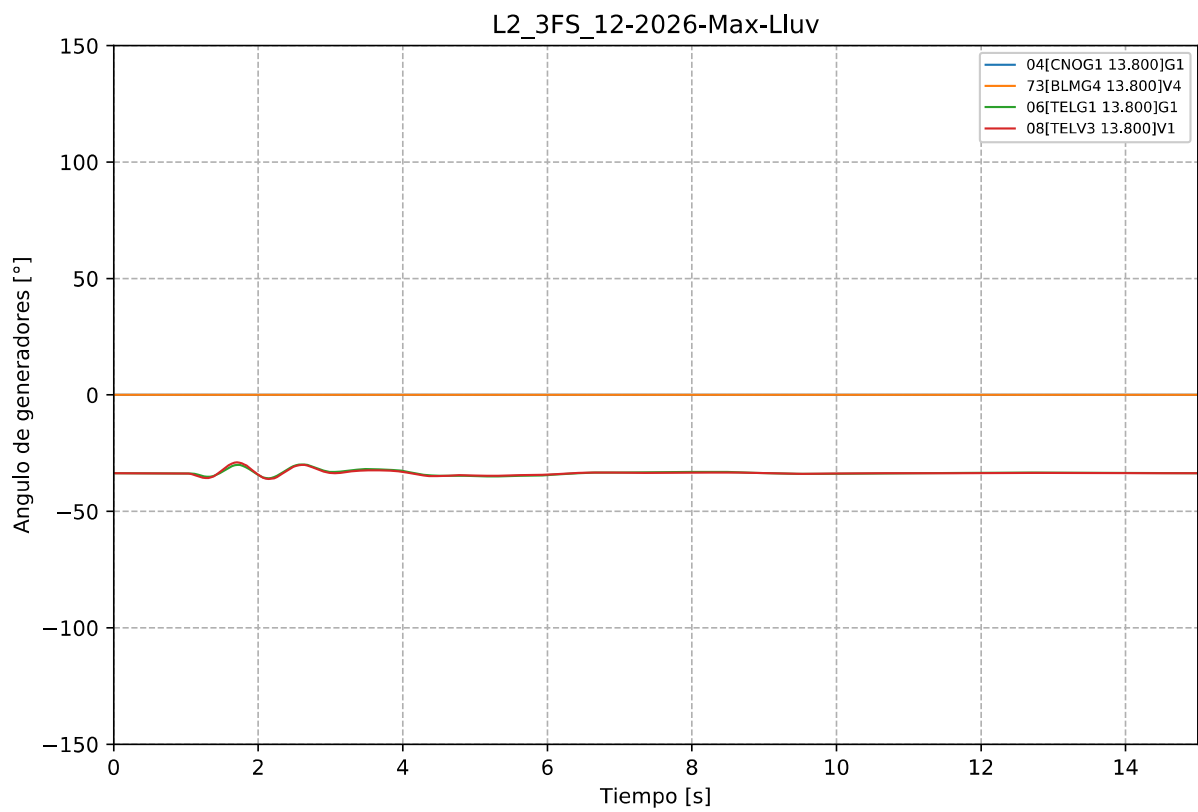


Gráfico 208. Evento L2\_3FS, caso 12-2026-Max-Lluv. Ángulo de generadores Térmicos.



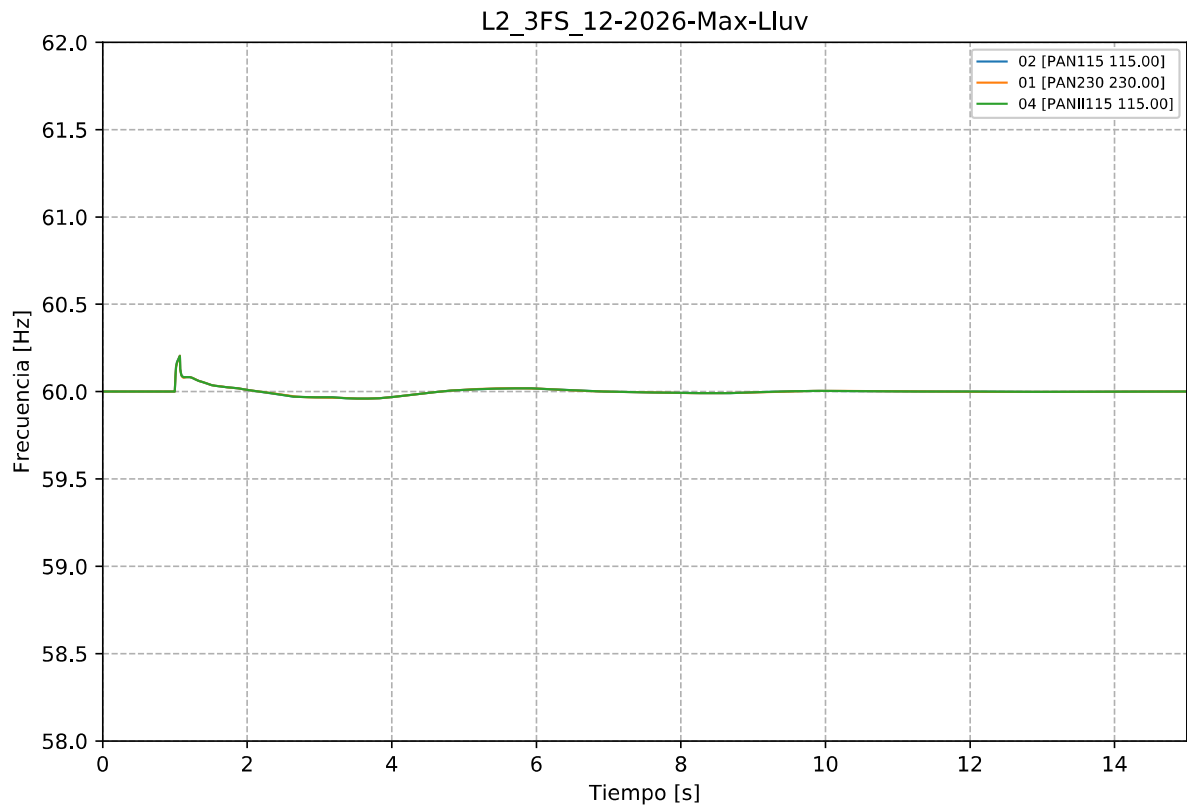


Gráfico 209. Evento L2\_3FS, caso 12-2026-Max-Lluv. Frecuencia.

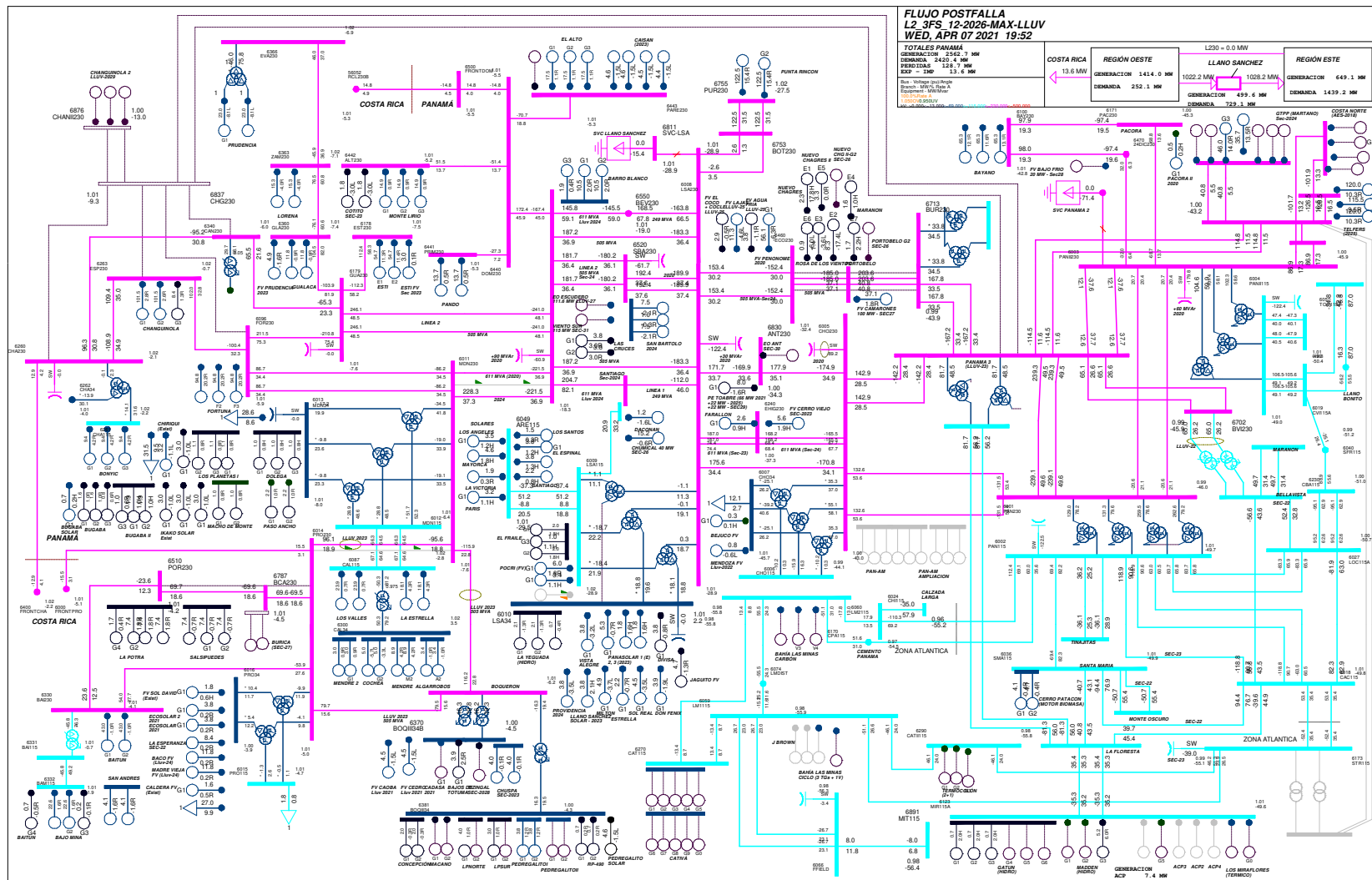


Gráfico 210. Evento L2\_3FS, caso 12-2026-Max-Lluv. Flujo postfalla

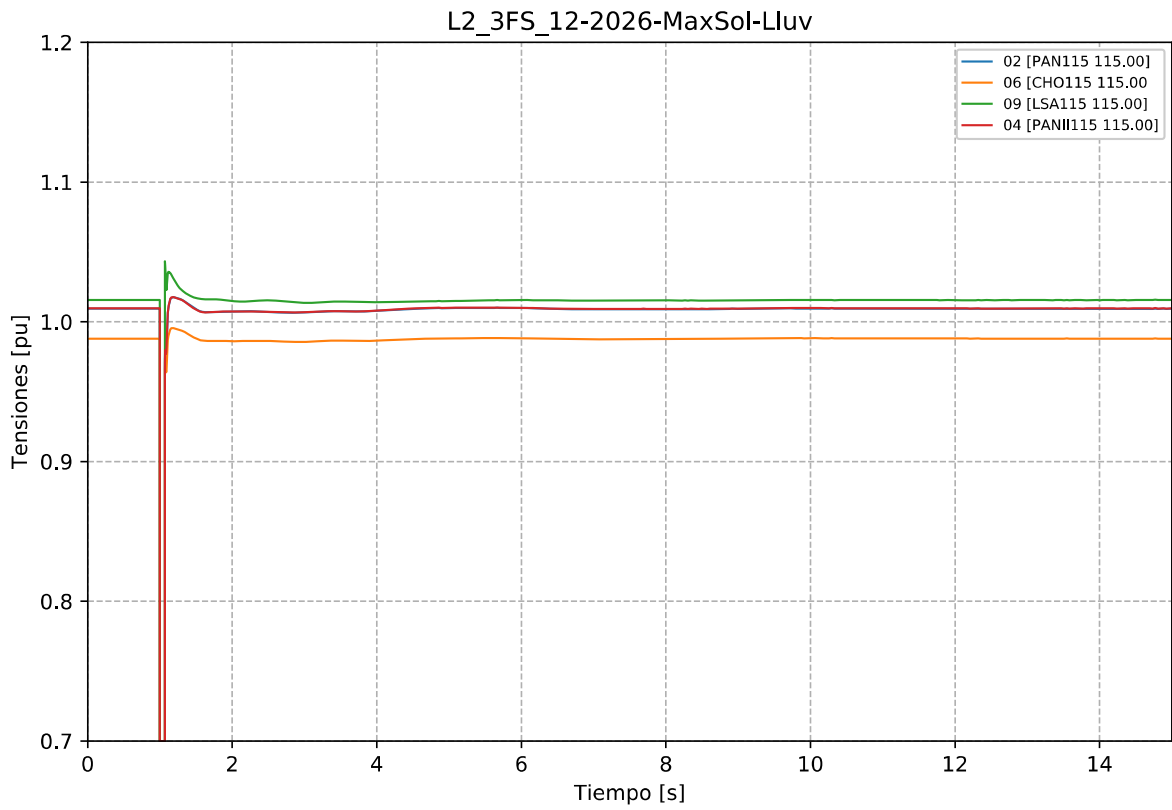


Gráfico 211. Evento L2\_3FS, caso 12-2026-MaxSol-Lluv. Tensiones en la zona de influencia 115 kV.

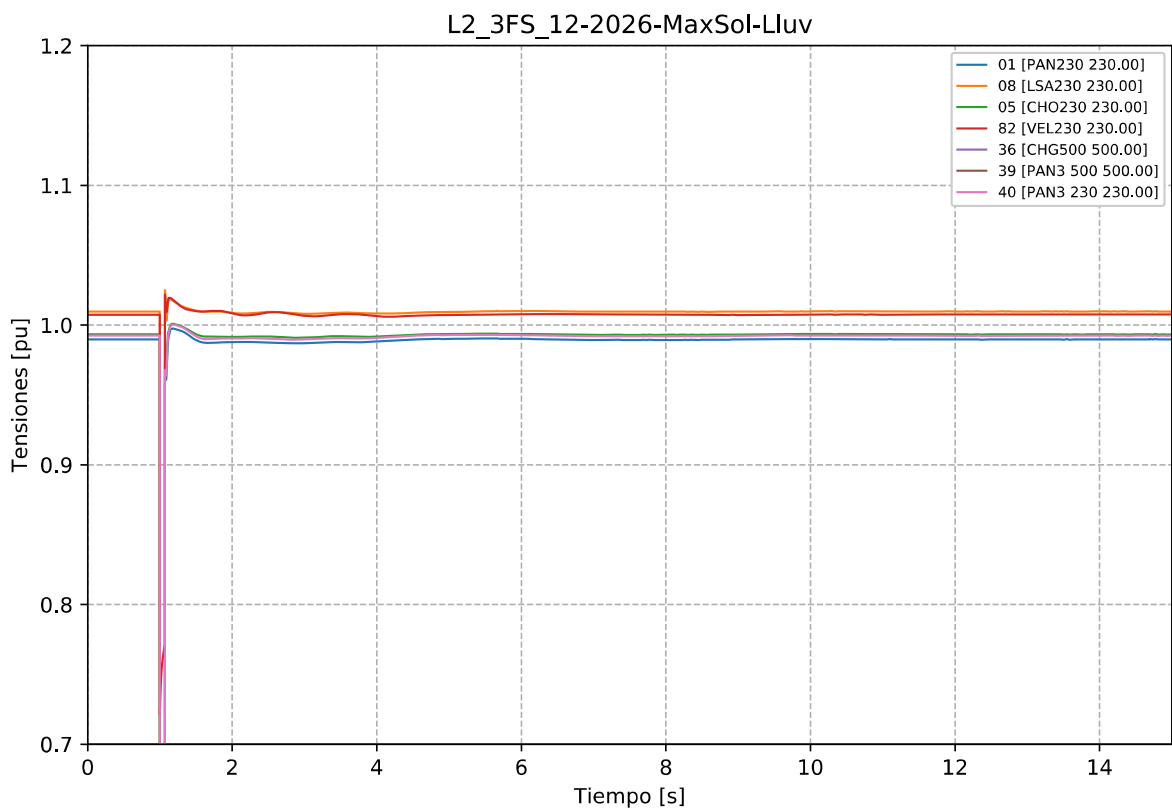


Gráfico 212. Evento L2\_3FS, caso 12-2026-MaxSol-Lluv. Tensiones en la zona de influencia 230 kV.

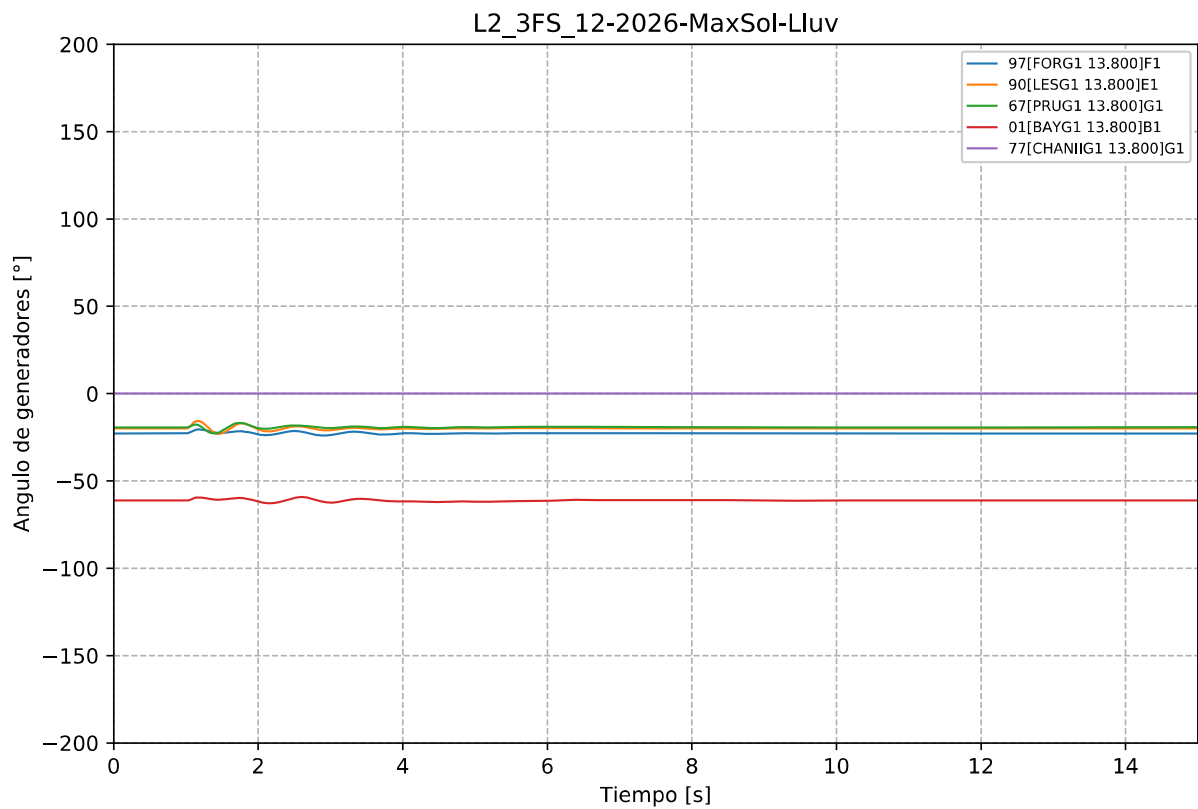


Gráfico 213. Evento L2\_3FS, caso 12-2026-MaxSol-Lluv. Ángulo de Generadores Hidroeléctricos.

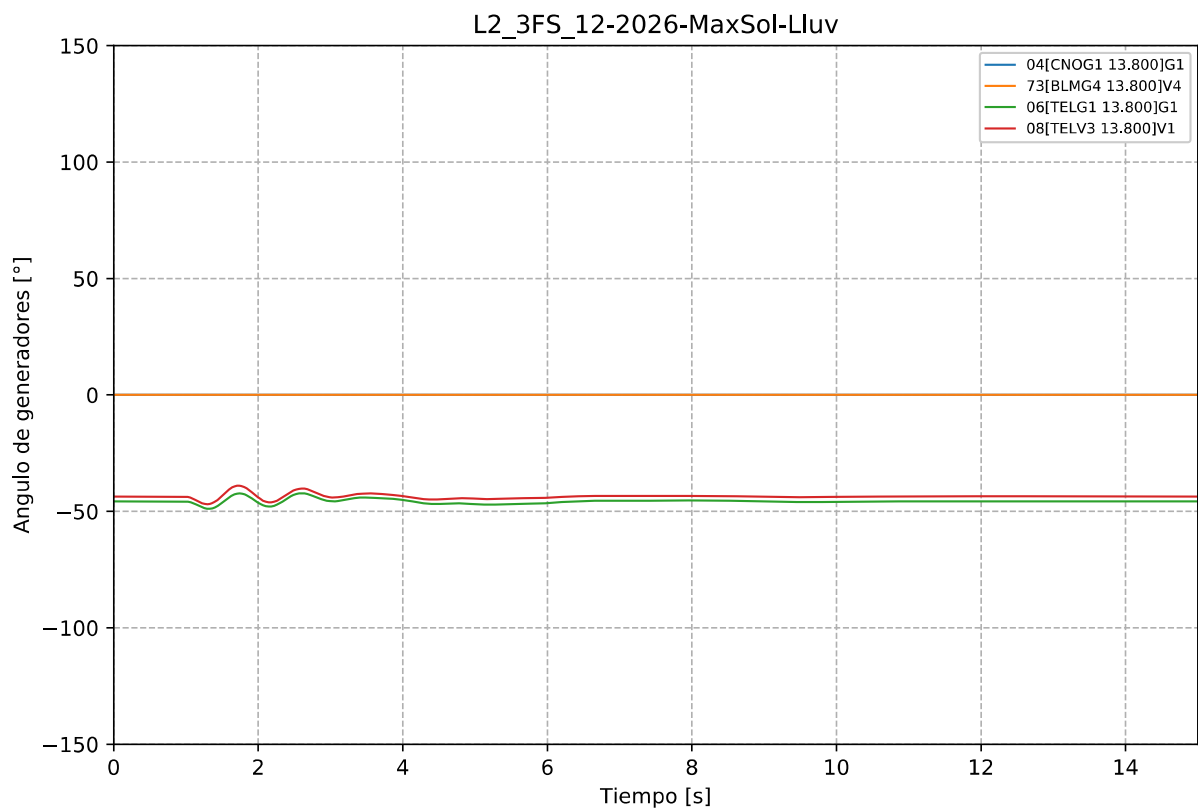


Gráfico 214. Evento L2\_3FS, caso 12-2026-MaxSol-Lluv. Ángulo de generadores Térmicos.

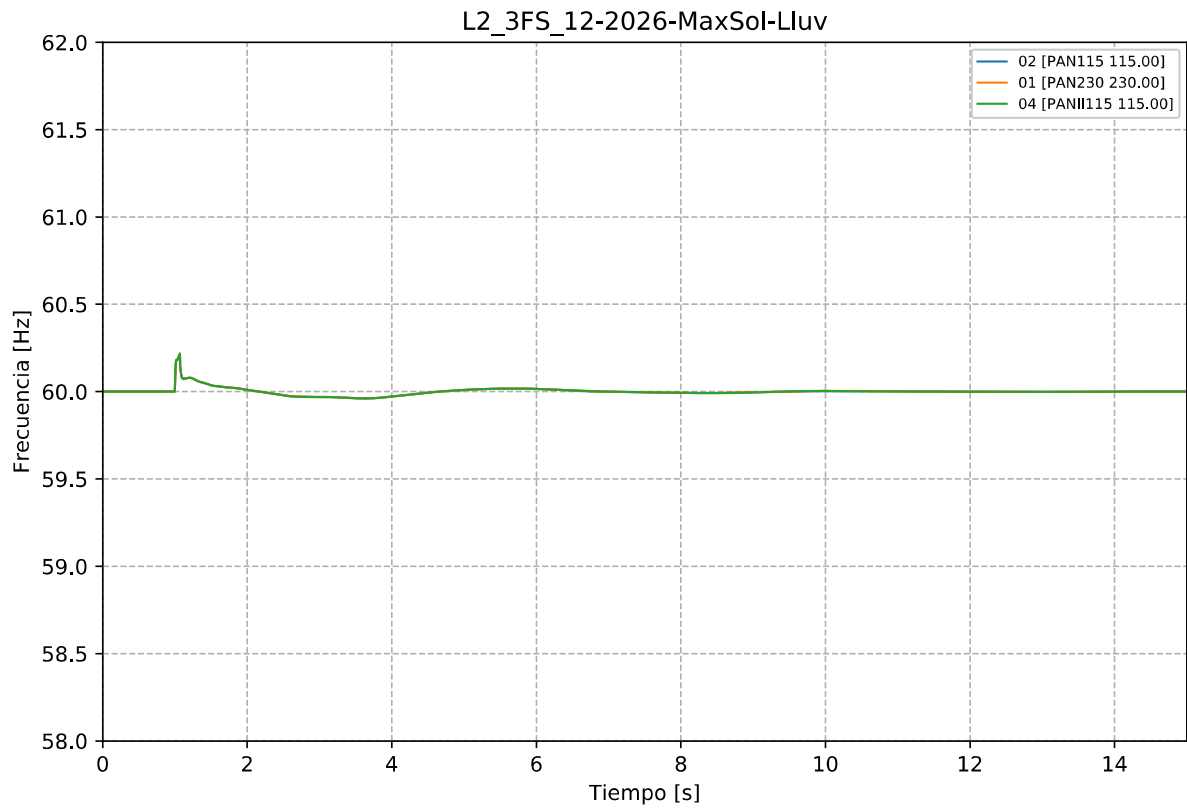


Gráfico 215. Evento L2\_3FS, caso 12-2026-MaxSol-Lluv. Frecuencia.

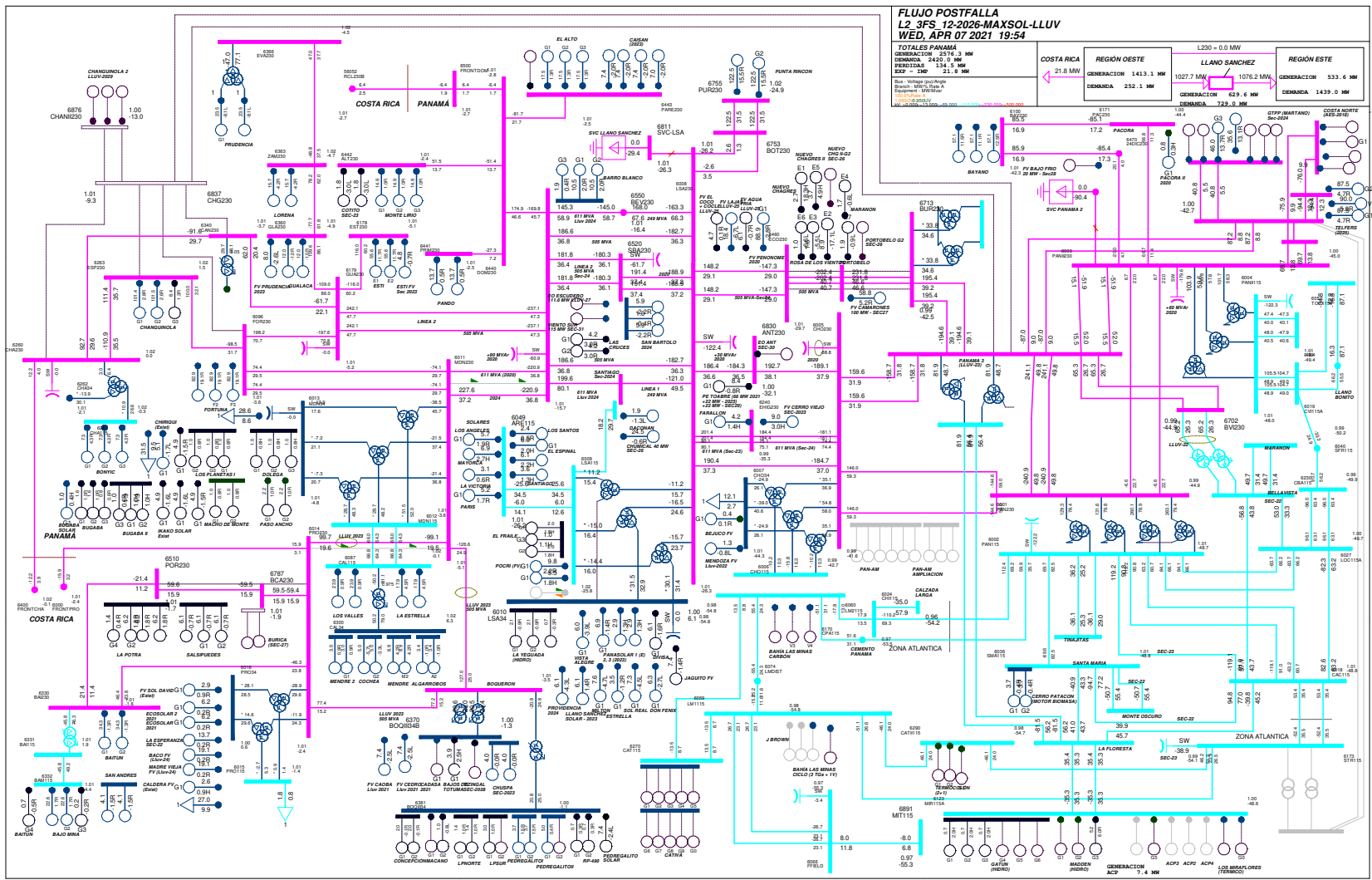


Gráfico 216. Evento L2\_3FS, caso 12-2026-MaxSol-Lluv. Flujo postfalla

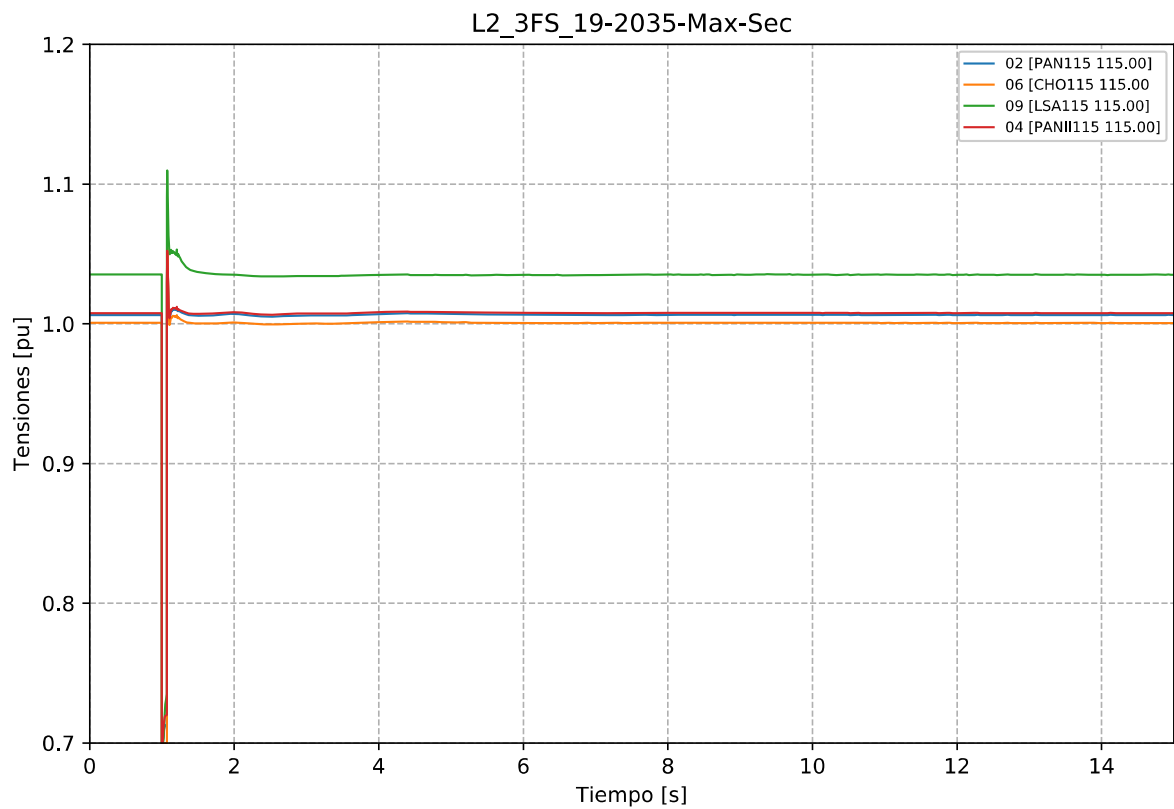


Gráfico 217. Evento L2\_3FS, caso 19-2035-Max-Sec. Tensiones en la zona de influencia 115 kV.

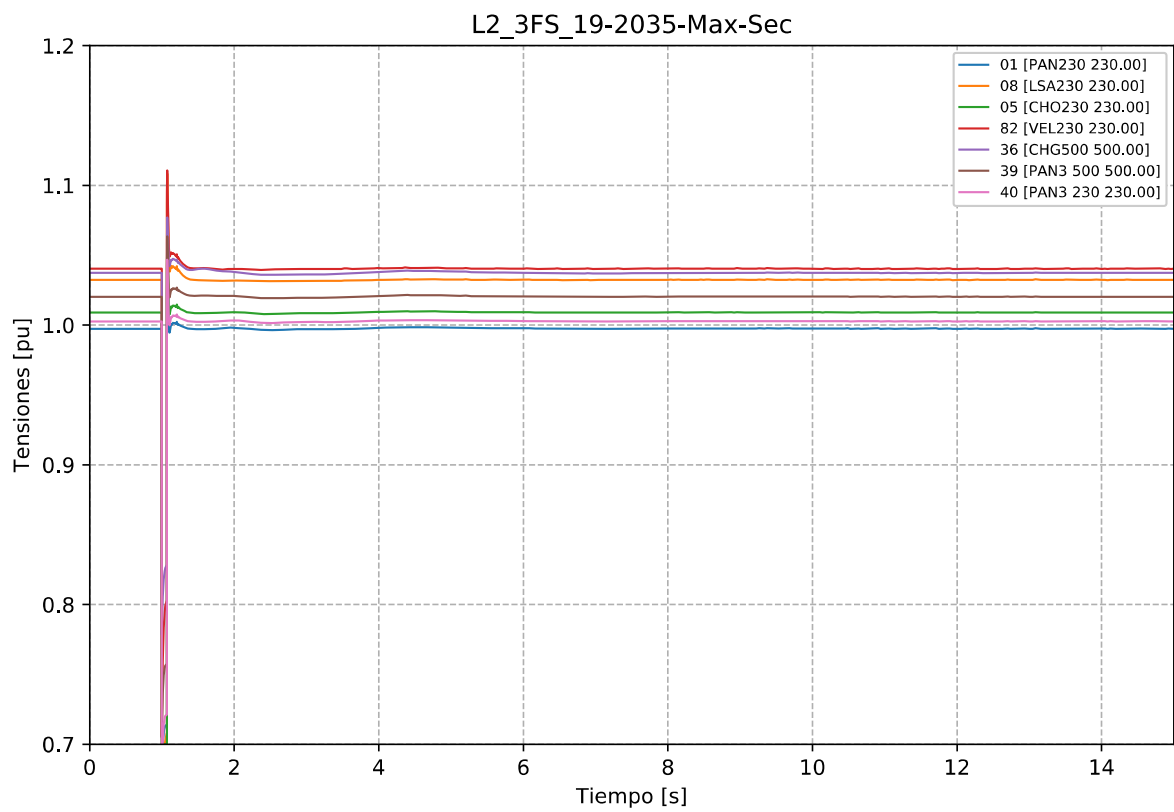


Gráfico 218. Evento L2\_3FS, caso 19-2035-Max-Sec. Tensiones en la zona de influencia 230 kV.

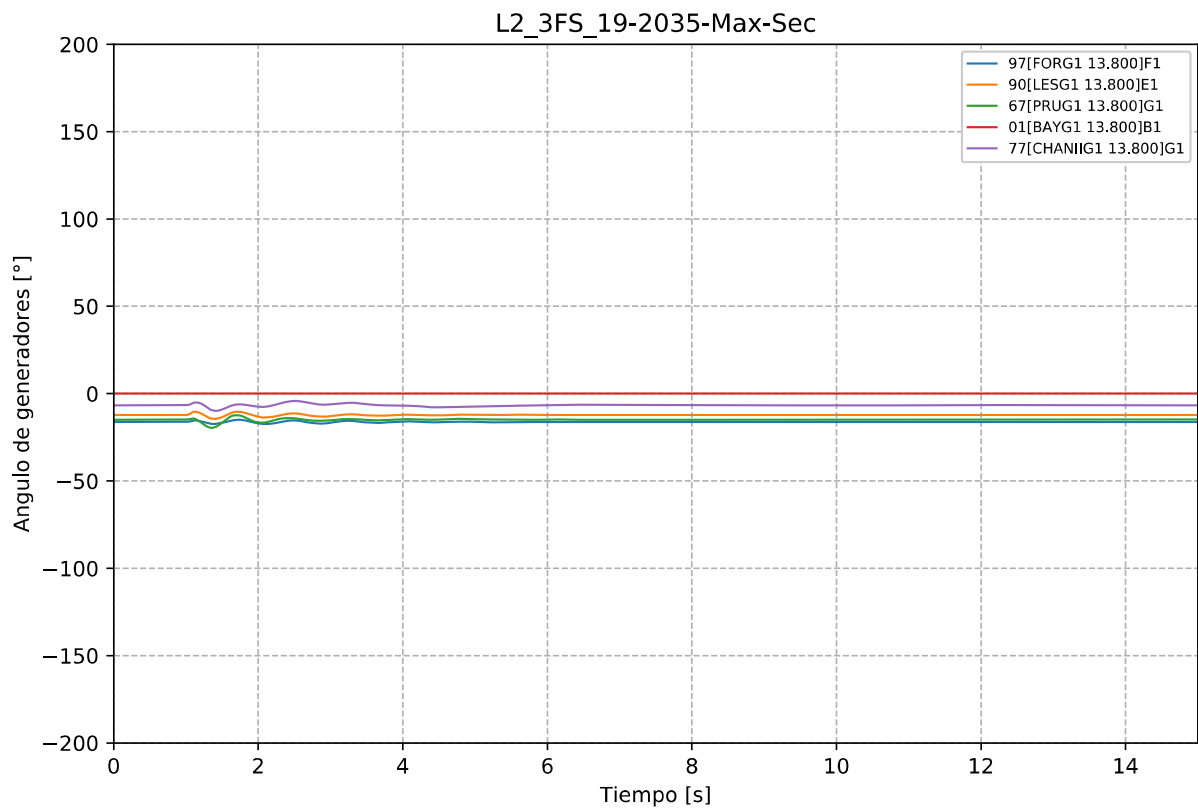


Gráfico 219. Evento L2\_3FS, caso 19-2035-Max-Sec. Ángulo de Generadores Hidroeléctricos.

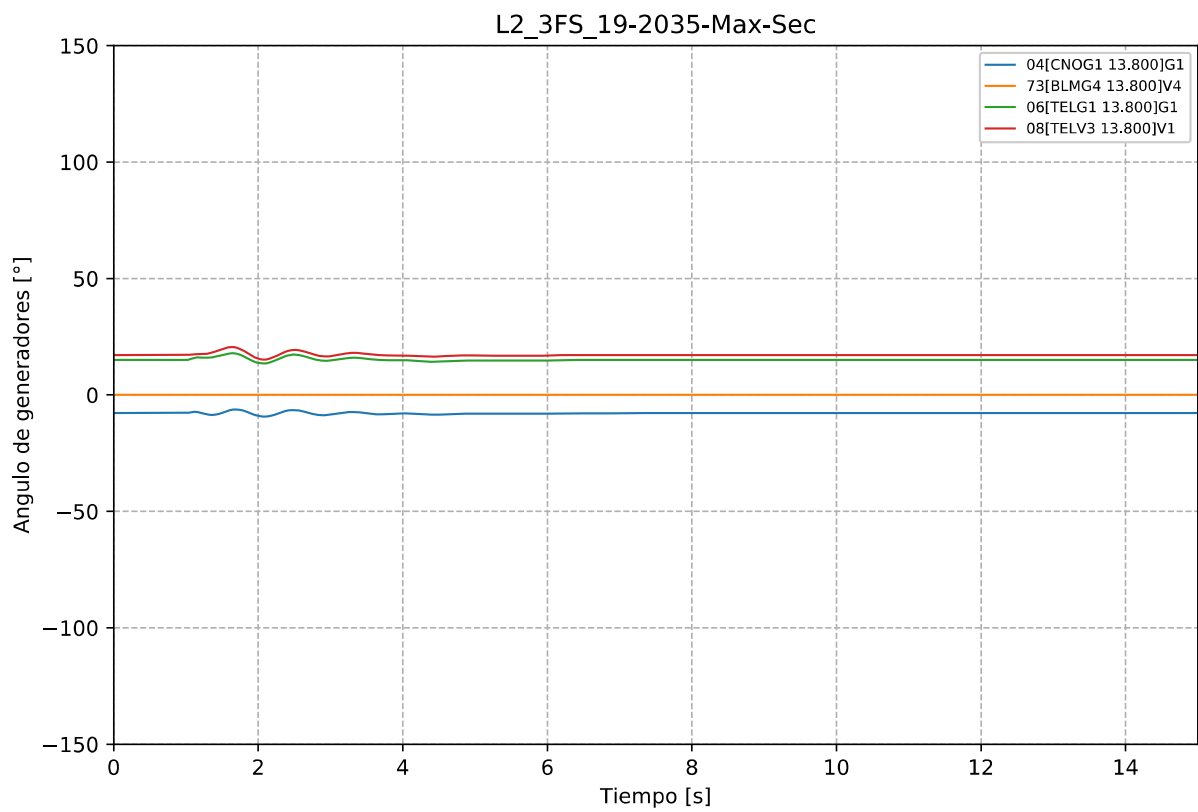


Gráfico 220. Evento L2\_3FS, caso 19-2035-Max-Sec. Ángulo de generadores Térmicos.



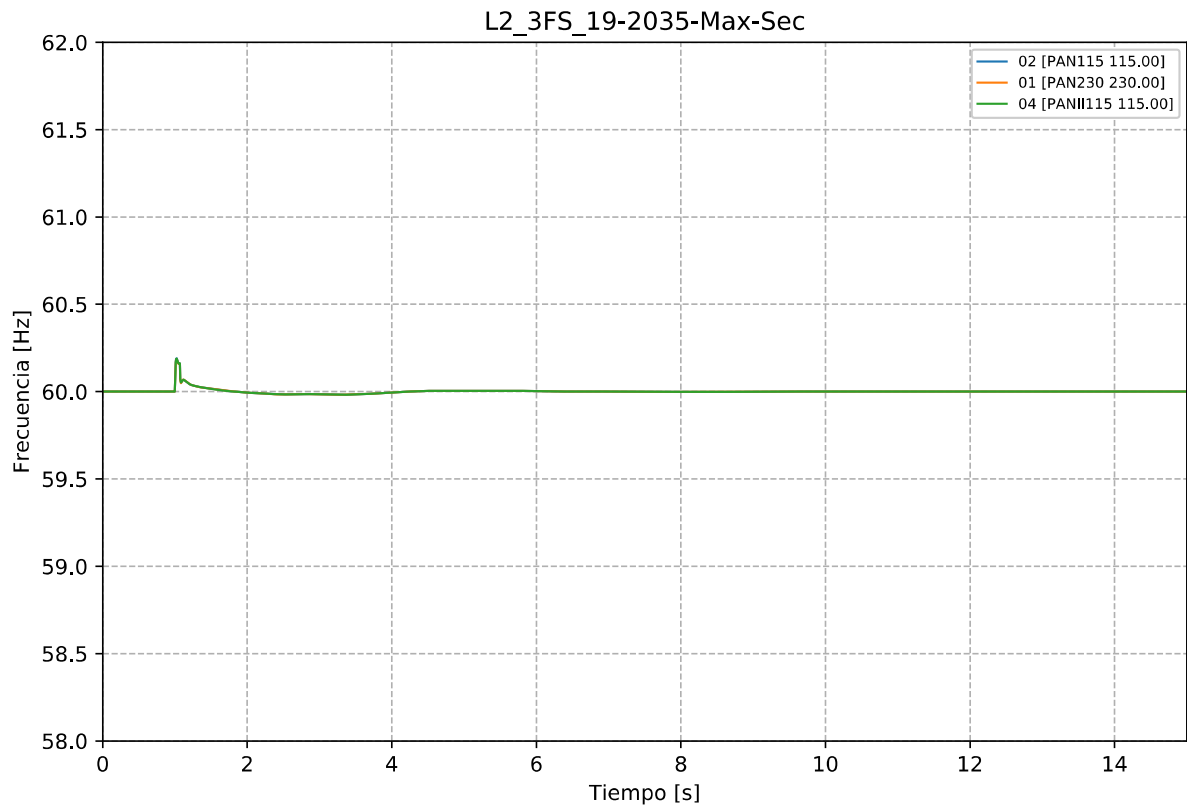


Gráfico 221. Evento L2\_3FS, caso 19-2035-Max-Sec. Frecuencia.

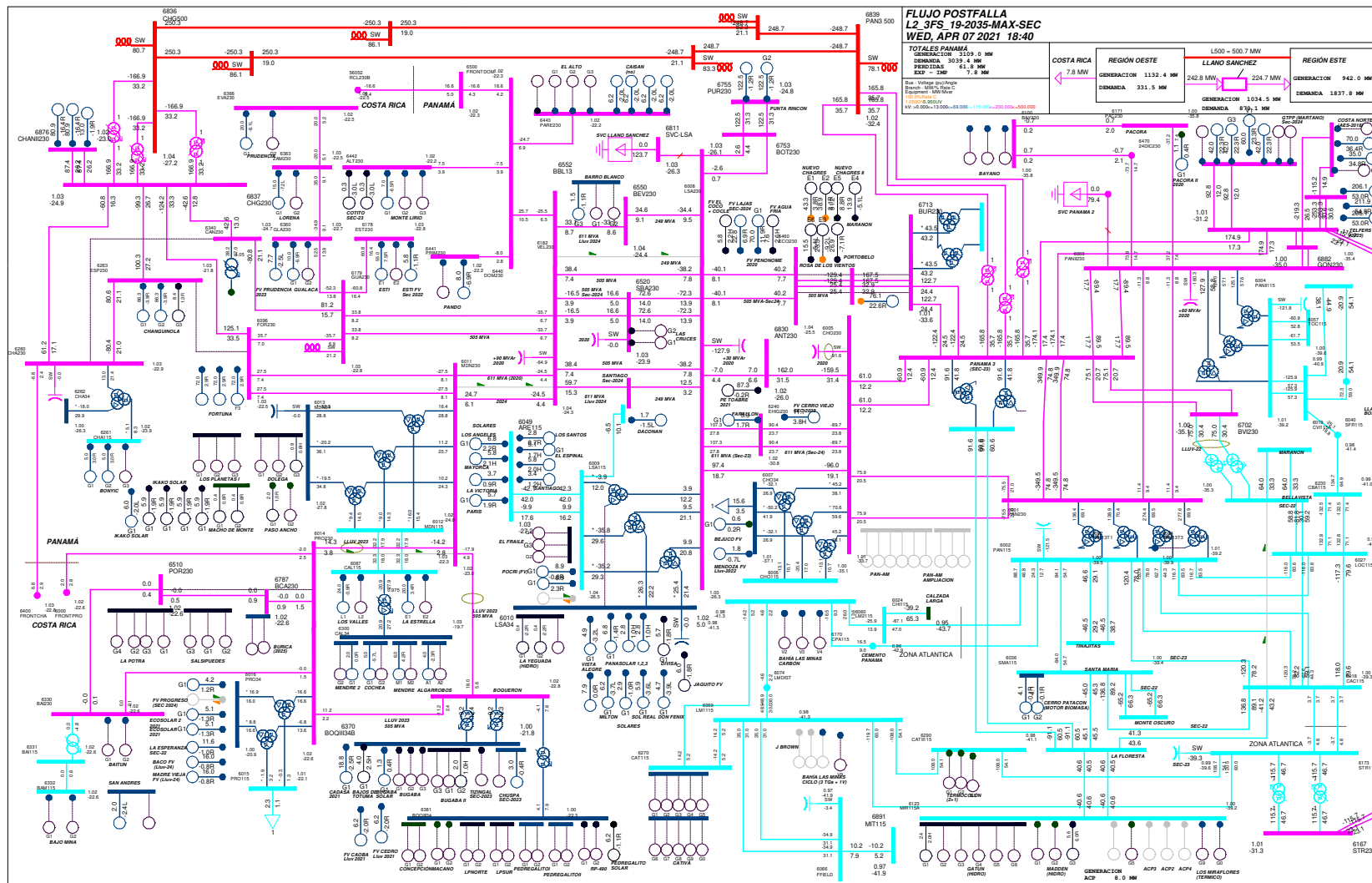


Gráfico 222. Evento L2\_3FS, caso 19-2035-Max-Sec. Flujo postfalla

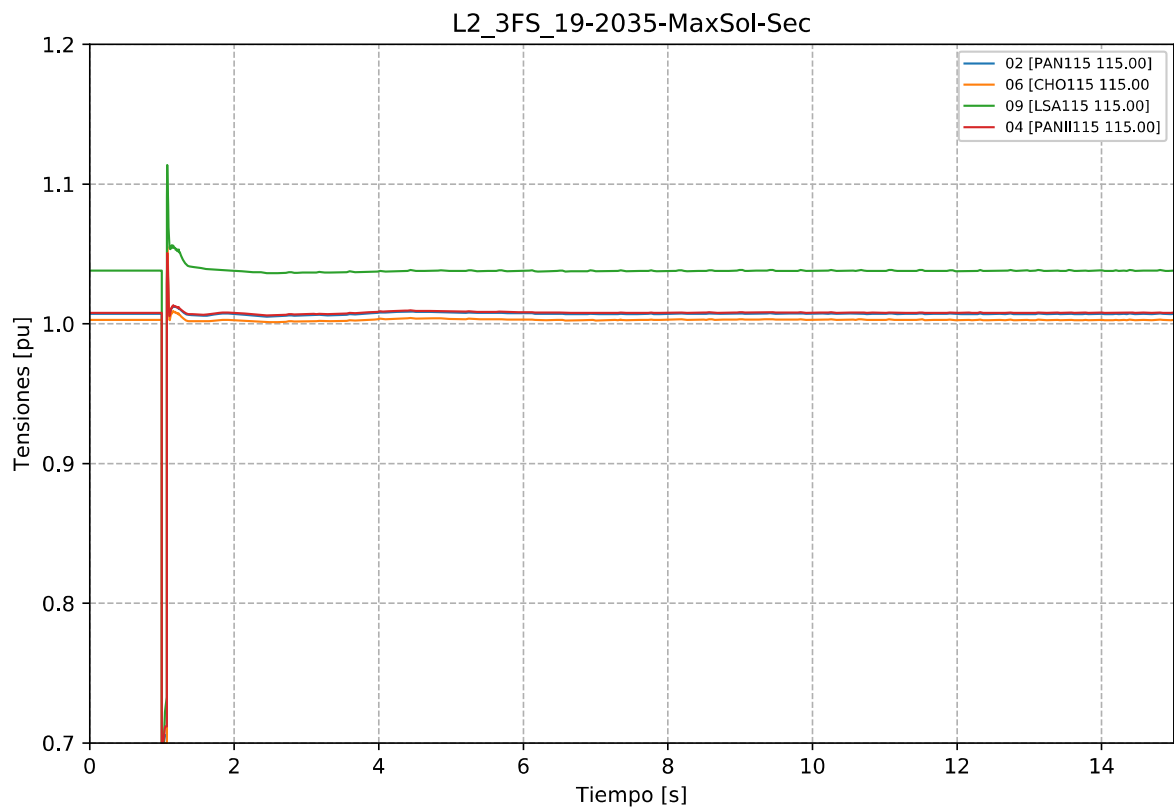


Gráfico 223. Evento L2\_3FS, caso 19-2035-MaxSol-Sec. Tensiones en la zona de influencia 115 kV.

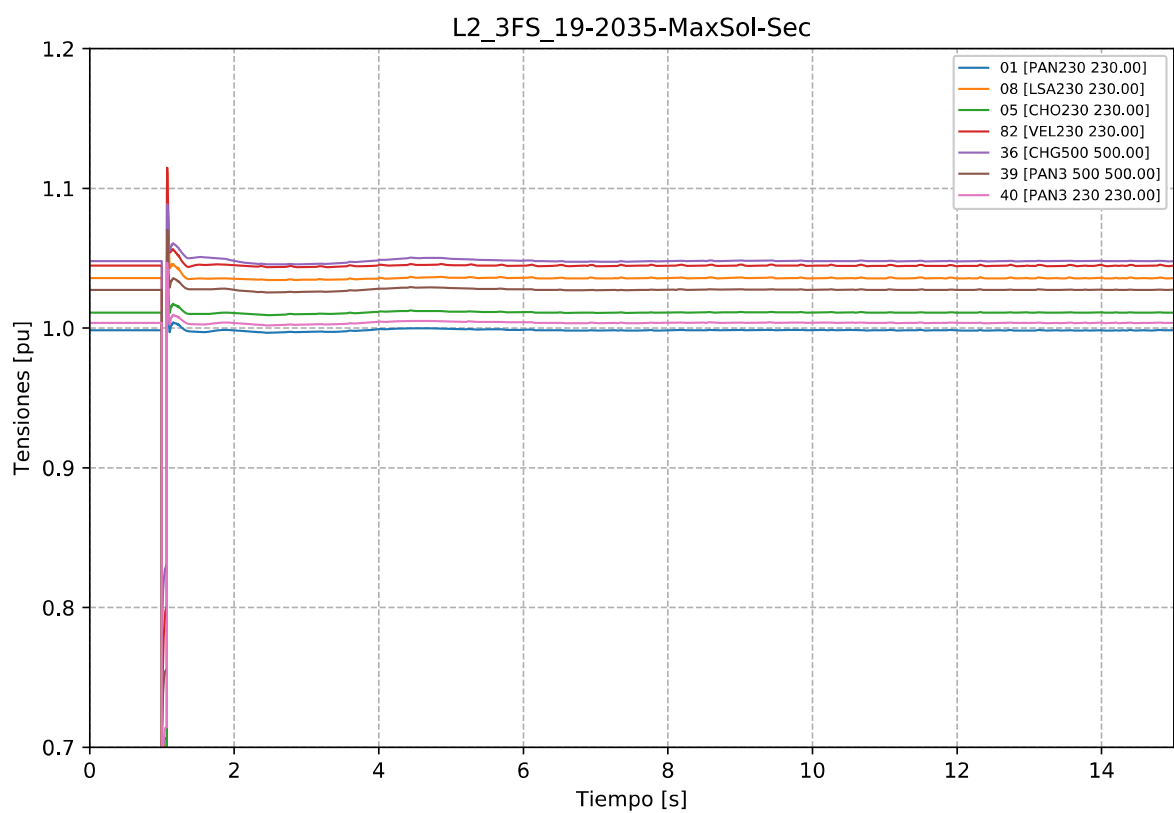


Gráfico 224. Evento L2\_3FS, caso 19-2035-MaxSol-Sec. Tensiones en la zona de influencia 230 kV.

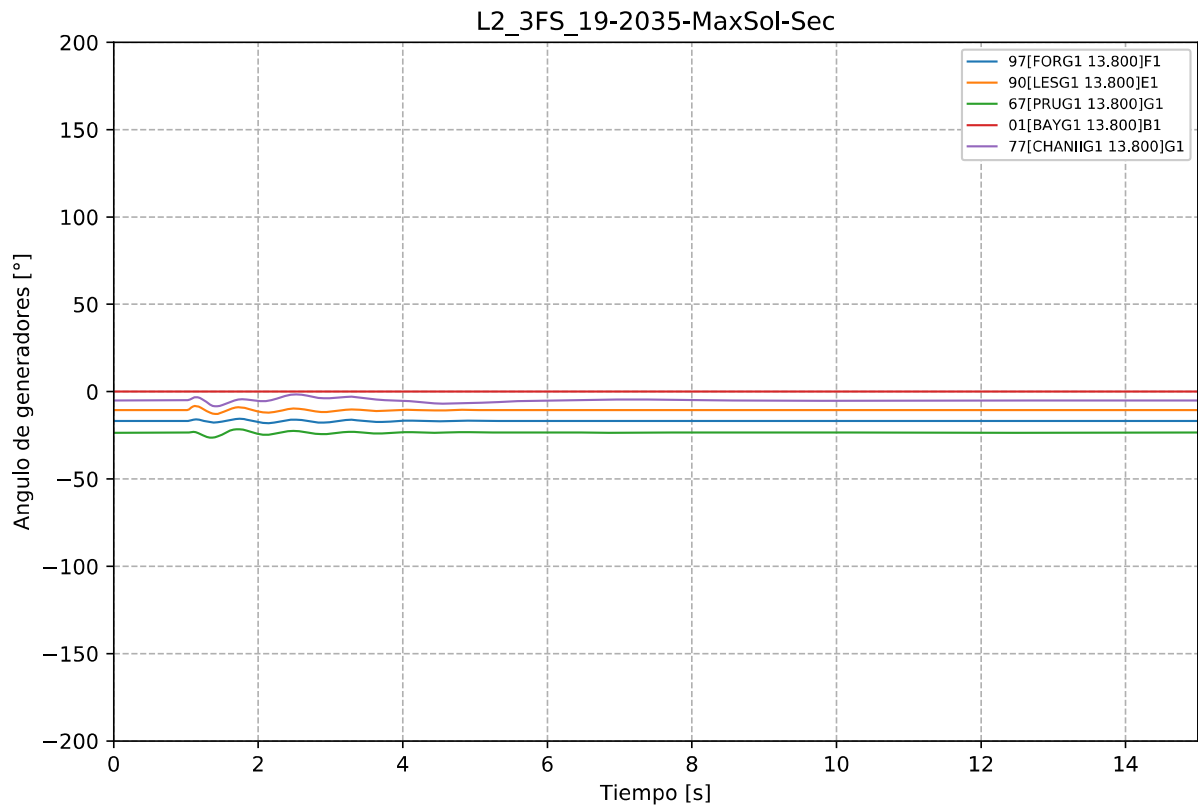


Gráfico 225. Evento L2\_3FS, caso 19-2035-MaxSol-Sec. Ángulo de Generadores Hidroeléctricos.

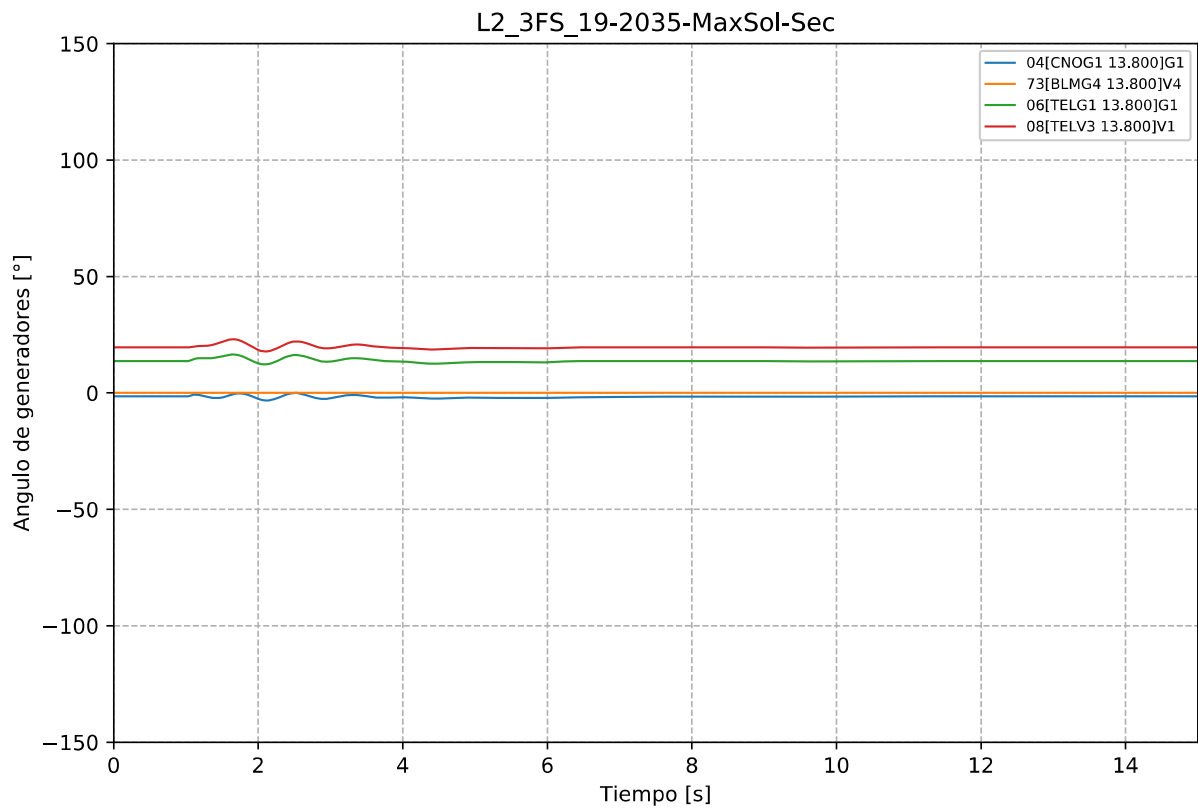


Gráfico 226. Evento L2\_3FS, caso 19-2035-MaxSol-Sec. Ángulo de generadores Térmicos.

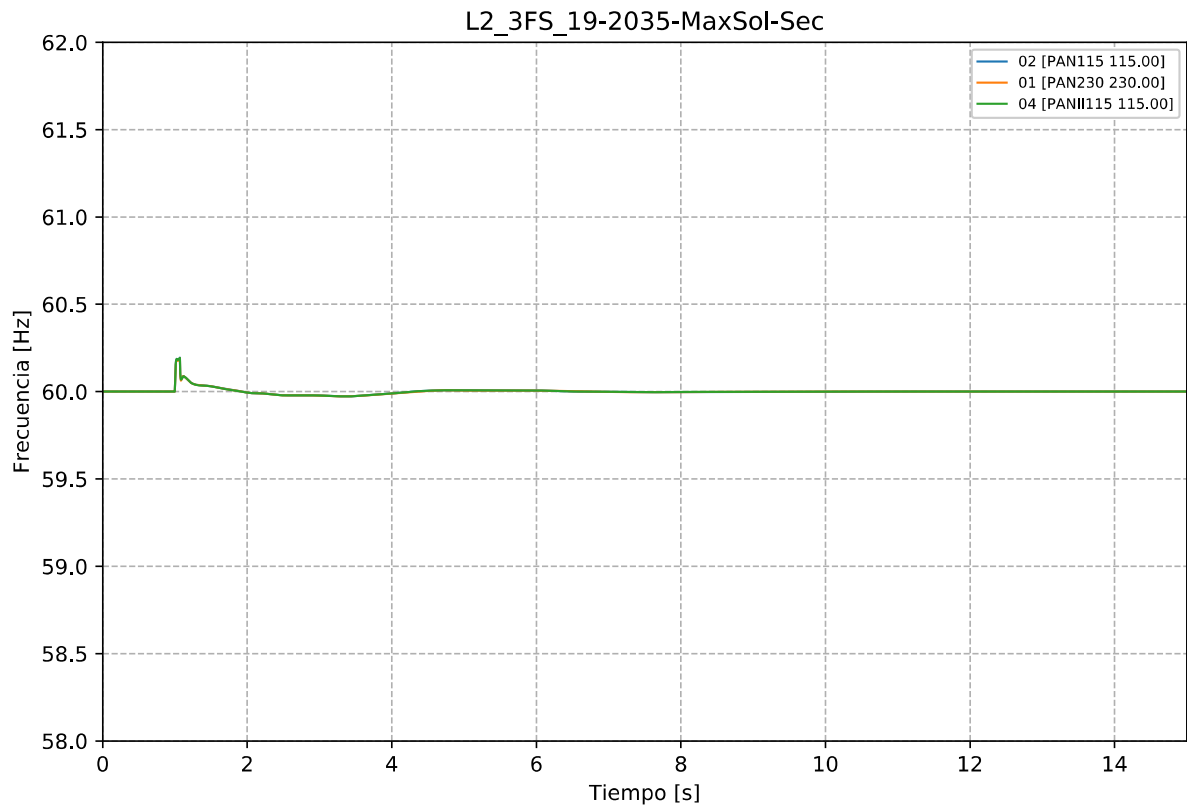


Gráfico 227. Evento L2\_3FS, caso 19-2035-MaxSol-Sec. Frecuencia.

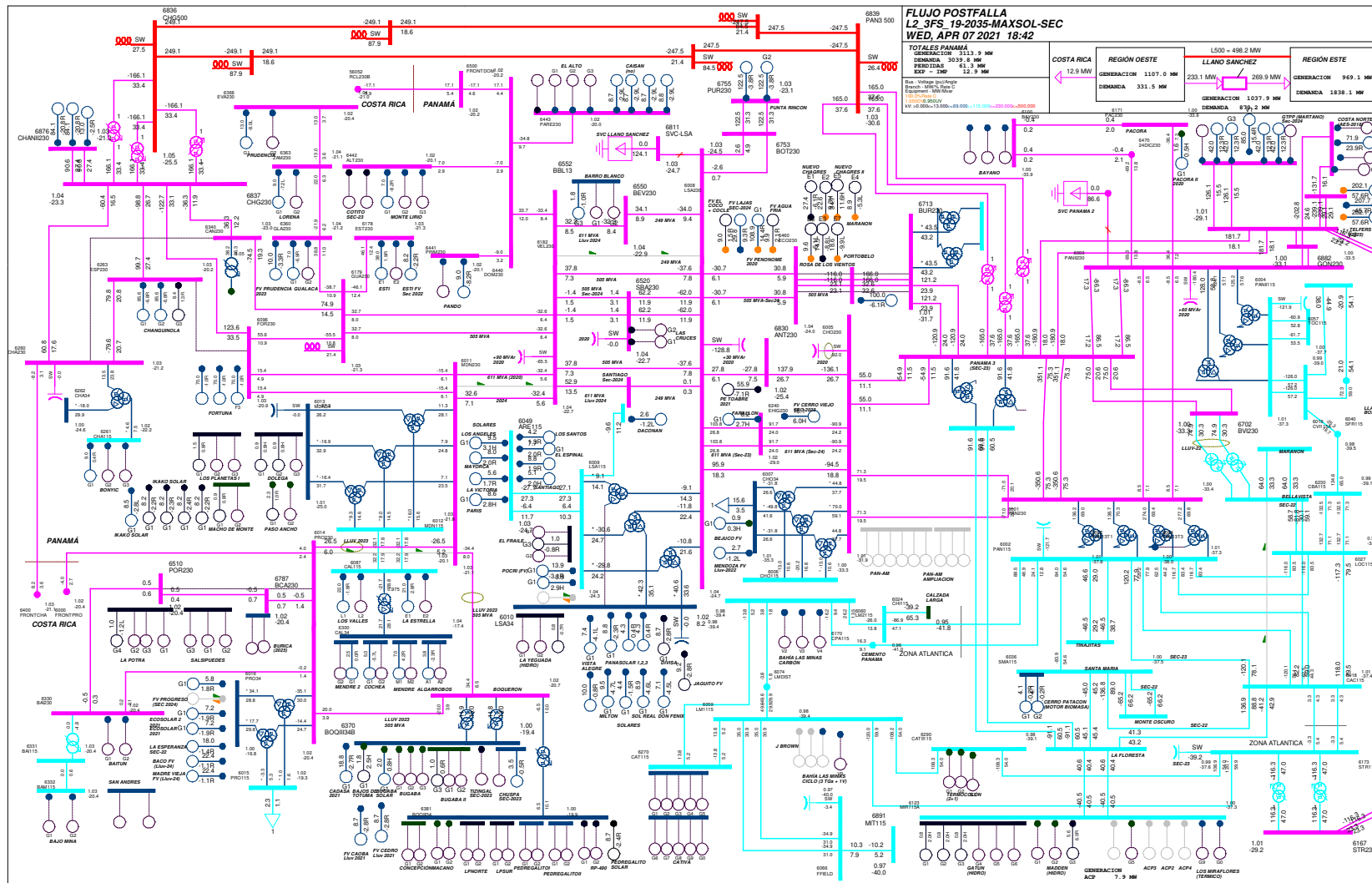


Gráfico 228. Evento L2\_3FS, caso 19-2035-MaxSol-Sec. Flujo postfalla

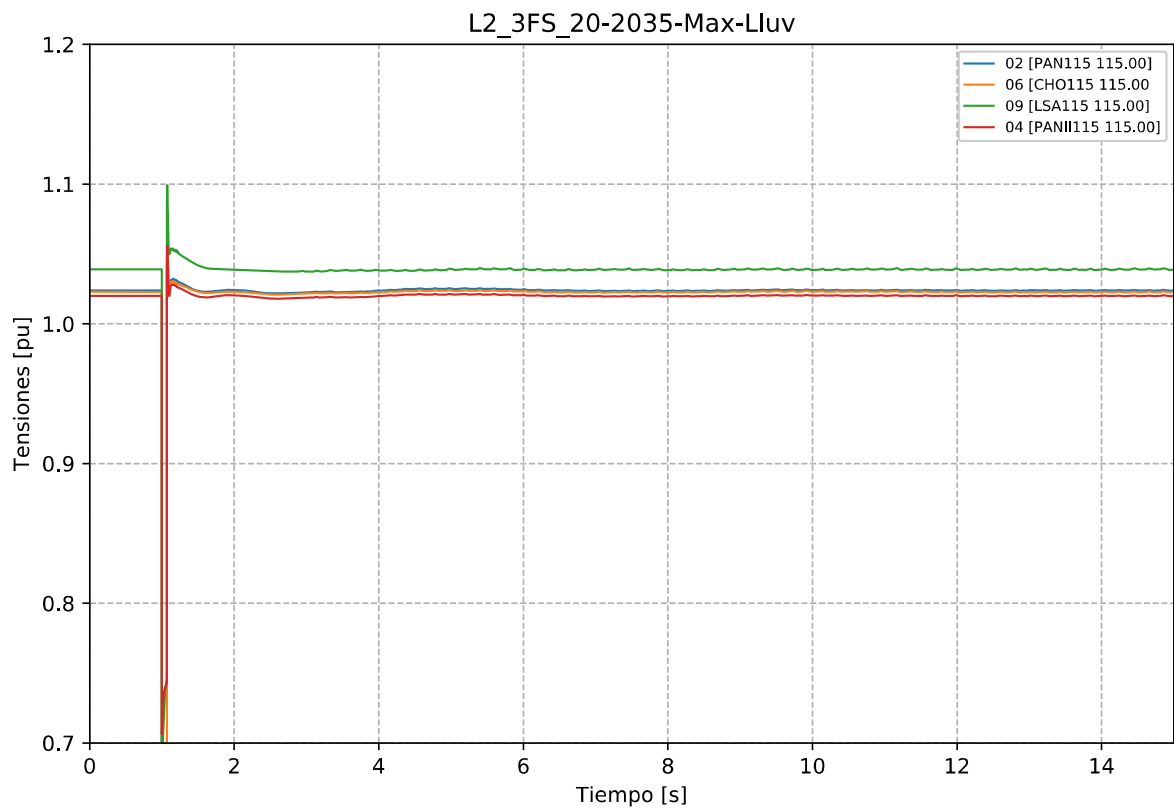


Gráfico 229. Evento L2\_3FS, caso 20-2035-Max-Lluv. Tensiones en la zona de influencia 115 kV.

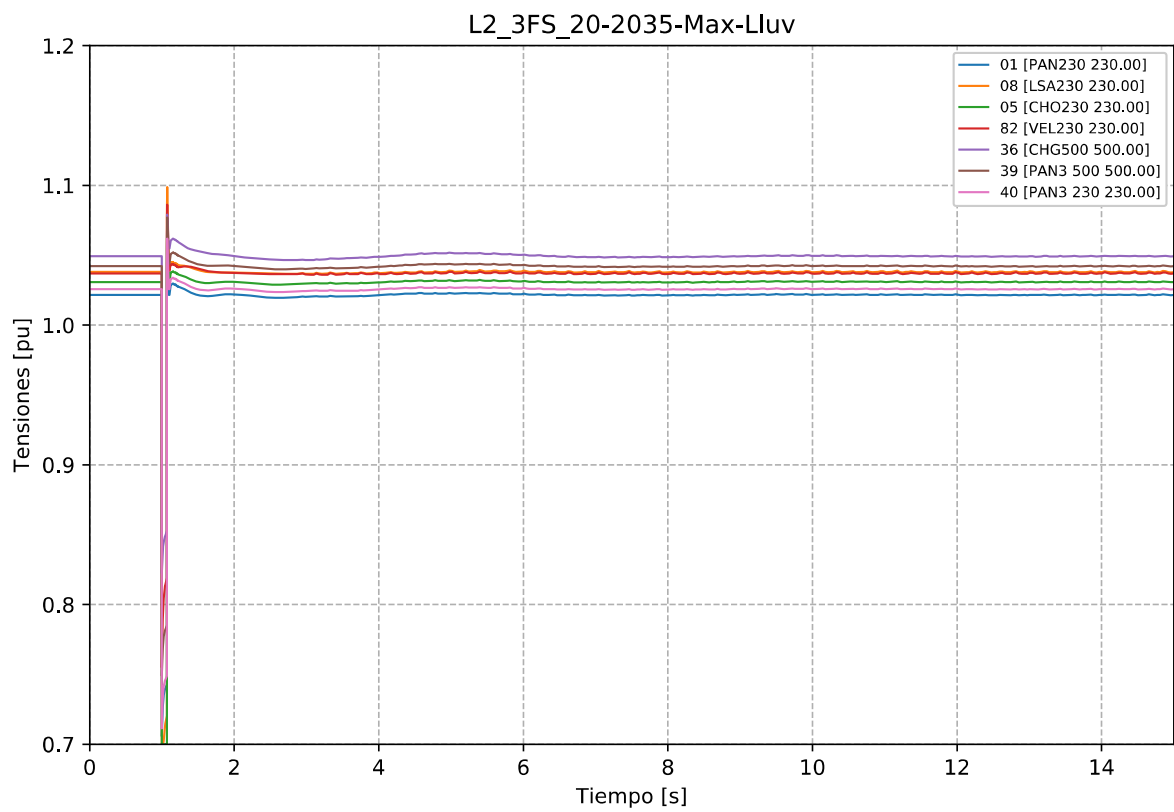


Gráfico 230. Evento L2\_3FS, caso 20-2035-Max-Lluv. Tensiones en la zona de influencia 230 kV.

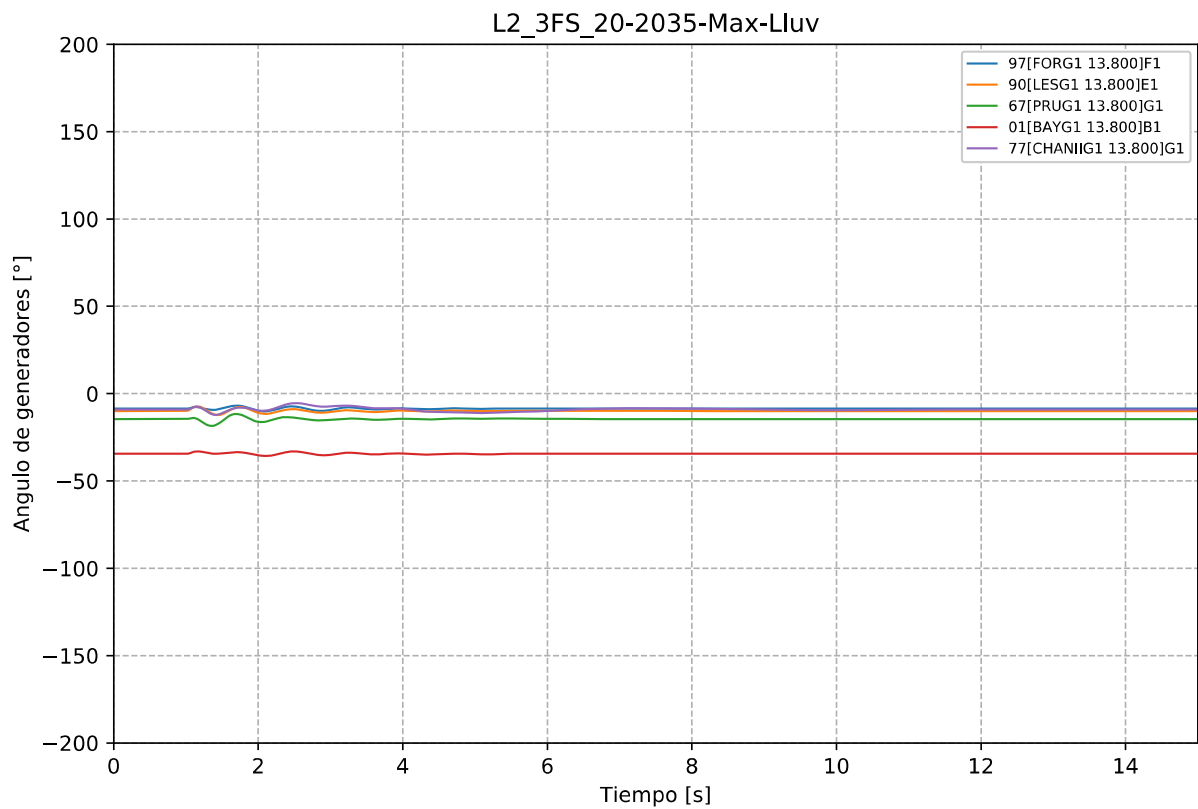


Gráfico 231. Evento L2\_3FS, caso 20-2035-Max-Lluv. Ángulo de Generadores Hidroeléctricos.

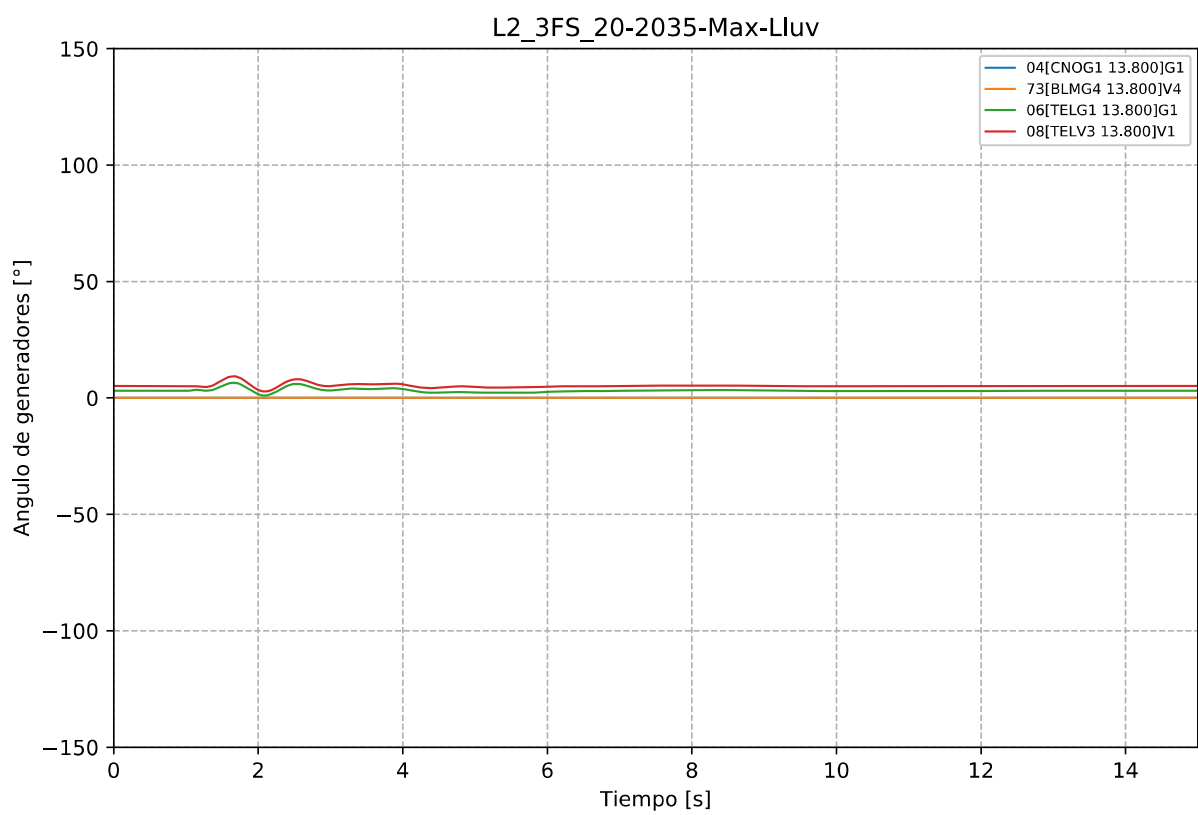


Gráfico 232. Evento L2\_3FS, caso 20-2035-Max-Lluv. Ángulo de generadores Térmicos.



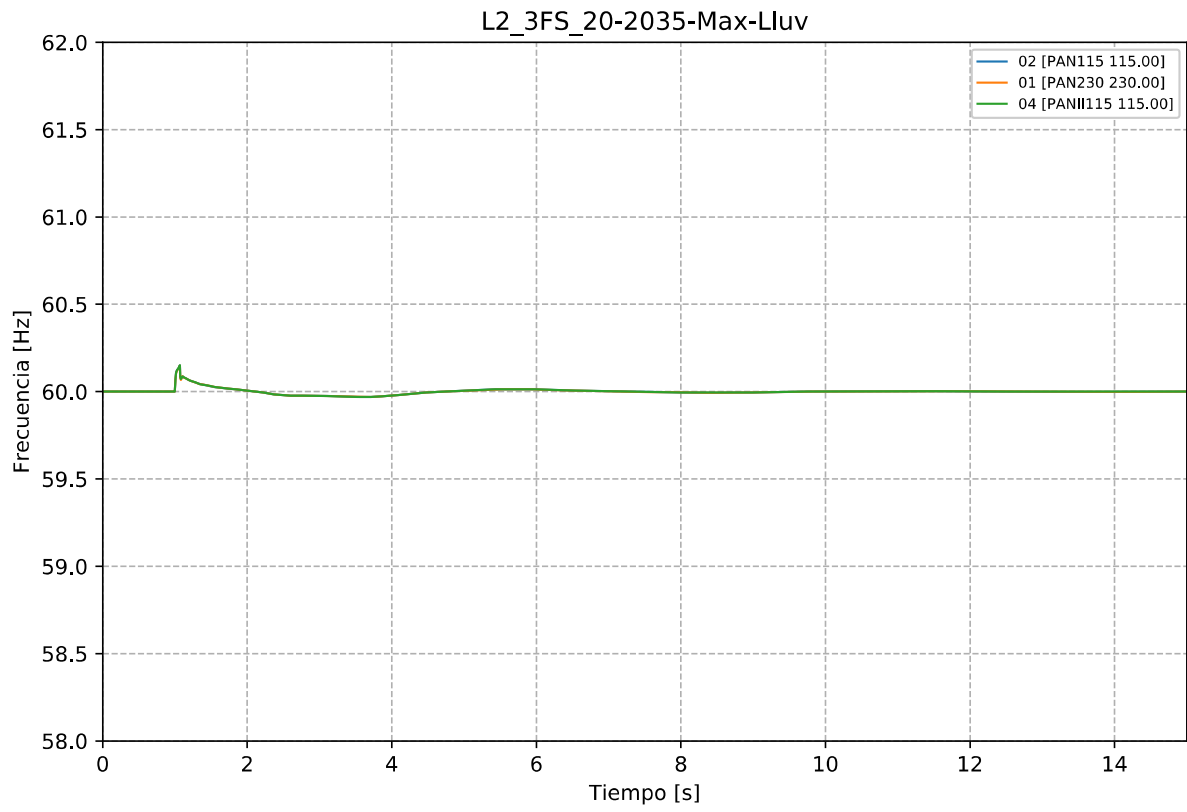


Gráfico 233. Evento L2\_3FS, caso 20-2035-Max-Lluv. Frecuencia.

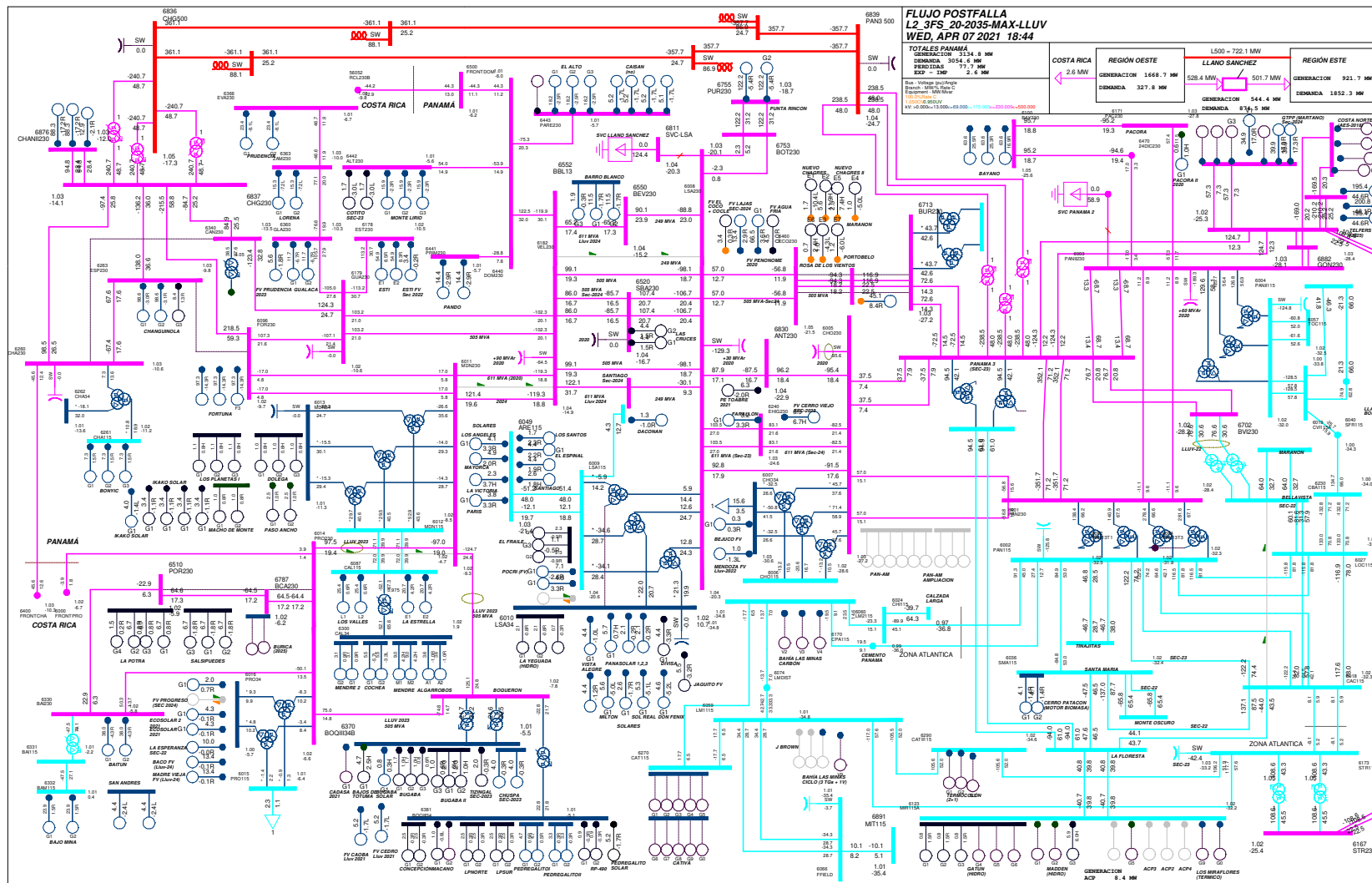


Gráfico 234. Evento L2\_3FS, caso 20-2035-Max-Lluv. Flujo postfalla

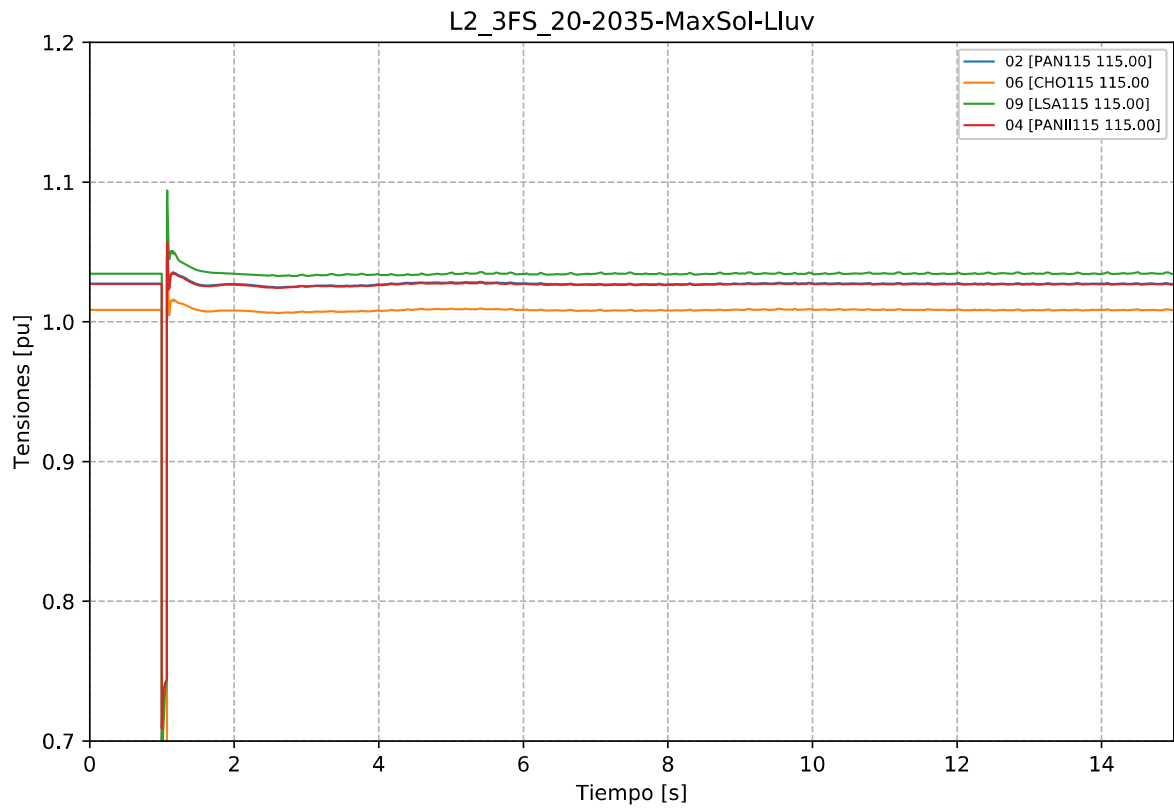


Gráfico 235. Evento L2\_3FS, caso 20-2035-MaxSol-Lluv. Tensiones en la zona de influencia 115 kV.

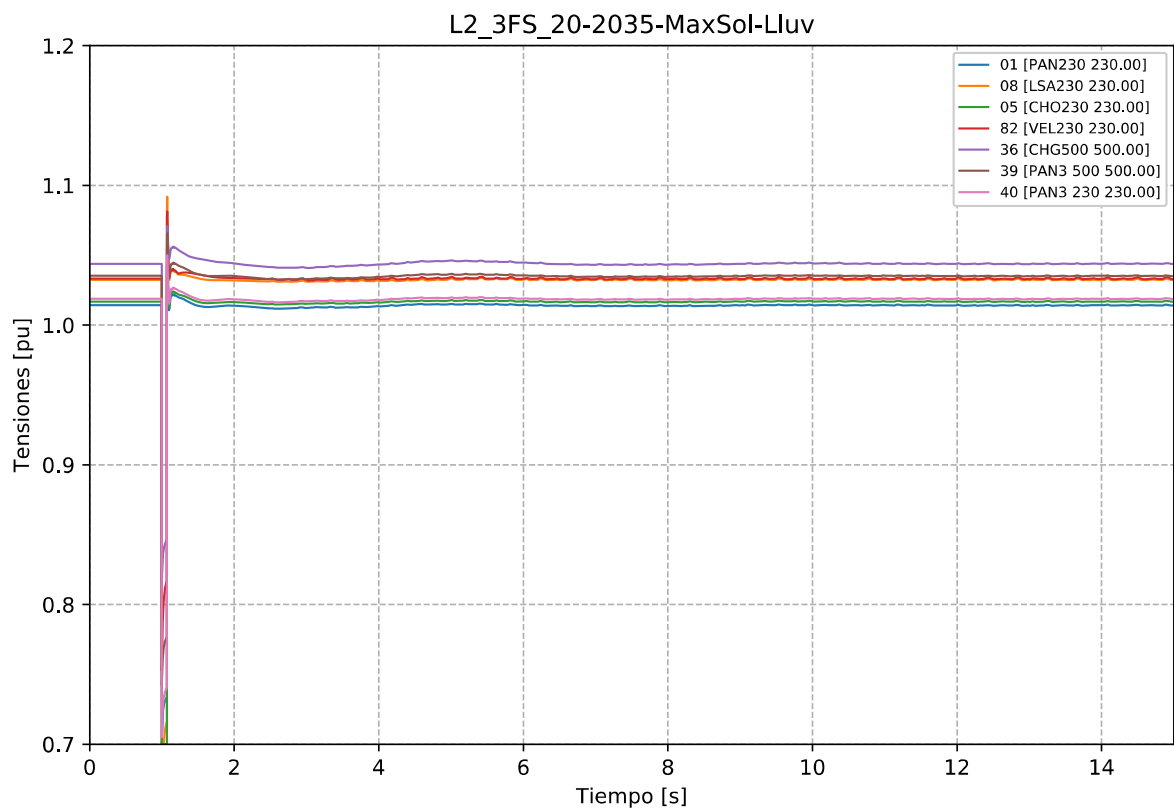


Gráfico 236. Evento L2\_3FS, caso 20-2035-MaxSol-Lluv. Tensiones en la zona de influencia 230 kV.

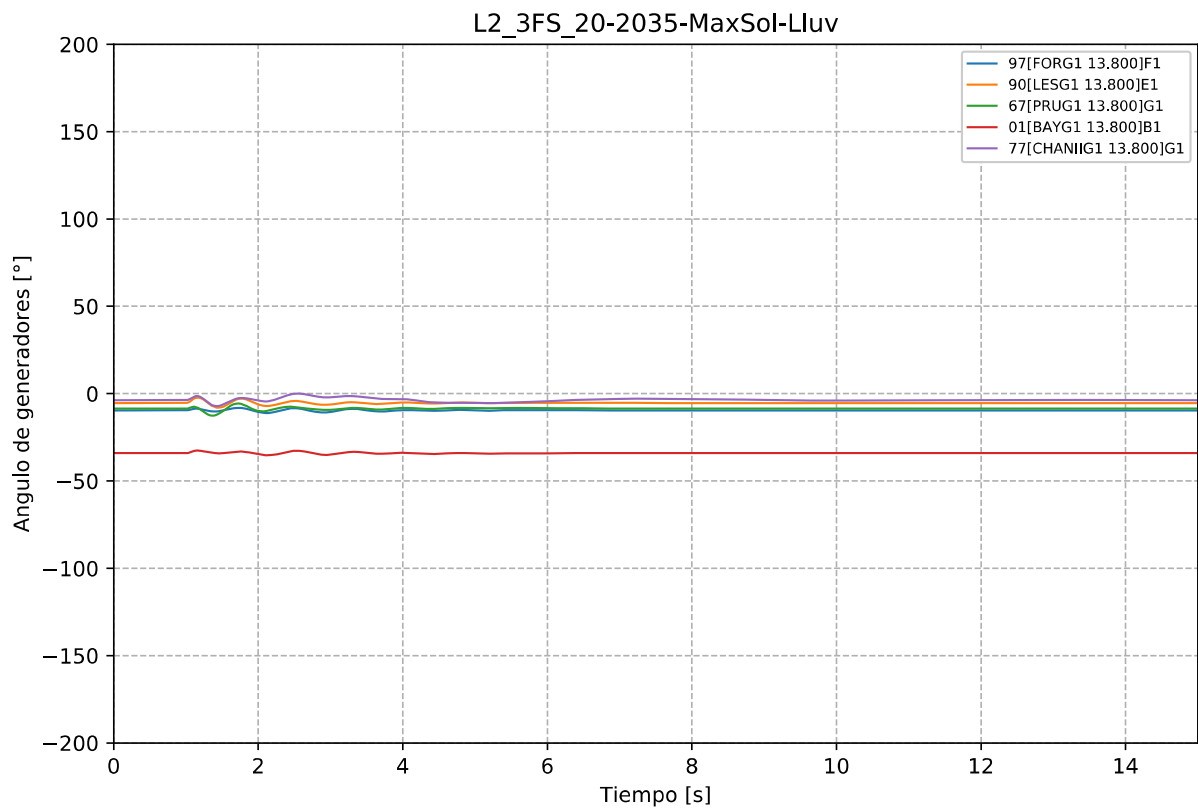


Gráfico 237. Evento L2\_3FS, caso 20-2035-MaxSol-Lluv. Ángulo de Generadores Hidroeléctricos.

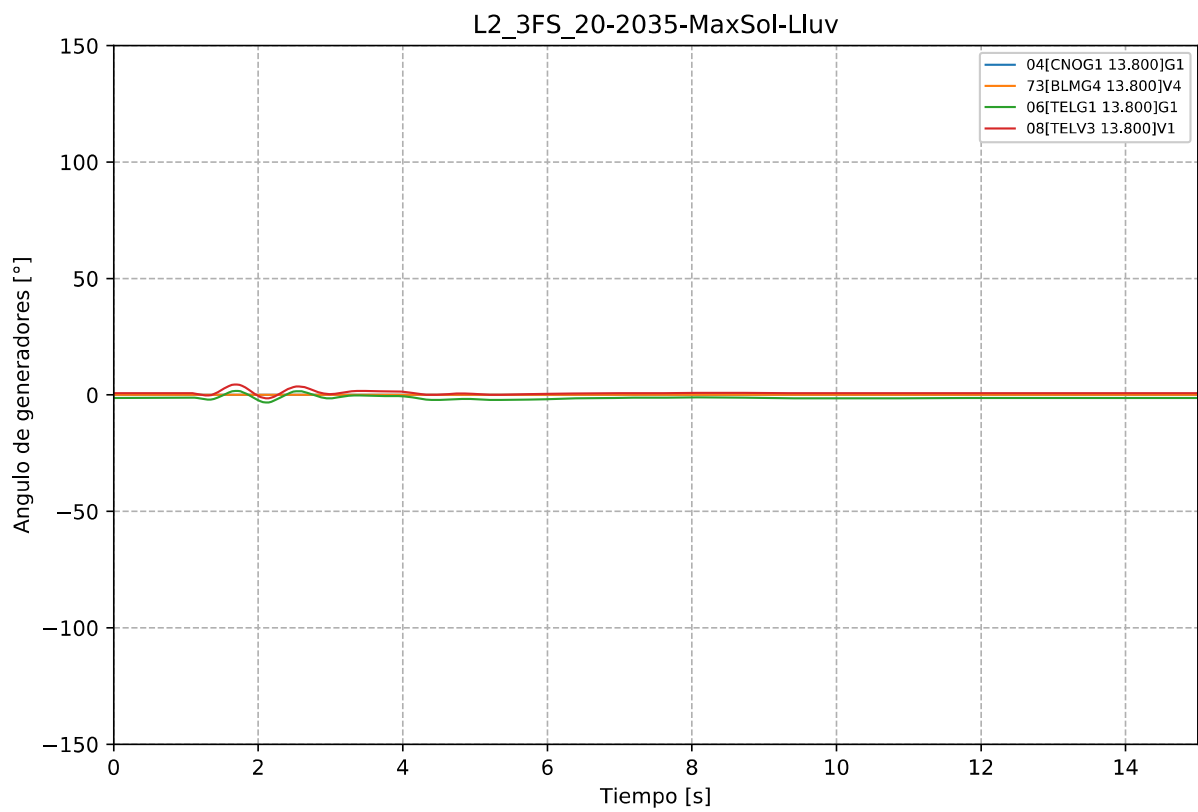


Gráfico 238. Evento L2\_3FS, caso 20-2035-MaxSol-Lluv. Ángulo de generadores Térmicos.

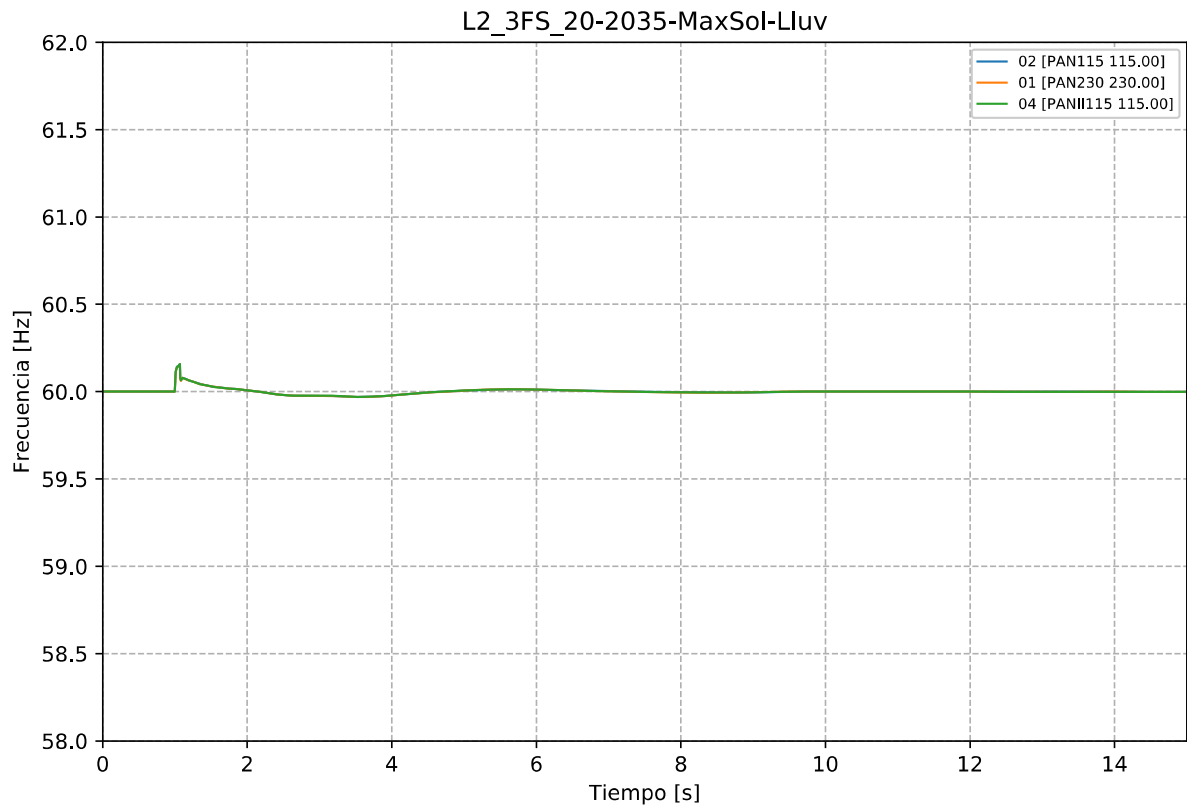


Gráfico 239. Evento L2\_3FS, caso 20-2035-MaxSol-Lluv. Frecuencia.

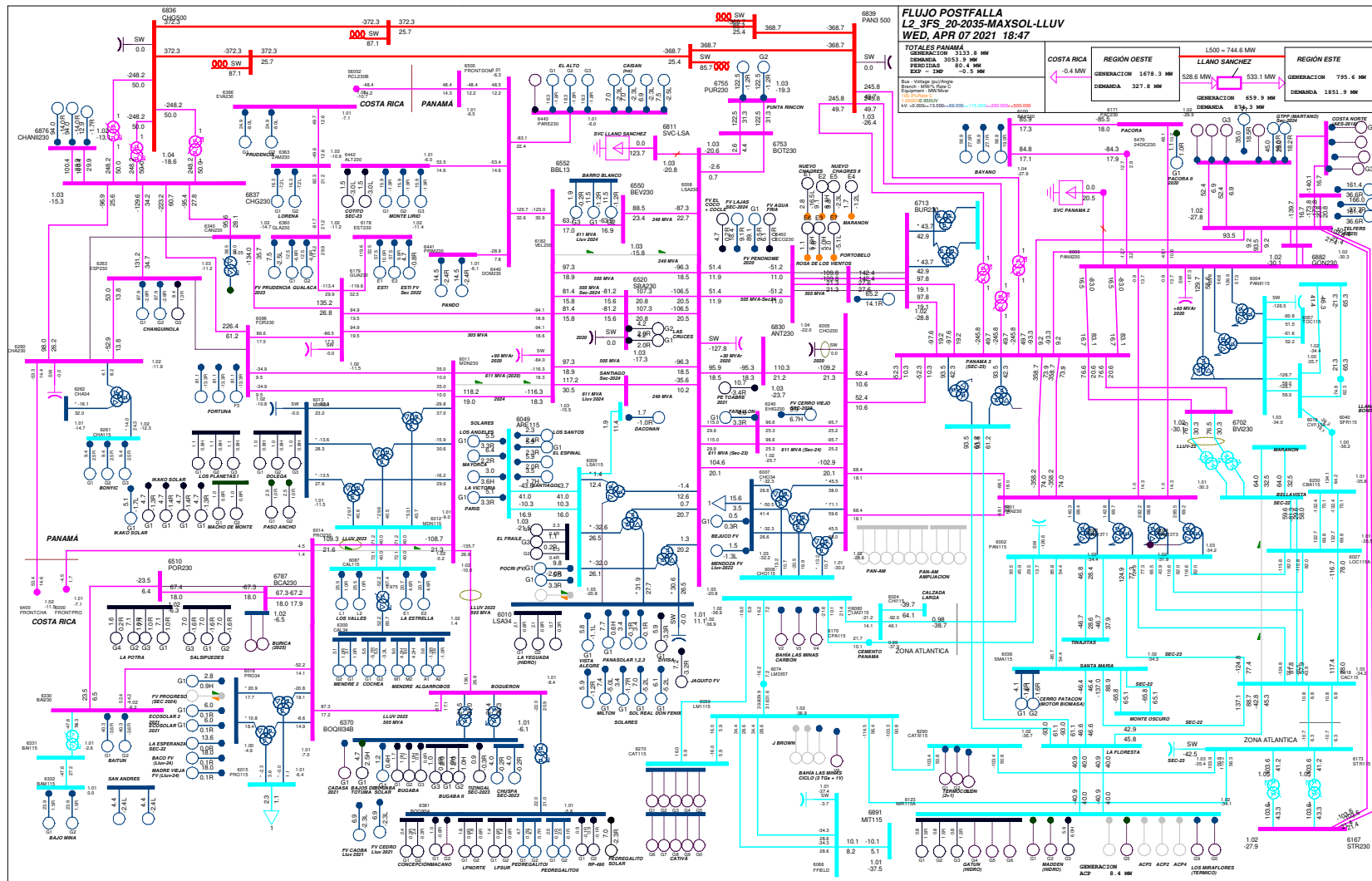


Gráfico 240. Evento L2\_3FS, caso 20-2035-MaxSol-Liuv. Flujo postfalla

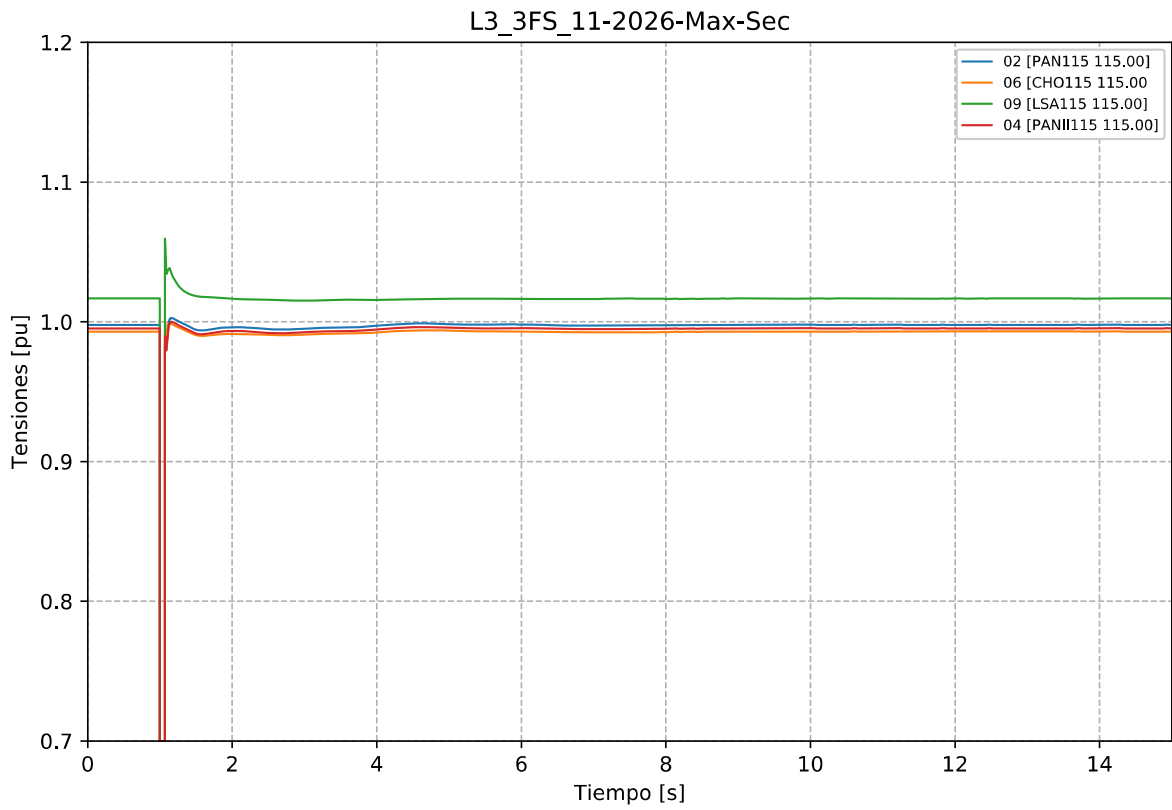


Gráfico 241. Evento L3\_3FS, caso 11-2026-Max-Sec. Tensiones en la zona de influencia 115 kV.

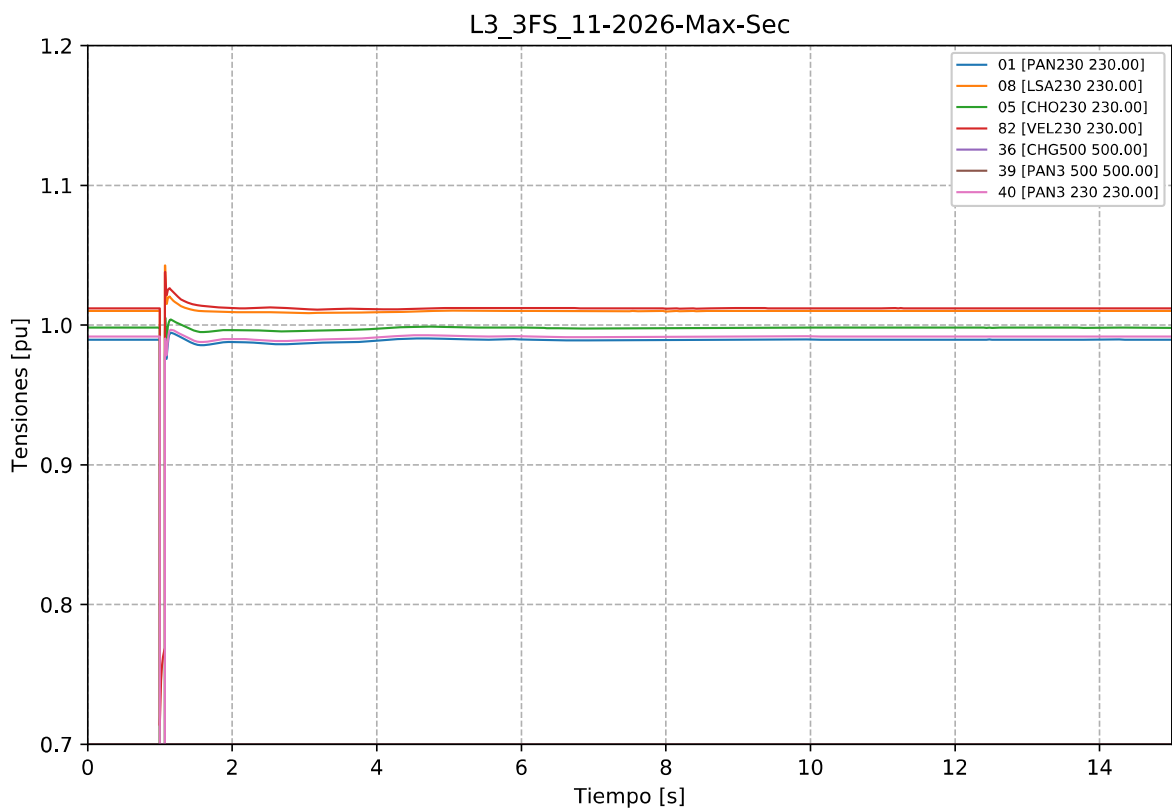


Gráfico 242. Evento L3\_3FS, caso 11-2026-Max-Sec. Tensiones en la zona de influencia 230 kV.

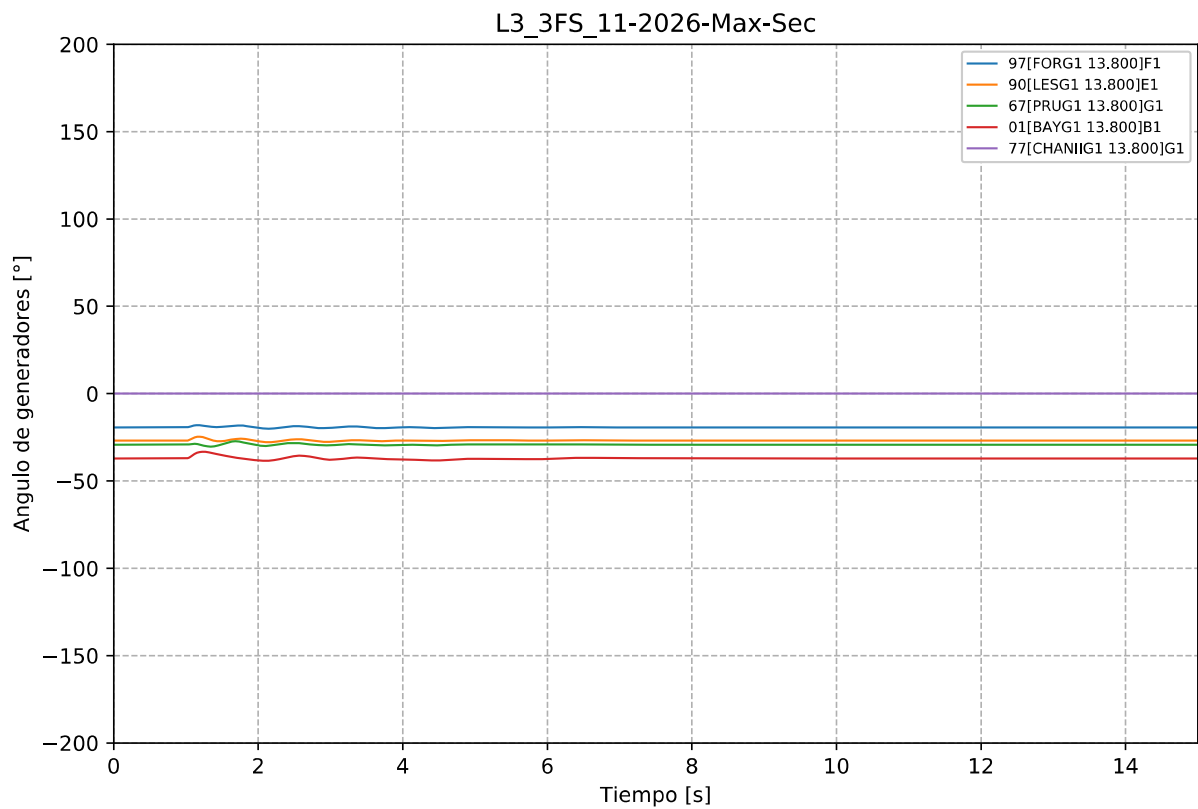


Gráfico 243. Evento L3\_3FS, caso 11-2026-Max-Sec. Ángulo de Generadores Hidroeléctricos.

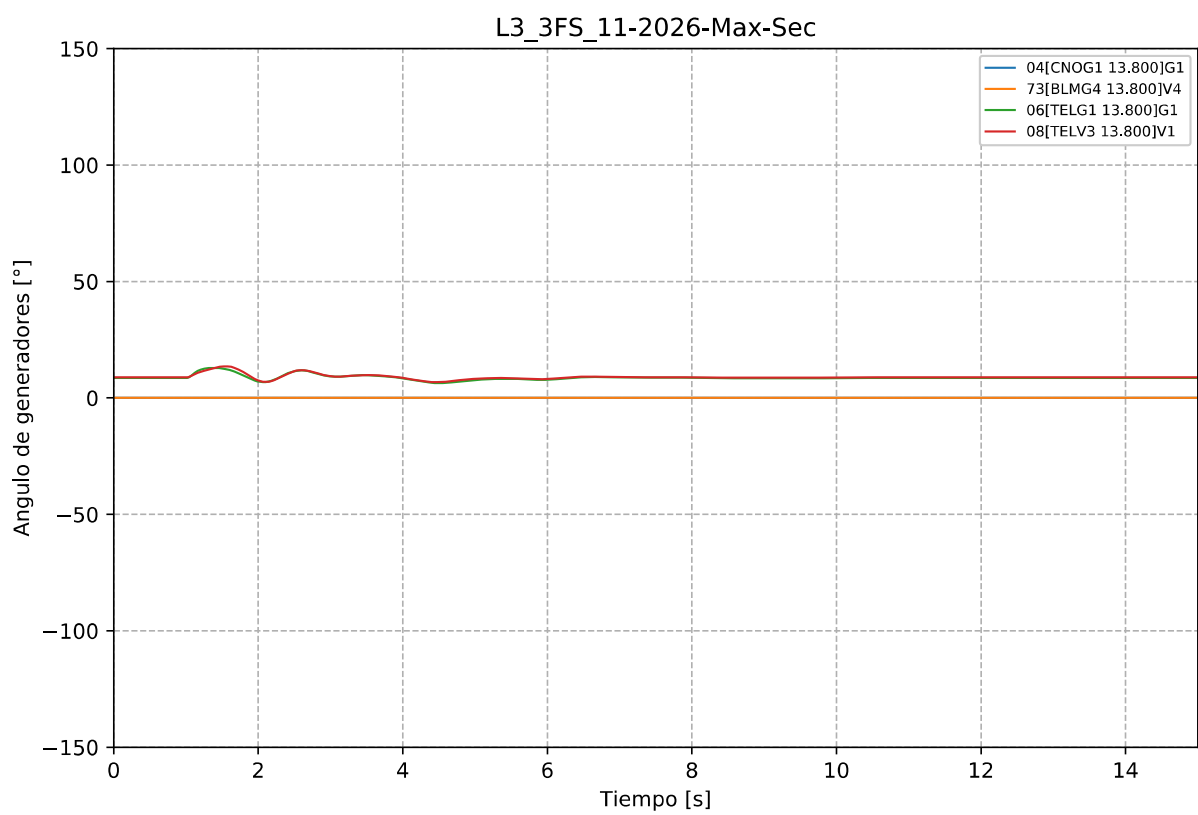


Gráfico 244. Evento L3\_3FS, caso 11-2026-Max-Sec. Ángulo de generadores Térmicos.



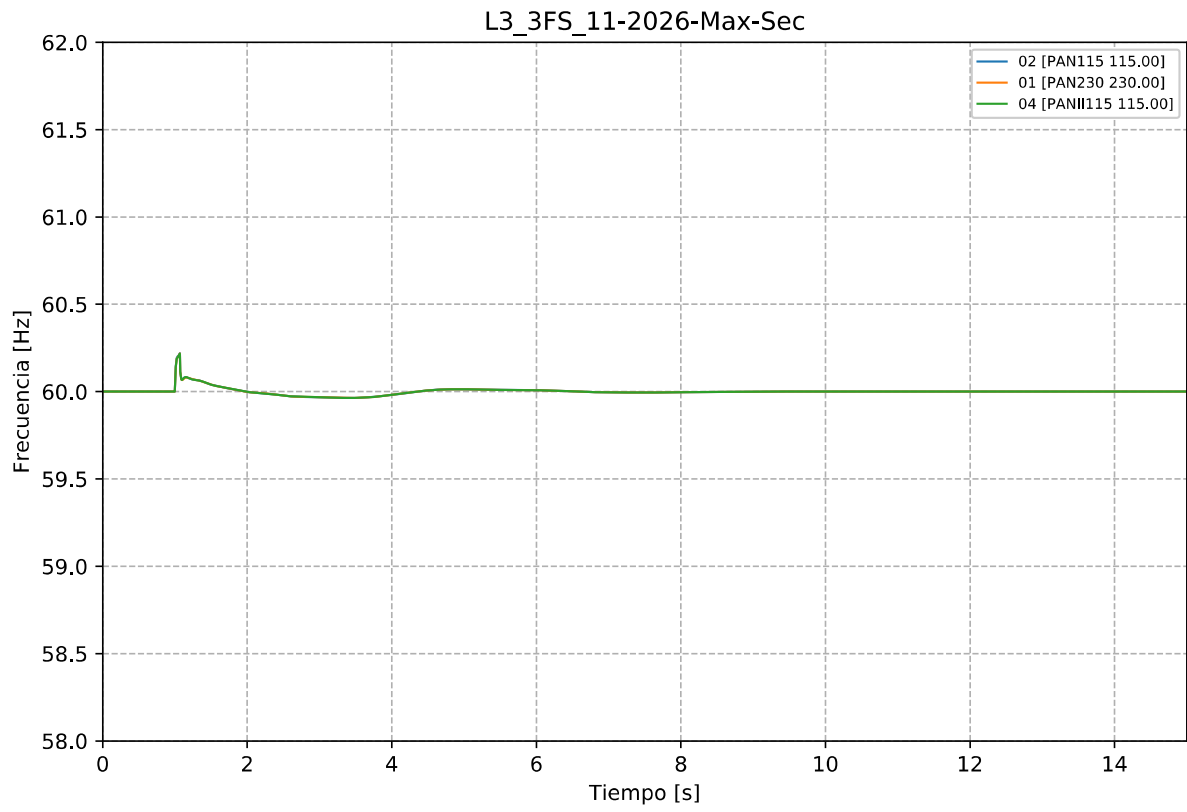


Gráfico 245. Evento L3\_3FS, caso 11-2026-Max-Sec. Frecuencia.

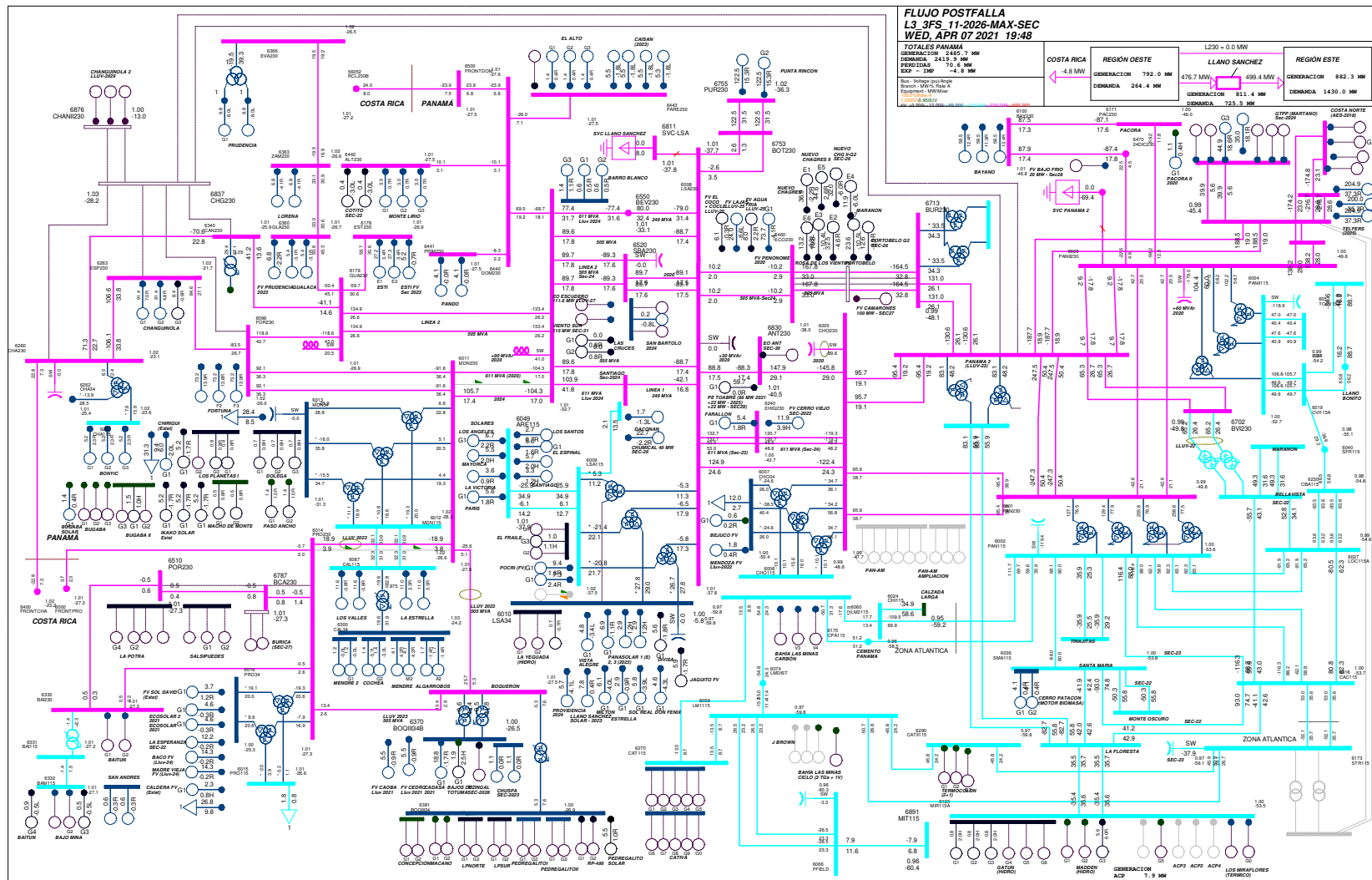


Gráfico 246. Evento L3\_3FS, caso 11-2026-Max-Sec. Flujo postfalla

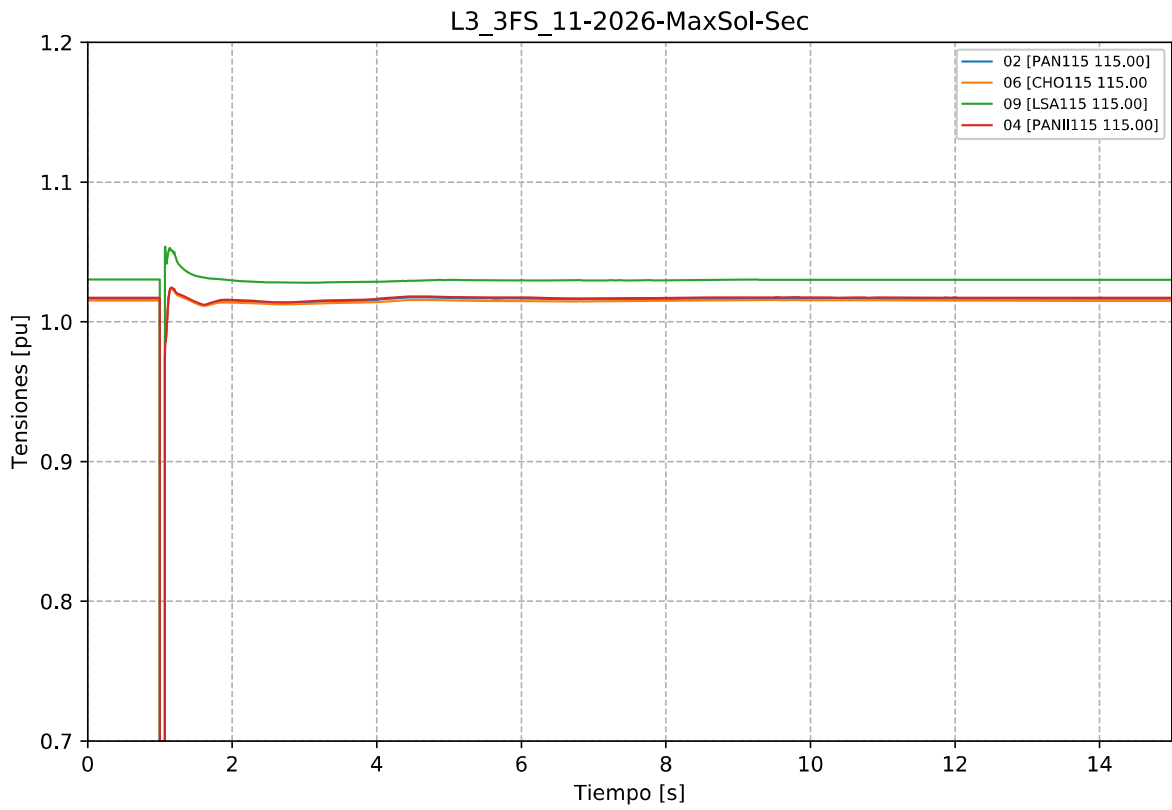


Gráfico 247. Evento L3\_3FS, caso 11-2026-MaxSol-Sec. Tensiones en la zona de influencia 115 kV.

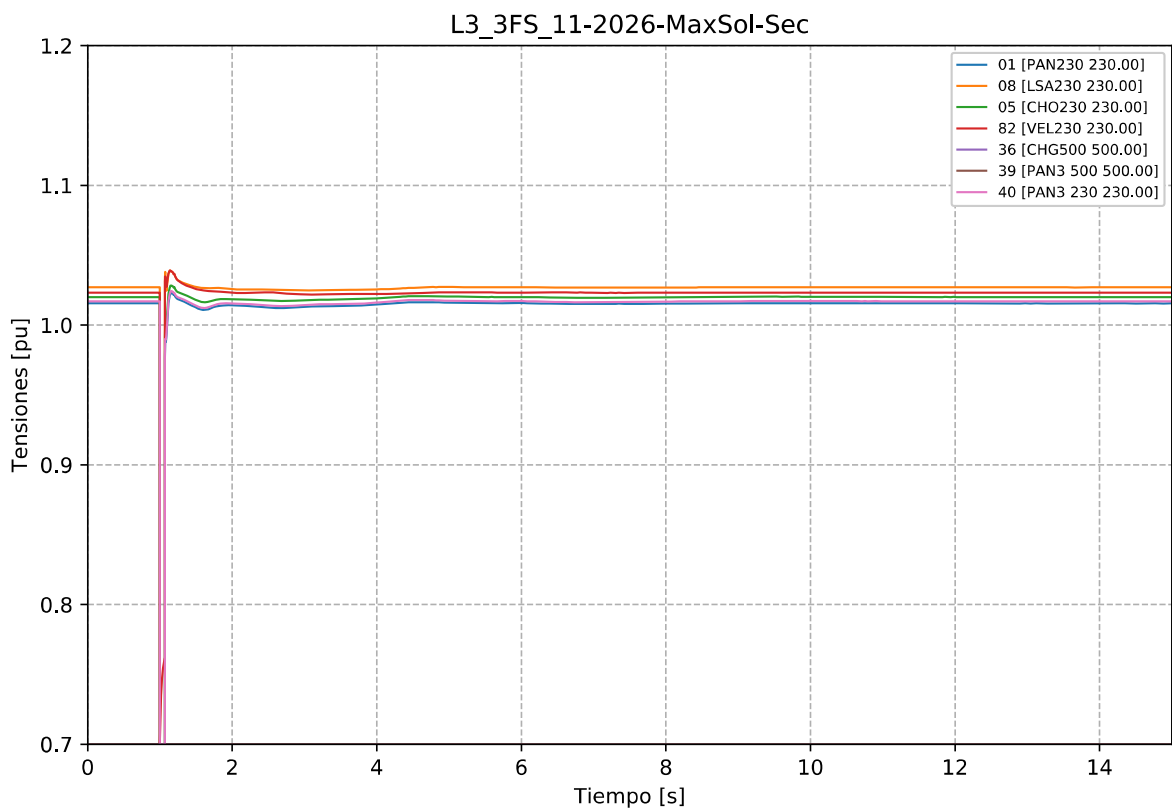


Gráfico 248. Evento L3\_3FS, caso 11-2026-MaxSol-Sec. Tensiones en la zona de influencia 230 kV.

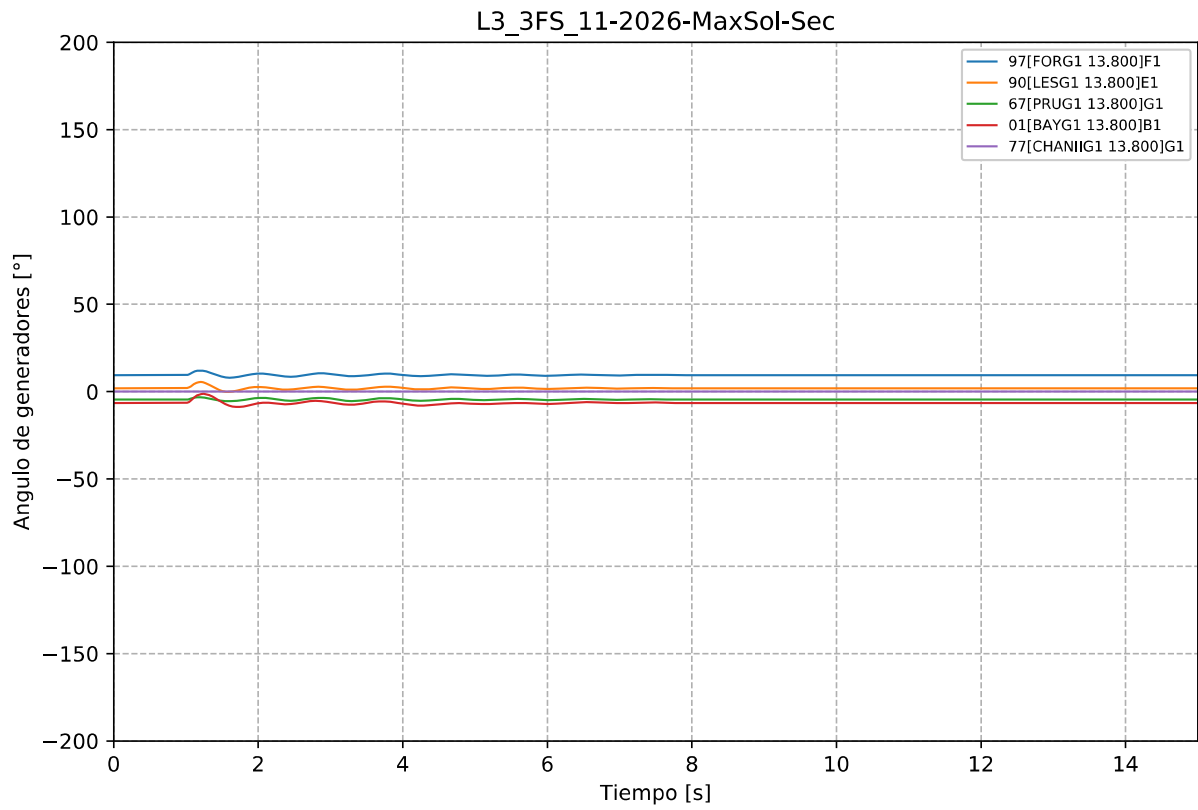


Gráfico 249. Evento L3\_3FS, caso 11-2026-MaxSol-Sec. Ángulo de Generadores Hidroeléctricos.

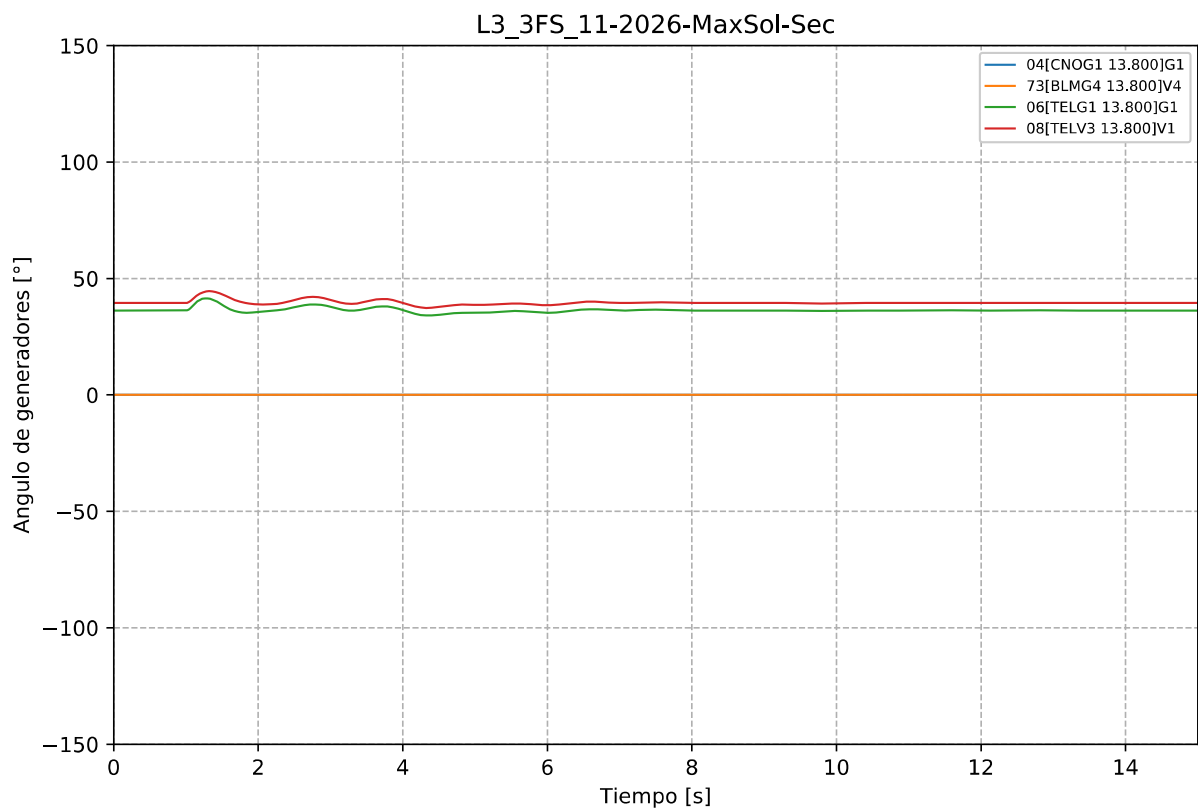


Gráfico 250. Evento L3\_3FS, caso 11-2026-MaxSol-Sec. Ángulo de generadores Térmicos.

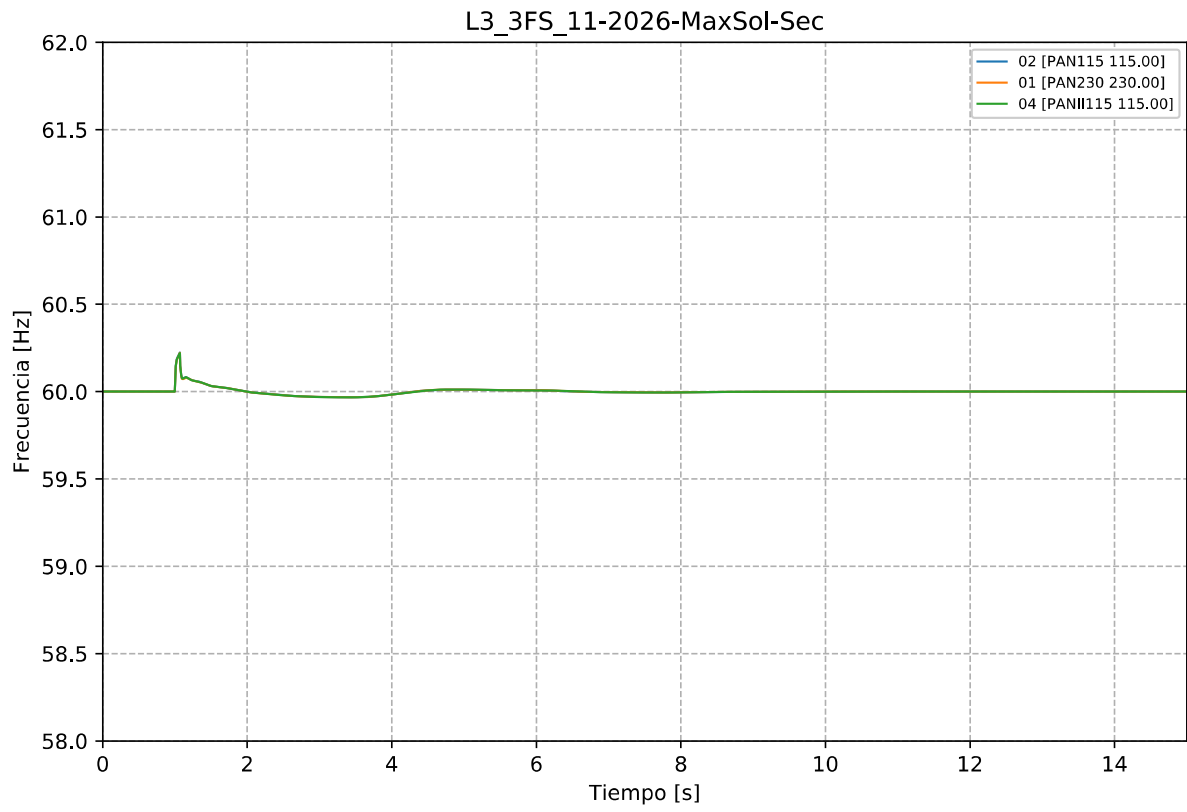


Gráfico 251. Evento L3\_3FS, caso 11-2026-MaxSol-Sec. Frecuencia.

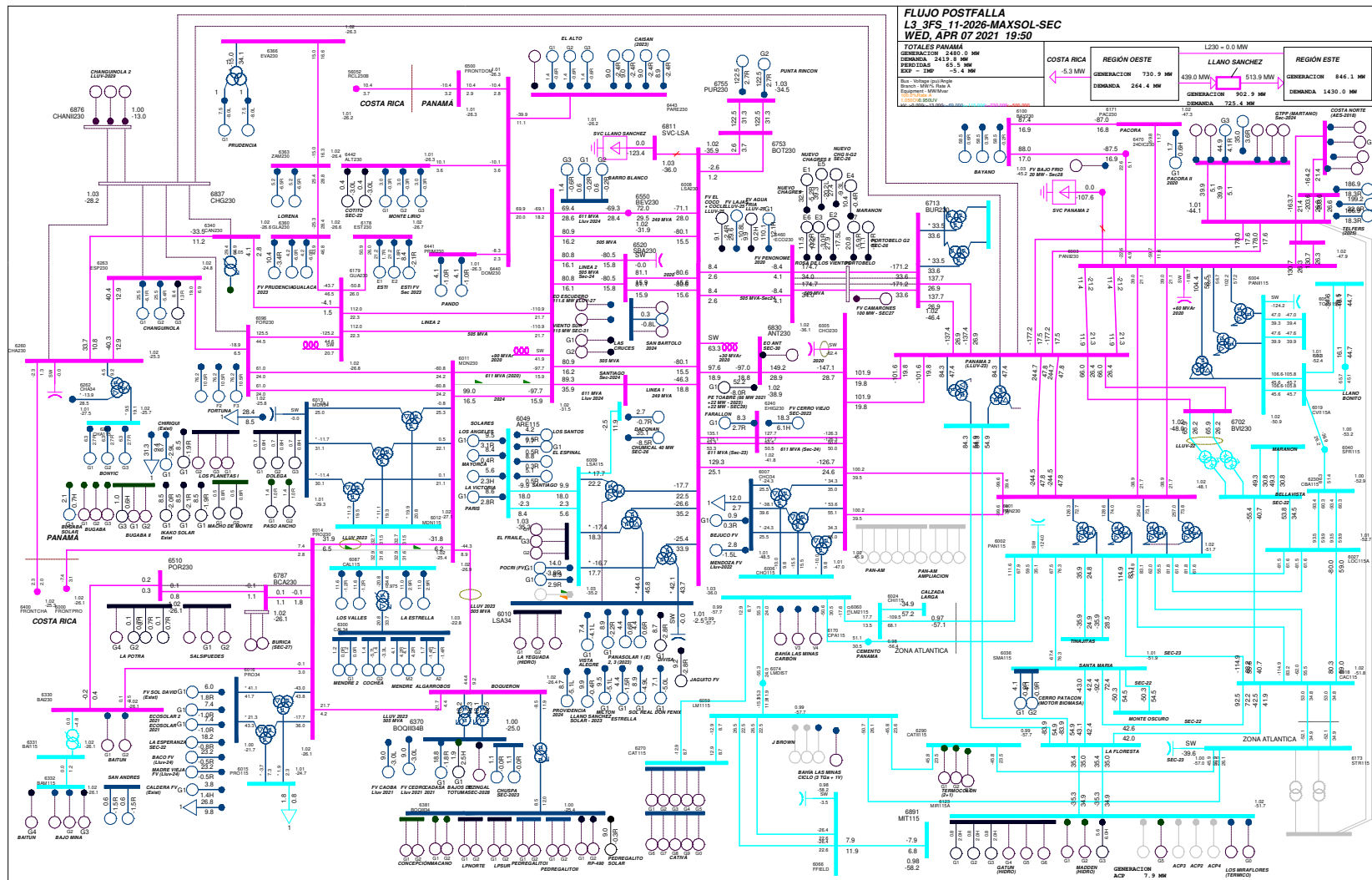


Gráfico 252. Evento L3\_3FS, caso 11-2026-MaxSol-Sec. Flujo postfalla

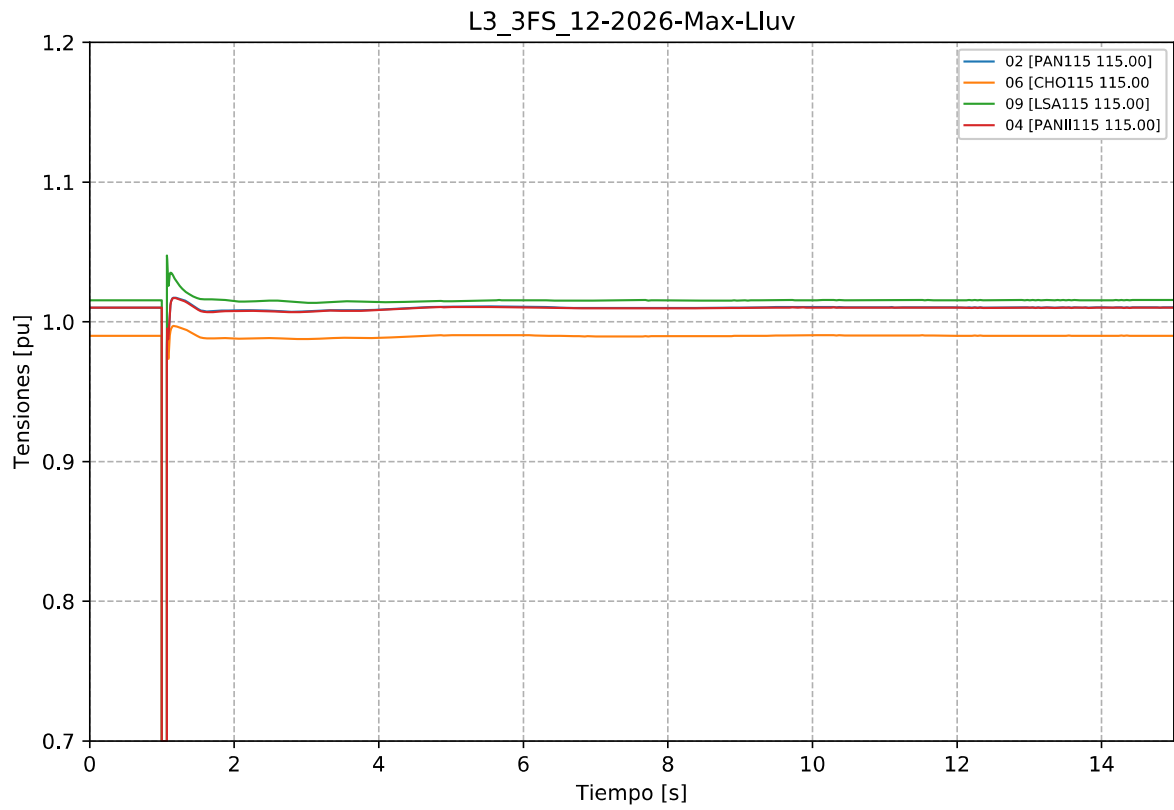


Gráfico 253. Evento L3\_3FS, caso 12-2026-Max-Lluv. Tensiones en la zona de influencia 115 kV.

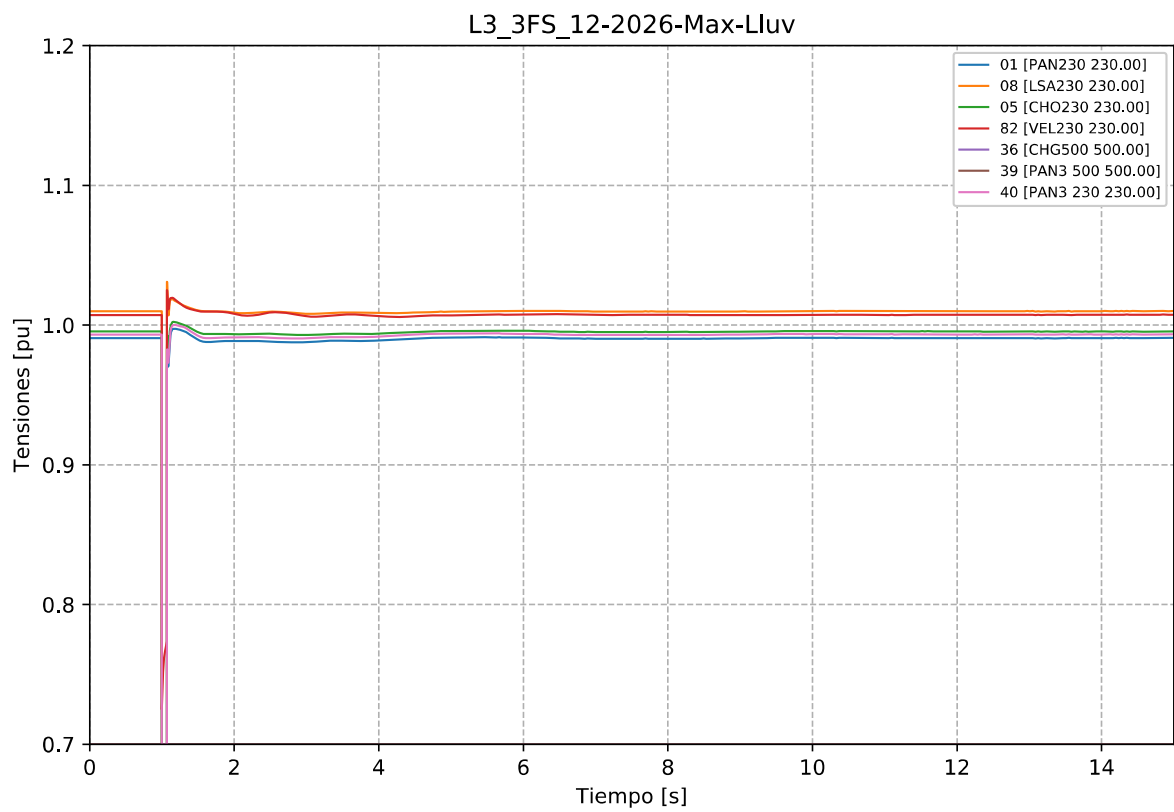


Gráfico 254. Evento L3\_3FS, caso 12-2026-Max-Lluv. Tensiones en la zona de influencia 230 kV.

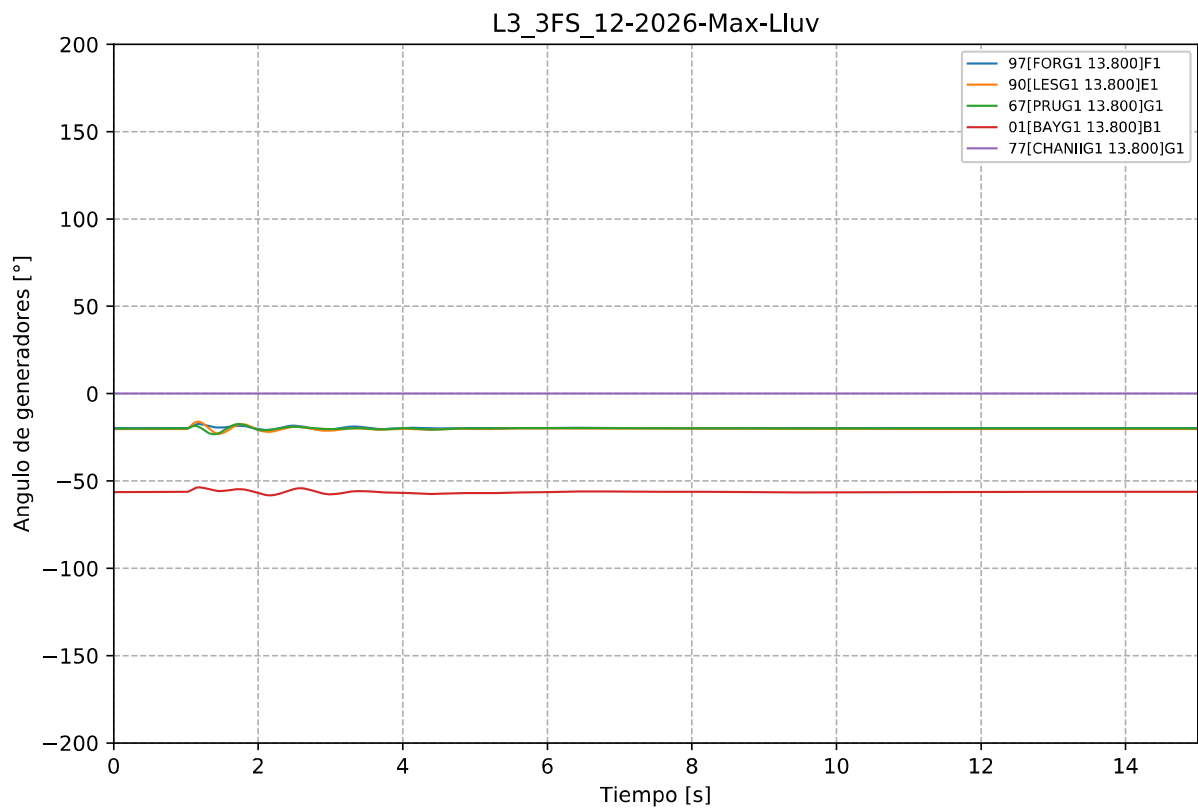


Gráfico 255. Evento L3\_3FS, caso 12-2026-Max-Lluv. Ángulo de Generadores Hidroeléctricos.

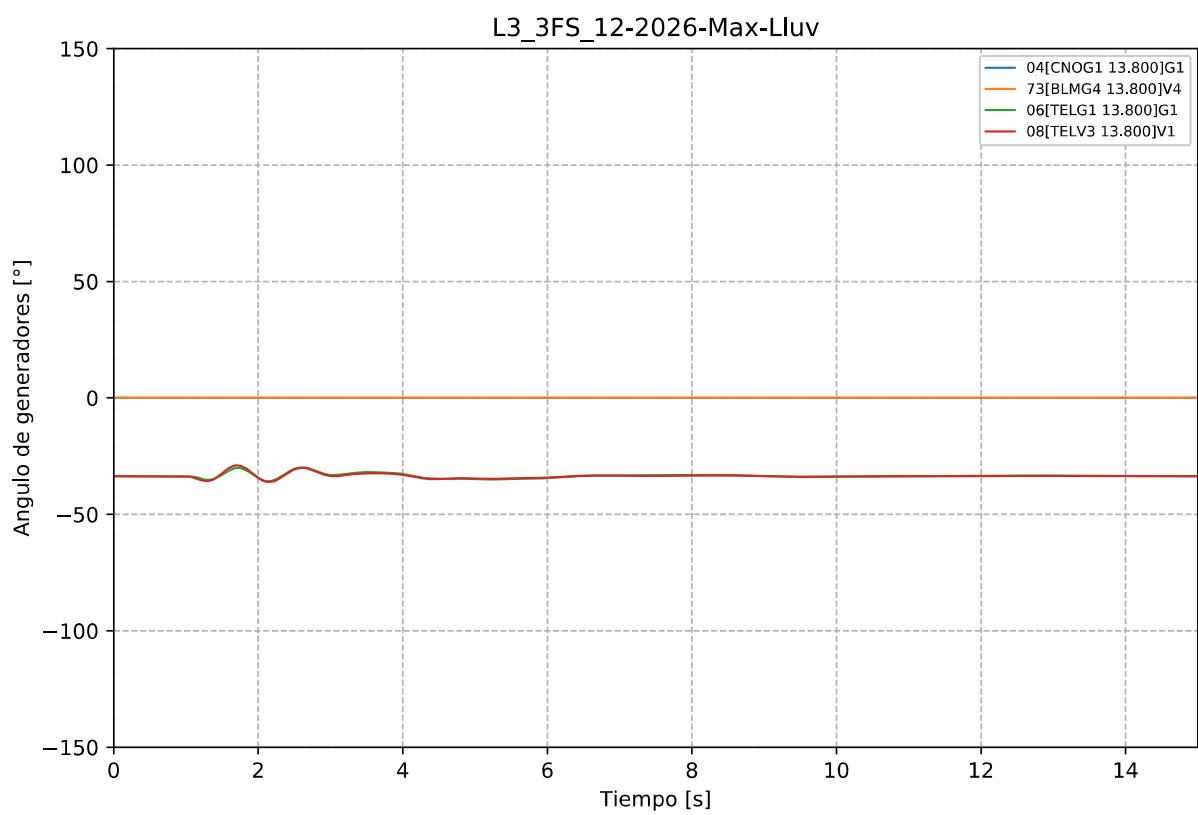


Gráfico 256. Evento L3\_3FS, caso 12-2026-Max-Lluv. Ángulo de generadores Térmicos.



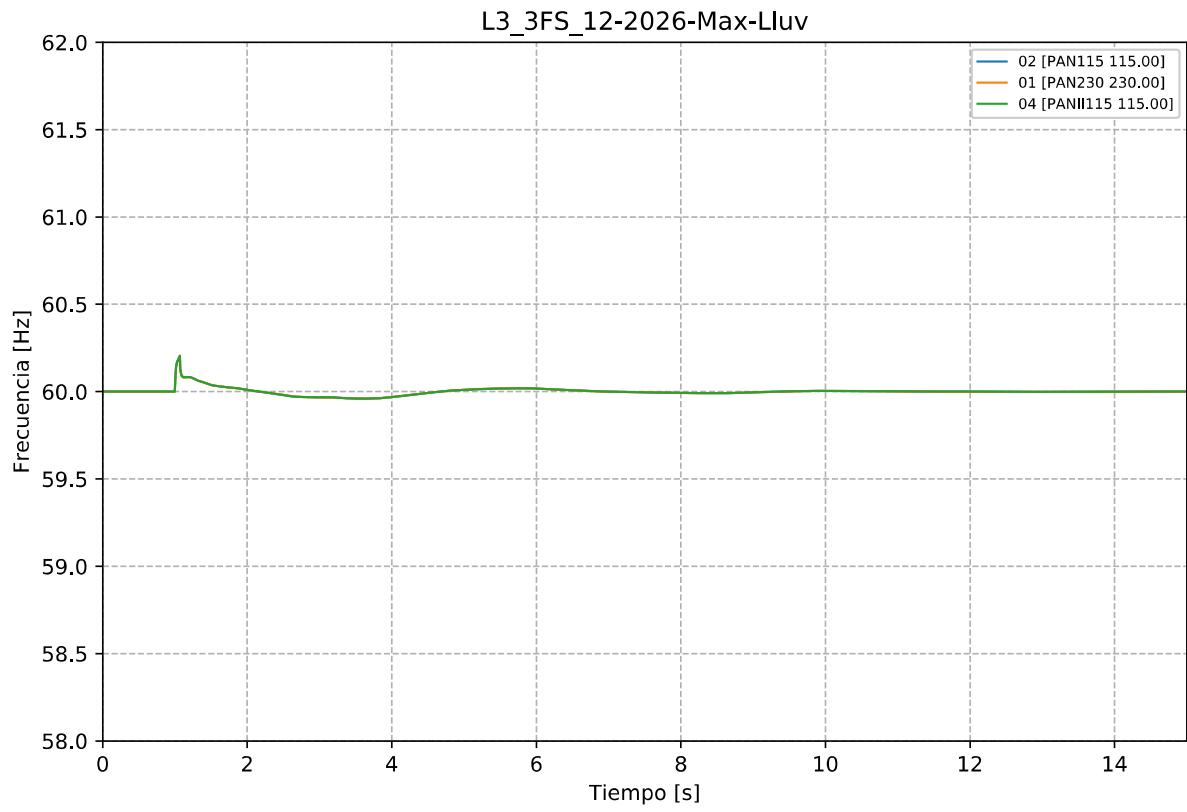


Gráfico 257. Evento L3\_3FS, caso 12-2026-Max-Lluv. Frecuencia.

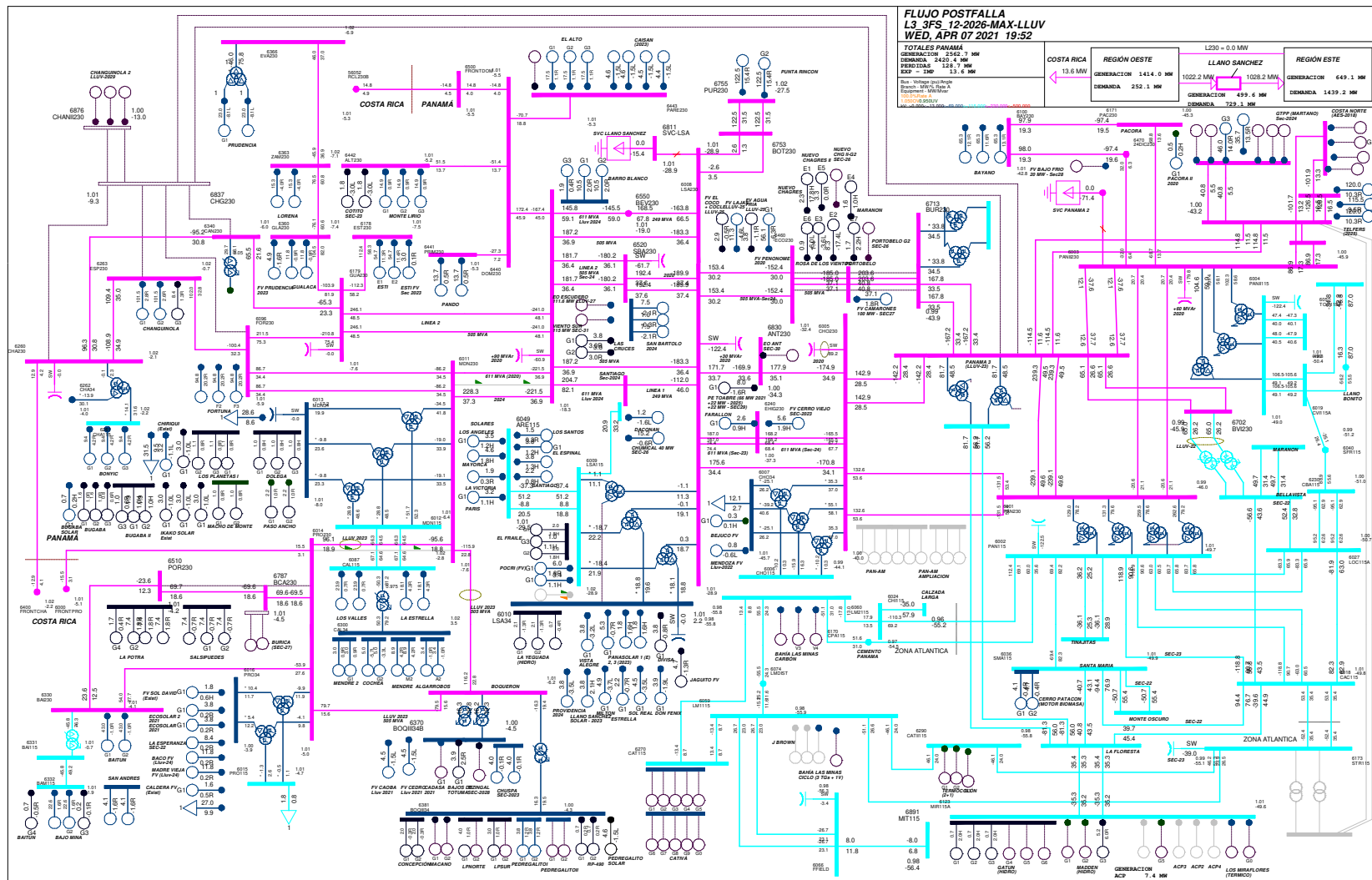


Gráfico 258. Evento L3\_3FS, caso 12-2026-Max-Lluv. Flujo postfalla

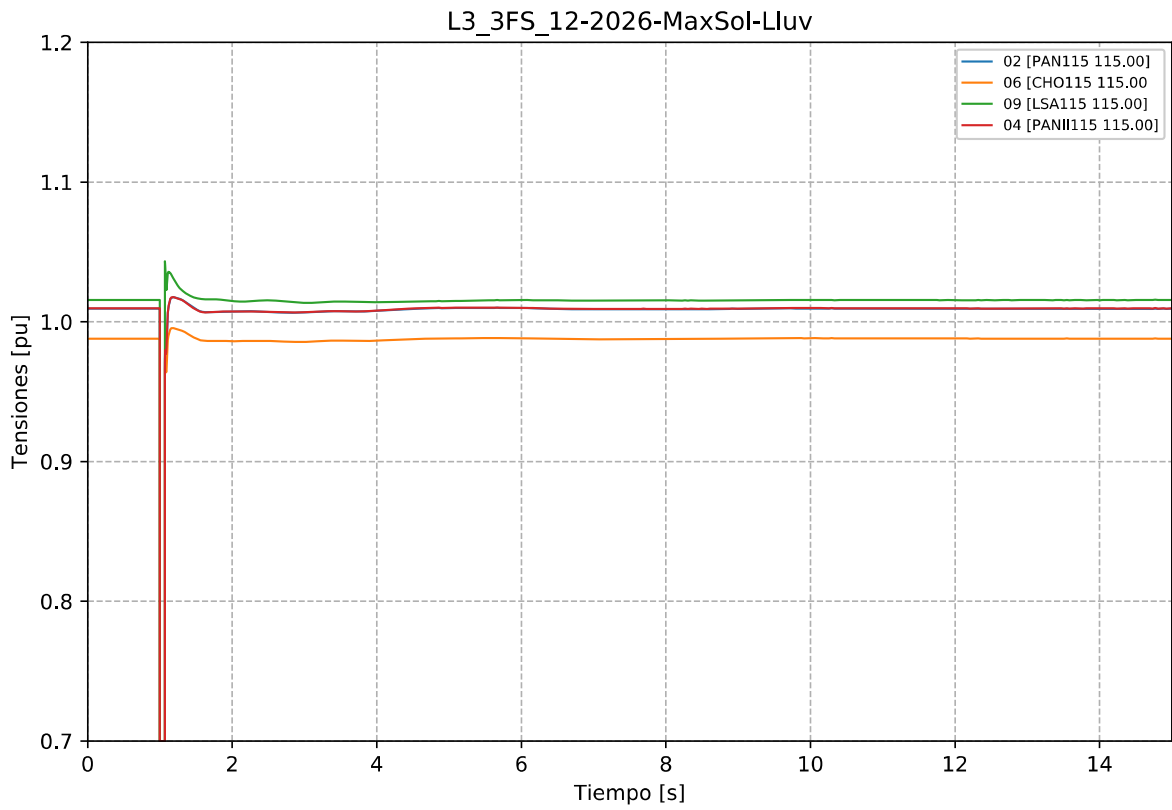


Gráfico 259. Evento L3\_3FS, caso 12-2026-MaxSol-Lluv. Tensiones en la zona de influencia 115 kV.

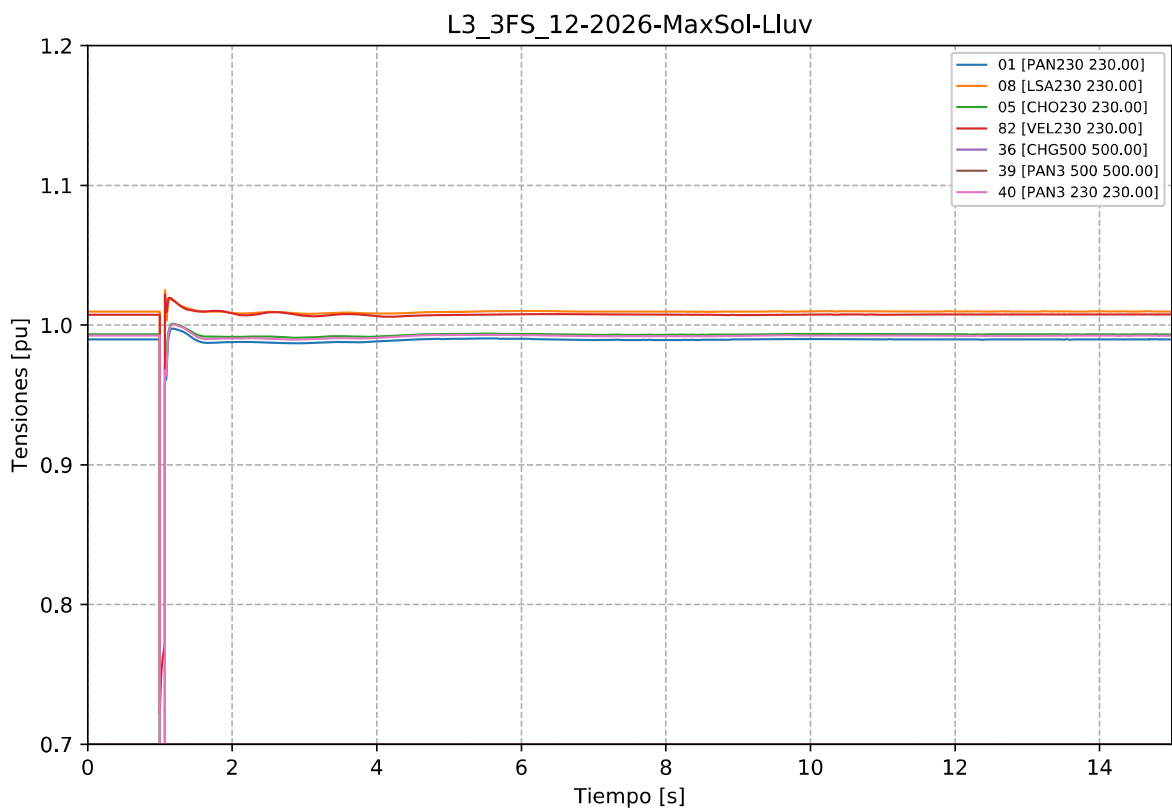


Gráfico 260. Evento L3\_3FS, caso 12-2026-MaxSol-Lluv. Tensiones en la zona de influencia 230 kV.

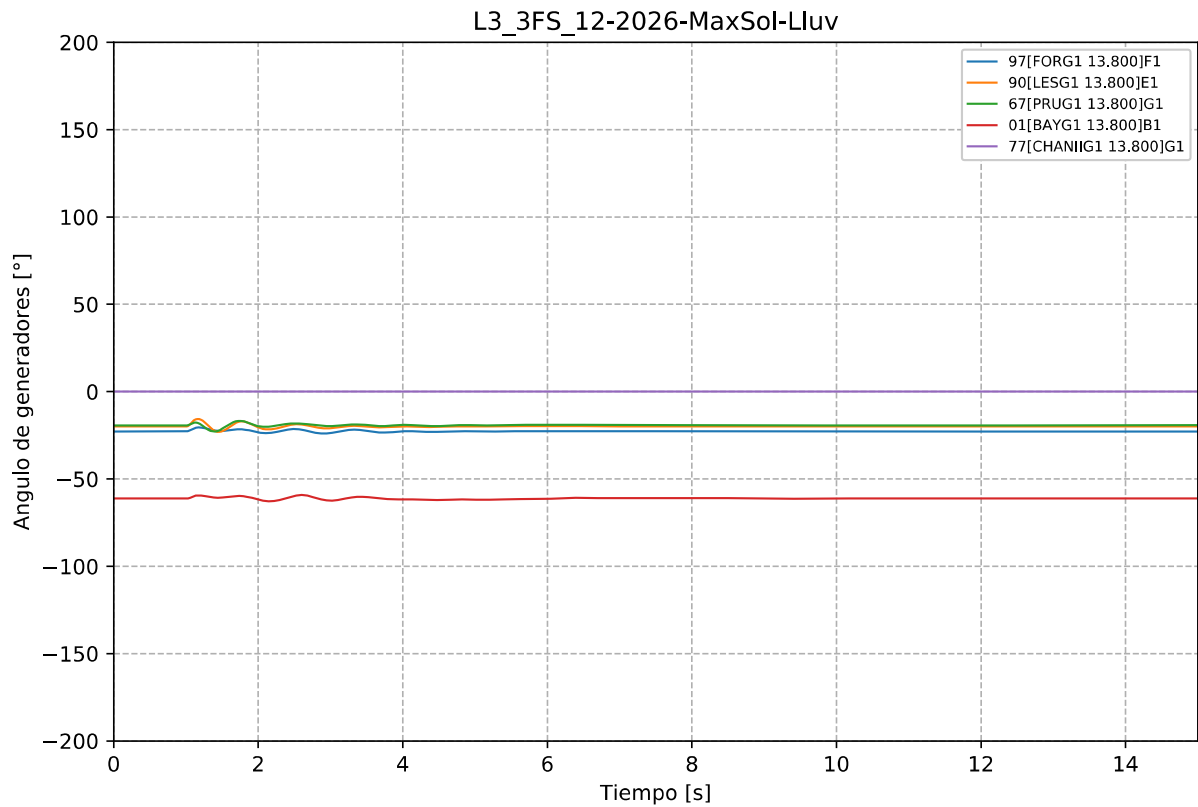


Gráfico 261. Evento L3\_3FS, caso 12-2026-MaxSol-Lluv. Ángulo de Generadores Hidroeléctricos.

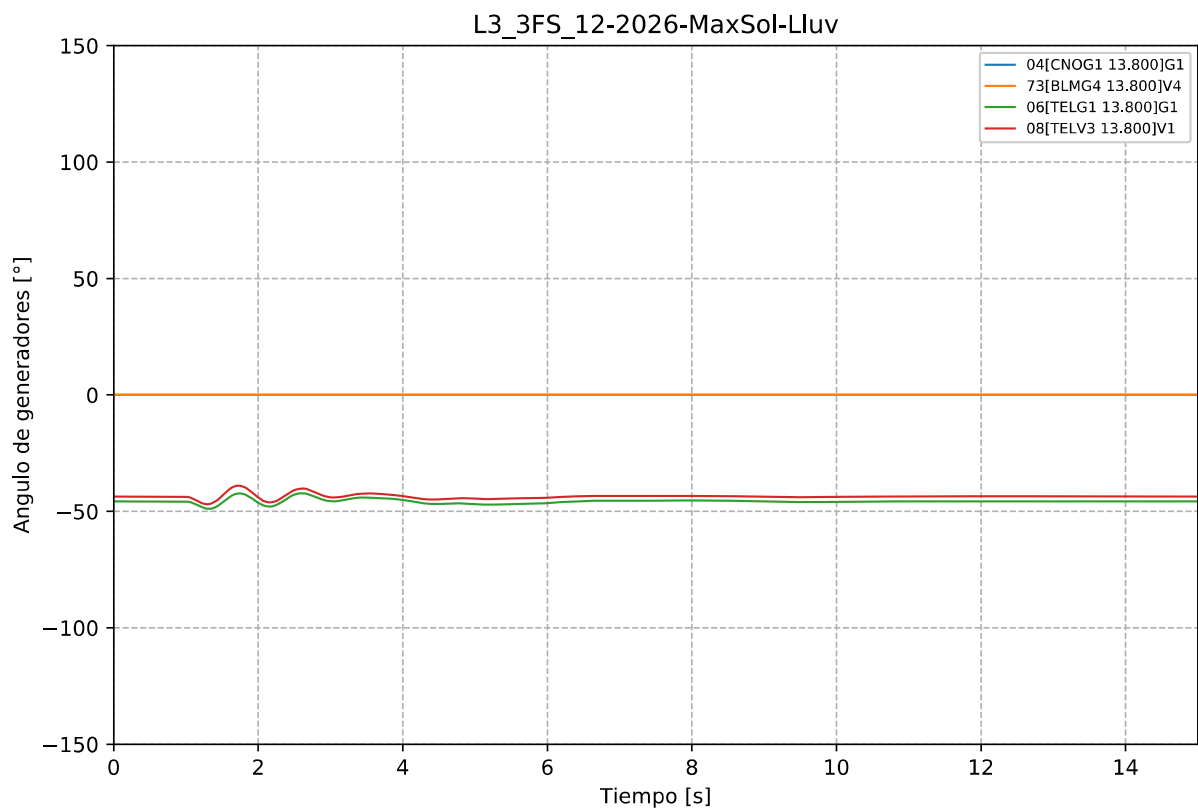


Gráfico 262. Evento L3\_3FS, caso 12-2026-MaxSol-Lluv. Ángulo de generadores Térmicos.

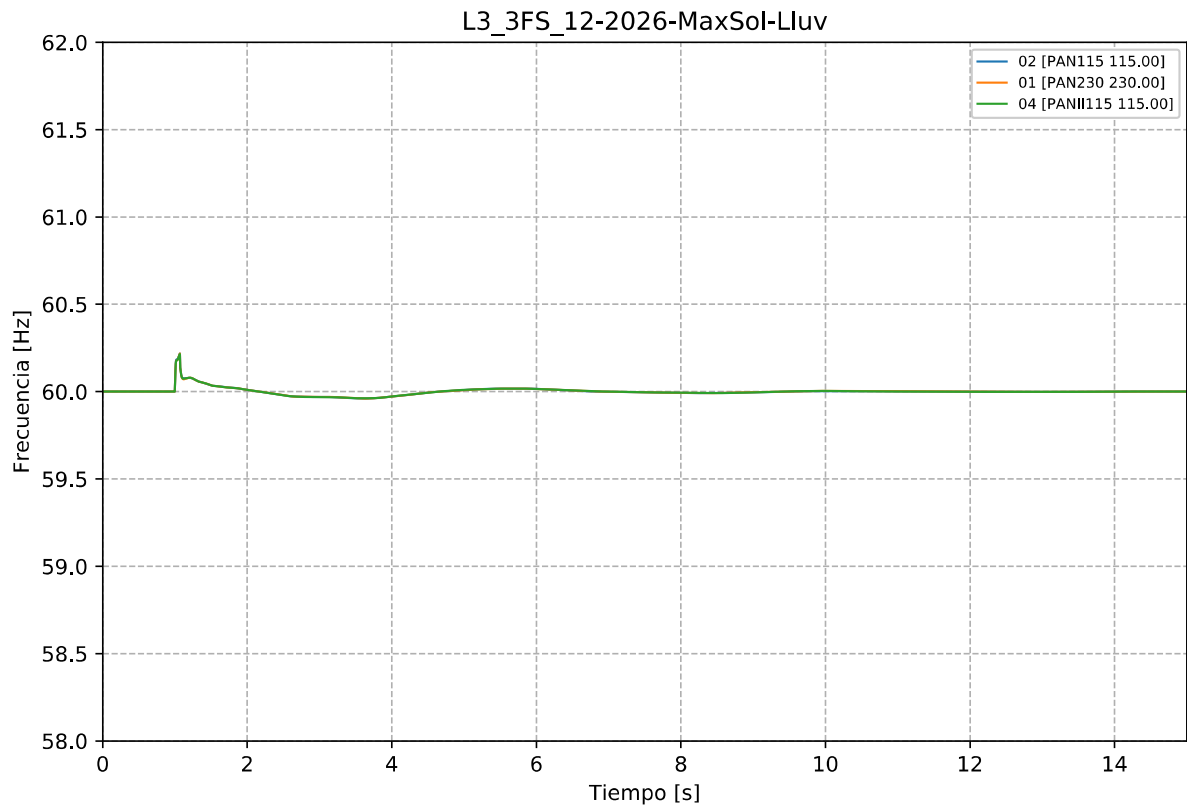


Gráfico 263. Evento L3\_3FS, caso 12-2026-MaxSol-Lluv. Frecuencia.

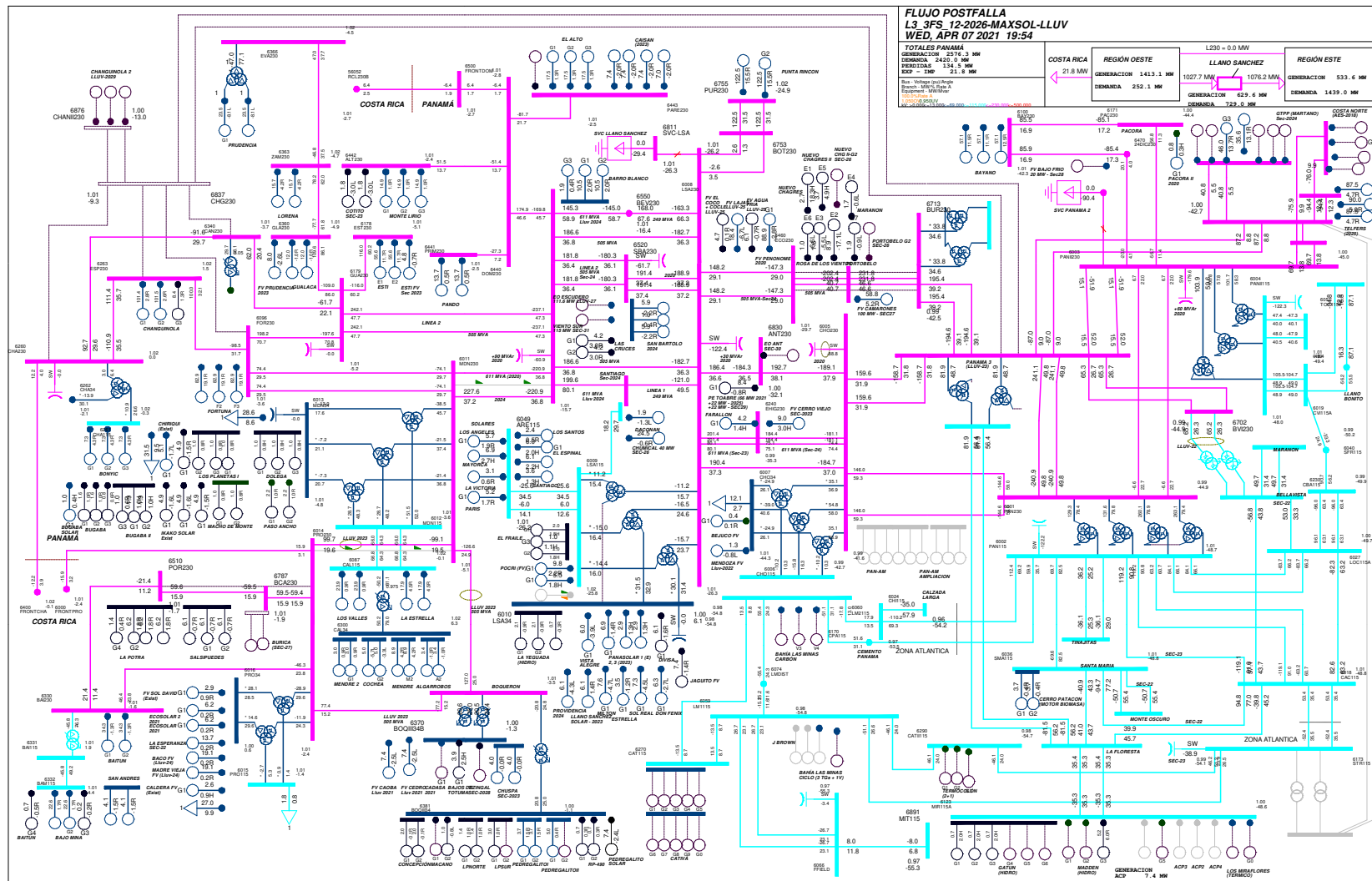


Gráfico 264. Evento L3\_3FS, caso 12-2026-MaxSol-Lluv. Flujo postfalla

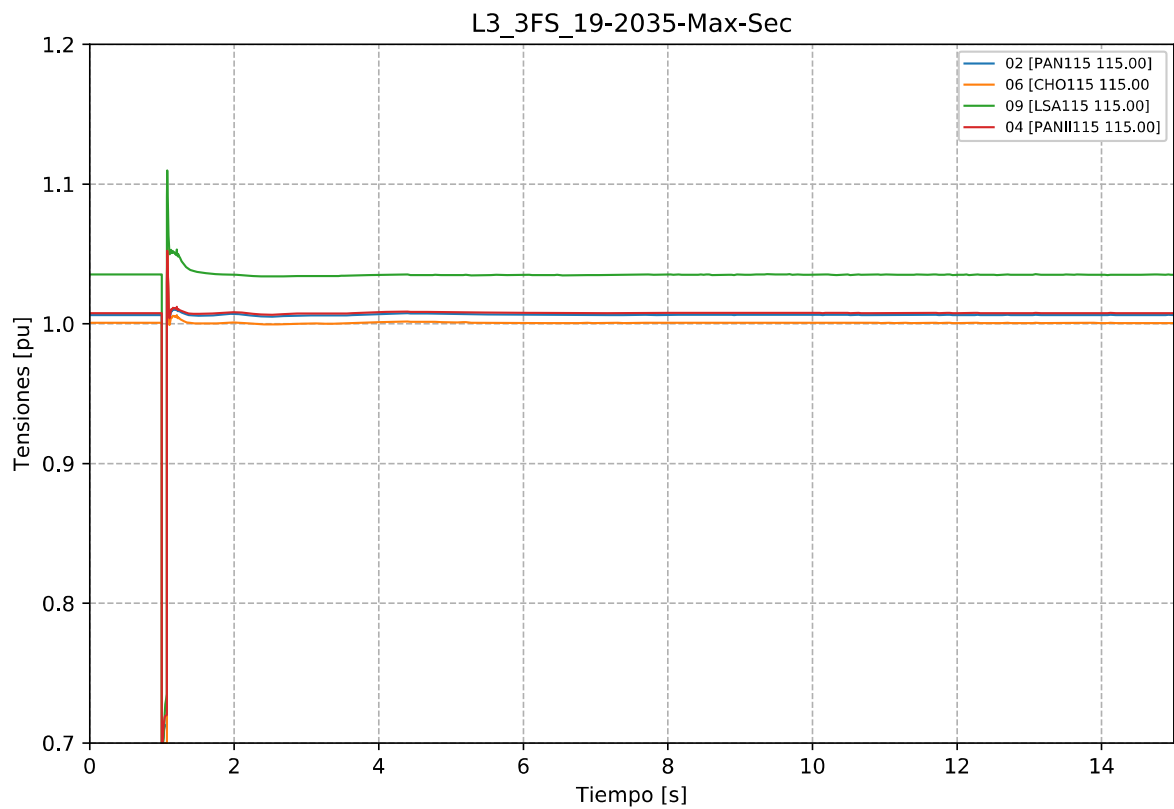


Gráfico 265. Evento L3\_3FS, caso 19-2035-Max-Sec. Tensiones en la zona de influencia 115 kV.

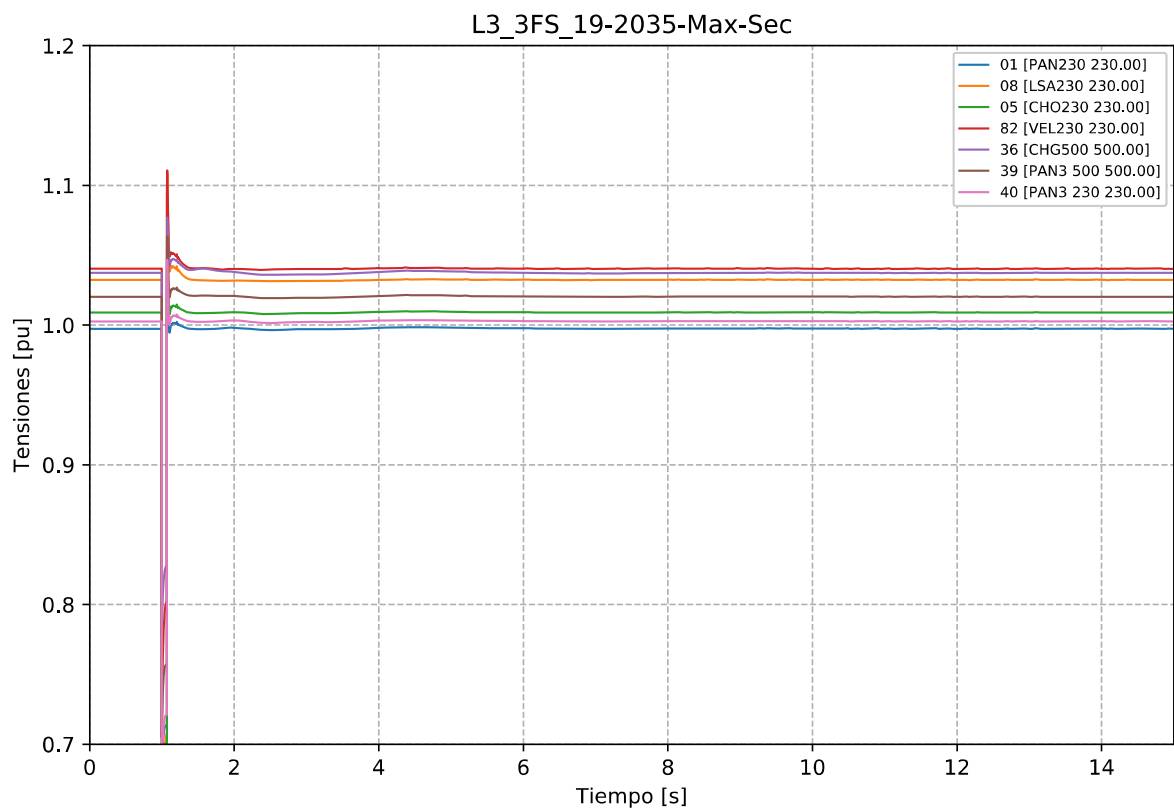


Gráfico 266. Evento L3\_3FS, caso 19-2035-Max-Sec. Tensiones en la zona de influencia 230 kV.

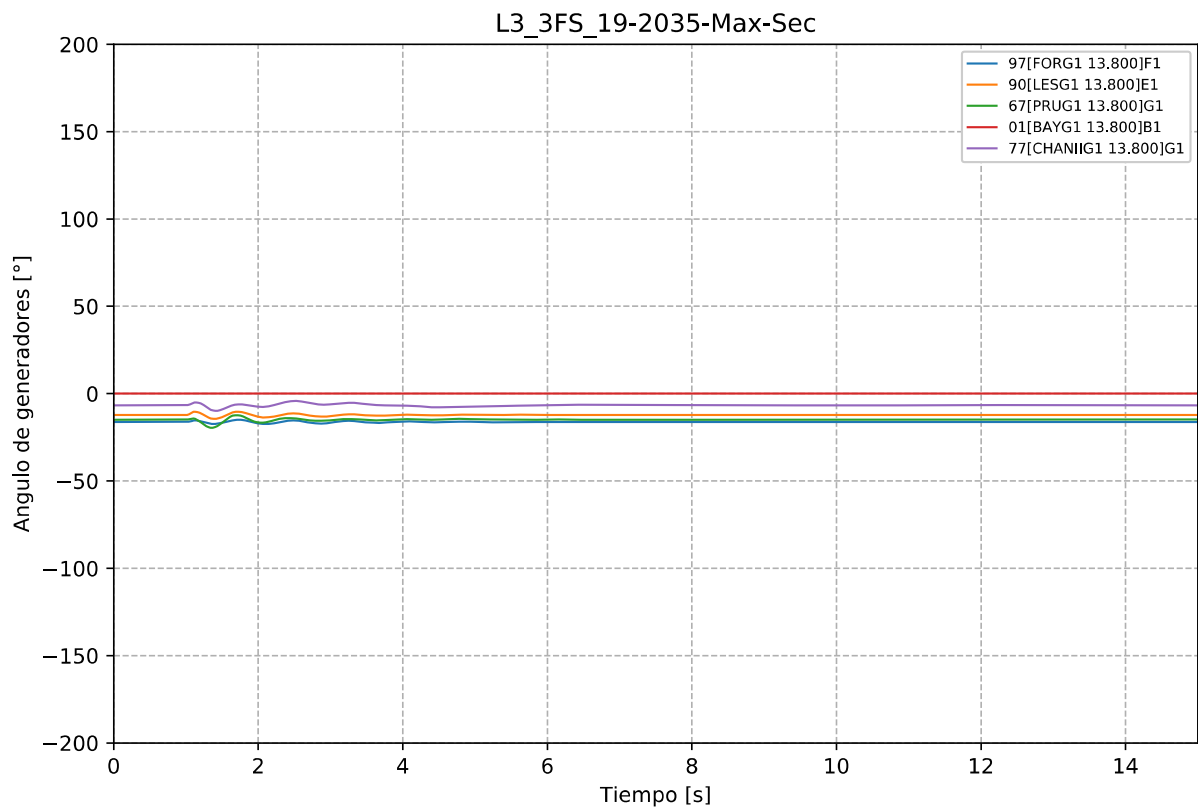


Gráfico 267. Evento L3\_3FS, caso 19-2035-Max-Sec. Ángulo de Generadores Hidroeléctricos.

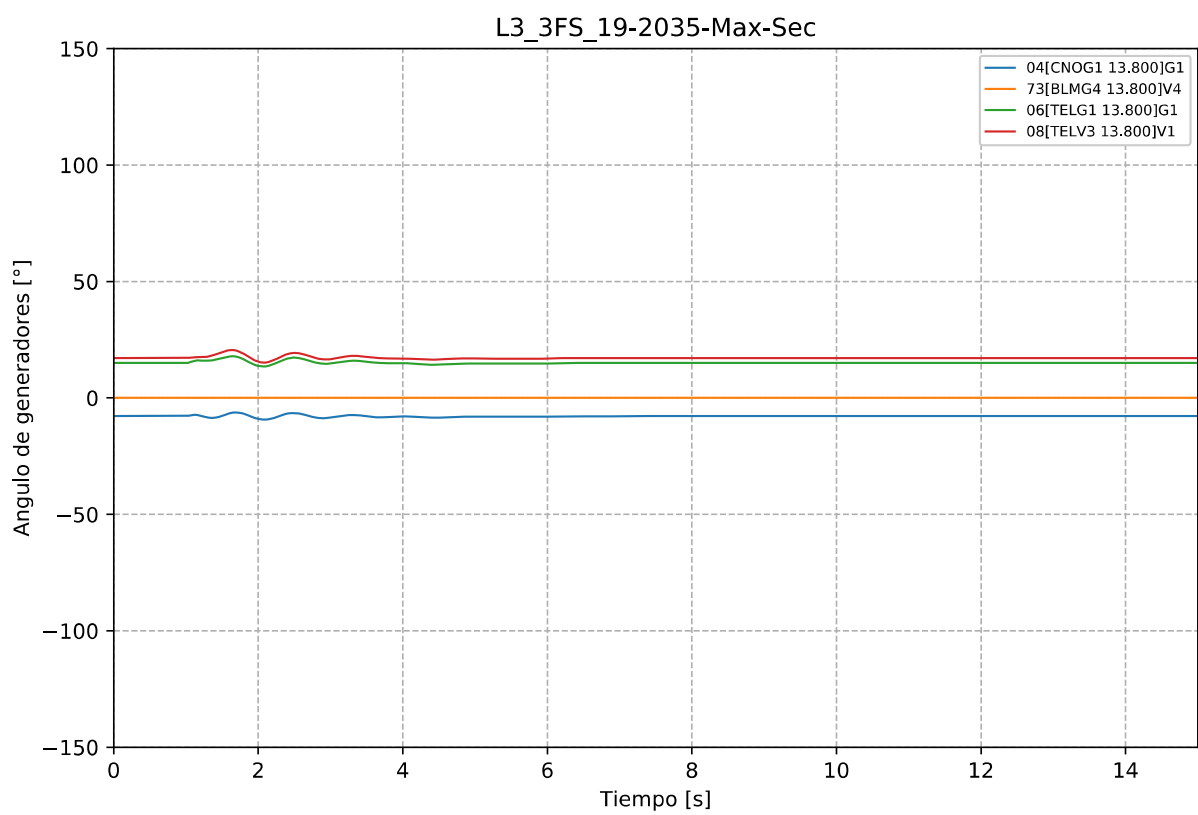


Gráfico 268. Evento L3\_3FS, caso 19-2035-Max-Sec. Ángulo de generadores Térmicos.



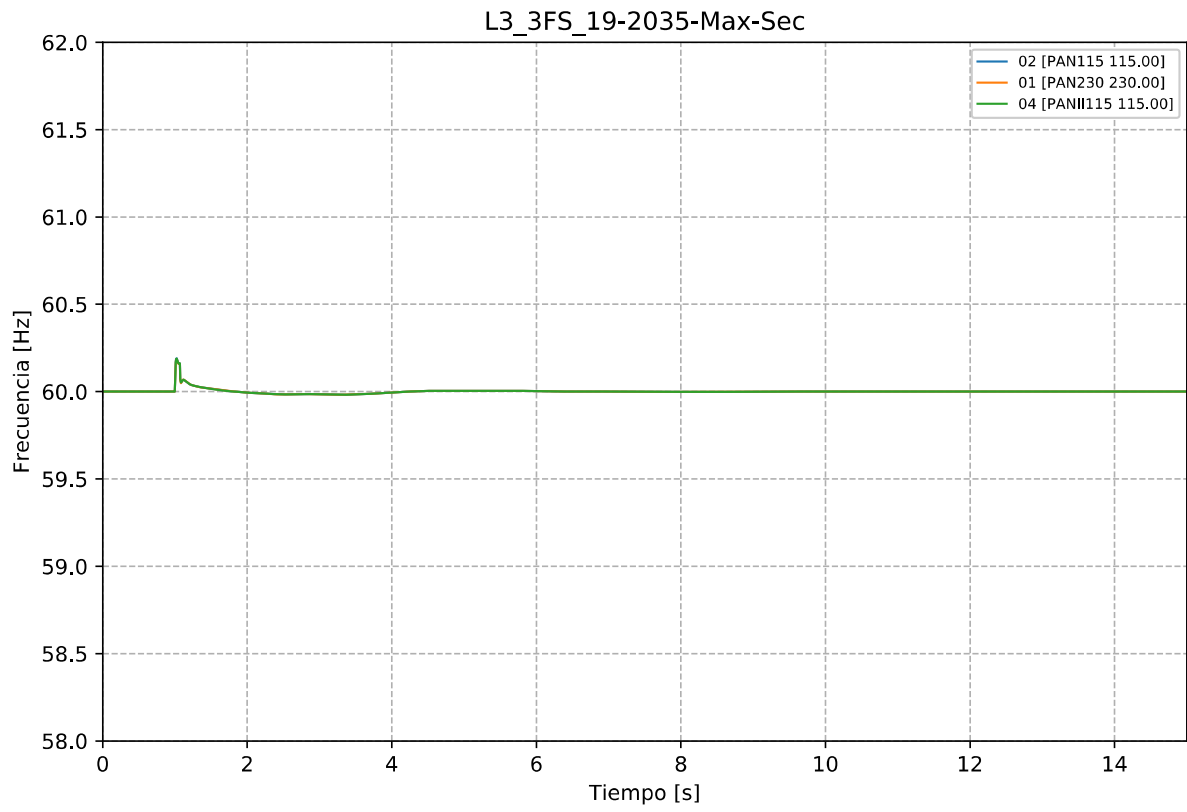


Gráfico 269. Evento L3\_3FS, caso 19-2035-Max-Sec. Frecuencia.

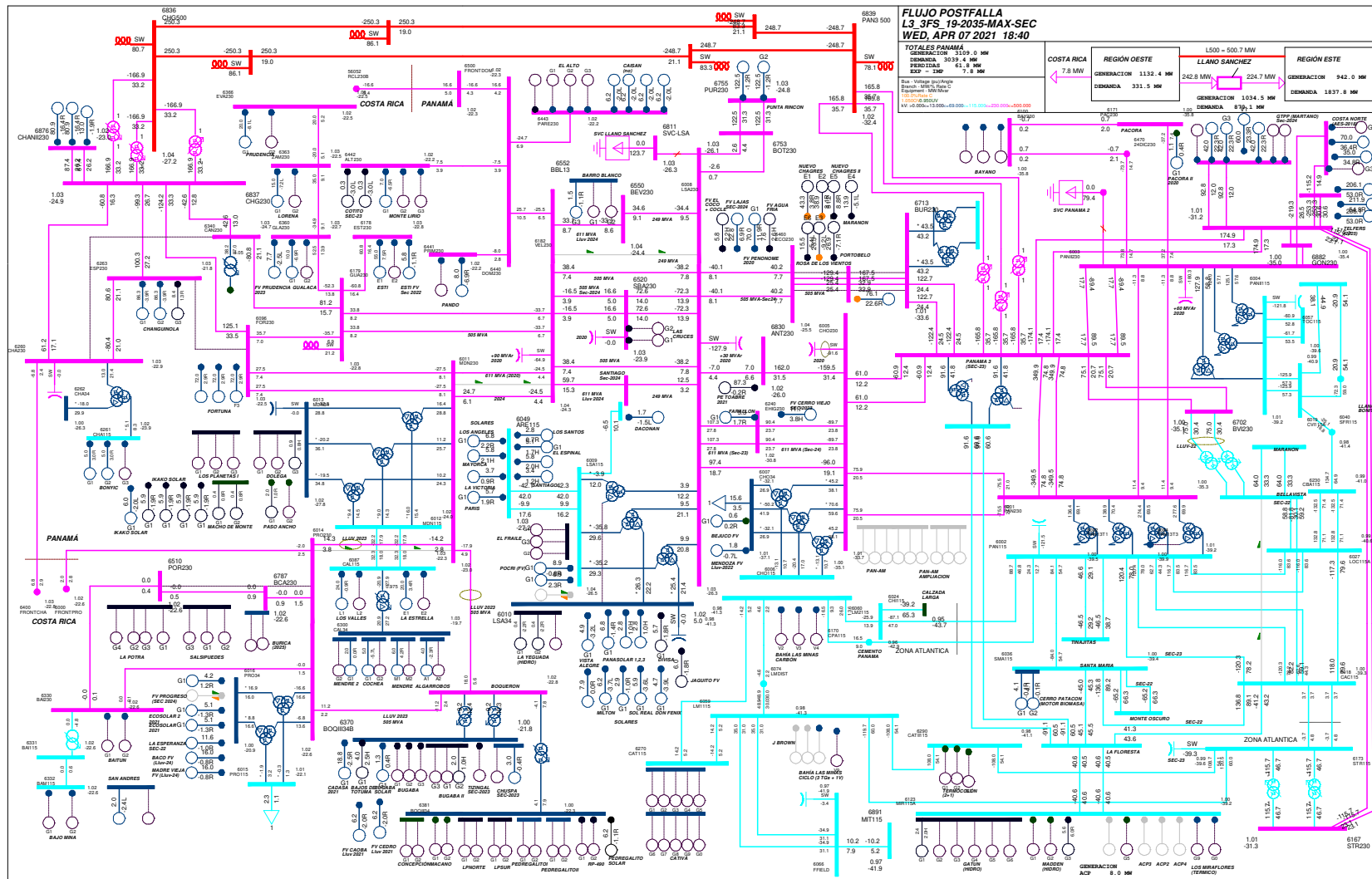


Gráfico 270. Evento L3\_3FS, caso 19-2035-Max-Sec. Flujo postfalla

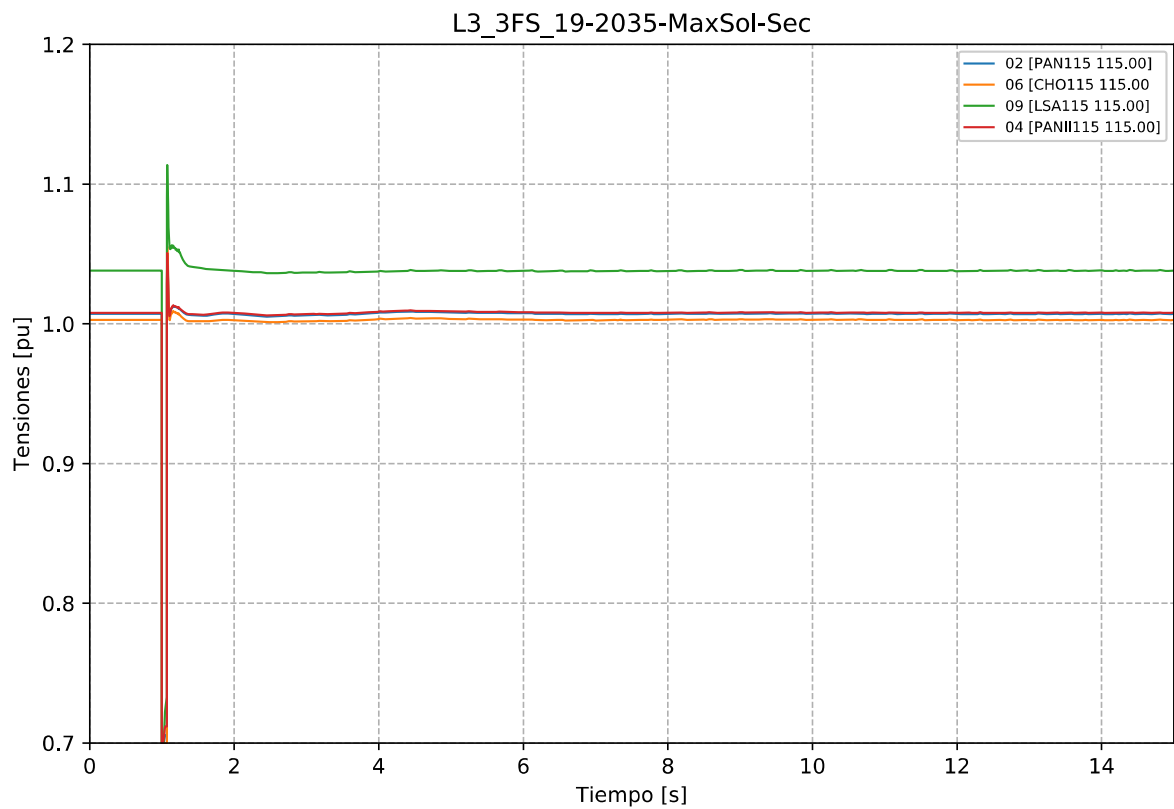


Gráfico 271. Evento L3\_3FS, caso 19-2035-MaxSol-Sec. Tensiones en la zona de influencia 115 kV.

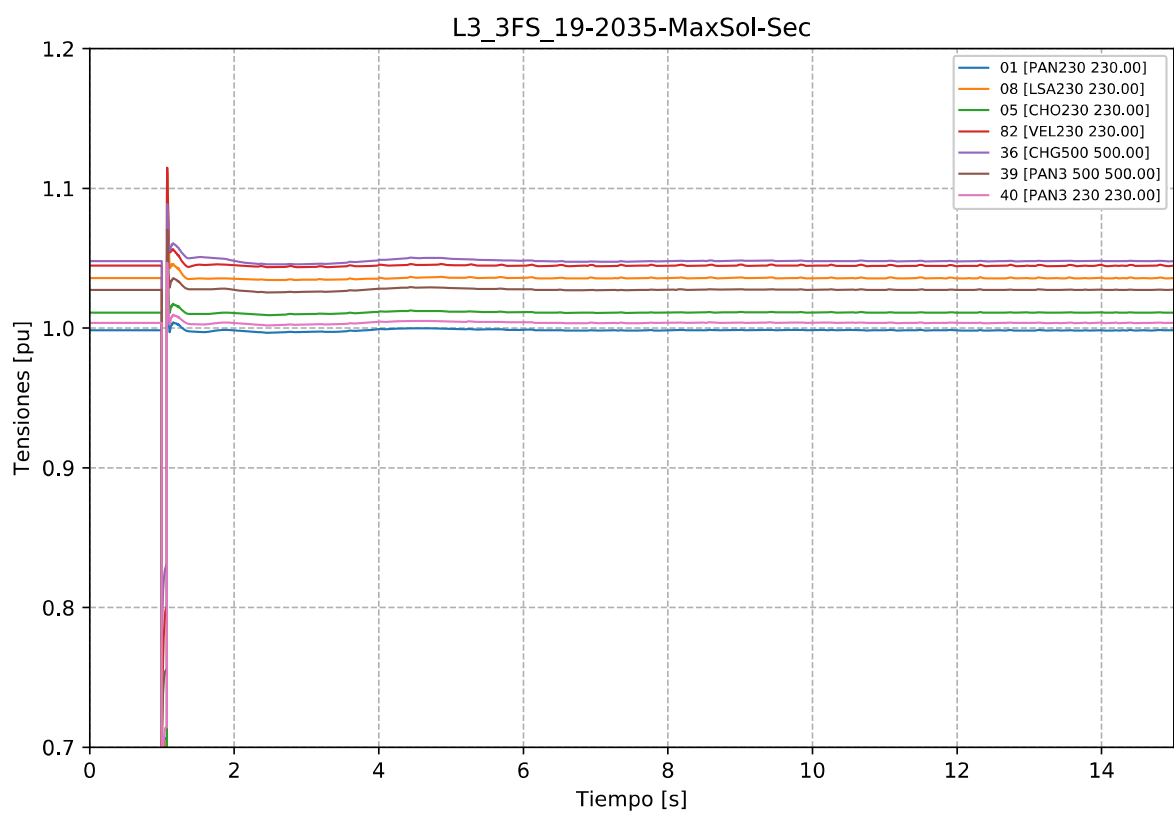


Gráfico 272. Evento L3\_3FS, caso 19-2035-MaxSol-Sec. Tensiones en la zona de influencia 230 kV.

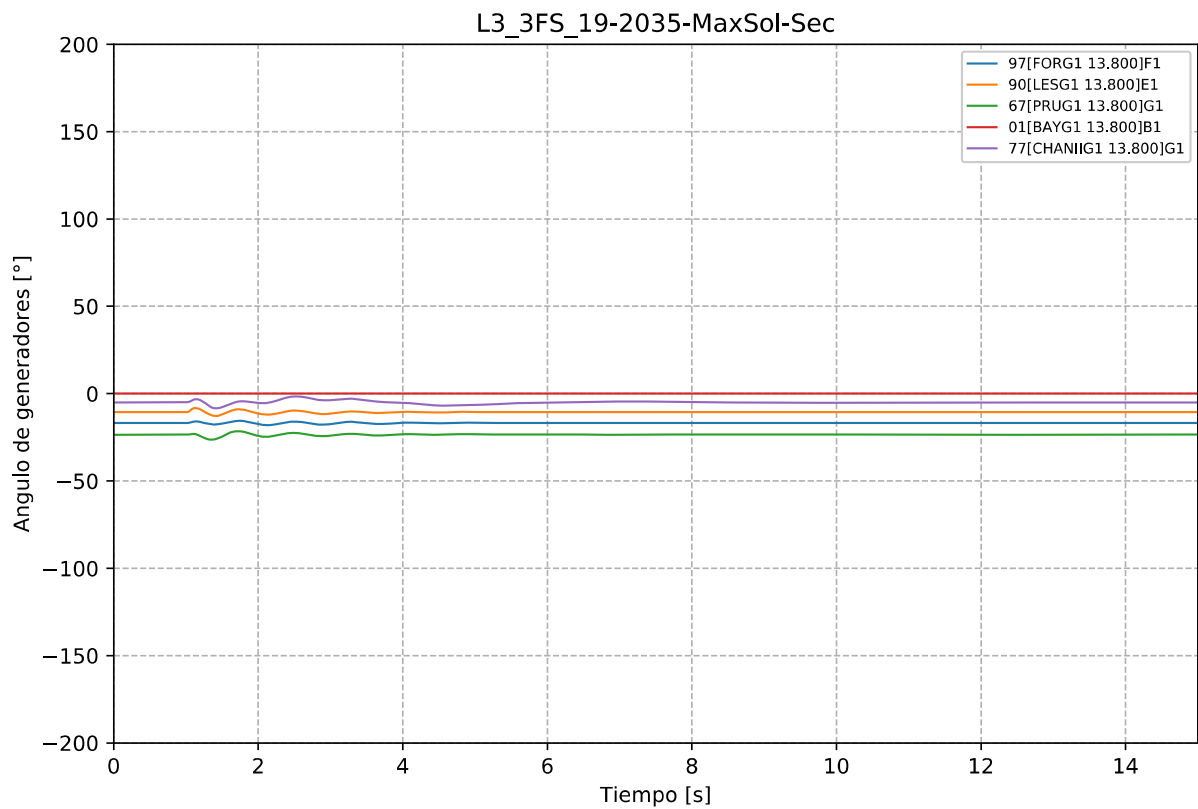


Gráfico 273. Evento L3\_3FS, caso 19-2035-MaxSol-Sec. Ángulo de Generadores Hidroeléctricos.

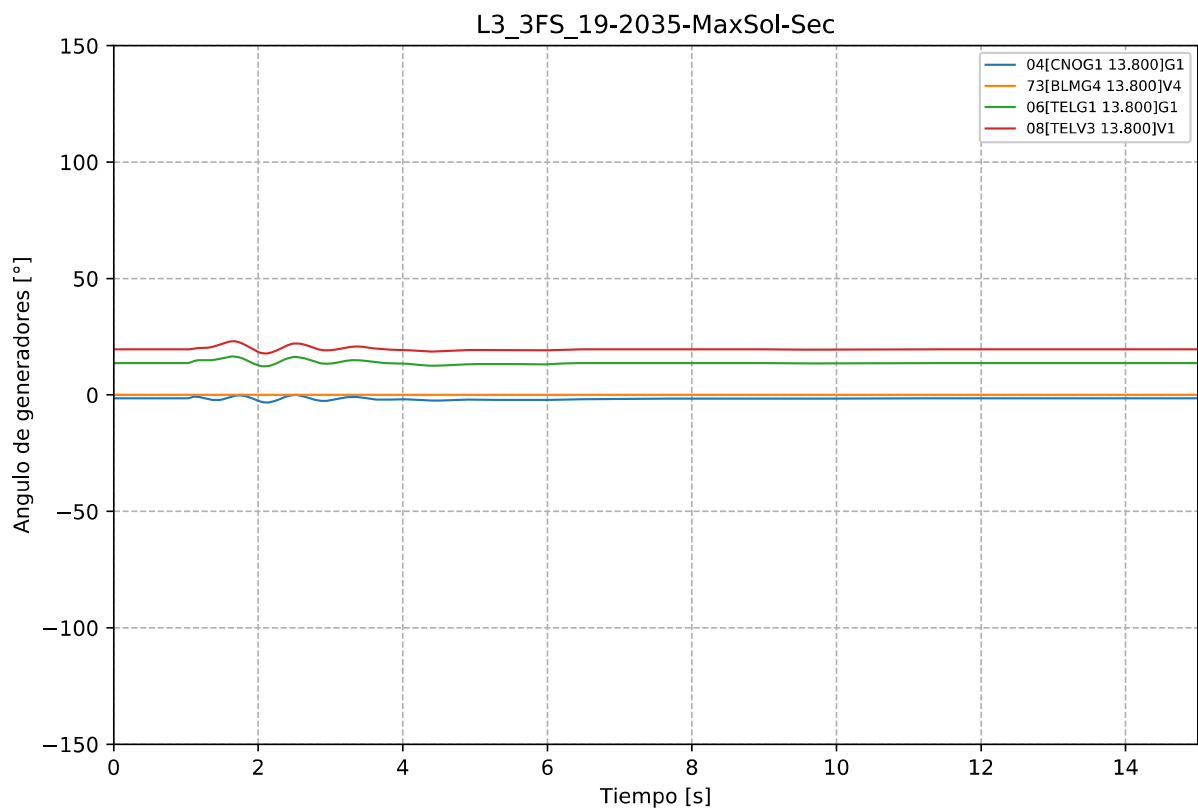


Gráfico 274. Evento L3\_3FS, caso 19-2035-MaxSol-Sec. Ángulo de generadores Térmicos.

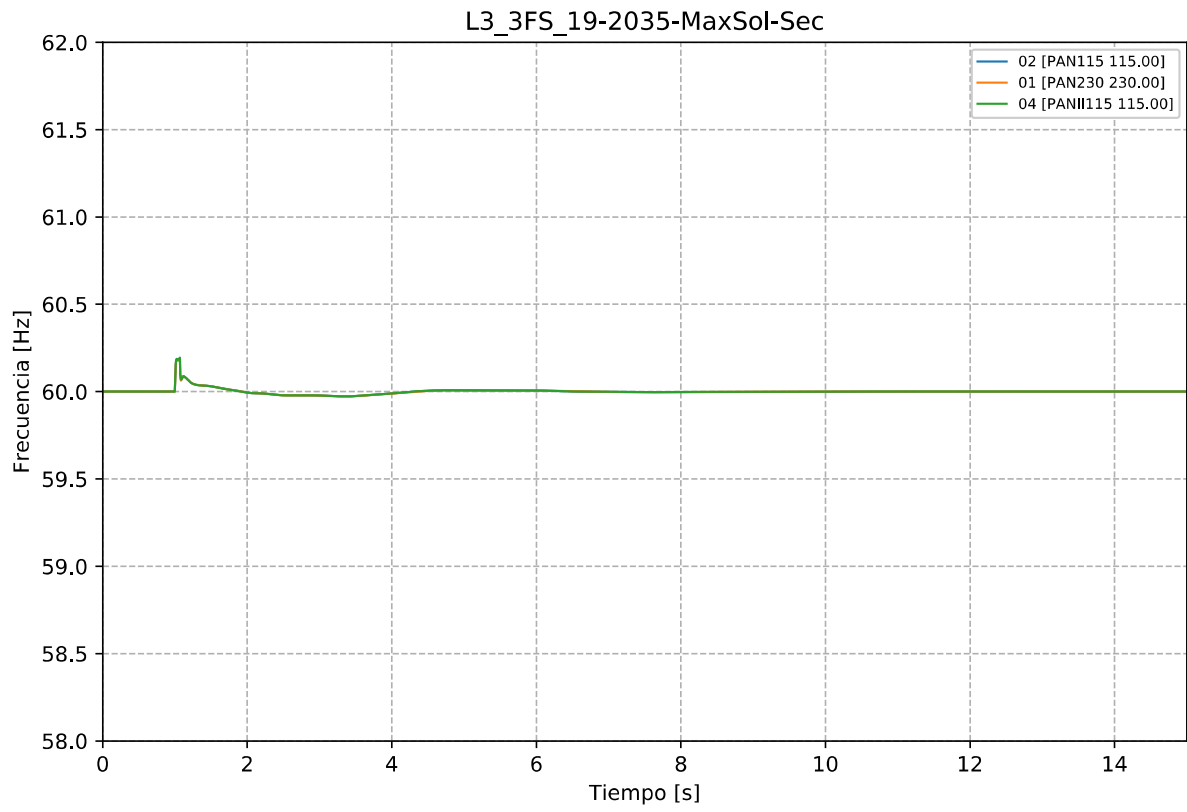


Gráfico 275. Evento L3\_3FS, caso 19-2035-MaxSol-Sec. Frecuencia.

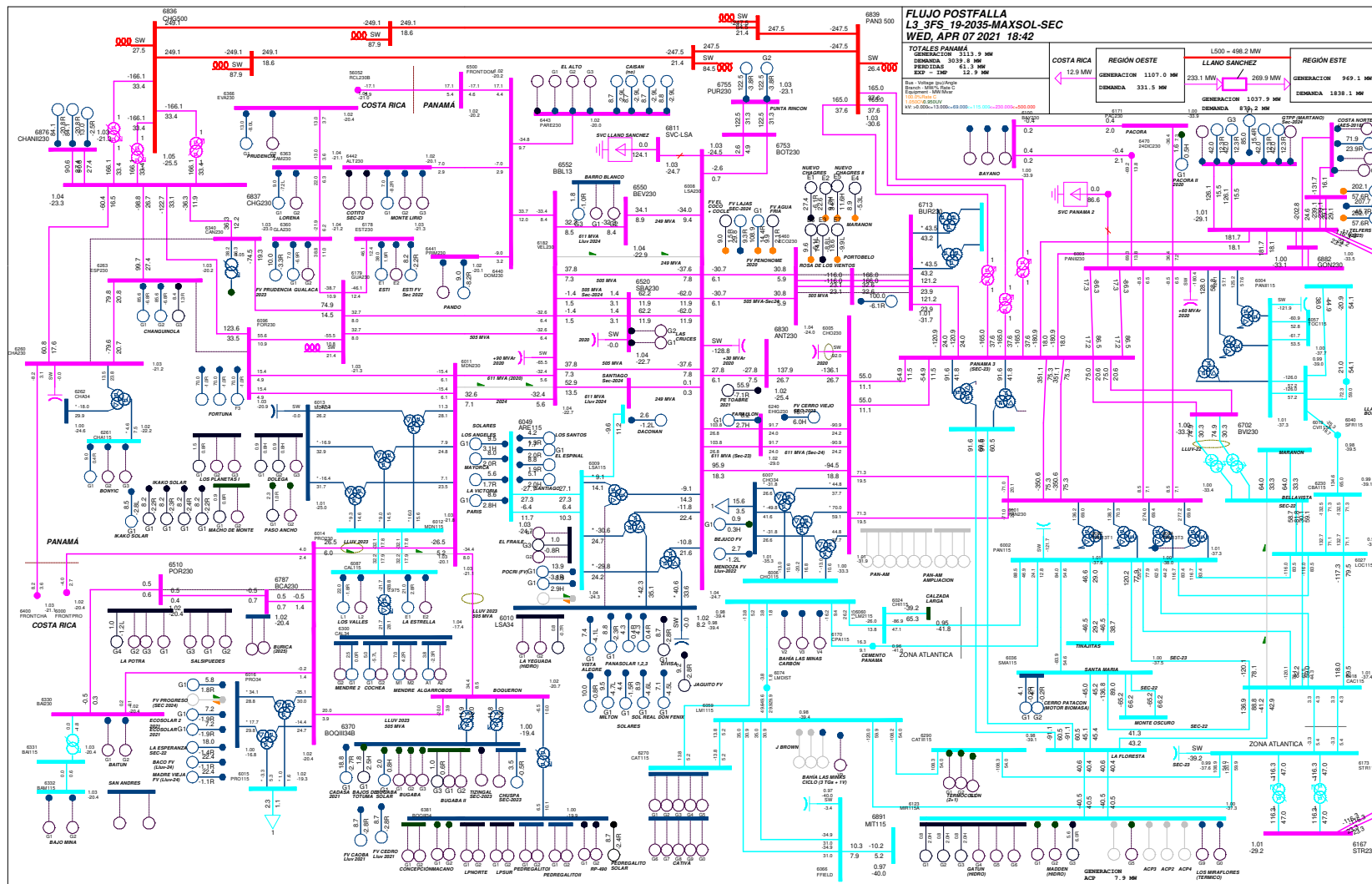


Gráfico 276. Evento L3\_3FS, caso 19-2035-MaxSol-Sec. Flujo postfalla

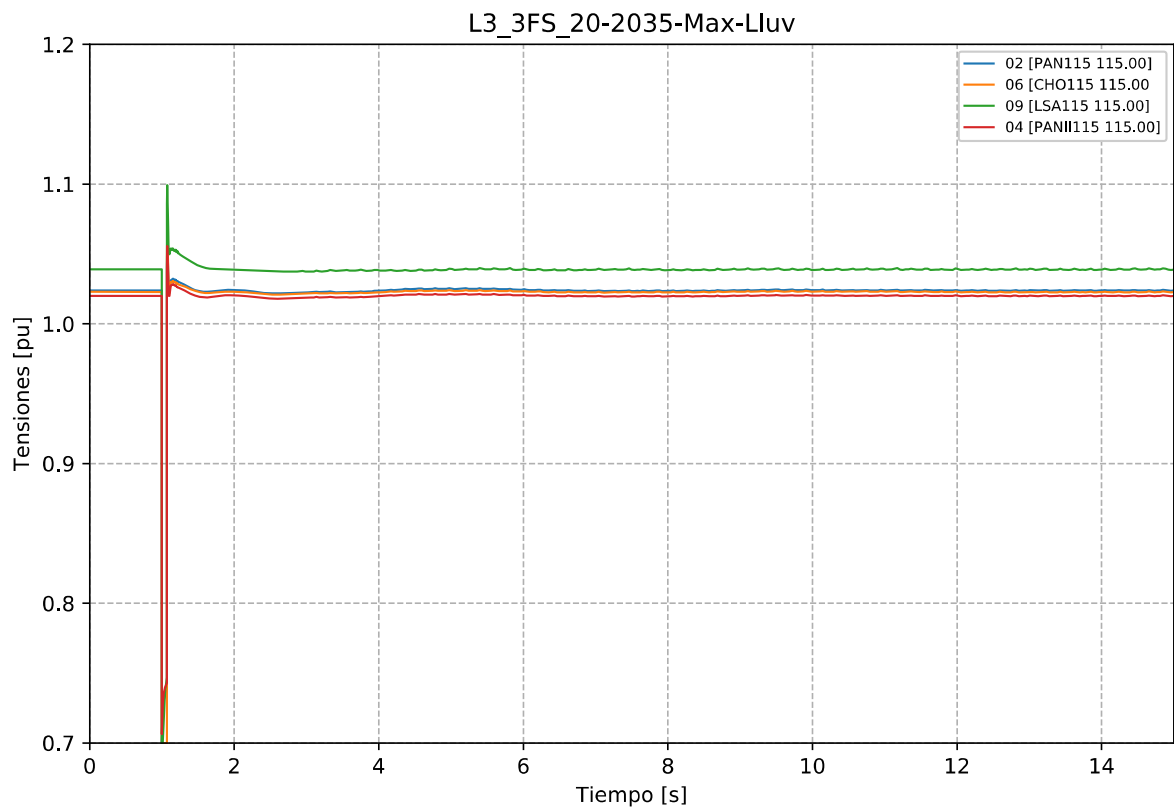


Gráfico 277. Evento L3\_3FS, caso 20-2035-Max-Lluv. Tensiones en la zona de influencia 115 kV.

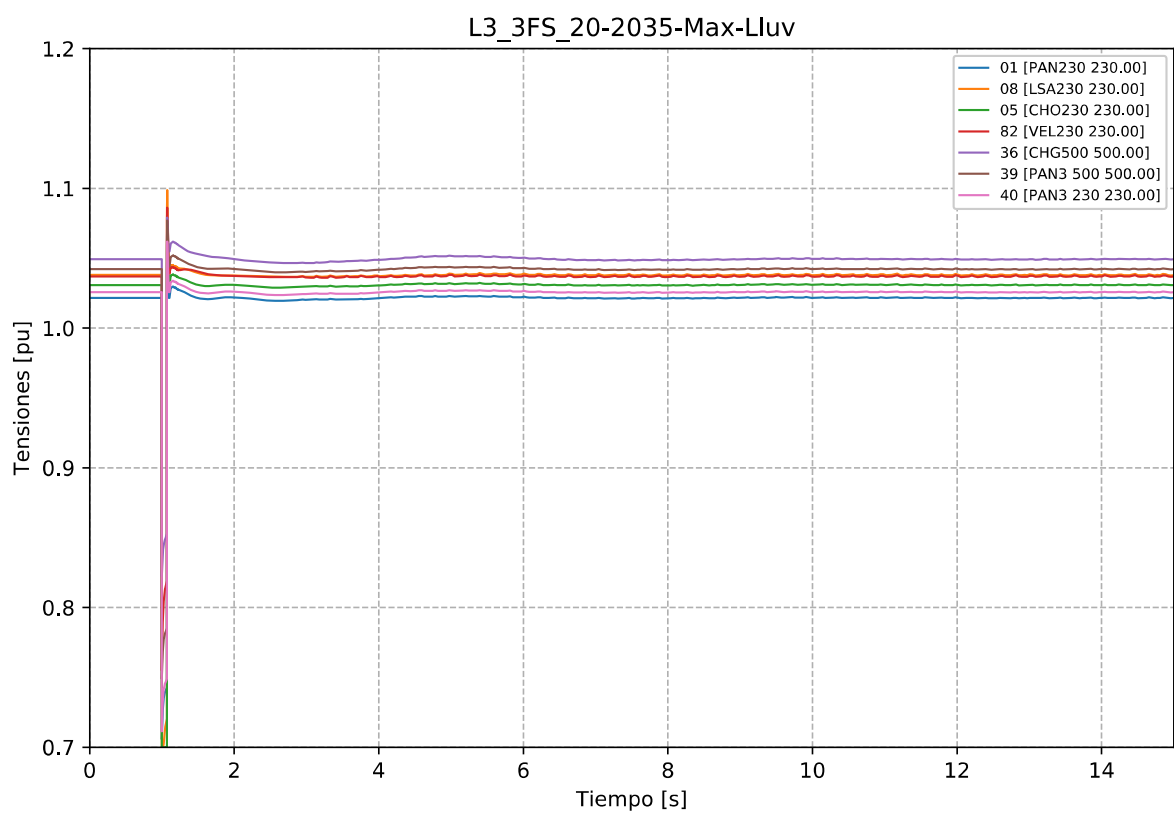


Gráfico 278. Evento L3\_3FS, caso 20-2035-Max-Lluv. Tensiones en la zona de influencia 230 kV.

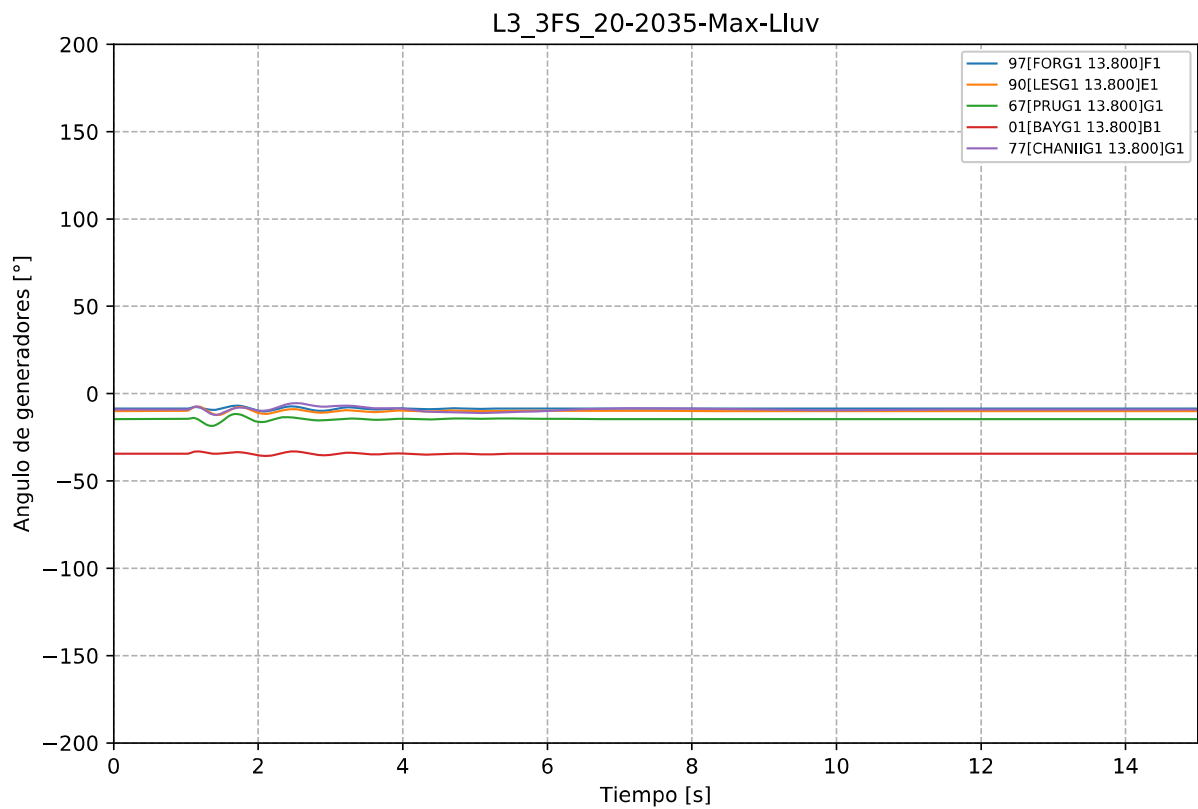


Gráfico 279. Evento L3\_3FS, caso 20-2035-Max-Lluv. Ángulo de Generadores Hidroeléctricos.

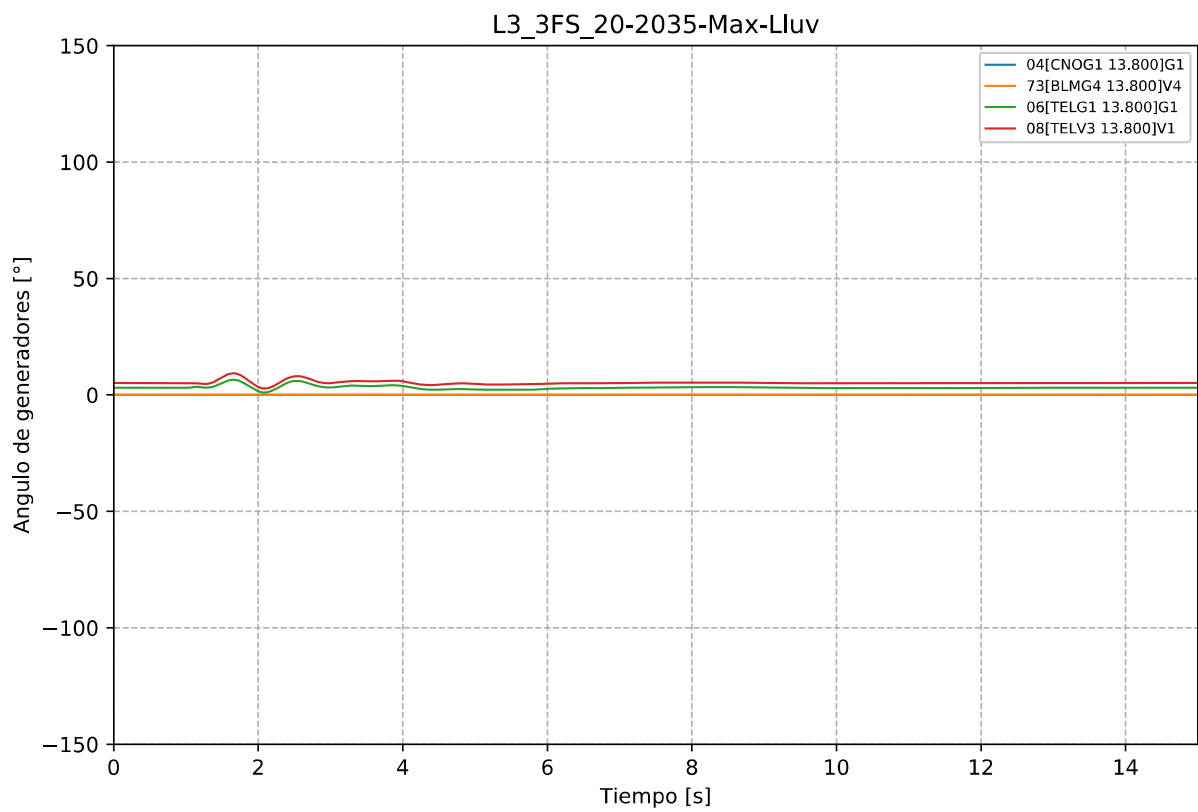


Gráfico 280. Evento L3\_3FS, caso 20-2035-Max-Lluv. Ángulo de generadores Térmicos.



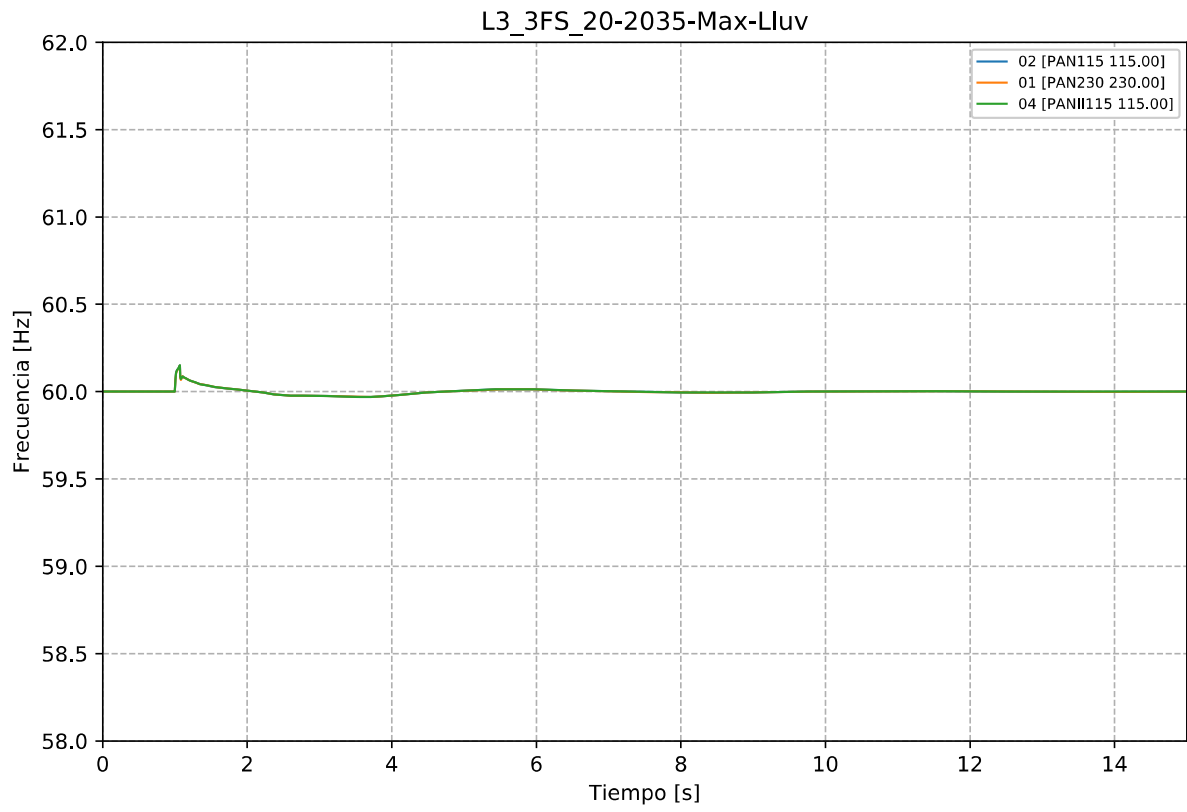


Gráfico 281. Evento L3\_3FS, caso 20-2035-Max-Lluv. Frecuencia.

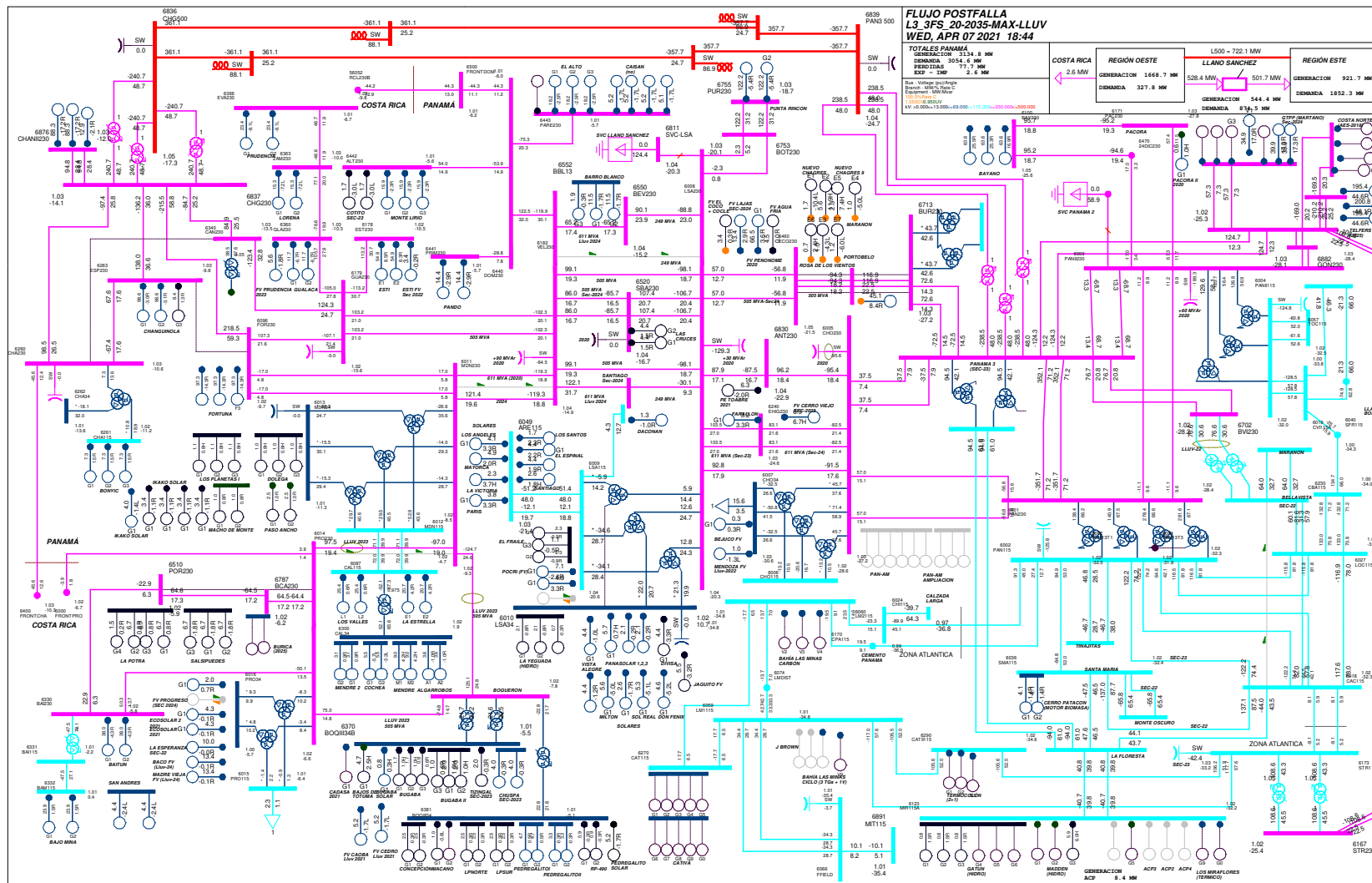


Gráfico 282. Evento L3\_3FS, caso 20-2035-Max-Lluv. Flujo postfalla

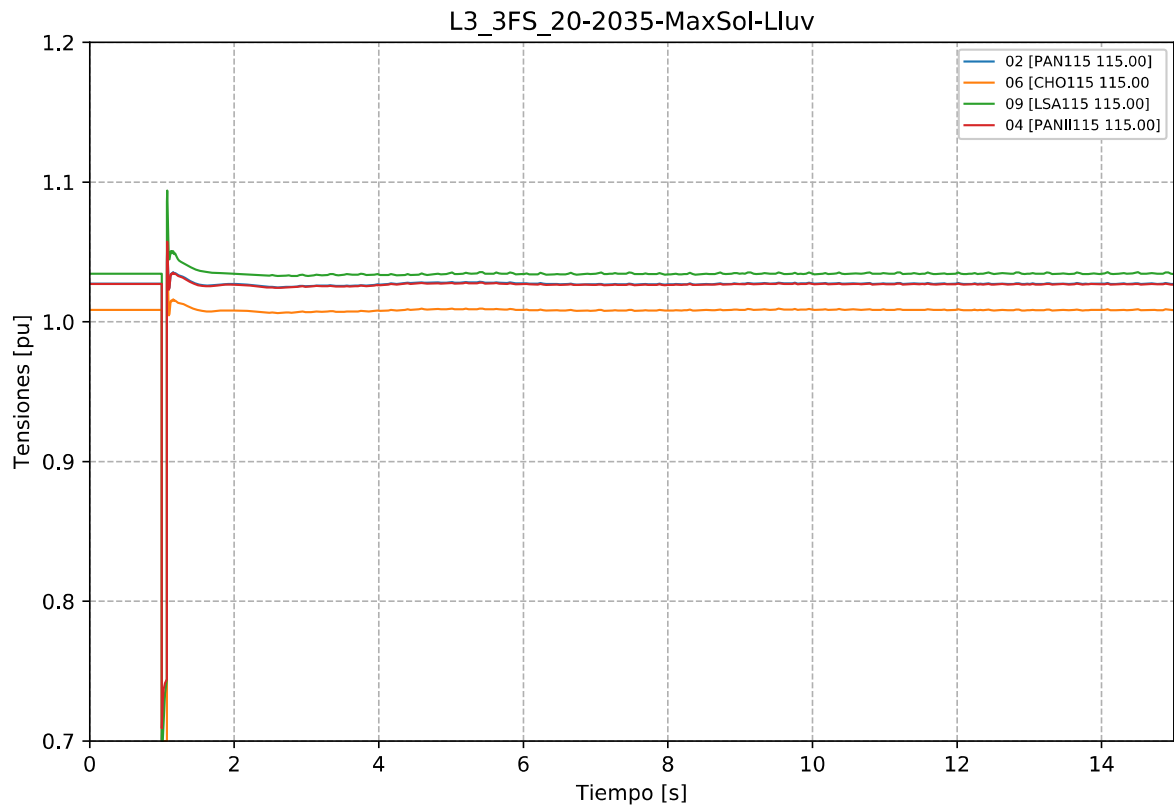


Gráfico 283. Evento L3\_3FS, caso 20-2035-MaxSol-Lluv. Tensiones en la zona de influencia 115 kV.

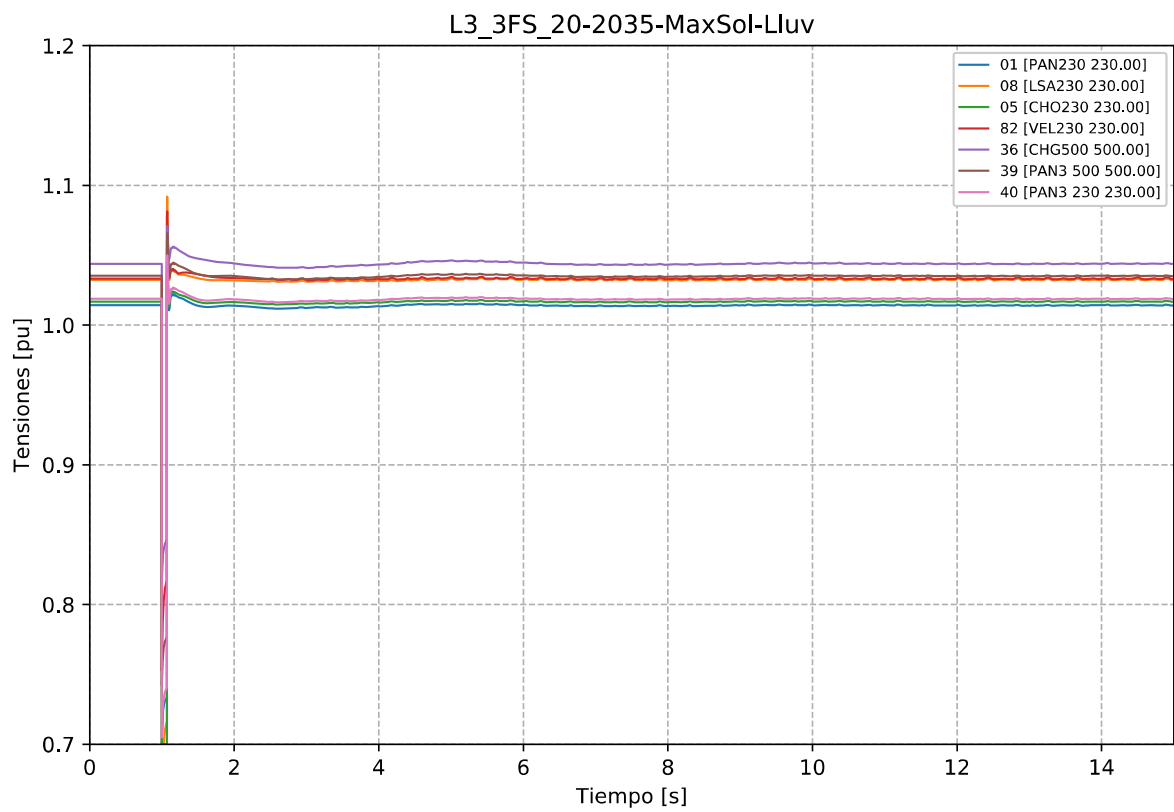


Gráfico 284. Evento L3\_3FS, caso 20-2035-MaxSol-Lluv. Tensiones en la zona de influencia 230 kV.

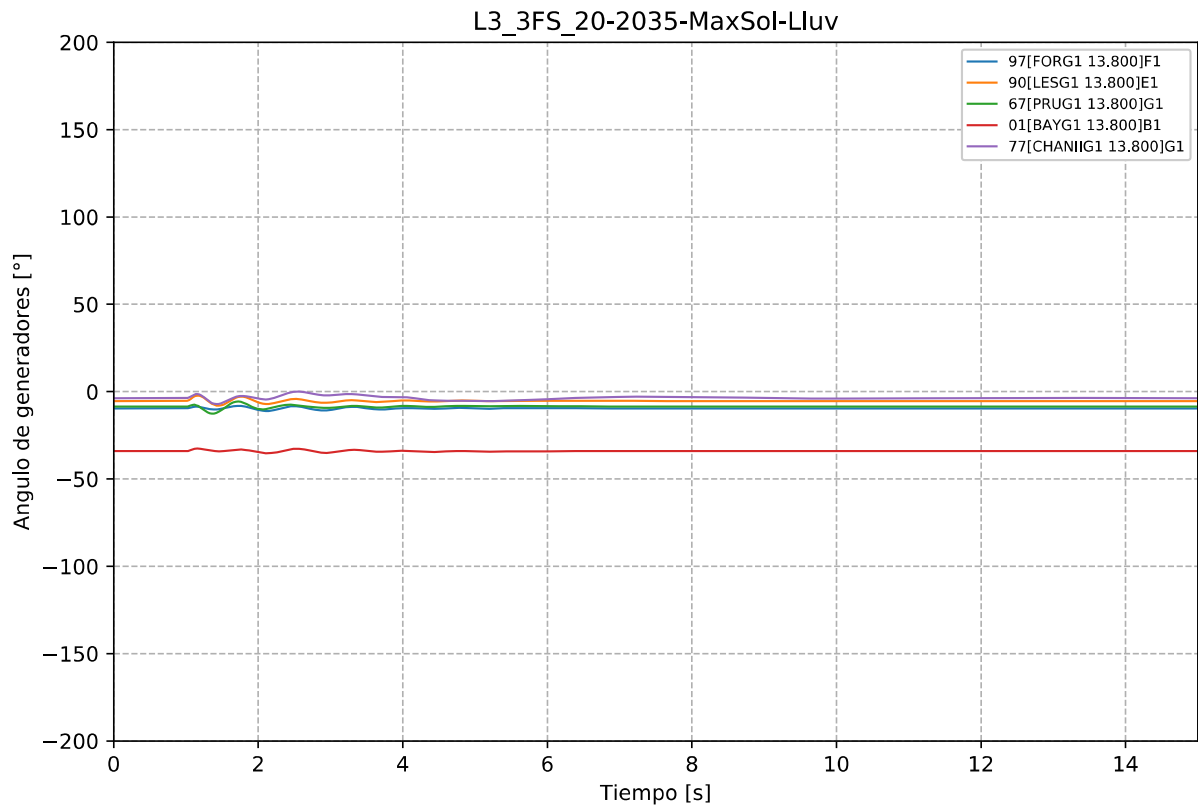


Gráfico 285. Evento L3\_3FS, caso 20-2035-MaxSol-Lluv. Ángulo de Generadores Hidroeléctricos.

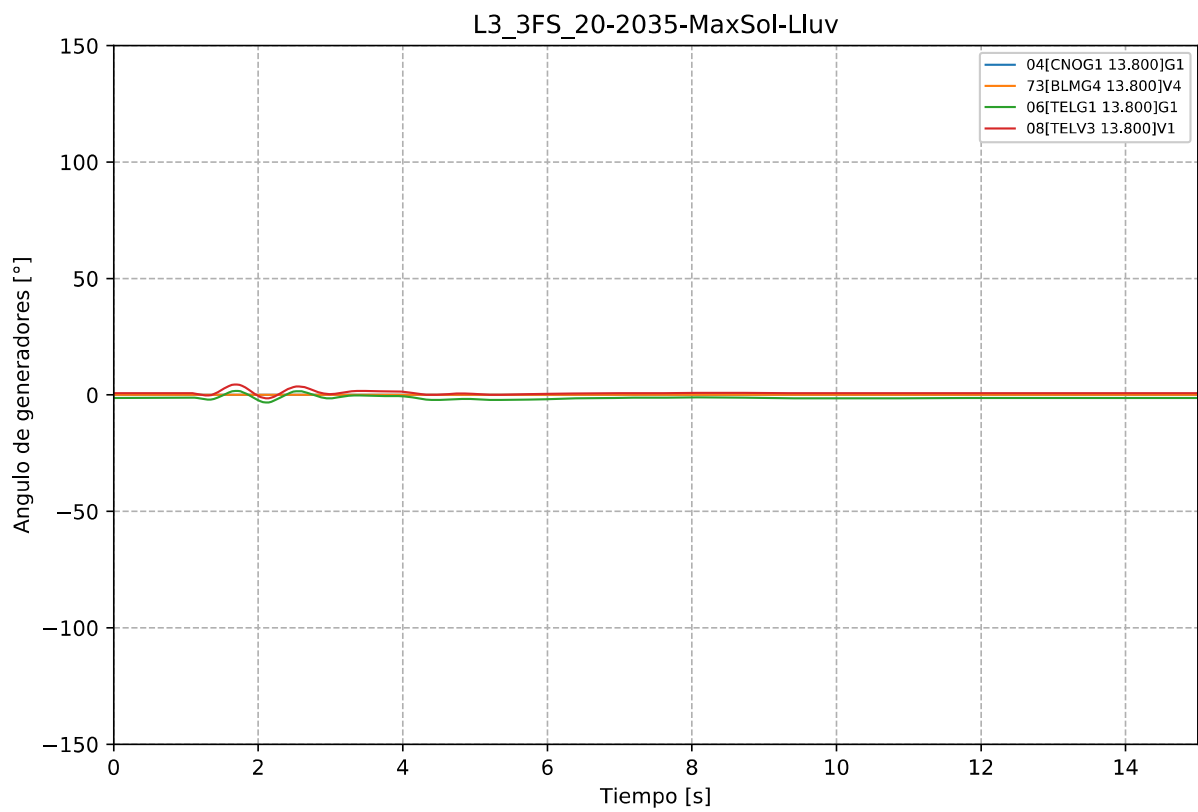


Gráfico 286. Evento L3\_3FS, caso 20-2035-MaxSol-Lluv. Ángulo de generadores Térmicos.

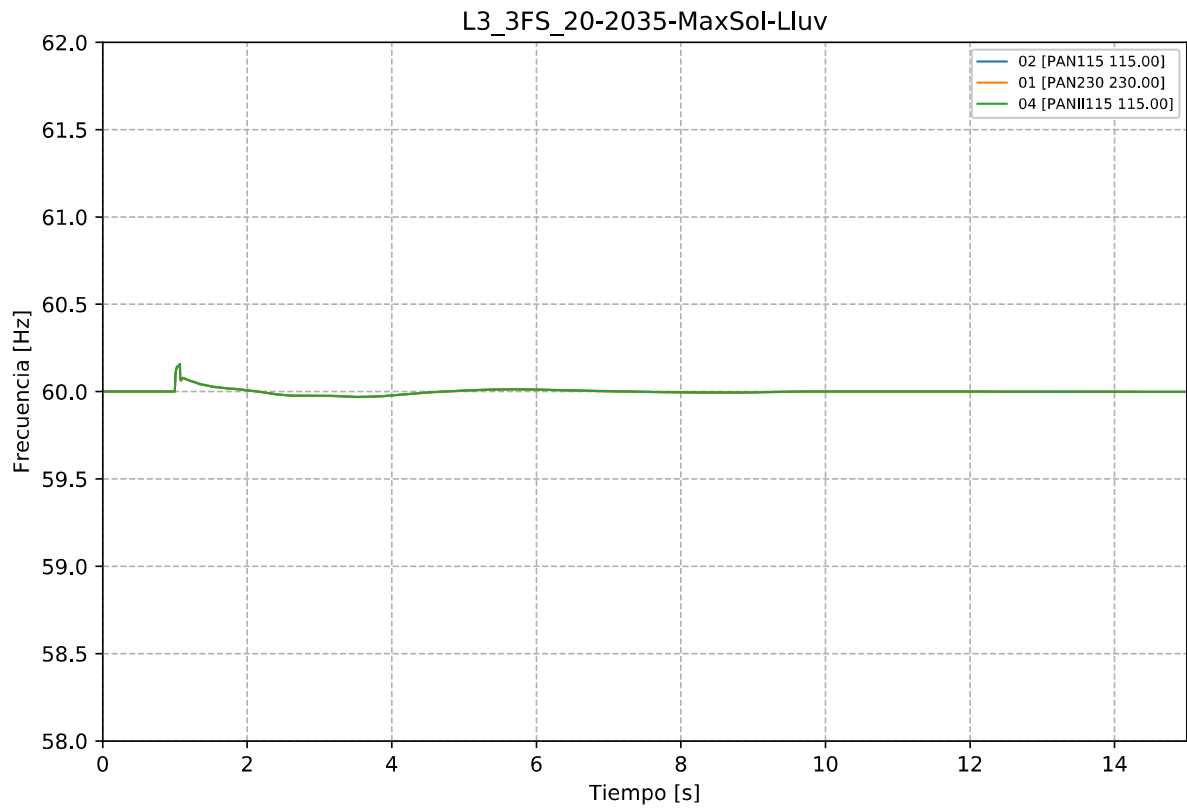


Gráfico 287. Evento L3\_3FS, caso 20-2035-MaxSol-Lluv. Frecuencia.

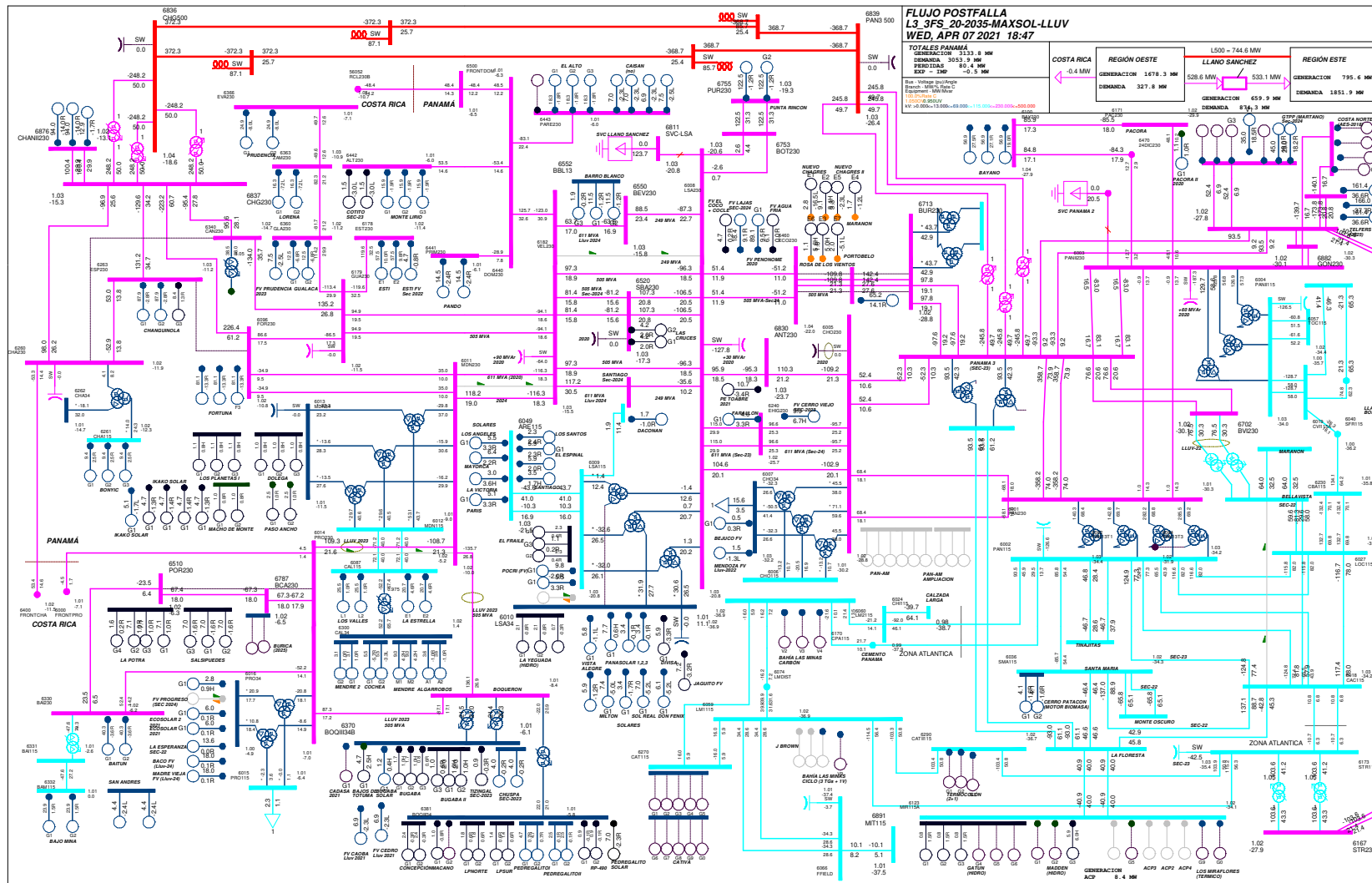


Gráfico 288. Evento L3\_3FS, caso 20-2035-MaxSol-Liuv. Flujo postfalla

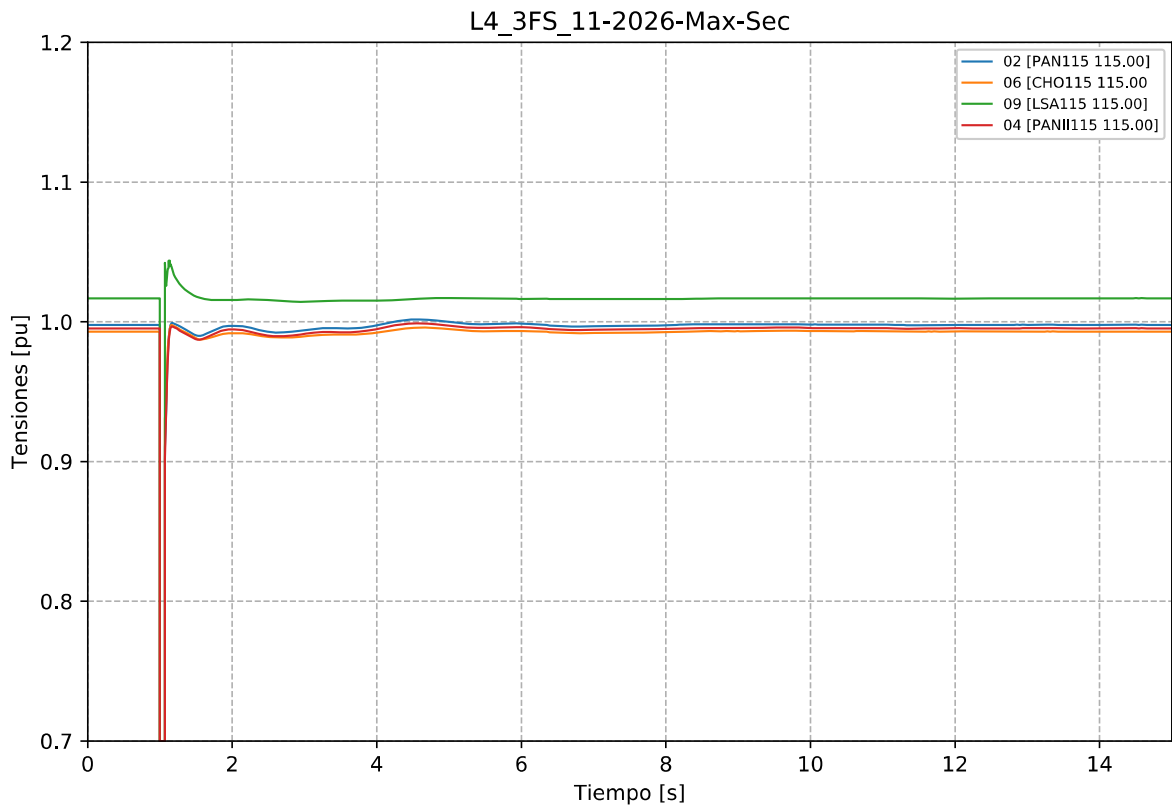


Gráfico 289. Evento L4\_3FS, caso 11-2026-Max-Sec. Tensiones en la zona de influencia 115 kV.

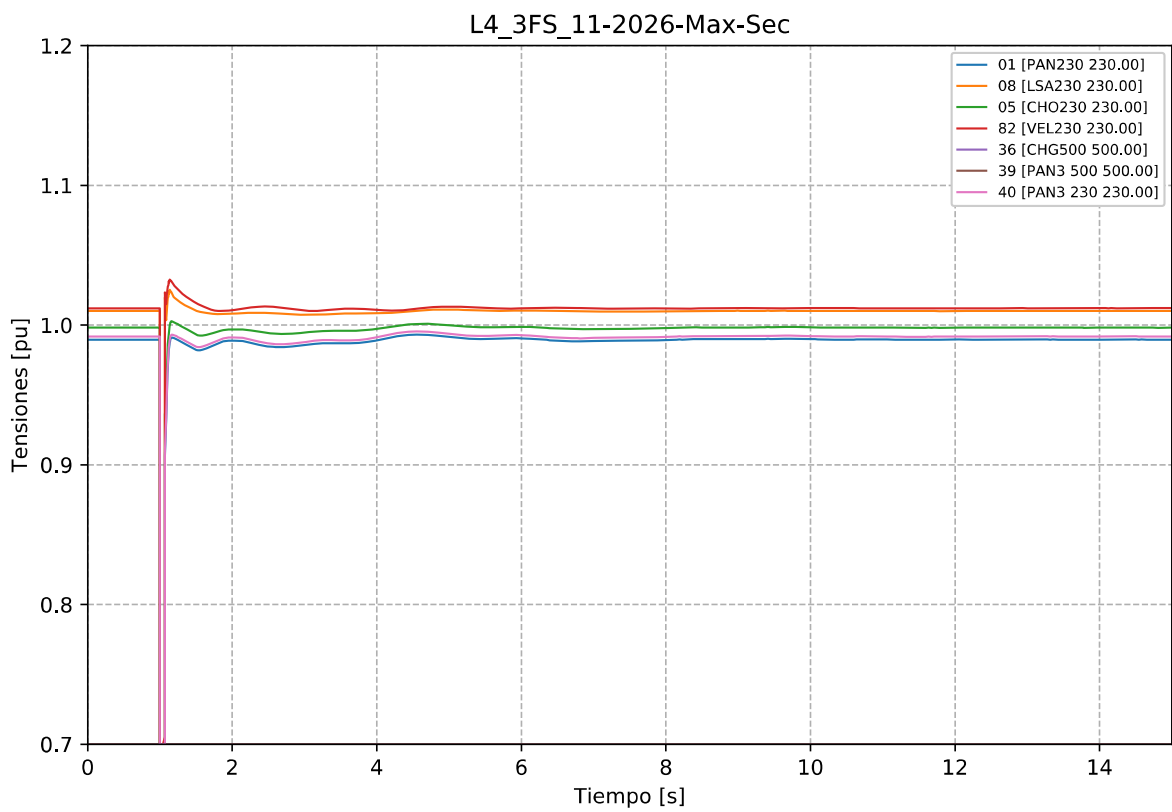


Gráfico 290. Evento L4\_3FS, caso 11-2026-Max-Sec. Tensiones en la zona de influencia 230 kV.

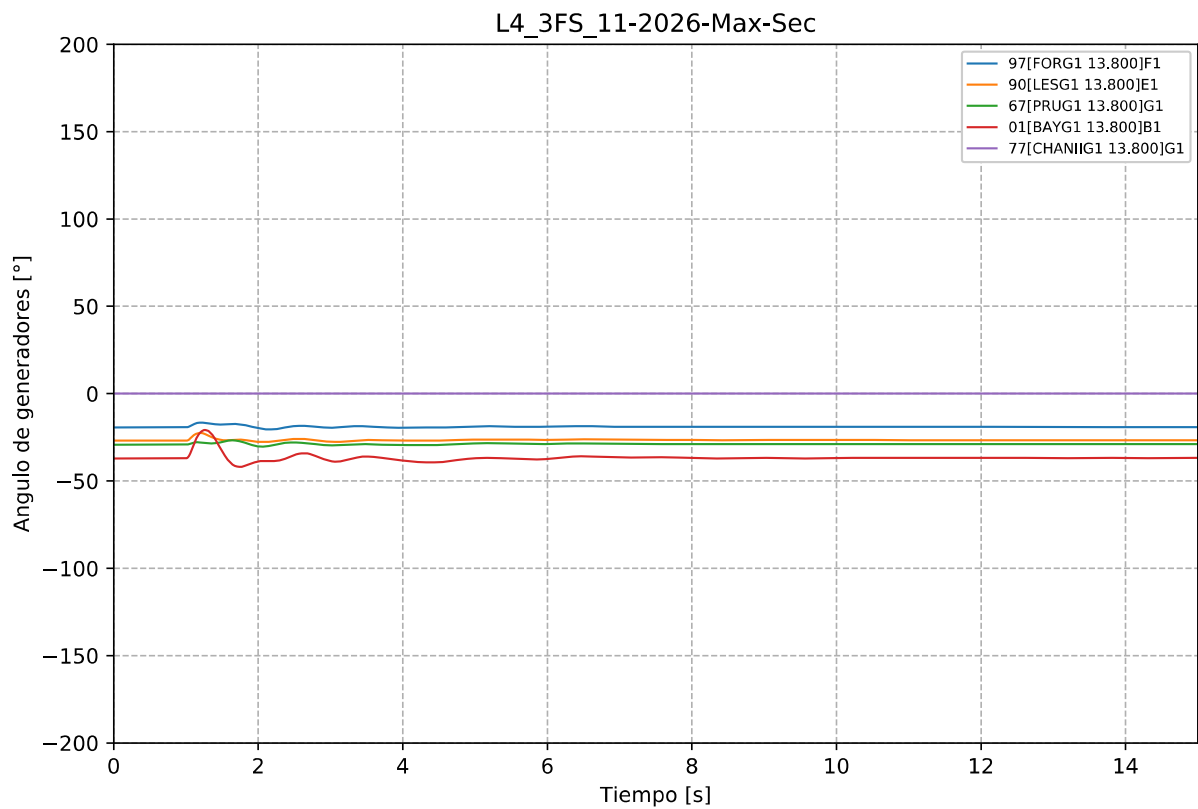


Gráfico 291. Evento L4\_3FS, caso 11-2026-Max-Sec. Ángulo de Generadores Hidroeléctricos.

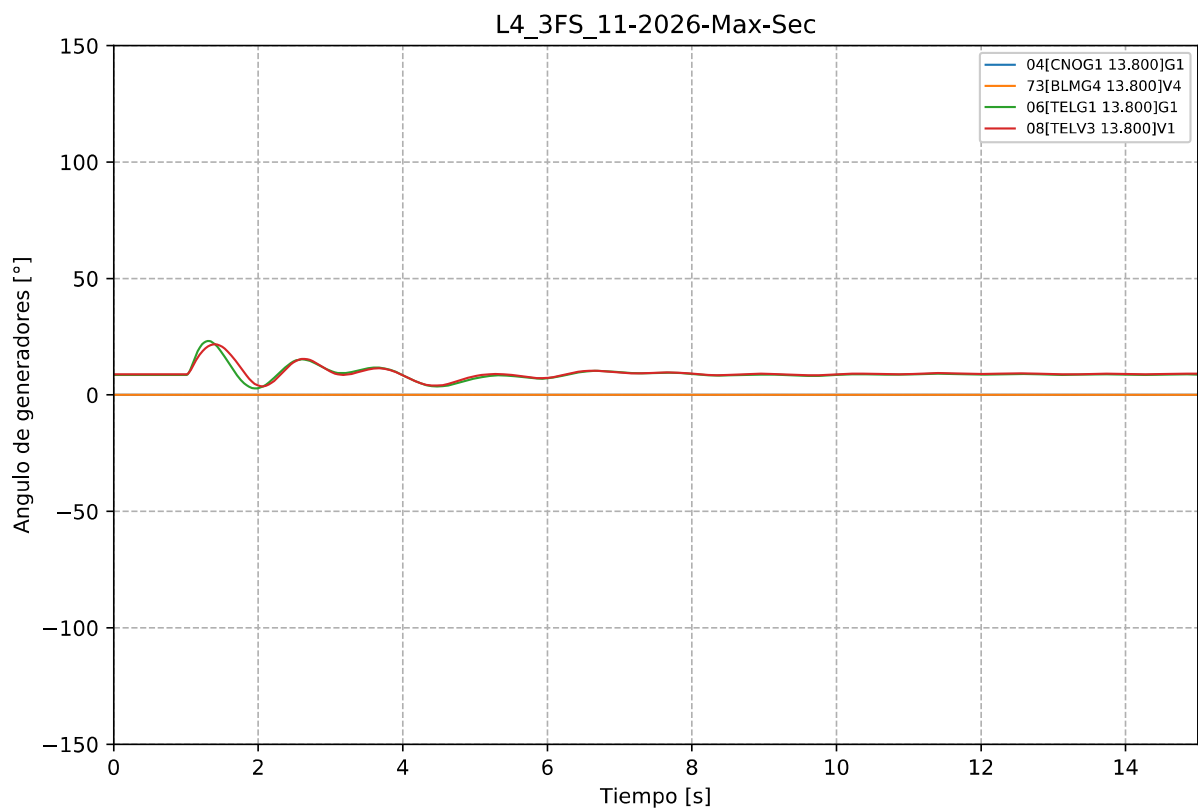


Gráfico 292. Evento L4\_3FS, caso 11-2026-Max-Sec. Ángulo de generadores Térmicos.



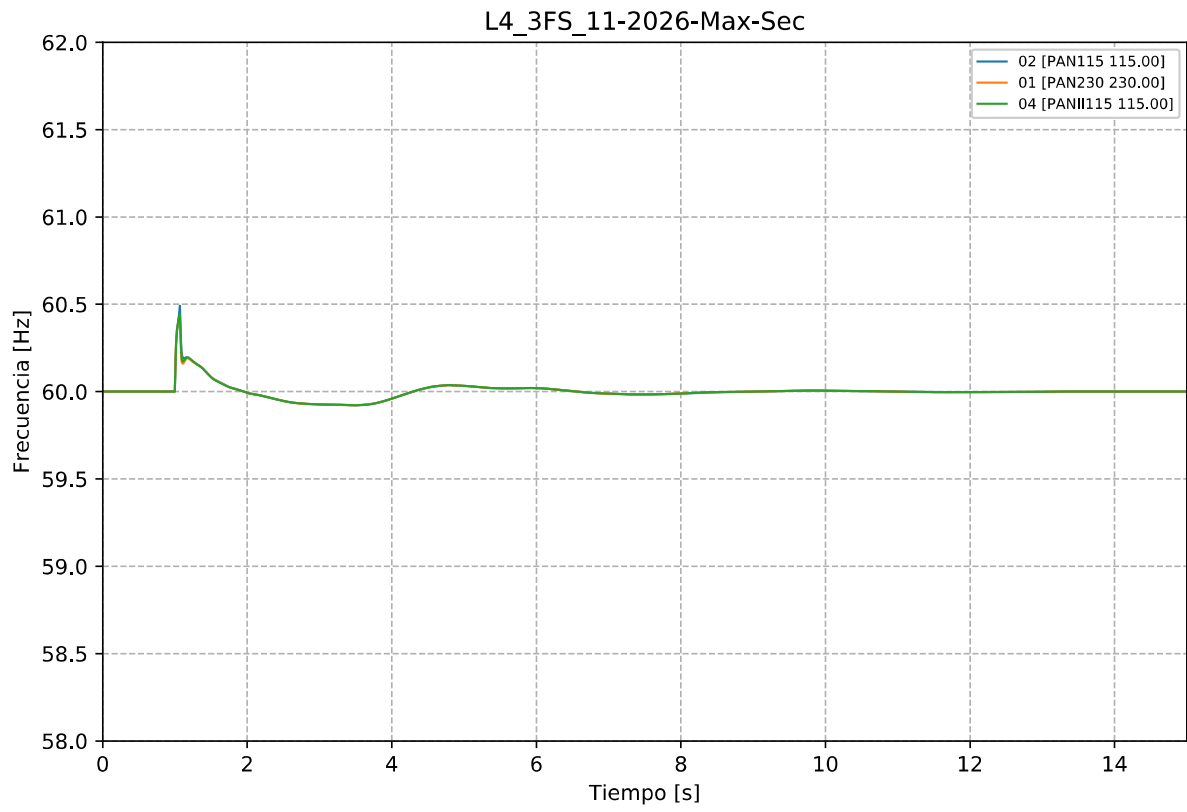


Gráfico 293. Evento L4\_3FS, caso 11-2026-Max-Sec. Frecuencia.

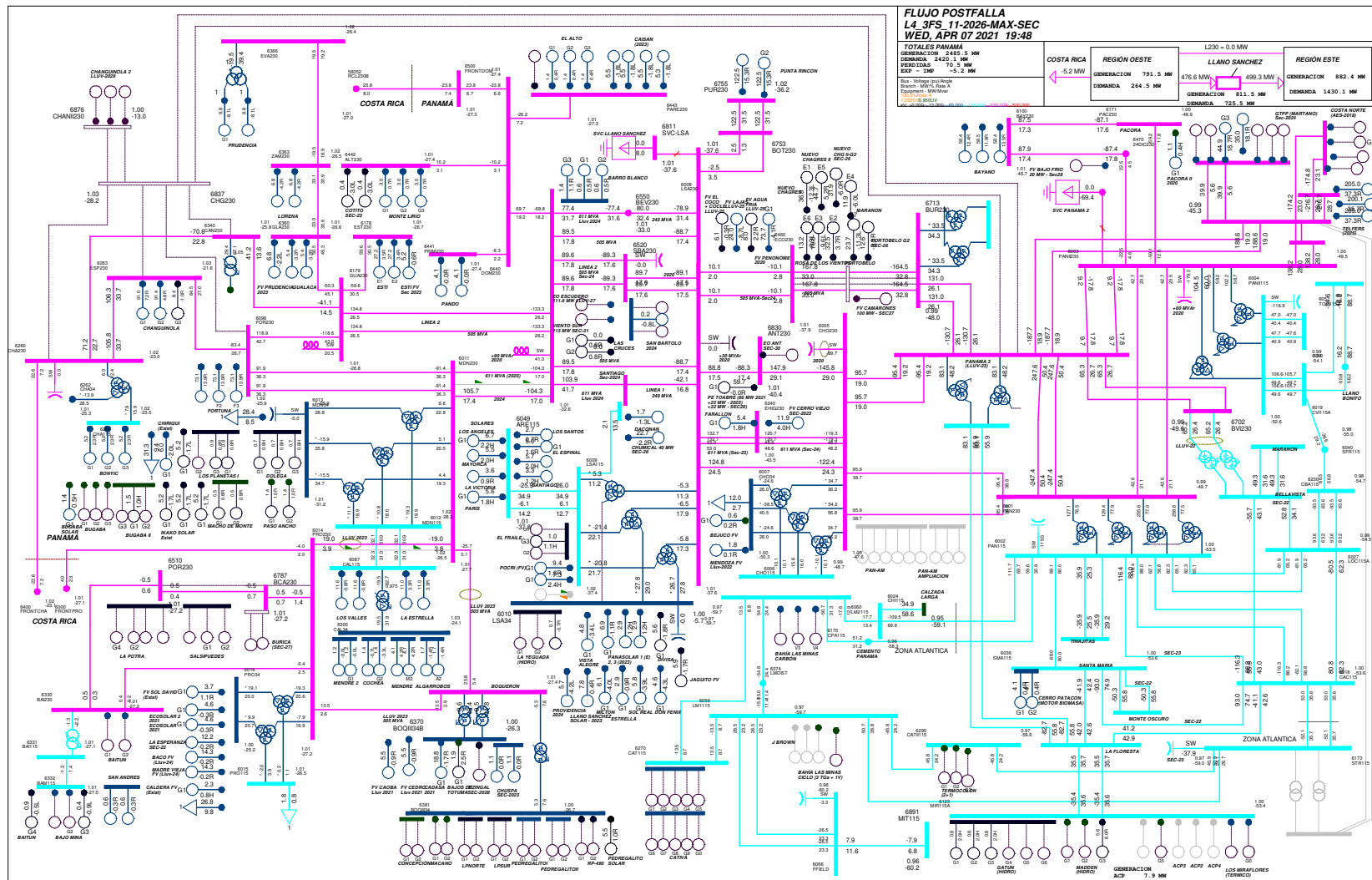


Gráfico 294. Evento L4\_3FS, caso 11-2026-Max-Sec. Flujo postfalla

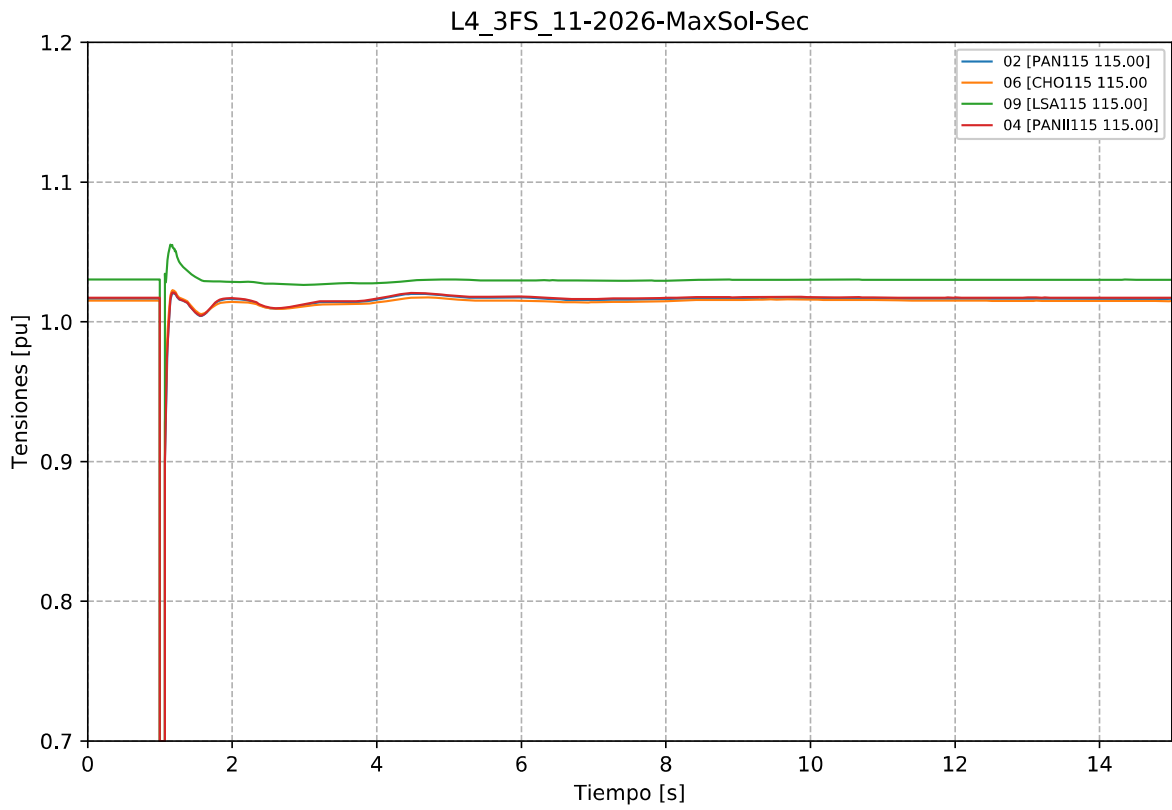


Gráfico 295. Evento L4\_3FS, caso 11-2026-MaxSol-Sec. Tensiones en la zona de influencia 115 kV.

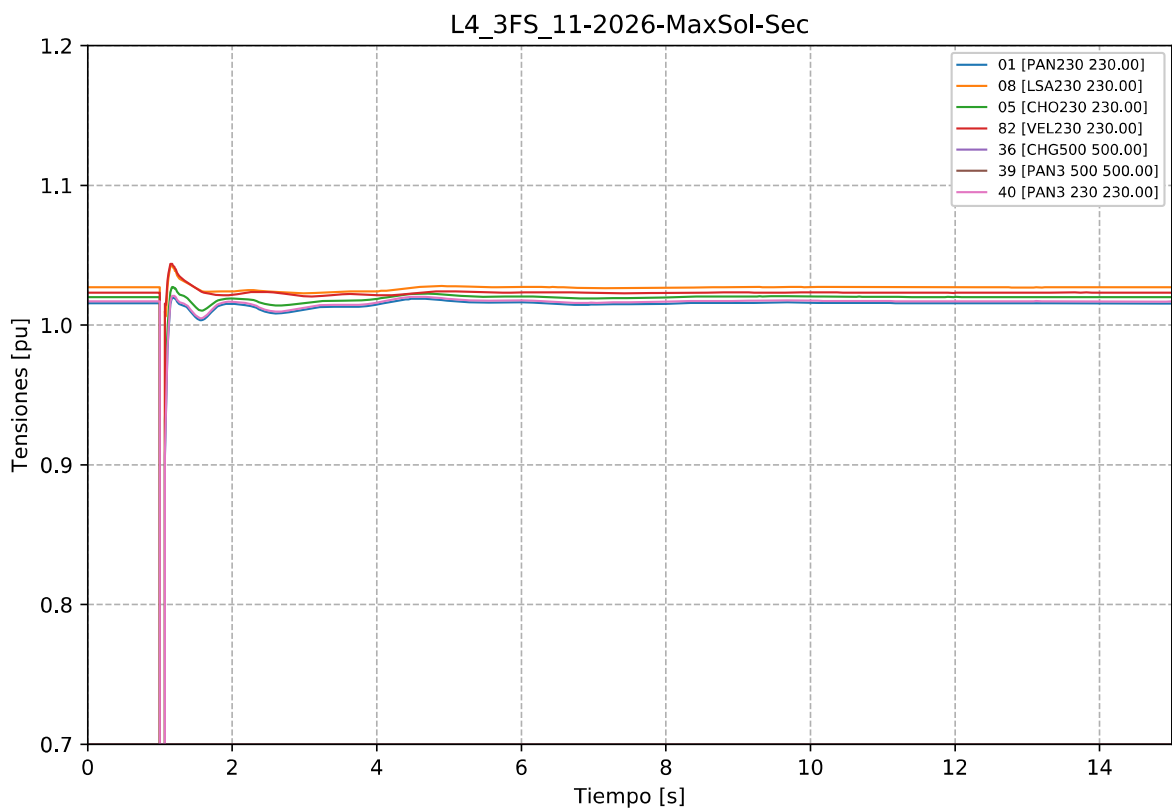


Gráfico 296. Evento L4\_3FS, caso 11-2026-MaxSol-Sec. Tensiones en la zona de influencia 230 kV.

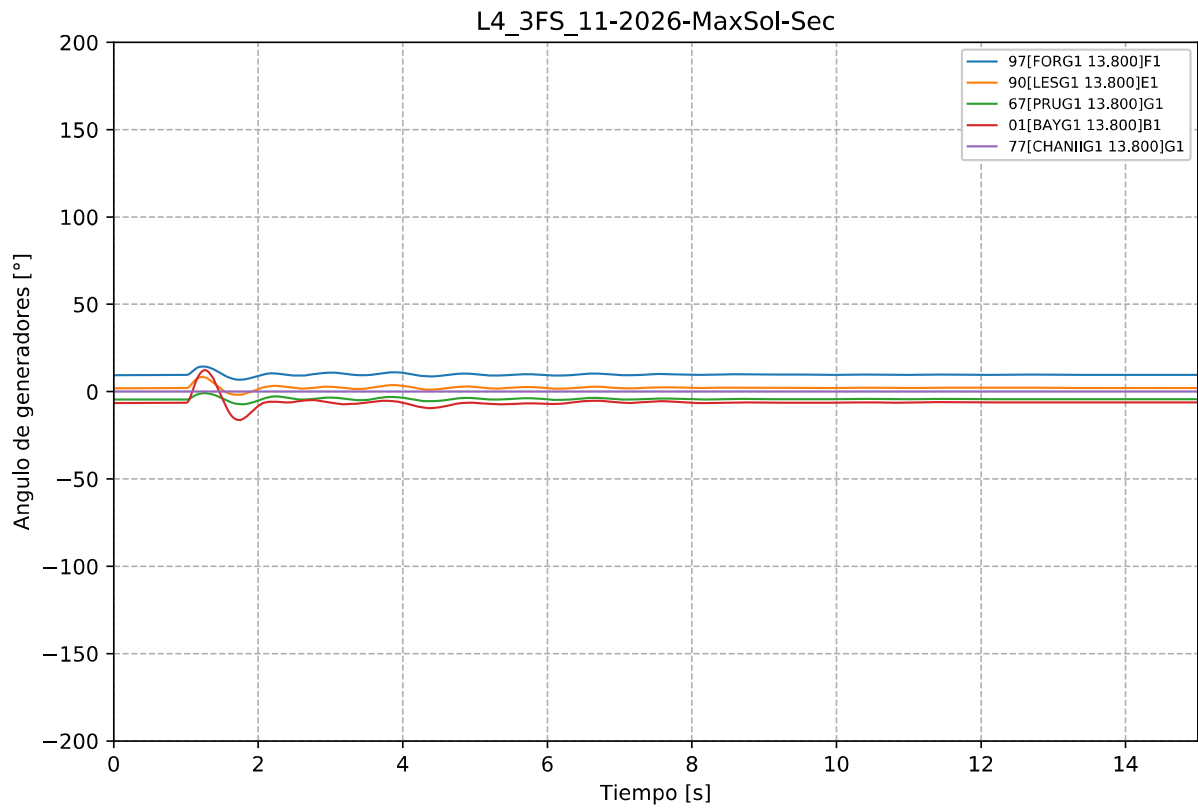


Gráfico 297. Evento L4\_3FS, caso 11-2026-MaxSol-Sec. Ángulo de Generadores Hidroeléctricos.

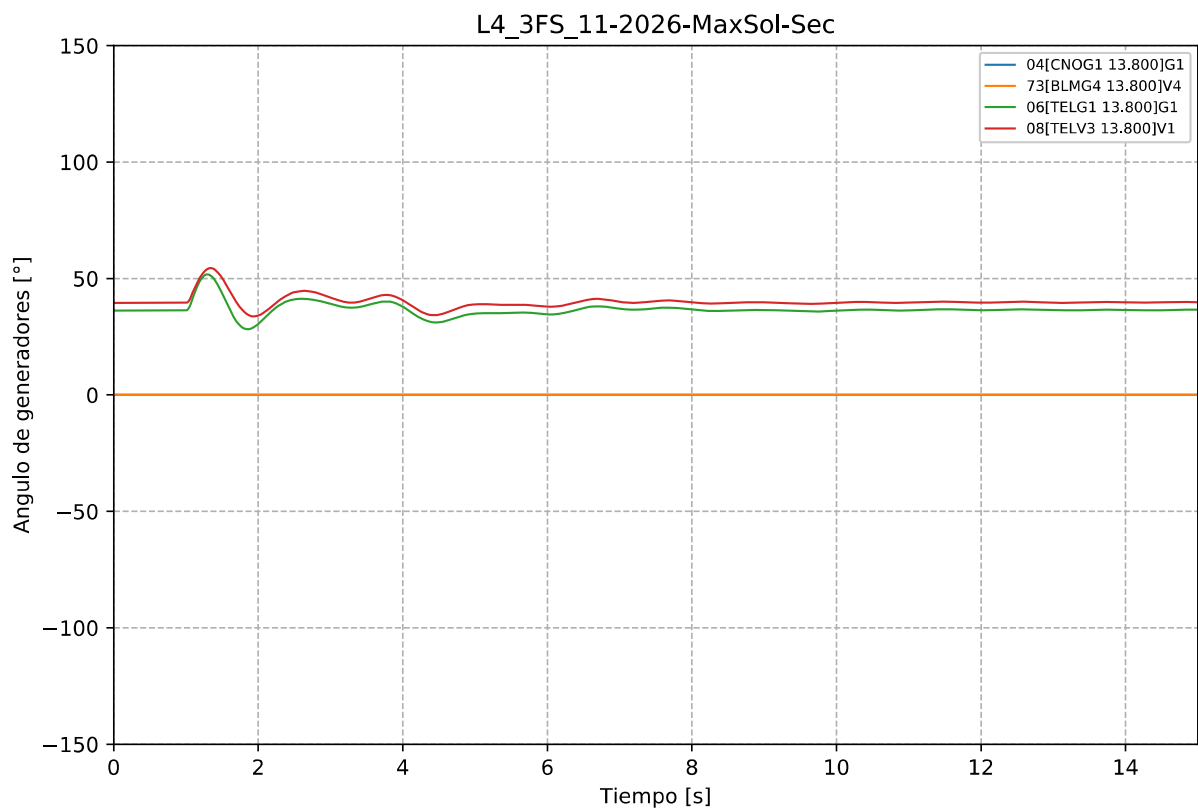


Gráfico 298. Evento L4\_3FS, caso 11-2026-MaxSol-Sec. Ángulo de generadores Térmicos.

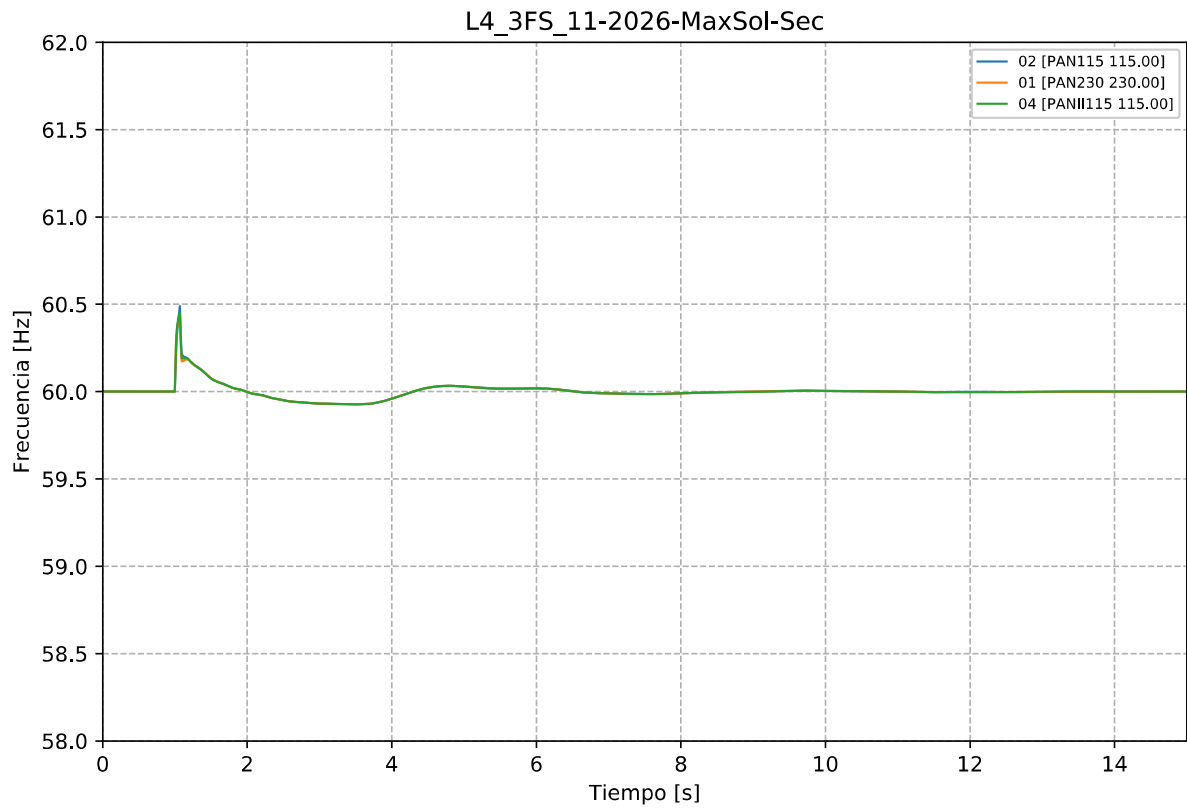


Gráfico 299. Evento L4\_3FS, caso 11-2026-MaxSol-Sec. Frecuencia.

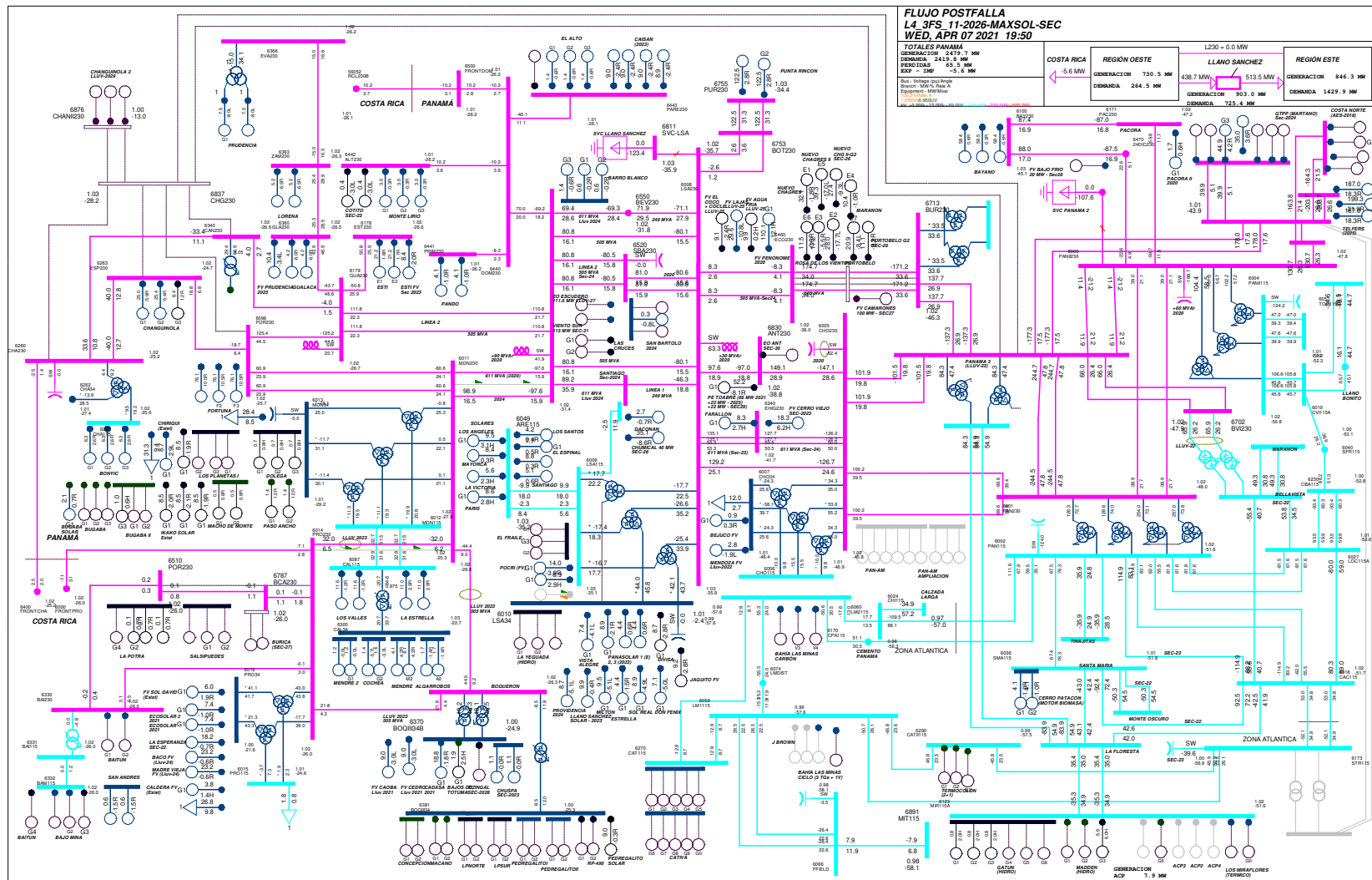


Gráfico 300. Evento L4\_3FS, caso 11-2026-MaxSol-Sec. Flujo postfalla

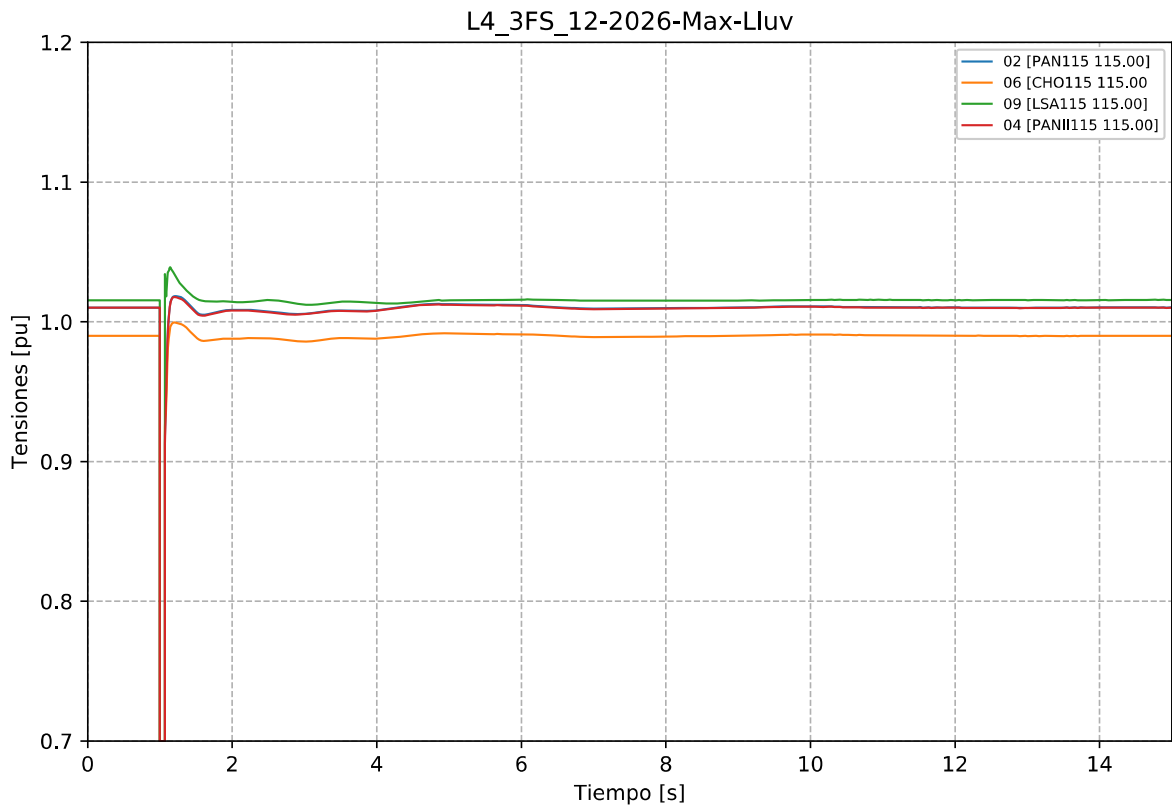


Gráfico 301. Evento L4\_3FS, caso 12-2026-Max-Lluv. Tensiones en la zona de influencia 115 kV.

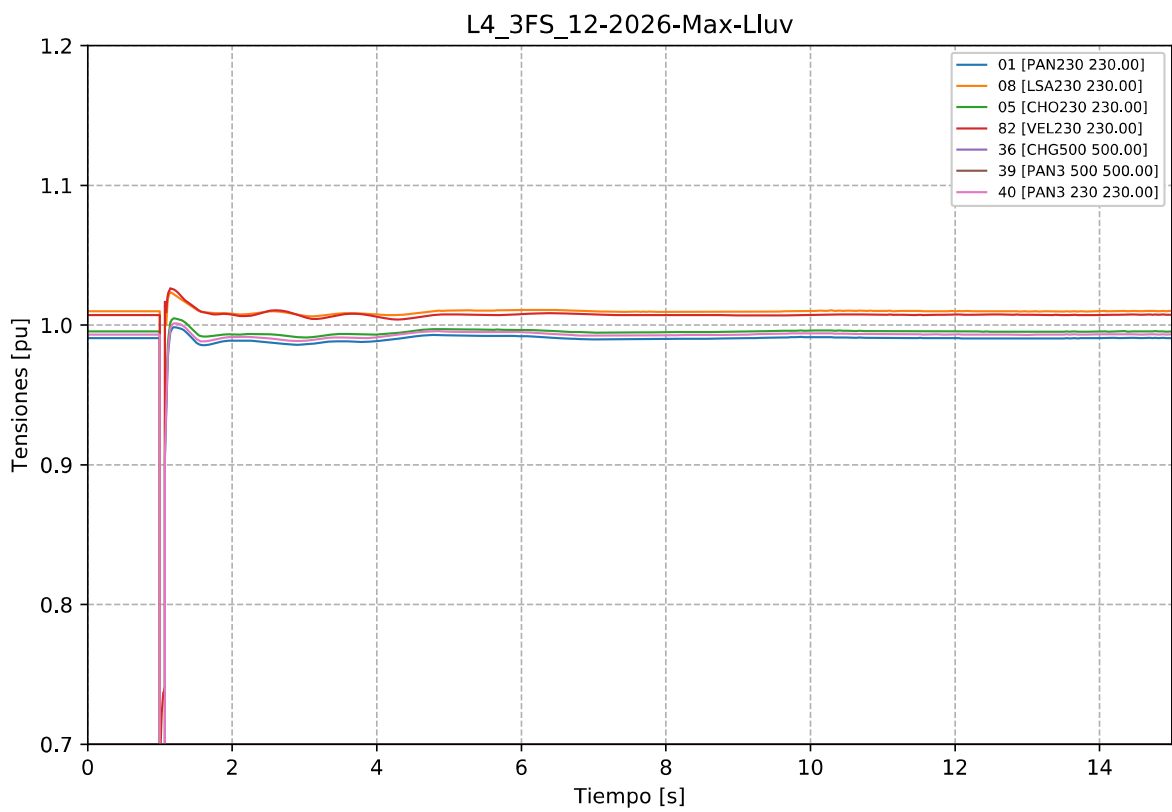


Gráfico 302. Evento L4\_3FS, caso 12-2026-Max-Lluv. Tensiones en la zona de influencia 230 kV.

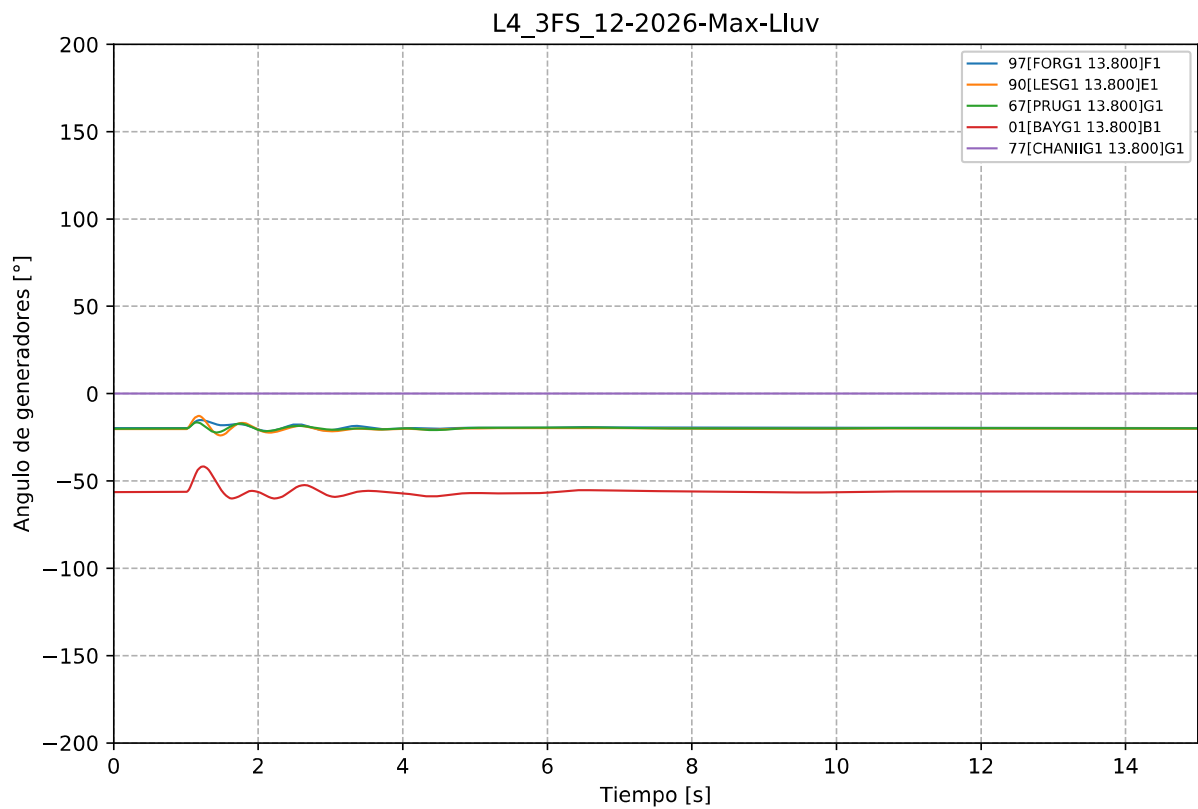


Gráfico 303. Evento L4\_3FS, caso 12-2026-Max-Lluv. Ángulo de Generadores Hidroeléctricos.

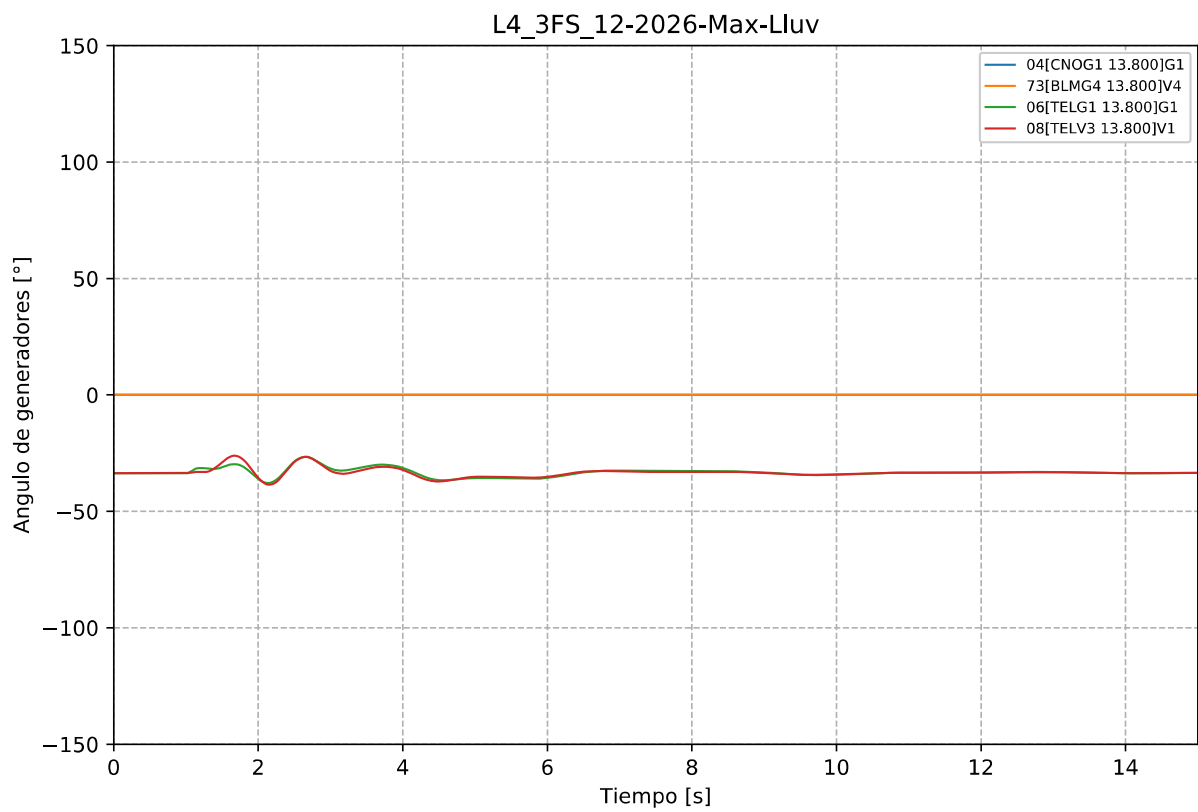


Gráfico 304. Evento L4\_3FS, caso 12-2026-Max-Lluv. Ángulo de generadores Térmicos.



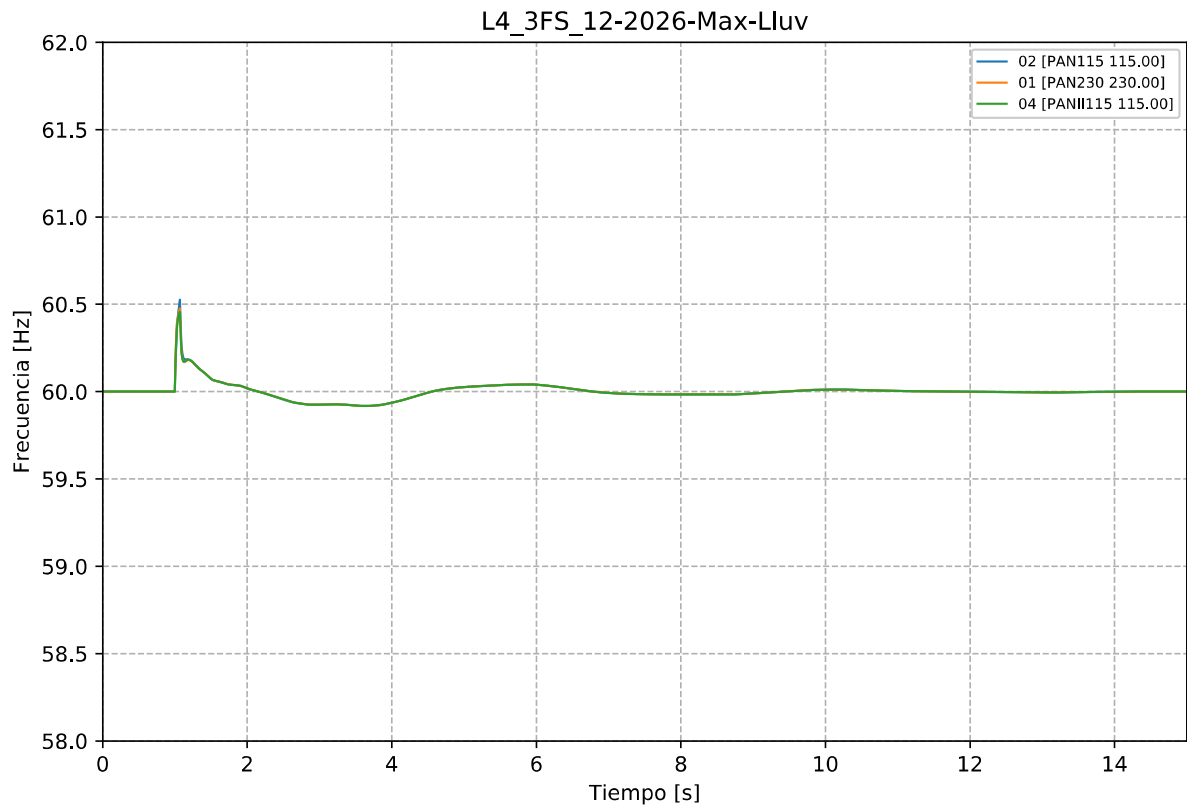


Gráfico 305. Evento L4\_3FS, caso 12-2026-Max-Lluv. Frecuencia.

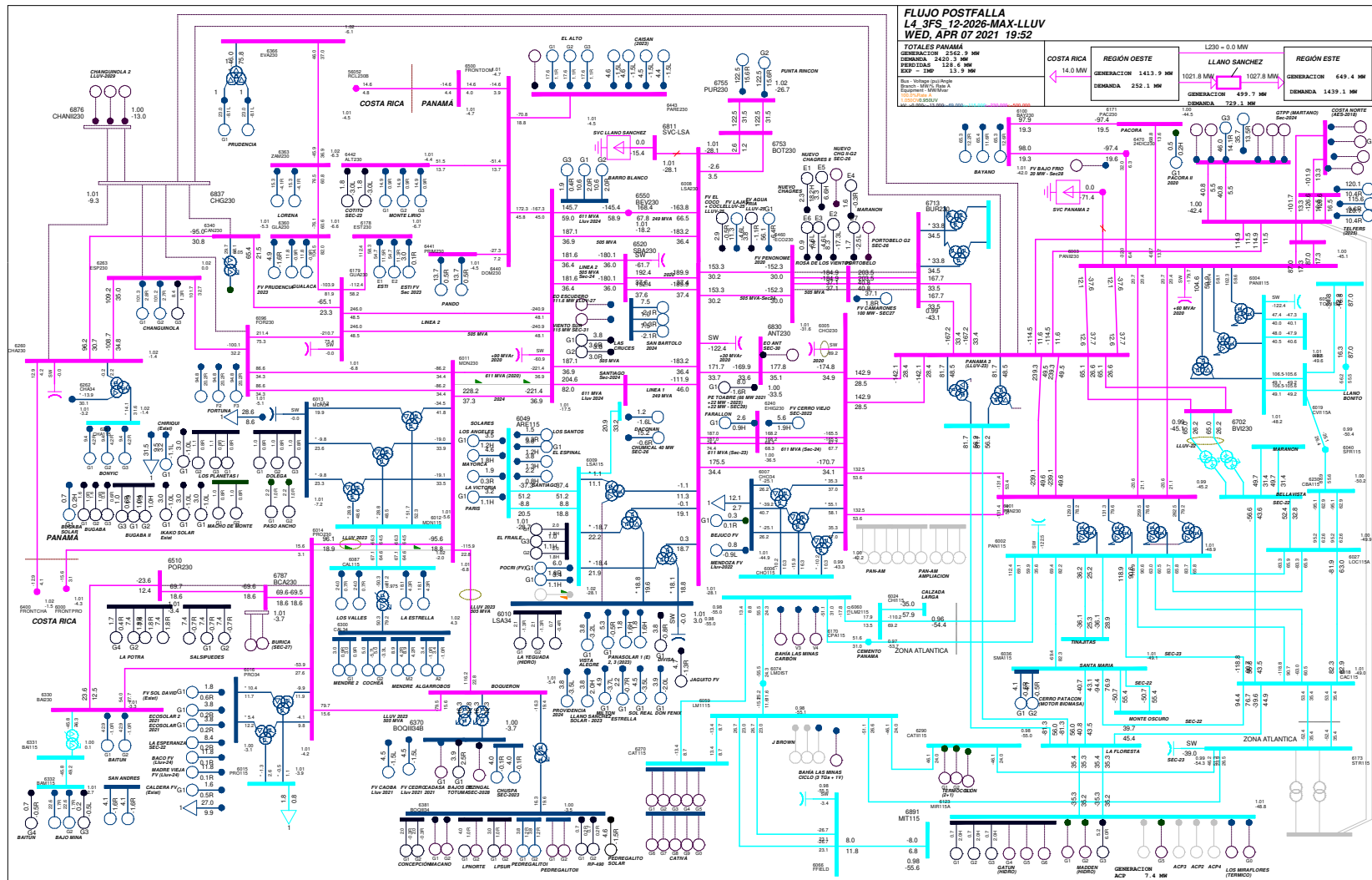


Gráfico 306. Evento L4\_3FS, caso 12-2026-Max-Lluv. Flujo postfalla

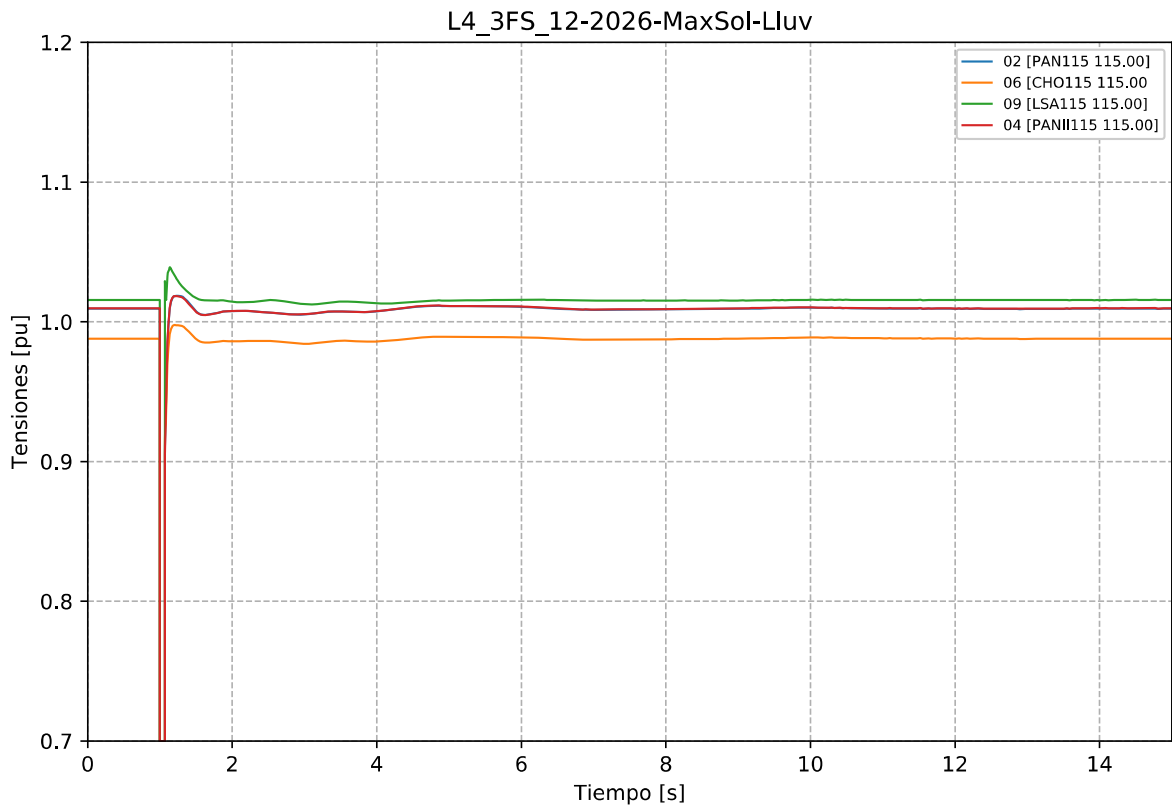


Gráfico 307. Evento L4\_3FS, caso 12-2026-MaxSol-Lluv. Tensiones en la zona de influencia 115 kV.

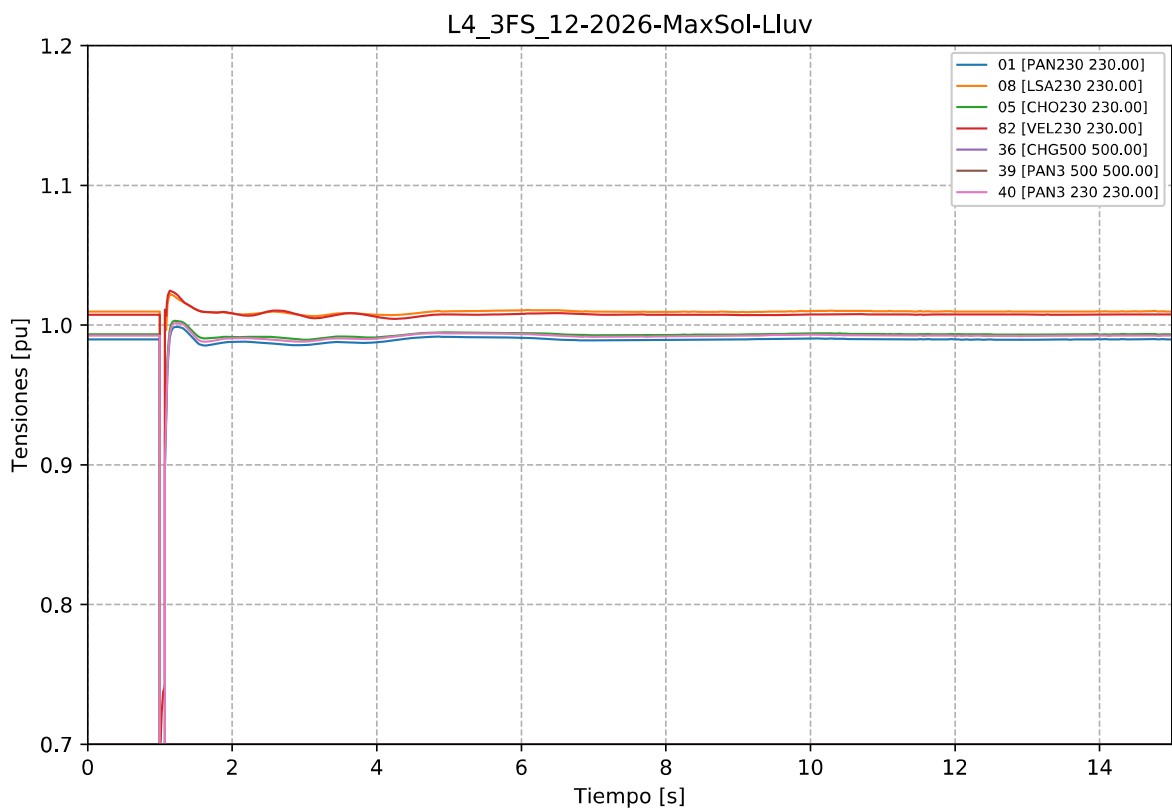


Gráfico 308. Evento L4\_3FS, caso 12-2026-MaxSol-Lluv. Tensiones en la zona de influencia 230 kV.

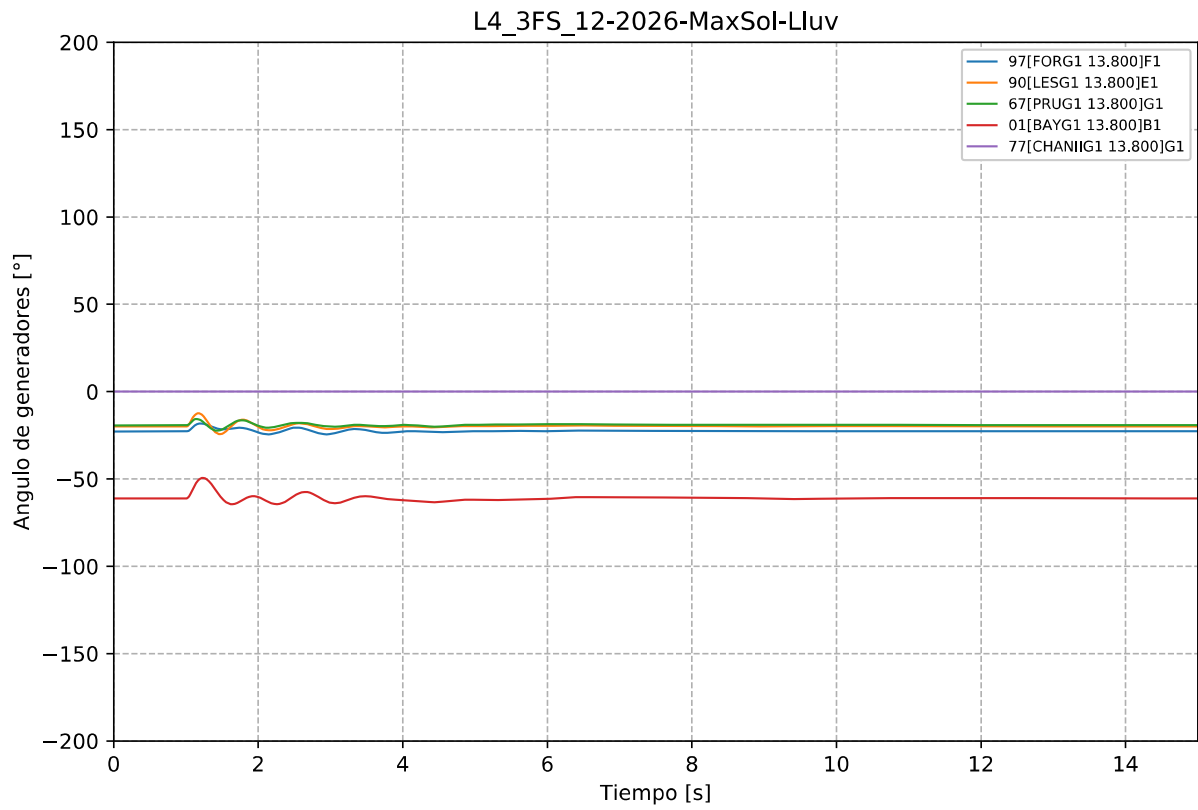


Gráfico 309. Evento L4\_3FS, caso 12-2026-MaxSol-Lluv. Ángulo de Generadores Hidroeléctricos.

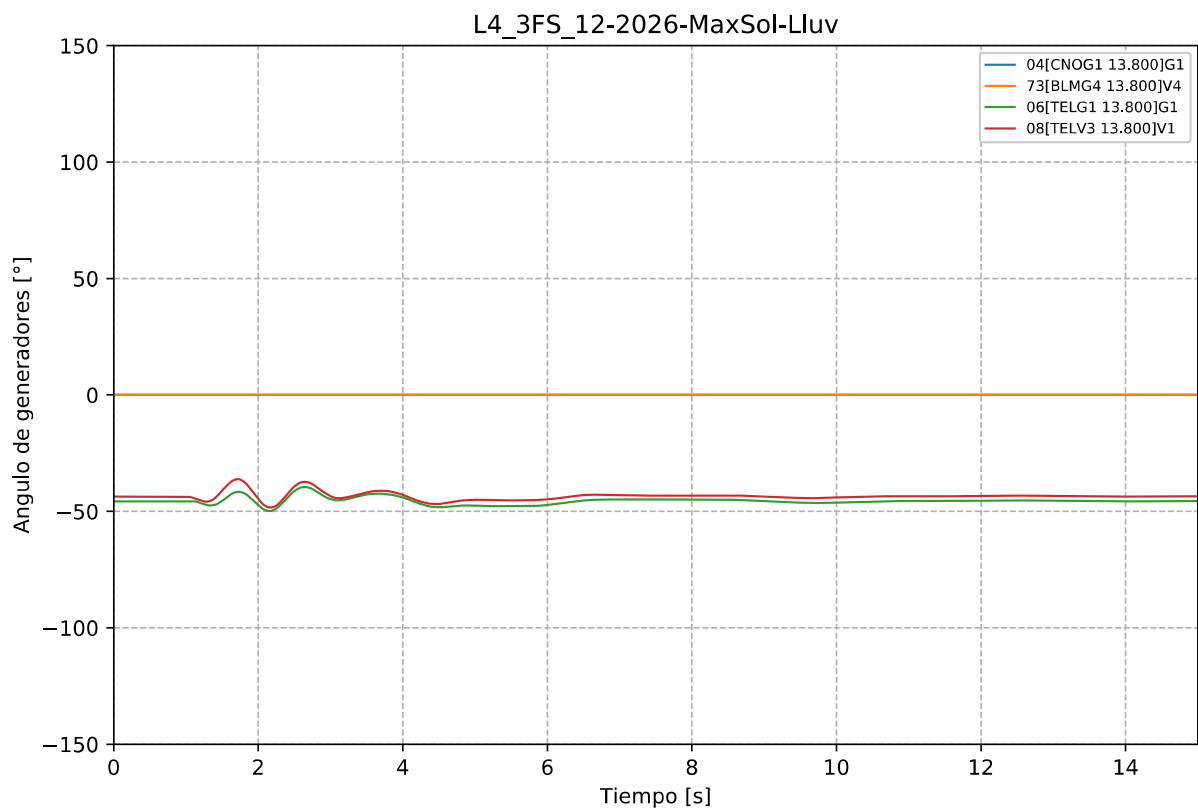


Gráfico 310. Evento L4\_3FS, caso 12-2026-MaxSol-Lluv. Ángulo de generadores Térmicos.

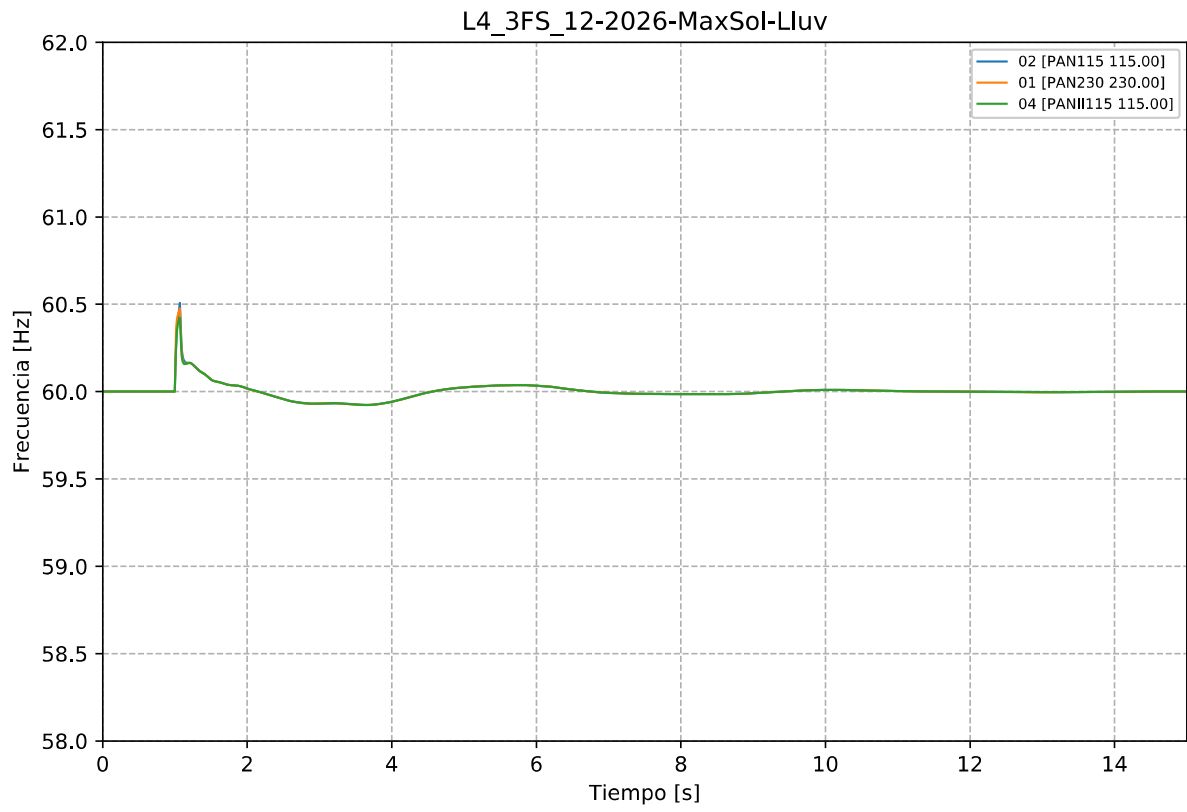


Gráfico 311. Evento L4\_3FS, caso 12-2026-MaxSol-Lluv. Frecuencia.

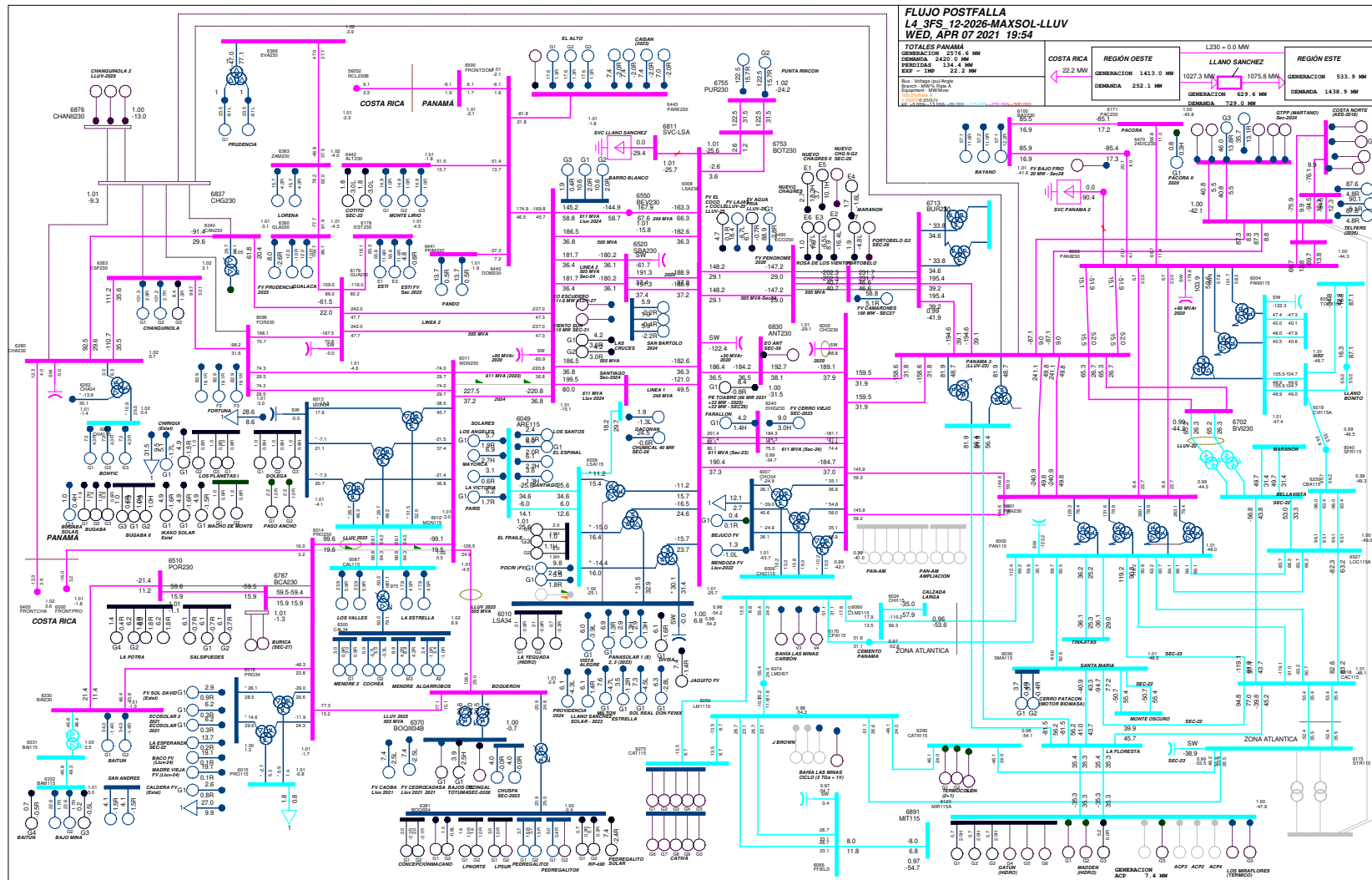


Gráfico 312. Evento L4\_3FS, caso 12-2026-MaxSol-Lluv. Flujo postfalla

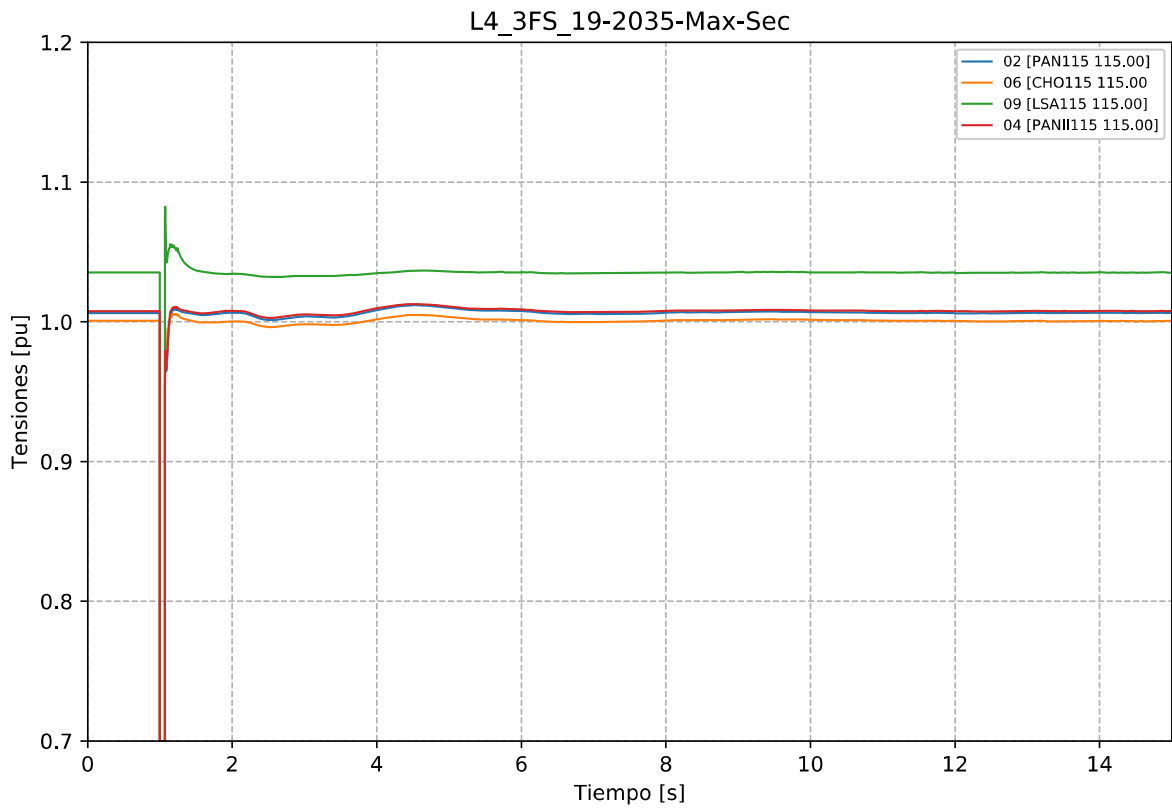


Gráfico 313. Evento L4\_3FS, caso 19-2035-Max-Sec. Tensiones en la zona de influencia 115 kV.

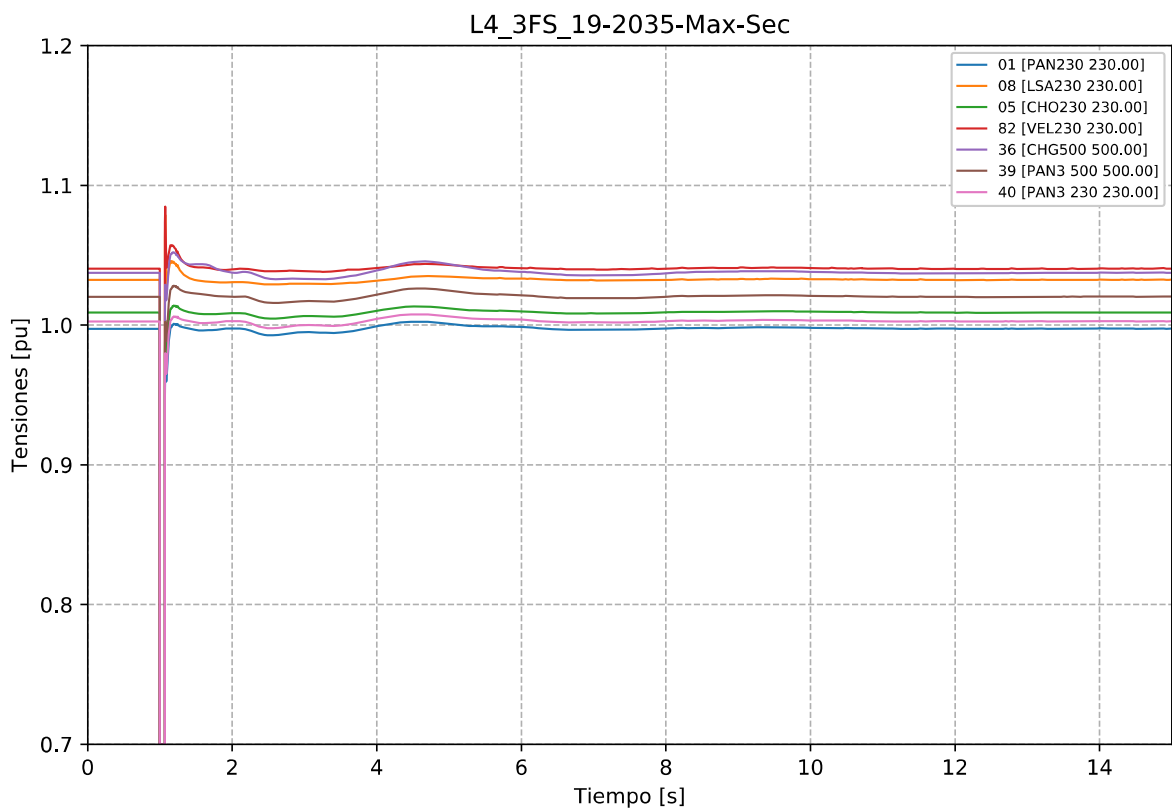


Gráfico 314. Evento L4\_3FS, caso 19-2035-Max-Sec. Tensiones en la zona de influencia 230 kV.

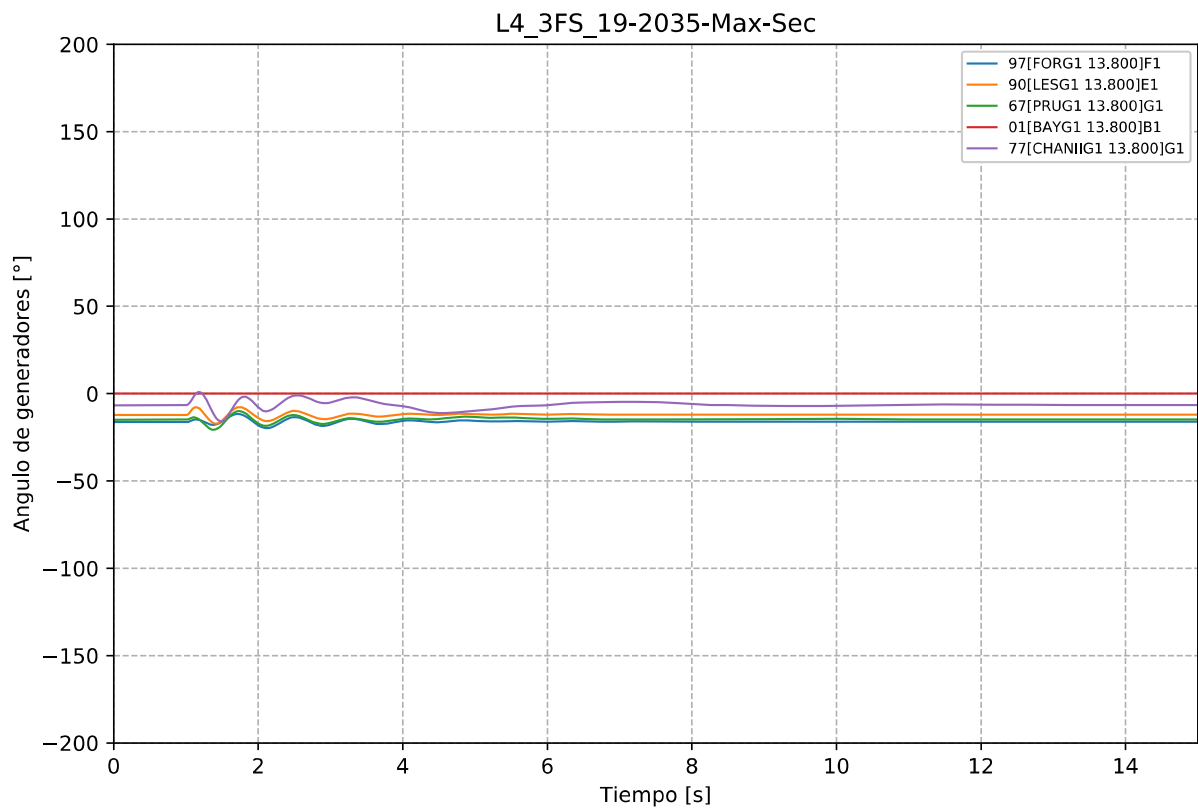


Gráfico 315. Evento L4\_3FS, caso 19-2035-Max-Sec. Ángulo de Generadores Hidroeléctricos.

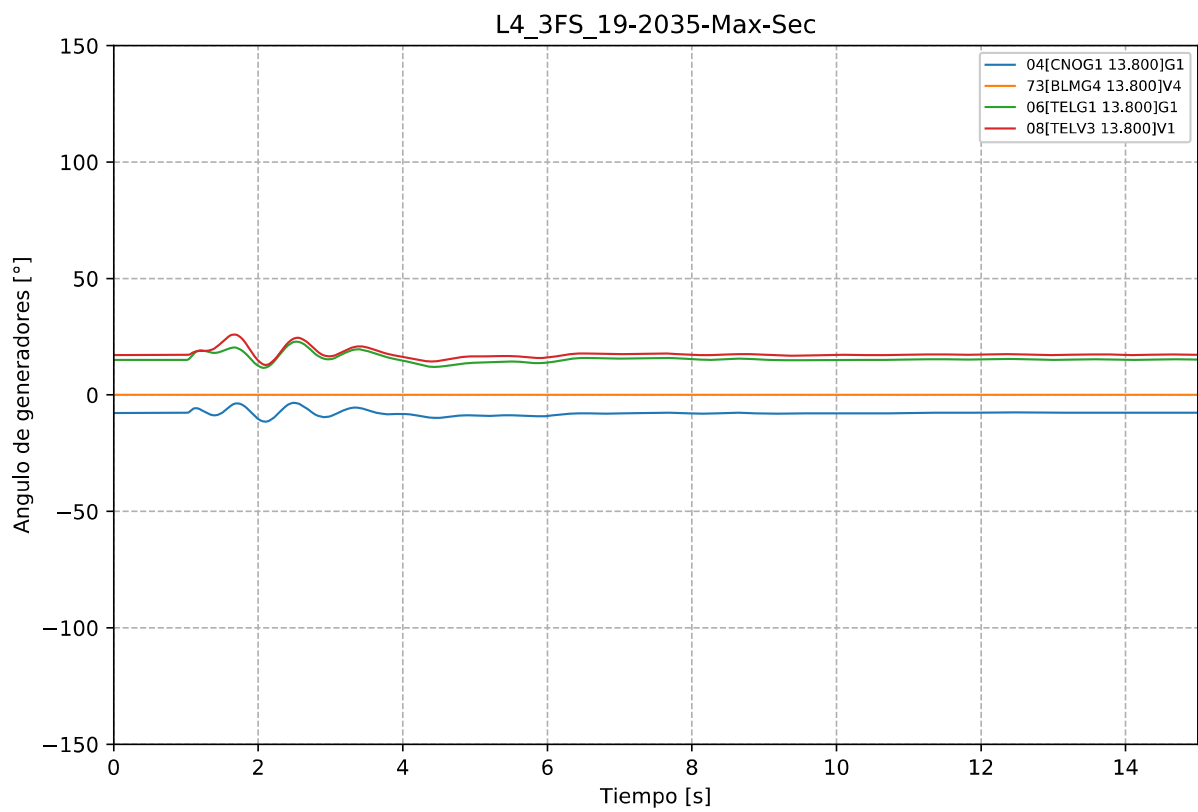


Gráfico 316. Evento L4\_3FS, caso 19-2035-Max-Sec. Ángulo de generadores Térmicos.



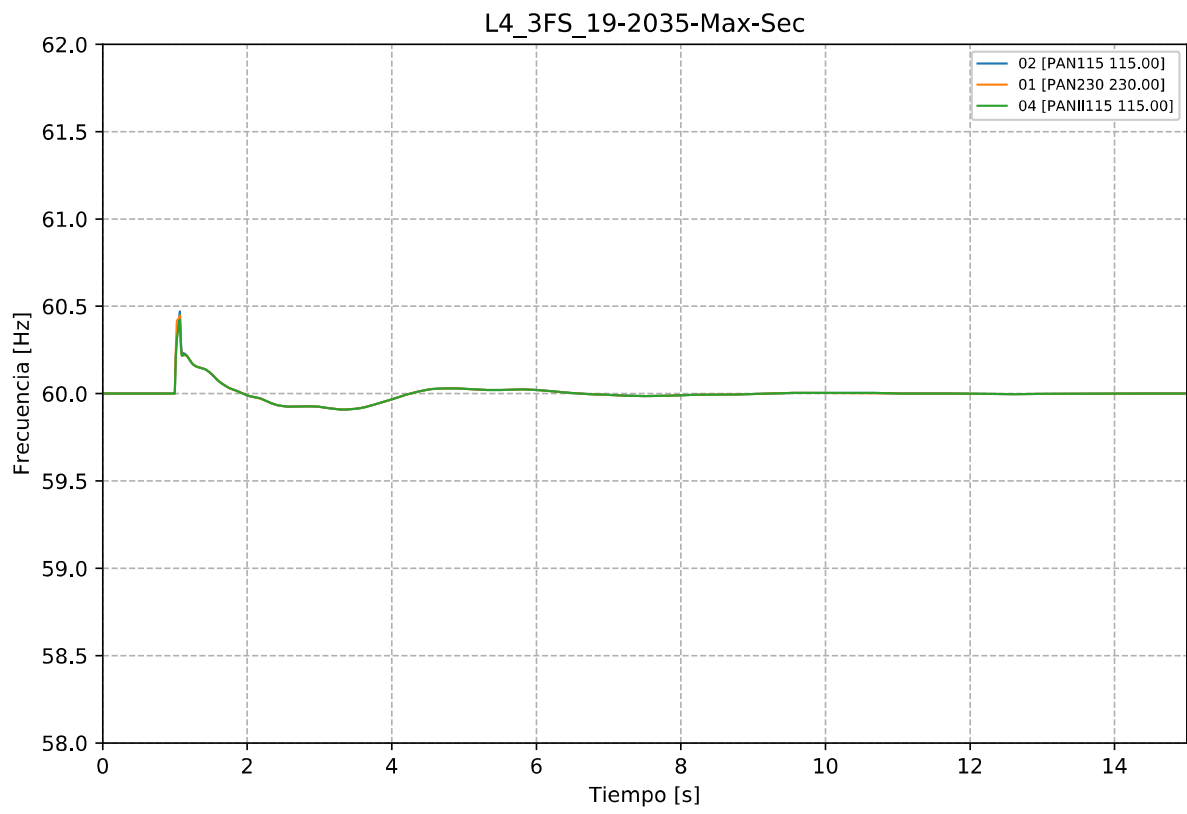


Gráfico 317. Evento L4\_3FS, caso 19-2035-Max-Sec. Frecuencia.

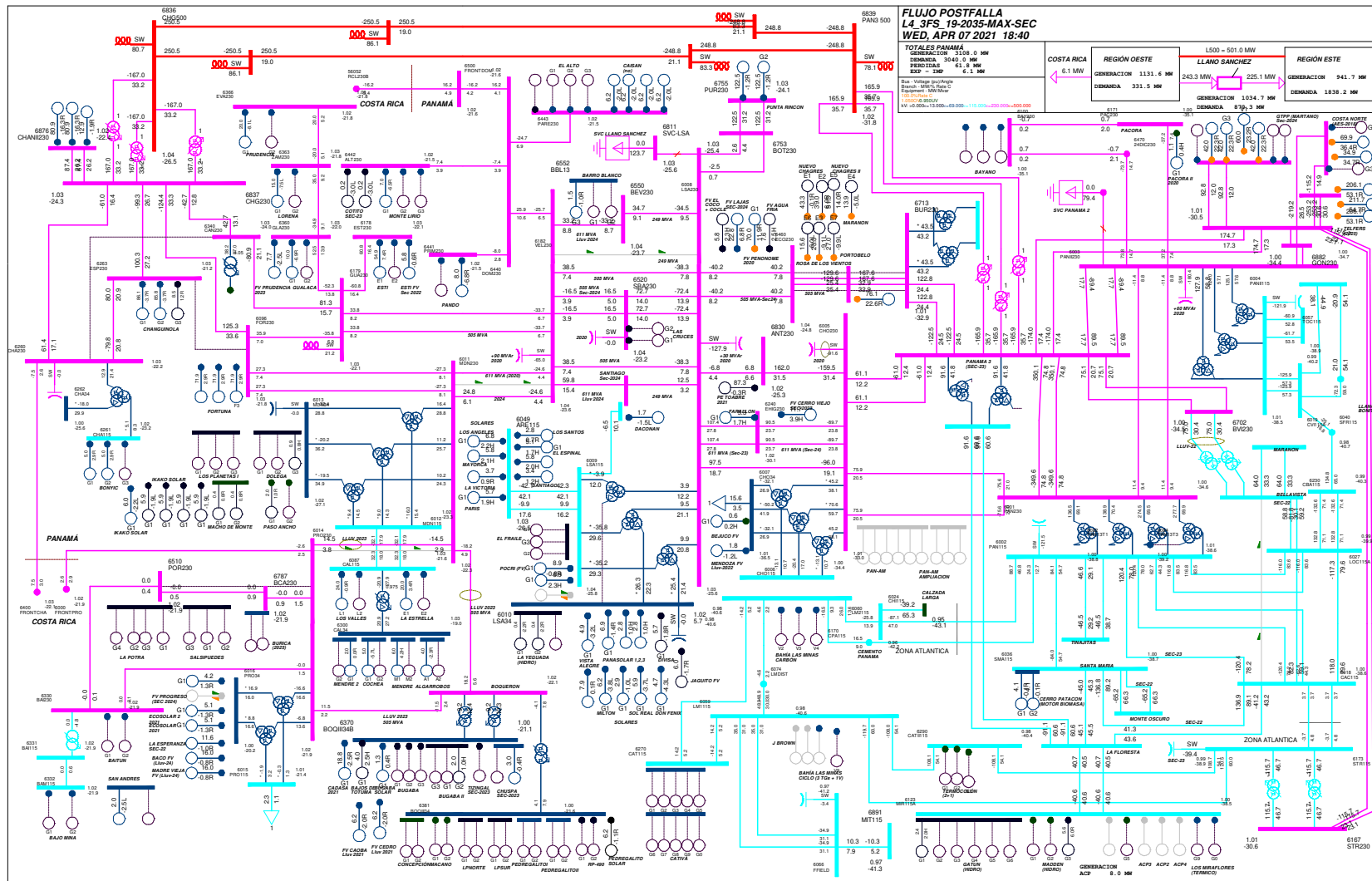


Gráfico 318. Evento L4\_3FS, caso 19-2035-Max-Sec. Flujo postfalla

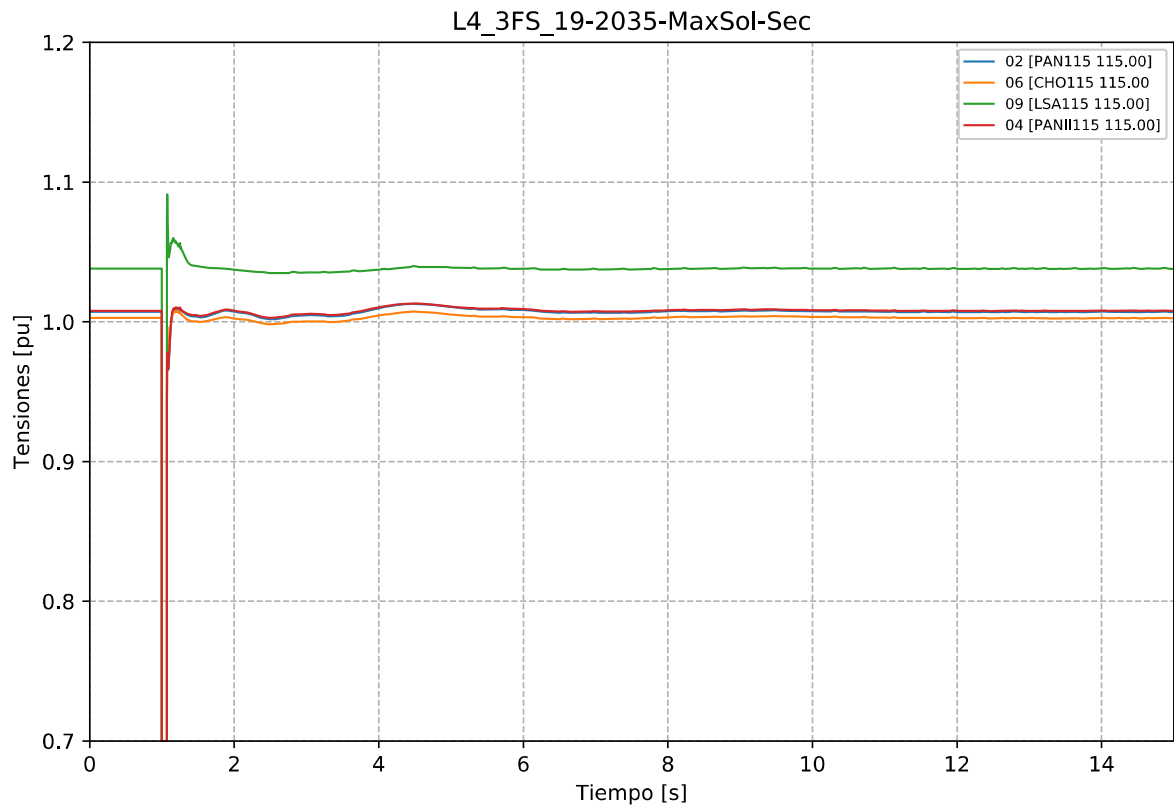


Gráfico 319. Evento L4\_3FS, caso 19-2035-MaxSol-Sec. Tensiones en la zona de influencia 115 kV.

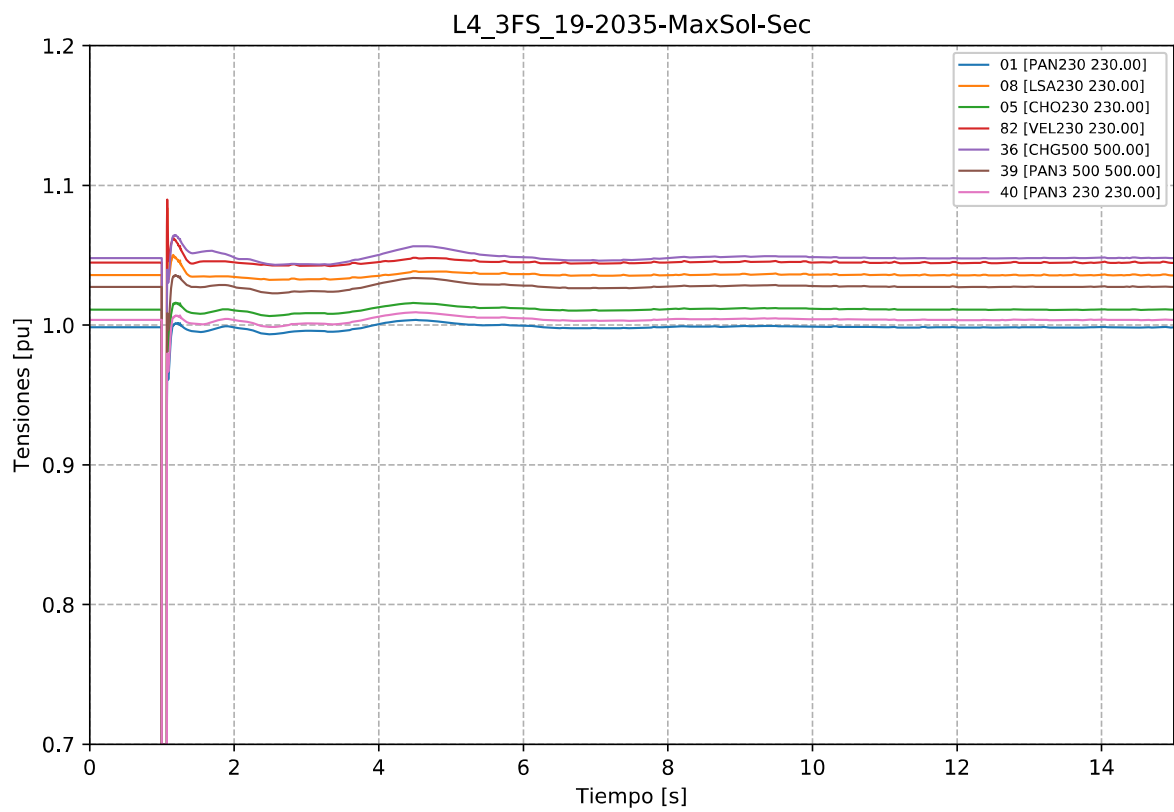


Gráfico 320. Evento L4\_3FS, caso 19-2035-MaxSol-Sec. Tensiones en la zona de influencia 230 kV.

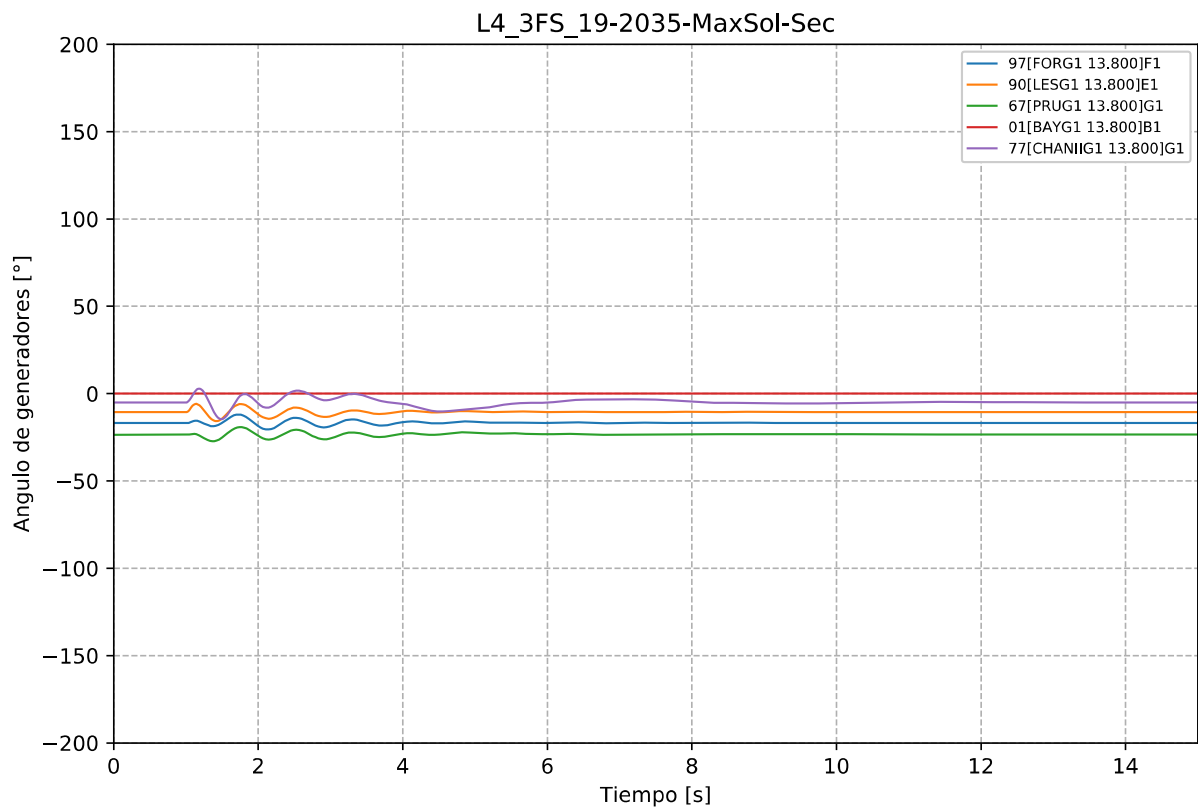


Gráfico 321. Evento L4\_3FS, caso 19-2035-MaxSol-Sec. Ángulo de Generadores Hidroeléctricos.

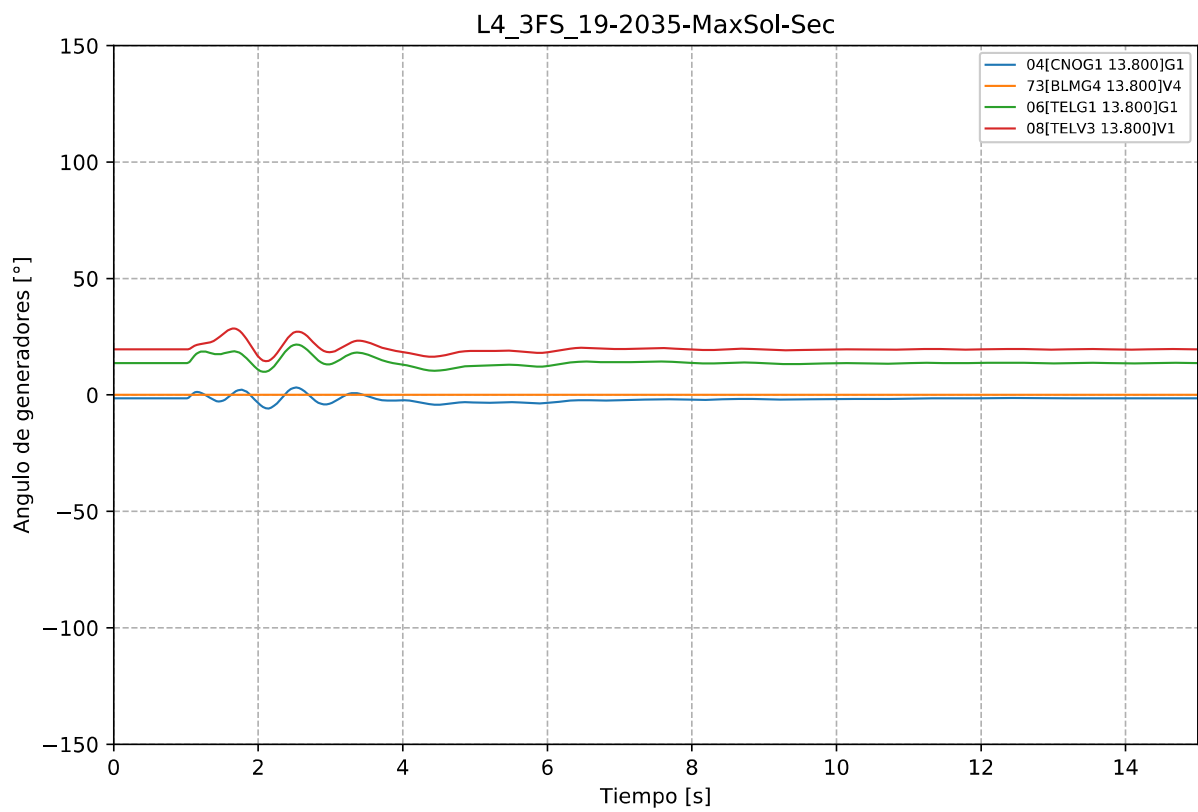


Gráfico 322. Evento L4\_3FS, caso 19-2035-MaxSol-Sec. Ángulo de generadores Térmicos.

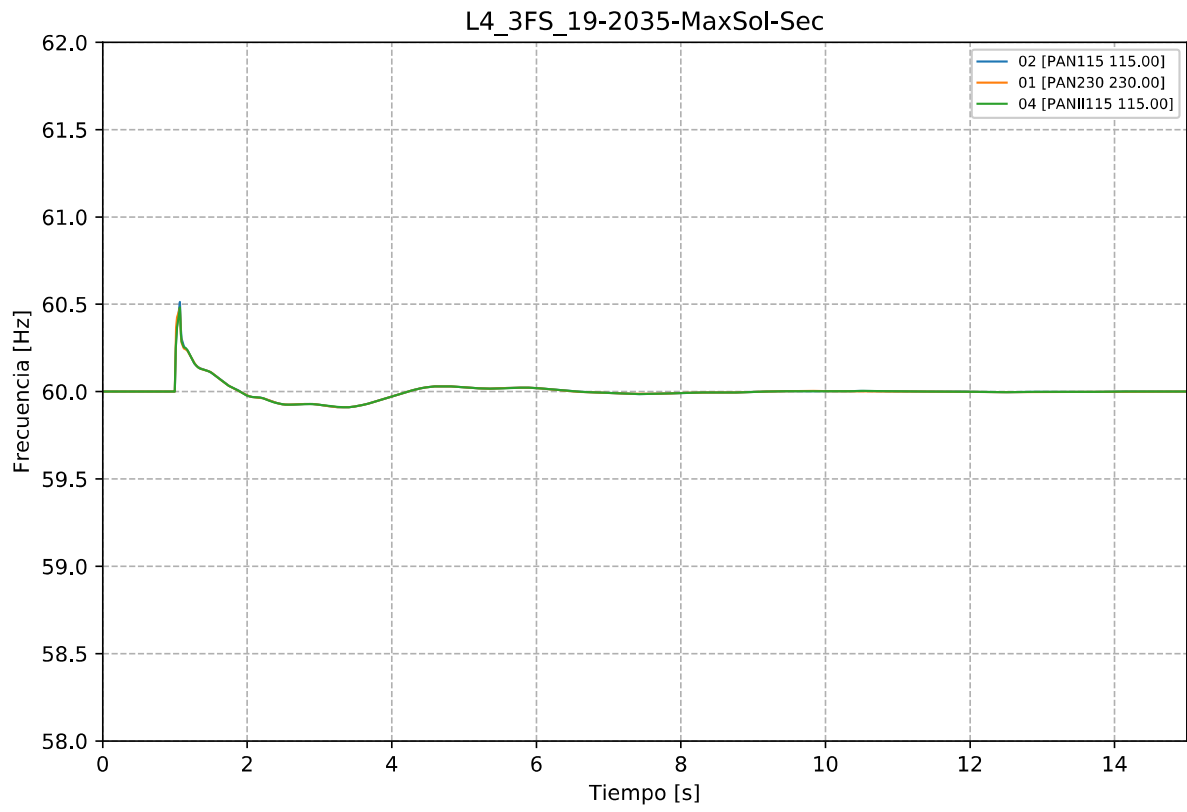


Gráfico 323. Evento L4\_3FS, caso 19-2035-MaxSol-Sec. Frecuencia.

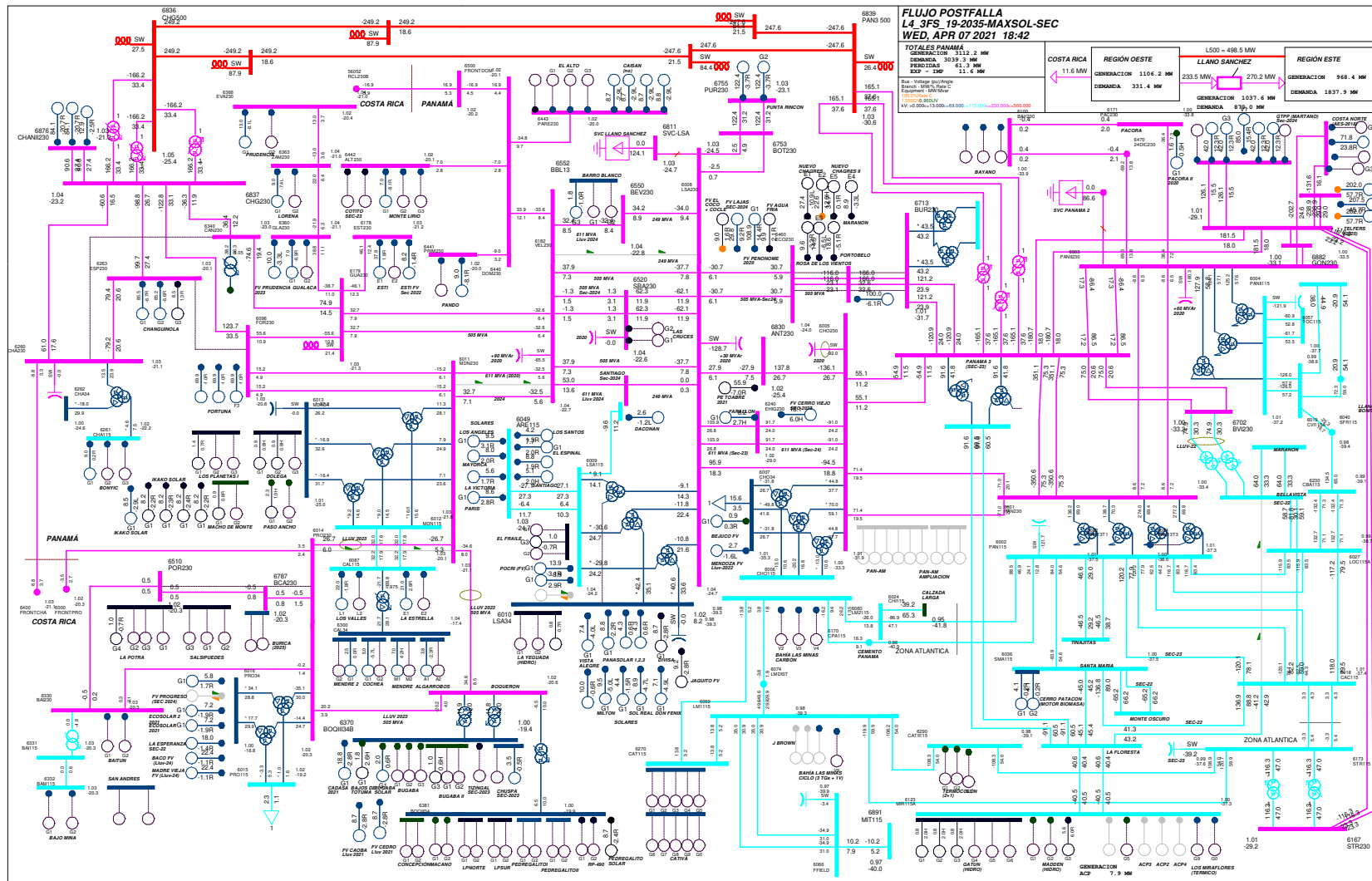


Gráfico 324. Evento L4\_3FS, caso 19-2035-MaxSol-Sec. Flujo postfalla

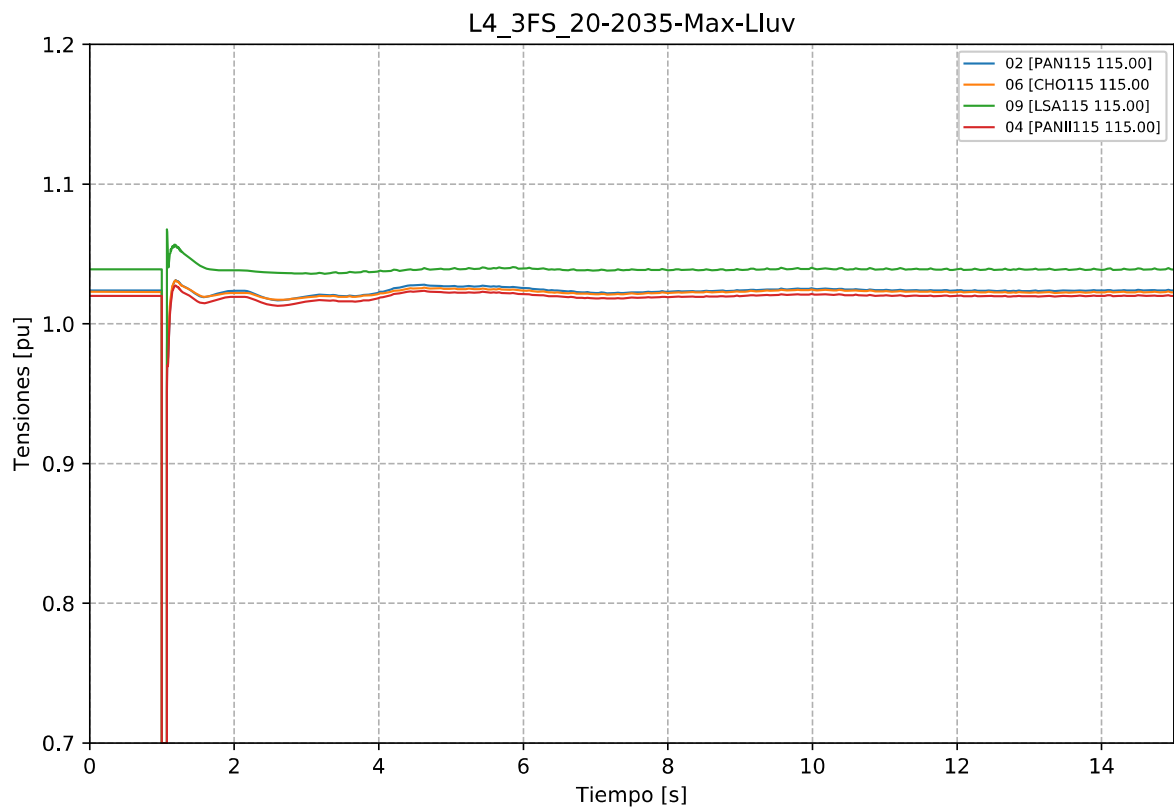


Gráfico 325. Evento L4\_3FS, caso 20-2035-Max-Lluv. Tensiones en la zona de influencia 115 kV.

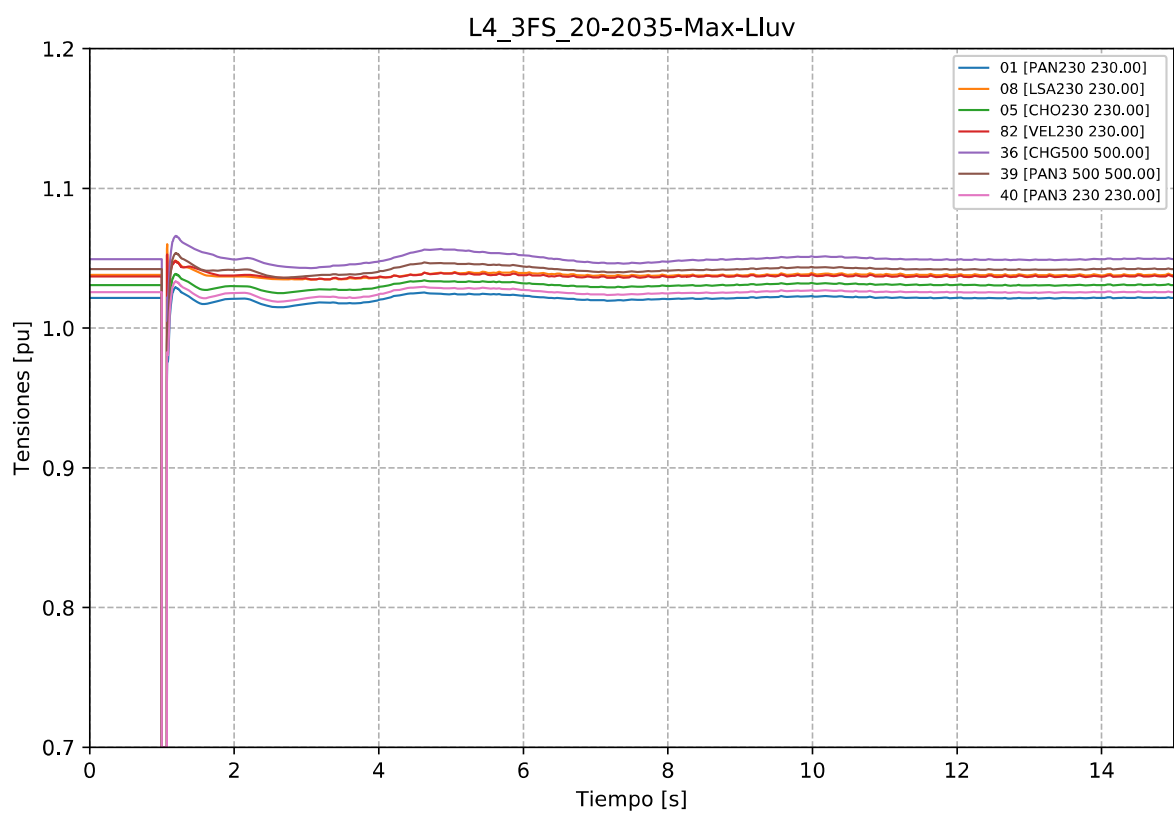


Gráfico 326. Evento L4\_3FS, caso 20-2035-Max-Lluv. Tensiones en la zona de influencia 230 kV.

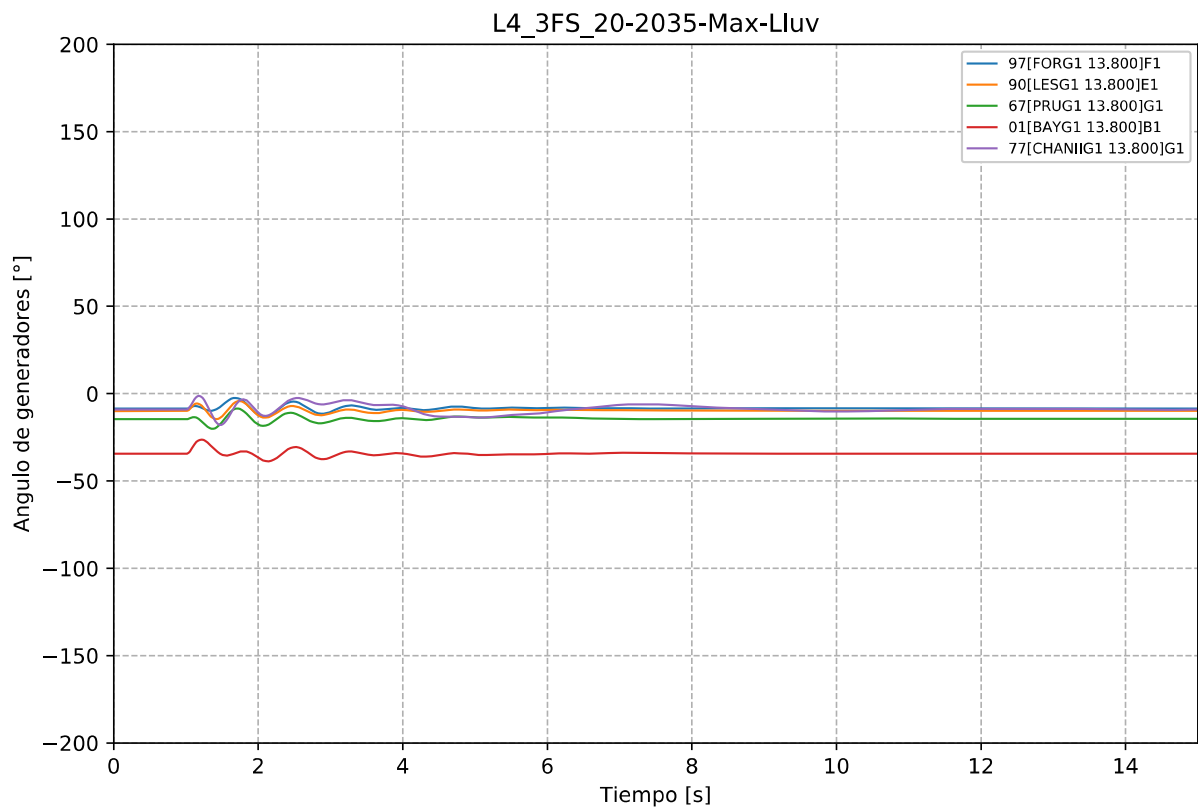


Gráfico 327. Evento L4\_3FS, caso 20-2035-Max-Lluv. Ángulo de Generadores Hidroeléctricos.

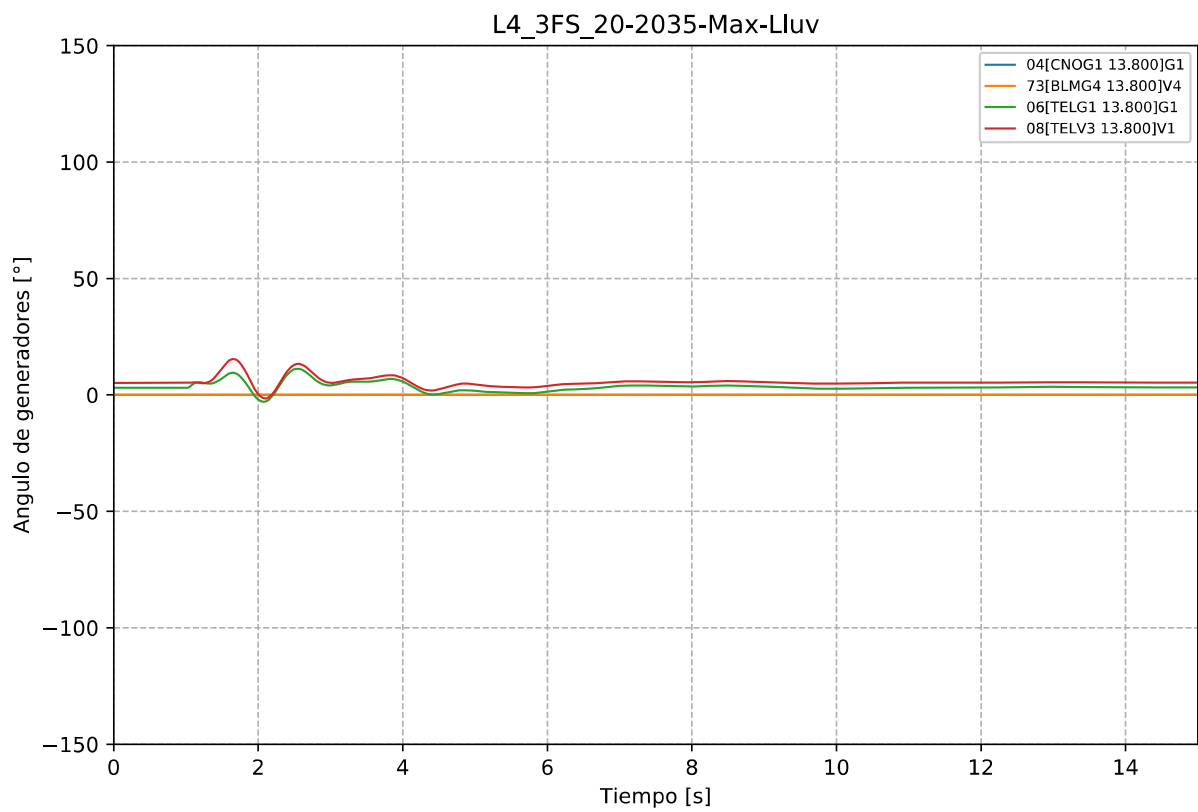


Gráfico 328. Evento L4\_3FS, caso 20-2035-Max-Lluv. Ángulo de generadores Térmicos.



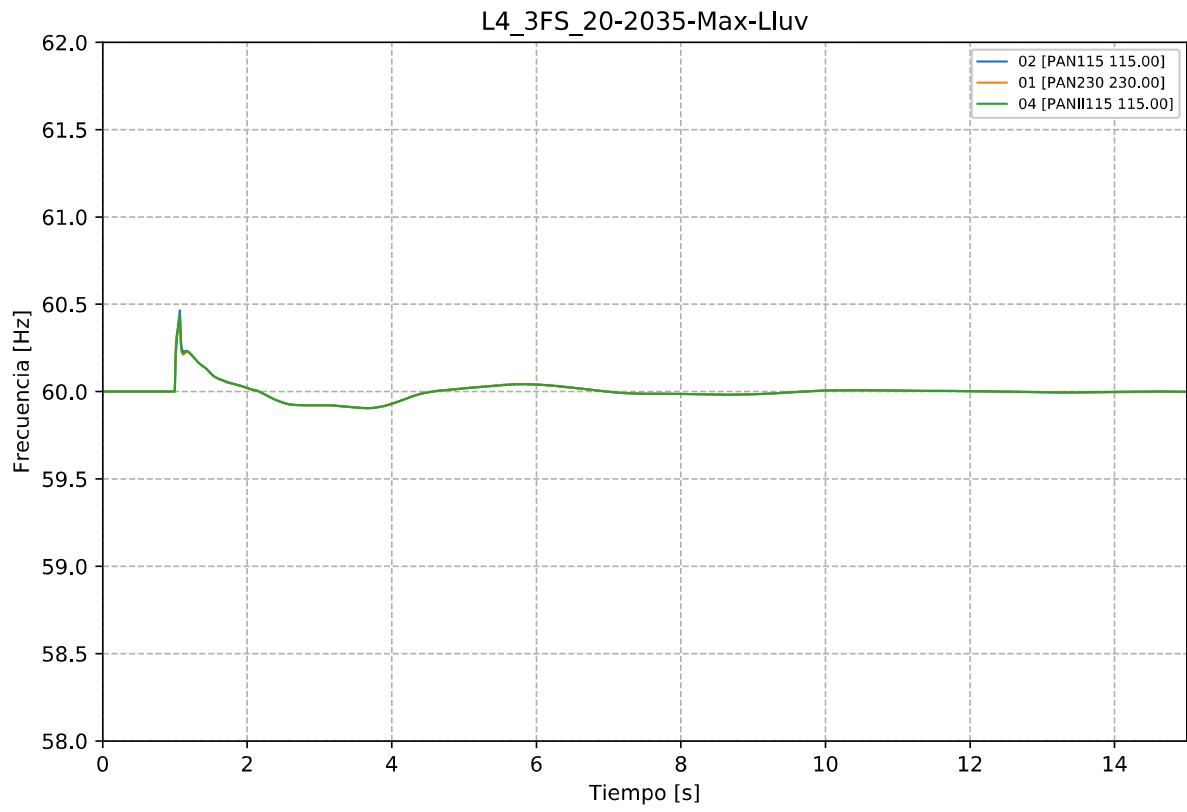


Gráfico 329. Evento L4\_3FS, caso 20-2035-Max-Lluv. Frecuencia.



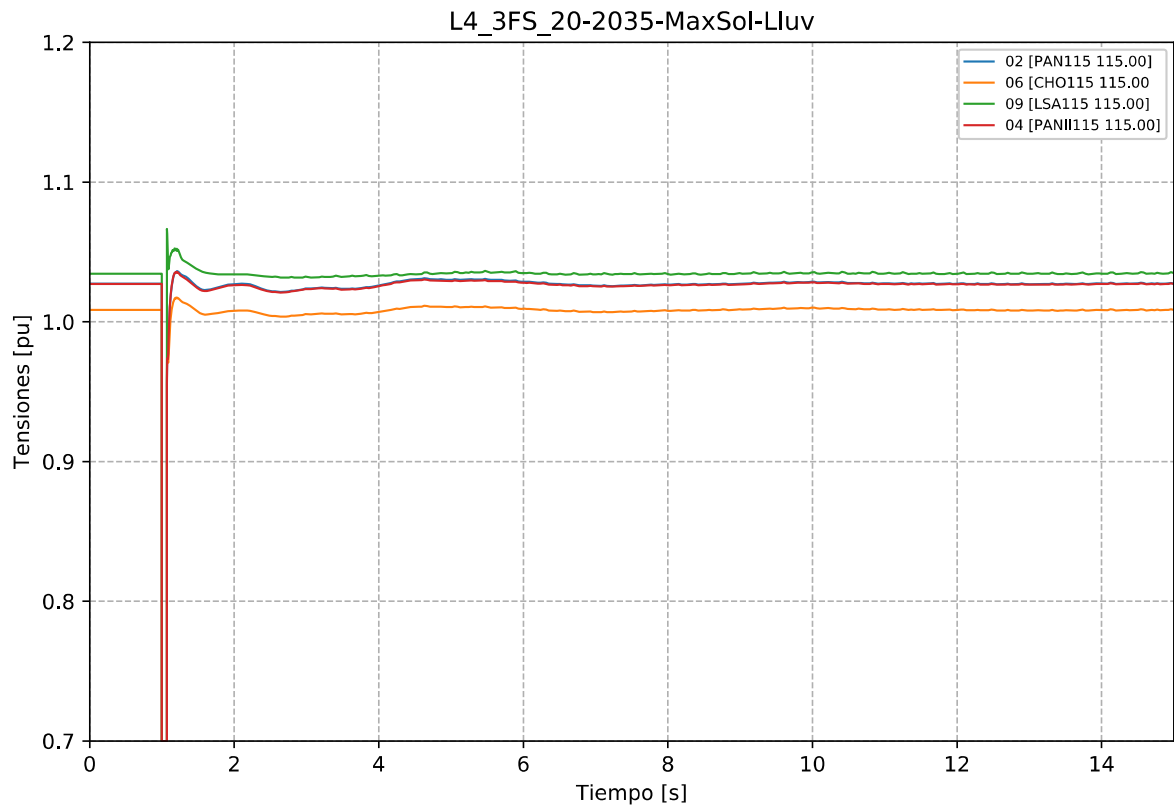


Gráfico 331. Evento L4\_3FS, caso 20-2035-MaxSol-Lluv. Tensiones en la zona de influencia 115 kV.

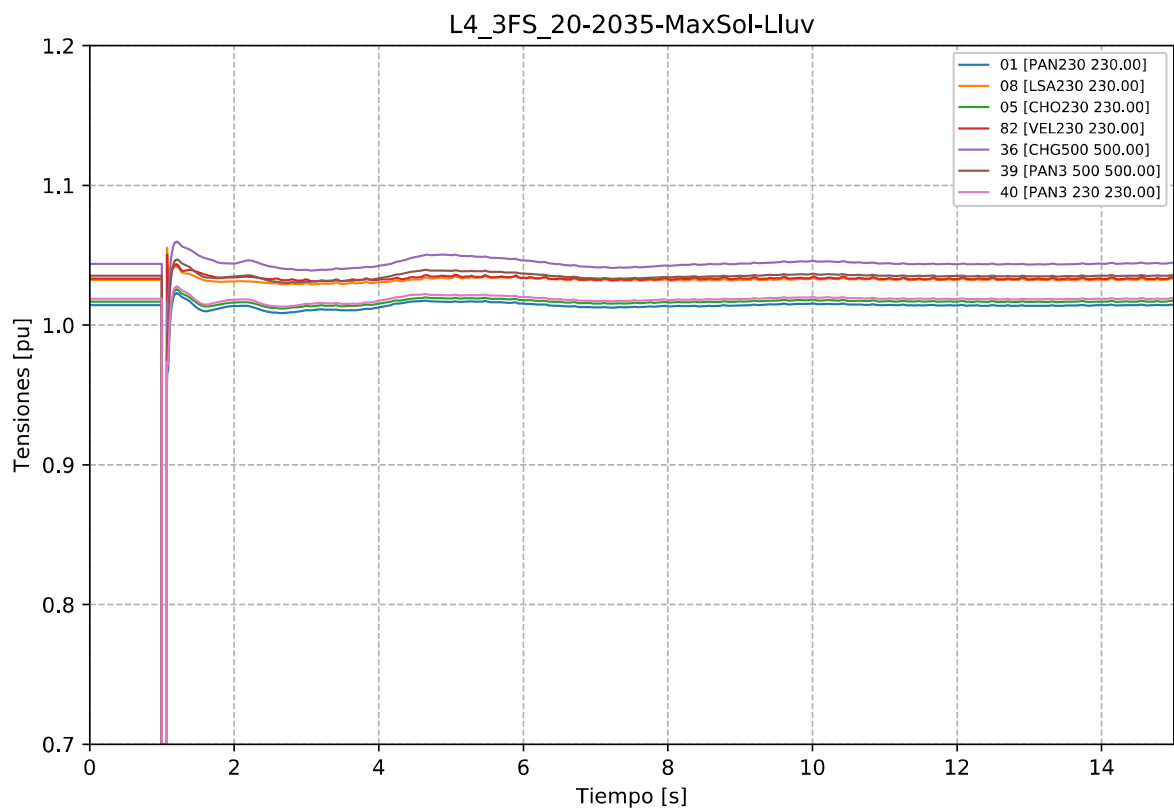


Gráfico 332. Evento L4\_3FS, caso 20-2035-MaxSol-Lluv. Tensiones en la zona de influencia 230 kV.

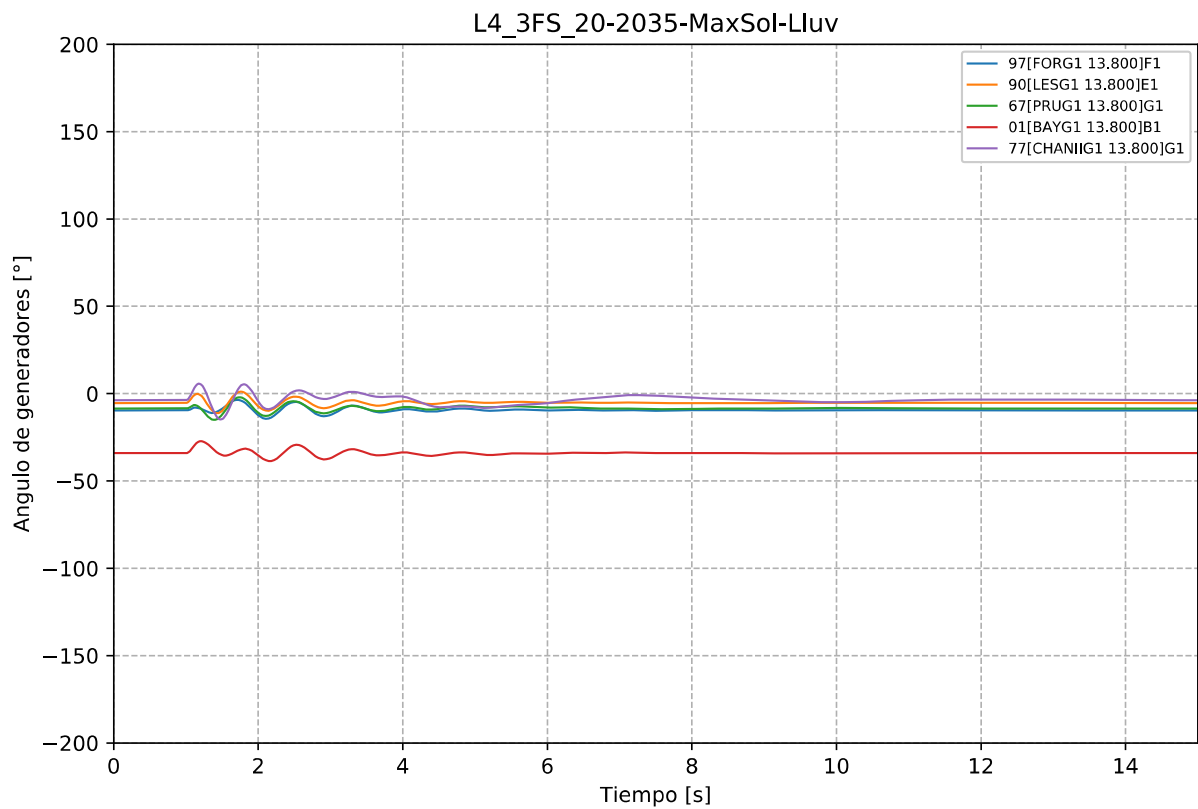


Gráfico 333. Evento L4\_3FS, caso 20-2035-MaxSol-Lluv. Ángulo de Generadores Hidroeléctricos.

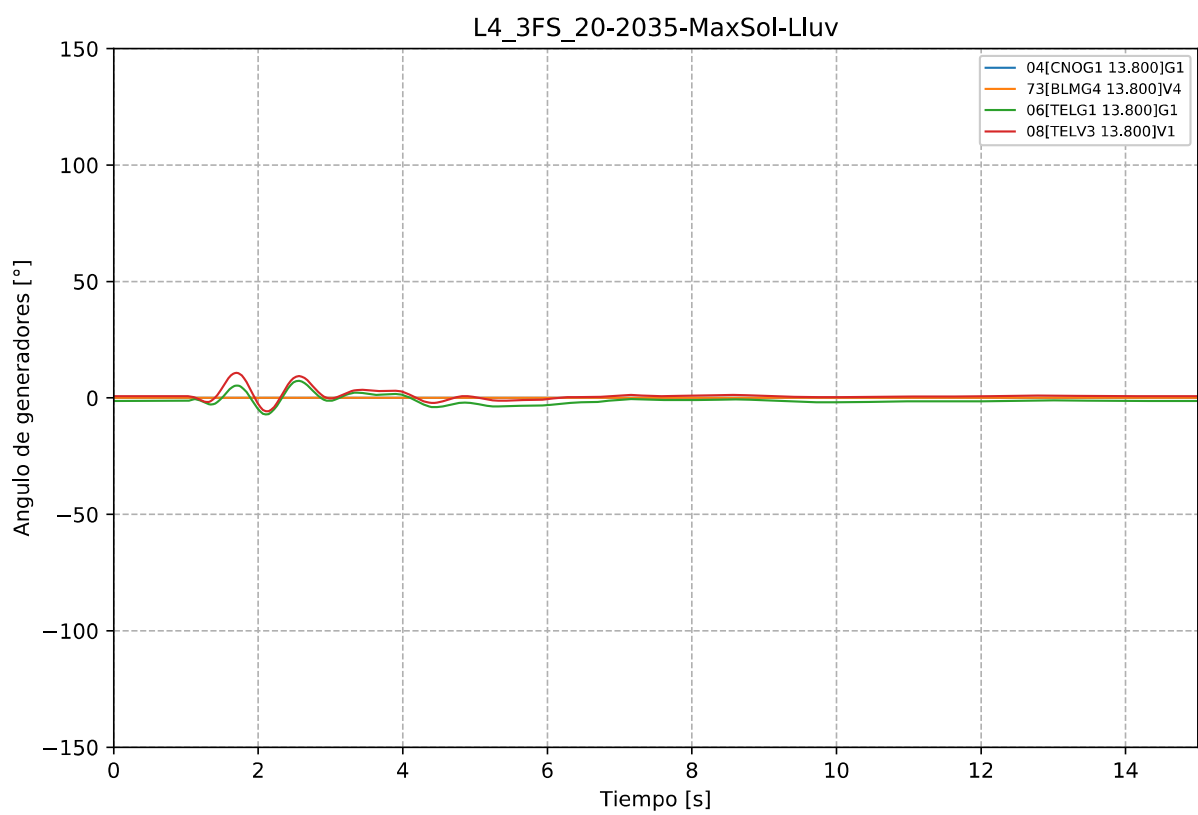


Gráfico 334. Evento L4\_3FS, caso 20-2035-MaxSol-Lluv. Ángulo de generadores Térmicos.

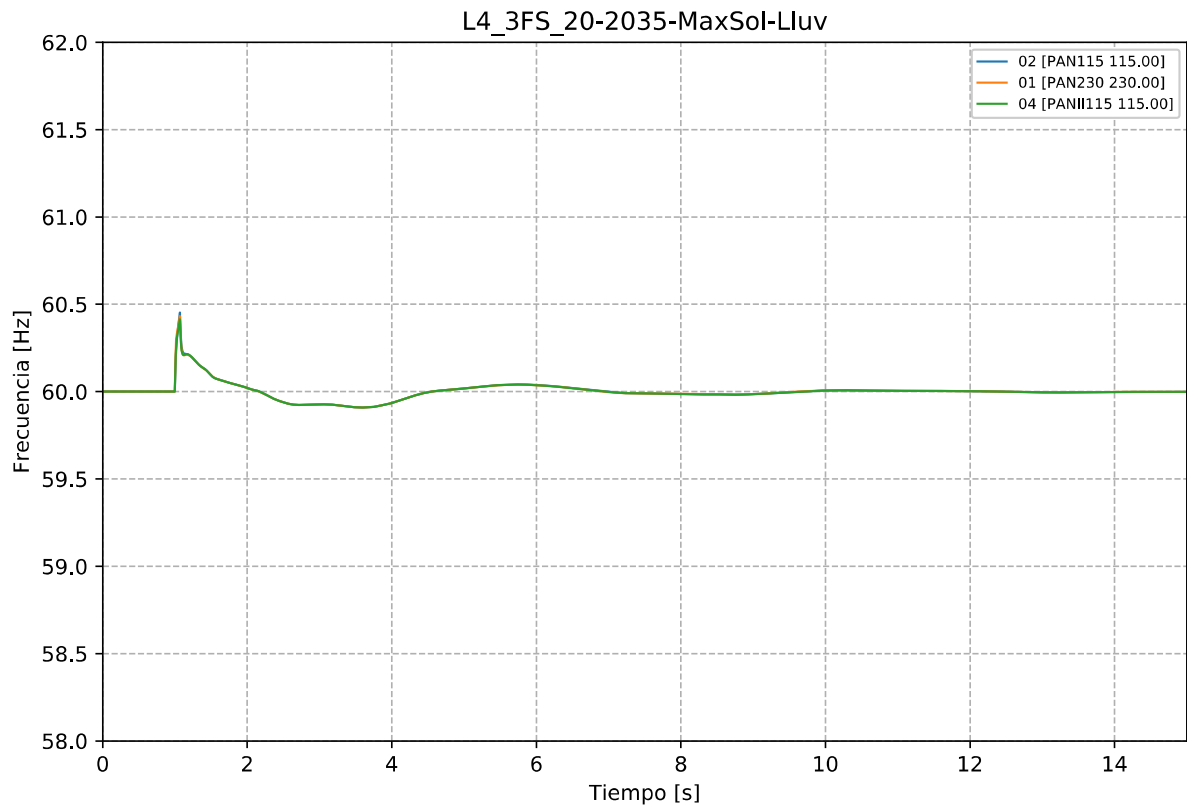


Gráfico 335. Evento L4\_3FS, caso 20-2035-MaxSol-Lluv. Frecuencia.

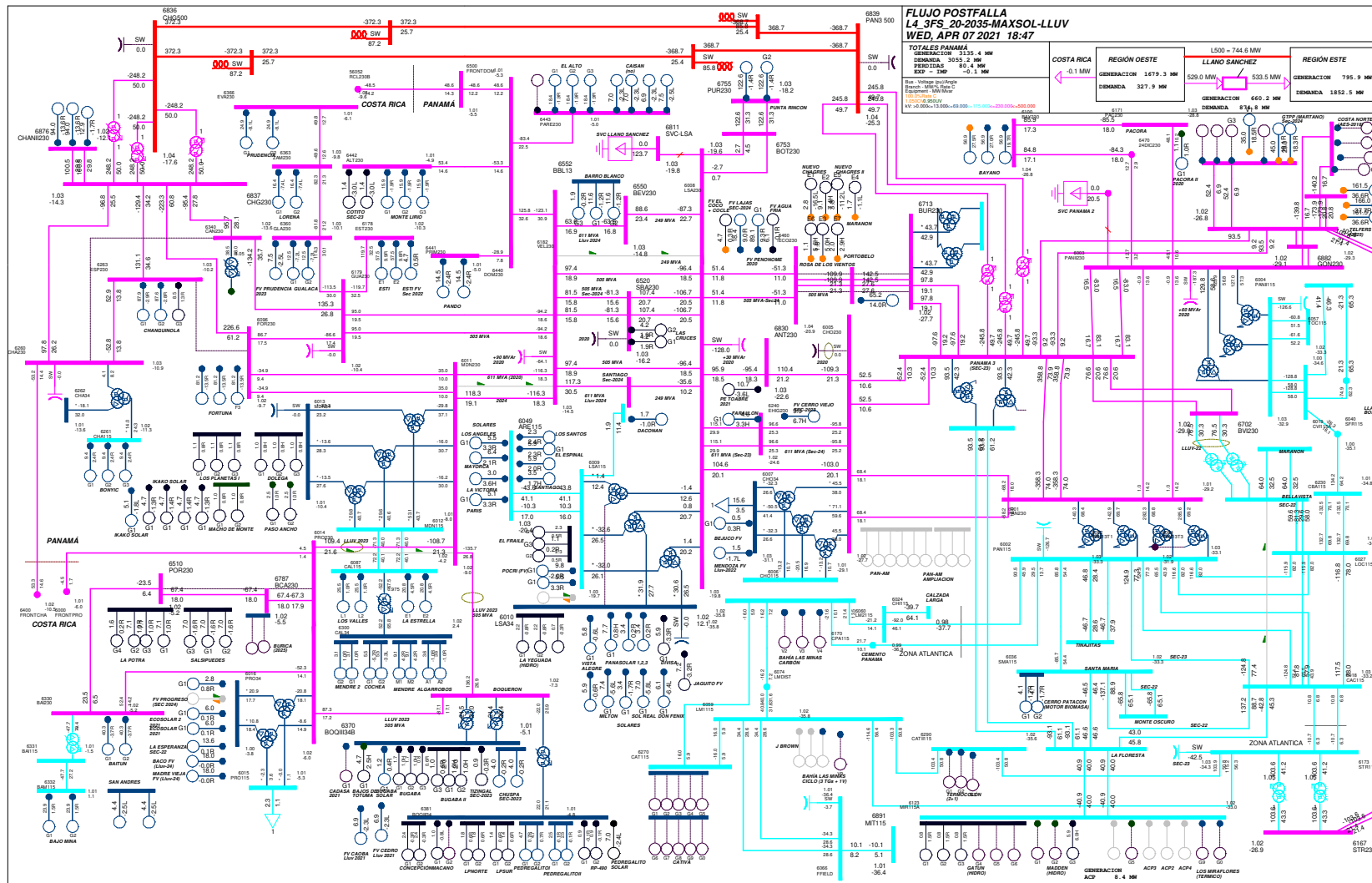


Gráfico 336. Evento L4\_3FS, caso 20-2035-MaxSol-Liuv. Flujo postfalla

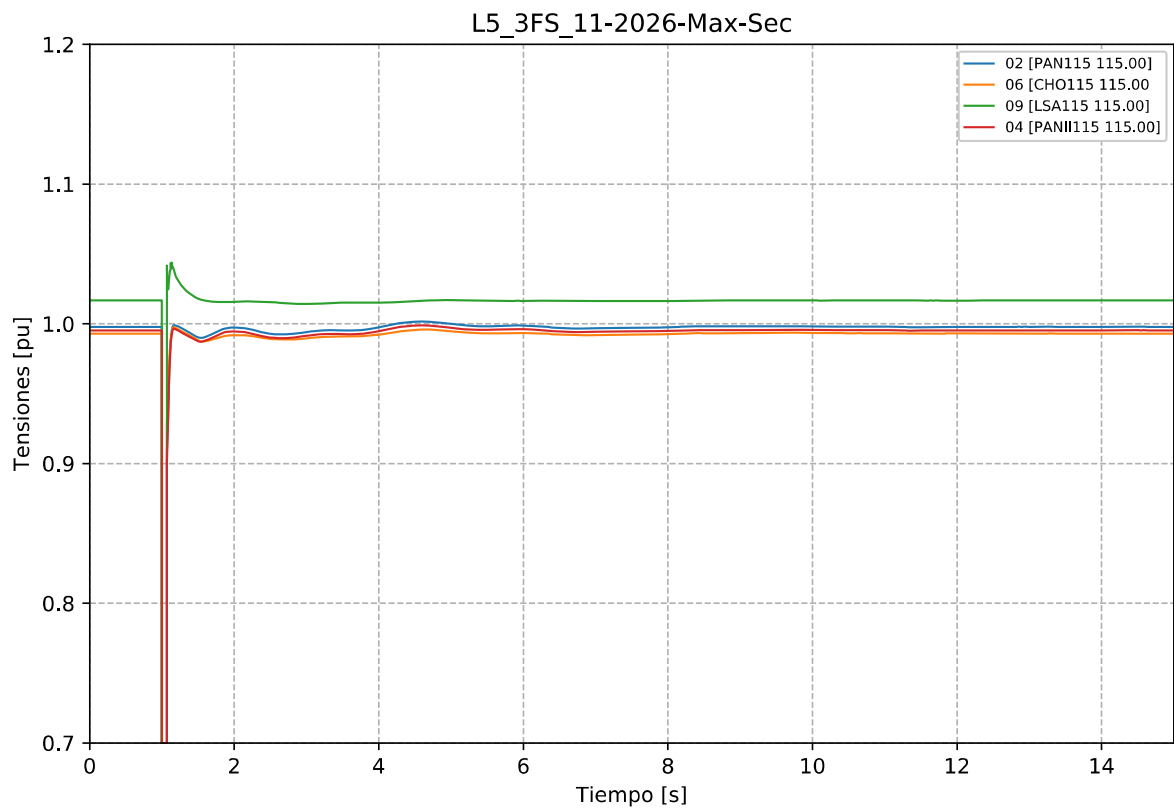


Gráfico 337. Evento L5\_3FS, caso 11-2026-Max-Sec. Tensiones en la zona de influencia 115 kV.

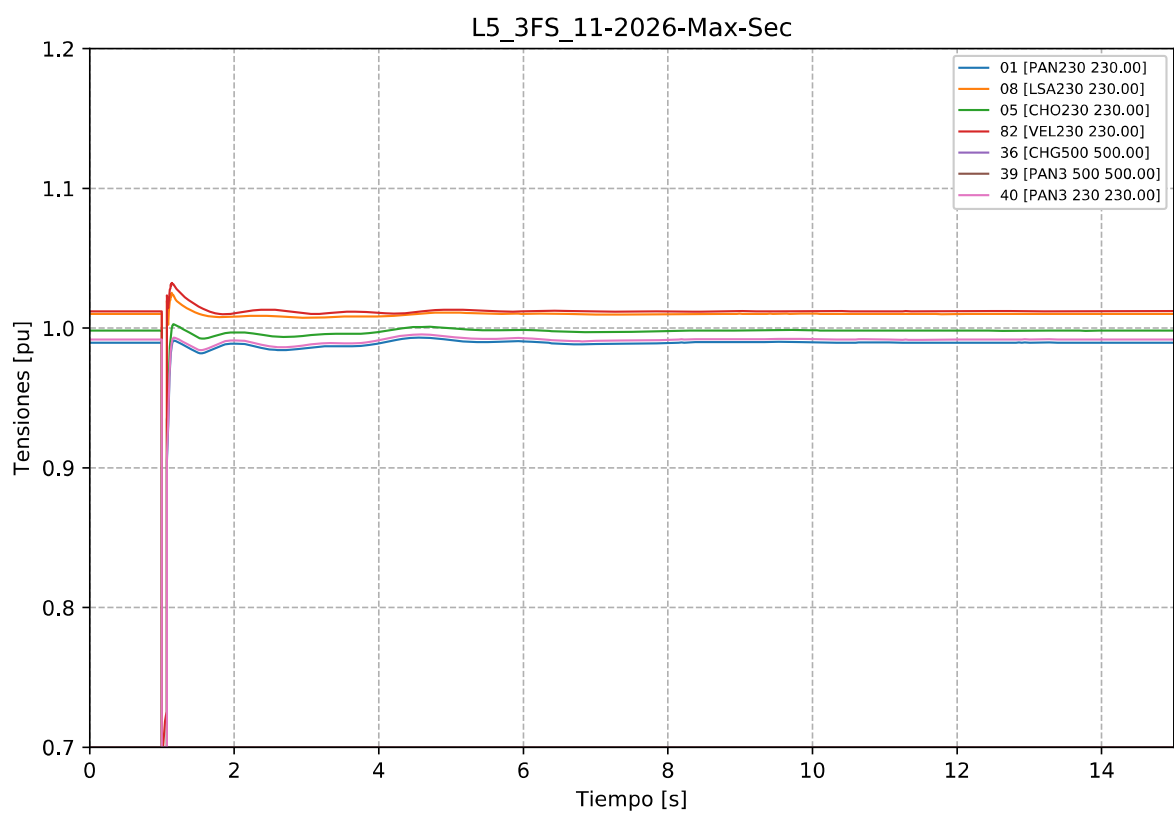


Gráfico 338. Evento L5\_3FS, caso 11-2026-Max-Sec. Tensiones en la zona de influencia 230 kV.

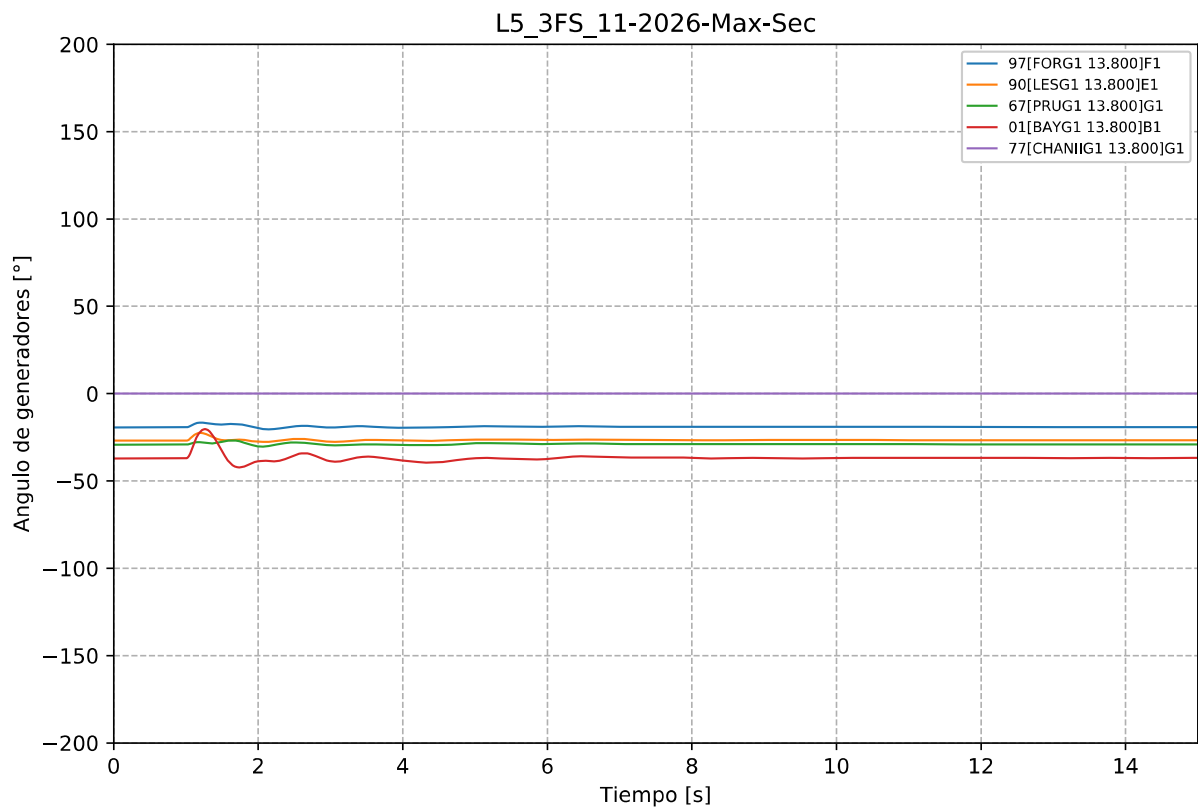


Gráfico 339. Evento L5\_3FS, caso 11-2026-Max-Sec. Ángulo de Generadores Hidroeléctricos.

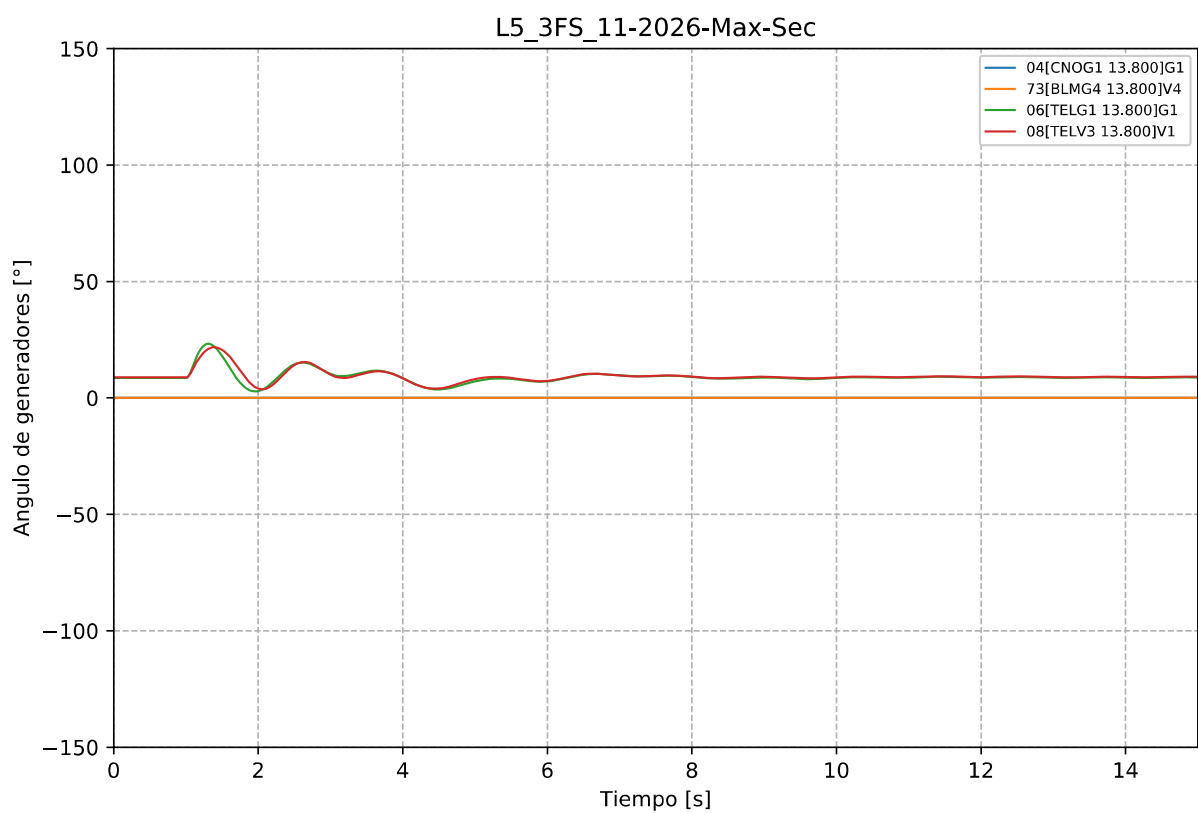


Gráfico 340. Evento L5\_3FS, caso 11-2026-Max-Sec. Ángulo de generadores Térmicos.



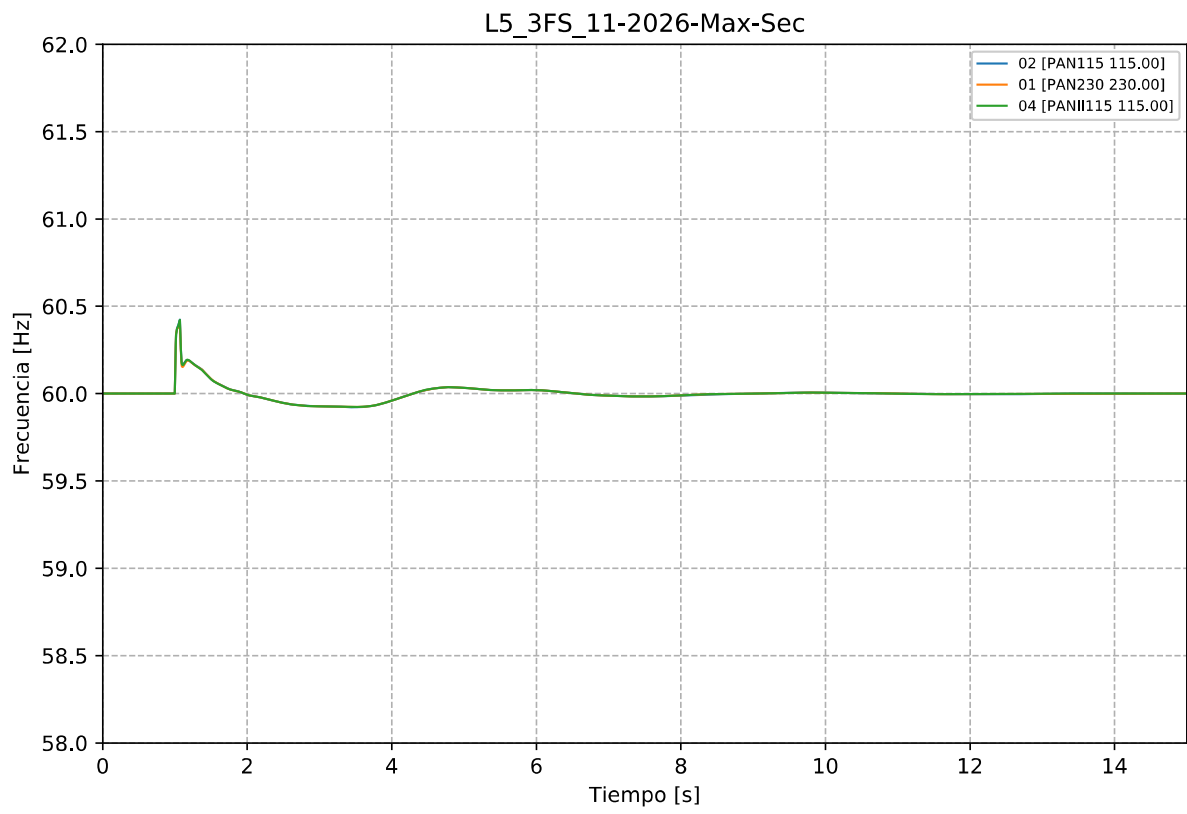


Gráfico 341. Evento L5\_3FS, caso 11-2026-Max-Sec. Frecuencia.

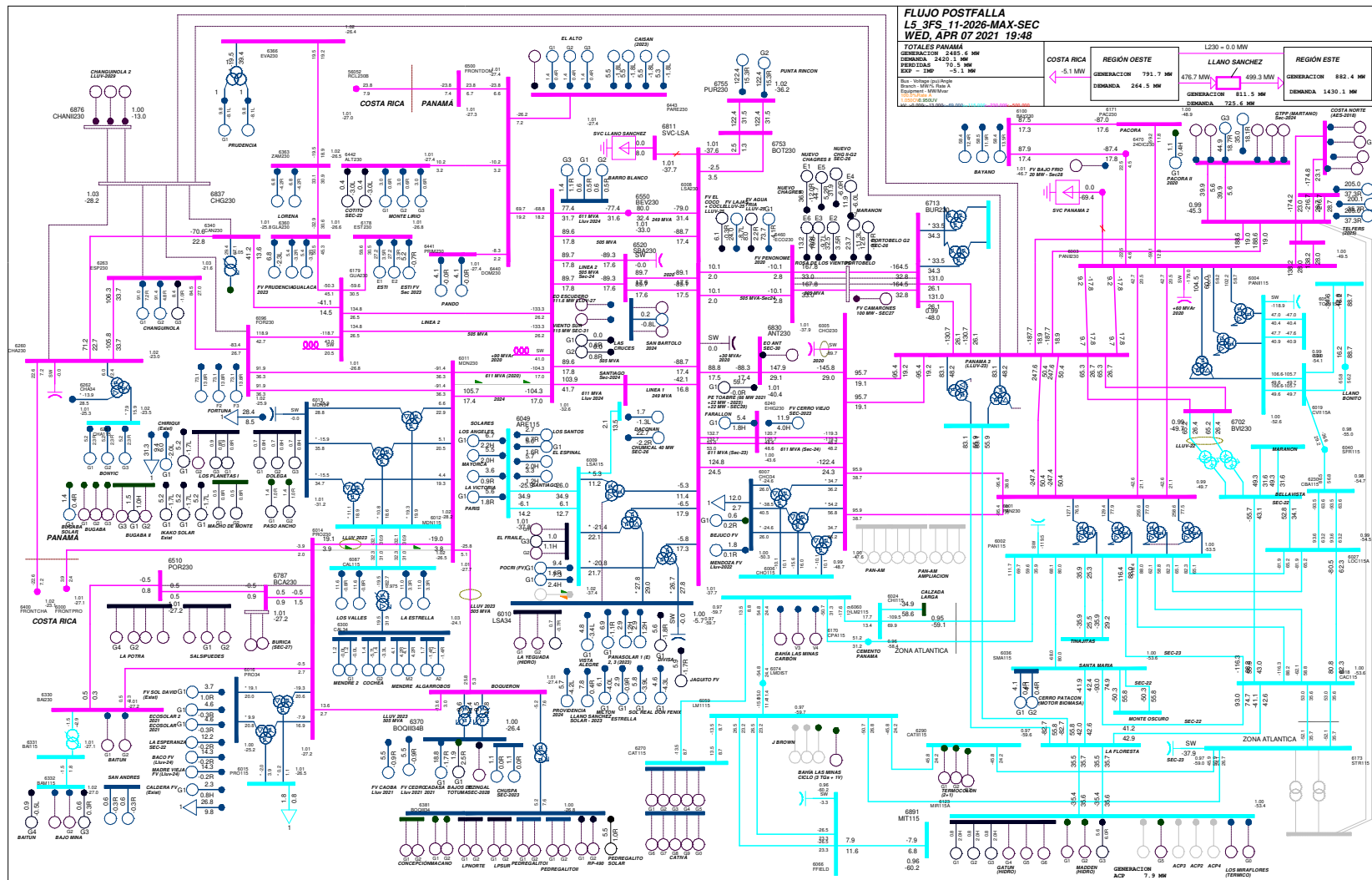


Gráfico 342. Evento L5\_3FS, caso 11-2026-Max-Sec. Flujo postfalla

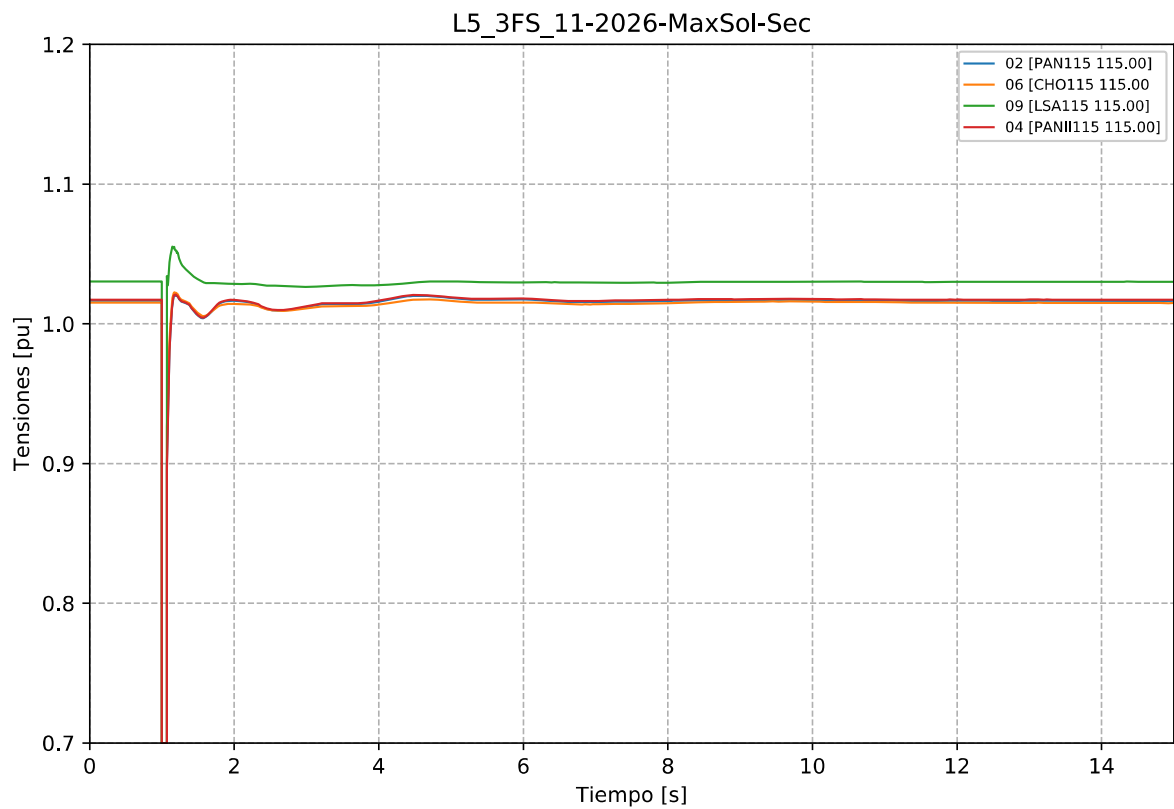


Gráfico 343. Evento L5\_3FS, caso 11-2026-MaxSol-Sec. Tensiones en la zona de influencia 115 kV.

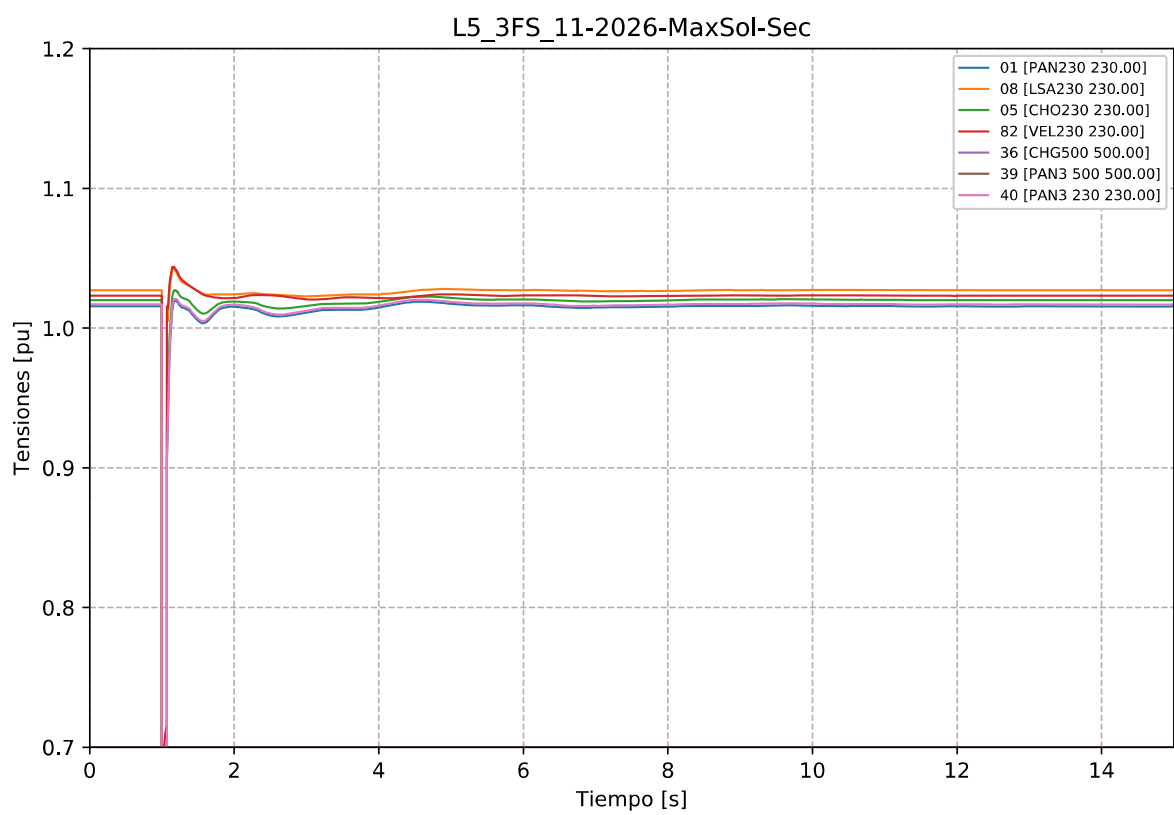


Gráfico 344. Evento L5\_3FS, caso 11-2026-MaxSol-Sec. Tensiones en la zona de influencia 230 kV.

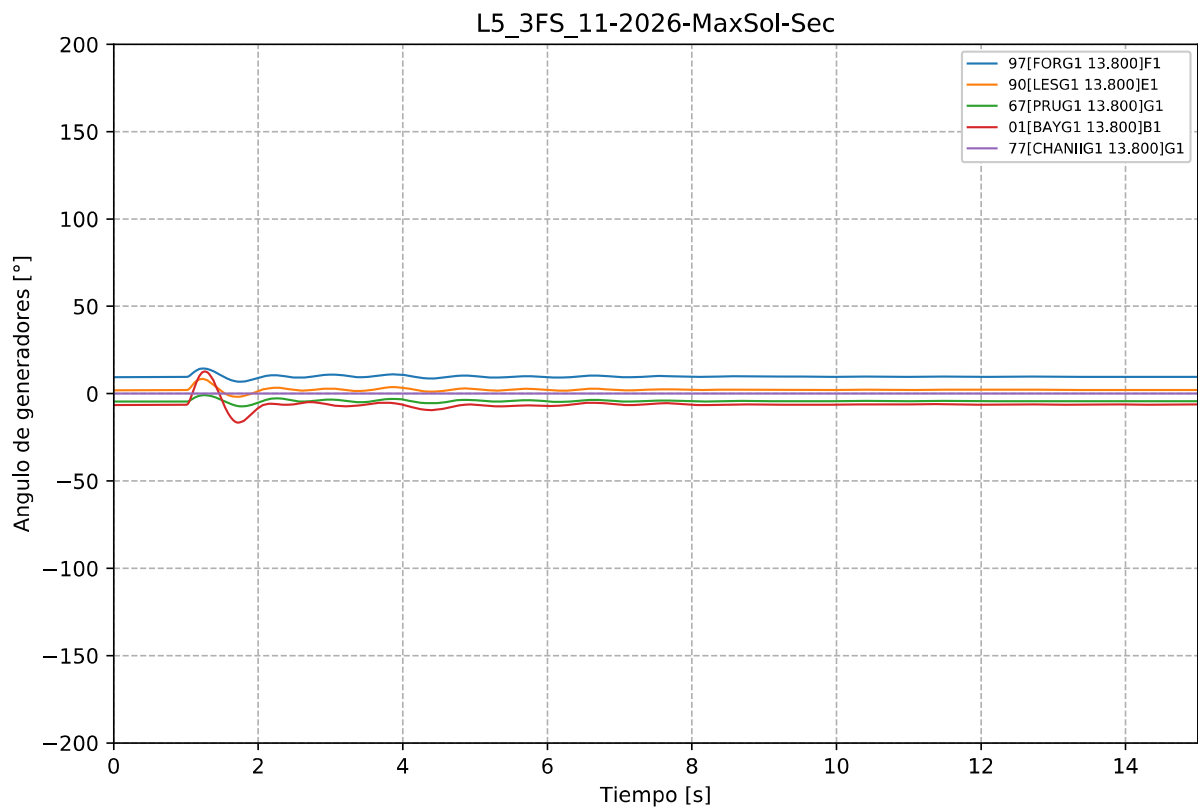


Gráfico 345. Evento L5\_3FS, caso 11-2026-MaxSol-Sec. Ángulo de Generadores Hidroeléctricos.

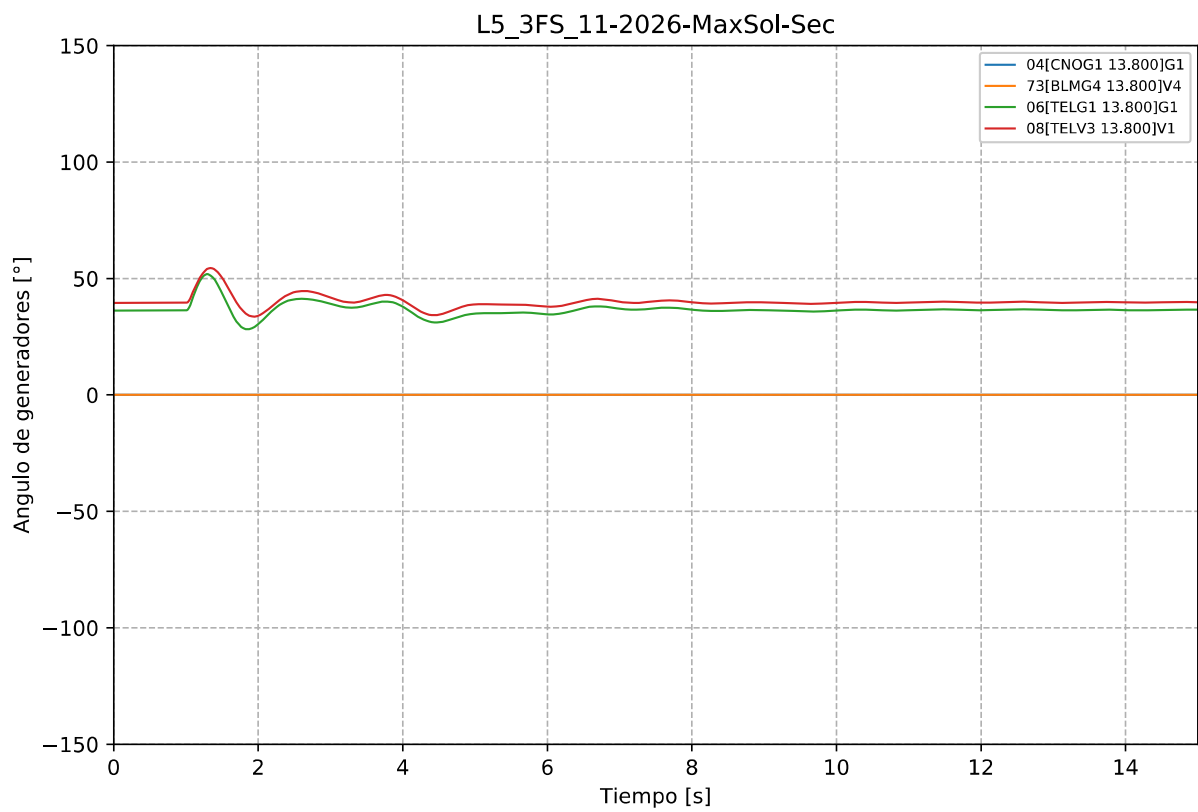


Gráfico 346. Evento L5\_3FS, caso 11-2026-MaxSol-Sec. Ángulo de generadores Térmicos.

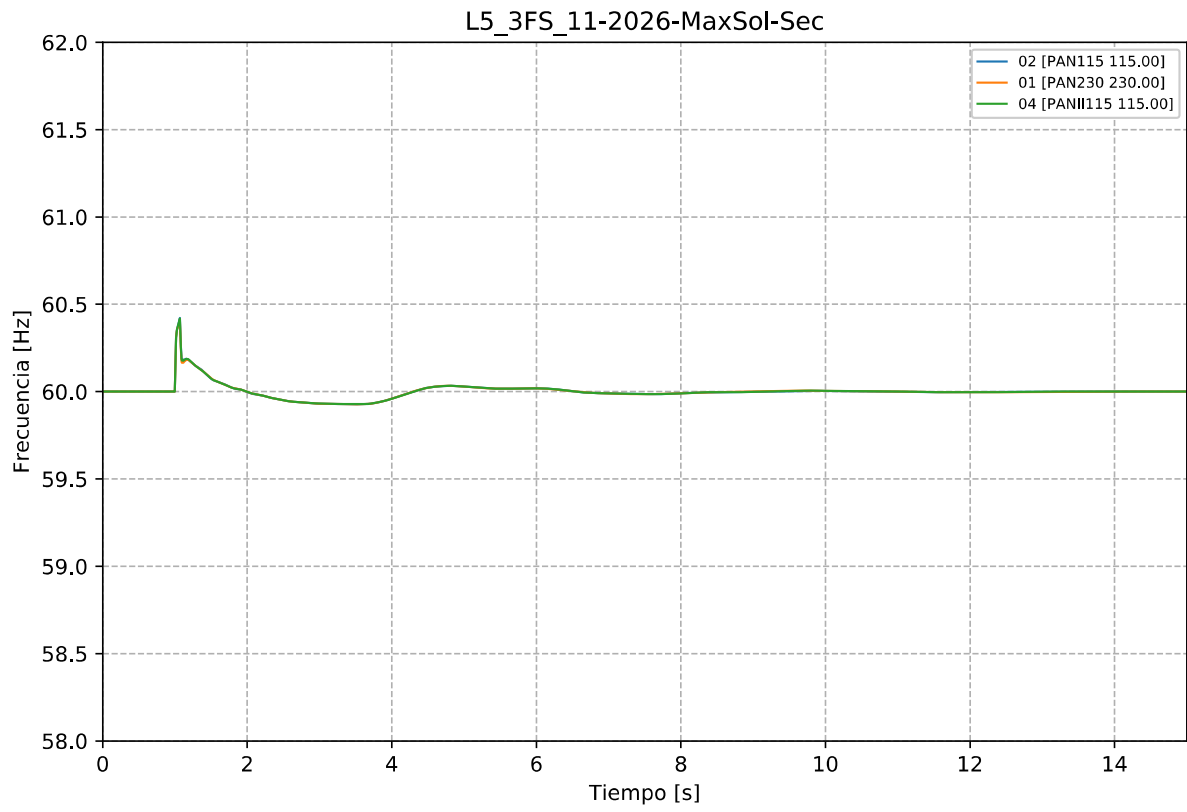


Gráfico 347. Evento L5\_3FS, caso 11-2026-MaxSol-Sec. Frecuencia.

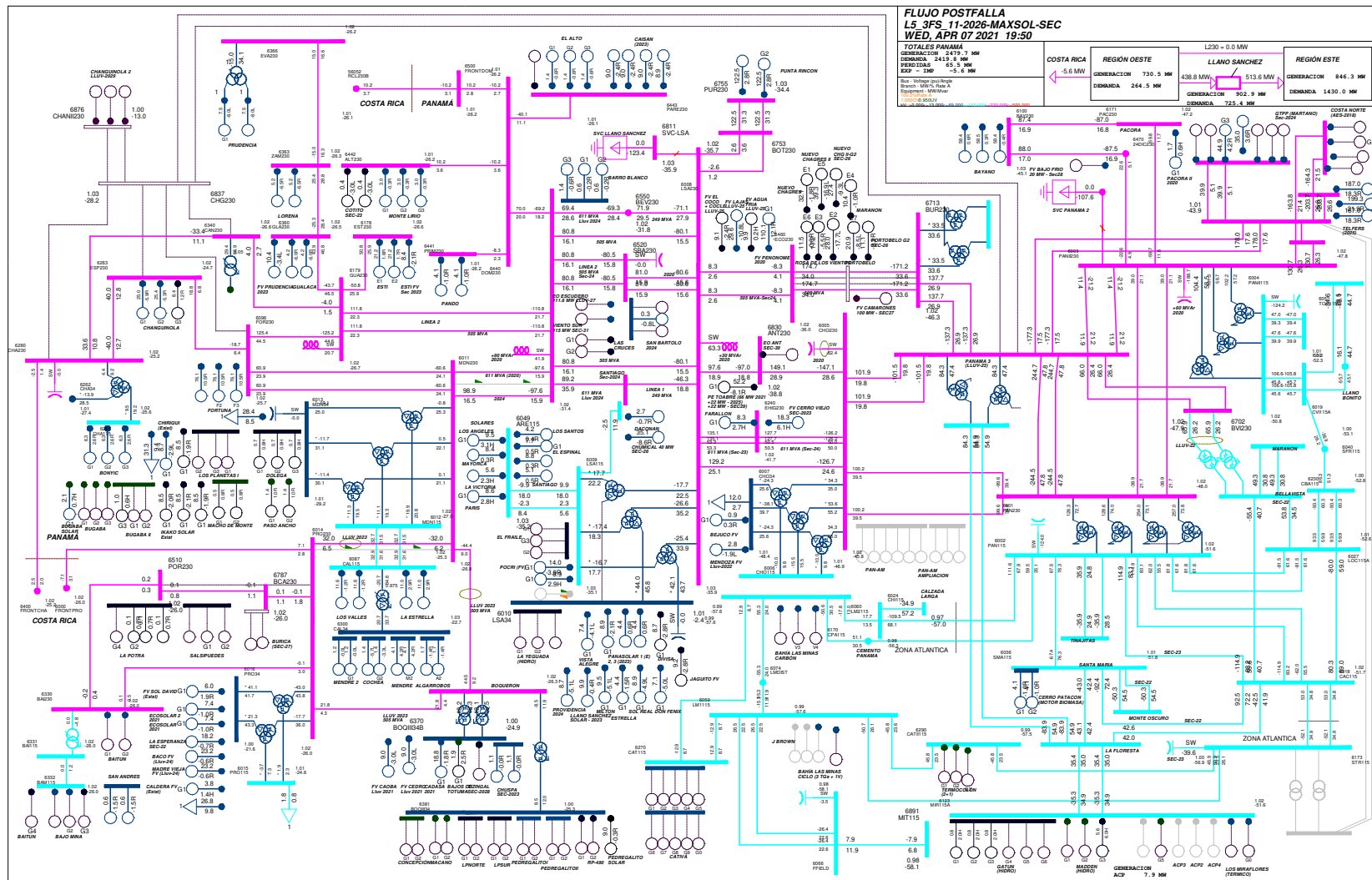


Gráfico 348. Evento L5\_3FS, caso 11-2026-MaxSol-Sec. Flujo postfalla

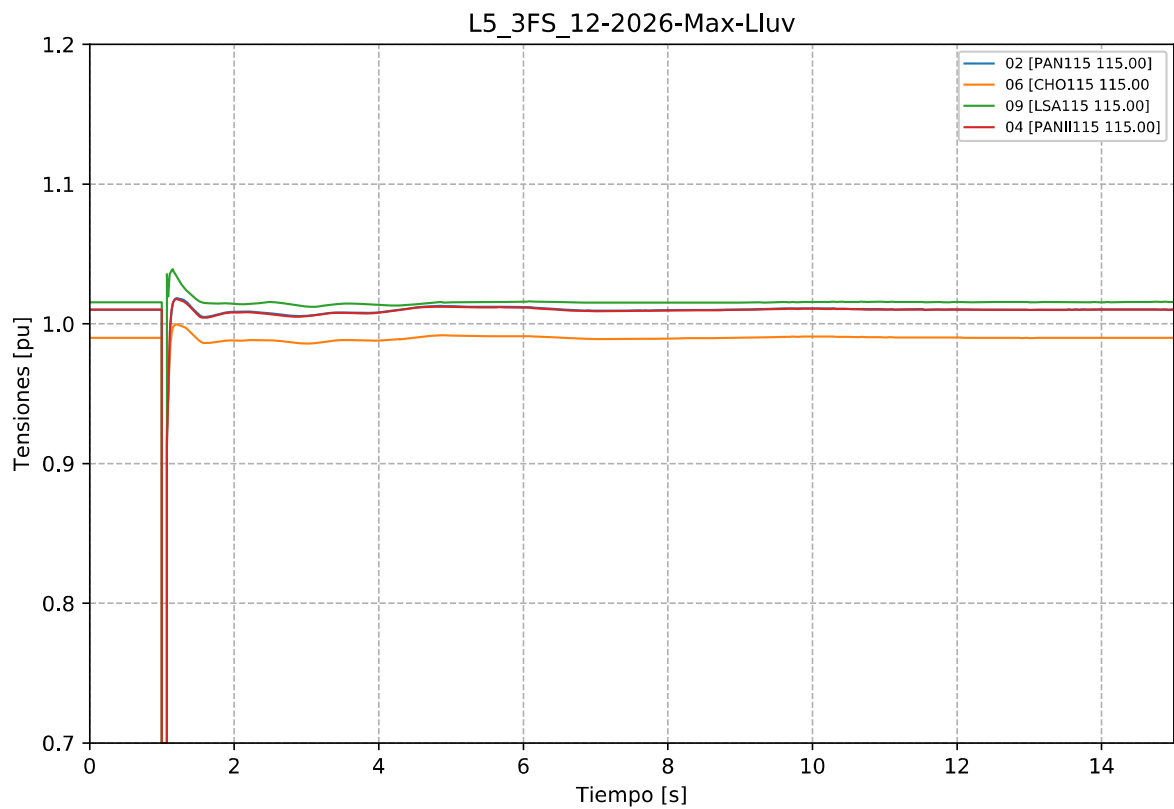


Gráfico 349. Evento L5\_3FS, caso 12-2026-Max-Lluv. Tensiones en la zona de influencia 115 kV.

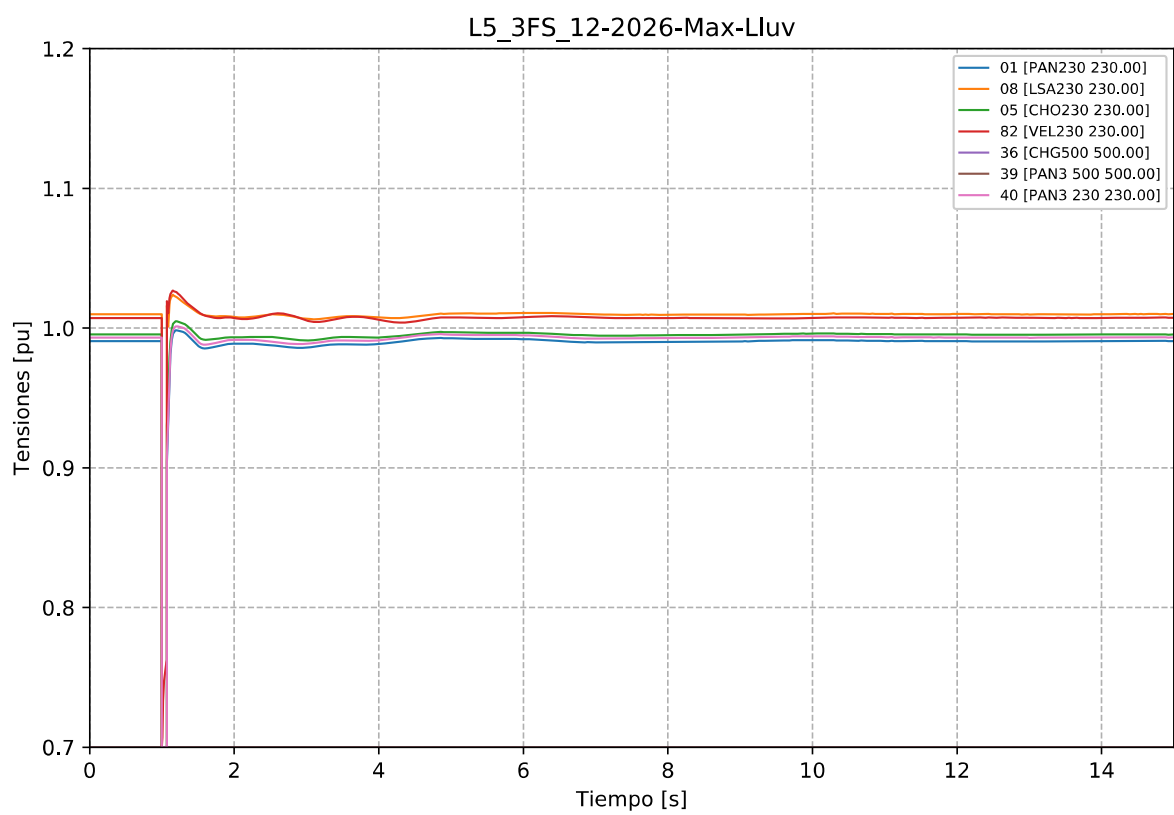


Gráfico 350. Evento L5\_3FS, caso 12-2026-Max-Lluv. Tensiones en la zona de influencia 230 kV.

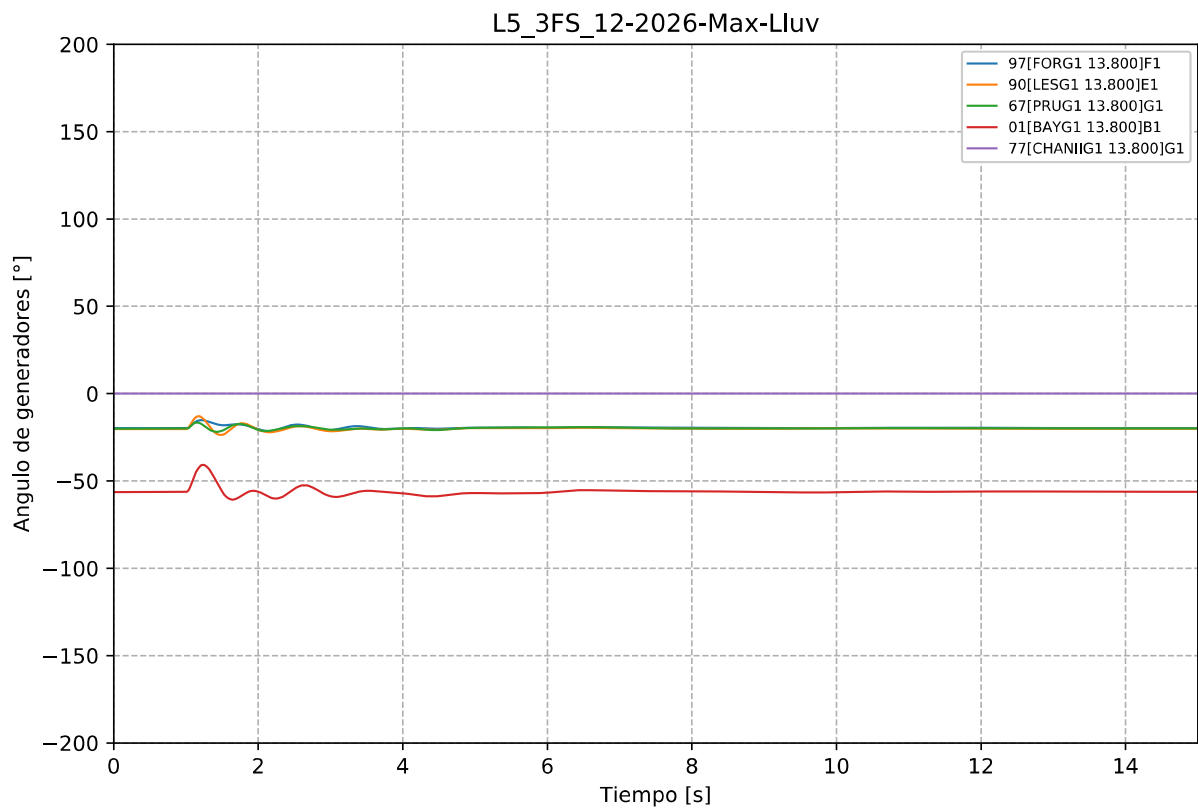


Gráfico 351. Evento L5\_3FS, caso 12-2026-Max-Lluv. Ángulo de Generadores Hidroeléctricos.

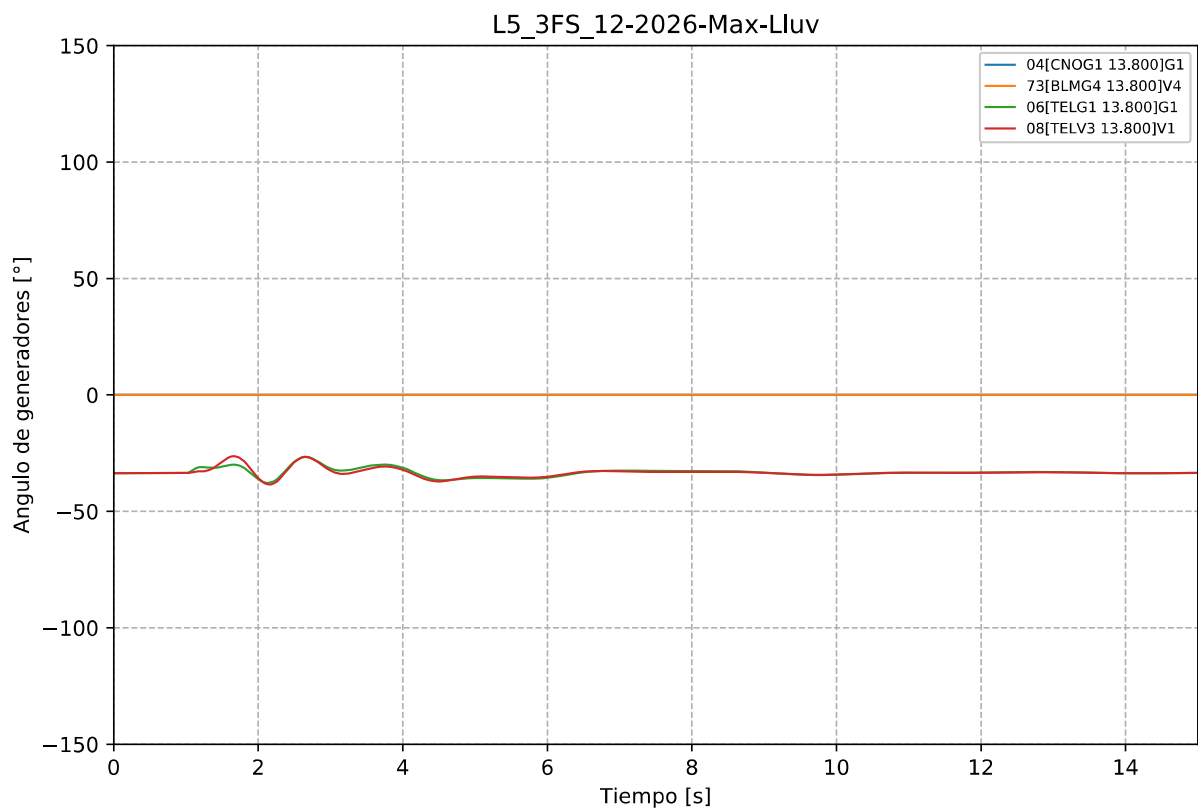


Gráfico 352. Evento L5\_3FS, caso 12-2026-Max-Lluv. Ángulo de generadores Térmicos.



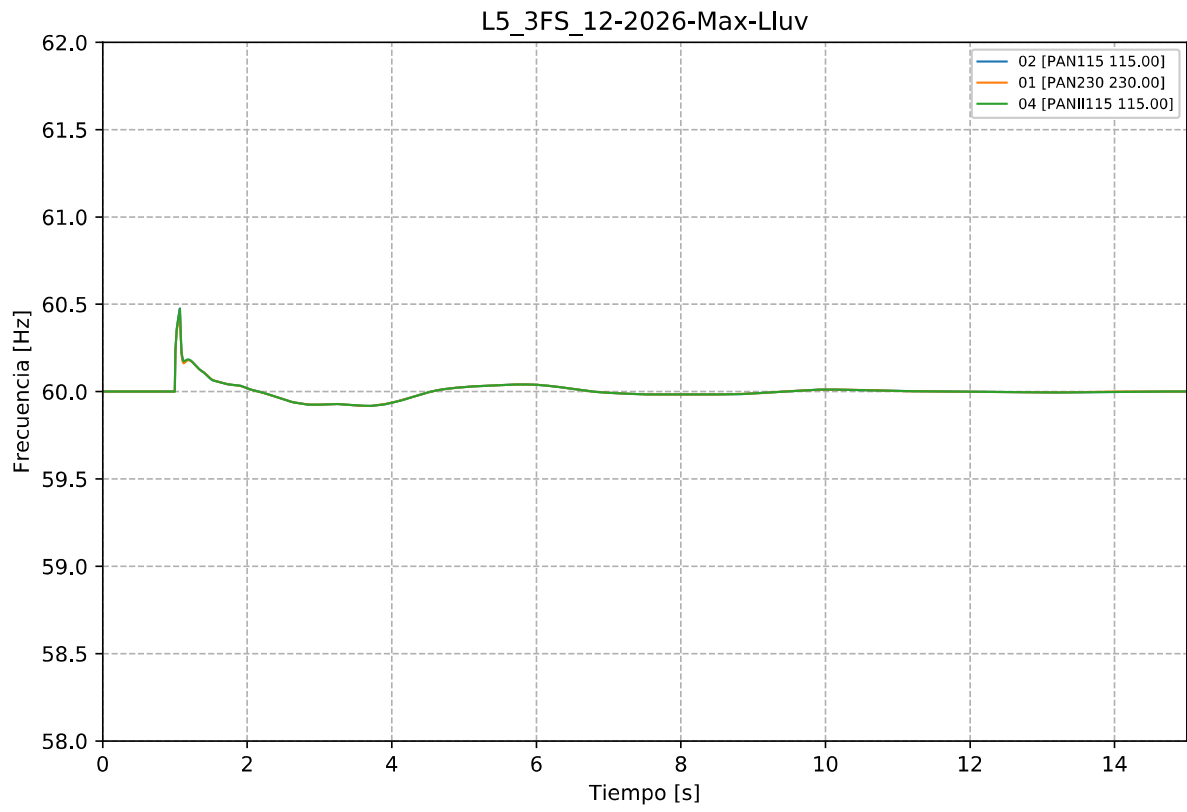


Gráfico 353. Evento L5\_3FS, caso 12-2026-Max-Lluv. Frecuencia.

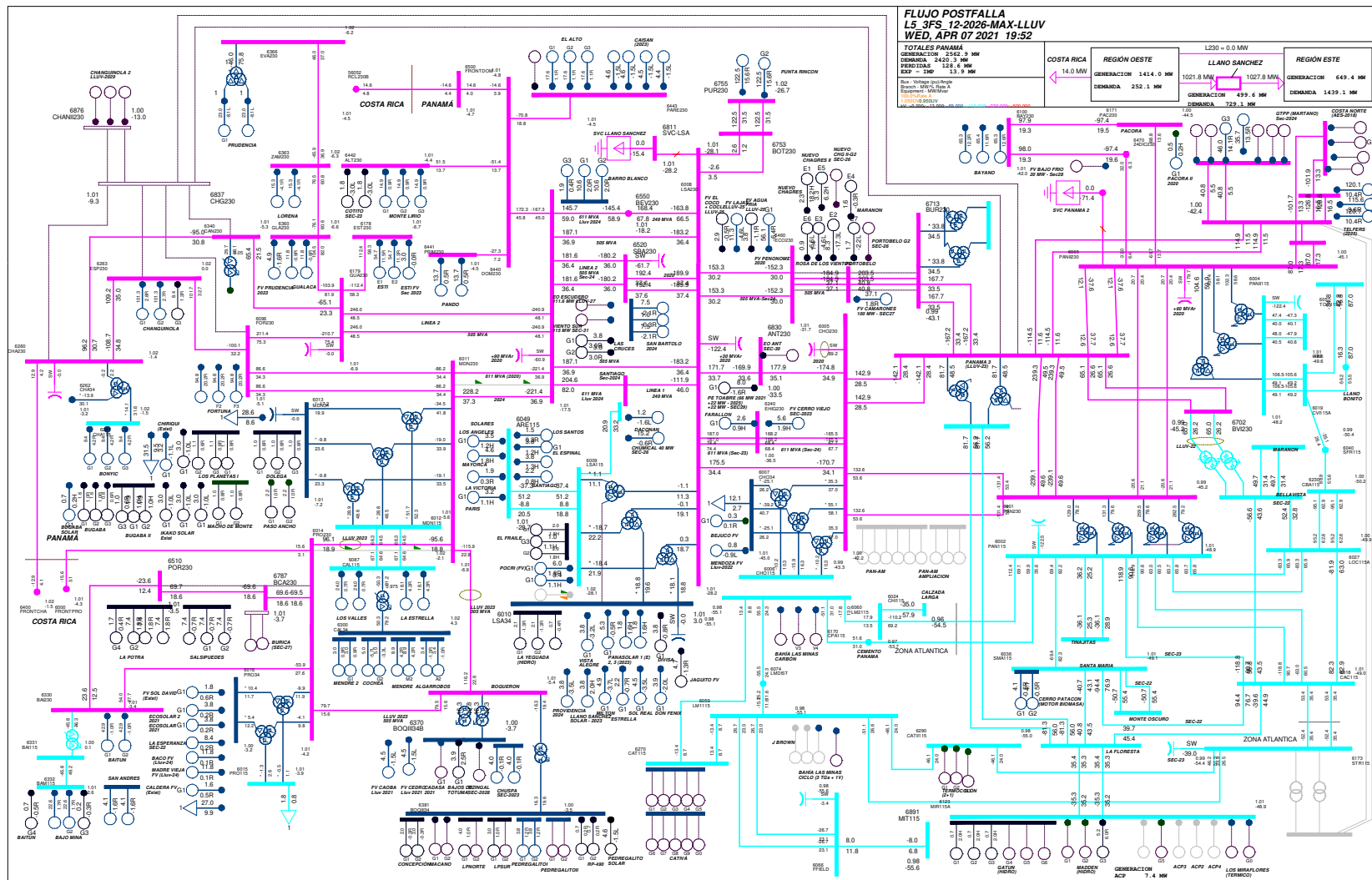


Gráfico 354. Evento L5\_3FS, caso 12-2026-Max-Lluv. Flujo postfalla

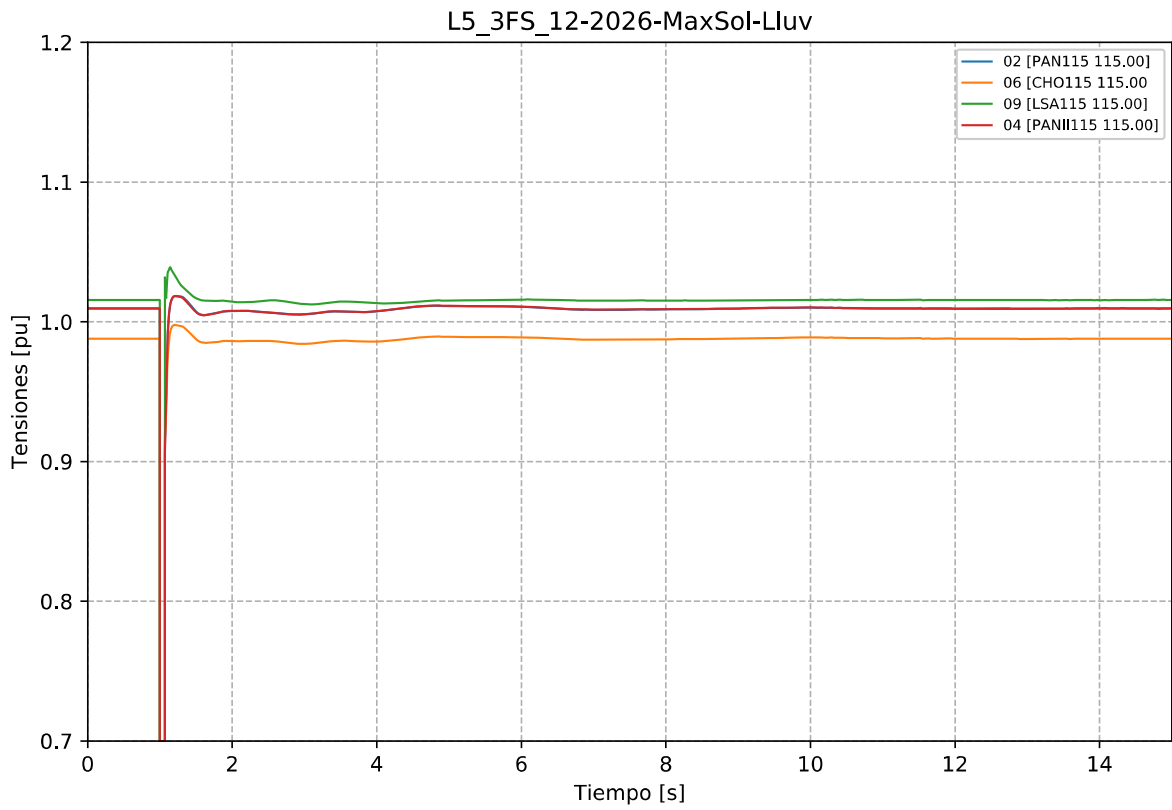


Gráfico 355. Evento L5\_3FS, caso 12-2026-MaxSol-Lluv. Tensiones en la zona de influencia 115 kV.

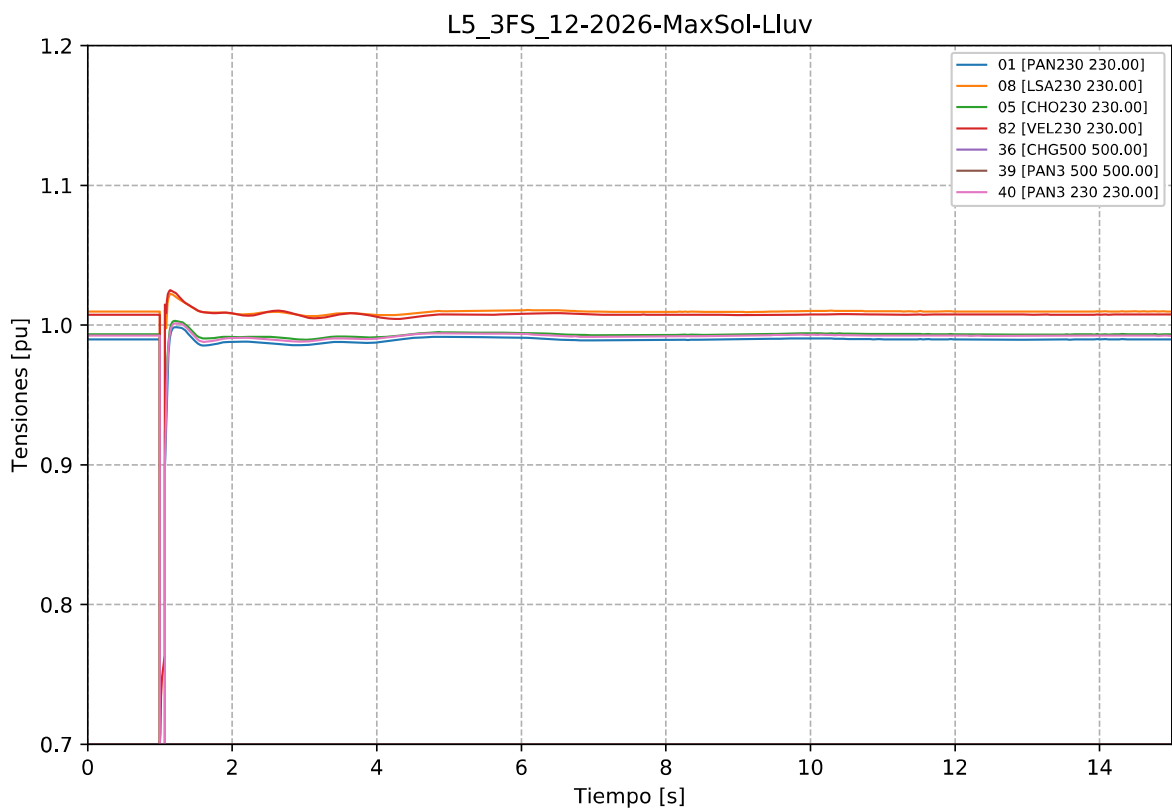


Gráfico 356. Evento L5\_3FS, caso 12-2026-MaxSol-Lluv. Tensiones en la zona de influencia 230 kV.

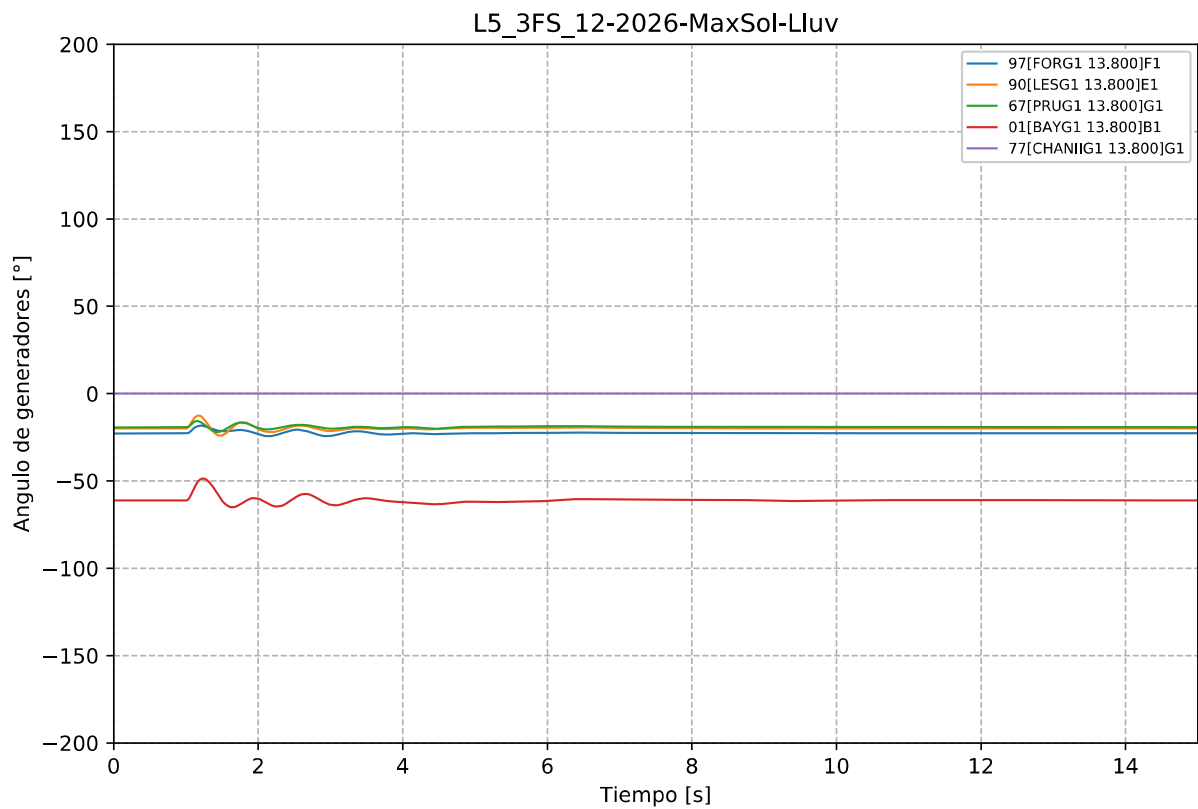


Gráfico 357. Evento L5\_3FS, caso 12-2026-MaxSol-Lluv. Ángulo de Generadores Hidroeléctricos.

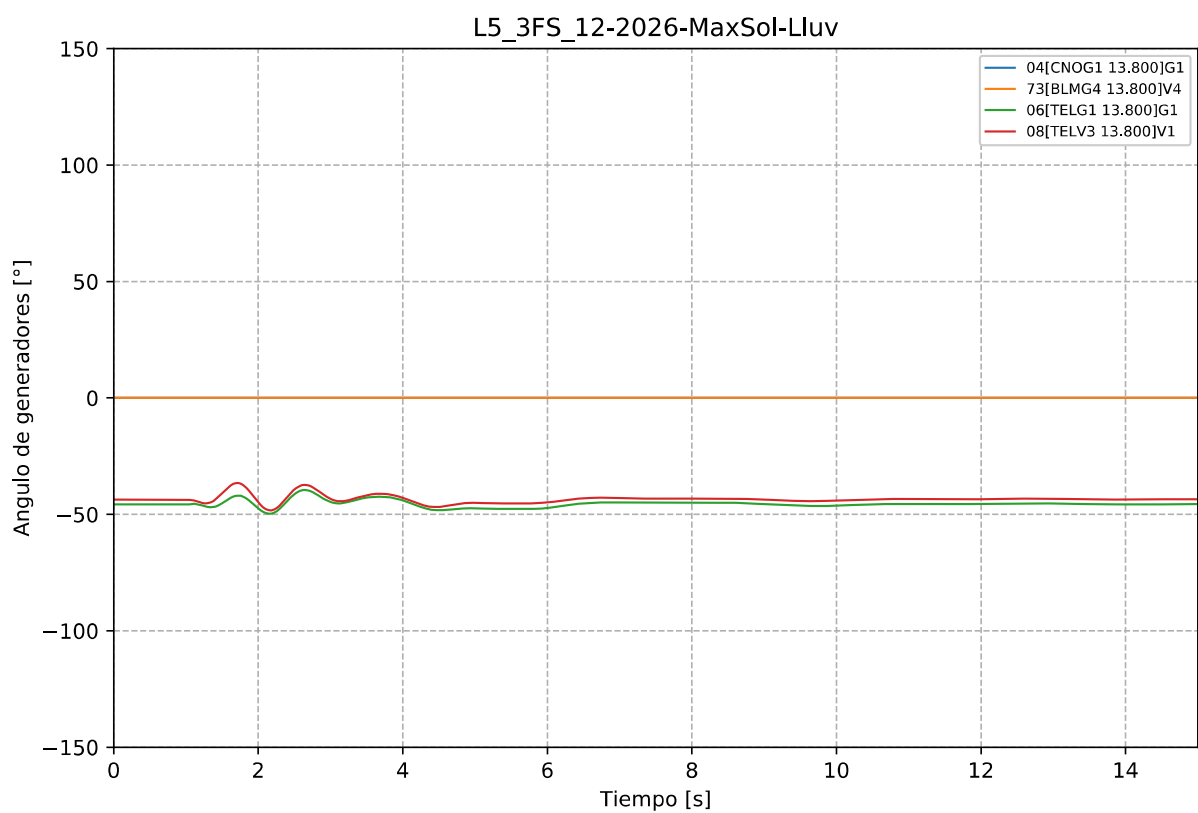


Gráfico 358. Evento L5\_3FS, caso 12-2026-MaxSol-Lluv. Ángulo de generadores Térmicos.

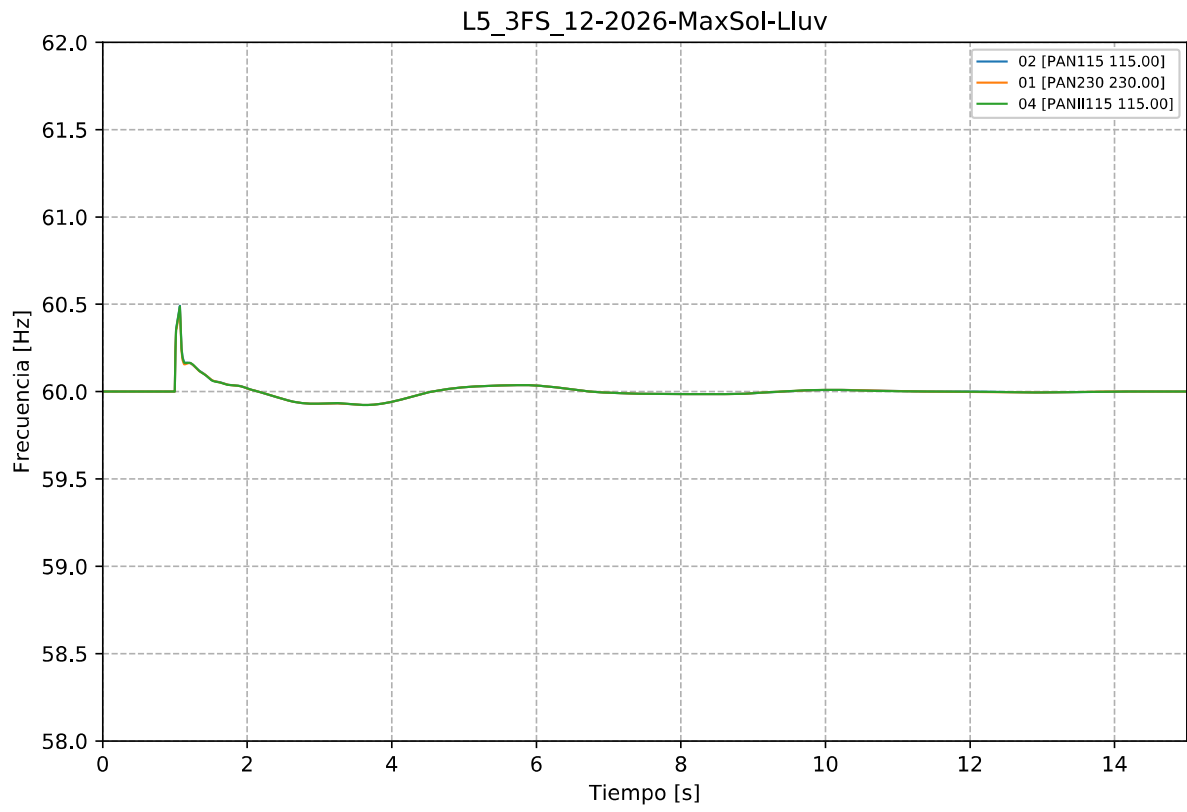


Gráfico 359. Evento L5\_3FS, caso 12-2026-MaxSol-Lluv. Frecuencia.

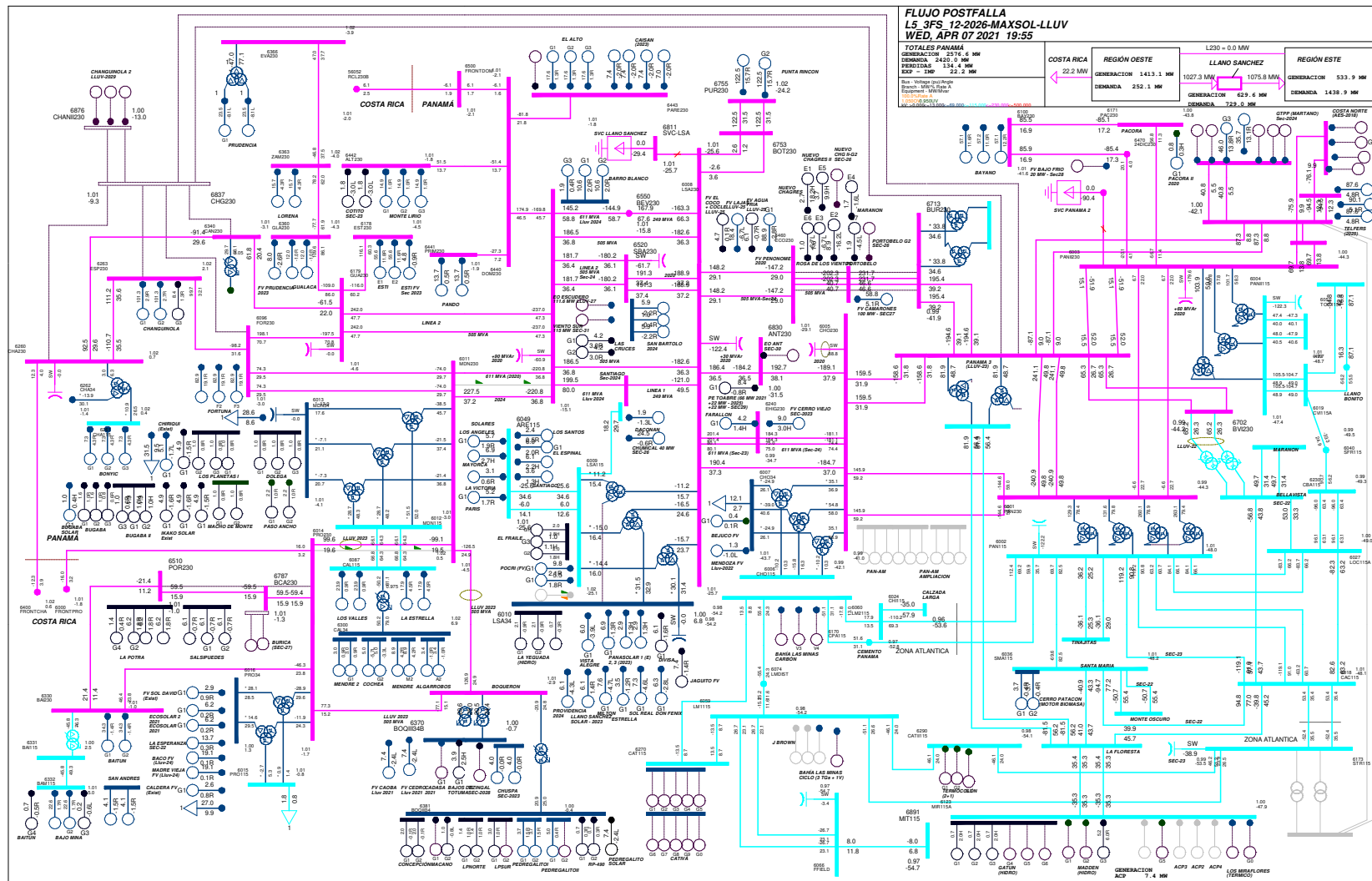


Gráfico 360. Evento L5\_3FS, caso 12-2026-MaxSol-Lluv. Flujo postfalla

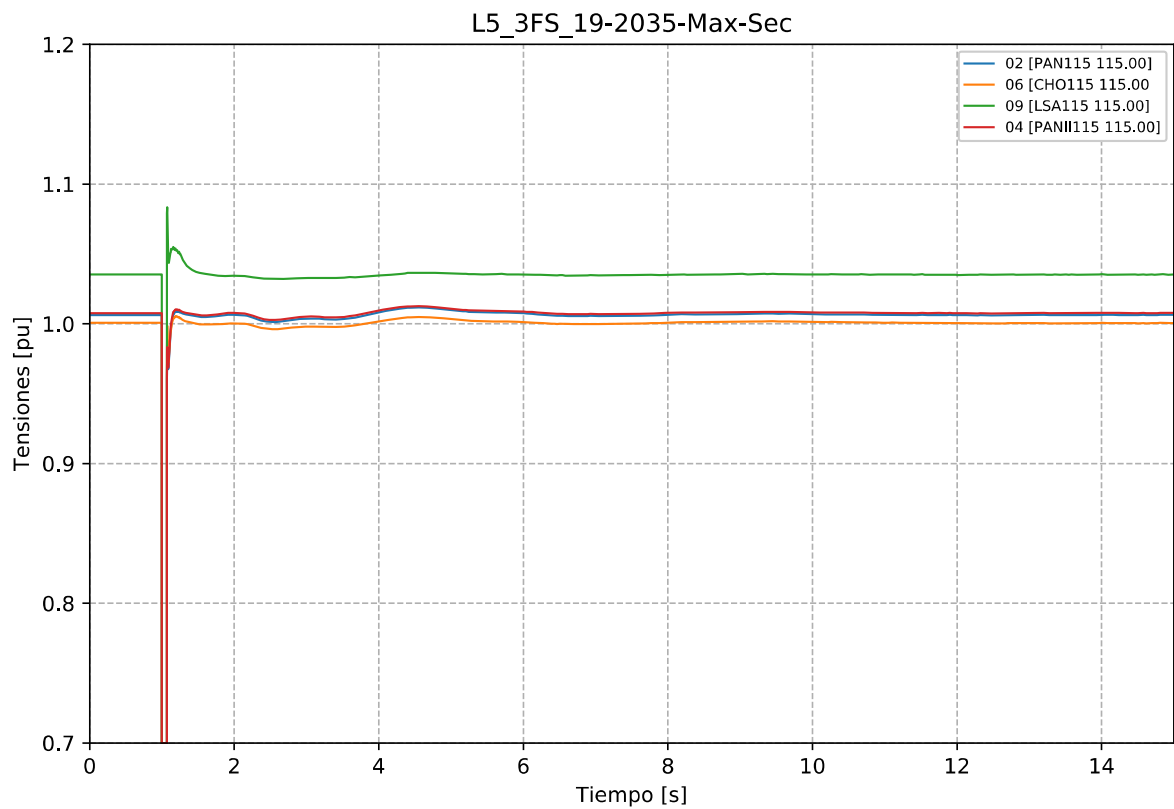


Gráfico 361. Evento L5\_3FS, caso 19-2035-Max-Sec. Tensiones en la zona de influencia 115 kV.

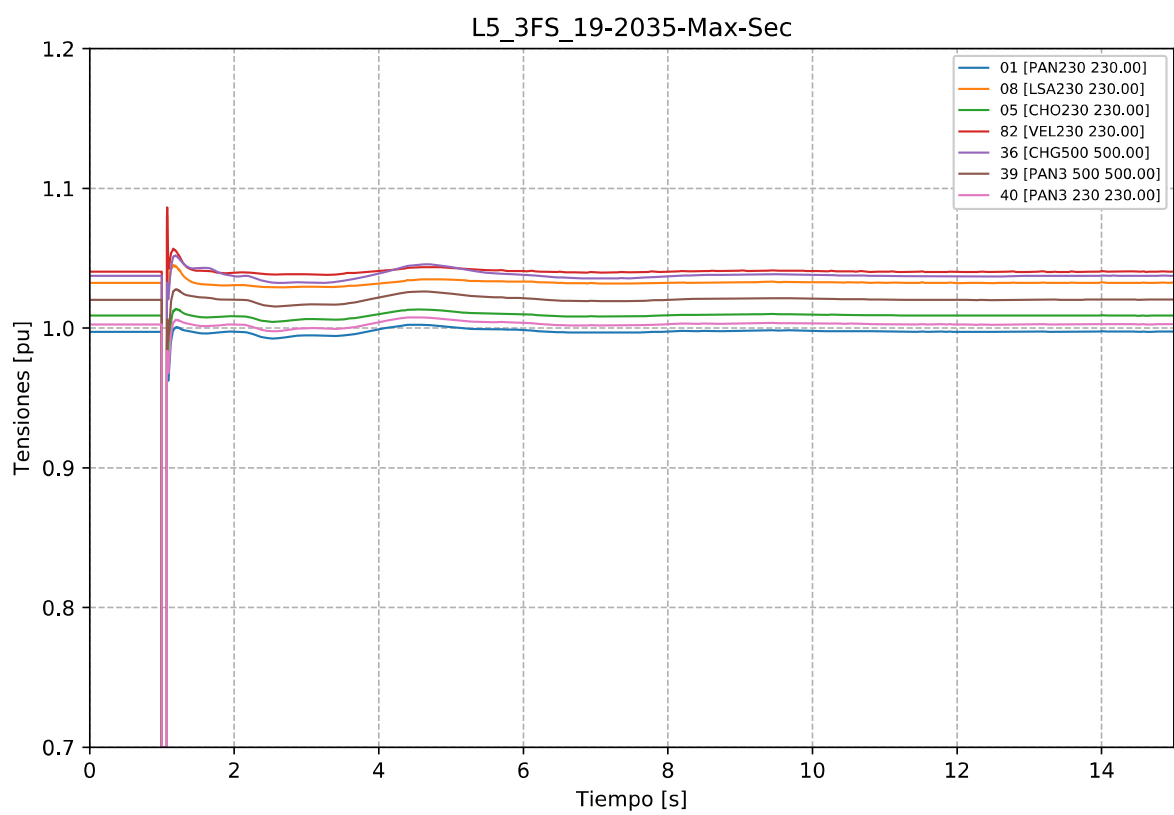


Gráfico 362. Evento L5\_3FS, caso 19-2035-Max-Sec. Tensiones en la zona de influencia 230 kV.

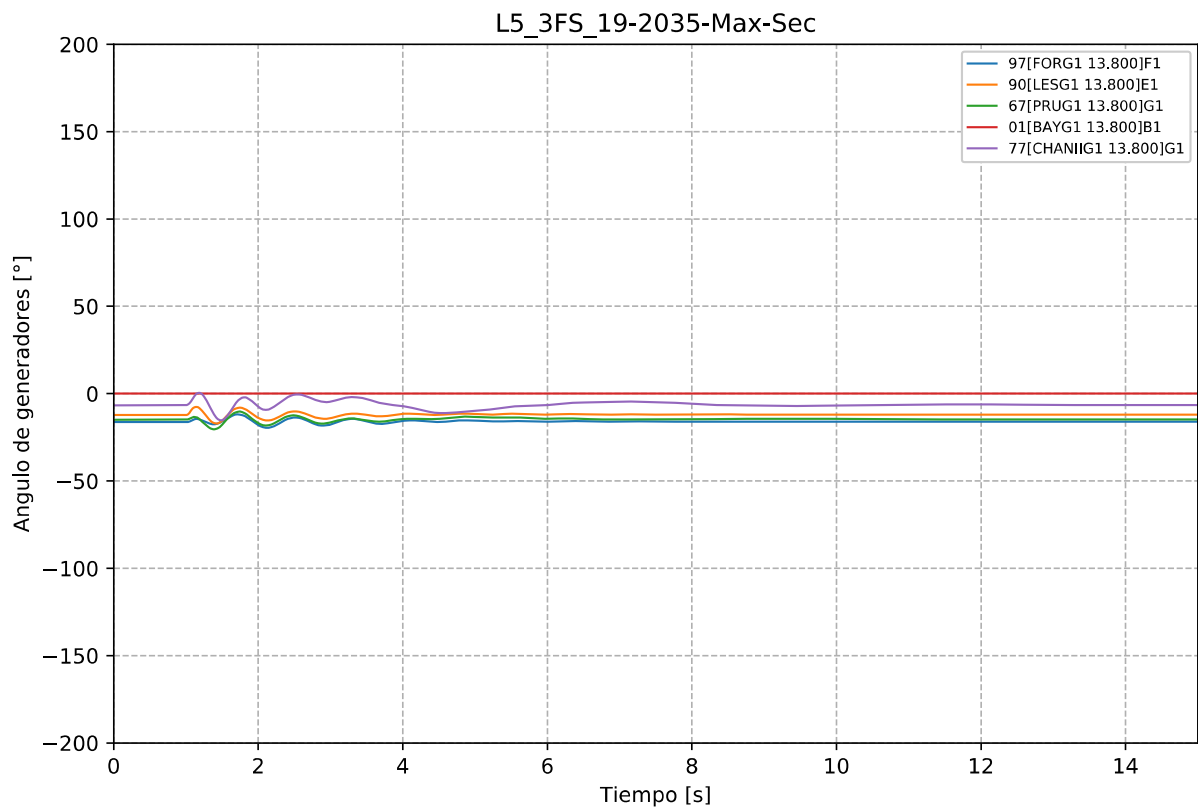


Gráfico 363. Evento L5\_3FS, caso 19-2035-Max-Sec. Ángulo de Generadores Hidroeléctricos.

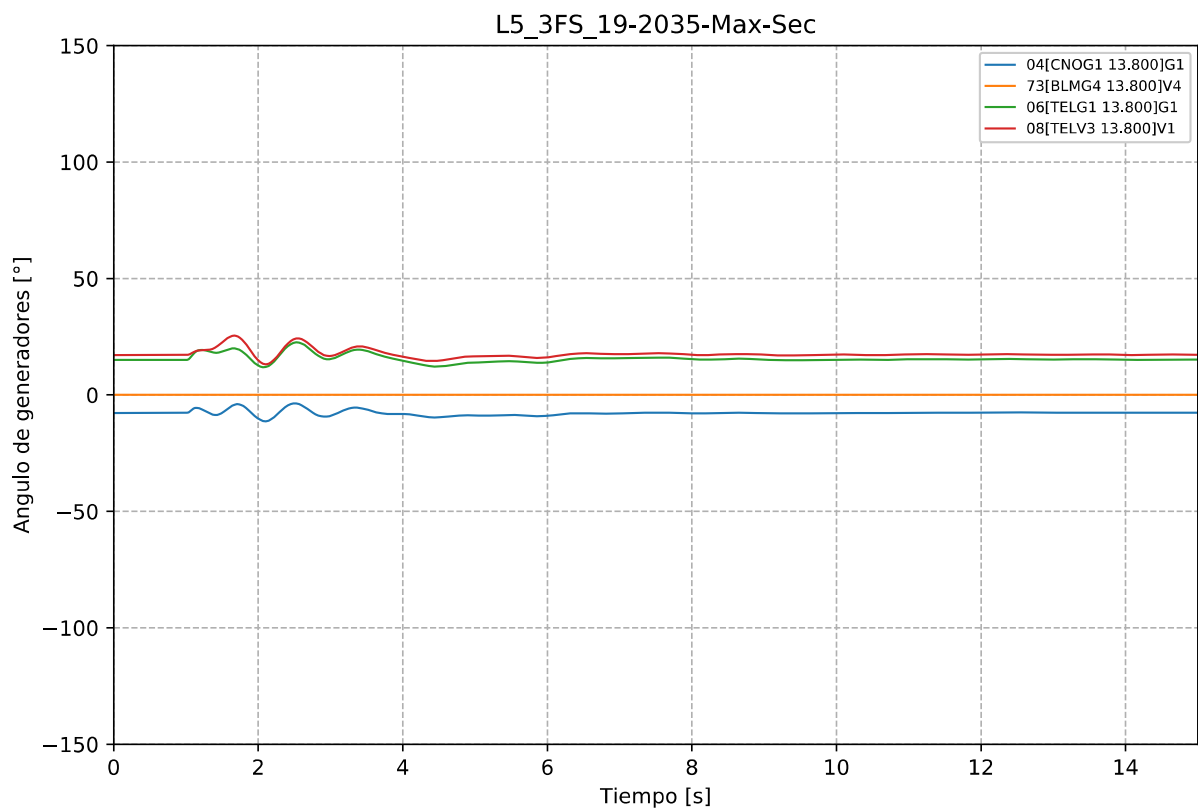


Gráfico 364. Evento L5\_3FS, caso 19-2035-Max-Sec. Ángulo de generadores Térmicos.



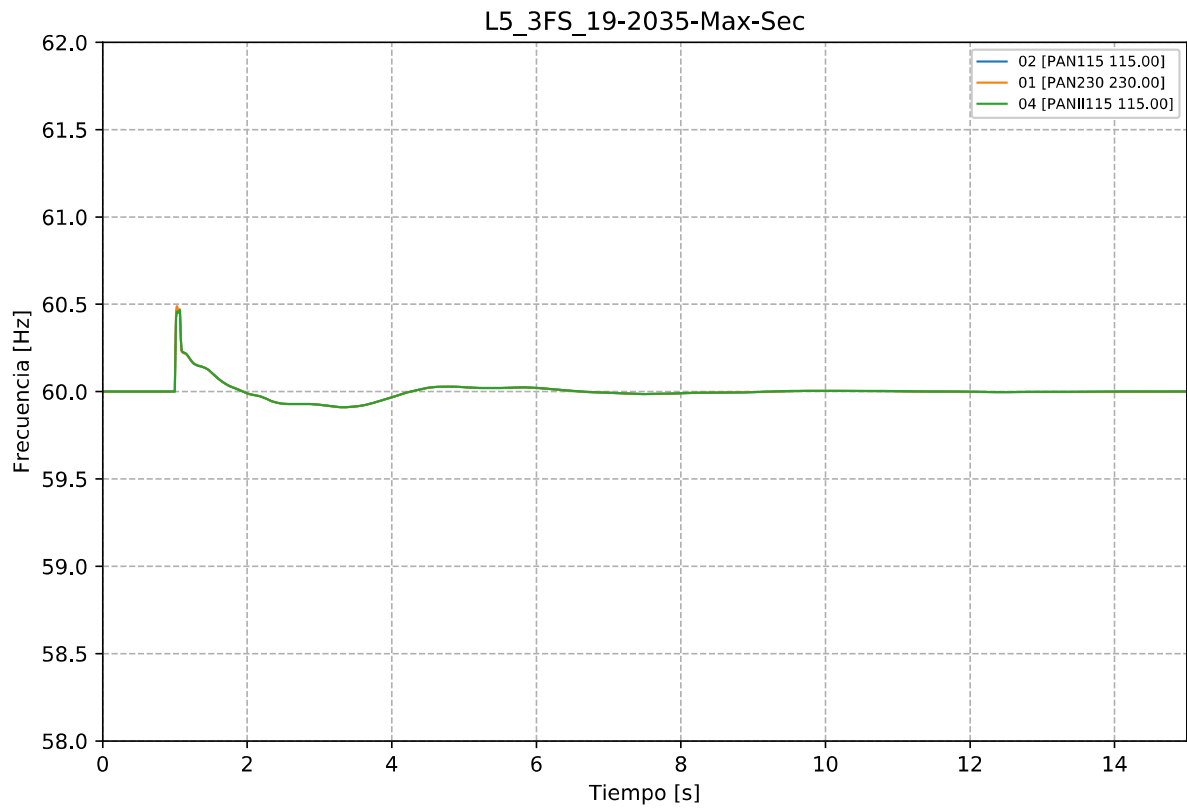


Gráfico 365. Evento L5\_3FS, caso 19-2035-Max-Sec. Frecuencia.

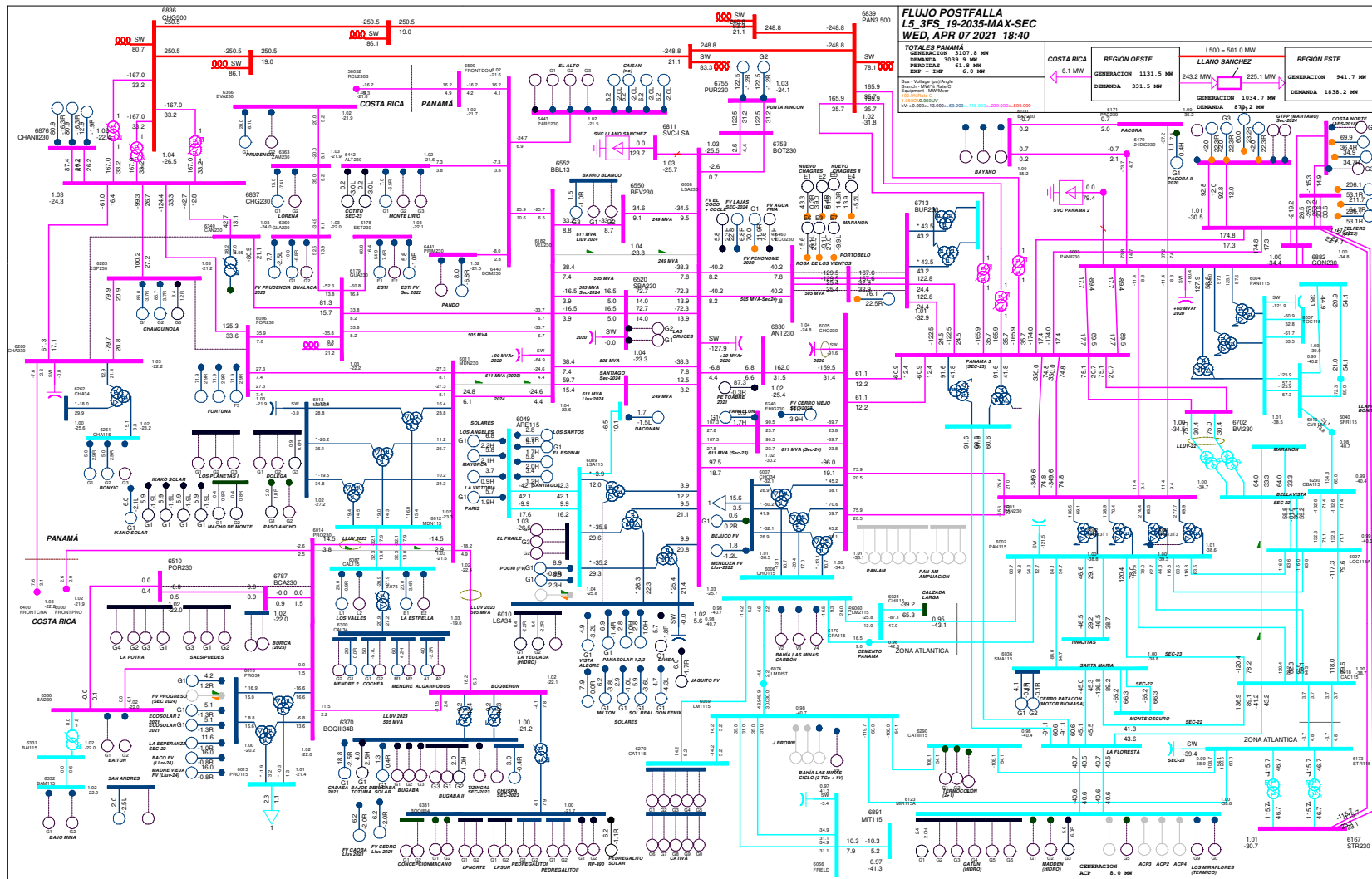


Gráfico 366. Evento L5\_3FS, caso 19-2035-Max-Sec. Flujo postfalla

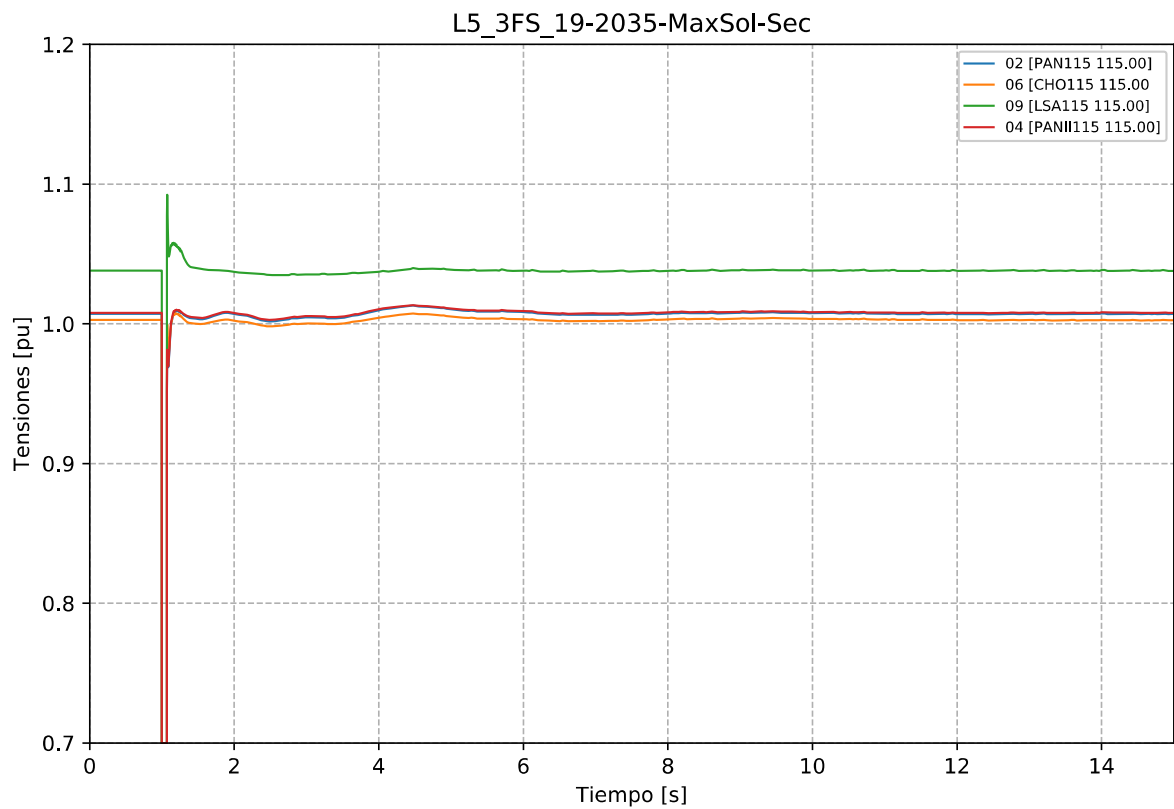


Gráfico 367. Evento L5\_3FS, caso 19-2035-MaxSol-Sec. Tensiones en la zona de influencia 115 kV.

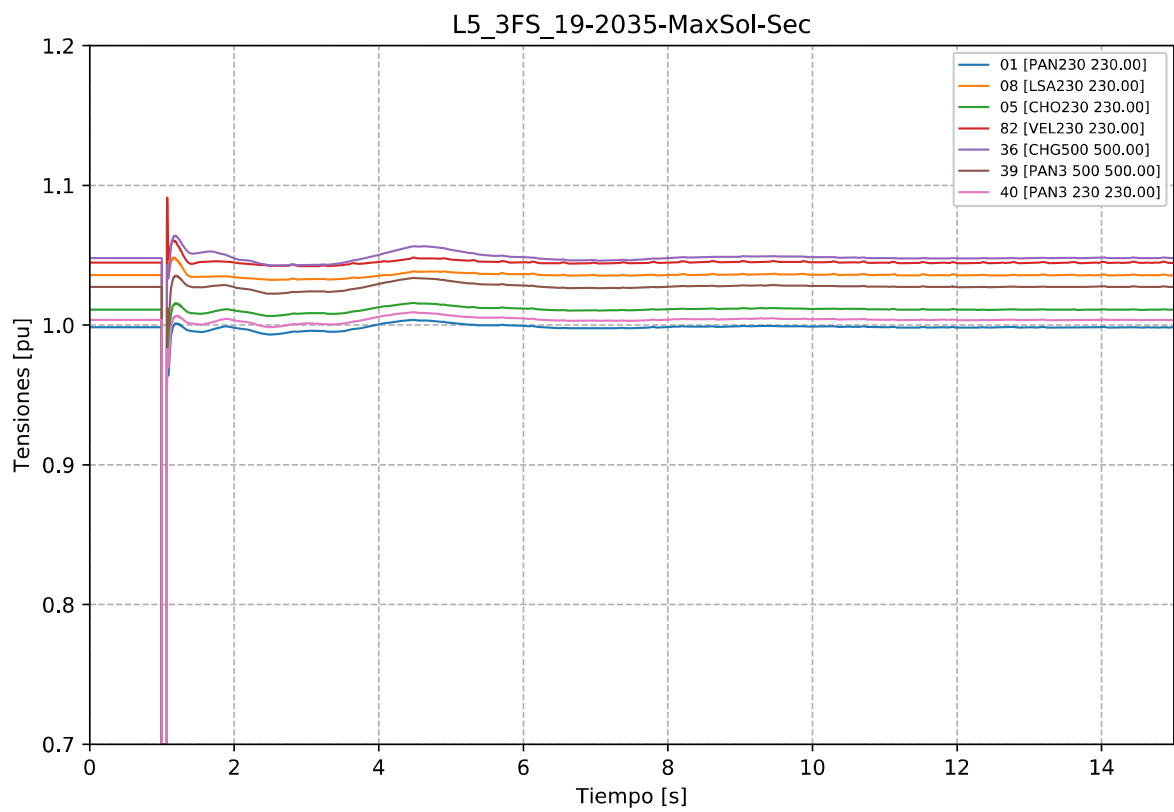


Gráfico 368. Evento L5\_3FS, caso 19-2035-MaxSol-Sec. Tensiones en la zona de influencia 230 kV.

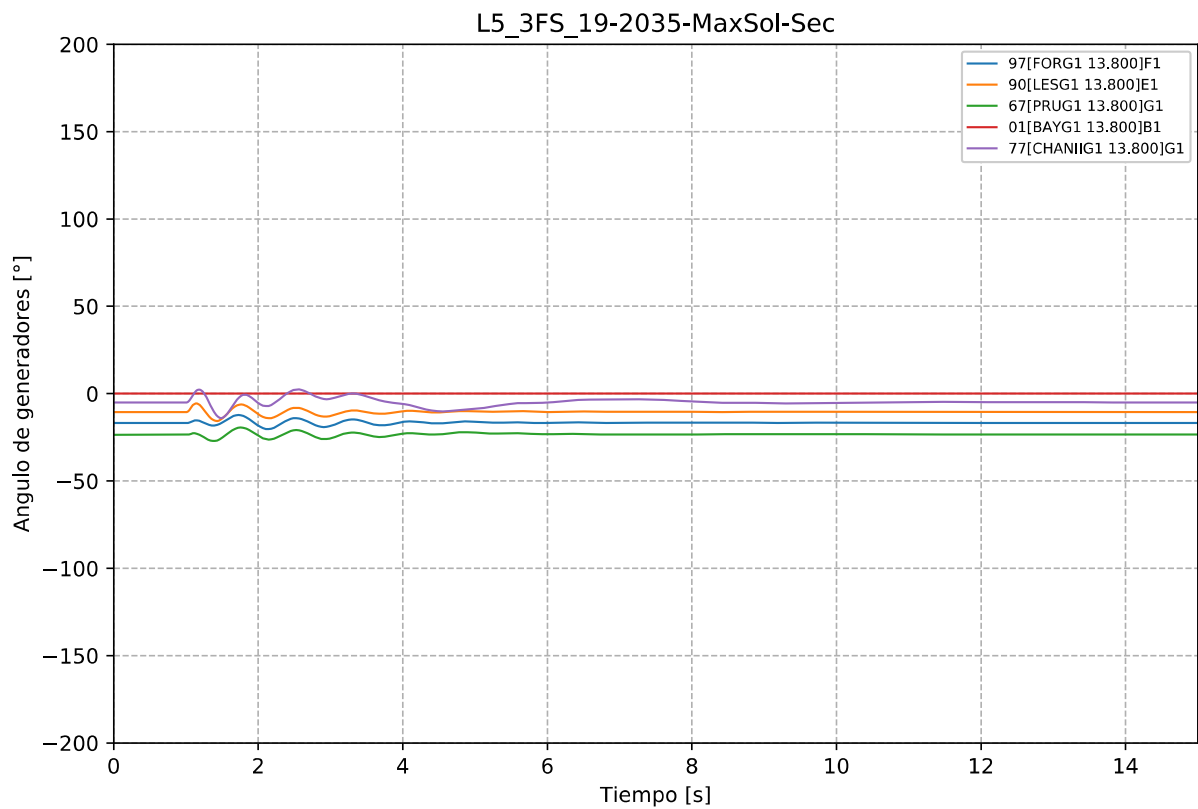


Gráfico 369. Evento L5\_3FS, caso 19-2035-MaxSol-Sec. Ángulo de Generadores Hidroeléctricos.

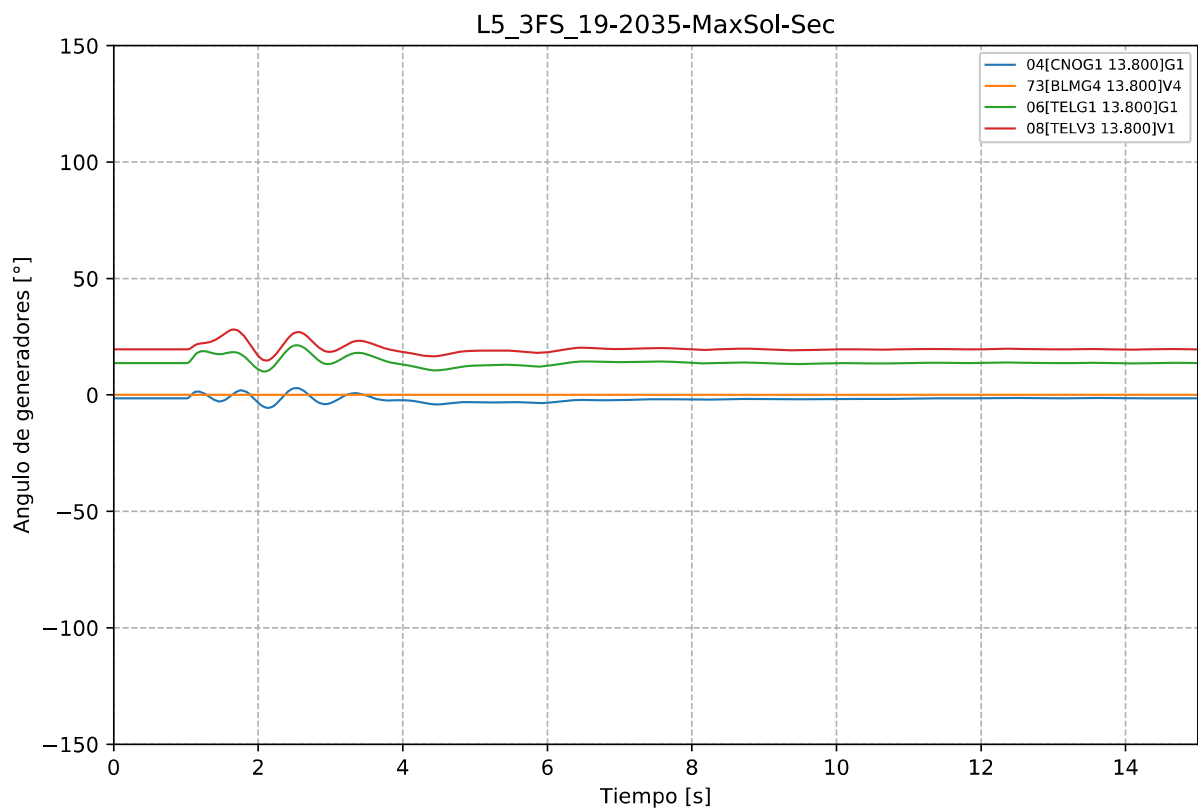


Gráfico 370. Evento L5\_3FS, caso 19-2035-MaxSol-Sec. Ángulo de generadores Térmicos.

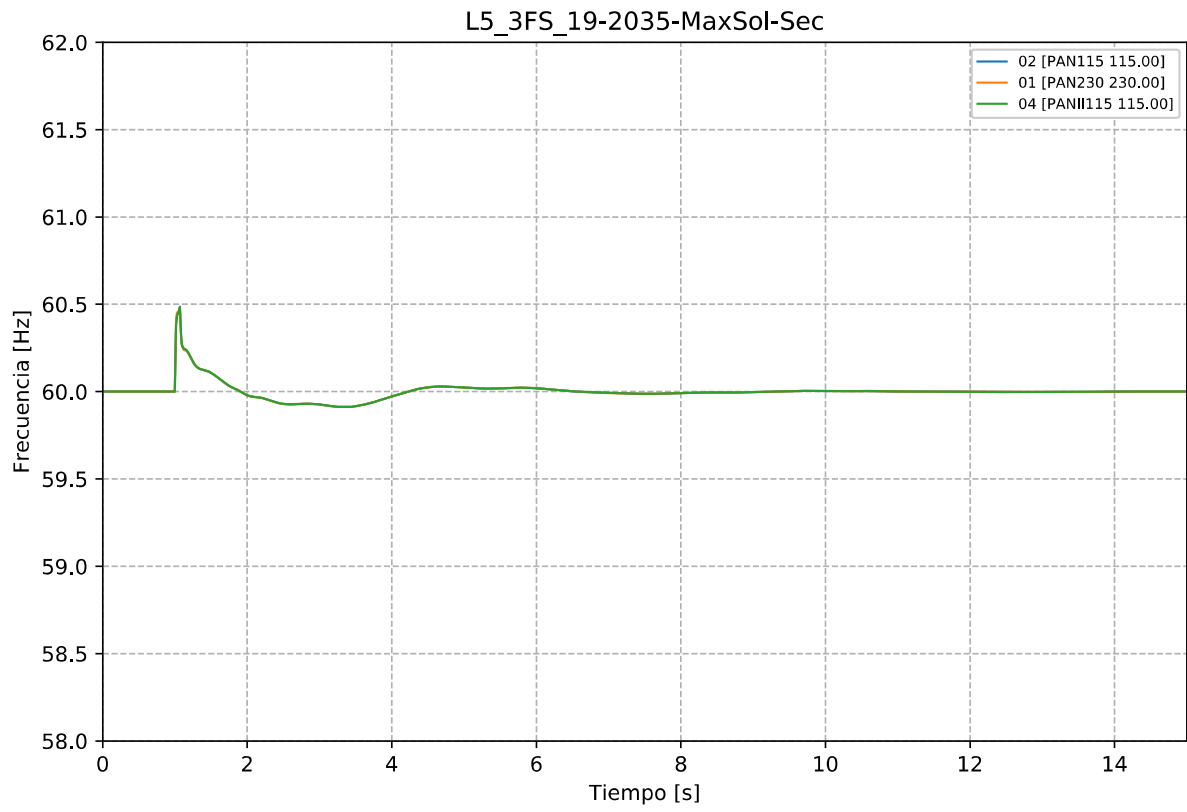


Gráfico 371. Evento L5\_3FS, caso 19-2035-MaxSol-Sec. Frecuencia.